Nico Tauchnitz

arXiv:1610.02829v1 [math.OC] 10 Oct 2016

Notwendige Bedingungen in der Optimalen Steuerung

Schwache und starke lokale Minima in Steuerungsproblemen mit endlichem und unendlichem Zeithorizont

Vorwort

Das vorliegende Manuskript ist das Resultat meiner Untersuchungen notwendiger Optimalitätsbedingungen für Steuerungsprobleme, insbesondere mit unendlichem Zeithorizont. Die Methoden und Argumente, die ich für die Aufgabenklasse über dem unbeschränkten Intervall entwickelt habe, benötigen ein umfassendes Vorwissen über die Herleitung der grundlegenden notwendigen Bedingungen für schwache und starke lokale Minimalstellen in Aufgaben mit einem endlichen Zeithorizont. Mit dieser Arbeit gebe ich einen detaillierten Zugang zu bekannten Resultaten und erweitere sie um die nötigen Verallgemeinerungen, die für die Aufgaben über einem unbeschränkten Zeitintervall erforderlich sind. Mein Augenmerk gilt dabei vorallem den mathematischen Grundlagen in der Herleitung von notwendigen Optimalitätsbedingungen. Anhand einer Vielzahl an Beispielen demonstriere ich die Optimalitätsprinzipien, wodurch die Ergebnisse auch für den rein anwendungsorientierten Leser von Interesse sind.

Die fundamentalen Begriffe der schwachen und starken lokalen Optimalität entstammen der Klassischen Variationsrechnung. Sie stellen Qualitätsangaben dar. Denn eine lokale Minimalstellen muss sich innerhalb einer gewissen Konkurrentenmenge behaupten. Je größer diese Menge ist, desto höher ist die Qualität der Optimalität einzustufen.
Diesbezüglich ist hervorzuheben, dass nicht das Aussehen der notwendigen Bedingungen den Optimalitätsprinzipien ihren Namen gibt. Erst die Qualität der starken lokalen Optimalität verleiht in der Theorie der Optimalen Steuerung dem Satz notwendiger Optimalitätsbedingungen die Bezeichnung eines Pontrjaginschen Maximumprinzips.
Die schwache lokale Optimalität bezieht sich im Grunde auf die Topologie des Raumes der stetig differenzierbaren Funktionen. An dieser Stelle sind die Richtungsvariationen eine geeignete Methode zur Herleitung notwendiger Bedingungen. Demgegenüber basiert die starke lokale Optimalität auf Variationen in der gleichmäßigen Topologie des Raumes der stetigen Funktionen. Eine allgemeine Herangehensweise bildet hier die Methode der Nadelvariationen. Ich habe mich in dem vorliegenden Manuskript zu notwendigen Bedingungen auf die Richtungs- und Nadelvariationen konzentriert. Die Beweisstrategien wurden von mir so ausgewählt, dass sie aufeinander aufgebaut sind: In der Herleitung der notwendigen Bedingungen für schwache lokale Minimalstellen stelle ich die wesentlichen Grundlagen, Argumente und die Beweisphilosophie vor. Mit dieser Vorbereitung liegt der Akzent bei der Herleitung der notwendigen Bedingungen für starke lokale Minimalstellen auf die Einbindung der Methode der mehrfachen Nadelvariation und den damit einhergehenden aufwendigen, technisch anspruchsvollen Hürden.

Wie eingangs erwähnt, ist mein besonderes Augenmerk den Steuerungsproblemen mit unendlichem Zeithorizont gewidmet. Sie ist meiner Meinung nach weitestgehend missverstanden: Das unbeschränkte Zeitintervall stellt weder ein formal sehr langes dar, noch ist es im Allgemeinen durch die Betrachtung eines langen Zeithorizontes bzw. als Grenzwert adäquat beschrieben. Der unendliche Zeithorizont selbst ist eine Singularität in der Aufgabenstellung. Und das nicht nur als unbeschränktes Integrationsintervall im Zielfunktional,

sondern in jedem einzelnen Element der Aufgabe. Erst mit der Entwicklung der vorliegenden Methoden und den entsprechenden Resultaten ist mir die Tragweite dieser Singularität bewusst geworden. Für mich stellen die Aufgaben mit unendlichem Zeithorizont eine Verallgemeinerung der klassischen Probleme dar und erfordern eigens entwickelte Ansätze. Jede Analogie, die ich zu Aufgaben mit endlichem Horizont gezogen habe, hat sich als naiv erwiesen. Die stiefmütterliche Einbindung bekannter Resultate hat zum Scheitern der angestrebten Beweisstrategien geführt. Schließlich musste ich jeden Schritt kritisch hinterfragen und geeignete Anpassungen an das unbeschränkte Intervall entwickeln.

Das Hauptziel dieser Arbeit besteht in einem innovativen Zugang zu den Steuerungsproblemen mit unendlichem Zeithorizont. Dazu stelle ich in den ersten beiden Kapiteln die Grundlagen zur Untersuchung von schwachen und starken lokalen Minimalstellen auf der Basis von Richtungs- und Nadelvariationen vor. Ein kurzer Blick in das Inhaltsverzeichnis verrät, dass der ausgewählte Themenkreis sich sehr weitläufig entwickeln kann.
Das dritte Kapitel über Multiprozesse stellt eine interessante Ergänzung zu der Nadelvariationsmethode dar: Eine Wechselstrategie ist eine Steuerungsvariable, die sich aus verschiedenen, untypischen und schwierig zu modellierenden Parametern zusammensetzt. Gibt man ihr aber eine passende Form, dann sind notwendige Bedingungen global bezüglich aller Wechselstrategien in Form eines Pontrjaginschen Maximumprinzips herleitbar.
Das vierte Kapitel setzt sich mit der Philosophie des unendlichen Zeithorizonts auseinander. Hier habe ich wesentliche Grundgedanken zusammengefasst. Der wesentliche Punkt ist dabei die Einordnung der Aufgaben mit endlichem und unendlichem Zeithorizont.
Im fünften und sechsten Kapitel präsentiere ich die Ergebnisse zu den Aufgaben mit unendlichem Zeithorizont. In der Darstellung war es mir wichtig bereits bekannte Resultate wie die Transversalitätsbedingung nach Michel, die eindeutige Darstellung der Adjungierten, sowie hinreichende Bedingungen nach Arrow und Mangasarian einzubinden.

Dieses Manuskript muss nicht in der vorgegebenen Reihenfolge gelesen werden. Ich empfehle sich bei der Einarbeitung in die Theorie zunächst auf die Kapitel $1, 4$ und 5 über schwache lokale Minimalstellen zu konzentrieren. In den Kapiteln $2, 3$ und 6 setze ich jeweils das Vorwissen aus den vorhergehenden Kapiteln voraus. Insbesondere im sechsten Kapitel sollte man mit den gesamten Vorbereitungen gut vertraut sein.

Das vorliegende Manuskript basiert wesentlich auf meiner Forschungsarbeit vor und nach meiner Promotion. An der BTU Cottbus fand ich die Rahmenbedingungen vor, um diesen Zugang zu den Steuerungsproblemen mit unendlichem Zeithorizont zu entwickeln.
Mein besonderer Dank gilt meiner gesamten Familie. Nur durch eure Unterstützung konnte ich unter den widrigen Umständen der letzten eineinhalb Jahre dieses Manuskript skizzieren, ausarbeiten und aufpolieren.

Nico Tauchnitz
Oktober 2016

Inhaltsverzeichnis

Einleitung **1**

1. Richtungsvariationen und Schwaches lokales Minimum **9**
1.1. Die Euler-Lagrangesche Gleichung 11
1.1.1. Die Herleitung der Euler-Lagrange-Gleichung 11
1.1.2. Die Euler-Lagrangesche Gleichung in der Wirtschaftstheorie 16
1.1.3. Notwendige Bedingungen in der einfachsten Bolza-Aufgabe 18
1.2. Die Lagrange-Aufgabe und das Isoperimetrische Problem 20
1.2.1. Notwendige Bedingungen in der Lagrange-Aufgabe 20
1.2.2. Definition und Eigenschaften der Extremalaufgabe 23
1.2.3. Lagrangesche Multiplikatorenregel 26
1.2.4. Beweisschluss 28
1.2.5. Das Isoperimetrische Problem 30
1.3. Ein Schwaches Optimalitätsprinzip für ein Steuerungsproblem 33
1.3.1. Notwendige Optimalitätsbedingungen 33
1.3.2. Definition und Eigenschaften der Extremalaufgabe 36
1.3.3. Lagrangesche Multiplikatorenregel 39
1.3.4. Beweisschluss 41
1.3.5. Freier Anfangs- und Endzeitpunkt 43
1.3.6. Hinreichende Bedingungen nach Mangasarian 47

2. Nadelvariationen und Starkes lokales Minimum **49**
2.1. Die Nadelvariation der Klassischen Variationsrechnung 50
2.2. Das Maximumprinzip für die Aufgabe mit freiem rechten Endpunkt 51
2.2.1. Formulierung der Aufgabe und das Maximumprinzip 51
2.2.2. Der Beweis des Maximumprinzips 53
2.2.3. Ökonomische Deutung des Maximumprinzips 56
2.2.4. Kapitalismusspiel 57
2.3. Mehrfache Nadelvariationen 61
2.3.1. Die Konstruktion der Trägerfamilien 61
2.3.2. Die Definition der mehrfachen Nadelvariation 64
2.3.3. Eigenschaften der mehrfachen Nadelvariation 65
2.4. Das Pontrjaginsche Maximumprinzip für das Standardproblem 70
2.4.1. Notwendige Optimalitätsbedingungen 70
2.4.2. Definition und Eigenschaften der Extremalaufgabe 73
2.4.3. Lagrangesche Multiplikatorenregel 74
2.4.4. Beweisschluss 81
2.4.5. Hinreichende Bedingungen nach Arrow 83

2.5. Aufgaben mit Zustandsbeschränkungen 86
2.5.1. Die Aufgabenstellung und das Maximumprinzip 86
2.5.2. Definition und Eigenschaften der Extremalaufgabe 89
2.5.3. Lagrangesche Multiplikatorenregel 90
2.5.4. Beweisschluss 93
2.5.5. Hinreichende Bedingungen nach Arrow 95
2.6. Freier Anfangs- und Endzeitpunkt 104

3. Optimale Multiprozesse 109
3.1. k-fache Zerlegungen 110
3.2. Die Aufgabenstellung und das Maximumprinzip 111
3.3. Ein Investitionsmodell 117
3.4. Zeitoptimale Steuerung gekoppelter Kompartimente 119

4. Die Vorstellung der Aufgabe mit unendlichem Zeithorizont 123
4.1. Zur Approximation durch eine Aufgabe über endlichem Horizont 124
4.2. Zur Einordnung der Aufgabenklasse in die Steuerungstheorie 128
4.3. Einfache Nadelvariationen über dem unendlichen Zeithorizont 131
4.4. Parameter und Freiheitsgrade in der Aufgabe mit unendlichem Horizont . . 136

5. Schwaches lokales Minimum über unendlichem Zeithorizont 139
5.1. Die Aufgabenstellung 140
5.2. Ein Schwaches Optimalitätsprinzip über dem unendlichem Zeithorizont . . 141
5.2.1. Notwendige Optimalitätsbedingungen 141
5.2.2. Bemerkungen und Hinweise zur Extremalaufgabe 143
5.2.3. Definition und Eigenschaften der Extremalaufgabe 145
5.2.4. Lagrangesche Multiplikatorenregel 149
5.2.5. Beweisschluss 151
5.3. Zur normalen Form der notwendigen Optimalitätsbedingungen 153
5.4. Hinreichende Bedingungen nach Mangasarian 156

6. Starkes lokales Minimum über unendlichem Zeithorizont 159
6.1. Die Aufgabenstellung 160
6.2. Die Standardaufgabe mit unendlichem Zeithorizont 161
6.2.1. Das Pontrjaginsche Maximumprinzip 161
6.2.2. Mehrfache Nadelvariationen 164
6.2.3. Definition und Eigenschaften der Extremalaufgabe 167
6.2.4. Lagrangesche Multiplikatorenregel 168
6.2.5. Beweisschluss 171
6.2.6. Hinreichende Optimalitätsbedingungen nach Arrow 172
6.3. Die Aufgabe mit Zustandsbeschränkungen 173
6.3.1. Definition und Eigenschaften der Extremalaufgabe 177

6.3.2. Lagrangesche Multiplikatorenregel 179
6.3.3. Beweisschluss 182
6.3.4. Hinreichende Bedingungen nach Arrow 183

7. Zusammenfassung und Ausblick **187**

A. Grundzüge der Maß- und Integrationstheorie **195**
A.1. Maßtheoretische Grundlagen 195
A.2. Integration bezüglich eines Maßes 196
A.3. Funktionen beschränkter Variation und Stieltjes-Integral 197

B. Funktionalanalytische Hilfsmittel **199**
B.1. Stetige lineare Operatoren auf normierten Räumen, Ableitungsbegriffe . . . 199
B.2. Grundprinzipien der Funktionalanalysis 201
B.3. Der Darstellungssatz von Riesz 203
B.4. Zum Verhalten von Funktionen der Sobolev-Räume im Unendlichen 204
B.5. Der Satz von Ljusternik 205

C. Elemente der Konvexen Analysis **206**
C.1. Das Subdifferential konvexer Funktionen 207
C.2. Lokalkonvexe Funktionen 208
C.3. Das Subdifferential der Funktion $G\big(x(\cdot)\big) = \max\limits_{t\in[t_0,t_1]} g\big(t,x(t)\big)$ 209
C.4. Das Subdifferential der Funktion $G\big(x(\cdot)\big) = \sup\limits_{t\in\mathbb{R}_+} g\big(t,x(t)\big)$ 211

D. Differentialgleichungen **212**
D.1. Lineare Differentialgleichungen 212
D.2. Carathéodory-Gleichung, Existenz- und Eindeutigkeitssatz 214

Literatur **215**

Symbolverzeichnis **221**

Sachverzeichnis **223**

Einleitung

Die Theorie der Optimalen Steuerung entwickelte sich aus der Klassischen Variationsrechnung. Notwendig wurde die Weiterentwicklung der Methoden der Klassischen Variationsrechnung durch Problemstellungen aus verschiedensten Fachbereichen, z. B. der Physik, der Biologie, der Chemie, den Ingenieurwissenschaften und vorallem der Luft- und Raumfahrt. Diese Aufgabenstellungen haben gemein, dass sie steuerbar, d. h. durch den Menschen beeinflussbar, sind. Es ergibt sich damit die Frage nach derjenigen Steuerung, die im gewünschten Sinn die beste, wir sagen die optimale, ist. Diese optimale Steuerung zeigt dem Anwender Handlungsweisen auf, wie auf den Zustand des steuerbaren Objektes eingewirkt werden muss, damit sich dieser entsprechend der Zielvorstellungen auf die beste Art und Weise verhält.

Historisch gilt als Geburtsstunde der Klassischen Variationsrechnung das Jahr 1696, als Johann Bernoulli (1667–1748) seine Zeigenossen mit der Aufgabe der Brachistochrone herausforderte. Aber es gibt weitaus ältere Variationsprobleme.
Vergil (70–19 v. Chr.) berichtet in seinem antiken Epos der *Aeneis* die Sage von der Gründung Karthagos etwa 900 v. Chr. durch die phönizische Prinzessin Dido. Aus Furcht vor ihrem Bruder Pygmalion, der ihren Gemahl erschlagen hatte, floh Dido und gelangte an die Küste Nordafrikas. Man wollte ihr dort jedoch nur soviel Land überlassen, wie sie mit einer Ochsenhaut begrenzen könne. Dido schnitt die Haut in feine Streifen, nähte diese zusammen und konnte damit ein nicht unerhebliches Landstück an der Küste eingrenzen, auf dem sie die Burg Byrsa errichten ließ.

Das Problem der Dido wirft die Frage nach der Gestalt derjenigen geschlossenen, ebenen Kurve gegebener Länge auf, die den Bereich mit größtem Flächeninhalt berandet.
Der (orientierte) Inhalt I des Bereiches B, der von einer geschlossenen, ebenen und stetig differenzierbaren Kurve mit der Parameterdarstellung

$$t \to x(t) = \big(x_1(t), x_2(t)\big), \qquad t \in [a, b],$$

umrandet wird, kann durch

$$I = \frac{1}{2} \int_a^b [x_1(t)\dot{x}_2(t) - x_2(t)\dot{x}_1(t)]\, dt$$

bestimmt werden (das Vorzeichen der Zahl I hängt vom Durchlaufsinn der Kurve ab). Dabei muss die Kurve die isoperimetrische Beschränkung der vorgegebenen Länge l,

$$\int_a^b \sqrt{\dot{x}_1^2(t) + \dot{x}_2^2(t)}\, dt = l,$$

erfüllen. Zudem betrachten wir ausschließlich geschlossene Kurven, was wir durch die Bedingung $x(a) = x(b)$ erreichen. Das Problem der Dido auf der Menge der geschlossenen,

glatten Kurven gegebener Länge führt zu der Aufgabe

$$\left.\begin{aligned} J\big(x(\cdot)\big) &= \frac{1}{2}\int_a^b [x_1(t)\dot{x}_2(t) - x_2(t)\dot{x}_1(t)]\,dt \to \sup, \\ \int_a^b \sqrt{\dot{x}_1^2(t) + \dot{x}_2^2(t)}\,dt &= l, \qquad x(a) = x(b). \end{aligned}\right\} \tag{1}$$

Die Lösung des Problems der Dido wird durch die isoperimetrische Eigenschaft des Kreises geliefert: Unter allen möglichen geschlossenen Kurven gegebener Länge ist diejenige, deren Innengebiet den größtmöglichen Flächeninhalt besitzt, die Kreislinie.

Variationsaufgaben unterscheiden sich grundlegend zu der Extremwertsuche einer Funktion, bei der man diejenige Stelle sucht, an der die Funktion einen kleinsten oder größten Wert annimmt. Im Gegensatz dazu ist man im Variationsproblem (1) bestrebt diejenige Funktion zu finden, die dem Zielfunktional J den optimalen Wert zuordnet. Die Maximierung des Funktionals J drücken wir durch die Suche nach einem Supremum aus, da wir über die Existenz eines Maximum a priori keine Kenntnis besitzen.

Der Raketenpionier Robert H. Goddard (1882–1945) formulierte in der ersten Hälfte des 20. Jahrhunderts die Aufgabe, dass eine Höhenrakete mit einer vorgegebenen Treibstoffmenge eine möglichst große Flughöhe erreichen soll. Das besondere Merkmal daran ist, dass die Schubleistung gewissen Schranken unterliegt und Grenzlagen annehmen darf. Diese besondere Charakteristik ist in der Klassischen Variationsrechnung nicht vorgesehen. Damit wird die Frage nach einer passenden Verallgemeinerung der Klassischen Variationsrechnung aufgeworfen, die zur Antwort die Entwicklung der Steuerungstheorie erhielt.

In einer "einfachen" Formulierung einer Rakete maximaler Flughöhe seien

$h(t)$	–	die Höhe der Rakete zur Zeit t,
$v(t)$	–	die Geschwindigkeit der Rakete zur Zeit t,
$m(t)$	–	die Masse der Rakete zur Zeit t,
$u(t)$	–	Kraftstoffverbrauch zur Zeit t,
$D(h,v)$	–	der Luftwiderstand,
$g(h)$	–	die Gravitation,
c	–	der spezifische Impuls pro Einheit Treibstoff.

Nach dem Luftwiderstands- und dem Gravitationsgesetz gelten

$$D(h,v) = \alpha v^2 e^{-\beta h}, \qquad g(h) = g_0 \frac{r_0^2}{r_0^2 + h^2},$$

wobei α, β spezifische Konstanten des Modells, r_0 den Erdradius und g_0 die Gravitationskonstante auf der Erdoberfläche bezeichnen. Die Dynamik des Systems wird durch die Differentialgleichungen

$$\dot{h}(t) = v(t), \qquad \dot{v}(t) = \frac{cu(t) - D\big(h(t), v(t)\big)}{m(t)} - g\big(h(t)\big), \qquad \dot{m}(t) = -u(t)$$

gegeben. Die Randbedingungen lauten

$$h(0) = 0, \qquad v(0) = 0, \qquad m(0) = m_0 \text{ (Startmasse)}, \qquad m(T) = m_T \text{ (Leermasse)}$$

und es treten Steuerungsbeschränkungen der Form

$$u(t) \in [0, u_{\max}]$$

auf. Schließlich ist das Optimierungskriterium

$$h(T) = \int_0^T v(t)\, dt \to \sup .$$

Als naheliegende Lösung könnte man die Steuerung

$$u(t) = \begin{cases} u_{\max}, & t \in [0, \tau), \\ 0, & t \in [\tau, T], \end{cases}$$

erwarten, die im Goddard-Problem ohne Luftwiderstand optimal wäre. Jedoch wird die dadurch erreichte Flughöhe um fast 40% übertroffen, wenn man eine Steuerung anwendet,

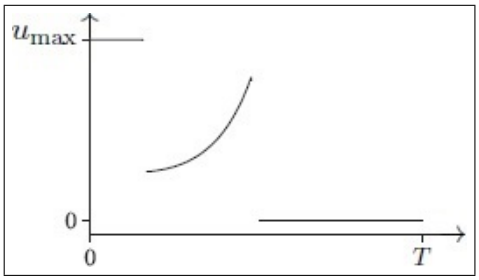

Abbildung 1: Optimale Steuerung mit Luftwiderstand.

deren charakteristischer Verlauf in Abbildung 1 dargestellt ist.

Weitere Einsatzmöglichkeiten der mathematischen Methoden für die Optimierung einer Höhenrakete ergeben sich, wenn gegensätzliche Ziele gleichzeitig beachtet werden müssen. Gewicht und Sicherheit sind Beispiele dafür. Einerseits sollte das Gesamtgewicht so gering wie möglich sein, um weniger Treibstoff zu verbrauchen. Andererseits ist die Explosionsgefahr bei dickeren Wänden der Brennstoffkammern geringer, dabei aber das Gewicht der Rakete höher. Die optimale Abstimmung dieser gegenläufigen Bestrebungen ist gesucht.

Wir geben eine allgemeine Standardgestalt der Variations- und Steuerungsprobleme an, die wir betrachten werden. Ohne Einschränkung sei die Standardform stets als Minimierungsaufgabe gestellt. Es bezeichne ferner $x(\cdot) : \mathbb{R} \to \mathbb{R}^n$ den Zustand des steuerbaren Objektes und $u(\cdot) : \mathbb{R} \to \mathbb{R}^m$ die Steuerung, mit der auf den Zustand Einfluss genommen werden kann. Die Einschränkung, dass die Steuerungsparameter $u(t)$ nur Werte aus einer

vorgegebenen Menge U (dem Steuerungsbereich) annehmen dürfen, nennen wir Steuerungsbeschränkungen. Das Optimierungskriterium wird durch das Zielfunktional

$$J\big(x(\cdot),u(\cdot)\big)=\int_{t_0}^{t_1} f\big(t,x(t),u(t)\big)\,dt$$

mit dem Integranden $f:\mathbb{R}\times\mathbb{R}^n\times\mathbb{R}^m\to\mathbb{R}$ beschrieben. Dabei bezeichnet die Variable t oft die Zeit. Die Dynamik, d. h. das dynamische Verhalten des Zustandes $x(\cdot)$ über dem Zeitraum $[t_0,t_1]$, ist durch das Differentialgleichungssystem

$$\dot{x}(t)=\varphi\big(t,x(t),u(t)\big)$$

mit der rechten Seite $\varphi:\mathbb{R}\times\mathbb{R}^n\times\mathbb{R}^m\to\mathbb{R}^n$ beschrieben. Schließlich liegen durch

$$h_0\big(x(t_0)\big)=0,\qquad h_1\big(x(t_1)\big)=0$$

Randbedingungen an die Start- und Zielwerte für den Zustand $x(\cdot)$ im Anfangs- und Endpunkt des Betrachtungszeitraumes $[t_0,t_1]$ vor.

Zusammenfassend ergibt sich folgende Standardaufgabe, in die sich das Goddard-Problem und das Problem der Dido einordnen lassen:

$$\left.\begin{aligned}
&J\big(x(\cdot),u(\cdot)\big)=\int_{t_0}^{t_1} f\big(t,x(t),u(t)\big)\,dt\to\inf,\\
&\dot{x}(t)=\varphi\big(t,x(t),u(t)\big),\\
&h_0\big(x(t_0)\big)=0,\qquad h_1\big(x(t_1)\big)=0,\\
&u(t)\in U,\qquad U\neq\emptyset.
\end{aligned}\right\}\tag{2}$$

Dabei sind die Zeitpunkte $t_0<t_1$ fest vorgegeben. Wird das Problem mit freiem Anfangs- und Endzeitpunkt t_0,t_1 betrachtet, so lauten die Randbedingungen

$$h_0\big(t_0,x(t_0)\big)=0,\qquad h_1\big(t_1,x(t_1)\big)=0.$$

Liegen zusätzliche Beschränkungen des Zustandes $x(\cdot)$ der Form

$$g_j\big(t,x(t)\big)\le 0\quad\text{ für alle } t\in[t_0,t_1],\quad j=1,...,l,$$

vor, so sprechen wir von der Aufgabe mit Zustandsbeschränkungen.

Im Jahr 1928 stellte Frank P. Ramsey (1903–1930) die Frage nach der optimalen Sparquote, die einer Ökonomie langfristiges und wohlfahrtsoptimiertes Wachstum garantiert. Das besondere an der Modellierung des Variationsproblems war die Einführung des unendlichen Zeithorizonts. Die Philosophie dahinter ist die Vorstellung, dass kein natürliches Ende für den Betrachtungszeitraum existiert. Möchte man sämtlichen nachfolgenden Generationen Beachtung schenken, dann ist die Idealisierung in Form des zeitlich unbeschränkten Rahmens die einzig mögliche Konsequenz.

Die Aufgabe mit unendlichem Zeithorizont stellt sich für uns wie folgt dar:

$$\left.\begin{aligned} &J\big(x(\cdot),u(\cdot)\big)=\int_0^\infty \omega(t)f\big(t,x(t),u(t)\big)\,dt\to\inf,\\ &\dot{x}(t)=\varphi\big(t,x(t),u(t)\big),\qquad x(0)=x_0,\\ &g_j\big(t,x(t)\big)\le 0\quad \text{für alle } t\in\mathbb{R}_+,\quad j=1,...,l,\\ &u(t)\in U,\qquad U\neq\emptyset. \end{aligned}\right\} \tag{3}$$

Dabei ist $\omega(\cdot)$ eine Dichtefunktion, die häufig durch die Diskontierung $\omega(t)=e^{-\varrho t}$ gegeben ist. Das Problem (3) untersuchen wir über unendlichem Zeithorizont sowohl ohne als auch mit Zustandsbeschränkungen. Die Anfangsbedingung ist stets durch $x(0)=x_0$ fest gegeben. Auf Randbedingungen im Unendlichen gehen wir nicht ein.

Die Literatur zur Theorie der Optimalen Steuerung und zur Herleitung notwendiger Optimalitätsbedingungen ist sehr umfangreich. Unser Verzeichnis spiegelt nur diejenigen wider, die die vorliegende Monographie am stärksten beeinflusst haben. Ein vollständige Angabe der Quellen und die Würdigung der einzelnen Beiträge, die maßgeblich zur Entwicklung der Optimalen Steuerung beigetragen haben, ist im Rahmen der vorliegenden Arbeit nicht möglich und ist auch nicht angestrebt.
Hervorheben möchten wir zunächst den fundamentalen Beitrag von Pontrjagin et al. [55]. Weiterhin beziehen sich unsere Darstellungen zur Theorie der Extremalaufgaben auf die Arbeiten von Dubovickii & Milyutin [19], Girsanov [27], Halkin [29], Hestenes [32], Ioffe & Tichomirov [38], Kurcyusz [40] und Neustadt [49]. Wesentlichen Einfluss auf die Entwicklung der Optimalen Steuerung haben u. a. Bellman [9], Isaacs [37], Gamkrelidze [25], McShane [46] und Young [71] genommen.
Aus dem umfassenden Vorrat an Lehrbüchern und Übersichtsartikeln zählen wir Boltjanski [10], Carlson et al. [12], Hartl et al. [31], Sethi & Thompson [62] und Vinter [68] auf. Eine Vielzahl von Anwendungsbeispielen haben wir den Lehrbüchern Feichtinger & Hartl [21], Grass et al. [28] und Seierstad & Sydsæter [61] entnommen. Abschließend weisen wir auf die Arbeiten Pesch & Plail [50] und Plail [54] zur histroischen Entwicklung der Optimalen Steuerung als eigenständiges mathematisches Fachgebiet hin.

Das Anliegen dieser Arbeit besteht in der Präsentation notwendiger Optimalitätsbedingungen für schwache und starke lokale Minimalstellen in der Standardaufgabe (2) sowohl ohne als auch mit Zustandsbeschränkungen. Dabei folgen wir Ioffe & Tichomirov [38]. Weiterhin wollen wir diese Darstellungen um eigene Ergebnisse zu schwachen und starken lokalen Minimalstellen für das Steuerungsproblem (3) über dem unendlichen Zeithorizont, insbesondere für Aufgaben mit Zustandsbeschränkungen, erweitern. Dabei geben wir keine allumfassende Abhandlung zur Herleitung von notwendigen Optimalitätsbedingungen. Z. B. gehen wir auf die Methode der variablen Zeittransformation zur Herleitung des Pontrjaginschen Maximumprinzips nach Dubovickii & Milyutin nicht ein.
Die ersten beiden Kapitel widmen wir den klassischen Richtungs- und Nadelvariationen und der Herleitung von notwendigen Optimalitätsbedingungen für schwache und starke

lokale Minimalstellen der Standardaufgabe (2). Die Bedeutung der Methode der Nadelvariationen in den Anwendungen heben wir in dem eigenständigen Kapitel zu Optimalen Multiprozessen hervor. Im vierten Kapitel schlagen wir die Brücke zu der Aufgabe (3) über unendlichem Zeithorizont, die wir um fünften und sechsten Kapitel auf schwache bzw. starke lokale Minimalstellen untersuchen. Dabei greifen wir auf die gründlichen Vorbereitungen in den ersten Kapiteln zurück und fokussieren uns auf die tiefgreifenden und folgenreichen Schwierigkeiten, die sich durch die auf Aufgabe mit einem unbeschränkten Zeitintervall ergeben. Im Detail bestehen die Beiträge der einzelnen Kapitel:

Im ersten Kapitel wollen wir die klassischen Richtungsvariationen zur Herleitung der Euler-Lagrangeschen Gleichung betrachten. Für die Standardaufgabe (2) als Lagrange-Aufgabe der Klassischen Variationsrechnung bzw. als ein Steuerungsproblem bilden diese Variationen die Grundlage zur Auswertung notwendiger Optimalitätsbedingungen.
Wesentliche Punkte sind dabei das Verständnis der Probleme als eine Extremalaufgabe in Funktionenräumen und der Nachweis der Gültigkeit des Lagrangeschen Prinzips. In diesem abstrakten Rahmen gehören die Lagrangeschen Multiplikatoren entsprechenden Dualräumen an. Die Optimalitätsbedingungen, die sich für die Standardaufgabe (2) daraus ergeben, beinhalten eine Darstellungsformel für den Multiplikator in Gestalt der adjungierten Gleichung. Wir haben den Einstieg auf der Basis der Richtungsvariationen gewählt, da die Beweisführung umfassende Vorkenntnisse an mathematischen Werkzeugen erfordert. Demgegenüber sind die konstruktiven Argumente zunächst weniger aufwendig als diejenigen, auf die wir im Nachweis starker lokaler Optimalität zurückgreifen.

Auf der Basis der Vorarbeit im ersten Kapitel liegt der Fokus im zweiten Kapitel auf der Konstruktion geeigneter Trägerfamilien, auf denen eine mehrfache Nadelvariation eingeführt wird. Diese Konstruktion, sowie die daraus resultierenden funktionalanalytischen Eigenschaften der Extremalaufgabe, stellen eine neue Herausforderung dar. Es bleibt zwar die grundlegende Beweisstrategie, die wir im ersten Kapitel präsentierten, unverändert, doch der Aufwand und die Komplexität der Argumente ist deutlich höher. Das Resultat sind notwendige Optimalitätsbedingungen für ein starkes lokales Minimum in der Standardaufgabe (2) in Form des Pontrjaginschen Maximumprinzips.

Im dritten Kapitel leiten wir das Pontrjaginsche Maximumprinzip für optimale Multiprozesse her. Im strengen Sinn der starken lokalen Optimalität führen wir eine Wechselstrategie als Steuerungsvariable ein. Mit dem gewählten Zugang können wir im Gegensatz zu den bekannten Resultaten Multiprozesse vergleichen, die nicht aus gleichartigen Wechselstrategien hervorgehen.

Im vierten Kapitel steht im Fokus die Korrespondenz zwischen einem langfristigen Planungszeitraum und dem unendlichen Zeithorizont. Dementsprechend stellen wir die folgende zentrale Frage: Wie ordnen sich die Steuerungsprobleme mit endlichem und unendlichem Zeithorizont einander zu? Wir werden aufzeigen, dass die Aufgabenklasse (3) eine Verallgemeinerung der Steuerungsprobleme über endlichem Horizont mit freiem rechten Endpunkt darstellt.

Dementsprechend sind wir der Auffassung, dass die populärsten Methoden, mit denen die Aufgaben mit unendlichem Zeithorizont behandelt werden, nämlich einerseits die Approximation durch Aufgaben über einem endlichen Zeitintervall und andererseits die Substitution der Zeit, im Allgemeinen keine geeigneten Herangehensweisen sein können.

Im fünften Kapitel widmen wir uns den schwachen lokalen Minimalstellen der Aufgabe (3) ohne Zustandsbeschränkungen. Dabei liegt der Hauptaugenmerk auf den Anpassungen der Argumente, die wir über dem endlichen Zeithorizont im ersten Kapitel vorgestellt haben, um einen vollständigen Satz an notwendigen Optimalitätsbedingungen zu gewinnen. Zu diesen Anpassungen zählen die Wahl des gewichteten Sobolev-Raumes für die zulässigen Trajektorien des Steuerungsproblems. Allerdings kann in dessen Rahmen die zugehörige Extremalaufgabe im Allgemeinen nicht variiert werden. Deswegen muss ein geeigneter funktionalanalytischer Zugang für das dynamischen Systems gefunden werden. Zu den Resultaten dieses Abschnitts zählen das Schwache Optimalitätsprinzip, die Gültigkeit der "natürlichen" Transversalitätsbedingungen, Bedingungen zum normalen Fall und die Einbindung von hinreichenden Bedingungen vom Mangasarian-Typ.

Die Theorie zu starken lokalen Minimalstellen der Aufgabe (3) stellen wir im sechsten Kapitel vor. Abermals im Fokus ist dabei die Konstruktion der Trägerfamilien, auf denen die mehrfachen Nadelvariation ausgeführt werden. Dabei müssen wir im Gegensatz zu den Ausführungen des zweiten Kapitels den unbeschränkten Zeithorizont und außerdem eine lokal unbeschränkte Dichtefunktionen $\omega(\cdot)$ ins Kalkül ziehen.
Auf der Basis der mehrfachen Nadelvariationen und den Vorbereitungen im zweiten und fünften Kapitel weisen wir für die Aufgabe (3) notwendige Optimalitätsbedingungen in Form des Pontrjaginschen Maximumprinzips nach. Die Beweisstrategie liefert die Grundlage zur Betrachtung der Aufgabe über unendlichem Zeithorizont mit Zustandsbeschränkungen. Da kein kompaktes Zeitintervall vorliegt, können an dieser Stelle die Vorarbeiten des zweiten Kapitels nicht unmittelbar übernommen werden. Erstens sind die benötigten Elemente der Konvexen Analysis aufzuarbeiten, die unserer Kenntnis nach für Zustandsbeschränkungen über dem unbeschränkten Intervall in der Literatur noch nicht vorgestellt wurden. Zweitens geht die Eigenschaft verloren, dass die stetigen Trajektorien ein Minimum und Maximum besitzen. Es ensteht damit die Frage nach der Festlegung einer aktiven Zustandsbeschränkung und das Problem, wie man mit einer nichtaktiven Ungleichung verfährt.
Das zentrale Ergebnis des sechsten Kapitels und der gesamten vorliegenden Monogrophie ist das Pontrjaginsche Maximumprinzip für die Aufgabe (3) ohne und mit Zustandsbeschränkungen. Weiterhin zeigen wir die Gültigkeit der "natürlichen" Transversalitätsbedingungen, weisen Bedingungen zum normalen Fall in der Aufgabe ohne Zustandsbeschränkungen nach und binden hinreichende Bedingungen vom Arrow-Typ ein.

1. Richtungsvariationen und Schwaches lokales Minimum

Die Entdeckungen der Variationsprinzipien der Optik und der Mechanik im 17. und 18. Jahrhundert stehen für den Beginn eines neuen Kapitels im Verständnis grundlegender Vorgänge in Natur und Technik. Angeregt durch das Problem der Brachistochrone, nämlich der Frage nach der Kurve kürzester Fallzeit, entstand die Variationsrechnung.

Im Problem der Brachistochrone ist diejenige Kurve gesucht, auf der ein Massenpunkt allein unter der Wirkung der Schwerkraft unter Vernachlässigung der Reibung am schnellsten von einem Punkt A zu einem tieferliegenden Punkt B gelangt.

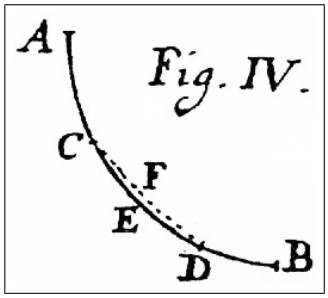

Abbildung 2: Kurve kürzester Fallzeit von A nach B.

Die Lösung ist eine nach oben geöffnete Zykloide mit der Parameterdarstellung

$$x(t) = r(t - \sin t), \qquad y(t) = r(1 - \cos t), \qquad 0 \le t \le \pi.$$

Den bedeutendsten Einfluss auf die Entwicklung der Klassischen Variationsrechnung nahmen im 18. Jahrhundert Leonhard Euler (1707–1783) und Joseph-Louis Lagrange (1736–1813), die die grundlegende notwendige Bedingung in Form einer Differentialgleichung, der Euler-Lagrange-Gleichung, entdeckten.

Wir werden zu Beginn dieses Abschnitts die Euler-Lagrangesche Gleichung ausführlich diskutieren. Als nächstes gehen wir zur Untersuchung der Lagrange-Aufgabe der Klassischen Variationsrechnung über. Die Lagrange-Aufgabe ist das Standardproblem

$$\left.\begin{aligned} &J\big(x(\cdot),u(\cdot)\big) = \int_{t_0}^{t_1} f\big(t,x(t),u(t)\big)\,dt \to \inf,\\ &\dot{x}(t) = \varphi\big(t,x(t),u(t)\big),\\ &h_0\big(x(t_0)\big) = 0, \qquad h_1\big(x(t_1)\big) = 0,\\ &u(t) \in U, \qquad U = \mathbb{R}^m. \end{aligned}\right\}$$

für Paare $\big(x(\cdot),u(\cdot)\big) \in C_1([t_0,t_1],\mathbb{R}^n)\times C([t_0,t_1],\mathbb{R}^m)$, die die Nebenbedingungen erfüllen. Als Optimalitätsbegriff verwenden wir das schwache lokale Minimum. Darunter verstehen

wir ein zulässiges Paar $\big(x_*(\cdot), u_*(\cdot)\big)$ der Lagrange-Aufgabe, zu dem eine Zahl $\varepsilon > 0$ derart existiert, dass die Ungleichung

$$J\big(x(\cdot), u(\cdot)\big) \geq J\big(x_*(\cdot), u_*(\cdot)\big)$$

für alle zulässigen Paare $\big(x(\cdot), u(\cdot)\big)$ mit $\|x(\cdot) - x_*(\cdot)\|_{C_1} \leq \varepsilon$, $\|u(\cdot) - u_*(\cdot)\|_\infty \leq \varepsilon$ gilt.

Der Übergang von der Lagrange-Aufgabe der Klassischen Variationsrechnung zu einem Steuerungsproblem durch die Wahl der zulässigen Paare

$$\big(x(\cdot), u(\cdot)\big) \in W_2^1([t_0, t_1], \mathbb{R}^n) \times L_\infty([t_0, t_1], U),$$

die die Nebenbedingungen und $u(t) \in U \subseteq \mathbb{R}^m$ erfüllen, erscheint zunächst formalen Charakter zu besitzen. Doch die Untersuchung des Standardproblems (2) auf eine schwaches lokales Minimum im Rahmen der Optimalen Steuerung enthält signifikante Unterschiede, die durch die Steuerungsbeschränkungen $u(t) \in U$ hervorgerufen werden. Dabei heißt ein zulässiges Paar $\big(x_*(\cdot), u_*(\cdot)\big)$ ein schwaches lokales Minimum im Steuerungsproblem, wenn eine Zahl $\varepsilon > 0$ derart existiert, dass die Ungleichung

$$J\big(x(\cdot), u(\cdot)\big) \geq J\big(x_*(\cdot), u_*(\cdot)\big)$$

für alle zulässigen Paare $\big(x(\cdot), u(\cdot)\big)$ mit $\|x(\cdot) - x_*(\cdot)\|_\infty \leq \varepsilon$, $\|u(\cdot) - u_*(\cdot)\|_{L_\infty} \leq \varepsilon$ gilt.

Die Umgebungsbegriffe in der Definition eines schwachen lokalen Minimum erfordern geeignete Annahmen an das Standardproblem. Wir fordern in unseren Betrachtungen über schwache lokale Minimalstellen, dass die Abbildungen $f(t, x, u)$, $\varphi(t, x, u)$, $h_0(x)$, $h_1(x)$ stetig differenzierbar bezüglich ihrer Variablen sind; und das auf einer gleichmäßigen Umgebung des ausgezeichneten Paares $\big(x_*(\cdot), u_*(\cdot)\big)$.
Die Zykloide als Lösung der Brachistochrone mit der oben angegebenen Parameterdarstellung besitzt im Anfangspunkt eine unbeschränkte Ableitung. Wir stehen damit vor der Frage, ob die angegebene Zykloide im Problem der Brachistochrone variierbar ist. Im Rahmen der vorliegenden Arbeit können wir diese Frage nicht klären. Obwohl dieser Umstand stets in der Literatur auftaucht und eingehend bekannt ist, wurde unserer Kenntnis nach noch keine einwandfreie Analyse der Brachistochrone vorgestellt.

Wir skizzieren zu Beginn am Beispiel der Lagrange-Aufgabe die grundlegende Herangehensweise an das Standardproblem: Mit den Abbildungen

$$\begin{aligned}
&J\big(x(\cdot), u(\cdot)\big) = \int_{t_0}^{t_1} f\big(t, x(t), u(t)\big)\, dt \\
&F\big(x(\cdot), u(\cdot)\big)(t) = \dot{x} - \varphi\big(t, x(t), u(t)\big), \quad t \in [t_0, t_1], \\
&H_0\big(x(\cdot)\big) = h_0\big(x(t_0)\big), \qquad H_1\big(x(\cdot)\big) = h_1\big(x(t_1)\big),
\end{aligned}$$

überführen wir die Lagrange-Aufgabe in die Extremalaufgabe

$$J\big(x(\cdot), u(\cdot)\big) \to \inf, \qquad F\big(x(\cdot), u(\cdot)\big) = 0, \qquad H_i\big(x(\cdot)\big) = 0, \quad i = 0, 1,$$

auf dem Raum $C_1([t_0,t_1],\mathbb{R}^n)\times C([t_0,t_1],\mathbb{R}^m)$. Dabei bilden J,F,H_i in die Mengen $\mathbb{R}$, $C([t_0,t_1],\mathbb{R}^n)$ bzw. $\mathbb{R}^{s_i}$ ab. Die Lagrange-Funktion $\mathscr{L}$ zur Extremalaufgabe lautet

$$\mathscr{L}=\lambda_0 J\big(x(\cdot),u(\cdot)\big)+\big\langle y^*,F\big(x(\cdot),u(\cdot)\big)\big\rangle+l_0^T H_0\big(x(\cdot)\big)+l_1^T H_1\big(x(\cdot)\big)$$

mit den Lagrangeschen Multiplikatoren $\lambda_0\in\mathbb{R}$, $y^*\in C^*([t_0,t_1],\mathbb{R}^n)$ und $l_i\in\mathbb{R}^{s_i}$.
Nach dem Rieszschen Darstellungssatz ist der Raum $C^*([t_0,t_1],\mathbb{R}^n)$ isometrisch isomorph zu den regulären Borelschen Maßen. Aber es zeigt sich, dass wir dem Multiplikator y^* eine C_1-Funktion $p(\cdot)$ zuordnen dürfen, die der Euler-Lagrange-Gleichung in der Hamiltonschen Form genügt. Damit folgen die notwendigen Bedingungen in ihrer endgültigen Form.
Zusammenfassend besteht die Beweisstrategie im Wesentlichen aus folgenden Schritten:

(1) Überführe das Problem in eine geeignete Extremalaufgabe.

(2) Zeige die Existenz nichttrivialer Lagrangescher Multplikatoren und die Gültigkeit des Lagrangeschen Prinzips.

(3) Leite eine Darstellungsformel für den abstrakten Lagrangeschen Multiplikator y^* ab.

Das Ergebnis dieser aufwendigen Prozedur ist der Nachweis eines vollständigen Satzes von notwendigen Optimalitätsbedingungen.

1.1. Die Euler-Lagrangesche Gleichung

1.1.1. Die Herleitung der Euler-Lagrange-Gleichung

Die Grundaufgabe der Klassischen Variationsrechnung besteht in der Minimierung des Zielfunktionals

$$J\big(x(\cdot)\big)=\int_{t_0}^{t_1} f\big(t,x(t),\dot{x}(t)\big)\,dt\to\inf \tag{1.1}$$

unter den Nebenbedingungen

$$x(t_0)=x_0,\qquad x(t_1)=x_1. \tag{1.2}$$

Dabei sind in (1.1) und (1.2) die Punkte $t_0<t_1$ und x_0,x_1 fest vorgegeben. Ferner setzen wir voraus, dass in (1.1) die Funktion $f:\mathbb{R}\times\mathbb{R}\times\mathbb{R}\to\mathbb{R}$ in einem gewissen Gebiet $U\subseteq\mathbb{R}^3$ einmal stetig differenzierbar ist.

Wir nennen die Funktion $x(\cdot):[t_0,t_1]\to\mathbb{R}$ zulässig in der Aufgabe (1.1)–(1.2), wenn $x(\cdot)$ stetig differenzierbar ist und die Randbedingungen (1.2) erfüllt. Die zulässige Funktion $x_*(\cdot)\in C_1([t_0,t_1],\mathbb{R})$ ist eine schwache lokale Minimalstelle in der Aufgabe (1.1)–(1.2), falls ein $\varepsilon>0$ derart existiert, dass die Ungleichung

$$J\big(x(\cdot)\big)\geq J\big(x_*(\cdot)\big)$$

für alle zulässigen Funktionen $x(\cdot)$ mit $\|x(\cdot)-x_*(\cdot)\|_{C_1}<\varepsilon$ gilt.

Zur Bestimmung einer notwendigen Optimalitätsbedingung für eine schwache lokale Minimalstelle $x_*(\cdot)$ in der Aufgabe (1.1)–(1.2) betrachten wir die Funktion einer Veränderlichen

$$\varphi(\lambda) = J\big(x_*(\cdot) + \lambda x(\cdot)\big) = \int_{t_0}^{t_1} f\big(t, x_*(t) + \lambda x(t), \dot{x}_*(t) + \lambda \dot{x}(t)\big)\, dt, \tag{1.3}$$

die durch die Variation $x_\lambda(\cdot) = x_*(\cdot) + \lambda x(\cdot)$ von $x_*(\cdot)$ bezüglich der Richtung $x(\cdot)$ erzeugt wird. Dies wirft die naheliegende Frage auf, ob $x_\lambda(\cdot)$ die Randbedingungen (1.2) erfüllt. Fordern wir für die Richtung $x(\cdot)$ die Bedingung

$$x(\cdot) \in M_0 = \{y(\cdot) \in C_1([t_0, t_1], \mathbb{R}) \,|\, y(t_0) = y(t_1) = 0\},$$

so ist die Variation $x_\lambda(\cdot)$ stets ein zulässiges Element in der Aufgabe (1.1)–(1.2).

Unter unseren Voraussetzungen über die Funktionen f, $x_*(\cdot)$, $x(\cdot)$ ist in (1.3) die Differentiation unter dem Integralzeichen zulässig, und es gilt für die erste Variation

$$\varphi'(0) = \delta J\big(x_*(\cdot)\big)x(\cdot) = \int_{t_0}^{t_1} \big(q(t)x(t) + p(t)\dot{x}(t)\big)\, dt$$

mit den Funktionen

$$q(t) = f_x\big(t, x_*(t), \dot{x}_*(t)\big), \qquad p(t) = f_{\dot{x}}\big(t, x_*(t), \dot{x}_*(t)\big).$$

Da zu $x(\cdot) \in M_0$ für hinreichend kleine $\lambda > 0$ die Variation $x_\lambda(\cdot)$ die Bedingung

$$\|x_\lambda(\cdot) - x_*(\cdot)\|_{C_1} = \|\lambda x(\cdot)\|_{C_1} < \varepsilon$$

erfüllt, erhalten wir folgende notwendige Bedingung für eine schwache lokale Minimalstelle:

$$\varphi'(0) = \delta J\big(x_*(\cdot)\big)x(\cdot) = 0 \qquad \text{für alle } x(\cdot) \in M_0. \tag{1.4}$$

Satz 1.1. *Es sei die Funktion f stetig differenzierbar. Dann genügt ein schwaches lokales Minimum $x_*(\cdot)$ der Aufgabe (1.1)–(1.2) auf $[t_0, t_1]$ der Euler-Lagrange-Gleichung*

$$\Big(-\frac{d}{dt} f_{\dot{x}} + f_x\Big)\Big|_{x_*(t)} = -\frac{d}{dt} f_{\dot{x}}\big(t, x_*(t), \dot{x}_*(t)\big) + f_x\big(t, x_*(t), \dot{x}_*(t)\big) = 0. \tag{1.5}$$

Definition 1.2. *Jede Lösung $x_*(\cdot) \in C_1([t_0, t_1], \mathbb{R})$ von (1.5) nennen wir eine Extremale.*

Beweis Wir zeigen Satz 1.1 auf zweierlei Weisen: Im ersten Vorgehen führen wir in (1.4) bezüglich dem Term $p(t)\dot{x}(t)$ eine partielle Integration durch und wenden das Fundamentallemma von Lagrange an. Dies erfordert die zusätzliche Annahme, dass die Funktion f zweimal stetig differenzierbar ist. Im Gegensatz dazu erfordert die partielle Integration bezüglich dem Term $q(t)x(t)$ in (1.4) keine zusätzlichen Voraussetzungen. Das Fundamentallemma von du Bois-Reymond liefert dann in vollständiger Übereinstimmung mit Satz

1.1 die Euler-Lagrangesche Gleichung.

Wegen der zweimaligen stetigen Differenzierbarkeit von f und wegen $x(\cdot) \in M_0$ erhalten wir nach partieller Integration des Terms $p(t)\dot{x}(t)$ für (1.4) die Darstellung

$$\int_{t_0}^{t_1} \big(q(t) - \dot{p}(t)\big)x(t)\,dt = 0 \qquad \text{für alle } x(\cdot) \in M_0.$$

Daraus schließen wir mit dem Fundamentallemma von Lagrange, dass die stetige Funktion $\varphi(t) = q(t) - \dot{p}(t)$ auf $[t_0, t_1]$ identisch verschwinden muss. Das bedeutet ausführlich geschrieben, dass die Gleichung (1.5) gilt.

Führen wir demgegenüber in (1.4) die partielle Integration bezüglich dem Term $q(t)x(t)$ durch, erhalten wir für alle $x(\cdot) \in M_0$ die Darstellung

$$\int_{t_0}^{t_1} \big(-Q(t) + p(t)\big)\dot{x}(t)\,dt = 0, \qquad Q(t) = \int_{t_0}^{t} q(s)\,ds.$$

Es folgt dann aus dem Fundamentallemma von du Bois-Reymond, dass die stetige Funktion $\psi(t) = -Q(t) + p(t)$ auf $[t_0, t_1]$ konstant sein muss. Dies bedeutet ferner, dass $\psi(\cdot)$ stetig differenzierbar ist und die Ableitung auf $[t_0, t_1]$ verschwindet. Da nun $Q(\cdot)$ eine stetige Ableitung besitzt, muss das auch für $p(\cdot)$ gelten. Damit ist (1.5) gezeigt. ■

Lemma 1.3 (Fundamentallemma von Lagrange)**.** *Es sei $\varphi(\cdot)$ auf $[t_0, t_1]$ stetig mit*

$$\int_{t_0}^{t_1} \varphi(t)x(t)\,dt = 0 \qquad \textit{für alle } x(\cdot) \in M_0.$$

Dann gilt $\varphi(t) \equiv 0$ auf $[t_0, t_1]$.

Beweis Angenommen, es ist $\varphi(\tau) \neq 0$ für ein $\tau \in (t_0, t_1)$. Es sei $\varphi(\tau) > 0$. Dann gibt es ein $\varepsilon > 0$ mit $\varphi(t) > 0$ auf $\Delta = [\tau - \varepsilon, \tau + \varepsilon] \subseteq [t_0, t_1]$. Wir wählen

$$z(t) = \begin{cases} (t - \tau + \varepsilon)^2(t - \tau - \varepsilon)^2, & t \in \Delta, \\ 0, & t \notin \Delta. \end{cases}$$

Dann gehört $z(\cdot)$ offenbar zur Menge M_0 und es gilt

$$\int_{t_0}^{t_1} \varphi(t)z(t)\,dt = \int_{\Delta} \varphi(t)z(t)\,dt > 0,$$

im Widerspruch zur Annahme des Fundamentallemma von Lagrange. ■

Lemma 1.4 (Fundamentallemma von du Bois-Reymond)**.** *Es sei $\psi(\cdot)$ eine stetige Funktion mit*

$$\int_{t_0}^{t_1} \psi(t)\dot{x}(t)\,dt = 0 \qquad \textit{für alle } x(\cdot) \in M_0.$$

Dann ist $\psi(\cdot)$ auf $[t_0, t_1]$ konstant.

Beweis Wir betrachten die Funktion

$$z(t) = \int_{t_0}^{t} \big(\psi(s) - c_0\big)\, ds, \qquad c_0 := \frac{1}{t_1 - t_0} \int_{t_0}^{t_1} \psi(t)\, dt.$$

Dann gelten $z(t_0) = z(t_1) = 0$, also $z(\cdot) \in M_0$, $\dot z(t) = \psi(t) - c_0$ und wir erhalten

$$0 = \int_{t_0}^{t_1} \psi(t)\dot z(t)\, dt = \int_{t_0}^{t_1} \psi(t)\dot z(t)\, dt - c_0 \int_{t_0}^{t_1} \dot z(t)\, dt = \int_{t_0}^{t_1} \big(\psi(t) - c_0\big)^2\, dt.$$

Daher muss $\psi(\cdot)$ auf $[t_0, t_1]$ konstant sein. ■

Bemerkung 1.5. Statt $x(\cdot) \in M_0$ wird das Lemma von du Bois-Reymond oft für stetige Funktionen $y(\cdot)$ mit Integralmittelwert Null, d. h.

$$\int_{t_0}^{t_1} y(t)\, dt = 0,$$

formuliert. Offensichtlich besitzt $\dot x(\cdot)$ für jedes $x(\cdot) \in M_0$ den Integralmittelwert Null. □

Beispiel 1.6. Wir betrachten eine Aufgabe mit quadratischem Zielfunktional:

$$J\big(x(\cdot)\big) = \int_0^1 \big[\big(x(t) - 1\big)^2 + \dot x^2(t)\big]\, dt \to \inf, \qquad x(0) = 0, \quad x(1) = 2.$$

Mit $f(t, x, \dot x) = (x-1)^2 + \dot x^2$ erhalten wir aus der Euler-Lagrange-Gleichung (1.5), dass eine schwache lokale Minimalstelle $x_*(\cdot)$ der Differentialgleichung

$$\ddot x(t) - x(t) = -1$$

genügen muss. Die Anpassung an die Randbedingungen $x(0) = 0$, $x(1) = 2$ liefert

$$x_*(t) = 1 + \frac{1}{e-1} e^t - \frac{e}{e-1} e^{-t}$$

als Kandidaten für ein schwaches lokales Minimum. □

Folgerung 1.7. *Wir geben Spezialfälle der Euler-Lagrange-Gleichung (1.5) an, die sich für eine Lösung $x_*(\cdot)$ des Variationsproblems ergeben.*

(a) Hängt die Funktion f nicht von $\dot x$ ab, dann muss auf $[t_0, t_1]$ gelten:

$$f_x\big(t, x_*(t)\big) = 0.$$

(b) Hängt die Funktion f nicht von x ab, dann folgt auf $[t_0, t_1]$:

$$p(t) = f_{\dot x}\big(t, \dot x_*(t)\big) = \textit{konstant}.$$

(c) Hängt die Funktion f nicht von t ab, so erhält man mit (1.5), dass die Ableitung nachstehender Funktion $H(\cdot)$ auf $[t_0, t_1]$ identisch verschwindet; oder gleichbedeutend

$$H(t) = f_{\dot{x}}\big(x_*(t), \dot{x}_*(t)\big) \cdot \dot{x}_*(t) - f\big(x_*(t), \dot{x}_*(t)\big) = \textit{konstant} \quad \textit{auf } [t_0, t_1].$$

An die Betrachtungen zur Grundaufgabe (1.1)–(1.2) schließt sich die Frage nach notwendigen Optimalitätsbedingungen für eine schwache lokale Minimalstelle in der Aufgabe mit freiem rechten Endpunkt an:

$$J\big(x(\cdot)\big) = \int_{t_0}^{t_1} f\big(t, x(t), \dot{x}(t)\big)\, dt \to \inf, \qquad x(t_0) = x_0, \quad x(t_1) \text{ frei.} \tag{1.6}$$

Unter den gleichen Voraussetzungen und mit dem gleichen Vorgehen wie in der Grundaufgabe (1.1)–(1.2) erhalten wir für eine schwache lokale Minimalstelle

$$\delta J\big(x_*(\cdot)\big)x(\cdot) = \int_{t_0}^{t_1} \big(q(t)x(t) + p(t)\dot{x}(t)\big)\, dt = 0 \qquad \text{für alle } x(\cdot) \in M_1. \tag{1.7}$$

Dabei bezeichnen $M_1 = \{y(\cdot) \in C_1([t_0, t_1], \mathbb{R}) \,|\, y(t_0) = 0\}$ und $q(\cdot), p(\cdot)$ die Funktionen

$$q(t) = f_x\big(t, x_*(t), \dot{x}_*(t)\big), \qquad p(t) = f_{\dot{x}}\big(t, x_*(t), \dot{x}_*(t)\big).$$

Integrieren wir in (1.7) zunächst partiell den Term $q(t)x(t)$, so folgt

$$Q(t_1)x(t_1) + \int_{t_0}^{t_1} \big(-Q(t) + p(t)\big)\dot{x}(t)\, dt = 0 \quad \text{für alle } x(\cdot) \in M_1, \quad Q(t) = \int_{t_0}^{t} q(s)\, ds.$$

Für $x(\cdot) \in M_0$ erhalten wir nach dem Lemma von du Bois-Reymond die Euler-Lagrange-Gleichung (1.5). Außerdem liefert die Argumentation nach du Bois-Reymond, dass die Funktion $p(\cdot)$ stetig differenzierbar ist. Daher dürfen wir ohne weitere Annahmen in (1.7) den Term $p(t)\dot{x}(t)$ partiell integrieren. Damit folgt

$$p(t_1)x(t_1) + \int_{t_0}^{t_1} \big(q(t) - \dot{p}(t)\big)x(t)\, dt = 0 \qquad \text{für alle } x(\cdot) \in M_1.$$

Darin verschwindet $\varphi(t) = q(t) - \dot{p}(t)$ identisch auf $[t_0, t_1]$. Damit diese Gleichung auf M_1 erfüllt ist, muss also $p(t_1) = 0$ gelten.

Satz 1.8. *Es sei f stetig differenzierbar. Ist $x_*(\cdot)$ ein schwaches lokales Minimum in der Aufgabe (1.6), dann ist notwendig, dass auf $[t_0, t_1]$ die Euler-Lagrange-Gleichung*

$$\left(-\frac{d}{dt}f_{\dot{x}} + f_x\right)\Big|_{x_*(t)} = -\frac{d}{dt}f_{\dot{x}}\big(t, x_*(t), \dot{x}_*(t)\big) + f_x\big(t, x_*(t), \dot{x}_*(t)\big) = 0 \tag{1.8}$$

zur Randbedingung

$$p(t_1) = f_{\dot{x}}\big(t_1, x_*(t_1), \dot{x}_*(t_1)\big) = 0 \tag{1.9}$$

erfüllt ist.

Folgerung 1.9. *Es folgt auf die gleiche Weise, dass in der Aufgabe freier Randpunkte, d. h. $x(t_0), x(t_1)$ sind frei, folgende Randbedingungen gelten:*

$$p(t_0) = f_{\dot{x}}\big(t_0, x_*(t_0), \dot{x}_*(t_0)\big) = 0, \qquad p(t_1) = f_{\dot{x}}\big(t_1, x_*(t_1), \dot{x}_*(t_1)\big) = 0.$$

Bemerkung 1.10. Sämtliche Ausführungen im Abschnitt 1.1 lassen sich unmittelbar auf den Vektorfall $x(\cdot) \in C_1([t_0, t_1], \mathbb{R}^n)$ erweitern. □

1.1.2. Die Euler-Lagrangesche Gleichung in der Wirtschaftstheorie

Beispiel 1.11 (Isoelastische Nutzenfunktion)**.** Es bezeichnen $K(\cdot)$ das Vermögen einer Ökonomie, $Y(\cdot)$ das Nationaleinkommen und $C(\cdot)$ die Konsumption. Mit einer streng wachsenden und konkaven Produktionsfunktion f sei $Y(t) = f\big(K(t)\big)$. Zu jedem Zeitpunkt wird die Produktion Y in Konsumption und Investition aufgeteilt, d. h.

$$f\big(K(t)\big) = C(t) + \dot{K}(t).$$

Das Wohlbefinden der Gesellschaft wird durch die zweimal stetig differenzierbare, streng wachsende und streng konkave Nutzenfunktion U dargestellt.

Die Aufgabe der Ökonomischen Wachstumstheorie lautet dann: Man bestimme über dem Zeitrahmen $[0, T]$ die optimale Konsumption $C(\cdot)$, die den Gesamtnutzen der Gesellschaft,

$$J\big(K(\cdot)\big) = \int_0^T e^{-\varrho t} U\big(C(t)\big)\, dt = \int_0^T e^{-\varrho t} U\big(f\big(K(t)\big) - \dot{K}(t)\big)\, dt,$$

unter den gegebenen Randbedingungen $K(0) = K_0$, $K(T) = K_T$ maximiert.

In dieser Form lässt sich keine qualitative Aussage über eine optimale Konsumptionspolitik finden. Stattdessen leiten wir die Form der sogenannten isoelastischen Nutzenfunktionen mit Hilfe der Euler-Lagrangeschen Gleichung ab und gewinnen daraus die Fundamentalgleichung für die Wachstumsraten einer optimalen Konsumption: Es gelten

$$\begin{aligned}
\frac{\partial}{\partial K}\big[e^{-\varrho t} U\big(f(K) - \dot{K}\big)\big] &= e^{-\varrho t} U'\big(f(K) - \dot{K}\big) f'(K) = e^{-\varrho t} U'(C) f'(K), \\
\frac{\partial}{\partial \dot{K}}\big[e^{-\varrho t} U\big(f(K) - \dot{K}\big)\big] &= -e^{-\varrho t} U'\big(f(K) - \dot{K}\big) = -e^{-\varrho t} U'(C).
\end{aligned}$$

Die Anwendung der Euler-Lagrange-Gleichung (1.5) liefert

$$\begin{aligned}
0 &= -\frac{d}{dt}\big[-e^{-\varrho t} U'\big(C_*(t)\big)\big] + e^{-\varrho t} U'\big(C_*(t)\big) f'\big(K_*(t)\big) \\
&= e^{-\varrho t}\Big[U''\big(C_*(t)\big)\dot{C}_*(t) + \big[f'\big(K_*(t)\big) - \varrho\big] U'\big(C_*(t)\big)\Big].
\end{aligned}$$

Nach einfachen Umformungen erhalten wir daraus die optimale Wachstumsrate

$$\frac{\dot{C}_*(t)}{C_*(t)} = \frac{U'\big(C_*(t)\big)}{C_*(t) U''\big(C_*(t)\big)}\big[\varrho - f'\big(K_*(t)\big)\big].$$

Eine isoelastische Nutzenfunktion genügt der Differentialgleichung der konstanten relativen Risikoaversion

$$-\sigma = \frac{CU''(C)}{U'(C)}, \qquad C > 0.$$

Dabei gilt $\sigma > 0$, da die Funktion U streng monoton wachsend und streng konkav ist. Mit den Integrationskonstanten k_0, k_1 lautet die Lösung der Differentialgleichung

$$U(C) = k_0 \frac{C^{1-\sigma}}{1-\sigma} + k_1 \quad \text{für } \sigma \neq 1, \qquad U(C) = k_0 \ln(C) + k_1 \quad \text{für } \sigma = 1.$$

Die Festlegung $k_0 = 1, k_1 = -1/(1-\sigma)$ für $\sigma \neq 1$ liefert für alle $\sigma > 0$

$$U(C) = \frac{C^{1-\sigma} - 1}{1-\sigma},$$

denn der Spezialfall $U(C) = \ln(C)$ für $\sigma = 1$ ergibt sich darin im Grenzübergang $\sigma \to 1$ mit Hilfe der Regel von l'Hospital.

Damit erhalten wir bei einer isoelastischen Nutzenfunktion die Fundamentalgleichung

$$\frac{\dot{C}_*(t)}{C_*(t)} = \frac{f'\big(K_*(t)\big) - \varrho}{\sigma} \tag{1.10}$$

für die Wachstumsrate einer optimalen Konsumptionspolitik. □

Beispiel 1.12. Wir verwenden die Bezeichnungen aus Beispiel 1.11 und es seien

$$f(K) = rK - \omega, \qquad r, \omega > 0, \qquad K(T) \text{ frei.}$$

Dies führt zu der Aufgabe

$$J\big(K(\cdot)\big) = \int_0^T e^{-\varrho t} U\big(rK(t) - \omega - \dot{K}(t)\big)\, dt \to \sup, \qquad K(0) = K_0, \quad K(T) \text{ frei.}$$

Die Nutzenfunktion sei isoelastisch. Daher gelten $U \in C_2$, $U' > 0$, $U'' < 0$ für $C > 0$.
Die Fundamentalgleichung (1.10) und die Randbedingung (1.9) liefern

$$\frac{\dot{C}_*(t)}{C_*(t)} = \frac{r - \varrho}{\sigma}, \qquad 0 = -e^{-\varrho T} U'\big(C_*(T)\big).$$

Da $U' > 0$ gilt, gibt es keinen Parameter $C > 0$, der die Gleichung $U'(C) = 0$ löst. Deswegen erhalten wir keinen Kandidaten für eine schwache lokale Minimalstelle.

Bei näherer Betrachtung ist das wenig überraschend: Da keine Beschränkung an die Entwicklung des Kapitalstocks vorliegen, liefert die Maximierung des Zielfunktionals

$$J\big(K(\cdot)\big) = \int_0^T e^{-\varrho t} U\big(C(t)\big)\, dt$$

die wenig brauchbare Lösung $C_*(t) \equiv \infty$. □

Beispiel 1.13. Wir fahren mit dem vorherigen Beispiel fort, indem wir dem Gesamtnutzen der Gesellschaft den Rückkaufswert zum Abschluss der Planungsperiode gegenüberstellen:

$$\int_0^T e^{-\varrho t} U\big(C(t)\big)\,dt + e^{-\varrho T} K(T) \to \sup\,.$$

Da die zulässigen Trajektorien $K(\cdot)$ stetig differenzierbar sind, können wir dies in äquivalenter Form so ausdrücken:

$$J\big(K(\cdot)\big) = \int_0^T e^{-\varrho t}\big[U\big(rK(t) - \omega - \dot K(t)\big) + \dot K(t) - \varrho K(t)\big]\,dt \to \sup\,.$$

Die Euler-Lagrange-Gleichung führt wieder zur Konsumption mit Wachstumsrate

$$\frac{\dot C_*(t)}{C_*(t)} = \frac{r-\varrho}{\sigma}.$$

Ferner wird durch die Randbedingung (1.9) bei freiem rechten Endpunkt,

$$0 = e^{-\varrho T}\big[1 - U'\big(C_*(T)\big)\big] \qquad \Leftrightarrow \qquad U'\big(C_*(T)\big) = 1,$$

die optimale Konsumption eindeutig festgelegt. □

1.1.3. Notwendige Bedingungen in der einfachsten Bolza-Aufgabe

Wir geben nun den Weg zur Herleitung von notwendigen Bedingungen für eine schwache lokale Minimalstelle in der einfachsten Bolza-Aufgabe,

$$B\big(x(\cdot)\big) = \psi_0\big(x(t_0)\big) + \psi_1\big(x(t_1)\big) + \int_{t_0}^{t_1} f\big(t, x(t), \dot x(t)\big)\,dt \to \inf \tag{1.11}$$

an, wo im Unterschied zur Aufgabe (1.1)–(1.2) keine Randbedingungen auftreten, aber dafür die Terminalfunktionale ψ_0, ψ_1 vorkommen. Wir setzen die stetige Differenzierbarkeit der Abbildungen ψ_0, ψ_1 und f voraus. Dann erhalten wir für die erste Variation des Funktionals B die Darstellung

$$\begin{aligned}\delta B\big(x_*(\cdot)\big)x(\cdot) &= \psi_0'\big(x_*(t_0)\big)x(t_0) + \psi_1'\big(x_*(t_1)\big)x(t_1) + \delta J\big(x_*(\cdot)\big)x(\cdot)\\ &= \psi_0'\big(x_*(t_0)\big)x(t_0) + \psi_1'\big(x_*(t_1)\big)x(t_1) + \int_{t_0}^{t_1}\big(q(t)x(t) + p(t)\dot x(t)\big)\,dt\end{aligned}$$

mit den vertrauten Bezeichnungen

$$q(t) = f_x\big(t, x_*(t), \dot x_*(t)\big), \qquad p(t) = f_{\dot x}\big(t, x_*(t), \dot x_*(t)\big).$$

Ist $x_*(\cdot)$ ein schwaches lokales Minimum der Bolza-Aufgabe (1.11), dann muss gelten:

$$\delta B\big(x_*(\cdot)\big)x(\cdot) = 0 \qquad \text{für alle } x(\cdot) \in C_1([t_0,t_1],\mathbb{R}). \tag{1.12}$$

Auf dem Teilraum $M_0 \subset C_1([t_0,t_1],\mathbb{R})$ stimmen $\delta B\big(x_*(\cdot)\big)$ und $\delta J\big(x_*(\cdot)\big)$ überein. Damit ist nach Lemma 1.1 die Euler-Lagrangesche Gleichung (1.5) erfüllt. Das Vorgehen nach du Bois-Reymond liefert zudem die stetige Differenzierbarkeit der Funktion $p(\cdot)$. Integrieren wir im Ausdruck für die erste Variation des Funktionals B den Term $p(t)\dot{x}(t)$ partiell und berücksichtigen die Euler-Lagrange-Gleichung, so erhalten wir

$$\delta B\big(x_*(\cdot)\big)x(\cdot) = \big[\psi_0'\big(x_*(t_0)\big) - p(t_0)\big]x(t_0) + \big[\psi_1'\big(x_*(t_1)\big) + p(t_1)\big]x(t_1).$$

Wegen (1.12) gelten somit die zusätzlichen Bedingungen

$$p(t_0) = \psi_0'\big(x_*(t_0)\big), \qquad p(t_1) = -\psi_1'\big(x_*(t_1)\big).$$

Satz 1.14. *Es seien ψ_0, ψ_1 und f stetig differenzierbar. Ist $x_*(\cdot)$ ein schwaches lokales Minimum in der Aufgabe (1.11), dann ist notwendig, dass auf $[t_0,t_1]$ die Euler-Lagrange-Gleichung*

$$\left(-\frac{d}{dt}f_{\dot{x}} + f_x\right)\Big|_{x_*(t)} = -\frac{d}{dt}f_{\dot{x}}\big(t,x_*(t),\dot{x}_*(t)\big) + f_x\big(t,x_*(t),\dot{x}_*(t)\big) = 0 \tag{1.13}$$

mit den Randbedingungen

$$\left.\begin{aligned} p(t_0) &= f_{\dot{x}}\big(t_0,x_*(t_0),\dot{x}_*(t_0)\big) = \psi_0'\big(x_*(t_0)\big),\\ p(t_1) &= f_{\dot{x}}\big(t_1,x_*(t_1),\dot{x}_*(t_1)\big) = -\psi_1'\big(x_*(t_1)\big) \end{aligned}\right\} \tag{1.14}$$

erfüllt ist.

Unter geeigneten Regularitätsvoraussetzungen lassen sich Terminal- und Integralfunktionale ineinander überführen. Sei

$$f\big(t,x(t),\dot{x}(t)\big) = \frac{d}{dt}\psi\big(t,x(t)\big),$$

dann sind folgendes Terminal- und Integralfunktional äquivalent:

$$\psi\big(t_1,x(t_1)\big) \to \inf \qquad \Leftrightarrow \qquad \int_{t_0}^{t_1} f\big(t,x(t),\dot{x}(t)\big)\,dt \to \inf\,.$$

Umgekehrt entsteht aus einem Integralfunktional ein äquivalentes Terminalfunktional

$$\int_{t_0}^{t_1} f\big(t,x(t),\dot{x}(t)\big)\,dt \to \inf \qquad \Leftrightarrow \qquad y(t_1) \to \inf$$

unter der dynamischen Nebenbedingung

$$\dot{y}(t) = f\big(t,x(t),\dot{x}(t)\big), \qquad y(t_0) = 0.$$

Aufgrund dessen gehen wir auf Aufgaben mit einem Zielfunktional in gemischter Form nicht weiter ein. Stattdessen widmen wir unsere Aufmerksamkeit dem Standardproblem mit einem Zielfunktional in Integralform und untersuchen als nächstes die Lagrange-Aufgabe.

1.2. Die Lagrange-Aufgabe und das Isoperimetrische Problem

1.2.1. Notwendige Bedingungen in der Lagrange-Aufgabe

Als Lagrange-Aufgabe der Klassischen Variationsrechnung bezeichnen wir das Problem

$$J\big(x(\cdot),u(\cdot)\big)=\int_{t_0}^{t_1} f\big(t,x(t),u(t)\big)\,dt\to\inf, \tag{1.15}$$

$$\dot{x}(t)=\varphi\big(t,x(t),u(t)\big), \tag{1.16}$$

$$h_0\big(x(t_0)\big)=0,\qquad h_1\big(x(t_1)\big)=0, \tag{1.17}$$

$$u(t)\in U=\mathbb{R}^m. \tag{1.18}$$

In der Lagrange-Aufgabe seien $\big(x(\cdot),u(\cdot)\big)\in C_1([t_0,t_1],\mathbb{R}^n)\times C([t_0,t_1],\mathbb{R}^m)$ und

$$f:\mathbb{R}\times\mathbb{R}^n\times\mathbb{R}^m\to\mathbb{R},\quad \varphi:\mathbb{R}\times\mathbb{R}^n\times\mathbb{R}^m\to\mathbb{R}^n,\quad h_i:\mathbb{R}^n\to\mathbb{R}^{s_i},\ i=0,1.$$

Zu $\big(x(\cdot),u(\cdot)\big)\in C_1([t_0,t_1],\mathbb{R}^n)\times C([t_0,t_1],\mathbb{R}^m)$ bezeichne U_γ die Menge

$$U_\gamma=\{(t,x,u)\in[t_0,t_1]\times\mathbb{R}^n\times\mathbb{R}^m\mid\|x-x(t)\|\le\gamma,\|u-u(t)\|\le\gamma\}.$$

Dann gehören zur Menge $\mathscr{A}_{\mathrm{Lip}}$ diejenigen $\big(x(\cdot),u(\cdot)\big)\in C_1([t_0,t_1],\mathbb{R}^n)\times C([t_0,t_1],\mathbb{R}^m)$, für die es eine Zahl $\gamma>0$ derart gibt, dass auf der Menge U_γ

(A) die Abbildungen $f(t,x,u)$, $\varphi(t,x,u)$, $h_0(x),h_1(x)$ stetig differenzierbar sind.

Das Paar $\big(x(\cdot),u(\cdot)\big)\in C_1([t_0,t_1],\mathbb{R}^n)\times C([t_0,t_1],\mathbb{R}^m)$ nennen wir zulässig in der Aufgabe (1.15)–(1.18), falls $\big(x(\cdot),u(\cdot)\big)$ dem System (1.16) genügt und die Randbedingungen (1.17) erfüllt. Die Menge $\mathscr{A}_{\mathrm{adm}}$ bezeichnet die Menge der zulässigen Paare $\big(x(\cdot),u(\cdot)\big)$.

Ein zulässiges Paar $\big(x_*(\cdot),u_*(\cdot)\big)$ ist in der Aufgabe (1.15)–(1.18) ein schwaches lokales Minimum, falls eine Zahl $\varepsilon>0$ derart existiert, dass die Ungleichung

$$J\big(x(\cdot),u(\cdot)\big)\ge J\big(x_*(\cdot),u_*(\cdot)\big)$$

für alle $\big(x(\cdot),u(\cdot)\big)\in\mathscr{A}_{\mathrm{adm}}$ mit $\|x(\cdot)-x_*(\cdot)\|_{C_1}\le\varepsilon$, $\|u(\cdot)-u_*(\cdot)\|_\infty\le\varepsilon$ gilt.

Für die Aufgabe (1.15)–(1.18) bezeichnet $L:\mathbb{R}\times\mathbb{R}^n\times\mathbb{R}^n\times\mathbb{R}^m\times\mathbb{R}^n\times\mathbb{R}\to\mathbb{R}$ die Funktion

$$L(t,x,\dot{x},u,p,\lambda_0)=\lambda_0 f(t,x,u)+\langle p,\dot{x}-\varphi(t,x,u)\rangle.$$

Theorem 1.15. *Es sei $\big(x_*(\cdot),u_*(\cdot)\big)\in\mathscr{A}_{\mathrm{adm}}\cap\mathscr{A}_{\mathrm{Lip}}$. Ist $\big(x_*(\cdot),u_*(\cdot)\big)$ ein schwaches lokales Minimum der Aufgabe (1.15)–(1.18), dann existieren nicht gleichzeitig verschwindende Multiplikatoren $\lambda_0\ge0$, $l_0\in\mathbb{R}^{s_0},l_1\in\mathbb{R}^{s_1}$ und $p(\cdot)\in C_1([t_0,t_1],\mathbb{R}^n)$ derart, dass auf $[t_0,t_1]$*

(a) die Euler-Lagrangesche Gleichung für die Funktion L bezüglich x,

$$\Big(-\frac{d}{dt} L_{\dot{x}} + L_x \Big)\Big|_{(x_*(t),u_*(t))} = 0 \tag{1.19}$$

mit den Randbedingungen

$$L_{\dot{x}}\big|_{(x_*(t_0),u_*(t_0))} = h_0'^{\,T}\big(x_*(t_0)\big)l_0, \quad L_{\dot{x}}\big|_{(x_*(t_1),u_*(t_1))} = -h_1'^{\,T}\big(x_*(t_1)\big)l_1 \tag{1.20}$$

erfüllt ist;

(b) die Euler-Lagrangesche Gleichung für die Funktion L bezüglich u gilt:

$$L_u\big|_{(x_*(t),u_*(t))} = 0. \tag{1.21}$$

Besitzen außerdem die Matrizen $h_i'\big(x_*(t_i)\big)$ maximalen Rang, d. h. $\operatorname{rank} h_i'\big(x_*(t_i)\big) = s_i$ *für $i = 0, 1$, dann gilt $\lambda_0 \neq 0$ und wir dürfen $\lambda_0 = 1$ wählen.*

Bemerkung 1.16. Ausführlich geschrieben nehmen die Bedingungen (1.19)–(1.21) in Hamiltonscher Form die folgende Gestalt an: Die Gleichung (1.19) stellt eine Differentialgleichung, die sogenannte adjungierte Gleichung,

$$\dot{p}(t) = -\varphi_x^T\big(t, x_*(t), u_*(t)\big)p(t) + \lambda_0 f_x\big(t, x_*(t), u_*(t)\big),$$

für den Multiplikator $p(\cdot) \in C_1([t_0, t_1], \mathbb{R}^n)$ dar. Die Randbedingungen (1.20) treten als die Transversalitätsbedingungen

$$p(t_0) = h_0'^{\,T}\big(x_*(t_0)\big)l_0, \qquad p(t_1) = -h_1'^{\,T}\big(x_*(t_1)\big)l_1,$$

für die Adjungierte $p(\cdot)$ auf. Schließlich ist die Gleichung

$$\varphi_u^T\big(t, x_*(t), u_*(t)\big)p(t) = \lambda_0 f_u\big(t, x_*(t), u_*(t)\big)$$

die ausführlich geschriebene Darstellung der Bedingung (1.21). □

Bemerkung 1.17. In der Lagrange-Aufgabe geben die Randbedingungen (1.17) Einschränkungen der zulässigen Trajektorie $x(\cdot)$ in den Punkten $t = t_0$ und $t = t_1$ vor. Wir schließen dabei den Fall nicht aus, dass diese Einschränkungen nicht für alle Koordinaten der Punkte $x(t_0)$ und $x(t_1)$ gelten. Sind die Komponenten $x_i(t_0)$, $x_j(t_1)$ für gewisse $i, j \in \{1, ..., n\}$ frei, so gelten die Transversalitätsbedingungen $p_i(t_0) = 0$ und $p_j(t_1) = 0$. Liegt die Lagrange-Aufgabe mit freiem linken bzw. rechten Endpunkt vor, d. h. durch wenigstens eine der Abbildung $h_0(x), h_1(x)$ sind keine Einschränkungen an die Punkte $x(t_0)$ bzw. $x(t_1)$ definiert, dann ergeben sich die Transversalitätsbedingungen $p(t_0) = 0$ bzw. $p(t_1) = 0$. Wegen der Nichttrivialität der Multiplikatoren folgt in diesem Fall aus der adjungierten Gleichung unmittelbar der normale Fall, d. h. $\lambda_0 = 1$. □

Während die Euler-Lagrangesche Gleichung (1.5) für die Aufgabe (1.1)–(1.2) der Variationsrechnung das Analogon zur Fermatschen Gleichung $J'\big(x_*(\cdot)\big) = 0$ darstellt, findet im Satz 1.15 das Lagrangesche Prinzip seine Bestätigung. Dazu versehen wir die Nebenbedingungen mit geeigneten Lagrangeschen Multiplikatoren und bilden die Lagrange-Funktion $\mathscr{L}$,

$$\mathscr{L} : C_1([t_0,t_1],\mathbb{R}^n) \times C([t_0,t_1],\mathbb{R}^m) \times C_1([t_0,t_1],\mathbb{R}^n) \times \mathbb{R} \times \mathbb{R}^{s_0} \times \mathbb{R}^{s_1},$$

mit Hilfe der zur Aufgabe (1.15)–(1.18) definierten Funktion L auf folgende Weise:

$$\begin{aligned} \mathscr{L} &= \mathscr{L}\big(x(\cdot),u(\cdot),p(\cdot),\lambda_0,l_0,l_1\big) \\ &= \int_{t_0}^{t_1} L\big(t,x(t),\dot{x}(t),u(t),p(t),\lambda_0\big)\,dt + \big\langle l_0, h_0\big(x(t_0)\big)\big\rangle + \big\langle l_1, h_1\big(x(t_1)\big)\big\rangle. \end{aligned}$$

Gemäß dem Lagrangeschen Prinzip betrachten wir die Aufgabe ohne Nebenbedingungen:

$$\inf_{(x(\cdot),u(\cdot))} \mathscr{L}.$$

Halten wir $u_*(\cdot)$ fest, so führt dies zu einer Bolza-Aufgabe (1.11) in Vektorform,

$$\int_{t_0}^{t_1} L\big(t,x(t),\dot{x}(t),u_*(t),p(t),\lambda_0\big)\,dt + \big\langle l_0, h_0\big(x(t_0)\big)\big\rangle + \big\langle l_1, h_1\big(x(t_1)\big)\big\rangle \to \inf,$$

und (1.19), (1.20) ergeben sich in voller Übereinstimmung mit Satz 1.14.
Wird in der Lagrange-Funktion $\mathscr{L}$ die Trajektorie $x_*(\cdot)$ festgehalten, dann ergibt sich bezüglich $u(\cdot) \in C([t_0,t_1],\mathbb{R}^m)$ die Aufgabe

$$\int_{t_0}^{t_1} f_1\big(t,u(t)\big)\,dt := \int_{t_0}^{t_1} L\big(t,x_*(t),\dot{x}_*(t),u(t),p(t),\lambda_0\big)\,dt \to \inf.$$

Setzen wir darin $u(t) = \dot{w}(t)$ mit der Funktion $w(\cdot) \in C_1([t_0,t_1],\mathbb{R}^m)$, dann entsteht die Grundaufgabe mit freien Endpunkten

$$\int_{t_0}^{t_1} f_1\big(t,\dot{w}(t)\big)\,dt \to \inf.$$

Aufgrund Teil (b) in Folgerung 1.7 und Folgerung 1.9 erhalten wir (1.21).

Beispiel 1.18. Wir betrachten ein einfaches Vorsorgemodell über dem gegebenen Zeitrahmen $[0,T]$ und wollen das optimale Konsumptionsverhalten charakterisieren. Dabei bezeichne $K(\cdot)$ den Kapitalstock, $L(\cdot)$ die Entlohnung für die erbrachte Arbeitsleistung und $C(\cdot)$ die Konsumption. Weiterhin seien U eine zweimal stetig differenzierbar, monoton wachsende und streng konkave Nutzenfunktion, d. h. $U \in C_2$, $U' > 0$, $U'' < 0$, und es seien $r, \varrho > 0$ die Zins- bzw. Diskontrate. Die Lohnfunktion $L(\cdot)$, sowie der Kapitalbestand K_0 zu Beginn und das angestrebte Vermögen K_T zum Zeitpunkt T sind vorgegeben.

Das Modell lautet mit diesen Größen

$$J\big(K(\cdot),C(\cdot)\big)=\int_0^T e^{-\varrho t}U\big(C(t)\big)\,dt\to\sup,$$
$$\dot K(t)=L(t)-C(t)+rK(t),\qquad K(0)=K_0,\quad K(T)=K_T,\qquad C(t)\in\mathbb{R}.$$

Als zulässige Paare fassen wir $\big(K(\cdot),C(\cdot)\big)\in C_1([0,T],\mathbb{R})\times C([0,T],\mathbb{R})$ auf.

Wir wenden die notwendigen Bedingungen (1.19)–(1.21) in der Form nach Bemerkung 1.16 an: Die adjungierte Gleichung und die Transversalitätsbedingungen liefern

$$\dot p(t)=-rp(t),\qquad p(t)=l_0e^{-rt}.$$

Weiterhin erhalten wir aus der Euler-Lagrange-Gleichung bezüglich C die Bedingung

$$p(t)=\lambda_0e^{-\varrho t}U'\big(C_*(t)\big).$$

Der Fall $\lambda_0=0$ kann ausgeschlossen werden, da ansonsten sämtliche Multiplikatoren verschwinden würden. Ferner muss $l_0>0$ gelten. Das Konsumptionsverhalten reduziert sich damit auf die Auswertung der Bedingung

$$U'\big(C_*(t)\big)=l_0e^{(\varrho-r)t}.$$

(a) $r=\varrho$: In diesem Fall ist $C_*(t)$ über $[0,T]$ konstant.

(b) $r>\varrho$: Da U konkav ist, ist $C_*(t)$ über $[0,T]$ monoton wachsend.

(c) $r<\varrho$: Es ist $C_*(t)$ über $[0,T]$ monoton fallend.

Ist daher die Teuerungsrate ϱ kleiner bzw. größer als die Zinsrate r, so wird in stetig höher bzw. geringer werdendem Maße konsumiert. Das eindeutige Konsumptionsverhalten $C_*(\cdot)$ ergibt sich abschließend aus den Randbedingungen $K_*(0)=K_0$ und $K_*(T)=K_T$. □

1.2.2. Definition und Eigenschaften der Extremalaufgabe

Sei $\big(x_*(\cdot),u_*(\cdot)\big)\in\mathscr{A}_{\mathrm{Lip}}$. Die zugehörige Menge U_γ ist wie folgt festgelegt

$$U_\gamma=\{(t,x,u)\in[t_0,t_1]\times\mathbb{R}^n\times\mathbb{R}^m\mid\|x-x_*(t)\|\le\gamma,\|u-u_*(t)\|\le\gamma\}.$$

Es bezeichne $\big(\xi_0(\cdot),v_0(\cdot)\big)$ den Ursprung des Raumes $C_1([t_0,t_1],\mathbb{R}^n)\times C([t_0,t_1],\mathbb{R}^m)$. Wir definieren für $\big(\xi(\cdot),v(\cdot)\big)\in C_1([t_0,t_1],\mathbb{R}^n)\times C([t_0,t_1],\mathbb{R}^m)$ die Abbildungen

$$\begin{aligned}\tilde J\big(\xi(\cdot),v(\cdot)\big)&=\int_{t_0}^{t_1}f\big(t,x_*(t)+\xi(t),u_*(t)+v(t)\big)\,dt,\\ F\big(\xi(\cdot),v(\cdot)\big)(t)&=\dot x_*(t)+\dot\xi(t)-\varphi\big(t,x_*(t)+\xi(t),u_*(t)+v(t)\big),\quad t\in[t_0,t_1],\\ H_i\big(\xi(\cdot)\big)&=h_i\big(x_*(t_i)+\xi(t_i)\big),\quad i=0,1.\end{aligned}$$

Dabei fassen wir sie als Abbildungen zwischen folgenden Funktionenräumen auf:

$$\begin{aligned} \tilde{J} &: C_1([t_0,t_1],\mathbb{R}^n)\times C([t_0,t_1],\mathbb{R}^m)\to\mathbb{R},\\ F &: C_1([t_0,t_1],\mathbb{R}^n)\times C([t_0,t_1],\mathbb{R}^m)\to C([t_0,t_1],\mathbb{R}^n),\\ H_i &: C_1([t_0,t_1],\mathbb{R}^n)\to\mathbb{R}^{s_i},\quad i=0,1. \end{aligned}$$

Offensichtlich sind die Abbildungen $H_i\big(\xi(\cdot)\big)$, $i=0,1$, stetig differenzierbar.

Lemma 1.19. *$\tilde{J}\big(\xi(\cdot),v(\cdot)\big)$ ist im Punkt $\big(\xi_0(\cdot),v_0(\cdot)\big)$ Fréchet-differenzierbar und es gilt*

$$\begin{aligned} \tilde{J}'\big(\xi_0(\cdot),v_0(\cdot)\big)\big(\xi(\cdot),v(\cdot)\big) &= \int_{t_0}^{t_1}\big\langle f_x\big(t,x_*(t),u_*(t)\big),\xi(t)\big\rangle\,dt\\ &\quad+\int_{t_0}^{t_1}\big\langle f_u\big(t,x_*(t),u_*(t)\big),v(t)\big\rangle\,dt. \end{aligned}$$

Beweis Nach Voraussetzung **(A)** der Lagrange-Aufgabe (1.15)–(1.18) ist die Abbildung f auf der Menge U_γ stetig differenzierbar. Daher ist $\tilde{J}$ auf U_γ wohldefiniert. Ferner ist der lineare Operator $\tilde{J}'\big(\xi_0(\cdot),v_0(\cdot)\big)$ stetig. Sei $\varepsilon>0$ gegeben. Aufgrund der Stetigkeit von f_x und f_u auf U_γ gibt es eine Zahl $\lambda_0>0$ mit

$$\begin{aligned} \big\|f_x\big(t,x_*(t)+\lambda\xi(t),u_*(t)+\lambda v(t)\big)-f_x\big(t,x_*(t),u_*(t)\big)\big\| &\le \frac{\varepsilon}{2(t_1-t_0)},\\ \big\|f_u\big(t,x_*(t)+\lambda\xi(t),u_*(t)+\lambda v(t)\big)-f_u\big(t,x_*(t),u_*(t)\big)\big\| &\le \frac{\varepsilon}{2(t_1-t_0)} \end{aligned}$$

für alle $t\in[t_0,t_1]$, $\|\xi(\cdot)\|_{C_1}\le 1$, $\|v(\cdot)\|_\infty\le 1$ und alle $0<\lambda\le\lambda_0$.
Die Funktion $g(s)=f\big(t,x_*(t)+\lambda s\xi(t),u_*(t)+\lambda sv(t)\big)$ ist nach Voraussetzung **(A)** stetig differenzierbar und besitzt die Ableitung

$$\begin{aligned} g'(s) &= \big\langle f_x\big(t,x_*(t)+\lambda s\xi(t),u_*(t)+\lambda sv(t)\big),\lambda\xi(t)\big\rangle\\ &\quad+\big\langle f_u\big(t,x_*(t)+\lambda s\xi(t),u_*(t)+\lambda sv(t)\big),\lambda v(t)\big\rangle. \end{aligned}$$

Ferner gilt nach dem Hauptsatz der Differential- und Integralrechnung

$$g(1)-g(0)=\int_0^1 g'(s)\,ds.$$

Damit können wir den Ausdruck

$$\frac{\tilde{J}\big(\xi_0(\cdot)+\lambda\xi(\cdot),v_0(\cdot)+\lambda v(\cdot)\big)-\tilde{J}\big(\xi_0(\cdot),v_0(\cdot)\big)}{\lambda}$$

in die Form

$$\begin{aligned} \int_{t_0}^{t_1}\Bigg[\int_0^1\Big[&\big\langle f_x\big(t,x_*(t)+\lambda s\xi(t),u_*(t)+\lambda sv(t)\big),\xi(t)\big\rangle\\ &+\big\langle f_u\big(t,x_*(t)+\lambda s\xi(t),u_*(t)+\lambda sv(t)\big),v(t)\big\rangle\Big]\,ds\Bigg]\,dt \end{aligned}$$

bringen. Damit erhalten wir

$$\begin{aligned}
&\left|\frac{\tilde J\big(\xi_0(\cdot)+\lambda\xi(\cdot),v_0(\cdot)+\lambda v(\cdot)\big)-\tilde J\big(\xi_0(\cdot),v_0(\cdot)\big)}{\lambda}-\tilde J'\big(\xi_0(\cdot),v_0(\cdot)\big)\big(\xi(\cdot),v(\cdot)\big)\right|\\
&\quad\le\ \left|\int_{t_0}^{t_1}\left[\int_0^1\big\langle f_x\big(t,x_*(t)+\lambda s\xi(t),u_*(t)+\lambda sv(t)\big)-f_x\big(t,x_*(t),u_*(t)\big),\xi(t)\big\rangle ds\right]dt\right|\\
&\qquad+\left|\int_{t_0}^{t_1}\left[\int_0^1\big\langle f_u\big(t,x_*(t)+\lambda s\xi(t),u_*(t)+\lambda sv(t)\big)-f_u\big(t,x_*(t),u_*(t)\big),v(t)\big\rangle ds\right]dt\right|\\
&\quad\le\ \int_{t_0}^{t_1}\frac{\varepsilon}{t_1-t_0}\big(\|\xi(t)\|+\|v(t)\|\big)\,dt\le\varepsilon
\end{aligned}$$

für alle $\|\xi(\cdot)\|_{C_1}\le 1$, $\|v(\cdot)\|_\infty\le 1$ und alle $0<\lambda\le\lambda_0$. ■

Lemma 1.20. *Die Abbildung F ist in $\big(\xi_0(\cdot),v_0(\cdot)\big)$ Fréchet-differenzierbar und es gilt*

$$\begin{aligned}
&\big[F'\big(\xi_0(\cdot),v_0(\cdot)\big)\big(\xi(\cdot),v(\cdot)\big)\big](t)\\
&\quad=\ \dot\xi(t)-\varphi_x\big(t,x_*(t),u_*(t)\big)\xi(t)-\varphi_u\big(t,x_*(t),u_*(t)\big)v(t),\qquad t\in[t_0,t_1].
\end{aligned}$$

Beweis Aufgrund der gleichen Argumente wie im Beweis des letzten Lemma ist die Abbildung F auf der Menge U_γ wohldefiniert. Zudem ist der lineare Operator $F'\big(\xi_0(\cdot),v_0(\cdot)\big)$ stetig. Ferner lässt sich mit einfachen Umformungen die Differenz

$$\left[\frac{F\big(\xi_0(\cdot)+\lambda\xi(\cdot),v_0(\cdot)+\lambda v(\cdot)\big)-F\big(\xi_0(\cdot),v_0(\cdot)\big)}{\lambda}-F'\big(\xi_0(\cdot),v_0(\cdot)\big)\big(\xi(\cdot),v(\cdot)\big)\right](t)$$

in die folgende Gestalt bringen:

$$\begin{aligned}
&-\int_0^1\big[\varphi_x\big(t,x_*(t)+\lambda s\xi(t),u_*(t)+\lambda sv(t)\big)-\varphi_x\big(t,x_*(t),u_*(t)\big)\big]\xi(t)ds\\
&-\int_0^1\big[\varphi_u\big(t,x_*(t)+\lambda s\xi(t),u_*(t)+\lambda sv(t)\big)-\varphi_u\big(t,x_*(t),u_*(t)\big)\big]v(t)ds.
\end{aligned}$$

Aufgrund der Stetigkeit von φ_x und φ_u nach **(A)** gibt es eine Zahl $\lambda_0>0$ mit

$$\begin{aligned}
&\left\|\left[\frac{F\big(\xi_0(\cdot)+\lambda\xi(\cdot),v_0(\cdot)+\lambda v(\cdot)\big)-F\big(\xi_0(\cdot),v_0(\cdot)\big)}{\lambda}-F'\big(\xi_0(\cdot),v_0(\cdot)\big)\big(\xi(\cdot),v(\cdot)\big)\right](\cdot)\right\|_\infty\\
&\quad\le\ \max_{t\in[t_0,t_1]}\left\{\int_0^1\Big\|\varphi_x\big(t,x_*(t)+\lambda s\xi(t),u_*(t)+\lambda sv(t)\big)-\varphi_x\big(t,x_*(t),u_*(t)\big)\Big\|ds\right.\\
&\qquad\left.+\int_0^1\Big\|\varphi_u\big(t,x_*(t)+\lambda s\xi(t),u_*(t)+\lambda sv(t)\big)-\varphi_u\big(t,x_*(t),u_*(t)\big)\Big\|ds\right\}\le\varepsilon
\end{aligned}$$

für alle $\|\xi(\cdot)\|_{C_1}\le 1$, $\|v(\cdot)\|_\infty\le 1$ und alle $0<\lambda\le\lambda_0$. ■

Lemma 1.21. *Die Abbildung F ist in $\big(\xi_0(\cdot), v_0(\cdot)\big)$ stetig differenzierbar.*

Beweis Mit den gleichen Argumenten, mit denen im vorhergehenden Beweis die Fréchet-Differenzierbarkeit der Abbildung F im Punkt $\big(\xi_0(\cdot), v_0(\cdot)\big)$ gezeigt wurde, lässt sich die Fréchet-Differenzierbarkeit der Abbildung F in allen Punkten $\big(\xi(\cdot), v(\cdot)\big)$ mit

$$\big\|\big(\xi(\cdot), v(\cdot)\big)\big\|_{C_1\times C} < \gamma$$

zeigen. Da $x_*(\cdot), u_*(\cdot)$ stetig und nach Voraussetzung **(A)** die Abbildung φ stetig differenzierbar ist, sind φ_x φ_u auf der kompakten Menge U_γ gleichmäßig stetig. Daher gibt es zu jedem $\varepsilon > 0$ ein $\delta > 0$ derart, dass bezüglich der Operatornorm die Beziehung

$$\begin{aligned}
&\big\|F'\big(\xi(\cdot), v(\cdot)\big) - F'\big(\xi_0(\cdot), v_0(\cdot)\big)\big\| \\
&\quad\le \max_{t\in[t_0,t_1]} \Big[\big\|\varphi_x\big(t, x_*(t)+\xi(t), u_*(t)+v(t)\big) - \varphi_x\big(t, x_*(t), u_*(t)\big)\big\| \\
&\qquad\qquad +\big\|\varphi_u\big(t, x_*(t)+\xi(t), u_*(t)+v(t)\big) - \varphi_u\big(t, x_*(t), u_*(t)\big)\big\|\Big] \le \varepsilon
\end{aligned}$$

für alle $\|\xi(\cdot)\|_{C_1} \le \delta$,$\|v(\cdot)\|_\infty \le \delta$ gilt. ■

Lemma 1.22. *Für jedes $v(\cdot) \in C([t_0,t_1],\mathbb{R}^m)$ ist der lineare Operator*

$$\xi(\cdot) \to F'\big(\xi_0(\cdot), v_0(\cdot)\big)\big(\xi(\cdot), v(\cdot)\big)$$

surjektiv. Ferner ist daher die Abbildung F im Punkt $\big(\xi_0(\cdot), v_0(\cdot)\big)$ regulär.

Beweis Wir setzen $A(t) = \varphi_x\big(t, x_*(t), u_*(t)\big)$ und $a(t) = \varphi_u\big(t, x_*(t), u_*(t)\big)v(t)$. Da wir den Operator $F'\big(\xi_0(\cdot), v_0(\cdot)\big)$ als Abbildung in den Raum $C([t_0,t_1],\mathbb{R}^n)$ auffassen, ist der Nachweis von Lemma 1.22 äquivalent zur Aussage, dass es zu jedem $z(\cdot) \in C([t_0,t_1],\mathbb{R}^n)$ ein $\xi(\cdot) \in C_1([t_0,t_1],\mathbb{R}^n)$ gibt mit

$$\dot\xi(t) = A(t)\xi(t) + z(t), \qquad t \in [t_0,t_1].$$

Dies besagt aber gerade Satz D.3. ■

1.2.3. Lagrangesche Multiplikatorenregel

In der Lagrange-Aufgabe (1.15)–(1.18) sei $\big(x_*(\cdot), u_*(\cdot)\big) \in \mathscr{A}_{\rm adm} \cap \mathscr{A}_{\rm Lip}$.
Auf $C_1([t_0,t_1],\mathbb{R}^n) \times C([t_0,t_1],\mathbb{R}^m) \times C^*([t_0,t_1],\mathbb{R}^n) \times \mathbb{R} \times \mathbb{R}^{s_0} \times \mathbb{R}^{s_1}$ definieren wir zur Extremalaufgabe

$$\tilde J\big(\xi(\cdot), v(\cdot)\big) \to \inf, \qquad F\big(\xi(\cdot), v(\cdot)\big) = 0, \qquad H_i\big(\xi(\cdot)\big) = 0, \quad i = 0,1, \tag{1.22}$$

die Lagrange-Funktion $\mathscr{L} = \mathscr{L}\big(\xi(\cdot), v(\cdot), y^*, \lambda_0, l_0, l_1\big)$,

$$\mathscr{L} = \lambda_0 \tilde J\big(\xi(\cdot), v(\cdot)\big) + \big\langle y^*, F\big(\xi(\cdot), v(\cdot)\big)\big\rangle + l_0^T H_0\big(\xi(\cdot)\big) + l_1^T H_1\big(\xi(\cdot)\big).$$

Theorem 1.23 (Extremalprinzip)**.** *Sei* $\big(x_*(\cdot), u_*(\cdot)\big) \in \mathscr{A}_{\mathrm{Lip}} \cap \mathscr{A}_{\mathrm{adm}}$*. Ist* $\big(x_*(\cdot), u_*(\cdot)\big)$ *ein schwaches lokales Minimum der Aufgabe (1.15)–(1.18), dann existieren nicht gleichzeitig verschwindende Lagrangesche Multiplikatoren* $\lambda_0 \geq 0$*,* $y^* \in C^*([t_0, t_1], \mathbb{R}^n)$*,* $l_0 \in \mathbb{R}^{s_0}$ *und* $l_1 \in \mathbb{R}^{s_1}$ *derart, dass folgende Beziehungen gelten:*

$$\mathscr{L}_\xi\big(\xi_0(\cdot), v_0(\cdot), \lambda_0, y^*, l_0, l_1\big) = 0, \qquad \mathscr{L}_v\big(\xi_0(\cdot), v_0(\cdot), \lambda_0, y^*, l_0, l_1\big) = 0. \tag{1.23}$$

Sind zudem die Abbildungen $H_0\big(\xi(\cdot)\big), H_1\big(\xi(\cdot)\big)$ *im Punkt* $\xi_0(\cdot)$ *regulär, dann gilt* $\lambda_0 = 1$*.*

Beweis Wir fassen die Gleichungsrestriktionen in der Abbildung

$$\Phi\big(\xi(\cdot), v(\cdot)\big) = \Big(F\big(\xi(\cdot), v(\cdot)\big), H_0\big(\xi(\cdot)\big), H_1\big(\xi(\cdot)\big)\Big)$$

zusammen. Gemäß Lemma 1.21 ist diese Abbildung in $\big(\xi_0(\cdot), v_0(\cdot)\big)$ stetig differenzierbar mit dem Ableitungsoperator

$$\Phi'\big(\xi_0(\cdot), v_0(\cdot)\big) = \Big(F'\big(\xi_0(\cdot), v_0(\cdot)\big), H_0'\big(\xi_0(\cdot)\big), H_1'\big(\xi_0(\cdot)\big)\Big).$$

Aufgrund von Lemma 1.22 ist die Abbildung $F\big(\xi(\cdot), v(\cdot)\big)$ im Punkt $\big(\xi_0(\cdot), v_0(\cdot)\big)$ regulär. Ferner sind $\operatorname{Im} H_i'\big(\xi(\cdot)\big)$ abgeschlossene Teilmengen der endlich-dimensionalen Räume $\mathbb{R}^{s_i}$. Daher stimmt das Bild des Operators $\Phi'\big(\xi_0(\cdot), v_0(\cdot)\big)$ mit $Z = C([t_0, t_1], \mathbb{R}^n) \times \mathbb{R}^{s_0} \times \mathbb{R}^{s_1}$ oder mit einem abgeschlossenen Teilraum von Z überein. Es bezeichne $L = \operatorname{Im} \Phi'\big(\xi_0(\cdot), v_0(\cdot)\big)$.

Im entarteten Fall, in dem L ein echter abgeschlossener Teilraum von Z ist, gilt

$$\operatorname{Im} H_0'\big(\xi_0(\cdot)\big) \times \operatorname{Im} H_1'\big(\xi_0(\cdot)\big) \subset \mathbb{R}^{s_0} \times \mathbb{R}^{s_1}.$$

Daher gibt es Vektoren $l_0 \in \mathbb{R}^{s_0}, l_1 \in \mathbb{R}^{s_1}$ mit $(l_0, l_1) \neq 0$ und

$$0 = l_0^T v_0 + l_1^T v_1 \qquad \text{für alle } v_0 \in \operatorname{Im} H_0',\, v_1 \in \operatorname{Im} H_1'.$$

Setzen wir $\lambda_0 = 0$ und $y^* = 0$, dann gelten die Bedingungen des Extremalprinzips.

Im regulären Fall, d. h. $L = Z$, dürfen wir den Satzes von Ljusternik (Theorem B.14) auf die Abbildung Φ im Punkt $\big(\xi_0(\cdot), v_0(\cdot)\big)$ anwenden. Demzufolge stimmt im Punkt $\big(\xi_0(\cdot), v_0(\cdot)\big)$ der lokale Tangentialkegel an die Menge

$$M = \big\{ \big(\xi(\cdot), v(\cdot)\big) \,\big|\, \Phi\big(\xi(\cdot), v(\cdot)\big) = 0 \big\}$$

mit dem Kern des Operators $\Phi'\big(\xi_0(\cdot), v_0(\cdot)\big)$ überein. Für $\big(\xi(\cdot), v(\cdot)\big) \in \operatorname{Ker} \Phi'\big(\xi_0(\cdot), v_0(\cdot)\big)$ existiert eine Variation

$$\big(\xi_\varepsilon(\cdot), v_\varepsilon(\cdot)\big) = \big(\xi_0(\cdot), v_0(\cdot)\big) + \varepsilon\big(\xi(\cdot), v(\cdot)\big) + r(\varepsilon), \qquad \lim_{\varepsilon \to 0} \frac{\|r(\varepsilon)\|}{\varepsilon} = 0,$$

derart, dass für alle $|\varepsilon| \leq \varepsilon_0$, $\varepsilon_0 > 0$, die Gleichung $\Phi\big(\xi_\varepsilon(\cdot), v_\varepsilon(\cdot)\big) = 0$ gilt. Dabei dürfen wir das Intervall $[0, \varepsilon_0]$ in der Definition des lokalen Tangentialkegels auf $[-\varepsilon_0, \varepsilon_0]$ erweitern,

da $\operatorname{Ker}\Phi'\big(\xi_0(\cdot),v_0(\cdot)\big)$ ein linearer Teilraum ist.
Die Funktion $\varphi(\varepsilon)=\tilde J\big(\xi_\varepsilon(\cdot),v_\varepsilon(\cdot)\big)$ besitzt in $\varepsilon=0$ ein lokales Minimum. Daher gilt

$$\varphi'(0)=\tilde J'\big(\xi_0(\cdot),v_0(\cdot)\big)\big(\xi(\cdot),v(\cdot)\big)=0.$$

Diese Beziehung muss für alle $\big(\xi(\cdot),v(\cdot)\big)\in\operatorname{Ker}\Phi'\big(\xi_0(\cdot),v_0(\cdot)\big)$ gelten. Daher ist

$$\tilde J'\big(\xi_0(\cdot),v_0(\cdot)\big)\in\Big(\operatorname{Ker}\Phi'\big(\xi_0(\cdot),v_0(\cdot)\big)\Big)^\perp.$$

Nach dem Satz vom abgeschlossenen Bild (Theorem B.4) existiert ein $z^*\in Z^*$ mit

$$\begin{aligned}0&=\tilde J'\big(\xi_0(\cdot),v_0(\cdot)\big)+\Phi'^*\big(\xi_0(\cdot),v_0(\cdot)\big)z^*\\&=\tilde J'\big(\xi_0(\cdot),v_0(\cdot)\big)+F'^*\big(\xi_0(\cdot),v_0(\cdot)\big)y^*+H_0'^T\big(\xi_0(\cdot)\big)l_0+H_1'^T\big(\xi_0(\cdot)\big)l_1.\end{aligned}$$

Damit ist der reguläre Fall mit $\lambda_0=1$ in Satz 1.23 gezeigt. ■

1.2.4. Beweisschluss

Wir schließen den Beweis von Theorem 1.15 in diesem Abschnitt ab. Dazu zeigen wir, dass wir dem abstrakten Multiplikator $y^*\in C^*([t_0,t_1],\mathbb{R}^n)$ im Extremalprinzip 1.23 eine Funktion $p(\cdot)$ zuordnen können, mit der die notwendigen Bedingungen (1.19)–(1.21) in der Lagrange-Aufgabe gelten. Die Lagrange-Funktion $\mathscr{L}$ zur Extremalaufgabe (1.22) ist

$$\mathscr{L}=\lambda_0\tilde J\big(\xi(\cdot),v(\cdot)\big)+\big\langle y^*,F\big(\xi(\cdot),v(\cdot)\big)\big\rangle+l_0^TH_0\big(\xi(\cdot)\big)+l_1^TH_1\big(\xi(\cdot)\big).$$

Dabei ist $y^*\in C^*([t_0,t_1],\mathbb{R}^n)$. Nach dem Rieszschen Darstellungssatz (Folgerung B.7) existiert eine Vektorfunktion $\mu(\cdot)=\big(\mu_1(\cdot),...,\mu_n(\cdot)\big)$, wobei die $\mu_i(\cdot)$ von beschränkter Variation und mit eventueller Ausnahme des Punktes t_0 rechtsseitig stetig sind, mit

$$\big\langle y^*,F\big(\xi(\cdot),v(\cdot)\big)\big\rangle=\int_{t_0}^{t_1}\Big[\dot x_*(t)+\dot\xi(t)-\varphi\big(t,x_*(t)+\xi(t),u_*(t)+v(t)\big)\Big]^T\,d\mu(t).$$

Dann liefert die erste Gleichung in (1.23) des Extremalprinzips

$$\begin{aligned}0&=\int_{t_0}^{t_1}\big\langle\lambda_0f_x\big(t,x_*(t),u_*(t)\big),\xi(t)\big\rangle\,dt+\int_{t_0}^{t_1}\Big[\dot\xi(t)-\varphi_x\big(t,x_*(t),u_*(t)\big)\xi(t)\Big]^T\,d\mu(t)\\&\quad+\big\langle l_0,h_0'\big(x_*(t_0)\big)\xi(t_0)\big\rangle+\big\langle l_1,h_1'\big(x_*(t_1)\big)\xi(t_1)\big\rangle\end{aligned}\tag{1.24}$$

für alle $\xi(\cdot)\in C_1([t_0,t_1],\mathbb{R}^n)$. Wir setzen der Übersichtlichkeit halber

$$a(t)=f_x\big(t,x_*(t),u_*(t)\big),\qquad A(t)=\varphi_x\big(t,x_*(t),u_*(t)\big),\qquad\Gamma_i=h_i'\big(x_*(t_i)\big).$$

Nach der Regel der partiellen Integration gilt

$$\int_{t_0}^{t_1}\langle\lambda_0a(t),\xi(t)\rangle\,dt=\int_{t_0}^{t_1}\Big[\int_t^{t_1}\lambda_0a(s)\,ds\Big]^T\dot\xi(t)\,dt+\Big[\int_{t_0}^{t_1}\lambda_0a(t)\,dt\Big]^T\xi(t_0).$$

Im zweiten Summanden verfahren wir mit der Dichtefunktion $A(t)$ wie folgt:

$$\int_{t_0}^{t_1} [A(t)\xi(t)]^T \, d\mu(t) = \int_{t_0}^{t_1} [\xi(t)]^T \, d\nu(t), \qquad \nu(t) = \int_{t_0}^{t} A(s) \, d\mu(s).$$

Die Funktion $\nu(\cdot)$ ist von beschränkter Variation und wir erhalten nach den Regeln für Stieltjes-Integrale

$$\int_{t_0}^{t_1} [A(t)\xi(t)]^T \, d\mu(t) = \int_{t_0}^{t_1} \left[\int_{t}^{t_1} A^T(s) \, d\mu(s) \right]^T \dot{\xi}(t) \, dt + \left[\int_{t_0}^{t_1} A^T(t) \, d\mu(t) \right]^T \xi(t_0).$$

Außerdem erinnern wir an

$$\xi(t_1) = \xi(t_0) + \int_{t_0}^{t_1} \dot{\xi}(t) \, dt.$$

Mit diesen Beziehung können wir (1.24) in folgende Form bringen:

$$\begin{aligned} 0 \;=\; & \int_{t_0}^{t_1} \left[\int_{t}^{t_1} \lambda_0 a(s) \, ds - \int_{t}^{t_1} A^T(s) \, d\mu(s) + \Gamma_1^T l_1 \right]^T \dot{\xi}(t) \, dt + \int_{t_0}^{t_1} [\dot{\xi}(t)]^T \, d\mu(t) \\ & + \left[\Gamma_0^T l_0 + \Gamma_1^T l_1 + \int_{t_0}^{t_1} \lambda_0 a(t) \, dt - \int_{t_0}^{t_1} A^T(t) \, d\mu(t) \right]^T \xi(t_0). \end{aligned} \tag{1.25}$$

Die rechte Seite in (1.25) ist ein stetiges lineares Funktional im Raum $C_1([t_0, t_1], \mathbb{R}^n)$:

$$\langle x^*, \xi(\cdot) \rangle = \int_{t_0}^{t_1} [\dot{\xi}(t)]^T \, d\nu(t) + \langle a, \xi(t_0) \rangle$$

mit

$$\nu(t) \;=\; \mu(t) + \int_{t_0}^{t} \left[\int_{s}^{t_1} \lambda_0 a(\tau) \, d\tau \right] ds - \int_{t_0}^{t} \left[\int_{s}^{t_1} A^T(\tau) \, d\mu(\tau) \right] ds + \Gamma_1^T l_1 t, \tag{1.26}$$

$$a \;=\; \Gamma_0^T l_0 + \Gamma_1^T l_1 + \int_{t_0}^{t_1} \lambda_0 a(t) \, dt - \int_{t_0}^{t_1} A^T(t) \, d\mu(t). \tag{1.27}$$

Wegen der eindeutigen Darstellung (Folgerung B.9) eines stetigen linearen Funktionals im Raum $C_1([t_0, t_1], \mathbb{R}^n)$ und aus der Gleichung $\mathscr{L}_\xi = 0$ ergeben sich

$$\nu(t) \equiv 0, \qquad a = 0. \tag{1.28}$$

Aus (1.26) und (1.28) ist ersichtlich, dass die Vektorfunktion $\mu(\cdot)$ absolutstetig ist. Setzen wir nun $p(t) = \dot{\mu}(t)$, so folgt mit (1.26) und (1.28):

$$p(t) + \int_{t}^{t_1} \lambda_0 a(s) \, ds - \int_{t}^{t_1} A^T(s) p(s) \, d(s) + \Gamma_1^T l_1 = 0. \tag{1.29}$$

Für $t = t_0$ bzw. für $t = t_1$ liefert diese Gleichung zusammen mit (1.27) die Beziehungen

$$p(t_0) = \Gamma_0^T l_0 = {h_0'}^T\big(x_*(t_0)\big) l_0, \qquad p(t_1) = -\Gamma_1^T l_1 = -{h_1'}^T\big(x_*(t_1)\big) l_1.$$

Differenzieren wir schließlich (1.29), so erhalten wir die adjungierte Gleichung

$$\dot p(t) = -A^T(t)p(t) + \lambda_0 a(t) = -\varphi_x^T\big(t, x_*(t), u_*(t)\big)p(t) + \lambda_0 f_x\big(t, x_*(t), u_*(t)\big).$$

Damit sind (1.19) und (1.20) in Theorem 1.15 gezeigt.

Setzen wir in der Lagrange-Funktion $\mathscr{L}$ anstelle von $d\mu(t)$ jetzt $p(t)\,dt$ ein, so liefert die zweite Gleichung in (1.23) für alle $v(\cdot) \in C([t_0, t_1], \mathbb{R}^m)$:

$$0 = \int_{t_0}^{t_1} \Big[\lambda_0 f_u\big(t, x_*(t), u_*(t)\big) - \varphi_u^T\big(t, x_*(t), u_*(t)\big)p(t)\Big]^T v(t)\,dt. \tag{1.30}$$

Die rechte Seite definiert im Raum $C([t_0, t_1], \mathbb{R}^m)$ ein stetiges lineares Funktional. Nach dem Rieszschen Darstellungssatzes (Satz B.6) folgt hieraus

$$\varphi_u^T\big(t, x_*(t), u_*(t)\big)p(t) = \lambda_0 f_u\big(t, x_*(t), u_*(t)\big).$$

Damit ist (1.21) gezeigt und Theorem 1.15 vollständig bewiesen. ■

1.2.5. Das Isoperimetrische Problem

Das Isoperimetrische Problem der Klassischen Variationsrechnung ist folgende Aufgabe:

$$J\big(x(\cdot)\big) = \int_{t_0}^{t_1} f_0\big(t, x(t), \dot x(t)\big)\,dt \to \inf, \tag{1.31}$$

$$\int_{t_0}^{t_1} f_i\big(t, x(t), \dot x(t)\big)\,dt = \alpha_j, \quad j = 1, ..., m, \tag{1.32}$$

$$h_0\big(x(t_0)\big) = 0, \qquad h_1\big(x(t_1)\big) = 0. \tag{1.33}$$

Dabei seien $f_j : \mathbb{R} \times \mathbb{R}^n \times \mathbb{R}^n \to \mathbb{R}$, $j = 0, ..., m$, und $h_i : \mathbb{R}^n \to \mathbb{R}^{s_i}$, $i = 0, 1$.

In der Aufgabe (1.31)–(1.33) sind diejenigen Funktionen $x(\cdot) \in C_1([t_0, t_1], \mathbb{R}^n)$ zulässig, die die isoperimetrischen Beschränkungen (1.32) und die Randbedingungen (1.33) erfüllen. Die Menge $\mathscr{A}_{\text{adm}}$ bezeichnet wieder die Menge der zulässigen Trajektorien $x(\cdot)$. Ferner ist $\mathscr{A}'_{\text{Lip}}$ die Menge aller $x(\cdot) \in C_1([t_0, t_1], \mathbb{R}^n)$, für die die Abbildungen

(A′) $f_j(t, x, \dot x)$, $j = 0, ..., m$, und $h_0(x), h_1(x)$ stetig differenzierbar sind auf der Menge

$$U'_\gamma = \{(t, x, v) \in [t_0, t_1] \times \mathbb{R}^n \times \mathbb{R}^n \mid \|x - x(t)\| \le \gamma, \|v - \dot x(t)\| \le \gamma\}.$$

In der Aufgabe (1.31)–(1.33) bezeichnet $L : \mathbb{R} \times \mathbb{R}^n \times \mathbb{R}^n \times \mathbb{R} \times \mathbb{R}^m \to \mathbb{R}$ die Funktion

$$L(t, x, \dot{x}, \lambda_0, \lambda) = \lambda_0 f_0(t, x, \dot{x}) + \sum_{j=1}^{m} \lambda_j f_j(t, x, \dot{x}) = \sum_{j=0}^{m} \lambda_j f_j(t, x, \dot{x}).$$

Satz 1.24. *Es sei $x_*(\cdot) \in \mathscr{A}_{\text{adm}} \cap \mathscr{A}'_{\text{Lip}}$. Ist $x_*(\cdot)$ ein schwaches lokales Minimum der Aufgabe (1.31)–(1.33), dann existieren nicht gleichzeitig verschwindende Multiplikatoren $\lambda_j \in \mathbb{R}$, $j = 0, ..., m$, und $l_i \in \mathbb{R}^{s_i}$, $i = 0, 1$, derart, dass für die Funktion L die Euler-Lagrange-Gleichung*

$$\Big(-\frac{d}{dt} L_{\dot{x}} + L_x \Big)\Big|_{x_*(t)} = 0 \tag{1.34}$$

auf $[t_0, t_1]$ erfüllt ist und folgende Randbedingungen gelten:

$$L_{\dot{x}}\big|_{x_*(t_0)} = {h_0'}^T\big(x_*(t_0)\big) l_0, \qquad L_{\dot{x}}\big|_{x_*(t_1)} = -{h_1'}^T\big(x_*(t_1)\big) l_1. \tag{1.35}$$

Beweis Im Isoperimetrischen Problem (1.31)–(1.33) setzen wir

$$f = (f_1, ..., f_m)^T, \qquad \alpha = (\alpha_1, ..., \alpha_m)^T, \qquad u = \dot{x}, \qquad \dot{y} = f(t, x, u).$$

Damit ensteht die Lagrange-Aufgabe

$$\begin{aligned}
&\tilde{J}\big(x(\cdot), y(\cdot), u(\cdot)\big) = \int_{t_0}^{t_1} f_0\big(t, x(t), u(t)\big)\, dt \to \inf, \\
&\dot{x}(t) = u(t), \qquad \dot{y}(t) = f\big(t, x(t), u(t)\big), \\
&h_0\big(x(t_0)\big) = 0, \quad h_1\big(x(t_1)\big) = 0, \quad y(t_0) = 0, \quad y(t_1) - \alpha = 0, \quad u(t) \in \mathbb{R}^n.
\end{aligned}$$

Die dazugehörende Funktion $\tilde{L}$ lautet

$$\tilde{L}(t, x, y, \dot{x}, \dot{y}, u, p, q, \lambda_0) = \lambda_0 f_0(t, x, u) + \langle p, \dot{x} - u\rangle + \langle q, \dot{y} - f(t, x, u)\rangle.$$

Betrachten wir zunächst (1.19) bezüglich y, so erhalten wir für $q(\cdot) \in C_1([t_0, t_1], \mathbb{R}^n)$:

$$-\frac{d}{dt} q(t) = 0 \qquad \Rightarrow \qquad q(t) \equiv -\lambda = -(\lambda_1, ..., \lambda_m)^T \in \mathbb{R}^m \quad \text{auf } [t_0, t_1].$$

Damit folgt unmittelbar für (1.19) bezüglich x die Bedingung

$$\frac{d}{dt} \tilde{L}_{\dot{x}}\big|_{(x_*(t), y_*(t), u_*(t))} = \frac{d}{dt} p(t) = \sum_{j=0}^{m} \lambda_j f_{jx}\big(t, x_*(t), u_*(t)\big) = \tilde{L}_x\big|_{(x_*(t), y_*(t), u_*(t))}.$$

Aus den Randbedingungen (1.20) ergibt sich

$$p(t_0) = {h_0'}^T\big(x_*(t_0)\big) l_0, \quad p(t_1) = -{h_1'}^T\big(x_*(t_1)\big) l_1, \quad q(t_0) = q(t_1) = -\lambda = \tilde{l}_0 = -\tilde{l}_1.$$

Abschließend folgt mit $\dot{x}_*(t) = u_*(t)$ aus (1.21) der Zusammenhang

$$\tilde{L}_u\big|_{(x_*(t),y_*(t),u_*(t))} = -p(t) + L_{\dot{x}}\big|_{x_*(t)} = 0.$$

Beachten wir in sämtlichen Bedingungen die Beziehungen

$$\dot{x}_*(t) = u_*(t), \qquad p(t) = L_{\dot{x}}\big|_{x_*(t)},$$

dann ist Satz 1.24 aus Satz 1.15 vollständig abgeleitet. ■

Beispiel 1.25 (Kettenlinie)**.** Eine homogene schwere Kette der Länge l ist an ihren Enden in den Punkten (t_0, x_0) und (t_1, x_1) aufgehängt. Welche Form besitzt sie?

Der Einfachheit halber besitzen die Aufhängepunkte die gleiche Höhe $x_0 = x_1 = h$ und es seien $t_0 = -a, t_1 = a$ mit einem $a > 0$. Damit die Aufgabe sinnvoll gestellt ist, dürfen die Punkte nicht weiter voneinander entfernt sein als die Länge l der Kette, d. h. $l \geq 2a$.

Die Aufgabe der Kettenlinie führt zur Minimierung der gesamten potentiellen Energie,

$$J\big(x(\cdot)\big) = \int_{-a}^{a} x(t)\sqrt{1 + \dot{x}^2(t)}\, dt \to \inf,$$

unter der Isoperimetrischen Beschränkung

$$\int_{-a}^{a} \sqrt{1 + \dot{x}^2(t)}\, dt = l, \qquad l \geq 2a,$$

und den Randbedingungen

$$x(-a) = x(a) = h.$$

Die Euler-Lagrange-Gleichung (1.34) liefert für die Funktion

$$L(x, \dot{x}, \lambda_0, \lambda) = \lambda_0 x\sqrt{1 + \dot{x}^2} + \lambda\sqrt{1 + \dot{x}^2},$$

bei Beachtung des Spezialfalles (c) in Folgerung 1.7, die Differentialgleichung

$$\lambda_0 x_*(t) + \lambda = \frac{1}{k}\sqrt{1 + \dot{x}_*^2(t)}.$$

Ist dabei $\lambda_0 = 0$, so muss $\dot{x}_*(t)$ konstant sein. Dies kann nur für die direkte Verbindungsstrecke gelten, also im Fall $l = 2a$. Es sei nun $l > 2a$ und $\lambda_0 = 1$. Dann erhalten wir aus der Differentialgleichung durch Differentation nach t:

$$\ddot{x}_*(t) = k\sqrt{1 + \dot{x}_*^2(t)} \qquad \Rightarrow \qquad x_*(t) + \lambda = \frac{1}{k}\cosh(kt + D).$$

Aus physikalischen Gründen ist dabei $k > 0$. Wegen der Symmetrie der Randbedingungen gilt ferner $D = 0$. Die Länge der Kurve $x_*(t)$ über $[-a, a]$ ist gleich $2\sinh(ka)/k$ und es gibt genau eine positive Konstante k_0 mit $2\sinh(k_0 a)/k_0 = l$. Dies ergibt abschließend

$$x_*(t) = \frac{1}{k_0}\cosh(k_0 t) - \lambda,$$

wobei sich λ aus der Randbedingung $x_*(a) = h$ ermitteln lässt. □

1.3. Ein Schwaches Optimalitätsprinzip für ein Steuerungsproblem

1.3.1. Notwendige Optimalitätsbedingungen

Wir betrachten als Steuerungsproblem die Aufgabe

$$J\big(x(\cdot),u(\cdot)\big)=\int_{t_0}^{t_1} f\big(t,x(t),u(t)\big)\,dt\to\inf, \tag{1.36}$$

$$\dot{x}(t)=\varphi\big(t,x(t),u(t)\big), \tag{1.37}$$

$$h_0\big(x(t_0)\big)=0,\qquad h_1\big(x(t_1)\big)=0, \tag{1.38}$$

$$u(t)\in U\subseteq\mathbb{R}^m,\quad U\neq\emptyset,\quad U \text{ konvex}, \tag{1.39}$$

wobei entsprechend zur Lagrange-Aufgabe wieder gelte

$$f:\mathbb{R}\times\mathbb{R}^n\times\mathbb{R}^m\to\mathbb{R},\quad \varphi:\mathbb{R}\times\mathbb{R}^n\times\mathbb{R}^m\to\mathbb{R}^n,\quad h_i:\mathbb{R}^n\to\mathbb{R}^{s_i},\ i=0,1.$$

Die Aufgabe (1.36)–(1.39) betrachten wir allerdings bezüglich der Paare

$$\big(x(\cdot),u(\cdot)\big)\in W_2^1([t_0,t_1],\mathbb{R}^n)\times L_\infty([t_0,t_1],U).$$

Wir nennen die Trajektorie $x(\cdot)$ eine Lösung der Gleichung (1.37) zur Steuerung $u(\cdot)$, falls $x(\cdot)$ auf $[t_0,t_1]$ definiert ist und die Dynamik im Sinn von Carathéodory löst.

Zu $\big(x(\cdot),u(\cdot)\big)$ bezeichne U_γ wie in der Lagrange-Aufgabe die Menge

$$U_\gamma=\{(t,x,u)\in[t_0,t_1]\times\mathbb{R}^n\times\mathbb{R}^m\mid\|x-x(t)\|\le\gamma,\|u-u(t)\|\le\gamma\}.$$

Dann gehören zur Menge $\mathscr{A}_{\mathrm{Lip}}$ diejenigen $\big(x(\cdot),u(\cdot)\big)\in W_2^1([t_0,t_1],\mathbb{R}^n)\times L_\infty([t_0,t_1],U)$, für die es eine Zahl $\gamma>0$ derart gibt, dass auf der Menge U_γ gelten:

(A) Die Abbildungen $f(t,x,u)$, $\varphi(t,x,u)$, $h_0(x),h_1(x)$ sind stetig differenzierbar.

Das Paar $\big(x(\cdot),u(\cdot)\big)\in W_2^1([t_0,t_1],\mathbb{R}^n)\times L_\infty([t_0,t_1],U)$ heißt ein zulässiger Steuerungsprozess in der Aufgabe (1.36)–(1.39), falls $\big(x(\cdot),u(\cdot)\big)$ dem System (1.37) genügt und die Randbedingungen (1.38) erfüllt. Die Menge $\mathscr{A}_{\mathrm{adm}}$ bezeichnet die Menge der zulässigen Steuerungsprozesse.

Ein zulässiger Steuerungsprozess $\big(x_*(\cdot),u_*(\cdot)\big)$ ist eine schwache lokale Minimalstelle der Aufgabe (1.36)–(1.39), falls eine Zahl $\varepsilon>0$ derart existiert, dass die Ungleichung

$$J\big(x(\cdot),u(\cdot)\big)\ge J\big(x_*(\cdot),u_*(\cdot)\big)$$

für alle $\big(x(\cdot),u(\cdot)\big)\in\mathscr{A}_{\mathrm{adm}}$ mit $\|x(\cdot)-x_*(\cdot)\|_\infty\le\varepsilon$, $\|u(\cdot)-u_*(\cdot)\|_{L_\infty}\le\varepsilon$ gilt.

Für die Aufgabe (1.36)–(1.39) bezeichnet $H:\mathbb{R}\times\mathbb{R}^n\times\mathbb{R}^m\times\mathbb{R}^n\times\mathbb{R}\to\mathbb{R}$ die Pontrjagin-Funktion, die wir wie folgt definieren:

$$H(t,x,u,p,\lambda_0)=\langle p,\varphi(t,x,u)\rangle-\lambda_0 f(t,x,u).$$

Theorem 1.26. *Es sei* $\big(x_*(\cdot), u_*(\cdot)\big) \in \mathscr{A}_{\mathrm{adm}} \cap \mathscr{A}_{\mathrm{Lip}}$. *Ist* $\big(x_*(\cdot), u_*(\cdot)\big)$ *ein schwaches lokales Minimum der Aufgabe (1.36)–(1.39), dann existieren nicht gleichzeitig verschwindende Multiplikatoren* $\lambda_0 \geq 0$, $l_0 \in \mathbb{R}^{s_0}, l_1 \in \mathbb{R}^{s_1}$ *und* $p(\cdot) \in W_2^1([t_0, t_1], \mathbb{R}^n)$ *derart, dass*

(a) die Funktion $p(\cdot)$ *der adjungierten Gleichung*

$$\dot{p}(t) = -\varphi_x^T\big(t, x_*(t), u_*(t)\big)p(t) + \lambda_0 f_x\big(t, x_*(t), u_*(t)\big) \tag{1.40}$$

genügt und die folgenden Transversalitätsbedingungen erfüllt:

$$p(t_0) = {h_0'}^T\big(x_*(t_0)\big)l_0, \qquad p(t_1) = -{h_1'}^T\big(x_*(t_1)\big)l_1; \tag{1.41}$$

(b) in fast allen Punkten $t \in [t_0, t_1]$ *und für alle* $u \in U$ *die Variationsungleichung*

$$\big\langle H_u\big(t, x_*(t), u_*(t), p(t), \lambda_0\big), \big(u - u_*(t)\big)\big\rangle \leq 0 \tag{1.42}$$

gilt.

Bemerkung 1.27. Ohne Einschränkung lässt sich an dieser Stelle die Bemerkung 1.17 über die Transversalitätsbedingungen bei fehlenden Randbedingungen übernehmen. □

Die Aufgabe (1.36)–(1.39) besitzt formal die Gestalt der Lagrange-Aufgabe. Im Vergleich dazu bestehen die wesentlichen Verallgemeinerungen darin, dass erstens die Zustandstrajektorie nicht stetig differenzierbar sein muss. Sie braucht also nur stückweise der Euler-Lagrangeschen Gleichung genügen. Eine derartige Trajektorie heißt geknickte Extremale. Zweitens dürfen im Unterschied zur Lagrange-Aufgabe die Steuerungen $u(\cdot)$ aufgrund der Wahl des Raumes $L_\infty([t_0, t_1], U)$ unstetig sein. Aber insbesondere kann drittens der Fall eines kompakten Steuerungsbereiches vorliegen, d. h. die Steuerungsparameter $u \in U$ dürfen gewisse Grenzlagen annehmen. Der Umstand, dass der Steuerungsbereich U kompakt sein darf, hebt die Aufgabe (1.36)–(1.39) aus dem Rahmen der Klassischen Variationsrechnung heraus. In den Anwendungen sind die Aufgaben mit kompaktem Steuerungsbereich von zentraler Bedeutung.

Wir demonstrieren die Sachverhalte und beginnen mit der geknickten Extremale:

Beispiel 1.28. Wir suchen eine Lösung des Variationsproblems

$$\int_0^1 \big(\dot{x}^2(t) - 1\big)^2\, dt \to \inf, \qquad x(0) = x(1) = 0.$$

Die Lösungen dieser Aufgabe bestehen aus allen "Zick-Zack-Kurven", die nur die Anstiege ± 1 besitzen und die Punkte $(0, 0)$ und $(1, 0)$ miteinander verbinden. Zwischen den Stellen, in denen der Anstieg das Vorzeichen wechselt, genügen diese Kurven der Euler-Lagrangeschen Gleichung. □

Beispiel 1.29. Es bezeichne $K(t)$ das Kapital und $u(t)$ die Investitions- bzw. $1-u(t)$ die Konsumptionsrate zum Zeitpunkt t. Wir betrachten das lineare Investitionsmodell

$$\begin{aligned} &J\big(K(\cdot),u(\cdot)\big) = \int_0^T \big(1-u(t)\big)\cdot K(t)\,dt \to \sup,\\ &\dot K(t) = u(t)\cdot K(t), \quad K(0)=K_0>0,\\ &u(t)\in[0,1], \quad T>1 \text{ fest.} \end{aligned}$$

Nach Bemerkung 1.27 dürfen wir Theorem 1.26 mit $\lambda_0 = 1$ anwenden und erhalten als optimalen Steuerungsprozess

$$u_*(t) = \begin{cases} 1 & \text{für } t\in[0,T-1),\\ 0 & \text{für } t\in[T-1,T], \end{cases} \qquad K_*(t) = \begin{cases} K_0\cdot e^t & t\in[0,T-1),\\ K_0\cdot e^{T-1} & t\in[T-1,T], \end{cases}$$

und für die Adjungierte

$$p(t) = \begin{cases} e^{T-(1+t)}, & t\in[0,T-1),\\ T-t, & t\in[T-1,T]. \end{cases}$$

Außerdem ergibt sich für den Wert des Zielfunktionals

$$J\big(K_*(\cdot),u_*(\cdot)\big) = \int_0^T \big(1-u_*(t)\big)\cdot K_*(t)\,dt = K_0\cdot e^{T-1}.$$

In diesem Beispiel ist die optimale Steuerung $u_*(\cdot)$ unstetig und nimmt ausschließlich Werte auf dem Rand des Steuerungsbereiches $U=[0,1]$ an. □

Beispiel 1.30. Im Gegensatz zum vorherigen linearen Modell wird die Produktion durch die Cobb-Douglas-Funktion $f(K) = K^\alpha$ mit $\alpha\in(0,1)$ angegeben. Damit erhalten wir folgende Aufgabe

$$\begin{aligned} &J\big(K(\cdot),u(\cdot)\big) = \int_0^T \big(1-u(t)\big)\cdot K^\alpha(t)\,dt \to \sup,\\ &\dot K(t) = u(t)\cdot K^\alpha(t), \quad K(0)=K_0>0,\\ &u(t)\in[0,1], \quad \alpha\in(0,1) \text{ konstant}, \quad T \text{ fest mit } \alpha T - K_0^{1-\alpha}>0. \end{aligned}$$

Der Term K^α führt zur Einschränkung $\gamma < K_0$ bei der Festlegung der Menge U_γ.
Wir wenden Theorem 1.26 mit $\lambda_0 = 1$ an und erhalten als optimalen Steuerungsprozess

$$u_*(t) = \begin{cases} 1 & \text{für } t\in[0,\tau),\\ 0 & \text{für } t\in[\tau,T], \end{cases} \qquad K_*(t) = \begin{cases} \big[(1-\alpha)t + K_0^{1-\alpha}\big]^{\frac{1}{1-\alpha}} & t\in[0,\tau),\\ \big[\alpha(1-\alpha)T + \alpha K_0^{1-\alpha}\big]^{\frac{1}{1-\alpha}} & t\in[\tau,T], \end{cases}$$

mit dem Umschaltpunkt

$$\tau = \alpha T - K_0^{1-\alpha}.$$

Die adjungierte Funktion lautet dabei

$$p(t) = \begin{cases} \left[\dfrac{\alpha(1-\alpha)T + \alpha K_0^{1-\alpha}}{(1-\alpha)t + K_0^{1-\alpha}}\right]^{\frac{\alpha}{1-\alpha}} & \text{für } t \in [0,\tau), \\ \dfrac{T-t}{(1-\alpha)T + K_0^{1-\alpha}} & \text{für } t \in [\tau,T]. \end{cases}$$

Im Beispiel mit Cobb-Douglas-Produktionsfunktion ergibt sich

$$J\big(x_*(\cdot),u_*(\cdot)\big) = \alpha^{\frac{\alpha}{1-\alpha}} \cdot \big[(1-\alpha)T + K_0^{1-\alpha}\big]^{\frac{1}{1-\alpha}}$$

für den Wert des Zielfunktionals. □

1.3.2. Definition und Eigenschaften der Extremalaufgabe

Seien $\big(x_*(\cdot),u_*(\cdot)\big) \in \mathscr{A}_{\mathrm{Lip}}$ und $x_*(\cdot) \in C([t_0,t_1],\mathbb{R}^n)$. Die Menge U_γ ist wie folgt definiert:

$$U_\gamma = \{(t,x,u) \in [t_0,t_1] \times \mathbb{R}^n \times \mathbb{R}^m \mid \|x - x_*(t)\| \le \gamma, \|u - u_*(t)\| \le \gamma\}.$$

Es bezeichne $\big(\xi_0(\cdot),v_0(\cdot)\big)$ den Ursprung des Raumes $C([t_0,t_1],\mathbb{R}^n) \times L_\infty([t_0,t_1],\mathbb{R}^m)$. Wir definieren für $\big(\xi(\cdot),v(\cdot)\big) \in C([t_0,t_1],\mathbb{R}^n) \times L_\infty([t_0,t_1],\mathbb{R}^m)$ die Abbildungen

$$\begin{aligned} \tilde{J}\big(\xi(\cdot),v(\cdot)\big) &= \int_{t_0}^{t_1} f\big(t, x_*(t)+\xi(t), u_*(t)+v(t)\big)\,dt, \\ F\big(\xi(\cdot),v(\cdot)\big)(t) &= \big(x_*(t)+\xi(t)\big) - \big(x_*(t_0)+\xi(t_0)\big) \\ &\qquad - \int_{t_0}^{t} \varphi\big(s, x_*(s)+\xi(s), u_*(s)+v(s)\big)\,ds, \quad t \in [t_0,t_1], \\ H_i\big(\xi(\cdot)\big) &= h_i\big(x_*(t_i)+\xi(t_i)\big), \quad i = 0,1. \end{aligned}$$

Da $x_*(\cdot)$ zu $C([t_0,t_1],\mathbb{R}^n)$ gehört, gilt für diese Abbildungen

$$\begin{aligned} \tilde{J} &: C([t_0,t_1],\mathbb{R}^n) \times L_\infty([t_0,t_1],\mathbb{R}^m) \to \mathbb{R}, \\ F &: C([t_0,t_1],\mathbb{R}^n) \times L_\infty([t_0,t_1],\mathbb{R}^m) \to C([t_0,t_1],\mathbb{R}^n), \\ H_i &: C([t_0,t_1],\mathbb{R}^n) \to \mathbb{R}^{s_i}, \quad i = 0,1. \end{aligned}$$

Wir untersuchen im Weiteren die Eigenschaften der Extremalaufgabe

$$\tilde{J}\big(x(\cdot),u(\cdot)\big) \to \inf, \qquad F\big(x(\cdot),u(\cdot)\big) = 0, \qquad H_i\big(x(\cdot)\big) = 0, \quad i = 0,1. \tag{1.43}$$

Dabei sind die Abbildungen $H_i\big(x(\cdot)\big)$ offenbar stetig differenzierbar.

Lemma 1.31. *$\tilde{J}\big(\xi(\cdot),v(\cdot)\big)$ ist im Punkt $\big(\xi_0(\cdot),v_0(\cdot)\big)$ Fréchet-differenzierbar und es gilt*

$$\begin{aligned} \tilde{J}'\big(\xi_0(\cdot),v_0(\cdot)\big)\big(\xi(\cdot),v(\cdot)\big) &= \int_{t_0}^{t_1} \big\langle f_x\big(t,x_*(t),u_*(t)\big),\xi(t)\big\rangle\,dt \\ &\qquad + \int_{t_0}^{t_1} \big\langle f_u\big(t,x_*(t),u_*(t)\big),v(t)\big\rangle\,dt. \end{aligned}$$

Beweis Nach Voraussetzung **(A)** ist die Abbildung f auf der Menge U_γ stetig differenzierbar. Daher ist $\tilde{J}$ auf einer Umgebung von $\big(\xi_0(\cdot), v_0(\cdot)\big)$ wohldefiniert. Ferner ist der lineare Operator $\tilde{J}'\big(\xi_0(\cdot), v_0(\cdot)\big)$ stetig. Sei $\varepsilon > 0$ gegeben. Aufgrund der gleichmäßigen Stetigkeit von f_x und f_u auf der Menge U_γ gibt es eine Zahl $\lambda_0 > 0$ mit

$$\begin{aligned}
\big\| f_x\big(t, x_*(t) + \lambda\xi, u_*(t) + \lambda v\big) - f_x\big(t, x_*(t), u_*(t)\big)\big\| &\le \frac{\varepsilon}{2(t_1 - t_0)}, \\
\big\| f_u\big(t, x_*(t) + \lambda\xi, u_*(t) + \lambda v\big) - f_u\big(t, x_*(t), u_*(t)\big)\big\| &\le \frac{\varepsilon}{2(t_1 - t_0)}
\end{aligned}$$

für fast alle $t \in [t_0, t_1]$, für alle $\|\xi\| \le 1$, $\|v\| \le 1$ und alle $0 < \lambda \le \lambda_0$. Damit erhalten wir

$$\begin{aligned}
&\left| \frac{\tilde{J}\big(\xi_0(\cdot) + \lambda\xi(\cdot), v_0(\cdot) + \lambda v(\cdot)\big) - \tilde{J}\big(\xi_0(\cdot), v_0(\cdot)\big)}{\lambda} - \tilde{J}'\big(\xi_0(\cdot), v_0(\cdot)\big)\big(\xi(\cdot), v(\cdot)\big) \right| \\
&\quad \le \left| \int_{t_0}^{t_1} \left[\int_0^1 \langle f_x\big(t, x_*(t) + \lambda s\xi(t), u_*(t) + \lambda s v(t)\big) - f_x\big(t, x_*(t), u_*(t)\big), \xi(t)\rangle ds \right] dt \right| \\
&\qquad + \left| \int_{t_0}^{t_1} \left[\int_0^1 \langle f_u\big(t, x_*(t) + \lambda s\xi(t), u_*(t) + \lambda s v(t)\big) - f_u\big(t, x_*(t), u_*(t)\big), v(t)\rangle ds \right] dt \right| \\
&\quad \le \int_{t_0}^{t_1} \frac{\varepsilon}{2(t_1 - t_0)} \big(\|\xi(t)\| + \|v(t)\|\big)\, dt \le \varepsilon
\end{aligned}$$

für alle $\|\xi(\cdot)\|_\infty \le 1$, $\|v(\cdot)\|_{L_\infty} \le 1$ und alle $0 < \lambda \le \lambda_0$. ■

Lemma 1.32. *Die Abbildung F ist in $\big(\xi_0(\cdot), v_0(\cdot)\big)$ Fréchet-differenzierbar und es gilt*

$$\begin{aligned}
\big[F'\big(\xi_0(\cdot), v_0(\cdot)\big)\big(\xi(\cdot), v(\cdot)\big)\big](t) &= \xi(t) - \xi(t_0) - \int_{t_0}^{t} \varphi_x\big(s, x_*(s), u_*(s)\big)\xi(s)\, ds \\
&\quad - \int_{t_0}^{t} \varphi_u\big(s, x_*(s), u_*(s)\big) v(s)\, ds, \quad t \in [t_0, t_1].
\end{aligned}$$

Beweis Die Abbildung F ist auf einer Umgebung von $\big(\xi_0(\cdot), v_0(\cdot)\big)$ wohldefiniert. Zudem ist der lineare Operator $F'\big(\xi_0(\cdot), v_0(\cdot)\big)$ stetig. Da die Abbildungen φ_x, φ_u auf der Menge U_γ gleichmäßig stetig sind, gibt es eine Zahl $\lambda_0 > 0$ mit

$$\begin{aligned}
\big\| \varphi_x\big(t, x_*(t) + \lambda\xi, u_*(t) + \lambda v\big) - \varphi_x\big(t, x_*(t), u_*(t)\big)\big\| &\le \frac{\varepsilon}{2(t_1 - t_0)}, \\
\big\| \varphi_u\big(t, x_*(t) + \lambda\xi, u_*(t) + \lambda v\big) - \varphi_u\big(t, x_*(t), u_*(t)\big)\big\| &\le \frac{\varepsilon}{2(t_1 - t_0)}
\end{aligned}$$

für fast alle $[t_0, t_1]$, für alle $\|\xi\| \le 1$, $\|v\| \le 1$ und alle $0 < \lambda \le \lambda_0$. Damit folgt

$$\begin{aligned}
&\left\| \frac{F\big(\xi_0(\cdot) + \lambda\xi(\cdot), v_0(\cdot) + \lambda v(\cdot)\big) - F\big(\xi_0(\cdot), v_0(\cdot)\big)}{\lambda} - F'\big(\xi_0(\cdot), v_0(\cdot)\big)\big(\xi(\cdot), v(\cdot)\big) \right\|_\infty \\
&\quad \le \int_{t_0}^{t_1} \left[\int_0^1 \left\| \varphi_x\big(t, x_*(t) + \lambda s\xi(t), u_*(t) + \lambda s v(t)\big) - \varphi_x\big(t, x_*(t), u_*(t)\big) \right\| ds \right] dt \\
&\qquad \int_{t_0}^{t_1} \left[\int_0^1 \left\| \varphi_u\big(t, x_*(t) + \lambda s\xi(t), u_*(t) + \lambda s v(t)\big) - \varphi_u\big(t, x_*(t), u_*(t)\big) \right\| ds \right] dt \le \varepsilon
\end{aligned}$$

für alle $\|\xi(\cdot)\|_\infty \le 1$, $\|v(\cdot)\|_{L_\infty} \le 1$ und alle $0 < \lambda \le \lambda_0$. ■

Lemma 1.33. *Die Abbildung F ist in $\big(\xi_0(\cdot), v_0(\cdot)\big)$ stetig differenzierbar.*

Beweis Mit den gleichen Argumenten, mit denen die Fréchet-Differenzierbarkeit der Abbildung F im Punkt $\big(\xi_0(\cdot), v_0(\cdot)\big)$ gezeigt wurde, lässt sich die Differenzierbarkeit auf einer Umgebung des Punktes $\big(\xi_0(\cdot), v_0(\cdot)\big)$ im Raum $C([t_0, t_1], \mathbb{R}^n) \times L_\infty([t_0, t_1], \mathbb{R}^m)$ zeigen. Nutzen wir die gleichmäßige Stetigkeit von φ_x, φ_u auf der Menge U_γ, dann gibt es zu jedem $\varepsilon > 0$ ein $\delta > 0$ derart, dass

$$\begin{aligned}
&\big\| F'\big(\xi(\cdot), v(\cdot)\big) - F'\big(\xi_0(\cdot), v_0(\cdot)\big) \big\| = \\
&\qquad \sup_{\|(\xi', v')\| = 1} \big\| \big[F'\big(\xi(\cdot), v(\cdot)\big) - F'\big(\xi_0(\cdot), v_0(\cdot)\big) \big] \big(\xi'(\cdot), v'(\cdot)\big) \big\|_\infty \le \varepsilon
\end{aligned}$$

für alle $\|\xi(\cdot)\|_\infty \le \delta$ und $\|v(\cdot)\|_{L_\infty} \le \delta$ gilt. ■

Lemma 1.34. *Für jedes $v(\cdot) \in L_\infty([t_0, t_1], U)$ ist der lineare Operator*

$$\xi(\cdot) \to F'\big(\xi_0(\cdot), v_0(\cdot)\big)\big(\xi(\cdot), v(\cdot)\big)$$

surjektiv. Ferner ist daher die Abbildung F im Punkt $\big(\xi_0(\cdot), v_0(\cdot)\big)$ regulär.

Beweis Wir haben zu zeigen, dass die Gleichung

$$z(\cdot) = F'\big(\xi_0(\cdot), v_0(\cdot)\big)\big(\xi(\cdot), v(\cdot)\big)$$

für jedes $z(\cdot) \in C([t_0, t_1], \mathbb{R}^n)$ ein Lösung $\xi(\cdot) \in C([t_0, t_1], \mathbb{R}^n)$ besitzt.
Wir setzen $A(t) = \varphi_x\big(t, x_*(t), u_*(t)\big)$ und $a(t) = \varphi_u\big(t, x_*(t), u_*(t)\big)v(t)$. Da wir den Operator $F'\big(\xi_0(\cdot), v_0(\cdot)\big)$ als Abbildung in den Raum $C([t_0, t_1], \mathbb{R}^n)$ auffassen, ist der Nachweis von Lemma 1.22 äquivalent zur Aussage, dass es zu jedem $z(\cdot) \in C([t_0, t_1], \mathbb{R}^n)$ ein $\xi(\cdot) \in C([t_0, t_1], \mathbb{R}^n)$ gibt mit

$$z(t) = \xi(t) - \int_{t_0}^{t} \big[A(s)\xi(s) + a(s) \big]\, ds, \qquad t \in [t_0, t_1].$$

Das folgt unmittelbar aus Lemma D.2 ■

1.3.3. Lagrangesche Multiplikatorenregel

In der Aufgabe (1.36)–(1.39) sei $\big(x_*(\cdot), u_*(\cdot)\big) \in \mathscr{A}_{\text{adm}} \cap \mathscr{A}_{\text{Lip}}$ und $x_*(\cdot) \in C([t_0, t_1], \mathbb{R}^n)$. Auf $C([t_0, t_1], \mathbb{R}^n) \times L_\infty([t_0, t_1], \mathbb{R}^m) \times C^*([t_0, t_1], \mathbb{R}^n) \times \mathbb{R} \times \mathbb{R}^{s_0} \times \mathbb{R}^{s_1}$ definieren wir zur Extremalaufgabe (1.43) die Lagrange-Funktion $\mathscr{L} = \mathscr{L}\big(\xi(\cdot), v(\cdot), y^*, \lambda_0, l_0, l_1\big)$,

$$\mathscr{L} = \lambda_0 \tilde{J}\big(\xi(\cdot), v(\cdot)\big) + \big\langle y^*, F\big(\xi(\cdot), v(\cdot)\big)\big\rangle + l_0^T H_0\big(\xi(\cdot)\big) + l_1^T H_1\big(\xi(\cdot)\big).$$

Theorem 1.35 (Extremalprinzip)**.** *Sei $\big(x_*(\cdot), u_*(\cdot)\big) \in \mathscr{A}_{\text{Lip}} \cap \mathscr{A}_{\text{adm}}$ und sei außerdem $x_*(\cdot) \in C([t_0, t_1], \mathbb{R}^n)$. Ist $\big(x_*(\cdot), u_*(\cdot)\big)$ eine schwache lokale Minimalstelle der Aufgabe (1.36)–(1.39), dann existieren nicht gleichzeitig verschwindende Lagrangesche Multiplikatoren $\lambda_0 \geq 0$, $y^* \in C^*([t_0, t_1], \mathbb{R}^n)$, $l_0 \in \mathbb{R}^{s_0}$ und $l_1 \in \mathbb{R}^{s_1}$ derart, dass gelten:*

(a) Die Lagrange-Funktion besitzt bezüglich $\xi(\cdot)$ in $\xi_0(\cdot)$ einen stationären Punkt, d. h.

$$\mathscr{L}_\xi\big(\xi_0(\cdot), v_0(\cdot), \lambda_0, y^*, l_0, l_1\big) = 0. \tag{1.44}$$

(b) Die Lagrange-Funktion erfüllt bezüglich $v(\cdot)$ in $v_0(\cdot)$ die Variationsungleichung

$$\big\langle \mathscr{L}_v\big(\xi_0(\cdot), v_0(\cdot), \lambda_0, y^*, l_0, l_1\big), v(\cdot) - u_*(\cdot)\big\rangle \geq 0 \tag{1.45}$$

für alle $v(\cdot) \in L_\infty([t_0, t_1], U)$.

Beweis Aufgrund von Lemma 1.34 ist die Abbildung $F\big(\xi(\cdot), v(\cdot)\big)$ im Punkt $\big(\xi_0(\cdot), v_0(\cdot)\big)$ regulär. Ferner sind $\operatorname{Im} H_i'\big(\xi_0(\cdot)\big)$ abgeschlossene Teilmengen der endlich-dimensionalen Räume $\mathbb{R}^{s_i}$. Daher stimmt das Bild des stetigen lineare Operators

$$\Lambda = \Big(F'\big(\xi_0(\cdot), v_0(\cdot)\big), H_0'\big(\xi_0(\cdot)\big), H_1'\big(\xi_0(\cdot)\big)\Big)$$

entweder mit $Z = C([t_0, t_1], \mathbb{R}^n) \times \mathbb{R}^{s_0} \times \mathbb{R}^{s_1}$ oder mit einem abgeschlossenen Teilraum von Z überein. Wir bezeichnen mit L die Bildmenge $\operatorname{Im} \Lambda$.

Im entarteten Fall, in dem L ein echter abgeschlossener Teilraum von Z ist, gilt

$$\operatorname{Im} H_0'\big(\xi_0(\cdot)\big) \times \operatorname{Im} H_1'\big(\xi_0(\cdot)\big) \subset \mathbb{R}^{s_0} \times \mathbb{R}^{s_1}.$$

Daher gibt es Vektoren $l_0 \in \mathbb{R}^{s_0}, l_1 \in \mathbb{R}^{s_1}$ mit $(l_0, l_1) \neq 0$ und

$$0 = l_0^T v_0 + l_1^T v_1 \qquad \text{für alle } v_0 \in \operatorname{Im} H_0', v_1 \in \operatorname{Im} H_1'.$$

Setzen wir $\lambda_0 = 0$ und $y^* = 0$, dann gelten die Bedingungen des Extremalprinzips 1.35. Der Übersichtlichkeit halber ist der Beweis für den regulären Fall in drei Schritte gegliedert.

1. Schritt (Die Menge $\mathscr{C}$ der Variationen)**.** Wir betrachten die Menge $\mathscr{C}$ derjenigen

$$\big(\eta_0, y(\cdot), \mu_0, \mu_1\big) \in \mathbb{R} \times C([t_0, t_1], \mathbb{R}^n) \times \mathbb{R}^{s_0} \times \mathbb{R}^{s_1},$$

zu denen es ein $\xi(\cdot) \in C([t_0,t_1],\mathbb{R}^n)$ und ein $v(\cdot) \in L_\infty([t_0,t_1],U)$ gibt mit

$$\begin{aligned} \eta_0 &> \tilde{J}'\big(\xi_0(\cdot),v_0(\cdot)\big)\big(\xi(\cdot),v(\cdot)-u_*(\cdot)\big), \\ y(\cdot) &= F'\big(\xi_0(\cdot),v_0(\cdot)\big)\big(\xi(\cdot),v(\cdot)-u_*(\cdot)\big), \qquad \mu_i = H_i'\big(\xi_0(\cdot)\big)\xi(\cdot), \;\; i=0,1. \end{aligned}$$

Die Menge $\mathscr{C}$ ist konvex, da der Steuerungsbereich U nach (1.39) konvex ist. Ferner ist das Innere der Menge $\mathscr{C}$ nach dem Satz von der offenen Abbildung nichtleer, da die stetigen linearen Operatoren $F'\big(\xi_0(\cdot),v_0(\cdot)\big)$, $H_i'\big(\xi_0(\cdot)\big)$ surjektiv sind. Zum Nachweis von Theorem 1.35 genügt es $0 \notin \mathscr{C}$ zu zeigen, denn aus dem Satz von Hahn-Banach folgt die Existenz eines nichttrivialen Funktionals $(\lambda_0,y^*,l_0,l_1) \in \mathbb{R}\times C^*([t_0,t_1],\mathbb{R}^n)\times\mathbb{R}^{s_0}\times\mathbb{R}^{s_1}$ mit

$$0 \le \lambda_0\eta_0 + \langle y^*, y(\cdot)\rangle + \langle l_0,\mu_0\rangle + \langle l_1,\mu_1\rangle$$

für alle $\big(\eta_0,y(\cdot),\mu_0,\mu_1\big) \in \mathscr{C}$. Diese Ungleichung liefert $\lambda_0 \ge 0$ und bedeutet ferner, dass

$$\begin{aligned} 0 \;\le\; & \lambda_0\tilde{J}'\big(\xi_0(\cdot),v_0(\cdot)\big)\big(\xi(\cdot),v(\cdot)-u_*(\cdot)\big) + \big\langle y^*, F'\big(\xi_0(\cdot),v_0(\cdot)\big)\big(\xi(\cdot),v(\cdot)-u_*(\cdot)\big)\big\rangle \\ & + \big\langle l_0, H_0'\big(\xi_0(\cdot)\big)\xi(\cdot)\big\rangle + \big\langle l_1, H_1'\big(\xi_0(\cdot)\big)\xi(\cdot)\big\rangle \end{aligned}$$

für alle $\big(\xi(\cdot),v(\cdot)\big) \in C([t_0,t_1],\mathbb{R}^n)\times L_\infty([t_0,t_1],U)$ gilt. Betrachten wir diese Ungleichung nacheinander für $\xi(\cdot)=\xi_0(\cdot)$ bzw. $v(\cdot)=u_*(\cdot)$, so folgen (1.44) und (1.45).

Angenommen, es ist $0 \in \mathscr{C}$. Dann existieren $\overline{\xi}(\cdot) \in C([t_0,t_1],\mathbb{R}^n)$, $\overline{v}(\cdot) \in L_\infty([t_0,t_1],U)$ und eine Zahl $c>0$ mit

$$\begin{aligned} -c &\ge \tilde{J}'\big(\xi_0(\cdot),v_0(\cdot)\big)\big(\overline{\xi}(\cdot),\overline{v}(\cdot)-u_*(\cdot)\big), \\ 0 &= F'\big(\xi_0(\cdot),v_0(\cdot)\big)\big(\overline{\xi}(\cdot),\overline{v}(\cdot)-u_*(\cdot)\big), \qquad 0 = H_i'\big(\xi_0(\cdot)\big)\overline{\xi}(\cdot), \;\; i=0,1. \end{aligned}$$

2. Schritt (Die Definition und die Eigenschaften des Operators Φ)**.** Auf einer Umgebung des Punktes $\big(\xi_0(\cdot),0\big) \in C([t_0,t_1],\mathbb{R}^n)\times\mathbb{R}$ betrachten wir die Abbildung

$$\Phi\big(\xi(\cdot),\alpha\big) = \Big(F\big(\xi(\cdot),\alpha[\overline{v}(\cdot)-u_*(\cdot)]\big), H_0\big(\xi(\cdot)\big), H_1\big(\xi(\cdot)\big)\Big).$$

Aus den Eigenschaften der Abbildungen F und H_0,H_1 folgt, dass Φ auf einer Umgebung des Punktes $\big(\xi_0(\cdot),0\big) \in C([t_0,t_1],\mathbb{R}^n)\times\mathbb{R}$ wohldefiniert und stetig, außerdem in $\big(\xi_0(\cdot),0\big)$ stetig differenzierbar mit der Ableitung

$$\Phi'\big(\xi_0(\cdot),0\big)\big(\xi(\cdot),\alpha\big) = \Big(F'\big(\xi_0(\cdot),v_0(\cdot)\big), H_0'\big(\xi_0(\cdot)\big), H_1'\big(\xi_0(\cdot)\big)\Big)\big(\xi(\cdot),\alpha[\overline{v}(\cdot)-u_*(\cdot)]\big)$$

ist. Ferner ist Φ in $\big(\xi_0(\cdot),0\big)$ nach Lemma 1.34 regulär. Zudem gehört $\big(\overline{\xi}(\cdot),1\big)$ aufgrund unserer Annahme im ersten Schritt dem Kern des Operators $\Phi'\big(\xi_0(\cdot),0\big)$ an:

$$\Phi'\big(\xi_0(\cdot),0\big)\big(\overline{\xi}(\cdot),1\big) = \Big(F'\big(\xi_0(\cdot),v_0(\cdot)\big), H_0'\big(\xi_0(\cdot)\big), H_1'\big(\xi_0(\cdot)\big)\Big)\big(\overline{\xi}(\cdot),\overline{v}(\cdot)-u_*(\cdot)\big) = 0.$$

3. Schritt (Die Existenz zulässiger Richtungen und $0 \notin \mathscr{C}$)**.** Nach dem Satz von Ljusternik (Theorem B.14) existieren eine Zahl $\varepsilon_0 > 0$ und Abbildungen $r(\varepsilon)$ und $o(\varepsilon)$ mit

$$\Phi\big(\xi_0(\cdot) + \varepsilon\overline{\xi}(\cdot) + r(\varepsilon), \varepsilon + o(\varepsilon)\big) = 0$$

für alle $\varepsilon \in [0, \varepsilon_0]$. Ferner können wir $\varepsilon_0 > 0$ so wählen, dass $0 \le \varepsilon + o(\varepsilon) \le 1$ für alle $\varepsilon \in [0, \varepsilon_0]$ gilt. Da der Steuerungsbereich U konvex ist, gehört $u_*(\cdot) + [\varepsilon + o(\varepsilon)]\big(\overline{v}(\cdot) - u_*(\cdot)\big)$ für alle $\varepsilon \in [0, \varepsilon_0]$ dem Raum $L_\infty([t_0, t_1], U)$ an. Aus der Definition der Abbildung Φ erhalten wir für die Richtungsvariationen

$$\xi_\varepsilon(\cdot) = \xi_0(\cdot) + \varepsilon\overline{\xi}(\cdot) + r(\varepsilon), \qquad v_\varepsilon(\cdot) = v_0(\cdot) + [\varepsilon + o(\varepsilon)]\big(\overline{v}(\cdot) - u_*(\cdot)\big),$$

dass für alle $\varepsilon \in [0, \varepsilon_0]$ die Beziehungen

$$F\big(\xi_\varepsilon(\cdot), v_\varepsilon(\cdot)\big) = 0, \qquad H_0\big(\xi_\varepsilon(\cdot)\big) = 0, \qquad H_1\big(\xi_\varepsilon(\cdot)\big) = 0$$

gelten. Die erste Gleichung liefert, dass $x_*(\cdot) + \xi_\varepsilon(\cdot)$ der Dynamik (1.37) zur Steuerung $u_*(\cdot) + v_\varepsilon(\cdot)$ genügt. Dies zeigt, dass für alle $\varepsilon \in [0, \varepsilon_0]$ die Steuerungsprozesse

$$\big(x_*(\cdot) + \xi_\varepsilon(\cdot), u_*(\cdot) + v_\varepsilon(\cdot)\big) \in W_2^1([t_0, t_1], \mathbb{R}^n) \times L_\infty([t_0, t_1], U)$$

zulässig in der Aufgabe (1.36)–(1.39) sind. Damit erhalten wir aber wegen

$$\tilde{J}\big(\xi_\varepsilon(\cdot), v_\varepsilon(\cdot)\big) \le \tilde{J}\big(\xi_0(\cdot), v_0(\cdot)\big) - \varepsilon c + o(\varepsilon)$$

bzw. dazu äquivalent für das Zielfunktional in (1.36)

$$J\big(x_*(\cdot) + \xi_\varepsilon(\cdot), u_*(\cdot) + v_\varepsilon(\cdot)\big) \le J\big(x_*(\cdot), u_*(\cdot)\big) - \varepsilon c + o(\varepsilon),$$

dass der Steuerungsprozess $\big(x_*(\cdot), u_*(\cdot)\big)$ im Widerspruch zur Voraussetzung von Theorem 1.35 kein schwaches lokales Minimum der Aufgabe (1.36)–(1.39) sein könnte. ■

1.3.4. Beweisschluss

Zu $y^* \in C^*([t_0, t_1], \mathbb{R}^n)$ gibt es ein eindeutig bestimmtes reguläres Borelsches Vektormaß μ derart, dass nach (1.44) für alle $\xi(\cdot) \in W_2^1([t_0, t_1], \mathbb{R}^n)$ die Variationsgleichung

$$\begin{aligned} 0 \;=\; & \int_{t_0}^{t_1} \big\langle \lambda_0 f_x\big(t, x_*(t), u_*(t)\big), \xi(t)\big\rangle\, dt + \big\langle l_0, h_0'\big(x_*(t_0)\big)\xi(t_0)\big\rangle + \big\langle l_1, h_1'\big(x_*(t_1)\big)\xi(t_1)\big\rangle \\ & + \int_{t_0}^{t_1} \left[\xi(t) - \xi(t_0) - \int_{t_0}^{t} \varphi_x\big(s, x_*(s), u_*(s)\big)\xi(s)\, ds\right]^T d\mu(t) \end{aligned} \tag{1.46}$$

erfüllt ist. Der Kürze halber seien $a(t) = f_x\big(t, x_*(t), u_*(t)\big)$ und $A(t) = \varphi_x\big(t, x_*(t), u_*(t)\big)$. Durch vertauschen der Integrationsreihenfolge,

$$\int_{t_0}^{t_1} \left[\int_{t_0}^{t} A(s)\xi(s)\, ds\right]^T d\mu(t) = \int_{t_0}^{t_1} \left[A^T(t) \int_{t}^{t_1} d\mu(s)\right]^T \xi(t)\, dt,$$

bringen wir (1.46) in die Gestalt

$$\begin{aligned} 0 &= \int_{t_0}^{t_1} \big\langle \lambda_0 a(t) - A^T(t) \int_t^{t_1} d\mu(s), \xi(t) \big\rangle \, dt + \int_{t_0}^{t_1} [\xi(t)]^T \, d\mu(t) \\ &\quad + \Big\langle {h_0'}^T\big(x_*(t_0)\big) l_0 - \int_{t_0}^{t_1} d\mu(t), \xi(t_0) \Big\rangle + \langle {h_1'}^T\big(x_*(t_1)\big) l_1, \xi(t_1) \rangle. \end{aligned} \tag{1.47}$$

Setzen wir $p(t) = \displaystyle\int_t^{t_1} d\mu(s)$ in (1.47), so folgen wegen der eindeutigen Darstellung eines stetigen linearen Funktionals im Raum $C([t_0, t_1], \mathbb{R}^n)$

$$\begin{aligned} p(t) &= -{h_1'}^T\big(x_*(t_1)\big) l_1 + \int_t^{t_1} \Big(\varphi_x^T\big(s, x_*(s), u_*(s)\big) p(s) - \lambda_0 f_x\big(s, x_*(s), u_*(s)\big) \Big) \, ds, \\ p(t_0) &= {h_0'}^T\big(x_*(t_0)\big) l_0, \qquad p(t_1) = -{h_1'}^T\big(x_*(t_1)\big) l_1. \end{aligned}$$

Die Vektorfunktion $p(\cdot)$ ist über $[t_0, t_1]$ quadratisch integrierbar und besitzt die verallgemeinerte Ableitung

$$\dot{p}(t) = -\varphi_x^T\big(t, x_*(t), u_*(t)\big) p(t) + \lambda_0 f_x\big(t, x_*(t), u_*(t)\big).$$

Wegen der wesentlichen Beschränktheit der Abbildungen

$$t \to f_x\big(t, x_*(t), u_*(t)\big), \qquad t \to \varphi_x\big(t, x_*(t), u_*(t)\big)$$

gehört ebenso $\dot{p}(\cdot)$ dem Raum $L_2([t_0, t_1], \mathbb{R}^n)$ an. Damit sind (1.40) und (1.41) gezeigt.

Gemäß (1.45) gilt für alle $v(\cdot) \in L_\infty([t_0, t_1], U)$ die Ungleichung

$$\int_{t_0}^{t_1} \big\langle H_u\big(t, x_*(t), u_*(t), p(t), \lambda_0\big), v(t) - u_*(t) \big\rangle \, dt \le 0.$$

Es seien $u \in U$, $\lambda > 0$ und $\tau \in [t_0, t_1)$ ein Lebesguescher Punkt der Abbildungen $t \to u_*(t)$ und $t \to H_u\big(t, x_*(t), u_*(t), p(t), \lambda_0\big)$. Wir setzen für $0 < \lambda < t_1 - \tau$

$$v_\lambda(t) = \begin{cases} u, & t \in [\tau, \tau + \lambda], \\ u_*(t), & t \notin [\tau, \tau + \lambda]. \end{cases}$$

Dann gilt $v_\lambda(\cdot) \in L_\infty(\mathbb{R}_+, U)$. Wir erhalten damit

$$\begin{aligned} &\frac{1}{\lambda} \int_{t_0}^{t_1} \big\langle H_u\big(t, x_*(t), u_*(t), p(t), \lambda_0\big), v_\lambda(t) - u_*(t) \big\rangle \, dt \\ &\quad = \frac{1}{\lambda} \int_\tau^{\tau+\lambda} \big\langle H_u\big(t, x_*(t), u_*(t), p(t), \lambda_0\big), \big(u - u_*(t)\big) \big\rangle \, dt \le 0. \end{aligned}$$

Da $\tau \in [t_0, t_1)$ ein beliebiger Lebesguescher Punkt ist, folgt daraus für fast alle $t \in [t_0, t_1]$:

$$\big\langle H_u\big(t, x_*(t), u_*(t), p(t), \lambda_0\big), \big(u - u_*(t)\big) \big\rangle \le 0.$$

Ferner, weil $u \in U$ willkürlich gewählt war, gilt diese Ungleichung für alle $u \in U$. Damit ist (1.42) gezeigt und der Beweis von Theorem 1.26 ist abgeschlossen. ■

1.3.5. Freier Anfangs- und Endzeitpunkt

Wir betrachten in diesem Abschnitt die Aufgabe mit freiem Anfangs- und Endzeitpunkt. Im Gegensatz zur Aufgabe (1.36)–(1.39) bedeutet dies, dass die Abbildungen h_0 bzw. h_1, die die Start- und Zielmannigfaltigkeit definieren, zeitabhängig sind:

$$h_i(t,x) : \mathbb{R} \times \mathbb{R}^n \to \mathbb{R}^{s_i}, \quad i = 0, 1.$$

Zur Behandlung dieser Aufgaben gehen wir analog zu Ioffe & Tichomirov [38] vor und überführen das Problem mit freiem Anfangs- und Endzeitpunkt mittels einer Substitution der Zeit in eine Aufgabe auf festem Zeitintervall.

Wir übernehmen alle bisher getroffenen Bezeichnungen und untersuchen die Aufgabe:

$$J\big(x(\cdot),u(\cdot)\big) = \int_{t_0}^{t_1} f\big(t,x(t),u(t)\big)\,dt \to \inf, \tag{1.48}$$

$$\dot{x}(t) = \varphi\big(t,x(t),u(t)\big), \tag{1.49}$$

$$h_0\big(t_0,x(t_0)\big) = 0, \qquad h_1\big(t_1,x(t_1)\big) = 0, \tag{1.50}$$

$$u(t) \in U \subseteq \mathbb{R}^m, \quad U \neq \emptyset, \quad U \text{ konvex}. \tag{1.51}$$

Die Aufgabe (1.48)–(1.51) betrachten wir für Paare

$$\big(x(\cdot),u(\cdot)\big) \in W_2^1([t_0,t_1],\mathbb{R}^n) \times L_\infty([t_0,t_1],U).$$

Außerdem bezeichnet U_γ die Menge

$$U_\gamma = \{(t,x,u) \in [t_0,t_1] \times \mathbb{R}^n \times \mathbb{R}^m \mid \|x - x(t)\| \le \gamma, \|u - u(t)\| \le \gamma\}.$$

Dann gehören zur Menge $\mathscr{A}_{\mathrm{Lip}}$ diejenigen $\big(x(\cdot),u(\cdot)\big) \in W_2^1([t_0,t_1],\mathbb{R}^n) \times L_\infty([t_0,t_1],U)$, für die es eine Zahl $\gamma > 0$ derart gibt, dass die Abbildungen

(A) $f(t,x,u)$, $\varphi(t,x,u)$, $h_i(t,x)$ auf U_γ stetig differenzierbar sind.

In der Aufgabe (1.48)–(1.51) nennen wir ein Tripel $\big([t_0,t_1],x(\cdot),u(\cdot)\big)$ mit $[t_0,t_1] \subset \mathbb{R}$, $x(\cdot) \in W_2^1([t_0,t_1],\mathbb{R}^n)$ und $u(\cdot) \in L_\infty([t_0,t_1],U)$ einen Steuerungsprozess. Ein Steuerungsprozess heißt in der Aufgabe (1.48)–(1.51) zulässig, wenn auf dem Intervall $[t_0,t_1]$ die Funktion $x(\cdot)$ fast überall der Gleichung (1.49) genügt und die Randbedingungen (1.50) erfüllt. Die Menge $\mathscr{A}_{\mathrm{adm}}$ bezeichnet die Menge der zulässigen Steuerungsprozesse.

Einen zulässigen Steuerungsprozess $\big([t_{0*},t_{1*}],x_*(\cdot),u_*(\cdot)\big)$ nennen wir ein schwaches lokales Minimum, wenn eine Zahl $\varepsilon > 0$ derart existiert, dass für jeden anderen zulässigen Steuerungsprozess $\big([t_0,t_1],x(\cdot),u(\cdot)\big)$ mit den Eigenschaften

$$|t_0 - t_{0*}| \le \varepsilon, \qquad |t_1 - t_{1*}| \le \varepsilon$$

und

$$\max_{t\in I} \|x(t) - x_*(t)\| \le \varepsilon, \qquad \operatorname*{ess\,sup}_{t\in I} \|u(t) - u_*(t)\| \le \varepsilon, \qquad I = [t_{0*},t_{1*}] \cap [t_0,t_1]$$

die folgende Ungleichung gilt:

$$J\big(x(\cdot),u(\cdot)\big) \geq J\big(x_*(\cdot),u_*(\cdot)\big).$$

Wir werden nun zeigen, wie man mit Hilfe des Theorems 1.26 für Aufgaben mit fester Zeit unter Verwendung der Substitution der Zeit die notwendigen Optimalitätsbedingungen für die Aufgabe mit freiem Anfangs- und Endzeitpunkt erhält:

Es sei $\big([t_{0*},t_{1*}],x_*(\cdot),u_*(\cdot)\big)$ ein schwaches lokales Minimum der Aufgabe (1.48)–(1.51). Wir führen eine neue unabhängige Veränderliche s ein, die das Intervall $[0,1]$ durchläuft, und betrachten folgendes Differentialgleichungssystem:

$$t'(s) = v(s), \qquad y'(s) = v(s)\cdot\varphi\big(t(s),y(s),w(s)\big). \tag{1.52}$$

Es sei $v(s) > 0$ für alle $s \in [0,1]$. Ist $\big(t(\cdot),y(\cdot)\big)$ eine Lösung dieses Systems, die der Steuerung $\big(v(\cdot),w(\cdot)\big)$ entspricht, so ist $s \to t(s)$ eine streng wachsende stetige Funktion. Die zu ihr inverse Funktion $t \to s(t)$ ist ebenfalls stetig und streng wachsend. In diesem Fall ist $x(\cdot)$ mit $x(t) = y\big(s(t)\big)$ für $t \in [t(0),t(1)]$ Lösung der Gleichung (1.49) zur Steuerung $u(\cdot)$ mit $u(t) = w\big(s(t)\big)$ für $t \in [t(0),t(1)]$, wobei

$$\int_{t(0)}^{t(1)} f\big(t,x(t),u(t)\big)\,dt = \int_0^1 v(s)\cdot f\big(t(s),y(s),w(s)\big)\,ds \tag{1.53}$$

gilt. Weil $v(\cdot)$ auf $[0,1]$ stets positiv ist, sind diese Behauptungen klar.
Ist umgekehrt $x(\cdot)$ eine auf dem Intervall $[t_0,t_1]$ definierte Lösung der Gleichung (1.49), die der Steuerung $u(\cdot)$ entspricht, so ist $\big(t(\cdot),y(\cdot)\big)$ mit $t(s) = t_0 + (t_1 - t_0)s$, $y(s) = x\big(t(s)\big)$ eine Lösung des Systems (1.52), die den Steuerungen $\big(v(\cdot),w(\cdot)\big)$ mit $v(s) \equiv t_1 - t_0$, $w(s) = u\big(t(s)\big)$ zugeordnet ist. Dabei gilt die Beziehung (1.53). Daher ist

$$\big(t_*(\cdot),y_*(\cdot),w_*(\cdot),v_*(\cdot)\big),$$

wobei für $s \in [0,1]$

$$\begin{aligned} t_*(s) &= t_{0*} + (t_{1*} - t_{0*})s, & y_*(s) &= x_*\big(t_*(s)\big),\\ v_*(s) &\equiv v_* = t_{1*} - t_{0*}, & w_*(s) &= u_*\big(t_*(s)\big), \end{aligned}$$

sind, ein schwaches lokales Minimum der Aufgabe:

$$\int_0^1 v\cdot f\big(t(s),y(s),w(s)\big)\,ds \to \inf, \tag{1.54}$$

$$t'(s) = v, \quad y'(s) = v\cdot\varphi\big(t(s),y(s),w(s)\big), \tag{1.55}$$

$$h_0\big(t(0),y(0)\big) = 0, \quad h_1\big(t(1),y(1)\big) = 0, \tag{1.56}$$

$$v > 0, \quad w(s) \in U, \quad U \neq \emptyset, \quad U \text{ konvex}. \tag{1.57}$$

Dies ist bereits eine Aufgabe mit fester Zeit, auf die wir Theorem 1.26 anwenden können.

Die Pontrjaginsche Funktion der Aufgabe (1.54)–(1.57) lautet

$$\begin{aligned}\tilde{H}(t,x,u,v,p,q,\lambda_0) &= \langle p, v\cdot\varphi(t,x,u)\rangle + qv - \lambda_0 v\cdot f(t,x,u)\\ &= v\cdot[H(t,x,u,p,\lambda_0)+q],\end{aligned} \tag{1.58}$$

wobei $H(t,x,u,p,\lambda_0)=\langle p,\varphi(t,x,u)\rangle-\lambda_0 f(t,x,u)$ die Pontrjagin-Funktion zu der Aufgabe (1.48)–(1.51) ist. Dann existieren nach Theorem 1.26 nicht gleichzeitig verschwindende Multiplikatoren $\lambda_0\geq 0$, $l_0\in\mathbb{R}^{s_0}$, $l_1\in\mathbb{R}^{s_1}$, $\tilde{p}(\cdot)\in W_2^1([0,1],\mathbb{R}^n)$ und $\tilde{q}(\cdot)\in W_2^1([0,1],\mathbb{R})$ derart, dass die Beziehungen

$$\begin{aligned}\tilde{p}'(s) &= -\tilde{H}_x\big(t_*(s),y_*(s),w_*(s),v_*,\tilde{p}(s),\tilde{q}(s),\lambda_0\big),\\ \tilde{p}(0) &= h_{0x}^T\big(t_*(0),y_*(0)\big)l_0, \qquad \tilde{p}(1)=-h_{1x}^T\big(t_*(1),y_*(1)\big)l_1\end{aligned}$$

und

$$\begin{aligned}\tilde{q}'(s) &= -\tilde{H}_t\big(t_*(s),y_*(s),w_*(s),v_*,\tilde{p}(s),\tilde{q}(s),\lambda_0\big),\\ \tilde{q}(0) &= \big\langle h_{0t}\big(t_*(0),y_*(0)\big),l_0\big\rangle, \qquad \tilde{q}(1)=-\big\langle h_{1t}\big(t_*(1),y_*(1)\big),l_1\big\rangle\end{aligned}$$

gelten. Weiterhin sind die Variationsungleichungen

$$\begin{aligned}&\big\langle \tilde{H}_u\big(t_*(s),y_*(s),w_*(s),v_*,\tilde{p}(s),\tilde{q}(s),\lambda_0\big),\big(w-w_*(s)\big)\big\rangle\leq 0,\\ &\big\langle \tilde{H}_v\big(t_*(s),y_*(s),w_*(s),v_*,\tilde{p}(s),\tilde{q}(s),\lambda_0\big),(v-v_*)\big\rangle\leq 0\end{aligned}$$

für alle $v>0$, $w\in U$ und für fast alle $s\in[0,1]$ erfüllt.

Es sei $s_*(\cdot)$ die zu $t_*(\cdot)$ inverse Funktion, d. h.

$$s_*(t)=\frac{t-t_{0*}}{t_{1*}-t_{0*}}, \qquad t\in[t_{0*},t_{1*}].$$

Wir führen die Bezeichnungen

$$p(t)=\tilde{p}\big(s_*(t)\big), \quad q(t)=\tilde{q}\big(s_*(t)\big)$$

ein. So lassen sich die obigen Beziehungen unter Berücksichtigung von (1.58) auf folgende Form bringen:

$$\begin{aligned}\dot{p}(t) &= -H_x\big(t,x_*(t),u_*(t),p(t),\lambda_0\big),\\ p(t_{0*}) &= h_{0x}^T\big(t_{0*},x_*(t_{0*})\big)l_0, \qquad p(t_{1*})=-h_{1x}^T\big(t_{1*},x_*(t_{1*})\big)l_1,\\ \dot{q}(t) &= -H_t\big(t,x_*(t),u_*(t),p(t),\lambda_0\big), &(1.59)\\ q(t_{0*}) &= \big\langle h_{0t}\big(t_{0*},x_*(t_{0*})\big),l_0\big\rangle, \qquad q(t_{1*})=-\big\langle h_{1t}\big(t_{1*},x_*(t_{1*})\big),l_1\big\rangle &(1.60)\end{aligned}$$

und wir erhalten die Variationsungleichungen

$$\begin{aligned}&v_*\cdot\big\langle H_u\big(t,x_*(t),u_*(t),p(t),\lambda_0\big),\big(u-u_*(t)\big)\big\rangle\leq 0,\\ &\big\langle H\big(t,x_*(t),u_*(t),p(t),\lambda_0\big)+q(t),(v-v_*)\big\rangle\leq 0.\end{aligned}$$

Wegen $0 < v_* < \infty$ folgen daraus für alle $u \in U$ die Variationsungleichung

$$\big\langle H_u\big(t, x_*(t), u_*(t), p(t), \lambda_0\big), \big(u - u_*(t)\big)\big\rangle \le 0$$

und die Beziehung

$$H\big(t, x_*(t), u_*(t), p(t), \lambda_0\big) = -q(t).$$

Durch Vergleich mit (1.59) und (1.60) erhalten wir weiter

$$\begin{aligned}
&\frac{d}{dt}H\big(t, x_*(t), u_*(t), p(t), \lambda_0\big) = H_t\big(t, x_*(t), u_*(t), p(t), \lambda_0\big),\\
&H\big(t_{0*}, x_*(t_{0*}), u_*(t_{0*}), p(t_{0*}), \lambda_0\big) = -\big\langle h_{0t}\big(t_{0*}, x_*(t_{0*})\big), l_0\big\rangle,\\
&H\big(t_{1*}, x_*(t_{1*}), u_*(t_{1*}), p(t_{1*}), \lambda_0\big) = \big\langle h_{1t}\big(t_{1*}, x_*(t_{1*})\big), l_1\big\rangle.
\end{aligned}$$

Wr fassen alle Bedingungen zusammen und formulieren das Schwache Optimalitätsprinzip für die Aufgabe mit freiem Anfangs- und Endzeitpunkt:

Theorem 1.36. *In der Aufgabe (1.48)–(1.51) sei* $\big([t_{0*}, t_{1*}], x_*(\cdot), u_*(\cdot)\big) \in \mathscr{A}_{\rm adm} \cap \mathscr{A}_{\rm Lip}$. *Ist* $\big([t_{0*}, t_{1*}], x_*(\cdot), u_*(\cdot)\big)$ *ein schwaches lokales Minimum der Aufgabe (1.48)–(1.51), dann existieren nicht gleichzeitig verschwindende Multiplikatoren* $\lambda_0 \ge 0$, $l_0 \in \mathbb{R}^{s_0}$, $l_1 \in \mathbb{R}^{s_1}$ *und* $p(\cdot) \in W_2^1([t_{0*}, t_{1*}], \mathbb{R}^n)$ *derart, dass*

(a) die Vektorfunktion $p(\cdot)$ *der adjungierten Gleichung*

$$\dot p(t) = -\varphi_x^T\big(t, x_*(t), u_*(t)\big)p(t) + \lambda_0 f_x\big(t, x_*(t), u_*(t)\big) \tag{1.61}$$

genügt und die Transversalitätsbedingungen

$$p(t_{0*}) = h_{0x}^T\big(t_{0*}, x_*(t_{0*})\big)l_0, \qquad p(t_{1*}) = -h_{1x}^T\big(t_{1*}, x_*(t_{1*})\big)l_1 \tag{1.62}$$

erfüllt;

(b) für fast alle $t \in [t_{0*}, t_{1*}]$ *und alle* $u \in U$ *die Variationsungleichung*

$$\big\langle H_u\big(t, x_*(t), u_*(t), p(t), \lambda_0\big), \big(u - u_*(t)\big)\big\rangle \le 0 \tag{1.63}$$

gilt;

(c) für die Funktion $t \to H\big(t, x_*(t), u_*(t), p(t), \lambda_0\big)$ *folgende Bedingungen gelten:*

$$\begin{aligned}
\frac{d}{dt}H\big(t, x_*(t), u_*(t), p(t), \lambda_0\big) &= H_t\big(t, x_*(t), u_*(t), p(t), \lambda_0\big), &(1.64)\\
H\big(t_{0*}, x_*(t_{0*}), u_*(t_{0*}), p(t_{0*}), \lambda_0\big) &= -\big\langle h_{0t}\big(t_{0*}, x_*(t_{0*})\big), l_0\big\rangle, &(1.65)\\
H\big(t_{1*}, x_*(t_{1*}), u_*(t_{1*}), p(t_{1*}), \lambda_0\big) &= \big\langle h_{1t}\big(t_{1*}, x_*(t_{1*})\big), l_1\big\rangle. &(1.66)
\end{aligned}$$

1.3.6. Hinreichende Bedingungen nach Mangasarian

Die Darstellung der hinreichenden Bedingungen nach Mangasarian [45] für das folgende Steuerungsproblem ist Seierstad & Sydsæter [61] entnommen:

$$J\big(x(\cdot),u(\cdot)\big) = \int_{t_0}^{t_1} f\big(t,x(t),u(t)\big)\,dt \to \inf, \tag{1.67}$$

$$\dot{x}(t) = \varphi\big(t,x(t),u(t)\big), \tag{1.68}$$

$$x(t_0) = x_0, \qquad x(t_1) = x_1, \tag{1.69}$$

$$u(t) \in U \subseteq \mathbb{R}^m, \quad U \neq \emptyset, \quad U \text{ konvex}. \tag{1.70}$$

Wir schließen in der Aufgabenstellung nicht aus, dass durch die Randbedingungen (1.69) gewisse Komponenten der Punkte x_0 und x_1 nicht einschränkt werden.

Theorem 1.37. *Sei* $\big(x_*(\cdot),u_*(\cdot)\big) \in \mathscr{A}_{\mathrm{Lip}} \cap \mathscr{A}_{\mathrm{adm}}$. *Ferner gelte:*

(a) Das Tripel $\big(x_*(\cdot),u_*(\cdot),p(\cdot)\big)$ *erfüllt (1.40)–(1.42) in Theorem 1.26 mit* $\lambda_0 = 1$.

(b) Für jedes $t \in [t_0,t_1]$ *ist die Funktion* $H\big(t,x,u,p(t),1\big)$ *konkav bezüglich* (x,u) *auf* U_γ.

Dann ist $\big(x_*(\cdot),u_*(\cdot)\big)$ *ein schwaches lokales Minimum der Aufgabe (1.67)–(1.70).*

Beweis Es sei $\big(x(\cdot),u(\cdot)\big) \in \mathscr{A}_{\mathrm{adm}}$ mit $\|x(\cdot)-x_*(\cdot)\|_\infty \le \gamma$, $\|u(\cdot)-u_*(\cdot)\|_{L_\infty} \le \gamma$. Wir betrachten die Differenz

$$\begin{aligned}
\Delta &= \int_{t_0}^{t_1} \big[f\big(t,x(t),u(t)\big) - f\big(t,x_*(t),u_*(t)\big)\big]\,dt \\
&= \int_{t_0}^{t_1} \big[H\big(t,x_*(t),u_*(t),p(t),1\big) - H\big(t,x(t),u(t),p(t),1\big)\big]\,dt \\
&\qquad + \int_{t_0}^{t_1} \langle p(t), \dot{x}(t) - \dot{x}_*(t)\rangle\,dt.
\end{aligned}$$

Aus den elementaren Eigenschaften konkaver Funktionen folgt

$$\begin{aligned}
&H\big(t,x_*(t),u_*(t),p(t),1\big) - H\big(t,x(t),u(t),p(t),1\big) \\
&\quad\ge\ -\big\langle H_x\big(t,x_*(t),u_*(t),p(t),1\big), x(t)-x_*(t)\big\rangle \\
&\qquad -\big\langle H_u\big(t,x_*(t),u_*(t),p(t),1\big), u(t)-u_*(t)\big\rangle.
\end{aligned}$$

Damit, sowie mit der adjungierten Gleichung (1.40) und der Ungleichung (1.42) gilt

$$\begin{aligned}
\Delta &\ge \int_{t_0}^{t_1} \langle \dot{p}(t), x(t)-x_*(t)\rangle + \langle p(t), \dot{x}(t)-\dot{x}_*(t)\rangle dt \\
&= \langle p(t_1), x(t_1)-x_*(t_1)\rangle - \langle p(t_0), x(t_0)-x_*(t_0)\rangle.
\end{aligned}$$

Im Fall fester Endbedingungen verschwinden die Differenzen $x(t_i) - x_*(t_i)$. Sind jedoch gewisse Komponenten im Anfangs- oder Endpunkt x_0 bzw. x_1 frei, dann liefern die Transversalitätsbedingungen, dass die entsprechenden Komponenten der Adjungierten $p(\cdot)$ zum Zeitpunkt t_0 bzw. t_1 verschwinden. Daher folgt die Beziehung $\Delta \geq 0$ für alle zulässigen $\big(x(\cdot), u(\cdot)\big)$ mit $\|x(\cdot) - x_*(\cdot)\|_\infty \leq \gamma$, $\|u(\cdot) - u_*(\cdot)\|_{L_\infty} \leq \gamma$. ■

Beispiel 1.38. Das Beispiel 1.6 überführen wir in die Form

$$J\big(x(\cdot), u(\cdot)\big) = \int_0^1 \big[\big(x(t) - 1\big)^2 + u^2(t)\big]\, dt \to \inf,$$
$$\dot{x}(t) = u(t), \qquad x(0) = 0, \quad x(1) = 2, \qquad u(t) \in \mathbb{R}.$$

Die Pontrjagin-Funktion $H(t, x, u, p, 1) = pu - (x-1)^2 - u^2$ ist offenbar streng konkav in (x, u). Daher liefert die Extremale

$$x_*(t) = 1 + \frac{1}{e-1}e^t - \frac{e}{e-1}e^{-t}$$

ein schwaches lokales Minimum. □

Beispiel 1.39. Im einfachen Vorsorgemodell 1.18 mit konkaver Nutzenfunktion U,

$$J\big(K(\cdot), C(\cdot)\big) = \int_0^T e^{-\varrho t} U\big(C(t)\big)\, dt \to \sup,$$
$$\dot{K}(t) = L(t) - C(t) + rK(t), \qquad K(0) = K_0, \quad K(T) = K_T, \qquad C(t) \in \mathbb{R},$$

wird die optimale Konsumption $C_*(\cdot)$ durch die Bedingung

$$U'\big(C_*(t)\big) = l_0 e^{(\varrho - r)t}$$

vorgeschlagen. Die Pontrjagin-Funktion $H(t, K, C, p, 1) = p(L(t) - C - K) + e^{-\varrho t}U(C)$ ist auf einer Umgebung U_γ des optimalen Steuerungsprozesses streng konkav in (K, C), die dem Definitionsbereich der Nutzenfunktion U angehört.
Daher ist der eindeutig bestimmte Steuerungsprozess $\big(K_*(\cdot), C_*(\cdot)\big)$, der die Bedingungen

$$\dot{K}_*(t) = L(t) - C_*(t) + rK_*(t), \quad K_*(0) = K_0,\ K_*(T) = K_T, \quad U'\big(C_*(t)\big) = l_0 e^{(\varrho - r)t}$$

erfüllt, ein schwaches lokales Minimum. □

2. Nadelvariationen und Starkes lokales Minimum

Die Methoden der Optimalen Steuerung liefern geeignete Werkzeuge für viele Problemklassen. In den meisten praktischen Anwendungen sind allerdings Steuerungselemente enthalten, die nur gewisse Positionen annehmen dürfen. Eine Richtungsvariation des letzten Kapitels ist bezüglich dieser Elemente nicht zulässig. Deswegen wollen wir in diesem Kapitel eine neue Klasse von Variationen betrachten. Die Grundlage dafür wurde im Rahmen der Klassischen Variationsrechnung von Karl Weistraß (1815–1897) durch die Einführung der Nadelvariationsmethode gelegt. Im Vergleich zur schwachen lokalen Optimalstelle entsteht ein allgemeinerer Optimalitätsbegriff.
Der Übergang von der Klassischen Variationsrechung zur Optimalen Steuerung wurde durch die Identifizierung der Aufgabenklassen der Steuerungstheorie und durch die Entwicklung von geeigneten Methoden realisiert. Wesentliche Beiträge zu diesen Entdeckungen haben Constantin Carathéodory (1873–1950), Edward James McShane (1904–1989), Magnus Hestenes (1906–1991), Richard Bellman (1920–1984), Rufus Isaacs (1914–1977) und Lew Semjonowitsch Pontrjagin (1908–1988) in Zusammenarbeit mit Wladimir Boltjanski (1925–) und Rewas Gamkrelidze (1927–) geleistet. Zu den bedeutendsten Ergebnissen zu den Optimalitätsbedingungen zählen das Pontrjaginsche Maximumprinzip und das Prinzip der Dynamischen Programmierung.

Im Fokus dieses Kapitels stehen die Verallgemeinerung der Methode der Weierstraßschen Nadelvariationen und der Nachweis des Pontrjaginschen Maximumprinzips. Der Errungenschaft des Maximumprinzips gehen wichtige Entwicklungen der Mathematik in der ersten Hälfte des 20. Jahrhunderts voraus. Ohne die Methoden der Funktionalanalysis oder der Theorie von Differentialgleichungen mit unstetigen rechten Seiten ist dessen vollständiger Nachweis kaum denkbar. Dieses vielschichtige und umfassende theoretische Fundament, der komplexe Beweis des Maximumprinzips und die eigenständigen Methoden, die zum Nachweis ausgearbeitet wurden, bilden einen maßgeblichen Beitrag zur Etablierung der Optimalen Steuerung als eigenständige mathematische Disziplin.

Das Kapitel zu Nadelvariationen und starken lokalen Minimalstellen in Steuerungsproblemen beginnen wir mit der Untersuchung der Aufgabe mit freiem rechten Endpunkt. Da neben der Dynamik $\dot{x}(t) = \varphi\big(t, x(t), u(t)\big)$ zum Anfangswert $x(t_0) = x_0$ keine weitere Beschränkung an die Zustandstrajektorie vorliegt, ist die Methode der einfachen Nadelvariation ein geeignetes Mittel zur Herleitung von notwendigen Optimaltätsbedingungen.
Der Übergang zu allgemeineren Aufgabenklassen ist mit der einfachen Nadelvariationsmethode nicht möglich. Wir stellen deswegen die Konstruktion von mehrfachen Nadelvariationen nach Ioffe & Tichomirov [38] vor. Die Ideen, die zu den Trägermengen führen, und die aufwendige Analyse der Eigenschaften der mehrfachen Nadelvariationen über diesen Trägermengen sind maßgeblich für die folgenden Abschnitte. Das Pontrjaginsche Maximumprinzip beweisen wir auf der Grundlage der mehrfachen Nadelvariationen. Auf den Beweis des Pontrjaginschen Maximumprinzips für das Standardproblem mittels der Substitution der Zeit nach Dubovitskii & Milyutin [19] gehen wir nicht ein. Sondern wir nutzen

die Methode der Substitution der Zeit, um die notwendigen Optimalitätsbedingungen für die Aufgabe mit freiem Anfangs- und Endzeitpunkt aus dem Maximumprinzip für Aufgaben mit festem Zeitintervall abzuleiten.

2.1. Die Nadelvariation der Klassischen Variationsrechnung

Zur Einstimmung auf die Untersuchung von starken lokalen Minimalstellen betrachten wir zunächst wieder die einfachste Aufgabe der Klassischen Variationsrechnung:

$$J\big(x(\cdot)\big) = \int_{t_0}^{t_1} f\big(t, x(t), \dot{x}(t)\big)\, dt \to \inf, \tag{2.1}$$

$$x(t_0) = x_0, \qquad x(t_1) = x_1. \tag{2.2}$$

Ebenso wie in Abschnitt 1.1 seien die Punkte $t_0 < t_1$, x_0, x_1 fest vorgegeben und es sei die Funktion $f : \mathbb{R} \times \mathbb{R} \times \mathbb{R} \to \mathbb{R}$ in (2.1) in einem Gebiet $U \subseteq \mathbb{R}^3$ stetig differenzierbar.

Im Gegensatz zur Analyse der Aufgabe (1.1)–(1.2) betrachten wir an dieser Stelle nicht die Richtungsvariation $x_\lambda(\cdot) = x_*(\cdot) + \lambda x(\cdot)$ mit $x_*(\cdot), x(\cdot) \in C_1([t_0, t_1], \mathbb{R})$ und entsprechender Normkonvergenz

$$\|x_\lambda(\cdot) - x_*(\cdot)\|_{C_1} = |\lambda| \|x(\cdot)\|_{C_1} \to 0 \qquad \text{für } \lambda \to 0.$$

Sondern wir variieren bezüglich Funktionen, die die Form einer Nadel aufweisen, die bei der Verkleinerung des Parameters λ zwar schmaler wird, aber deren Anstieg sich nicht verringert. Dazu seien $v \in \mathbb{R}$, $\tau \in (t_0, t_1)$ und $0 < \lambda < \varepsilon$ mit $\tau + \varepsilon < t_1$ gegeben. Ferner setzen wir $u = -\lambda v/(\varepsilon - \lambda)$. Dann betrachten wir folgende stückweise lineare Funktion $\xi_\lambda(\cdot)$ mit stückweise konstanter Ableitung $\dot{\xi}_\lambda(\cdot)$:

$$\dot{\xi}_\lambda(t) = \begin{cases} 0, & t \notin [\tau, \tau + \varepsilon], \\ v, & t \in [\tau, \tau + \lambda), \\ u, & t \in [\tau + \lambda, \tau + \varepsilon], \end{cases} \qquad \xi_\lambda(t) = \begin{cases} 0, & t \notin [\tau, \tau + \varepsilon], \\ v(t - \tau), & t \in [\tau, \tau + \lambda), \\ \lambda v + u(t - \tau - \lambda), & t \in [\tau + \lambda, \tau + \varepsilon]. \end{cases}$$

Die daraus resultierende Variation $x_\lambda(\cdot) = x_*(\cdot) + \xi_\lambda(\cdot)$ besitzt dann die Eigenschaften

$$\begin{aligned} \|x_\lambda(\cdot) - x_*(\cdot)\|_\infty &= \|\xi_\lambda(\cdot)\|_\infty = \lambda|v| \to 0 && \text{für } \lambda \to 0, \\ \|x_\lambda(\cdot) - x_*(\cdot)\|_{C_1} &\geq \|\dot{\xi}_\lambda(\cdot)\|_\infty \geq |v| \not\to 0 && \text{für } \lambda \to 0. \end{aligned}$$

Der Übergang von den Richtungs- zu den Nadelvariationen vergrößert die Menge der Trajektorien. Deswegen nennen wir die Funktion $x_*(\cdot)$ ein starkes lokales Minimum in der Aufgabe (2.1)–(2.2), wenn sie die Randbedingungen (2.2) erfüllt und falls ein $\varepsilon > 0$ derart existiert, dass die Ungleichung

$$J\big(x(\cdot)\big) \geq J\big(x_*(\cdot)\big)$$

für alle zulässigen Funktionen $x(\cdot)$ mit $\|x(\cdot) - x_*(\cdot)\|_\infty < \varepsilon$ gilt.

Einen anschaulichen Vergleich von starken und schwachen lokalen Minimalstellen liefert

$$J\big(x(\cdot)\big) = \int_0^1 \dot{x}^3(t)\,dt \to \inf, \qquad x(0) = 0, \quad x(1) = 1.$$

In dieser Aufgabe gibt es eine eindeutig bestimmte Lösung der Euler-Lagrange-Gleichung, diese stellt ferner ein schwaches lokales Minimum dar, aber kein starkes. Demgegenüber existiert kein starkes lokales Minimum und es gilt $\inf J = -\infty$ in jeder gleichmäßigen Umgebung der schwachen lokalen Minimalstelle.

Die Euler-Lagrangesche Gleichung besitzt die Gestalt $\frac{d}{dt}(3\dot{x}^2) = 0$. Eindeutige Lösung dieser Gleichung, die den Randbedingungen genügt, ist $x_*(t) = t$.
Es sei $x(\cdot) \in C_1([0,1],\mathbb{R})$ mit $x(0) = x(1) = 0$. Dann ist $x_*(\cdot) + x(\cdot)$ zulässig. Wir erhalten

$$J\big(x_*(\cdot) + x(\cdot)\big) = \int_0^1 \left[\frac{d}{dt}\big(t + x(t)\big)\right]^3 dt = J\big(x_*(\cdot)\big) + \int_0^1 [3\dot{x}^2(t) + \dot{x}^3(t)]\,dt.$$

Wenn daher $3\dot{x}^2(t) + \dot{x}^3(t) \geq 0$ auf $[0,1]$ gilt, was insbesondere bei $\|x(\cdot)\|_{C_1} \leq 3$ wegen $|\dot{x}^3(t)| = |\dot{x}(t)| \cdot \dot{x}^2(t) \leq 3\dot{x}^2(t)$ erfüllt ist, so ist

$$J\big(x_*(\cdot) + x(\cdot)\big) \geq J\big(x_*(\cdot)\big).$$

D. h., dass $x_*(t) = t$ ein schwaches lokales Minimum in der Aufgabe liefert.

Andererseits ergeben sich für die Funktionen $x_n(\cdot) = x_*(\cdot) + \xi_n(\cdot)$ mit

$$\xi_n(0) = \xi_n(1) = 0, \qquad \dot{\xi}_n(t) = \begin{cases} -\sqrt{n}, & t \notin [0, 1/n], \\ \frac{\sqrt{n}}{n-1}, & t \in (1/n, 1], \end{cases}$$

dass das Funktional J für große n asymptotisch gleich $-\sqrt{n}$ ausfällt und deswegen

$$J\big(x_n(\cdot)\big) \to -\infty \qquad \text{für } n \to \infty$$

gilt. Da nun bezüglich der Supremumsnorm aber

$$\|x_n(\cdot) - x_*(\cdot)\|_\infty = \|\xi_n(\cdot)\|_\infty = 1/\sqrt{n}$$

ist, liegt mit $x_*(\cdot)$ kein starkes lokales Minimum vor, und es ist $\inf J = -\infty$.

2.2. Das Maximumprinzip für die Aufgabe mit freiem rechten Endpunkt

2.2.1. Formulierung der Aufgabe und das Maximumprinzip

Wir betrachten die Aufgabe

$$J\big(x(\cdot), u(\cdot)\big) = \int_{t_0}^{t_1} f\big(t, x(t), u(t)\big)\,dt \to \inf, \tag{2.3}$$

$$\dot{x}(t) = \varphi\big(t, x(t), u(t)\big), \quad x(t_0) = x_0, \quad x(t_1) \text{ frei}, \tag{2.4}$$

$$u(t) \in U \subseteq \mathbb{R}^m, \quad U \neq \emptyset, \tag{2.5}$$

auf dem gegebenen Intervall $[t_0, t_1]$ und mit festem Punkt $x_0 \in \mathbb{R}^n$. Die Aufgabe (2.3)–(2.5) untersuchen wir bezüglich

$$\big(x(\cdot), u(\cdot)\big) \in PC_1([t_0, t_1], \mathbb{R}^n) \times PC([t_0, t_1], U).$$

Dabei ist $PC([t_0, t_1], U)$ die Menge der stückweise stetigen Vektorfunktionen, die nur Werte aus der Menge $U \subseteq \mathbb{R}^m$ annehmen und die nur endlich viele Sprungstellen im Inneren des betrachteten Zeitintervalls $[t_0, t_1]$ besitzen. Der Raum $PC_1([t_0, t_1], \mathbb{R}^n)$ besteht auf $[t_0, t_1]$ aus den stetigen und stückweise stetig differenzierbaren Vektorfunktionen, deren Ableitung dem Raum $PC([t_0, t_1], \mathbb{R}^n)$ angehört.

Zu $x(\cdot)$ bezeichne V_γ die Menge

$$V_\gamma = \{(t, x) \in [t_0, t_1] \times \mathbb{R}^n \mid \|x - x(t)\| \le \gamma\}.$$

Dann gehören zur Menge $\mathscr{B}^0_{\text{Lip}}$ diejenigen $x(\cdot) \in PC_1([t_0, t_1], \mathbb{R}^n)$, für die es eine Zahl $\gamma > 0$ derart gibt, dass

($\mathbf{B}^0$) die Abbildungen $f(t, x, u)$, $\varphi(t, x, u)$ auf $V_\gamma \times U$ stetig differenzierbar sind.

Das Paar $\big(x(\cdot), u(\cdot)\big) \in PC_1([t_0, t_1], \mathbb{R}^n) \times PC([t_0, t_1], U)$ heißt ein zulässiger Steuerungsprozess in der Aufgabe (2.3)–(2.5), falls $\big(x(\cdot), u(\cdot)\big)$ dem System (2.4) zu $x(t_0) = x_0$ genügt. Mit $\mathscr{B}^0_{\text{adm}}$ bezeichnen wir die Menge der zulässigen Steuerungsprozesse.

Ein zulässiger Steuerungsprozess $\big(x_*(\cdot), u_*(\cdot)\big)$ ist eine starke lokale Minimalstelle der Aufgabe (2.3)–(2.5), falls eine Zahl $\varepsilon > 0$ derart existiert, dass die Ungleichung

$$J\big(x(\cdot), u(\cdot)\big) \ge J\big(x_*(\cdot), u_*(\cdot)\big)$$

für alle $\big(x(\cdot), u(\cdot)\big) \in \mathscr{B}^0_{\text{adm}}$ mit $\|x(\cdot) - x_*(\cdot)\|_\infty \le \varepsilon$ gilt.

Für die Aufgabe (2.3)–(2.5) bezeichnet $H : \mathbb{R} \times \mathbb{R}^n \times \mathbb{R}^m \times \mathbb{R}^n \times \mathbb{R} \to \mathbb{R}$ die Pontrjagin-Funktion, die wir wie folgt definieren:

$$H(t, x, u, p, \lambda_0) = \langle p, \varphi(t, x, u)\rangle - \lambda_0 f(t, x, u).$$

Theorem 2.1 (Pontrjaginsches Maximumprinzip)**.** *Sei $\big(x_*(\cdot), u_*(\cdot)\big) \in \mathscr{B}^0_{\text{adm}} \cap \mathscr{B}^0_{\text{Lip}}$. Ist $\big(x_*(\cdot), u_*(\cdot)\big)$ ein starkes lokales Minimum der Aufgabe (2.3)–(2.5), dann existiert eine Funktion $p(\cdot) \in PC_1([t_0, t_1], \mathbb{R}^n)$ derart, dass*

(a) die Vektorfunktion $p(\cdot)$ der adjungierten Gleichung

$$\dot p(t) = -\varphi_x^T\big(t, x_*(t), u_*(t)\big)\, p(t) + f_x\big(t, x_*(t), u_*(t)\big) \tag{2.6}$$

genügt und die Randbedingung

$$p(t_1) = 0 \tag{2.7}$$

erfüllt;

(b) in fast allen Punkten $t \in [t_0, t_1]$ die Maximumbedingung mit $\lambda_0 = 1$ gilt:

$$H\big(t, x_*(t), u_*(t), p(t), 1\big) = \max_{u \in U} H\big(t, x_*(t), u, p(t), 1\big). \tag{2.8}$$

2.2.2. Der Beweis des Maximumprinzips

Zunächst ist zu klären, dass in der Aufgabe (2.3)–(2.5) stets eine Lösung $p(\cdot)$ der adjungierten Gleichung (2.6) zur Randbedingung $p(t_1) = 0$ existiert. Da sämtliche Abbildungen stetig differenzierbar sind und die Funktion $u_*(\cdot)$ dem Raum $PC([t_0, t_1], U)$ angehört, erfüllt die adjungierte Gleichung (2.6) die Voraussetzungen von Lemma D.2 und Satz D.3. Daher existiert eine absolutstetige Lösung der Gleichung (2.6), die mit Lemma D.2 eine stückweise stetige Ableitung besitzt.

Es sei $\tau \in (t_0, t_1)$ ein Stetigkeitspunkt der Steuerung $u_*(\cdot)$. Dann ist $u_*(\cdot)$ auch in einer gewissen hinreichend kleinen Umgebung von τ stetig und wir wählen ein festes λ positiv und hinreichend klein, so dass sich $\tau - \lambda$ in dieser Umgebung befindet. Weiter sei nun v ein beliebiger Punkt aus U. Wir setzen

$$u(t; v, \tau, \lambda) = u_\lambda(t) = \begin{cases} u_*(t) & \text{für } t \notin [\tau - \lambda, \tau), \\ v & \text{für } t \in [\tau - \lambda, \tau), \end{cases}$$

und es bezeichne $x_\lambda(\cdot)$, $x_\lambda(t) = x(t; v, \tau, \lambda)$, die eindeutige Lösung der Gleichung

$$\dot{x}(t) = \varphi\big(t, x(t), u_\lambda(t)\big), \qquad x(t_0) = x_0.$$

Dann gilt offenbar $x_\lambda(t) = x_*(t)$ für $t_0 \le t \le \tau - \lambda$.
Für $t \ge \tau$ untersuchen wir im Weiteren den Grenzwert

$$y(t) = \lim_{\lambda \to 0^+} \frac{x_\lambda(t) - x_*(t)}{\lambda},$$

und werden zeigen, dass dieser existiert, die Funktion $y(\cdot)$ der Integralgleichung

$$y(t) = y(\tau) + \int_\tau^t \varphi_x\big(s, x_*(s), u_*(s)\big)\, y(s)\, ds \tag{2.9}$$

zur Anfangsbedingung

$$y(\tau) = \varphi\big(\tau, x_*(\tau), v\big) - \varphi\big(\tau, x_*(\tau), u_*(\tau)\big) \tag{2.10}$$

genügt und die Beziehung

$$\langle p(\tau), y(\tau)\rangle = -\int_\tau^{t_1} \big\langle f_x\big(t, x_*(t), u_*(t)\big), y(t)\big\rangle\, dt \tag{2.11}$$

erfüllt ist.

Herleitung von (2.10): Nach Wahl des Punktes τ ist $\dot{x}_*(\cdot)$ in einer Umgebung dieses Punktes stetig und für hinreichend kleine positive λ gelten

$$\begin{aligned} x_*(\tau) &= x_*(\tau - \lambda) + \lambda\varphi\big(\tau - \lambda, x_*(\tau - \lambda), u_*(\tau - \lambda)\big) + o(\lambda), \\ x_\lambda(\tau) &= x_*(\tau - \lambda) + \lambda\varphi\big(\tau - \lambda, x_*(\tau - \lambda), v\big) + o(\lambda). \end{aligned}$$

Hieraus folgt

$$\frac{x_\lambda(\tau) - x_*(\tau)}{\lambda} = \varphi\big(\tau - \lambda, x_*(\tau - \lambda), v\big) - \varphi\big(\tau - \lambda, x_*(\tau - \lambda), u_*(\tau - \lambda)\big) + \frac{o(\lambda)}{\lambda}.$$

D. h., dass der Grenzwert

$$y(\tau) = \lim_{\lambda \to 0^+} \frac{x_\lambda(\tau) - x_*(\tau)}{\lambda}$$

existiert und gleich (2.10) ist.

Herleitung von (2.9): Auf dem Intervall $[\tau, t_1]$ genügen sowohl $x_*(\cdot)$ als auch $x_\lambda(\cdot)$ der Gleichung

$$\dot{x}(t) = \varphi\big(t, x(t), u_*(t)\big).$$

Aus dem Satz über die Stetigkeit und Differenzierbarkeit der Lösung eines Differentialgleichungssystems in Abhängigkeit von den Anfangsdaten folgt, dass für hinreichend kleine positive λ die Vektorfunktionen $x_\lambda(\cdot)$ auf $[\tau, t_1]$ definiert sind, für $\lambda \to 0^+$ gleichmäßig gegen $x_*(\cdot)$ konvergieren und dass der Grenzwert

$$y(t) = \lim_{\lambda \to 0^+} \frac{x_\lambda(t) - x_*(t)}{\lambda}$$

für jedes $t \in [\tau, t_1]$ existiert. Für $t > \tau$ gelten

$$x_\lambda(t) = x_\lambda(\tau) + \int_\tau^t \varphi\big(s, x_\lambda(s), u_*(s)\big)\, ds, \quad x_*(t) = x_*(\tau) + \int_\tau^t \varphi\big(s, x_*(s), u_*(s)\big)\, ds,$$

woraus sich die folgende Beziehung ergibt:

$$\frac{x_\lambda(t) - x_*(t)}{\lambda} = \frac{x_\lambda(\tau) - x_*(\tau)}{\lambda} + \int_\tau^t \frac{\varphi\big(s, x_\lambda(s), u_*(s)\big) - \varphi\big(s, x_*(s), u_*(s)\big)}{\lambda}\, ds.$$

Hierin führen wir den Grenzübergang $\lambda \to 0^+$ durch und erhalten

$$\lim_{\lambda \to 0^+} \frac{x_\lambda(t) - x_*(t)}{\lambda} = y(t) \quad \text{und} \quad \lim_{\lambda \to 0^+} \frac{x_\lambda(\tau) - x_*(\tau)}{\lambda} = y(\tau).$$

Aufgrund unserer Annahmen an die Abbildung φ dürfen wir den Grenzübergang unter dem Integralzeichen ausführen und erhalten für den Integranden

$$\lim_{\lambda \to 0^+} \frac{\varphi\big(s, x_\lambda(s), u_*(s)\big) - \varphi\big(s, x_*(s), u_*(s)\big)}{\lambda} = \varphi_x\big(s, x_*(s), u_*(s)\big)\, y(s).$$

Herleitung von (2.11): Mit (2.6) und (2.9) erhalten wir für $t \geq \tau$

$$\frac{d}{dt}\langle p(t), y(t)\rangle = \big\langle f_x\big(t, x_*(t), u_*(t)\big), y(t)\big\rangle.$$

Daher gilt, da $p(t_1) = 0$ ist,

$$\langle p(t), y(t)\rangle = -\int_t^{t_1} \big\langle f_x\big(s, x_*(s), u_*(s)\big), y(s)\big\rangle\, ds.$$

Für $t = \tau$ folgt daraus insbesondere (2.11).

Beweisschluss: Da $\big(x_*(\cdot), u_*(\cdot)\big)$ ein starkes lokales Minimum ist, ist für alle hinreichend kleine und positive λ

$$\frac{J\big(x_\lambda(\cdot), u_\lambda(\cdot)\big) - J\big(x_*(\cdot), u_*(\cdot)\big)}{\lambda} \geq 0.$$

Für den Grenzwert

$$\lim_{\lambda\to 0^+} \frac{J\big(x_\lambda(\cdot), u_\lambda(\cdot)\big) - J\big(x_*(\cdot), u_*(\cdot)\big)}{\lambda}$$

ergibt sich

$$\begin{aligned}
&\lim_{\lambda\to 0^+} \frac{1}{\lambda}\int_{\tau-\lambda}^{\tau} \Big[f\big(t, x_\lambda(t), u_\lambda(t)\big) - f\big(t, x_*(t), u_*(t)\big)\Big]\, dt \\
&+ \lim_{\lambda\to 0^+} \frac{1}{\lambda}\int_{\tau}^{t_1} \Big[f\big(t, x_\lambda(t), u_\lambda(t)\big) - f\big(t, x_*(t), u_*(t)\big)\Big]\, dt \\
= \;& f\big(\tau, x_*(\tau), v\big) - f\big(\tau, x_*(\tau), u_*(\tau)\big) + \int_\tau^{t_1} \big\langle f_x\big(t, x_*(t), u_*(t)\big), y(t)\big\rangle\, dt.
\end{aligned}$$

Zusammenfassend haben wir

$$\begin{aligned}
0 \;\leq\; & \lim_{\lambda\to 0^+} \frac{J\big(x_\lambda(\cdot), u_\lambda(\cdot)\big) - J\big(x_*(\cdot), u_*(\cdot)\big)}{\lambda} \\
= \;& f\big(\tau, x_*(\tau), v\big) - f\big(\tau, x_*(\tau), u_*(\tau)\big) + \int_\tau^{t_1} \big\langle f_x\big(t, x_*(t), u_*(t)\big), y(t)\big\rangle\, dt
\end{aligned}$$

gezeigt. Bei Anwendung von Gleichung (2.11) ergibt sich hieraus die Ungleichung

$$\begin{aligned}
&\big\langle p(\tau), \varphi\big(\tau, x_*(\tau), u_*(\tau)\big)\big\rangle - f\big(\tau, x_*(\tau), u_*(\tau)\big) \\
\geq\; &\big\langle p(\tau), \varphi\big(\tau, x_*(\tau), v\big)\big\rangle - f\big(\tau, x_*(\tau), v\big).
\end{aligned}$$

Damit folgt aus der Definition der Pontrjagin-Funktion mit $\lambda_0 = 1$:

$$H\big(\tau, x_*(\tau), u_*(\tau), p(\tau), 1\big) \geq H\big(\tau, x_*(\tau), v, p(\tau), 1\big).$$

Nun ist τ ein beliebiger Stetigkeitspunkt von $u_*(\cdot)$ und v ein beliebiger Punkt der Menge U. Demzufolge ist die Beziehung (2.8) in allen Stetigkeitspunkten von $u_*(\cdot)$ wahr und damit ist das Maximumprinzip bewiesen. ■

2.2.3. Ökonomische Deutung des Maximumprinzips

Die ökonomische Interpretation des Pontrjaginschen Maximumprinzips wurde von Dorfman [18] angeregt. Wir geben eine Variante an, die sich auf den Beweis von Theorem 2.1 im letzten Abschnitt bezieht.

Der Kern des Beweises im letzten Abschnitt war, die Auswirkungen der Nadelvariation

$$u(t;v,\tau,\lambda) = u_\lambda(t) = \begin{cases} u_*(t) & \text{für } t \notin [\tau-\lambda,\tau), \\ v & \text{für } t \in [\tau-\lambda,\tau), \end{cases}$$

auf das Steuerungsproblem (2.3)–(2.5) zu untersuchen. Die dadurch erreichte marginale Änderung

$$y(t) = \lim_{\lambda\to 0^+} \frac{x_\lambda(t) - x_*(t)}{\lambda}$$

des optimalen Zustandes $x_*(\cdot)$ bewirkt im Zielfunktional

$$\langle p(\tau), y(\tau)\rangle = -\int_\tau^{t_1} \big\langle f_x\big(t, x_*(t), u_*(t)\big), y(t)\big\rangle\, dt, \tag{2.12}$$

wobei $p(\cdot)$ die Lösung der adjungierten Gleichung war. Abschließend erhielten wir für den marginalen Profit die Beziehung

$$\begin{aligned} &\lim_{\lambda\to 0^+} \frac{J\big(x_\lambda(\cdot), u_\lambda(\cdot)\big) - J\big(x_*(\cdot), u_*(\cdot)\big)}{\lambda} \\ &\quad = f\big(\tau, x_*(\tau), v\big) - f\big(\tau, x_*(\tau), u_*(\tau)\big) + \int_\tau^{t_1} \big\langle f_x\big(t, x_*(t), u_*(t)\big), y(t)\big\rangle\, dt \\ &\quad = H\big(\tau, x_*(\tau), u_*(\tau), p(\tau), 1\big) - H\big(\tau, x_*(\tau), v, p(\tau), 1\big). \end{aligned} \tag{2.13}$$

Die Entscheidung zum Zeitpunkt τ mit dem Parameter v statt $u_*(\tau)$ zu steuern hat einen direkten und indirekten Effekt (Feichtinger & Hartl [21]):

- Der unmittelbare Effekt besteht darin, dass die Profitrate $f\big(\tau, x_*(\tau), v\big)$ erzielt wird.
- Die indirekte Wirkung manifestiert sich in der Änderung der Kapitalbestände um $y(\tau)$. Der Kapitalstock wird durch die in τ getroffene Entscheidung transformiert, was bemessen mit der Adjungierten $p(\cdot)$ in (2.12) ausgedrückt wird.

Die Gleichung (2.12) beschreibt damit die Opportunitätskosten, die sich durch die Entscheidung v zum Zeitpunkt τ ergeben. Wegen der Darstellung der Opportunitätskosten in der Form $\langle p(\tau), y(\tau)\rangle$ in (2.12), wird die Adjungierte $p(\cdot)$ in der Ökonomie häufig als Schattenpreis bezeichnet.
Ferner bemisst die Funktion $v \to H\big(\tau, x_*(\tau), v, p(\tau), 1\big)$ nach Gleichung (2.13) die Profitrate aus direktem und indirektem Gewinn, die sich aus der Änderung der Kapitalbestände ergibt. Die Maximumbedingung sagt daher aus, dass die Instrumente zu jedem Zeitpunkt so eingesetzt werden sollen, dass die totale Profitrate maximal wird.

2.2.4. Kapitalismusspiel

Wir betrachten ein Differentialspiel zwischen Arbeitern, die ihren Konsum steuern, und Unternehmern, die investieren und den davon verbliebenen Rest konsumieren können. Für die Arbeiter stellt sich dabei das Problem, inwieweit sie den produzierten Ertrag konsumieren oder den Unternehmern überlassen sollen, damit eine künftige hohe Güterproduktion ermöglicht wird, von der auch die Arbeiter wieder profitieren. Das Dilemma, das sich dem Arbeiter stellt, ist, dass sie keine Garantien über ausreichende Neuinvestitionen seitens der Unternehmer haben.
Die Unternehmer stehen ihrerseits vor der Frage, wie sie mit dem verbliebenen Teil des Ertrages, der nicht dem Arbeiter zugesprochen wird, umgehen: Sollen sie diesen investieren oder konsumieren?
Die Spielsituation ensteht dadurch, dass der Nutzen für den Arbeiter und den Unternehmern durch den aufgeteilten Ertrag miteinander gekoppelt ist. D. h. der Gewinn eines jeden Spielers hängt von der Entscheidung des anderen Spielers ab.

In diesem Modell werden die Geld- und Güterwerte im Kapitalstock $K(\cdot)$ zusammengefasst. Weiter bezeichne $u(t)$ denjenigen relativen Anteil an der Produktion, der dem Arbeiter zum Zeitpunkt t zugesprochen wird. Von dem verbliebenen Teil kann der Unternehmer mit der Rate $v(t)$ zur Zeit t investieren. Mit den Zielfunktionalen W bzw. C für den Arbeiter bzw. Unternehmer entsteht damit die folgende Aufgabe

$$W\big(K(\cdot),u(\cdot),v(\cdot)\big) = \int_0^T u(t)K(t)\,dt \to \sup, \tag{2.14}$$

$$C\big(K(\cdot),u(\cdot),v(\cdot)\big) = \int_0^T \big(1-v(t)\big)\big(1-u(t)\big)K(t)\,dt \to \sup, \tag{2.15}$$

$$\dot K(t) = v(t)\big(1-u(t)\big)K(t), \qquad K(0)=K_0>0, \quad K(T) \text{ frei}, \tag{2.16}$$

$$\big(u(t),v(t)\big) \in [a,b]\times[0,1], \quad 0<a<b<1, \quad b>\frac{1}{2}, \quad T>\frac{1}{1-b}. \tag{2.17}$$

Das Modell geht auf Lancaster [41] zurück. Wir folgen der Darstellung und untersuchen das Nash-Gleichgewicht und die Kollusionslösung, die wir abschließend miteinander vergleichen. Wir verweisen außerdem auf die umfassenden Ausführungen in Feichtinger & Hartl [21] und Seierstad & Sydsæter [61].

Wir platzieren die zwei Spieler Arbeiter und Unternehmer in einer Spielsituation und benutzen als Lösungskonzept das Nash-Gleichgewicht für nichtkooperative Spiele. Im vorliegenden Differentialspiel ist ein Nash-Gleichgewicht ein Tripel

$$\big(K_*(\cdot),u_*(\cdot),v_*(\cdot)\big) \in PC_1([0,T],\mathbb{R})\times PC([0,T],[a,b])\times PC([0,T],[0,1]),$$

für das die folgenden Gleichungen erfüllt sind:

$$\begin{aligned} W\big(K_*(t),u_*(t),v_*(t)\big) &= \max_{(K(\cdot),u(\cdot))} W\big(K(\cdot),u(\cdot),v_*(t)\big), \\ C\big(K_*(t),u_*(t),v_*(t)\big) &= \max_{(K(\cdot),v(\cdot))} C\big(K(\cdot),u_*(t),v(\cdot)\big). \end{aligned}$$

Ausführlich geschrieben ist das Nash-Gleichgewicht ein System von zwei gekoppelten Steuerungsproblemen für den Arbeiter und den Unternehmer:

$$\left.\begin{aligned} &W\big(K(\cdot),u(\cdot),v_*(\cdot)\big)=\int_0^T u(t)K(t)\,dt\to\sup,\\ &\dot K=v_*(t)\big(1-u(t)\big)K(t),\quad K(0)=K_0>0,\quad u\in[a,b],\\ &\big(K(\cdot),u(\cdot)\big)\in PC_1([0,T],\mathbb{R})\times PC([0,T],[a,b]),\end{aligned}\right\} \tag{2.18}$$

$$\left.\begin{aligned} &C\big(K(\cdot),u_*(\cdot),v(\cdot)\big)=\int_0^T \big(1-v(t)\big)\big(1-u_*(t)\big)K(t)\,dt\to\sup,\\ &\dot K=v(t)\big(1-u_*(t)\big)K(t),\quad K(0)=K_0>0,\quad v\in[0,1],\\ &\big(K(\cdot),v(\cdot)\big)\in PC_1([0,T],\mathbb{R})\times PC([0,T],[0,1]).\end{aligned}\right\} \tag{2.19}$$

In der Aufgabe der Arbeiter (2.18) erhalten wir die Maximumbedingung

$$H_W\big(t,K_*(t),u_*(t),p(t),1\big)=\max_{u\in[a,b]}\Big\{\big(1-p(t)v_*(t)\big)uK_*(t)\Big\}+p(t)v_*(t)K_*(t).$$

Da jede zulässige Trajektorie $K(\cdot)$ stets positiv ist, gilt

$$\left.\begin{aligned} &u_*(t)=a, && \text{wenn } p(t)v_*(t)>1,\\ &u_*(t)=b, && \text{wenn } p(t)v_*(t)<1,\\ &u_*(t)\in[a,b], && \text{wenn } p(t)v_*(t)=1.\end{aligned}\right\} \tag{2.20}$$

Weiterhin genügt $p(\cdot)$ der adjungierten Gleichung (2.6) und der Bedingung (2.7):

$$\dot p(t)=-v_*(t)\big(1-u_*(t)\big)p(t)-u_*(t),\qquad p(T)=0. \tag{2.21}$$

Daran sind unmittelbar $p(t)>0$ für $t\in[0,T)$ und $\dot p(t)\le -a$ für $t\in(0,T)$ ersichtlich. Entsprechend ergibt sich in der Aufgabe des Unternehmers (2.19) die Maximumbedingung

$$H_C\big(t,K_*(t),v_*(t),q(t),1\big)=\max_{v\in[0,1]}\Big\{\big(q(t)-1\big)v\big(1-u_*(t)\big)K_*(t)\Big\}+\big(1-u_*(t)\big)K_*(t)$$

und es gelten daher

$$\left.\begin{aligned} &v_*(t)=0 && \text{wenn } q(t)<1,\\ &v_*(t)=1 && \text{wenn } q(t)>1,\\ &v_*(t)\in[0,1] && \text{wenn } q(t)=1.\end{aligned}\right\} \tag{2.22}$$

Ferner genügt $q(\cdot)$ der adjungierten Gleichung zur Transversalitätsbedingung:

$$\dot q=-v_*(t)\big(1-u_*(t)\big)q(t)-\big(1-v_*(t)\big)\big(1-u_*(t)\big),\qquad q(T)=0. \tag{2.23}$$

Zusammen erhalten wir aus (2.22) und (2.23)

$$\dot q(t)=-\big(1-u_*(t)\big)\cdot\max\{1,\,q(t)\}<0.$$

Aufgrund der strengen Monotonie existiert eine eindeutig bestimmte Lösung von

$$\tau = \min\{t \in [0,T] \,|\, q(t) \le 1\}.$$

Wegen (2.22) gilt $v_*(t) = 0$ für alle $t \in [\tau, T]$ und aus (2.20) folgt nun $u_*(t) = b$ auf $[\tau, T]$. Auf $[\tau, T]$ erhalten wir daraus

$$q(t) = (1-b)(T-t), \quad q(\tau) = 1, \quad p(t) = b(T-t), \quad p(\tau) = \frac{b}{1-b}.$$

Weiterhin folgt nach (2.17) und aus der Bedingung $q(\tau) = 1$

$$\tau = T - \frac{1}{1-b} > 0. \tag{2.24}$$

Aufgrund $b \ge 1/2$ in (2.17) ist $p(\tau) \ge 1$. Da $p(\cdot)$ streng monoton fallend ist, erhalten wir $u_*(t) = a$ und $v_*(t) = 1$ für alle $t \in [0, \tau)$. Das Nash-Gleichgewicht lautet daher

$$u_*(t) = \begin{cases} a, \ t \in [0,\tau), \\ b, \ t \in [\tau, T], \end{cases} \qquad v_*(t) = \begin{cases} 1, \ t \in [0,\tau), \\ 0, \ t \in [\tau, T], \end{cases} \qquad K_*(t) = \begin{cases} K_0 e^{(1-a)t}, \ t \in [0,\tau), \\ K_0 e^{(1-a)\tau}, \ t \in [\tau, T]. \end{cases}$$

Für die Zielfunktionale ergeben sich

$$\left.\begin{aligned} &W\big(K_*(t), u_*(t), v_*(t)\big) = \left(\frac{a}{1-a} + \frac{b}{1-b}\right) K_0 e^{(1-a)\tau} - \frac{a}{1-a} K_0, \\ &C\big(K_*(t), u_*(t), v_*(t)\big) = K_0 e^{(1-a)\tau}. \end{aligned}\right\} \tag{2.25}$$

Die Untersuchung des Nash-Gleichgewichtes ist damit abgeschlossen.

Im Gegensatz zur Spielsituation besprechen sich die Arbeiter und Unternehmer, wie sie gemeinsam am besten agieren können. Für das gemeinsame Zielfunktional ergibt sich

$$\int_0^T u(t)K(t)\,dt + \int_0^T \big(1-v(t)\big)\big(1-u(t)\big)K(t)\,dt = \int_0^T \big[1 - v(t)\big(1-u(t)\big)\big]K(t)\,dt.$$

Führen wir die neue Steuerungsvariable $w(\cdot)$ durch

$$w(t) = v(t)\big(1-u(t)\big), \qquad w(t) \in [0, 1-a],$$

ein, so erhalten wir die Aufgabe

$$\begin{aligned} &J\big(K(\cdot), w(\cdot)\big) = \int_0^T \big(1-w(t)\big)K(t)\,dt \to \sup, \\ &\dot K(t) = w(t)K(t), \qquad K(0) = K_0 > 0, \quad K(T) \text{ frei}, \\ &w(t) \in [0, 1-a] \times [0,1], \quad 0 < a < b < 1, \quad b > \frac{1}{2}, \quad T > \frac{1}{1-b}. \end{aligned}$$

Die Kollusionslösung ist offenbar

$$w_*(t) = \begin{cases} 1-a, & t \in [0, T-1), \\ b, & 0 \in [T-1, T], \end{cases} \qquad K_*(t) = \begin{cases} K_0 e^{(1-a)t}, & t \in [0, T-1), \\ K_0 e^{(1-a)(T-1)}, & t \in [T-1, T], \end{cases}$$

mit folgendem Optimalwert für das Zielfunktional

$$J\big(K_*(t), w_*(t)\big) = \frac{1}{1-a} K_0 e^{(1-a)(T-1)} - \frac{a}{1-a} K_0. \tag{2.26}$$

Der Gesamtnutzen im Nash-Gleichgewicht nach (2.25) ist gleich

$$\begin{aligned} &W\big(K_*(t), u_*(t), v_*(t)\big) + C\big(K_*(t), u_*(t), v_*(t)\big) \\ &\quad = \left(\frac{1}{1-a} + \frac{b}{1-b}\right) K_0 e^{(1-a)\tau} - \frac{a}{1-a} K_0. \end{aligned} \tag{2.27}$$

Zum Vergleich der Werte (2.26) und (2.27) verwenden wir die Beziehungen

$$T - 1 = \tau + \frac{b}{1-b}.$$

Damit erhalten wir

$$\begin{aligned} & J\big(K_*(t), w_*(t)\big) > W\big(K_*(t), u_*(t), v_*(t)\big) + C\big(K_*(t), u_*(t), v_*(t)\big) \\ \Leftrightarrow \quad & \frac{1}{1-a} e^{(1-a)\frac{b}{1-b}} > \frac{1}{1-a} + \frac{b}{1-b}. \end{aligned}$$

Benutzen wir die elementare Ungleichung $e^x > 1 + x$ für alle $x > 0$ folgt abschließend

$$\frac{1}{1-a} e^{(1-a)\frac{b}{1-b}} > \frac{1}{1-a}\left(1 + (1-a)\frac{b}{1-b}\right) = \frac{1}{1-a} + \frac{b}{1-b}.$$

D. h. der Gesamtnutzen ist im sozialen Optimum größer als im Wettbewerb. Aber es bleibt die spannende Frage nach der "gerechten" Aufteilung des Nutzens auf Unternehmer und Arbeiter an dieser Stelle offen.

Wir weisen zum Abschluss ausdrücklich darauf hin, dass aufgrund der Wahl stückweise stetiger Steuerungen die Integranden und Dynamiken im Nash-Gleichgewicht, z. B. für den Unternehmer

$$f(t, K, v) = \big(1 - u_*(t)\big) \cdot (1 - v)K, \qquad \varphi(t, K, v) = \big(1 - u_*(t)\big) \cdot vK,$$

im Allgemeinen nur stückweise stetig bezüglich der Variablen t sind. Beachtet man bei der Wahl des Punktes $t = \tau$ im Beweis von Theorem 2.1, dass die Strategien der Gegenspieler in $t = \tau$ stetig sind, dann ergibt sich die Gültigkeit von Theorem 2.1 auch für den vorliegenden Lösungsansatz über das Nash-Gleichgewicht.

2.3. Mehrfache Nadelvariationen

Die einfache Nadelvariation, auf deren Basis im letzten Abschnitt das Maximumprinzip für die Aufgabe mit freiem rechten Endpunkt hergeleitet wurde, erweist sich als ungeeignet im Standardproblem mit beidseitigen Randbedingungen:

$$\left.\begin{aligned} &J\big(x(\cdot),u(\cdot)\big)=\int_{t_0}^{t_1} f\big(t,x(t),u(t)\big)\,dt\to\inf,\\ &\dot x(t)=\varphi\big(t,x(t),u(t)\big),\\ &h_0\big(x(t_0)\big)=0,\qquad h_1\big(x(t_1)\big)=0,\\ &u(t)\in U,\qquad U\neq\emptyset. \end{aligned}\right\}$$

Deswegen betrachten wir in diesem Abschnitt mehrfache Nadelvariationen. Wir folgen der Darstellung in Ioffe & Tichomirov [38]. Als erstes geben wir eine Konstruktion geeigneter Trägerfamilien an, auf denen die Nadelvariationen durchgeführt werden. Danach definieren wir die mehrfachen Nadelvariationen und untersuchen abschließend die Eigenschaften, die die mehrfache Nadelvariation dem Standardproblem übergibt.

Um die Auswertung der mehrfachen Nadelvariationen zu ermöglichen, müssen wir Voraussetzungen an die Standardaufgabe treffen: Es sei $x_*(\cdot)\in W_2^1([t_0,t_1],\mathbb{R}^n)$ und $\gamma>0$. Wir definieren die Menge $V_\gamma=\{(t,x)\in[t_0,t_1]\times\mathbb{R}^n\,|\,\|x-x_*(t)\|\le\gamma\}$. Dann nehmen wir an, dass die Abbildungen $f(t,x,u)$, $\varphi(t,x,u)$ auf $V_\gamma\times U$ stetig in der Gesamtheit der Variablen und stetig differenzierbar bezüglich x sind. D. h., dass die partiellen Ableitungen $f_x(t,x,u)$, $\varphi_x(t,x,u)$ auf $V_\gamma\times U$ stetig in der Gesamtheit der Variablen sind.

2.3.1. Die Konstruktion der Trägerfamilien

Lemma 2.2. *Zu jeder auf $[t_0,t_1]$ definierten Treppenfunktion $y(\cdot),y(t)\in\mathbb{R}^n$, und jedem $\delta>0$ kann man eine einparametrige Familie*

$$\big\{M(\alpha)\big\}_{0\le\alpha\le1}=\big\{M(\alpha,y(\cdot),\delta)\big\}_{0\le\alpha\le1}$$

messbarer Teilmengen des Intervalls $[t_0,t_1]$ derart angeben, dass die Beziehungen

$$\begin{aligned} &|M(\alpha)|=\alpha(t_1-t_0),\qquad M(\alpha')\subseteq M(\alpha),\qquad 0\le\alpha'\le\alpha\le1,\\ &\max_{t\in[t_0,t_1]}\left\|\int_{t_0}^{t}\Big[\big(\chi_{M(\alpha)}(\tau)-\chi_{M(\alpha')}(\tau)\big)y(\tau)-(\alpha-\alpha')y(\tau)\Big]\,d\tau\right\|\le\delta|\alpha-\alpha'| \end{aligned}$$

gelten.

Der Grundgedanke der nachstehend beschriebenen Konstruktion lässt sich am leichtesten in dem Fall verstehen, dass die Vektorfunktion $y(\cdot)$ konstant ist: $y(t)\equiv C$. Zerlegt man das Intervall $[t_0,t_1]$ in gleiche Teile Δ_i, deren Länge kleiner als δ/C ist, so kann man als Mengenfamilie $\{M(\alpha)\}$ die Vereinigung derjenigen Intervall $\Delta_i(\alpha)$ nehmen, deren linkes

Ende jeweils mit dem linken Ende des Intervall Δ_i und deren Länge jeweils mit dem α-ten Teil der Länge von Δ_i übereinstimmt.

Beweis Da $y(\cdot)$ eine Treppenfunktion auf dem Intervall $[t_0, t_1]$ ist, gibt es endlich viele $y_1, ..., y_d \in \mathbb{R}^n$ und eine disjunkte Zerlegung $\{A_1, ..., A_d\}$ von $[t_0, t_1]$ mit

$$y(t) = \sum_{j=1}^{d} y_j \chi_{A_j}(t).$$

Ferner sei $C = \max_j \|y_j\|$. Wir zerlegen das Intervall $[t_0, t_1]$ in gleiche Teile $\Delta_1, ..., \Delta_r$, deren Länge höchstens $\delta/(2C)$ ist und setzen

$$M_{ij}(\alpha) = \left\{ t \in (A_j \cap \Delta_i) \;\middle|\; \int_{t_0}^{t} \chi_{(A_j \cap \Delta_i)}(\tau)\, d\tau < \alpha \cdot |A_j \cap \Delta_i| \right\}.$$

Dann ist $M(\alpha) = \bigcup_{i,j} M_{ij}(\alpha)$ die gesuchte Menge. Denn es gilt

$$|M(\alpha)| = \sum_{i,j} |M_{ij}(\alpha)| = \alpha \sum_{i,j} |A_j \cap \Delta_i| = \alpha(t_1 - t_0).$$

Ferner zieht die Ungleichung $\alpha \geq \alpha'$ die Beziehung $M_{ij}(\alpha') \subseteq M_{ij}(\alpha)$, d. h. $M(\alpha') \subseteq M(\alpha)$, nach sich. Schließlich gilt

$$\int_{M_{ij}(\alpha)} y(t)\, dt = \int_{t_0}^{t_1} \chi_{M_{ij}(\alpha)}(t) y(t)\, dt = \alpha y_j \cdot |A_j \cap \Delta_i|,$$

weil jeweils auf den Mengen A_j die Vektorfunktion $y(\cdot)$ konstant und gleich y_j ist. Hieraus folgt in den Endpunkten der Intervalle Δ_i:

$$\begin{aligned}
&\int_{\Delta_i} \big(\chi_{M(\alpha)}(t) - \chi_{M(\alpha')}(t)\big) y(t)\, dt \\
&= \sum_j \left(\int_{M_{ij}(\alpha)} y(t)\, dt - \int_{M_{ij}(\alpha')} y(t)\, dt \right) = (\alpha - \alpha') \sum_j y_j \cdot |A_j \cap \Delta_i| \\
&= (\alpha - \alpha') \sum_j \int_{\Delta_i} \chi_{(A_j \cap \Delta_i)}(t) y(t)\, dt = (\alpha - \alpha') \int_{\Delta_i} y(t)\, dt,
\end{aligned}$$

also, dass in den Endpunkten der Intervalle Δ_i die Werte der Integrale

$$\int_{t_0}^{t} \big(\chi_{M(\alpha)}(\tau) - \chi_{M(\alpha')}(\tau)\big) y(\tau)\, d\tau, \qquad \int_{t_0}^{t} (\alpha - \alpha') y(\tau)\, d\tau$$

übereinstimmen. Für $\Delta_i = [\tau_i, \tau_{i+1}]$ und $\tau_i < t < \tau_{i+1}$ ergibt sich

$$\left\| \int_{\tau_i}^{t} \Big[\big(\chi_{M(\alpha)}(\tau) - \chi_{M(\alpha')}(\tau)\big) y(\tau) - (\alpha - \alpha') y(\tau) \Big]\, d\tau \right\| \leq 2C|\alpha - \alpha'| \cdot |t - \tau_i| \leq \delta |\alpha - \alpha'|.$$

Damit ist Lemma 2.2 gezeigt. ■

Lemma 2.3. *Zu jeder auf $[t_0,t_1]$ definierten beschränkten messbaren Vektorfunktion $y(\cdot)$ und jedem $\delta>0$ gibt es eine einparametrige Familie*

$$\big\{M(\alpha)\big\}_{0\le\alpha\le1}=\big\{M(\alpha,y(\cdot),\delta)\big\}_{0\le\alpha\le1}$$

mit den Eigenschaften

$$|M(\alpha)|=\alpha(t_1-t_0),\qquad M(\alpha')\subseteq M(\alpha),\qquad 0\le\alpha'\le\alpha\le1,$$
$$\max_{t\in[t_0,t_1]}\left\|\int_{t_0}^{t}\Big[\big(\chi_{M(\alpha)}(\tau)-\chi_{M(\alpha')}(\tau)\big)y(\tau)-(\alpha-\alpha')y(\tau)\Big]\,d\tau\right\|\le\delta|\alpha-\alpha'|.$$

Beweis Jede beschränkte messbare Vektorfunktion auf $[t_0,t_1]$ ist gleichmäßiger Grenzwert von Treppenfunktionen. D. h., es gibt eine Treppenfunktion $\tilde y(\cdot)$ mit

$$\sup_{t\in[t_0,t_1]}\|y(t)-\tilde y(t)\|\le\frac{\delta}{t_1-t_0}.$$

Nach letztem Lemma kann man eine Familie $\big\{M(\alpha,\tilde y(\cdot),\delta)\big\}_{0\le\alpha\le1}$ mit den entsprechenden Eigenschaften für $\tilde y(\cdot)$ angeben. Ist dann $\alpha\ge\alpha'$, so gilt

$$\left\|\int_{t_0}^{t}\big(\chi_{M(\alpha)}(\tau)-\chi_{M(\alpha')}(\tau)\big)\cdot\big(y(\tau)-\tilde y(\tau)\big)d\tau\right\|\le\frac{\delta}{t_1-t_0}|M(\alpha)\setminus M(\alpha')|\le\delta|\alpha-\alpha'|$$

und

$$\left\|\int_{t_0}^{t}(\alpha-\alpha')\big(y(\tau)-\tilde y(\tau)\big)d\tau\right\|\le|\alpha-\alpha'|\int_{t_0}^{t}\big\|\big(y(\tau)-\tilde y(\tau)\big)\big\|d\tau\le\delta|\alpha-\alpha'|.$$

Zusammenfassend erhalten wir mit der Aussage des letzten Lemma für Treppenfunktionen:

$$\begin{aligned}&\left\|\int_{t_0}^{t}\Big[\big(\chi_{M(\alpha)}(\tau)-\chi_{M(\alpha')}(\tau)\big)y(\tau)-(\alpha-\alpha')y(\tau)\Big]\,d\tau\right\|\\ &\le\ \left\|\int_{t_0}^{t}\big(\chi_{M(\alpha)}(\tau)-\chi_{M(\alpha')}(\tau)\big)\cdot\big(y(\tau)-\tilde y(\tau)\big)\,d\tau\right\|+\left\|\int_{t_0}^{t}(\alpha-\alpha')\big(y(\tau)-\tilde y(\tau)\big)d\tau\right\|\\ &\quad+\left\|\int_{t_0}^{t}\Big[\big(\chi_{M(\alpha)}(\tau)-\chi_{M(\alpha')}(\tau)\big)\tilde y(\tau)-(\alpha-\alpha')\tilde y(\tau)\Big]\,d\tau\right\|\le3\delta|\alpha-\alpha'|,\end{aligned}$$

also $M(\alpha)=M(\alpha,y(\cdot),3\delta)$. ■

Lemma 2.4. *Es seien $y_i(\cdot)$, $y_i:[t_0,t_1]\to\mathbb{R}^{n_i}$, $i=1,...,d$, beschränkte messbare Vektorfunktionen. Dann gibt es zu jedem $\delta>0$ einparametrige Mengenfamilien $M_1(\alpha),...,M_d(\alpha)$ messbarer Teilmengen des Intervalls $[t_0,t_1]$, wobei der Parameter α Werte zwischen 0 und $1/d$ annimmt derart, dass für alle $i=1,...,d$, $0\le\alpha'\le\alpha\le1/d$ und $i\ne i'$ gilt:*

$$|M_i(\alpha)|=\alpha(t_1-t_0),\qquad M_i(\alpha')\subseteq M_i(\alpha),\qquad M_i(\alpha)\cap M_{i'}(\alpha')=\emptyset,\tag{2.28}$$
$$\max_{t\in[t_0,t_1]}\left\|\int_{t_0}^{t}\big(\chi_{M_i(\alpha)}(\tau)-\chi_{M_i(\alpha')}(\tau)\big)y_i(\tau)\,d\tau-(\alpha-\alpha')\int_{t_0}^{t}y_i(\tau)\,d\tau\right\|\le\delta|\alpha-\alpha'|.\tag{2.29}$$

Beweis Es sei $n = n_1 + ... + n_d$. Dann ist

$$t \to z(t) = \big(y_1(t), ..., y_d(t)\big)$$

eine messbare beschränkte Abbildung des Intervalls $[t_0, t_1]$ in $\mathbb{R}^n$.
Wir wählen eine Familie $\{M(\alpha)\}_{0\le\alpha\le 1}$ von messbaren Teilmengen des Intervalls $[t_0, t_1]$, die gemeinsam mit $z(\cdot)$ und δ den Bedingungen von Lemma 2.3 genügen. Weiterhin sei $0 \le \alpha \le 1/d$. Setzen wir

$$M_i(\alpha) = M\big((i-1)/d + \alpha\big) \setminus M\big((i-1)/d\big), \qquad i = 1, ..., d,$$

so sind diese $M_i(\alpha)$ die gesuchten Familien: Für $i \ne i'$, $0 \le \alpha' \le \alpha \le 1/d$ sind die Mengen $M_i(\alpha)$ und $M_{i'}(\alpha')$ disjunkt, es ist $|M_i(\alpha)| = \alpha(t_1 - t_0)$ und für $0 \le \alpha' \le \alpha \le 1/d$ gilt $M_i(\alpha') \subseteq M_i(\alpha)$. Genau wie im Beweis des letzten Lemma können wir schließen:

$$\left\| \int_{t_0}^{t} \Big[\big(\chi_{M_i(\alpha)}(\tau) - \chi_{M_i(\alpha')}(\tau)\big) z(\tau) - (\alpha - \alpha') z(\tau) \Big]\, d\tau \right\| \le 3\delta|\alpha - \alpha'|, \quad i = 1, ..., d.$$

Die letzte Behauptung des Lemma folgt unmittelbar aus der Tatsache, dass für jeden Vektor $z = (y_1, ..., y_d) \in \mathbb{R}^n$, $y_i \in \mathbb{R}^{n_i}$, die Ungleichung $\|y_i\| \le \|z\|$ erfüllt ist. ■

2.3.2. Die Definition der mehrfachen Nadelvariation

Es seien $x_*(\cdot) \in W_2^1([t_0, t_1], \mathbb{R}^n)$, $u_*(\cdot), u_1(\cdot), ..., u_d(\cdot) \in L_\infty\big([t_0, t_1], U\big)$ und es seien die zu Beginn dieses Abschnitts getroffenenen Voraussetzungen an f und φ erfüllt. Dann sind die Vektorfunktionen $y_i(\cdot)$,

$$\begin{aligned} y_i(t) \;=\; & \Big(\varphi\big(t, x_*(t), u_i(t)\big) - \varphi\big(t, x_*(t), u_*(t)\big), \\ & \qquad f\big(t, x_*(t), u_i(t)\big) - f\big(t, x_*(t), u_*(t)\big)\Big), \quad i = 1, ..., d, \end{aligned}$$

auf $[t_0, t_1]$ messbar und beschränkt, weil die Steuerungen $u_*(\cdot), u_1(\cdot), ..., u_d(\cdot)$ messbar, beschränkt und f, φ stetig sind. Daher existieren nach Lemma 2.4 auf dem Intervall $[t_0, t_1]$ einparametrige Mengenfamilien $\big\{M_i(\alpha)\big\}_{0\le\alpha\le 1/d}$ mit

$$\begin{aligned} & |M_i(\alpha)| = \alpha(t_1 - t_0), \qquad M_i(\alpha') \subseteq M_i(\alpha), \qquad M_i(\alpha) \cap M_{i'}(\alpha') = \emptyset, \\ & \max_{t\in[t_0,t_1]} \left\| \int_{t_0}^{t} \big(\chi_{M_i(\alpha)}(\tau) - \chi_{M_i(\alpha')}(\tau)\big) y_i(\tau)\, d\tau - (\alpha - \alpha') \int_{t_0}^{t} y_i(\tau)\, d\tau \right\| \le \delta|\alpha - \alpha'| \end{aligned}$$

für alle $i = 1, ..., d$, $0 \le \alpha' \le \alpha \le 1/d$ und $i \ne i'$. Auf dem Quader

$$Q^d = \Big\{ \alpha = (\alpha_1, ..., \alpha_d) \in \mathbb{R}^d \;\Big|\; 0 \le \alpha_i \le 1/d,\ i = 1, ..., d \Big\}$$

ist die Abbildung $\alpha \to u_\alpha(\cdot) \in L_\infty\big([t_0, t_1], U\big)$,

$$u_\alpha(t) = u_*(t) + \sum_{i=1}^{d} \chi_{M_i(\alpha_i)}(t) \cdot \big(u_i(t) - u_*(t)\big),$$

wohldefiniert und $u_\alpha(\cdot)$ nennen wir mehrfache Nadelvariation von $u_*(\cdot)$.

2.3.3. Eigenschaften der mehrfachen Nadelvariation

Es seien $x_*(\cdot) \in W_2^1([t_0,t_1],\mathbb{R}^n)$, $u_*(\cdot),u_1(\cdot),...,u_d(\cdot) \in L_\infty\big([t_0,t_1],U\big)$. Weiterhin seien $f(t,x,u)$, $\varphi(t,x,u)$ auf $V_\gamma \times U$ stetig in der Gesamtheit der Variablen und stetig differenzierbar bezüglich x. Wir betrachten im Weiteren auf den Mengen

$$\begin{aligned}\Sigma(\Delta) &= \left\{\alpha=(\alpha_1,...,\alpha_d)\in\mathbb{R}^d \,\middle|\, \alpha_1,...,\alpha_d\geq 0,\ \sum_{i=1}^d \alpha_i \leq \Delta\right\},\\ V &= \{x(\cdot)\in C([t_0,t_1],\mathbb{R}^n) \,|\, \|x(\cdot)-x_*(\cdot)\|_\infty \leq \sigma\}\end{aligned}$$

für $t\in[t_0,t_1]$ die Abbildung

$$\Phi_1\big(x(\cdot),\alpha\big)(t) = \int_{t_0}^t \big[\varphi\big(\tau,x(\tau),u_\alpha(\tau)\big) - \varphi\big(\tau,x_*(\tau),u_*(\tau)\big)\big]\,d\tau, \quad t\in[t_0,t_1],$$

und deren Linearisierung

$$\begin{aligned}\Lambda_1\big(x(\cdot),\alpha\big)(t) &= \int_{t_0}^t \Big[\varphi_x\big(\tau,x_*(\tau),u_*(\tau)\big)\big(x(\tau)-x_*(\tau)\big)\\ &\quad + \sum_{i=1}^d \alpha_i\cdot\Big(\varphi\big(\tau,x_*(\tau),u_i(\tau)\big)-\varphi\big(\tau,x_*(\tau),u_*(\tau)\big)\Big)\Big]\,d\tau, \quad t\in[t_0,t_1].\end{aligned}$$

Dabei bezeichnet $u_\alpha(\cdot)$ die mehrfache Nadelvariation

$$u_\alpha(t) = u_*(t) + \sum_{i=1}^d \chi_{M_i(\alpha_i)}(t)\cdot\big(u_i(t)-u_*(t)\big).$$

Dementsprechend bezieht sich der zweite Term im Operator Λ_1 auf eine Linearisierung bezüglich der Variation auf den Trägermengen. Ziel dieses Abschnitts ist es zu zeigen, dass der Operator Φ_1 zwar nicht stetig, aber wenigstens streng differenzierbar ist. D. h., dass die Beziehung

$$\begin{aligned}&\Big\|\big[\Phi_1\big(x(\cdot),\alpha\big)-\Phi_1\big(x'(\cdot),\alpha'\big)-\Lambda_1\big(x(\cdot),\alpha\big)-\Lambda_1\big(x'(\cdot),\alpha'\big)\big](\cdot)\Big\|_\infty\\ &\qquad\leq \delta\Big(\|x(\cdot)-x'(\cdot)\|_\infty + \sum_{i=1}^d|\alpha_i-\alpha_i'|\Big)\end{aligned}$$

für alle $\alpha,\alpha'\in\Sigma(\Delta)$ und alle $x(\cdot),x'(\cdot)\in V$ gilt. Außerdem soll für den Operator Φ_2 und dessen Linearisierung Λ_2 bezüglich der Variable α,

$$\begin{aligned}\Phi_2\big(x(\cdot),\alpha\big) &= \int_{t_0}^{t_1}\big[f\big(t,x(t),u_\alpha(t)\big)-f\big(t,x(t),u_*(t)\big)\big]\,dt,\\ \Lambda_2\big(x(\cdot),\alpha\big) &= \sum_{i=1}^d\int_{t_0}^{t_1}\alpha_i\cdot\Big(f\big(t,x(t),u_i(t)\big)-f\big(t,x(t),u_*(t)\big)\Big)\,dt,\end{aligned}$$

die Relation

$$\Phi_2\big(x(\cdot),\alpha\big) - \Lambda_2\big(x(\cdot),\alpha\big) \le \delta \sum_{i=1}^{d} \alpha_i$$

für alle $\alpha, \alpha' \in \Sigma(\Delta)$ und alle $x(\cdot), x'(\cdot) \in V$ gelten.

Wir treffen einige Vorbereitungen: Aus den Eigenschaften (2.28) in Lemma 2.4 der Mengenfamilien der mehrfachen Nadelvariation

$$u_\alpha(t) = u_*(t) + \sum_{i=1}^{d} \chi_{M_i(\alpha_i)}(t) \cdot \big(u_i(t) - u_*(t)\big)$$

gelten für jede auf $\mathbb{R} \times \mathbb{R}^n \times \mathbb{R}^m$ definierte Vektorfunktion h und alle $\alpha, \alpha' \in Q^d$:

$$\begin{aligned} & h\big(t,x,u_\alpha(t)\big) - h\big(t,x,u_*(t)\big) \\ &= \sum_{i=1}^{d} \chi_{M_i(\alpha_i)}(t) \cdot \Big(h\big(t,x,u_i(t)\big) - h\big(t,x,u_*(t)\big)\Big), \qquad (2.30) \\ & h\big(t,x,u_\alpha(t)\big) - h\big(t,x,u_{\alpha'}(t)\big) \\ &= \sum_{i=1}^{d} \big(\chi_{M_i(\alpha_i)}(t) - \chi_{M_i(\alpha_i')}(t)\big) \cdot \Big(h\big(t,x,u_i(t)\big) - h\big(t,x,u_*(t)\big)\Big). \qquad (2.31) \end{aligned}$$

Weil alle Steuerungen $u_*(\cdot), u_1(\cdot), ..., u_d(\cdot)$ beschränkt sind, sind ihre Werte für fast alle $t \in [t_0, t_1]$ in einer kompakten Menge $U_1 \subset \mathbb{R}^m$ enthalten. Nutzen wir darüber hinaus die Stetigkeit von f, φ und f_x, φ_x aus, so können wir ein $\sigma > 0$ derart angeben, dass

$$\big\|\varphi(t,x,u) - \varphi(t,x_*(t),u)\big\| \le \frac{\delta}{4(t_1-t_0)}, \qquad (2.32)$$

$$\big|f(t,x,u) - f(t,x_*(t),u)\big| \le \frac{\delta}{8(t_1-t_0)}, \qquad (2.33)$$

$$\big\|\varphi(t,x,u) - \varphi(t,x',u) - \varphi_x(t,x_*(t),u)(x-x')\big\| \le \frac{\delta\|x-x'\|}{2(t_1-t_0)}, \qquad (2.34)$$

für fast alle $t \in [t_0, t_1]$ und alle x, x', u mit $\|x - x_*(t)\| \le \sigma$, $\|x' - x_*(t)\| \le \sigma$, $u \in U_1$ erfüllt sind. Ferner wählen wir $\Delta \in (0, 1/d]$ derart, dass für fast alle $t \in [t_0, t_1]$

$$\Delta \cdot (t_1 - t_0) \cdot \max_{u \in U_1} \big\|\varphi_x(t,x_*(t),u)\big\| \le \frac{\delta}{4} \qquad (2.35)$$

gilt. Offenbar ist $\Sigma(\Delta) \subseteq Q^d$ für $\Delta \in (0, 1/d]$. Daher ist die mehrfache Nadelvariation $u_\alpha(\cdot)$ für $\Delta \in (0, 1/d]$ auf dem gesamten Simplex $\Sigma(\Delta)$ definiert.

Lemma 2.5. *Es genüge $\Delta \in (0, 1/d]$ der Bedingung (2.35). Dann gilt für alle $\alpha, \alpha' \in \Sigma(\Delta)$ und alle $x(\cdot), x'(\cdot) \in V$:*

$$\Big\| \big[\Phi_1\big(x(\cdot),\alpha\big) - \Phi_1\big(x'(\cdot),\alpha'\big) - \Lambda_1\big(x(\cdot),\alpha\big) + \Lambda_1\big(x'(\cdot),\alpha'\big)\big](\cdot) \Big\|_\infty \\ \leq \delta\bigg(\|x(\cdot) - x'(\cdot)\|_\infty + \sum_{i=1}^{d} |\alpha_i - \alpha_i'| \bigg). \tag{2.36}$$

Ausführlich geschrieben ist die linke Seite in (2.36) gleich

$$\max_{t\in[t_0,t_1]} \bigg\| \int_{t_0}^{t} \Big[\varphi\big(\tau, x(\tau), u_\alpha(\tau)\big) - \varphi\big(\tau, x'(\tau), u_{\alpha'}(\tau)\big) - \varphi_x\big(\tau, x_*(\tau), u_*(\tau)\big)\big(x(\tau) - x'(\tau)\big) \\ - \sum_{i=1}^{d} (\alpha_i - \alpha_i') \cdot \Big(\varphi\big(\tau, x_*(\tau), u_i(\tau)\big) - \varphi\big(\tau, x_*(\tau), u_*(\tau)\big)\Big) \Big] d\tau \bigg\|. \tag{2.37}$$

Beweis Den Ausdruck (2.37) können wir nach oben gegen

$$\begin{aligned} &\int_{t_0}^{t_1} \Big\| \varphi\big(t, x(t), u_\alpha(t)\big) - \varphi\big(t, x'(t), u_\alpha(t)\big) \\ &\qquad -\varphi_x\big(t, x_*(t), u_\alpha(t)\big)\big(x(t) - x'(t)\big) \Big\| dt \\ &+ \int_{t_0}^{t_1} \Big\| \Big(\varphi_x\big(t, x_*(t), u_\alpha(t)\big) - \varphi_x\big(t, x_*(t), u_*(t)\big)\Big)\big(x(t) - x'(t)\big) \Big\| dt \\ &+ \int_{t_0}^{t_1} \Big\| \varphi\big(t, x'(t), u_\alpha(t)\big) - \varphi\big(t, x'(t), u_{\alpha'}(t)\big) \\ &\qquad -\varphi\big(t, x_*(t), u_\alpha(t)\big) + \varphi\big(t, x_*(t), u_{\alpha'}(t)\big) \Big\| dt \\ &+ \max_{t\in[t_0,t_1]} \bigg\| \int_{t_0}^{t} \varphi\big(\tau, x_*(\tau), u_\alpha(\tau)\big) - \varphi\big(\tau, x_*(\tau), u_{\alpha'}(\tau)\big) \\ &\qquad - \sum_{i=1}^{d} (\alpha_i - \alpha_i') \Big(\varphi\big(\tau, x_*(\tau), u_i(\tau)\big) - \varphi\big(\tau, x_*(\tau), u_*(\tau)\big)\Big) d\tau \bigg\| \end{aligned}$$

abschätzen. Der erste Summand ist nach (2.34) kleiner oder gleich

$$\frac{\delta}{2} \|x(\cdot) - x'(\cdot)\|_\infty.$$

Aus (2.30) folgt, dass der zweite Summand gleich

$$\int_{t_0}^{t_1} \bigg\| \sum_{i=1}^{d} \chi_{M_i(\alpha_i)}(t) \cdot \Big(\varphi_x\big(t, x_*(t), u_i(t)\big) - \varphi_x\big(t, x_*(t), u_*(t)\big)\Big)\big(x(t) - x'(t)\big) \bigg\| dt$$

ist. Mit (2.28), (2.35) und $\alpha \in \Sigma(\Delta)$ fällt dieser Ausdruck nicht größer aus als

$$\int_{t_0}^{t_1} \left(\sum_{i=1}^{d} \alpha_i \right) \cdot 2 \max_{u \in U_1} \left\| \varphi_x(t, x_*(t), u) \right\| dt \cdot \|x(\cdot) - x'(\cdot)\|_\infty \leq \frac{\delta}{2} \|x(\cdot) - x'(\cdot)\|_\infty .$$

Wegen (2.31) ist der dritte Summand gleich

$$\int_{t_0}^{t_1} \Bigg\| \sum_{i=1}^{d} \big(\chi_{M_i(\alpha_i)}(t) - \chi_{M_i(\alpha_i')}(t)\big) \cdot \Big(\varphi\big(t, x'(t), u_i(t)\big) - \varphi\big(t, x'(t), u_*(t)\big)\Big) - \sum_{i=1}^{d} \big(\chi_{M_i(\alpha_i)}(t) - \chi_{M_i(\alpha_i')}(t)\big) \cdot \Big(\varphi\big(t, x_*(t), u_i(t)\big) - \varphi\big(t, x_*(t), u_*(t)\big)\Big) \Bigg\| dt.$$

Gemäß (2.32) ist dieses Integral nicht größer als

$$2 \cdot \frac{\delta}{4(t_1 - t_0)} \cdot \sum_{i=1}^{d} \int_{t_0}^{t_1} \left\| \chi_{M_i(\alpha_i)}(t) - \chi_{M_i(\alpha_i')}(t) \right\| dt = \frac{\delta}{2} \sum_{i=1}^{d} |\alpha_i - \alpha_i'|.$$

Schließlich lässt sich der vierte Summand mittels (2.31) in die Form

$$\max_{t \in [t_0, t_1]} \Bigg\| \int_{t_0}^{t} \sum_{i=1}^{d} \Big[\big(\chi_{M_i(\alpha_i)}(\tau) - \chi_{M_i(\alpha_i')}(\tau)\big) \cdot \Big(\varphi\big(\tau, x_*(\tau), u_i(\tau)\big) - \varphi\big(\tau, x_*(\tau), u_*(\tau)\big)\Big) - (\alpha_i - \alpha_i') \cdot \Big(\varphi\big(\tau, x_*(\tau), u_i(\tau)\big) - \varphi\big(\tau, x_*(\tau), u_*(\tau)\big)\Big) \Big] d\tau \Bigg\|$$

bringen. Die Differenz $\Big(\varphi\big(\tau, x_*(\tau), u_i(\tau)\big) - \varphi\big(\tau, x_*(\tau), u_*(\tau)\big)\Big)$ enthält die ersten n Koordinaten der Vektorfunktion $y_i(t)$ aus Abschnitt 2.3.2. Daher ist der obenstehende Ausdruck kleiner oder gleich

$$\max_{t \in [t_0, t_1]} \left\| \sum_{i=1}^{d} \int_{t_0}^{t} \Big[\big(\chi_{M_i(\alpha_i)}(\tau) - \chi_{M_i(\alpha_i')}(\tau)\big) y_i(\tau) - (\alpha_i - \alpha_i') y_i(\tau) \Big] d\tau \right\|.$$

Mit (2.29) ist dieser Ausdruck nicht größer als

$$\frac{\delta}{2} \sum_{i=1}^{d} |\alpha_i - \alpha_i'|.$$

Damit ist die Beziehung (2.36) bewiesen. ■

Lemma 2.6. *Es sei $\Delta \in (0, 1/d]$ und genüge der Bedingung (2.35). Dann gilt*

$$\Phi_2\big(x(\cdot), \alpha\big) - \Lambda_2\big(x(\cdot), \alpha\big) \leq \delta \sum_{i=1}^{d} \alpha_i \tag{2.38}$$

für alle $\alpha \in \Sigma(\Delta)$ und alle $x(\cdot) \in V$.

Beweis Beachten wir (2.30), so ist die linke Seite in (2.38) gleich

$$\sum_{i=1}^{d}\int_{t_0}^{t_1}\Big[\chi_{M_i(\alpha_i)}(t)\cdot\Big(f\big(t,x(t),u_i(t)\big)-f\big(t,x(t),u_*(t)\big)\Big)$$
$$-\alpha_i\cdot\Big(f\big(t,x(t),u_i(t)\big)-f\big(t,x(t),u_*(t)\big)\Big)\Big]dt.$$

Diesen Ausdruck ist weiterhin kleiner oder gleich der folgenden Summe:

$$\sum_{i=1}^{d}\Big|\int_{t_0}^{t_1}\chi_{M_i(\alpha_i)}(t)\cdot\Big(f\big(t,x_*(t),u_i(t)\big)-f\big(t,x_*(t),u_*(t)\big)\Big)$$
$$-\alpha_i\cdot\Big(f\big(t,x_*(t),u_i(t)\big)-f\big(t,x_*(t),u_*(t)\big)\Big)dt\Big|$$
$$+\sum_{i=1}^{d}\Big[\int_{t_0}^{t_1}\chi_{M_i(\alpha_i)}(t)\cdot\Big[\big|f\big(t,x(t),u_i(t)\big)-f\big(t,x_*(t),u_i(t)\big)\big|$$
$$+\big|f\big(t,x_*(t),u_*(t)\big)-f\big(t,x(t),u_*(t)\big)\big|\Big]dt$$
$$+\alpha_i\int_{t_0}^{t_1}\Big[\big|f\big(t,x(t),u_i(t)\big)-f\big(t,x_*(t),u_i(t)\big)\big|$$
$$+\big|f\big(t,x(t),u_*(t)\big)-f\big(t,x_*(t),u_*(t)\big)\big|\Big]dt\Big].$$

Für den ersten Summanden gilt die Relation (2.29), d. h.

$$\sum_{i=1}^{d}\Big|\int_{t_0}^{t_1}\chi_{M_i(\alpha_i)}(t)\cdot\Big(f\big(t,x_*(t),u_i(t)\big)-f\big(t,x_*(t),u_*(t)\big)\Big)$$
$$-\alpha_i\cdot\Big(f\big(t,x_*(t),u_i(t)\big)-f\big(t,x_*(t),u_*(t)\big)\Big)dt\Big|\le\frac{\delta}{2}\sum_{i=1}^{d}\alpha_i.$$

Mit (2.33) folgt, dass die zweite Summe kleiner gleich

$$\sum_{i=1}^{d}\Big(2\int_{t_0}^{t_1}\chi_{M_i(\alpha_i)}(t)\,dt+2\alpha_i\int_{t_0}^{t_1}dt\Big)\cdot\frac{\delta}{8(t_1-t_0)}=\frac{\delta}{2}\sum_{i=1}^{d}\alpha_i$$

ist. Damit ist das Lemma bewiesen. ■

2.4. Das Pontrjaginsche Maximumprinzip für das Standardproblem

2.4.1. Notwendige Optimalitätsbedingungen

Wir betrachten das Steuerungsproblem

$$J\big(x(\cdot),u(\cdot)\big)=\int_{t_0}^{t_1} f\big(t,x(t),u(t)\big)\,dt\to\inf, \tag{2.39}$$

$$\dot{x}(t)=\varphi\big(t,x(t),u(t)\big), \tag{2.40}$$

$$h_0\big(x(t_0)\big)=0,\qquad h_1\big(x(t_1)\big)=0, \tag{2.41}$$

$$u(t)\in U\subseteq\mathbb{R}^m,\quad U\neq\emptyset. \tag{2.42}$$

Dabei gilt für die Abbildungen:

$$f:\mathbb{R}\times\mathbb{R}^n\times\mathbb{R}^m\to\mathbb{R},\quad \varphi:\mathbb{R}\times\mathbb{R}^n\times\mathbb{R}^m\to\mathbb{R}^n,\quad h_i:\mathbb{R}^n\to\mathbb{R}^{s_i},\ i=0,1.$$

Die Aufgabe (2.39)–(2.42) untersuchen wir bezüglich der Paare

$$\big(x(\cdot),u(\cdot)\big)\in W_2^1([t_0,t_1],\mathbb{R}^n)\times L_\infty([t_0,t_1],U).$$

Zu $x(\cdot)$ bezeichne V_γ die Menge $V_\gamma=\{(t,x)\in[t_0,t_1]\times\mathbb{R}^n\,|\,\|x-x(t)\|\le\gamma\}$. Dann gehören zur Menge $\mathscr{B}_{\mathrm{Lip}}$ diejenigen $x(\cdot)\in W_2^1([t_0,t_1],\mathbb{R}^n)$, für die es eine Zahl $\gamma>0$ derart gibt, dass die Abbildungen

(B) $f(t,x,u)$, $\varphi(t,x,u)$, $h_i(x)$ auf $V_\gamma\times U$ stetig in der Gesamtheit der Variablen und stetig differenzierbar bezüglich x sind.

Das Paar $\big(x(\cdot),u(\cdot)\big)\in W_2^1([t_0,t_1],\mathbb{R}^n)\times L_\infty([t_0,t_1],U)$ heißt ein zulässiger Steuerungsprozess in der Aufgabe (2.39)–(2.42), falls $\big(x(\cdot),u(\cdot)\big)$ dem System (2.40) genügt und die Randbedingungen (2.41) erfüllt. Die Menge $\mathscr{B}_{\mathrm{adm}}$ bezeichnet die Menge der zulässigen Steuerungsprozesse.

Ein zulässiger Steuerungsprozess $\big(x_*(\cdot),u_*(\cdot)\big)$ ist eine starke lokale Minimalstelle der Aufgabe (2.39)–(2.42), falls eine Zahl $\varepsilon>0$ derart existiert, dass die Ungleichung

$$J\big(x(\cdot),u(\cdot)\big)\ge J\big(x_*(\cdot),u_*(\cdot)\big)$$

für alle $\big(x(\cdot),u(\cdot)\big)\in\mathscr{B}_{\mathrm{adm}}$ mit $\|x(\cdot)-x_*(\cdot)\|_\infty\le\varepsilon$ gilt.

Für die Aufgabe (2.39)–(2.42) bezeichnet $H:\mathbb{R}\times\mathbb{R}^n\times\mathbb{R}^m\times\mathbb{R}^n\times\mathbb{R}\to\mathbb{R}$ die Pontrjagin-Funktion, die wir wie folgt definieren:

$$H(t,x,u,p,\lambda_0)=\langle p,\varphi(t,x,u)\rangle-\lambda_0 f(t,x,u).$$

Theorem 2.7 (Pontrjaginsches Maximumprinzip)**.** *Es sei* $\big(x_*(\cdot),u_*(\cdot)\big)\in\mathscr{B}_{\mathrm{adm}}\cap\mathscr{B}_{\mathrm{Lip}}$. *Ist* $\big(x_*(\cdot),u_*(\cdot)\big)$ *ein starkes lokales Minimum der Aufgabe (2.39)–(2.42), dann existieren nicht gleichzeitig verschwindende Multiplikatoren* $\lambda_0\ge0$, $p(\cdot)\in W_2^1([t_0,t_1],\mathbb{R}^n)$ *und* $l_i\in\mathbb{R}^{s_i}$, $i=0,1$, *derart, dass*

(a) die Funktion $p(\cdot)$ der adjungierten Gleichung

$$\dot{p}(t) = -\varphi_x^T\big(t, x_*(t), u_*(t)\big)p(t) + \lambda_0 f_x\big(t, x_*(t), u_*(t)\big) \tag{2.43}$$

genügt und die Transversalitätsbedingungen

$$p(t_0) = {h_0'}^T\big(x_*(t_0)\big)l_0, \qquad p(t_1) = -{h_1'}^T\big(x_*(t_1)\big)l_1 \tag{2.44}$$

erfüllt;

(b) in fast allen Punkten $t \in [t_0, t_1]$ die Maximumbedingung

$$H\big(t, x_*(t), u_*(t), p(t), \lambda_0\big) = \max_{u\in U} H\big(t, x_*(t), u, p(t), \lambda_0\big) \tag{2.45}$$

gilt.

Bemerkung 2.8. Für das Pontrjaginsche Maximumprinzip lässt sich an dieser Stelle ebenso die Bemerkung 1.17 über die Transversalitätsbedingungen bei fehlenden Randbedingungen übernehmen. □

Beispiel 2.9. Wir betrachten nach Dockner et al. [17] das Differentialspiel

$$\begin{aligned}
&\tilde{J}_i\big(x(\cdot), u_1(\cdot), u_2(\cdot)\big) = \int_0^T e^{-\varrho t}\big(px(t) - c_i\big)u_i(t)\,dt \to \sup,\\
&\dot{x}(t) = x(t)\big(\alpha - r\ln x(t)\big) - u_1(t)x(t) - u_2(t)x(t), \quad x(0) = x_0 > 0,\\
&u_i > 0, \quad \alpha, c_i, p, r, \varrho > 0, \quad \alpha > \frac{1}{c_1 + c_2}, \quad i = 1, 2.
\end{aligned}$$

In dieser Aufgabe sei der Preis p nicht konstant, sondern umgekehrt proportional zum Angebot:

$$p = p(u_1x + u_2x) = \frac{1}{u_1x + u_2x}.$$

Dieser Ansatz spiegelt die Ökonomie einer "Eskimo"-Gesellschaft wider, in der der Fischbestand die wichtigste Nahrungsgrundlage darstellt und kein echtes Ersatzprodukt existiert. Unter diesen Umständen führt eine prozentuale Preissteigerung zu einem Umsatzrückgang in gleicher Relation.

Wenden wir die Transformation $z = \ln x$ an, so erhalten wir das Spielproblem

$$\begin{aligned}
&J_i\big(z(\cdot), u_1(\cdot), u_2(\cdot)\big) = \int_0^T e^{-\varrho t}\left(\frac{1}{u_1(t) + u_2(t)} - c_i\right)u_i(t)\,dt \to \sup,\\
&\dot{z}(t) = -rz(t) + \alpha - u_1(t) - u_2(t), \quad z(0) = \ln x_0 > 0,\\
&u_i > 0, \quad \alpha, c_i, p, r, \varrho > 0, \quad \alpha > \frac{1}{c_1 + c_2}, \quad i = 1, 2.
\end{aligned}$$

Ein zulässiger Steuerungsprozess $\big(z^*(\cdot), u_1^*(\cdot), u_2^*(\cdot)\big)$ ist ein Nash-Gleichgewicht des Spiels, falls für alle anderen zulässigen Steuerungsprozesse $\big(z(\cdot), u_1(\cdot), u_2^*(\cdot)\big)$, $\big(z(\cdot), u_1^*(\cdot), u_2(\cdot)\big)$ die Ungleichungen

$$J_1\big(z^*(\cdot), u_1^*(\cdot), u_2^*(\cdot)\big) \geq J_1\big(z(\cdot), u_1(\cdot), u_2^*(\cdot)\big),\ J_2\big(z^*(\cdot), u_1^*(\cdot), u_2^*(\cdot)\big) \geq J_2\big(z(\cdot), u_1^*(\cdot), u_2(\cdot)\big)$$

gelten. Halten wir die optimale Strategie des Gegenspielers fest, dann ergeben sich für $i, j \in \{1, 2\}$, $i \neq j$, folgende miteinander gekoppelte Steuerungsprobleme:

$$\begin{aligned} &J_i\big(z(\cdot), u_i(\cdot), u_j^*(\cdot)\big) = \int_0^T e^{-\varrho t}\left(\frac{1}{u_i(t) + u_j^*(t)} - c_i\right) u_i(t)\, dt \to \sup, \\ &\dot{z}(t) = -rz(t) + \alpha - u_i(t) - u_j^*(t), \quad z(0) = \ln x_0 > 0, \quad u_i > 0. \end{aligned}$$

Die zulässigen Steuerungen gehören dem Raum $L_\infty([0, T], U)$ an. Deshalb sind im Ansatz des Nash-Gleichgewichtes die Abbildungen

$$f_i(t, z, u_i) = \left(\frac{1}{u_i + u_j^*(t)} - c_i\right) u_i, \quad \varphi_i(t, z, u_i) = -rz + \alpha - u_i - u_j^*(t)$$

nicht stetig bezüglich der Variable t. Die Voraussetzung **(B)** ist nicht erfüllt. Da aber $\varphi_i(t, z, u_i)$ linear in z und u_i sind und die Variable z in $f_i(t, z, u_i)$ nicht einfließt, sind die gleichmäßigen Eigenschaften (2.32)–(2.34) für fast alle $t \in [0, T]$ erfüllt. Unter diesen Rahmenbedingungen behält Theorem 2.7 seine Gültigkeit.

Die Pontrjagin-Funktionen lauten

$$H_i(t, z, u_i, p_i, \lambda_0) = p_i\big(-rz + \alpha - u_i - u_j^*(t)\big) + \lambda_0 e^{-\varrho t}\left(\frac{1}{u_i + u_j^*(t)} - c_i\right) u_i.$$

Es liegt ein freier rechter Endpunkt vor. Deswegen dürfen wir $\lambda_0 = 1$ annehmen und es gelten die Transversalitätsbedingungen $p_i(T) = 0$. Damit erhalten wir aus der adjungierten Gleichung (2.43)

$$\dot{p}_i(t) = rp_i(t), \quad p_i(T) = 0, \qquad \Rightarrow \qquad p_i(t) \equiv 0.$$

Aus der Maximumbedingung (2.45) folgt schließlich

$$u_1^*(t) \equiv \frac{c_2}{(c_1 + c_2)^2}, \qquad u_2^*(t) \equiv \frac{c_1}{(c_1 + c_2)^2}$$

und für die optimale Trajektorie

$$z_*(t) = (z_0 - c_0)e^{-rt} + c_0, \qquad c_0 = \frac{1}{r}\left(\alpha - \frac{1}{c_1 + c_2}\right).$$

Die Funktion $z_*(\cdot)$ ist streng monoton und nimmt nur Werte des Segments $[z_0, c_0]$ an. Da c_0 und z_0 positiv sind, ist $x_*(t) = \exp\big(z_*(t)\big)$ über $[0, T]$ wohldefiniert und $\big(x_*(\cdot), u_1^*(\cdot), u_2^*(\cdot)\big)$ liefert einen Kandidaten für das ursprüngliche Differentialspiel. □

2.4.2. Definition und Eigenschaften der Extremalaufgabe

Sei $x_*(\cdot) \in \mathscr{B}_{\mathrm{Lip}} \cap C([t_0,t_1],\mathbb{R}^n)$ und es bezeichne $\xi_0(\cdot) \in C([t_0,t_1],\mathbb{R}^n)$ die Funktion $\xi_0(t) \equiv 0$. Wir definieren für $\big(\xi(\cdot),u(\cdot)\big) \in C([t_0,t_1],\mathbb{R}^n)\times L_\infty([t_0,t_1],\mathbb{R}^m)$ die Abbildungen

$$\begin{aligned}
\tilde J\big(\xi(\cdot),u(\cdot)\big) &= \int_{t_0}^{t_1} f\big(t,x_*(t)+\xi(t),u(t)\big)\,dt,\\
F\big(\xi(\cdot),u(\cdot)\big)(t) &= \big(x_*(t)+\xi(t)\big)-\big(x_*(t_0)+\xi(t_0)\big)\\
&\qquad -\int_{t_0}^{t}\varphi\big(s,x_*(s)+\xi(s),u(s)\big)\,ds, \quad t\in[t_0,t_1],\\
H_i\big(\xi(\cdot)\big) &= h_i\big(x_*(t_i)+\xi(t_i)\big), \quad i=0,1.
\end{aligned}$$

Da $x_*(\cdot)$ zu $C([t_0,t_1],\mathbb{R}^n)$ gehört, gilt für diese Abbildungen

$$\begin{aligned}
\tilde J &: C([t_0,t_1],\mathbb{R}^n)\times L_\infty([t_0,t_1],\mathbb{R}^m)\to\mathbb{R},\\
F &: C([t_0,t_1],\mathbb{R}^n)\times L_\infty([t_0,t_1],\mathbb{R}^m)\to C([t_0,t_1],\mathbb{R}^n),\\
H_i &: C([t_0,t_1],\mathbb{R}^n)\to\mathbb{R}^{s_i}, \quad i=0,1.
\end{aligned}$$

Wir untersuchen im Weiteren die Eigenschaften der Extremalaufgabe

$$\tilde J\big(\xi(\cdot),u(\cdot)\big)\to\inf, \qquad F\big(\xi(\cdot),u(\cdot)\big)=0, \qquad H_i\big(\xi(\cdot)\big)=0, \quad i=0,1. \tag{2.46}$$

Dabei sind die Abbildungen $H_i\big(\xi(\cdot)\big)$ offenbar stetig differenzierbar.

Lemma 2.10. *Für jedes $u(\cdot)\in L_\infty([t_0,t_1],U)$ ist die Abbildung $\xi(\cdot)\to\tilde J\big(\xi(\cdot),u(\cdot)\big)$ im Punkt $\xi_0(\cdot)$ Fréchet-differenzierbar und es gilt*

$$\tilde J_\xi\big(\xi_0(\cdot),u(\cdot)\big)\xi(\cdot)=\int_{t_0}^{t_1}\big\langle f_x\big(t,x_*(t),u(t)\big),\xi(t)\big\rangle\,dt.$$

Beweis Sei $u(\cdot)\in L_\infty([t_0,t_1],U)$. Nach Voraussetzung **(B)** ist die Abbildung f auf $V_\gamma\times U$,

$$V_\gamma=\{(t,x)\in[t_0,t_1]\times\mathbb{R}^n \mid \|x-x_*(t)\|\le\gamma\},$$

stetig und bezüglich x stetig differenzierbar. Damit ist $\tilde J$ auf einer Umgebung von $\xi_0(\cdot)$ wohldefiniert. Ferner ist der lineare Operator $\tilde J_\xi\big(\xi_0(\cdot),u(\cdot)\big)$ stetig. Wegen der gleichmäßigen Stetigkeit von f_x auf der Menge $V_\gamma\times U$ gibt es eine Zahl $\lambda_0>0$ mit

$$\big\|f_x\big(t,x_*(t)+\lambda\xi,u(t)\big)-f_x\big(t,x_*(t),u(t)\big)\big\|\le\frac{\varepsilon}{t_1-t_0}$$

für fast alle $t\in[t_0,t_1]$, für alle $\|\xi\|\le1$ und alle $0<\lambda\le\lambda_0$. Damit erhalten wir

$$\begin{aligned}
&\left|\frac{\tilde J\big(\xi_0(\cdot)+\lambda\xi(\cdot),u(\cdot)\big)-\tilde J\big(\xi_0(\cdot),u(\cdot)\big)}{\lambda}-\tilde J_\xi\big(\xi_0(\cdot),u(\cdot)\big)\xi(\cdot)\right|\\
&\quad=\left|\int_{t_0}^{t_1}\left[\int_0^1\langle f_x\big(t,x_*(t)+\lambda s\xi(t),u(t)\big)-f_x\big(t,x_*(t),u(t)\big),\xi(t)\rangle ds\right]dt\right|\\
&\quad\le\int_{t_0}^{t_1}\frac{\varepsilon}{t_1-t_0}\|\xi(t)\|\,dt\le\varepsilon
\end{aligned}$$

für alle $\|\xi(\cdot)\|_\infty \le 1$ und alle $0 < \lambda \le \lambda_0$. ■

Lemma 2.11. *Für jedes $u(\cdot) \in L_\infty([t_0,t_1],U)$ ist die Abbildung $\xi(\cdot) \to F\big(\xi(\cdot),u(\cdot)\big)$ im Punkt $\xi_0(\cdot)$ Fréchet-differenzierbar und es gilt*

$$\big[F_\xi\big(\xi_0(\cdot),u(\cdot)\big)\xi(\cdot)\big](t) \;=\; \xi(t) - \xi(t_0) - \int_{t_0}^{t} \varphi_x\big(s,x_*(s),u(s)\big)\xi(s)\,ds, \quad t \in [t_0,t_1].$$

Beweis Aufgrund der gleichen Argumente wie im Beweis des letzten Lemma ist die Abbildung F auf einer Umgebung von $x_*(\cdot)$ wohldefiniert. Zudem ist der lineare Operator $F_\xi\big(\xi_0(\cdot),v_0(\cdot)\big)$ stetig. Da die Abbildung φ_x auf der Menge $V_\gamma \times U$ gleichmäßig stetig ist, gibt es eine Zahl $\lambda_0 > 0$ mit

$$\big\|\varphi_x\big(t,x_*(t)+\lambda\xi,u(t)\big) - \varphi_x\big(t,x_*(t),u(t)\big)\big\| \le \frac{\varepsilon}{t_1-t_0}$$

für fast alle $[t_0,t_1]$, für alle $\|\xi\| \le 1$ und alle $0 < \lambda \le \lambda_0$. Damit folgt

$$\begin{aligned}&\left\|\frac{F\big(\xi_0(\cdot)+\lambda\xi(\cdot),u(\cdot)\big) - F\big(\xi_0(\cdot),u(\cdot)\big)}{\lambda} - F_\xi\big(\xi_0(\cdot),u(\cdot)\big)\xi(\cdot)\right\|_\infty \\ &\quad\le \int_{t_0}^{t_1}\left[\int_0^1 \big\|\varphi_x\big(t,x_*(t)+\lambda s\xi(t),u(t)\big) - \varphi_x\big(t,x_*(t),u(t)\big)\big\|\,ds\right]dt \le \varepsilon\end{aligned}$$

für alle $\|\xi(\cdot)\|_\infty \le 1$ und alle $0 < \lambda \le \lambda_0$. ■

Lemma 2.12. *Der Operator $F_\xi\big(\xi_0(\cdot),u(\cdot)\big)$ ist surjektiv.*

Beweis Das folgt unmittelbar aus Lemma D.2. ■

2.4.3. Lagrangesche Multiplikatorenregel

In der Aufgabe (2.39)–(2.42) seien $x_*(\cdot) \in \mathscr{B}_{\mathrm{Lip}} \cap C([t_0,t_1],\mathbb{R}^n)$ und $\big(x_*(\cdot),u_*(\cdot)\big) \in \mathscr{B}_{\mathrm{adm}}$. Auf $C([t_0,t_1],\mathbb{R}^n) \times L_\infty([t_0,t_1],\mathbb{R}^m) \times C^*([t_0,t_1],\mathbb{R}^n) \times \mathbb{R} \times \mathbb{R}^{s_0} \times \mathbb{R}^{s_1}$ definieren wir zur Extremalaufgabe (2.46),

$$\tilde J\big(\xi(\cdot),u(\cdot)\big) \to \inf, \qquad F\big(\xi(\cdot),u(\cdot)\big) = 0, \qquad H_i\big(\xi(\cdot)\big) = 0, \quad i = 0,1,$$

die Lagrange-Funktion $\mathscr{L} = \mathscr{L}\big(\xi(\cdot),u(\cdot),y^*,\lambda_0,l_0,l_1\big)$,

$$\mathscr{L} = \lambda_0\tilde J\big(\xi(\cdot),u(\cdot)\big) + \big\langle y^*, F\big(\xi(\cdot),u(\cdot)\big)\big\rangle + l_0^T H_0\big(\xi(\cdot)\big) + l_1^T H_1\big(\xi(\cdot)\big).$$

Theorem 2.13 (Extremalprinzip)**.** *Es sei $x_*(\cdot) \in \mathscr{B}_{\mathrm{Lip}} \cap C([t_0,t_1],\mathbb{R}^n)$ und außerdem sei $\big(x_*(\cdot),u_*(\cdot)\big) \in \mathscr{B}_{\mathrm{adm}}$. Ist $\big(x_*(\cdot),u_*(\cdot)\big)$ ein starkes lokales Minimum im Steuerungsproblem (2.39)–(2.42), dann existieren nicht gleichzeitig verschwindende Lagrangesche Multiplikatoren $\lambda_0 \ge 0$, $y^* \in C^*([t_0,t_1],\mathbb{R}^n)$, $l_0 \in \mathbb{R}^{s_0}$ und $l_1 \in \mathbb{R}^{s_1}$ derart, dass*

(a) die Lagrange-Funktion bezüglich $\xi(\cdot)$ in $\xi_0(\cdot)$ einen stationären Punkt besitzt:

$$\mathscr{L}_\xi\big(\xi_0(\cdot), u_*(\cdot), \lambda_0, y^*, l_0, l_1\big) = 0; \tag{2.47}$$

(b) die Lagrange-Funktion bezüglich $u(\cdot)$ die Minimumbedingung erfüllt:

$$\mathscr{L}\big(\xi_0(\cdot), u_*(\cdot), \lambda_0, y^*, l_0, l_1\big) = \min_{u(\cdot)\in L_\infty([t_0,t_1],U)} \mathscr{L}\big(\xi_0(\cdot), u(\cdot), \lambda_0, y^*, l_0, l_1\big). \tag{2.48}$$

Beweis Aufgrund von Lemma 2.12 ist die Abbildung $\xi(\cdot) \to F\big(\xi(\cdot), u_*(\cdot)\big)$ im Punkt $\xi_0(\cdot)$ regulär. Ferner sind $\operatorname{Im} H_i'\big(\xi(\cdot)\big)$ abgeschlossene Teilmengen der endlich-dimensionalen Räume $\mathbb{R}^{s_i}$. Daher stimmt das Bild des stetigen lineare Operators

$$L = \Big(F_\xi\big(\xi_0(\cdot), u_*(\cdot)\big), H_0'\big(\xi_0(\cdot)\big), H_1'\big(\xi_0(\cdot)\big)\Big)$$

entweder mit $Z = C([t_0,t_1],\mathbb{R}^n)\times\mathbb{R}^{s_0}\times\mathbb{R}^{s_1}$ oder mit einem abgeschlossenen Teilraum von Z überein. Im entarteten Fall, in dem $\operatorname{Im} L$ ein echter Teilraum von Z ist, gilt

$$\operatorname{Im} H_0'\big(\xi_0(\cdot)\big) \times \operatorname{Im} H_1'\big(\xi_0(\cdot)\big) \subset \mathbb{R}^{s_0}\times\mathbb{R}^{s_1}.$$

Daher gibt es Vektoren $l_0 \in \mathbb{R}^{s_0}, l_1 \in \mathbb{R}^{s_1}$ mit $(l_0, l_1) \neq 0$ und

$$0 = l_0^T v_0 + l_1^T v_1 \qquad \text{für alle } v_0 \in \operatorname{Im} H_0', v_1 \in \operatorname{Im} H_1'.$$

Setzen wir $\lambda_0 = 0$ und $y^* = 0$, dann gelten die Bedingungen des Extremalprinzips 2.13. Der Übersichtlichkeit halber ist der Beweis für den regulären Fall in fünf Schritte gegliedert.

1. Schritt (Die Menge $\mathscr{C}$ der Variationen)**.** Wir betrachten die Menge $\mathscr{C}$ derjenigen

$$\big(\eta_0, y(\cdot), \mu_0, \mu_1\big) \in \mathbb{R}\times C([t_0,t_1],\mathbb{R}^n)\times\mathbb{R}^{s_0}\times\mathbb{R}^{s_1},$$

zu denen es ein $\xi(\cdot) \in C([t_0,t_1],\mathbb{R}^n)$ und ein $u(\cdot) \in L_\infty([t_0,t_1],U)$ gibt mit

$$\begin{aligned}
\eta_0 &> \tilde{J}_\xi\big(\xi_0(\cdot), u_*(\cdot)\big)\xi(\cdot) + \tilde{J}\big(\xi_0(\cdot), u(\cdot)\big) - \tilde{J}\big(\xi_0(\cdot), u_*(\cdot)\big),\\
y(\cdot) &= F_\xi\big(\xi_0(\cdot), u_*(\cdot)\big)\xi(\cdot) + F\big(\xi_0(\cdot), u(\cdot)\big) - F\big(\xi_0(\cdot), u_*(\cdot)\big),\\
\mu_i &= H_i'\big(\xi_0(\cdot)\big)\xi(\cdot), \qquad i = 0, 1.
\end{aligned}$$

Es ist $\tilde{J}_\xi\big(\xi_0(\cdot), u_*(\cdot)\big)$ linear und stetig. Daher gibt eine Zahl $a > 0$ mit

$$a > \sup_{\|\xi(\cdot)\|<1} J_\xi\big(\xi_0(\cdot), u_*(\cdot)\big)\xi(\cdot).$$

Wir setzen $\mathbb{R}_a = \{\alpha \in \mathbb{R} \mid \alpha > a\}$. Da der Operator $L = (F_\xi, H_0', H_1')$ linear und stetig ist, ferner das Bild $\operatorname{Im} L$ mit Z übereinstimmt, ist L nach dem Satz von der offenen Abbildung offen. Also bildet L die offene Einheitskugel des Raumes $C([t_0,t_1],\mathbb{R}^n)$ auf eine offene Menge U_0 ab. Daher gilt $\mathbb{R}_a \times U_0 \subseteq \operatorname{conv}\mathscr{C}$, und $\operatorname{conv}\mathscr{C}$ besitzt ein nichtleeres Inneres.

Zum Nachweis des Extremalprinzips (Theorem 2.13) genügt es $0 \notin \operatorname{conv} \mathscr{C}$ zu zeigen. Dann erhalten wir aus dem Satz von Hahn-Banach die Existenz eines nichttrivialen Funktionals

$$(\lambda_0, y^*, l_0, l_1) \in \mathbb{R} \times C^*([t_0, t_1], \mathbb{R}^n) \times \mathbb{R}^{s_0} \times \mathbb{R}^{s_1},$$

das die Menge $\operatorname{conv} \mathscr{C}$ vom Urpsrung trennt. Dies bedeutet, dass

$$0 \le \lambda_0 \eta_0 + \langle y^*, y(\cdot) \rangle + \langle l_0, \mu_0 \rangle + \langle l_1, \mu_1 \rangle$$

für alle $\big(\eta_0, y(\cdot), \mu_0, \mu_1\big) \in \mathscr{C} \subseteq \operatorname{conv} \mathscr{C}$ gilt. Diese Ungleichung liefert $\lambda_0 \ge 0$ und, dass

$$\begin{aligned} 0 \;\le\; & \lambda_0 \big[\tilde{J}_\xi\big(\xi_0(\cdot), u_*(\cdot)\big)\xi(\cdot) + \tilde{J}\big(\xi_0(\cdot), u(\cdot)\big) - \tilde{J}\big(\xi_0(\cdot), u_*(\cdot)\big)\big] \\ & + \big\langle y^*, F_\xi\big(\xi_0(\cdot), u_*(\cdot)\big)\xi(\cdot) + F\big(\xi_0(\cdot), u(\cdot)\big) - F\big(\xi_0(\cdot), u_*(\cdot)\big)\big\rangle \\ & + \big\langle l_0, H_0'\big(\xi_0(\cdot)\big)\xi(\cdot)\big\rangle + \big\langle l_1, H_1'\big(\xi_0(\cdot)\big)\xi(\cdot)\big\rangle \end{aligned}$$

für alle $\big(\xi(\cdot), u(\cdot)\big) \in C([t_0, t_1], \mathbb{R}^n) \times L_\infty([t_0, t_1], U)$ erfüllt ist. Betrachten wir diese Ungleichung nacheinander für $\xi(\cdot) = \xi_0(\cdot)$ bzw. $u(\cdot) = u_*(\cdot)$, so folgen (2.47) und (2.48). Angenommen, es ist $0 \in \operatorname{conv} \mathscr{C}$. Dann existieren nach dem Begriff einer konvexen Hülle positive Zahlen $\overline{\alpha}_i$, $\sum\limits_{i=1}^{d} \overline{\alpha_i} = 1$, gewisse $\overline{\xi}_i(\cdot) \in C([t_0, t_1], \mathbb{R}^n)$, $\overline{u}_i(\cdot) \in L_\infty([t_0, t_1], U)$, $i = 1, ..., d$, mit

$$\begin{aligned} 0 \;&>\; \tilde{J}_\xi\big(\xi_0(\cdot), u_*(\cdot)\big)\overline{\xi}(\cdot) + \sum_{i=1}^{d} \overline{\alpha}_i \Big[\tilde{J}\big(\xi_0(\cdot), \overline{u}_i(\cdot)\big) - \tilde{J}\big(\xi_0(\cdot), u_*(\cdot)\big)\Big], \\ 0 \;&=\; F_\xi\big(\xi_0(\cdot), u_*(\cdot)\big)\overline{\xi}(\cdot) + \sum_{i=1}^{d} \overline{\alpha}_i \Big[F\big(\xi_0(\cdot), \overline{u}_i(\cdot)\big) - F\big(\xi_0(\cdot), u_*(\cdot)\big)\Big], \\ 0 \;&=\; H_0'\big(\xi_0(\cdot)\big)\overline{\xi}(\cdot), \qquad 0 = H_1'\big(\xi_0(\cdot)\big)\overline{\xi}(\cdot), \qquad \overline{\xi}(\cdot) = \sum_{i=1}^{d} \overline{\alpha}_i \overline{\xi}_i(\cdot). \end{aligned}$$

2. Schritt (Definition und Eigenschaften der Abbildungen $\tilde{\Phi}$ und $\tilde{\Lambda}$)**.** Für jede Zahl $a \in \mathbb{R}$ setzen wir $a^+ = \max\{a, 0\}, a^- = \min\{a, 0\}$ und für jeden Vektor $\alpha = (\alpha_1, ..., \alpha_d) \in \mathbb{R}^d$

$$\alpha^+ = (\alpha_1^+, ..., \alpha_d^+), \qquad \alpha^- = (\alpha_1^-, ..., \alpha_d^-), \qquad |\alpha| = \sum_{i=1}^{d} |\alpha_i|.$$

Ferner betrachten wir die mehrfache Nadelvariation $u_\alpha(\cdot) \in L_\infty([t_0, t_1], U)$,

$$u_\alpha(t) = u_*(t) + \sum_{i=1}^{d} \chi_{M_i(\alpha_i)}(t) \cdot \big(\overline{u}_i(t) - u_*(t)\big), \qquad t \in [t_0, t_1],$$

in Richtung der Steuerungen $\overline{u}_1(\cdot), ..., \overline{u}_d(\cdot) \in L_\infty([t_0, t_1], U)$, mit denen die konvexe Kombination gebildet wird. Im Weiteren untersuchen wir die Abbildungen

$$\Phi\big(\xi(\cdot), \alpha\big) = F\big(\xi(\cdot), u_{\alpha^+}(\cdot)\big) + \sum_{i=1}^{d} \alpha_i^- \Big(F\big(\xi_0(\cdot), \overline{u}_i(\cdot)\big) - F\big(\xi_0(\cdot), u_*(\cdot)\big)\Big),$$
$$\Phi_0\big(\xi(\cdot), \alpha\big) = H_0\big(\xi(\cdot)\big), \qquad \Phi_1\big(\xi(\cdot), \alpha\big) = H_1\big(\xi(\cdot)\big),$$

und die stetigen linearen Operatoren

$$\Lambda\big(\xi(\cdot), \alpha\big) = F_\xi\big(\xi_0(\cdot), u_*(\cdot)\big)\xi(\cdot) + \sum_{i=1}^{d} \alpha_i \Big(F\big(\xi_0(\cdot), \overline{u}_i(\cdot)\big) - F\big(\xi_0(\cdot), u_*(\cdot)\big)\Big),$$
$$\Lambda_0\big(\xi(\cdot), \alpha\big) = H_0'\big(\xi_0(\cdot)\big)\xi(\cdot), \qquad \Lambda_1\big(\xi(\cdot), \alpha\big) = H_1'\big(\xi_0(\cdot)\big)\xi(\cdot),$$

die wir in den Abbildungen $\tilde{\Phi}$ und $\tilde{\Lambda}$ zusammenfassen:

$$\tilde{\Phi}\big(\xi(\cdot), \alpha\big) = (\Phi, \Phi_0, \Phi_1)\big(\xi(\cdot), \alpha\big), \qquad \tilde{\Lambda}\big(\xi(\cdot), \alpha\big) = (\Lambda, \Lambda_0, \Lambda_1)\big(\xi(\cdot), \alpha\big).$$

Es sei $\Delta \in (0, 1/d]$. Wir definieren die Menge $\tilde{\Sigma}(\Delta)$ gemäß

$$\tilde{\Sigma}(\Delta) = \left\{\alpha = (\alpha_1, ..., \alpha_d) \in \mathbb{R}^d \;\middle|\; \sum_{i=1}^{d} \alpha_i^+ \le \Delta\right\}.$$

Dann gilt für alle $\big(\xi(\cdot), \alpha\big)$ und $\big(\xi'(\cdot), \alpha'\big)$ aus $C([t_0, t_1], \mathbb{R}^n) \times \tilde{\Sigma}(\Delta)$:

$$\begin{aligned}
&\big\|\Phi\big(\xi(\cdot), \alpha\big) - \Phi\big(\xi'(\cdot), \alpha'\big) - \Lambda\big(\xi(\cdot), \alpha\big) + \Lambda\big(\xi'(\cdot), \alpha'\big)\big\|_\infty \\
&= \Big\| F\big(\xi(\cdot), u_{\alpha^+}(\cdot)\big) - F\big(\xi'(\cdot), u_{\alpha'^+}(\cdot)\big) - F_\xi\big(\xi_0(\cdot), u_*(\cdot)\big)\big(\xi(\cdot) - \xi'(\cdot)\big) \\
&\qquad\qquad - \sum_{i=1}^{d} (\alpha_i^+ - \alpha_i'^+) \Big(F\big(\xi_0(\cdot), \overline{u}_i(\cdot)\big) - F\big(\xi_0(\cdot), u_*(\cdot)\big)\Big)\Big\|_\infty \\
&= \max_{t \in [t_0, t_1]} \Big\| \int_{t_0}^{t} \Big[\varphi\big(\tau, x_*(\tau) + \xi(\tau), u_{\alpha^+}(\tau)\big) - \varphi\big(\tau, x_*(\tau) + \xi'(\tau), u_{\alpha'^+}(\tau)\big) \\
&\qquad\qquad - \varphi_x\big(\tau, x_*(\tau), u_*(\tau)\big)\big(\xi(\tau) - \xi'(\tau)\big) \\
&\qquad\qquad - \sum_{i=1}^{d} (\alpha_i^+ - \alpha_i'^+) \cdot \Big(\varphi\big(\tau, x_*(\tau), \overline{u}_i(\tau)\big) - \varphi\big(\tau, x_*(\tau), u_*(\tau)\big)\Big)\Big] d\tau \Big\|.
\end{aligned}$$

Für alle $\alpha \in \tilde{\Sigma}(\Delta)$ gehört α^+ dem Simplex $\Sigma(\Delta)$ aus Abschnitt 2.3.3 an. Mit Blick auf 2.37 können wir nach Lemma 2.5 eine Umgebung V von $\xi_0(\cdot)$ und ein $\Delta \in (0, 1/d]$ derart wählen, dass dieser Ausdruck kleiner oder gleich

$$\delta\Big(\big\|\xi(\cdot) - \xi'(\cdot)\big\|_\infty + \sum_{i=1}^{d} |\alpha_i - \alpha_i'|\Big)$$

für alle $\xi(\cdot), \xi'(\cdot) \in V$ und alle $\alpha, \alpha' \in \tilde{\Sigma}(\Delta)$ ist.
Ferner kann diese Umgebung V von $\xi_0(\cdot)$ so gewählt werden, dass ebenfalls

$$\big\|H_i\big(\xi(\cdot)\big) - H_i\big(\xi'(\cdot)\big) - H_i'\big(\xi_0(\cdot)\big)\big(\xi(\cdot) - \xi'(\cdot)\big)\big\| \le \delta\big\|\xi(\cdot) - \xi'(\cdot)\big\|_\infty, \quad i = 0, 1,$$

für alle $\xi(\cdot), \xi'(\cdot) \in V$ gilt. Daraus folgt, dass eine Umgebung $V \subseteq C([t_0, t_1], \mathbb{R}^n)$ von $\xi_0(\cdot)$ und eine Nullumgebung $\tilde{\Sigma}(\Delta) \subseteq \mathbb{R}^d$ existieren mit

$$\begin{aligned} &\big\|\tilde{\Phi}\big(\xi(\cdot), \alpha\big) - \tilde{\Phi}\big(\xi'(\cdot), \alpha'\big) - \tilde{\Lambda}\big(\xi(\cdot), \alpha\big) + \tilde{\Lambda}\big(\xi'(\cdot), \alpha'\big)\big\| \\ &\quad\le\ \delta\left(\big\|\xi(\cdot) - \xi'(\cdot)\big\|_\infty + \sum_{i=1}^{d} |\alpha_i - \alpha_i'|\right). \end{aligned} \tag{2.49}$$

3. Schritt (Die Existenz zulässiger Richtungen)**.** Wir prüfen die Voraussetzungen des verallgemeinerten Satzes von Ljusternik (Theorem B.16): Für $\big(\xi(\cdot), \alpha\big) \in C([t_0, t_1], \mathbb{R}^n) \times \mathbb{R}^d$ und $\big(y(\cdot), l_0, l_1\big) \in C([t_0, t_1], \mathbb{R}^n) \times \mathbb{R}^{s_0} \times \mathbb{R}^{s_1}$ sei

$$C(\tilde{\Lambda}) = \sup_{(y(\cdot), l_0, l_1) \neq 0} \left(\frac{\inf\big\{\|\xi(\cdot)\|_\infty + |\alpha| \,\big|\, \tilde{\Lambda}\big(\xi(\cdot), \alpha\big) = \big(y(\cdot), l_0, l_1\big)\big\}}{\|(y(\cdot), l_0, l_1)\|} \right).$$

Aus der Definition des Operators $\tilde{\Lambda}$ folgt $\operatorname{Im} \tilde{\Lambda} = C([t_0, t_1], \mathbb{R}^n) \times \mathbb{R}^{s_0} \times \mathbb{R}^{s_1}$. Außerdem ist der Operator $\tilde{\Lambda}$ linear und stetig. Gemäß Lemma B.15 gilt deshalb $C(\tilde{\Lambda}) < \infty$.
Wir wählen $\delta > 0$ mit der Eigenschaft $\delta \cdot C(\tilde{\Lambda}) < 1/2$, dann genügen die Abbildung $\tilde{\Phi}$ und der Operator $\tilde{\Lambda}$ den Voraussetzungen des verallgemeinerten Satzes von Ljusternik.
Auf den Punkt $\big(\xi_0(\cdot), 0\big) \in C([t_0, t_1], \mathbb{R}^n) \times \mathbb{R}^d$ wenden wir den Satz von Ljusternik an. Daher gibt es für $\delta \cdot C(\tilde{\Lambda}) < 1/2$ positive Zahlen ε_0, K und eine Abbildung $\varepsilon \to \big(r^\varepsilon(\cdot), \alpha^\varepsilon\big)$ des Intervalls $[0, \varepsilon_0]$ in $C([t_0, t_1], \mathbb{R}^n) \times \mathbb{R}^d$ derart, dass

$$\tilde{\Phi}\big(\xi_0(\cdot) + \varepsilon\overline{\xi}(\cdot) + r^\varepsilon(\cdot), \varepsilon\overline{\alpha} + \alpha^\varepsilon\big) = \tilde{\Phi}\big(\xi_0(\cdot), 0\big) = 0$$

für alle $\varepsilon \in [0, \varepsilon_0]$ und

$$\|r^\varepsilon(\cdot)\|_\infty + \sum_{i=1}^{d} |\alpha_i^\varepsilon| \le K\big\|\tilde{\Phi}\big(\xi_0(\cdot) + \varepsilon\overline{\xi}(\cdot), \varepsilon\overline{\alpha}\big) - \tilde{\Phi}\big(\xi_0(\cdot), 0\big)\big\|$$

gelten. Da $\tilde{\Phi}\big(\xi_0(\cdot), 0\big) = 0$ und nach Annahme im ersten Beweisschritt $\tilde{\Lambda}\big(\overline{\xi}(\cdot), \overline{\alpha}\big) = 0$ sind, folgt mit (2.49) aus dieser Ungleichung die Beziehung

$$\begin{aligned} \|r^\varepsilon(\cdot)\|_\infty + \sum_{i=1}^{d} |\alpha_i^\varepsilon| \ &\le\ K\big\|\tilde{\Phi}\big(\xi_0(\cdot) + \varepsilon\overline{\xi}(\cdot), \varepsilon\overline{\alpha}\big) - \tilde{\Phi}\big(\xi_0(\cdot), 0\big) \\ &\qquad - \tilde{\Lambda}\big(\xi_0(\cdot) + \varepsilon\overline{\xi}(\cdot), \varepsilon\overline{\alpha}\big) + \tilde{\Lambda}\big(\xi_0(\cdot), 0\big)\big\| \\ &\le\ \varepsilon K\delta\left(\|\overline{\xi}(\cdot)\|_\infty + \sum_{i=1}^{d} \overline{\alpha}_i\right) = \varepsilon K\delta\big(\|\overline{\xi}(\cdot)\|_\infty + |\overline{\alpha}|\big). \end{aligned} \tag{2.50}$$

Hieraus ergibt sich $r^\varepsilon(\cdot) \to 0$ und $\alpha^\varepsilon \to 0$ für $\varepsilon \to 0$.
Die Zahl $\delta > 0$ sei so gewählt, dass neben $\delta \cdot \tilde{C}(\Lambda) < 1/2$ noch

$$K\delta\big(\|\overline{\xi}(\cdot)\|_\infty + |\overline{\alpha}|\big) \le \min\{\overline{\alpha}_1, ..., \overline{\alpha}_d\} \tag{2.51}$$

erfüllt ist. Dann sind $\varepsilon\overline{\alpha}_i + \alpha_i^\varepsilon \ge 0$ nach (2.50), (2.51), und es gilt für alle $\varepsilon \in [0, \varepsilon_0]$

$$0 = \tilde{\Phi}\big(\xi_0(\cdot) + \varepsilon\overline{\xi}(\cdot) + r^\varepsilon(\cdot), \varepsilon\overline{\alpha} + \alpha^\varepsilon\big).$$

Im Weiteren seien

$$\xi^\varepsilon(\cdot) = \xi_0(\cdot) + \varepsilon\overline{\xi}(\cdot) + r^\varepsilon(\cdot), \qquad u^\varepsilon(\cdot) = u_{\varepsilon\overline{\alpha}+\alpha^\varepsilon}(\cdot).$$

4. Schritt (Eigenschaft der zulässigen Richtungen)**.** Nach Annahme im ersten Schritt gibt es eine Zahl $c > 0$ mit

$$-4c \ge \tilde{J}_\xi\big(\xi_0(\cdot), u_*(\cdot)\big)\overline{\xi}(\cdot) + \sum_{i=1}^d \overline{\alpha}_i\Big[\tilde{J}\big(\xi_0(\cdot), \overline{u}_i(\cdot)\big) - \tilde{J}\big(\xi_0(\cdot), u_*(\cdot)\big)\Big]. \tag{2.52}$$

Da im Punkt $\xi_0(\cdot)$ die Funktion $\xi(\cdot) \to \tilde{J}\big(\xi(\cdot), u_*(\cdot)\big)$ Fréchet-differenzierbar ist, lässt sich eine Zahl $\sigma > 0$ derart angeben, dass für $0 \le \varepsilon \le \sigma$ und $\|\xi(\cdot) - \overline{\xi}(\cdot)\|_\infty \le \sigma$ die Ungleichung

$$\tilde{J}\big(\xi_0(\cdot) + \varepsilon\xi(\cdot), u_*(\cdot)\big) \le \tilde{J}\big(\xi_0(\cdot), u_*(\cdot)\big) + \varepsilon\big[\tilde{J}_\xi\big(\xi_0(\cdot), u_*(\cdot)\big)\overline{\xi}(\cdot) + c\big] \tag{2.53}$$

gilt. Wir nehmen an, $\delta > 0$ sei so gewählt, dass neben $\delta \cdot \tilde{C}(\Lambda) < 1/2$ und (2.51) noch folgende Bedingungen erfüllt sind:

$$K\delta\big(\|\overline{\xi}(\cdot)\|_\infty + |\overline{\alpha}|\big) \le \sigma, \qquad (\delta + K\delta^2)\big(\|\overline{\xi}(\cdot)\|_\infty + |\overline{\alpha}|\big) \le c, \tag{2.54}$$

$$K\delta\big(\|\overline{\xi}(\cdot)\|_\infty + |\overline{\alpha}|\big) \cdot \max_{1\le i\le d}\big|\tilde{J}\big(\xi_0(\cdot), \overline{u}_i(\cdot)\big) - \tilde{J}\big(\xi_0(\cdot), u_*(\cdot)\big)\big| \le c. \tag{2.55}$$

Aus (2.38) ergibt sich für $0 \le \varepsilon \le \min\{\varepsilon_0, \sigma\}$

$$\begin{aligned}\tilde{J}\big(\xi^\varepsilon(\cdot), u_{\varepsilon\overline{\alpha}+\alpha^\varepsilon}(\cdot)\big) \;\le\; & \tilde{J}\big(\xi^\varepsilon(\cdot), u_*(\cdot)\big) + \sum_{i=1}^d (\varepsilon\overline{\alpha}_i + \alpha_i^\varepsilon)\big[\tilde{J}\big(\xi^\varepsilon(\cdot), \overline{u}_i(\cdot)\big) - \tilde{J}\big(\xi^\varepsilon(\cdot), u_*(\cdot)\big)\big] \\ & + \delta\sum_{i=1}^d \big(\varepsilon\overline{\alpha}_i + \alpha_i^\varepsilon\big).\end{aligned}$$

Wir schätzen die einzelnen Summanden ab: Wegen (2.50) und (2.54) hat man

$$\frac{\|r^\varepsilon(\cdot)\|_\infty}{\varepsilon} \le \sigma, \quad \frac{1}{\varepsilon}\sum_{i=1}^d |\alpha_i^\varepsilon| \le \sigma.$$

Daher ist nach (2.53) für den ersten Summanden für $0 \le \varepsilon \le \min\{\varepsilon_0, \sigma\}$ die Ungleichung

$$\tilde{J}\big(\xi^\varepsilon(\cdot), u_*(\cdot)\big) \le \tilde{J}\big(\xi_0(\cdot), u_*(\cdot)\big) + \varepsilon\big[\tilde{J}_\xi\big(\xi_0(\cdot), u_*(\cdot)\big)\overline{\xi}(\cdot) + c\big] \tag{2.56}$$

erfüllt. Wir betrachten den zweiten Summanden. Dieser ist gleich

$$\begin{aligned}
&\sum_{i=1}^{d}(\varepsilon\overline{\alpha}_i + \alpha_i^\varepsilon)\big[\tilde{J}\big(\xi_0(\cdot), \overline{u}_i(\cdot)\big) - \tilde{J}\big(\xi_0(\cdot), u_*(\cdot)\big)\big] \\
&+\sum_{i=1}^{d}(\varepsilon\overline{\alpha}_i + \alpha_i^\varepsilon)\big[\tilde{J}\big(\xi^\varepsilon(\cdot), \overline{u}_i(\cdot)\big) - \tilde{J}\big(\xi_0(\cdot), \overline{u}_i(\cdot)\big) - \tilde{J}\big(\xi^\varepsilon(\cdot), u_*(\cdot)\big) + \tilde{J}\big(\xi_0(\cdot), u_*(\cdot)\big)\big].
\end{aligned}$$

Wegen (2.50) und (2.55) gilt

$$\begin{aligned}
&\sum_{i=1}^{d}\alpha_i^\varepsilon\big[\tilde{J}\big(\xi_0(\cdot), \overline{u}_i(\cdot)\big) - \tilde{J}\big(\xi_0(\cdot), u_*(\cdot)\big)\big] \\
&\quad\le\ \varepsilon K\delta\big(\|\overline{\xi}(\cdot)\|_\infty + |\overline{\alpha}|\big)\cdot\max_{1\le i\le d}|\tilde{J}\big(\xi_0(\cdot), \overline{u}_i(\cdot)\big) - \tilde{J}\big(\xi_0(\cdot), u_*(\cdot)\big)| \le \varepsilon c.
\end{aligned}$$

Beachten wir $\xi^\varepsilon(\cdot) \to \xi_0(\cdot)$ für $\varepsilon \to 0$ und ferner, dass die Abbildung $\xi(\cdot) \to \tilde{J}\big(\xi(\cdot), u(\cdot)\big)$ für jedes $u(\cdot) \in L_\infty([t_0, t_1], U)$ im Punkt $\xi_0(\cdot)$ Fréchet-differenzierbar ist, d. h.

$$\tilde{J}\big(\xi^\varepsilon(\cdot), u(\cdot)\big) - \tilde{J}\big(\xi_0(\cdot), u(\cdot)\big) = \varepsilon\tilde{J}_\xi\big(\xi_0(\cdot), u(\cdot)\big)\overline{\xi}(\cdot) + o(\varepsilon),$$

so erhalten wir für $0 \le \varepsilon \le \min\{\varepsilon_0, \sigma\}$

$$\begin{aligned}
&\sum_{i=1}^{d}(\varepsilon\overline{\alpha}_i + \alpha_i^\varepsilon)\big[\tilde{J}\big(\xi^\varepsilon(\cdot), \overline{u}_i(\cdot)\big) - \tilde{J}\big(\xi_0(\cdot), \overline{u}_i(\cdot)\big) - \tilde{J}\big(\xi^\varepsilon(\cdot), u_*(\cdot)\big) + \tilde{J}\big(\xi_0(\cdot), u_*(\cdot)\big)\big] \\
&\quad\le\ \varepsilon(|\overline{\alpha}| + \sigma)\sum_{i=1}^{d}\Big[\varepsilon\Big(\big|\tilde{J}_\xi\big(\xi_0(\cdot), \overline{u}_i(\cdot)\big)\overline{\xi}(\cdot)\big| + \big|\tilde{J}_\xi\big(\xi_0(\cdot), u_*(\cdot)\big)\overline{\xi}(\cdot)\big|\Big) + o(\varepsilon)\Big] = o(\varepsilon).
\end{aligned}$$

Daher gilt für den zweiten Summanden die Beziehung

$$\begin{aligned}
&\sum_{i=1}^{d}(\varepsilon\overline{\alpha}_i + \alpha_i^\varepsilon)\big[\tilde{J}\big(\xi^\varepsilon(\cdot), \overline{u}_i(\cdot)\big) - \tilde{J}\big(\xi^\varepsilon(\cdot), u_*(\cdot)\big)\big] \\
&\quad\le\ \varepsilon\sum_{i=1}^{d}\overline{\alpha}_i\big[\tilde{J}\big(\xi_0(\cdot), \overline{u}_i(\cdot)\big) - \tilde{J}\big(\xi_0(\cdot), u_*(\cdot)\big)\big] + \varepsilon c + o(\varepsilon).
\end{aligned} \tag{2.57}$$

Schließlich gilt gemäß (2.50) und (2.54)

$$\begin{aligned}
\delta\sum_{i=1}^{d}\big(\varepsilon\overline{\alpha}_i + \alpha_i^\varepsilon\big) &\le \varepsilon\delta\left(|\overline{\alpha}| + \frac{1}{\varepsilon}\sum_{i=1}^{d}|\alpha_i^\varepsilon|\right) \le \varepsilon\delta\left(\|\overline{\xi}(\cdot)\|_\infty + |\overline{\alpha}| + \frac{1}{\varepsilon}\sum_{i=1}^{d}|\alpha_i^\varepsilon|\right) \\
&\le \varepsilon\delta\Big(\|\overline{\xi}(\cdot)\|_\infty + |\overline{\alpha}| + K\delta\big(\|\overline{\xi}(\cdot)\|_\infty + |\overline{\alpha}|\big)\Big) \\
&\le \varepsilon(\delta + K\delta^2)\big(\|\overline{\xi}(\cdot)\|_\infty + |\overline{\alpha}|\big) \le \varepsilon c.
\end{aligned} \tag{2.58}$$

Aus (2.56)–(2.58) folgt für alle $0 \le \varepsilon \le \min\{\varepsilon_0, \sigma\}$ die Ungleichung

$$\begin{aligned}\tilde{J}\big(\xi^\varepsilon(\cdot), u^\varepsilon(\cdot)\big) \quad &\le \quad \tilde{J}\big(\xi_0(\cdot), u_*(\cdot)\big) + \varepsilon \tilde{J}_\xi\big(\xi_0(\cdot), u_*(\cdot)\big)\overline{\xi}(\cdot) \\ &\quad + \varepsilon \sum_{i=1}^{d} \overline{\alpha}_i \big[\tilde{J}\big(\xi_0(\cdot), \overline{u}_i(\cdot)\big) - \tilde{J}\big(\xi_0(\cdot), u_*(\cdot)\big)\big] + 3\varepsilon c + o(\varepsilon).\end{aligned}$$

Mit (2.52) erhalten wir für alle $0 \le \varepsilon \le \min\{\varepsilon_0, \sigma\}$:

$$\tilde{J}\big(\xi^\varepsilon(\cdot), u^\varepsilon(\cdot)\big) \le \tilde{J}\big(\xi_0(\cdot), u_*(\cdot)\big) - \varepsilon c + o(\varepsilon).$$

5. Schritt ($0 \notin \operatorname{conv} \mathscr{C}$)**.** Nach dem dritten Beweisschritt sind für hinreichend kleine $\varepsilon > 0$ die Punkte

$$\big(\xi^\varepsilon(\cdot), u^\varepsilon(\cdot)\big) = \big(\xi_0(\cdot) + \varepsilon\overline{\xi}(\cdot) + r^\varepsilon(\cdot), u_{\varepsilon\overline{\alpha}+\alpha^\varepsilon}(\cdot)\big)$$

zulässig in der Extremalaufgabe. Dies bedeutet nach Definition des Operators F, dass die Steuerungsprozesse

$$\big(x^\varepsilon(\cdot), u^\varepsilon(\cdot)\big) = \big(x_*(\cdot) + \varepsilon\overline{\xi}(\cdot) + r^\varepsilon(\cdot), u_{\varepsilon\overline{\alpha}+\alpha^\varepsilon}(\cdot)\big) \in W_2^1([t_0, t_1], \mathbb{R}^n) \times L_\infty([t_0, t_1], U)$$

zulässig in dem Steuerungsproblem (2.39)–(2.42) sind. Außerdem zeigten wir im vierten Schritt, dass für hinreichend kleine $\varepsilon > 0$ die Relation

$$J\big(x^\varepsilon(\cdot), u^\varepsilon(\cdot)\big) \le J\big(x_*(\cdot), u_*(\cdot)\big) - \varepsilon c + o(\varepsilon)$$

gilt. Wegen $x^\varepsilon(\cdot) \to x_*(\cdot)$ für $\varepsilon \to 0$ bedeutet dies, dass der Steuerungsprozess $\big(x_*(\cdot), u_*(\cdot)\big)$ im Widerspruch zur Voraussetzung des Extremalprinzips kein schwaches lokales Minimum der Aufgabe (2.39)–(2.42) sein könnte. ■

2.4.4. Beweisschluss

Die Lagrange-Funktion $\mathscr{L}$ zur Extremalaufgabe (2.46) lautete

$$\mathscr{L} = \lambda_0 J\big(\xi(\cdot), u(\cdot)\big) + \big\langle y^*, F\big(\xi(\cdot), u(\cdot)\big)\big\rangle + l_0^T H_0\big(\xi(\cdot)\big) + l_1^T H_1\big(\xi(\cdot)\big).$$

Dabei ist $y^* \in C^*([t_0, t_1], \mathbb{R}^n)$. Dann liefert die Variationsgleichung (2.47) des Extremalprinzips für alle $\xi(\cdot) \in C([t_0, t_1], \mathbb{R}^n)$:

$$\begin{aligned}0 \quad = \quad &\int_{t_0}^{t_1} \big\langle \lambda_0 f_x\big(t, x_*(t), u_*(t)\big), \xi(t)\big\rangle\, dt + \big\langle l_0, h_0'\big(x_*(t_0)\big)\xi(t_0)\big\rangle + \big\langle l_1, h_1'\big(x_*(t_1)\big)\xi(t_1)\big\rangle \\ &+ \int_{t_0}^{t_1} \Big[\xi(t) - \xi(t_0) - \int_{t_0}^{t} \varphi_x\big(s, x_*(s), u_*(s)\big)\xi(s)\, ds\Big]^T d\mu(t). \qquad (2.59)\end{aligned}$$

Wir setzen der Kürze halber $a(t) = f_x\big(t, x_*(t), u_*(t)\big)$ und $A(t) = \varphi_x\big(t, x_*(t), u_*(t)\big)$. Durch vertauschen der Integrationsreihenfolge,

$$\int_{t_0}^{t_1} \Big[\int_{t_0}^{t} A(s)\xi(s)\, ds\Big]^T d\mu(t) = \int_{t_0}^{t_1} \Big[A^T(t) \int_{t}^{t_1} d\mu(s)\Big]^T \xi(t)\, dt,$$

bringen wir (2.59) in die Gestalt

$$\begin{aligned} 0 &= \int_{t_0}^{t_1} \big\langle \lambda_0 a(t) - A^T(t) \int_t^{t_1} d\mu(s), \xi(t) \big\rangle \, dt + \int_{t_0}^{t_1} [\xi(t)]^T \, d\mu(t) \\ &\quad + \Big\langle {h_0'}^T\big(x_*(t_0)\big) l_0 - \int_{t_0}^{t_1} d\mu(t), \xi(t_0) \Big\rangle + \langle {h_1'}^T\big(x_*(t_1)\big) l_1, \xi(t_1) \rangle. \end{aligned} \tag{2.60}$$

Setzen wir $p(t) = \int_t^{t_1} d\mu(s)$ in (2.60), so folgen wegen der eindeutigen Darstellung eines stetigen linearen Funktionals im Raum $C([t_0, t_1], \mathbb{R}^n)$

$$\begin{aligned} p(t) &= -{h_1'}^T\big(x_*(t_1)\big) l_1 + \int_t^{t_1} \Big(\varphi_x^T\big(s, x_*(s), u_*(s)\big) p(s) - \lambda_0 f_x\big(s, x_*(s), u_*(s)\big) \Big) \, ds, \\ p(t_0) &= {h_0'}^T\big(x_*(t_0)\big) l_0. \end{aligned}$$

Damit sind die Bedingungen (2.43) und (2.44) in Theorem 2.7 gezeigt.

Die Beziehung (2.48) ist mit der folgenden äquivalent:

$$\begin{aligned} &\int_{t_0}^{t_1} \lambda_0 f\big(t, x_*(t), u_*(t)\big) \, dt - \int_{t_0}^{t_1} \Big[\int_{t_0}^{t} \varphi\big(s, x_*(s), u_*(s)\big) \, ds \Big]^T d\mu(t) \\ &= \min_{u(\cdot) \in L_\infty([t_0,t_1],U)} \left\{ \int_{t_0}^{t_1} \lambda_0 f\big(t, x_*(t), u(t)\big) \, dt - \int_{t_0}^{t_1} \Big[\int_{t_0}^{t} \varphi\big(s, x_*(s), u(s)\big) \, ds \Big]^T d\mu(t) \right\}. \end{aligned}$$

Es gilt aber

$$\begin{aligned} \int_{t_0}^{t_1} \Big[\int_{t_0}^{t} \varphi\big(s, x_*(s), u(s)\big) \, ds \Big]^T d\mu(t) &= \int_{t_0}^{t_1} \Big(\big[\varphi\big(t, x_*(t), u(t)\big)\big]^T \int_t^{t_1} d\mu(s) \Big) \, dt \\ &= \int_{t_0}^{t_1} \big\langle p(t), \varphi\big(t, x_*(t), u(t)\big) \big\rangle \, dt. \end{aligned}$$

Aus diesen beiden Beziehungen folgt

$$\begin{aligned} &\int_{t_0}^{t_1} \Big[\lambda_0 f\big(t, x_*(t), u_*(t)\big) - \big\langle p(t), \varphi\big(t, x_*(t), u_*(t)\big) \big\rangle \Big] \, dt \\ &= \min_{u(\cdot) \in L_\infty([t_0,t_1],U)} \int_{t_0}^{t_1} \Big[\lambda_0 f\big(t, x_*(t), u(t)\big) - \big\langle p(t), \varphi\big(t, x_*(t), u(t)\big) \big\rangle \Big] \, dt. \end{aligned} \tag{2.61}$$

Da in (2.61) für alle $u \in U$ fast jedes $t \in [t_0, t_1]$ ein Lebesguescher Punkt der Abbildungen

$$t \to H\big(t, x_*(t), u_*(t), p(t), \lambda_0\big), \qquad t \to H\big(t, x_*(t), u, p(t), \lambda_0\big),$$

ist, folgt für fast jedes $t \in [t_0, t_1]$ die Maximumbedingung (2.45). Damit ist der Beweis von Theorem 2.7 abgeschlossen. ■

2.4.5. Hinreichende Bedingungen nach Arrow

Unser Vorgehen zur Herleitung der hinreichenden Bedingungen basiert auf der Darstellung in Seierstad & Sydsæter [61], die wir um Ausführungen in Aseev & Kryazhimskii [3] ergänzt haben. Wir betrachten das Steuerungsproblem

$$J\big(x(\cdot),u(\cdot)\big) = \int_{t_0}^{t_1} f\big(t,x(t),u(t)\big)\,dt \to \inf, \tag{2.62}$$

$$\dot{x}(t) = \varphi\big(t,x(t),u(t)\big), \tag{2.63}$$

$$x(t_0) = x_0, \qquad x(t_1) = x_1, \tag{2.64}$$

$$u(t) \in U \subseteq \mathbb{R}^m, \quad U \neq \emptyset, \quad U \text{ konvex}. \tag{2.65}$$

In der Aufgabenstellung schließen wir wieder den Fall nicht aus, dass durch die Randbedingungen (2.64) gewisse Komponenten der Punkte x_0 und x_1 nicht fest vorgegeben, sondern ohne Einschränkung sind.

Wir definieren die Mengen V_γ und $V_\gamma(t)$:

$$V_\gamma = \{(t,x) \in [t_0,t_1] \times \mathbb{R}^n \mid \|x - x_*(t)\| \le \gamma\}, \quad V_\gamma(t) = \{x \in \mathbb{R}^n \mid \|x - x_*(t)\| \le \gamma\}.$$

Außerdem bezeichnet

$$\mathscr{H}(t,x,p) = \sup_{u\in U} H(t,x,u,p,1) \tag{2.66}$$

die Hamilton-Funktion $\mathscr{H}$ im normalen Fall.

Theorem 2.14. *In der Aufgabe (2.62)–(2.65) sei* $\big(x_*(\cdot),u_*(\cdot)\big) \in \mathscr{B}_{\mathrm{Lip}} \cap \mathscr{B}_{\mathrm{adm}}$ *und es sei* $p(\cdot) \in W_2^1([t_0,t_1],\mathbb{R}^n)$. *Ferner gelte:*

(a) Das Tripel $\big(x_*(\cdot),u_*(\cdot),p(\cdot)\big)$ *erfüllt (2.43)–(2.45) in Theorem 2.7 mit* $\lambda_0 = 1$.

(b) Für jedes $t \in [t_0,t_1]$ *ist die Funktion* $\mathscr{H}\big(t,x,p(t)\big)$ *konkav in* x *auf* $V_\gamma(t)$.

Dann ist $\big(x_*(\cdot),u_*(\cdot)\big)$ *ein starkes lokales Minimum der Aufgabe (2.62)–(2.65).*

Beweis Es sei $t \in [t_0,t_1]$ gegeben. Da die Abbildung $x \to \mathscr{H}\big(t,x,p(t)\big)$ auf $V_\gamma(t)$ konkav ist, ist die Menge

$$Z = \big\{(\alpha,x) \in \mathbb{R}\times\mathbb{R}^n \,\big|\, x \in V_\gamma(t), \alpha \le \mathscr{H}\big(t,x,p(t)\big)\big\}$$

konvex und besitzt ein nichtleeres Inneres. Ferner ist $\big(\alpha_*,x_*(t)\big)$ mit $\alpha_* = \mathscr{H}\big(t,x_*(t),p(t)\big)$ ein Randpunkt der Menge Z. Daher existiert ein nichttrivialer Vektor $\big(a_0(t),a(t)\big) \in \mathbb{R}\times\mathbb{R}^n$ mit

$$a_0(t)\alpha + \langle a(t),x\rangle \le a_0(t)\alpha_* + \langle a(t),x_*(t)\rangle \quad \text{für alle } (\alpha,x) \in Z. \tag{2.67}$$

Es ist $x_*(t)$ ein innerer Punkt der Menge $V_\gamma(t)$. Weiterhin ist $x \to \mathscr{H}\big(t,x,p(t)\big)$ in $V_\gamma(t)$ stetig, da sie auf $V_\gamma(t)$ konkav und nach unten durch $H\big(t,x,u_*(t),p(t),1\big)$ beschränkt ist.

Deswegen existiert ein $\delta > 0$ mit $x_*(t) + \xi \in V_\gamma(t)$ und $\big(\alpha_* - 1, x_*(t) + \xi\big) \in Z$ für alle $\|\xi\| \le \delta$. Aus (2.67) folgt daher $\langle a(t), \xi\rangle - a_0(t) \le 0$ für alle $\|\xi\| \le \delta$. Dies zeigt $a_0(t) > 0$ und wir können o. B. d. A. $a_0(t) = 1$ annehmen. Wiederum (2.67) liefert damit

$$\langle a(t), x - x_*(t)\rangle \le \mathscr{H}\big(t, x_*(t), p(t)\big) - \mathscr{H}\big(t, x, p(t)\big) \quad \text{für alle } x \in V_\gamma(t). \tag{2.68}$$

Es sei nun $t \in [t_0, t_1]$ so gewählt, dass die Maximumbedingung (2.45) zu diesem Zeitpunkt erfüllt ist. Dann folgt aus (2.68), dass

$$\begin{aligned} -\langle a(t), x - x_*(t)\rangle &\ge \mathscr{H}\big(t, x, p(t)\big) - \mathscr{H}\big(t, x_*(t), p(t)\big) \\ &= \sup_{u\in U} H\big(t, x, u, p(t), 1\big) - \mathscr{H}\big(t, x_*(t), p(t)\big) \\ &\ge \big\langle p(t), \varphi\big(t, x, u_*(t)\big)\big\rangle - f\big(t, x, u_*(t)\big) \\ &\quad -\big[\big\langle p(t), \varphi\big(t, x_*(t), u_*(t)\big)\big\rangle - f\big(t, x_*(t), u_*(t)\big)\big] \end{aligned}$$

für alle $x \in V_\gamma(t)$ gilt. Wir setzen

$$\begin{aligned} \Phi(x) &= \big\langle p(t), \varphi\big(t, x, u_*(t)\big) - \varphi\big(t, x_*(t), u_*(t)\big)\big\rangle \\ &\quad -\big[f\big(t, x, u_*(t)\big) - f\big(t, x_*(t), u_*(t)\big)\big] + \langle a(t), x - x_*(t)\rangle. \end{aligned}$$

Die Funktion $\Phi(x)$ ist stetig differenzierbar auf $V_\gamma(t)$. Ferner gilt $\Phi(x) \le 0$ für alle $x \in V_\gamma(t)$ und $\Phi(x_*(t)) = 0$. Damit nimmt die Funktion Φ in dem inneren Punkt $x_*(t)$ der Menge $V_\gamma(t)$ ihr absolutes Maximum an. Also gilt

$$0 = \Phi'(x_*(t)) = \varphi_x^T\big(t, x_*(t), u_*(t)\big)p(t) - f_x\big(t, x_*(t), u_*(t)\big) + a(t)$$

bzw.

$$a(t) = -\varphi_x^T\big(t, x_*(t), u_*(t)\big)p(t) + f_x\big(t, x_*(t), u_*(t)\big). \tag{2.69}$$

Die Gleichung (2.69) wurde unter der Annahme erzielt, dass die Maximumbedingung (2.45) in dem Zeitpunkt $t \in [t_0, t_1]$ erfüllt ist. Da (2.45) für fast alle $t \in [t_0, t_1]$ gilt, stimmt $a(t)$ mit der verallgemeinerten Ableitung $\dot p(t)$ überein. Also gilt auf V_γ für fast alle $t \in [t_0, t_1]$ die Ungleichung

$$\langle \dot p(t), x - x_*(t)\rangle \le \mathscr{H}\big(t, x_*(t), p(t)\big) - \mathscr{H}\big(t, x, p(t)\big). \tag{2.70}$$

Sei $\big(x(\cdot), u(\cdot)\big) \in \mathscr{B}_{\text{adm}}$ mit $\|x(\cdot) - x_*(\cdot)\|_\infty \le \gamma$. Dann erhalten wir

$$\begin{aligned} \Delta &= \int_{t_0}^{t_1} \big[f\big(t, x(t), u(t)\big) - f\big(t, x_*(t), u_*(t)\big)\big]dt \\ &\ge \int_{t_0}^{t_1} \big[\mathscr{H}\big(t, x_*(t), p(t)\big) - \mathscr{H}\big(t, x(t), p(t)\big)\big]dt + \int_{t_0}^{t_1} \langle p(t), \dot x(t) - \dot x_*(t)\rangle dt \\ &\ge \int_{t_0}^{t_1} \langle \dot p(t), x(t) - x_*(t)\rangle + \langle p(t), \dot x(t) - \dot x_*(t)\rangle dt \\ &= \langle p(t_1), x(t_1) - x_*(t_1)\rangle - \langle p(t_0), x(t_0) - x_*(t_0)\rangle. \end{aligned}$$

Im Fall fester Anfangs- und Endbedingungen verschwinden die Differenzen $x(t_i) - x_*(t_i)$. Sind jedoch gewissen Komponenten im Anfangs- oder Endpunkt x_0 bzw. x_1 frei, dann liefern die Transversalitätsbedingungen, dass die entsprechenden Komponenten der Adjungierten $p(\cdot)$ zum Zeitpunkt t_0 bzw. t_1 verschwinden. Daher folgt die Beziehung $\Delta \geq 0$ für alle zulässigen $\big(x(\cdot), u(\cdot)\big)$ mit $\|x(\cdot) - x_*(\cdot)\|_\infty \leq \gamma$. ■

Beispiel 2.15. Wir betrachten nach Seierstad & Sydsæter [61] ein Zwei-Sektoren-Modell, das aus der Produktion von Investitons- und Konsumgüter besteht. Wir bezeichnen mit $x_1(t)$ bzw. $x_2(t)$ die Rate der Güterproduktion im Investitions- bzw. Konsumsektor und es beschreibe $u(t) \in [0,1]$ die Aufteilung der Investitionsgüter auf beide Sektoren zur Produktion. Es entsteht damit die Aufgabe

$$\begin{aligned}
&J\big(x_1(\cdot), x_2(\cdot), u(\cdot)\big) = \int_0^T x_2(t)\,dt \to \sup,\\
&\dot{x}_1(t) = u(t)x_1(t), \quad x_1(0) = x_1^0 > 0, \quad x_1(T) \text{ frei},\\
&\dot{x}_2(t) = \big(1 - u(t)\big)x_1(t), \quad x_2(0) = x_2^0 > 0, \quad x_2(T) \text{ frei},\\
&u \in [0,1], \qquad T > 2.
\end{aligned}$$

Wir wenden Theorem 2.7 an. Da eine Aufgabe mit freiem rechten Endpunkt vorliegt, darf $\lambda_0 = 1$ gewählt werden. Die Pontrjagin-Funktion besitzt mit $\lambda_0 = 1$ die Gestalt

$$H(t, x_1, x_2, p_1, p_2, 1) = ux_1p_1 + (1-u)x_1p_2 + x_2.$$

Für die Adjungierten $p_1(\cdot), p_2(\cdot)$ ergeben sich die Gleichungen

$$\dot{p}_1(t) = -u_*(t)p_1(t) - \big(1 - u_*(t)\big)p_2(t), \qquad \dot{p}_2(t) = -1$$

zu den Transversalitätsbedingungen $p_1(T) = 0$, $p_2(T) = 0$. Die Maximumbedingung liefert

$$u_*(t) = \begin{cases} 1, & p_1(t) > p_2(t),\\ 0, & p_1(t) < p_2(t). \end{cases}$$

Damit erhalten wir als den optimalen Kandidaten die Steuerung

$$u_*(t) = \begin{cases} 1, & t \in [0, T-2),\\ 0, & t \in [T-2, T], \end{cases}$$

und die Zustandstrajektorien

$$\begin{aligned}
x_1^*(t) &= \begin{cases} x_1^0 e^t, & t \in [0, T-2),\\ x_1^0 e^{T-2}, & t \in [T-2, T], \end{cases}\\
x_2^*(t) &= \begin{cases} x_2^0, & t \in [0, T-2),\\ x_2^0 + (t - T + 2)x_1^0 e^{T-2}, & t \in [T-2, T]. \end{cases}
\end{aligned}$$

Weiterhin lauten die zugehörigen adjungierten Funktionen

$$p_1(t) = \begin{cases} 2e^{-(t-T+2)}, & t \in [0, T-2), \\ \frac{1}{2}(T-t)^2, & t \in [T-2, T], \end{cases} \qquad p_2(t) = T - t.$$

Die Pontrjagin-Funktion ist nicht konkav bezüglich (x_1, x_2, u) und die hinreichende Bedingungen nach Mangasarian sind nicht anwendbar. Beachten wir, dass für alle zulässigen Trajektorien die Bedingung $x_1(t) \geq x_1^0 > 0$ gilt, dann erhalten wir für die Hamilton-Funktion

$$\mathscr{H}(t, x, p) = \sup_{u \in U} H(t, x, u, p, 1) = \begin{cases} x_1 p_1 + x_2, & p_1 > p_2, \\ x_1 p_2 + x_2, & p_1 \leq p_2. \end{cases}$$

Für jedes $t \in [0, T]$ ist $\mathscr{H}$ linear in (x_1, x_2), also eine konkave Funktion in (x_1, x_2). Da der Kandidat $\big(x_1^*(\cdot), x_2^*(\cdot), u_*(\cdot)\big)$ alle Bedingungen des Maximumprinzips erfüllt, ist er eine starke lokale Minimalstelle. □

2.5. Aufgaben mit Zustandsbeschränkungen

2.5.1. Die Aufgabenstellung und das Maximumprinzip

Die allgemeine Beweisstrategie, die wir für die Standardaufgabe (2.39)–(2.42) vorgestellt haben, erweitern wir auf folgende Aufgabe mit Zustandsbeschränkungen:

$$J\big(x(\cdot), u(\cdot)\big) = \int_{t_0}^{t_1} f\big(t, x(t), u(t)\big)\, dt \to \inf, \tag{2.71}$$

$$\dot{x}(t) = \varphi\big(t, x(t), u(t)\big), \tag{2.72}$$

$$h_0\big(x(t_0)\big) = 0, \qquad h_1\big(x(t_1)\big) = 0, \tag{2.73}$$

$$u(t) \in U \subseteq \mathbb{R}^m, \quad U \neq \emptyset, \tag{2.74}$$

$$g_j\big(t, x(t)\big) \leq 0 \quad \text{für alle } t \in [t_0, t_1], \quad j = 1, ..., l. \tag{2.75}$$

Die Abbildungen $f(t, x, u), \varphi(t, x, u), h_i(x)$, $i = 0, 1$, sind entsprechend Abschnitt 2.4 erklärt. Außerdem sind $g_j(t, x) : [t_0, t_1] \times \mathbb{R}^n \to \mathbb{R}$, $j = 1, ..., l$. Die Aufgabe (2.71)–(2.75) mit Zustandsbeschränkungen betrachten wir bezüglich der Paare

$$\big(x(\cdot), u(\cdot)\big) \in W_2^1([t_0, t_1], \mathbb{R}^n) \times L_\infty([t_0, t_1], U).$$

Zu $x(\cdot)$ bezeichne V_γ die Menge $V_\gamma = \{(t, x) \in [t_0, t_1] \times \mathbb{R}^n \mid \|x - x(t)\| \leq \gamma\}$. Dann gehören zur Menge $\mathscr{B}_{\text{Lip}}$ die $x(\cdot) \in W_2^1([t_0, t_1], \mathbb{R}^n)$, für die es eine Zahl $\gamma > 0$ derart gibt, dass

(B) die Abbildungen $f(t, x, u)$, $\varphi(t, x, u)$, $h_i(x)$, $g_j(t, x)$ auf $V_\gamma \times U$ stetig in der Gesamtheit der Variablen und stetig differenzierbar bezüglich x sind.

Das Paar $\big(x(\cdot), u(\cdot)\big) \in W_2^1([t_0, t_1], \mathbb{R}^n) \times L_\infty([t_0, t_1], U)$ heißt ein zulässiger Steuerungsprozess in der Aufgabe (2.71)–(2.75), falls $\big(x(\cdot), u(\cdot)\big)$ dem System (2.72) genügt, die Randbedingungen (2.73) und die Zustandsbeschränkungen (2.75) erfüllt. Die Menge $\mathscr{B}_{\text{adm}}$ bezeichnet die Menge der zulässigen Steuerungsprozesse.

Ein zulässiger Steuerungsprozess $\big(x_*(\cdot), u_*(\cdot)\big)$ ist eine starke lokale Minimalstelle der Aufgabe (2.71)–(2.75), falls eine Zahl $\varepsilon > 0$ derart existiert, dass die Ungleichung

$$J\big(x(\cdot), u(\cdot)\big) \geq J\big(x_*(\cdot), u_*(\cdot)\big)$$

für alle $\big(x(\cdot), u(\cdot)\big) \in \mathscr{B}_{\mathrm{adm}}$ mit $\|x(\cdot) - x_*(\cdot)\|_\infty \leq \varepsilon$ gilt.

Für die Aufgabe (2.71)–(2.75) bezeichnet $H : \mathbb{R} \times \mathbb{R}^n \times \mathbb{R}^m \times \mathbb{R}^n \times \mathbb{R} \to \mathbb{R}$ die Pontrjagin-Funktion, die wir wie folgt definieren:

$$H(t, x, u, p, \lambda_0) = \langle p, \varphi(t, x, u)\rangle - \lambda_0 f(t, x, u).$$

Theorem 2.16 (Pontrjaginsches Maximumprinzip)**.** *Sei* $\big(x_*(\cdot), u_*(\cdot)\big) \in \mathscr{B}_{\mathrm{adm}} \cap \mathscr{B}_{\mathrm{Lip}}$. *Ist* $\big(x_*(\cdot), u_*(\cdot)\big)$ *ein starkes lokales Minimum der Aufgabe (2.71)–(2.75), dann existieren eine Zahl* $\lambda_0 \geq 0$, *eine Vektorfunktion* $p(\cdot) : [t_0, t_1] \to \mathbb{R}^n$ *und auf den Mengen*

$$T_j = \big\{t \in [t_0, t_1] \,\big|\, g_j\big(t, x_*(t)\big) = 0\big\}, \quad j = 1, ..., l,$$

konzentrierte nichtnegative reguläre Borelsche Maße μ_j *endlicher Totalvariation (wobei sämtliche Größen nicht gleichzeitig verschwinden) derart, dass*

(a) die Vektorfunktion $p(\cdot)$ *von beschränkter Variation ist, der adjungierten Gleichung*

$$\begin{aligned} p(t) \;&=\; -{h_1'}^T\big(x_*(t_1)\big)l_1 + \int_t^{t_1} H_x\big(s, x_*(s), u_*(s), p(s), \lambda_0\big)\, ds \\ &\quad - \sum_{j=1}^{l} \int_t^{t_1} g_{jx}\big(s, x_*(s)\big)\, d\mu_j(s) \end{aligned} \tag{2.76}$$

genügt und die Transversalitätsbedingungen

$$p(t_0) = {h_0'}^T\big(x_*(t_0)\big)l_0, \qquad p(t_1) = -{h_1'}^T\big(x_*(t_1)\big)l_1 \tag{2.77}$$

erfüllt;

(b) für fast alle $t \in [t_0, t_1]$ *die Maximumbedingung*

$$H\big(t, x_*(t), u_*(t), p(t), \lambda_0\big) = \max_{u \in U} H\big(t, x_*(t), u, p(t), \lambda_0\big) \tag{2.78}$$

gilt.

Als eine Funktion beschränkter Variation existieren für jedes $t \in (t_0, t_1)$ die einseitigen Grenzwerte der Adjungierten $p(\cdot)$. Im Gegensatz zu Ioffe & Tichomirov [38] legen wir uns dabei nicht auf die linksseitige Stetigkeit fest. Als Konsequenz ergeben sich daraus für die Adjungierte $p(\cdot)$ statt der "äußeren" Bedingung in [38]

$$p(t_1^+) = -{h_1'}^T\big(x_*(t_1)\big)l_1 + \sum_{j=1}^{l} g_{jx}\big(t_1, x_*(t_1)\big)\, d\mu_j(\{t_1\})$$

die Transversalitätsbedingungen (2.77) und die "innere" Sprungbedingung

$$p(t_1^-) - p(t_1) = -\sum_{j=1}^{l} g_{jx}\big(t_1, x_*(t_1)\big)\, \mu_j(\{t_1\}). \tag{2.79}$$

Als anschauliches Beispiel zur Sprungbedingung (2.79) betrachten wir nach Seierstad & Sydsæter [61] das folgende Lagerhaltungsmodell:

Beispiel 2.17. Ein Geschäft möchte die Nachfrage a des Produktes x gegenüber seinen Kunden gewährleisten. Es entstehen dadurch zum Zeitpunkt t die Einkaufs- und Lagerhaltungskosten $\alpha u(t)$ bzw. $\beta x(t)$. Daraus ergibt sich das folgende Modell:

$$\begin{aligned} &J\big(x(\cdot), u(\cdot)\big) = \int_0^T \big(\alpha u(t) + \beta x(t)\big)\, dt \to \inf, \\ &\dot{x}(t) = u(t) - a, \quad x(0) = 1, \quad x(T) \text{ frei}, \quad x(t) \geq 0, \quad u(t) \geq 0, \quad T > 1/a. \end{aligned}$$

Der Fall $\lambda_0 = 0$ kann ausgeschlossen werden und wir nehmen $\lambda_0 = 1$ an. Damit lautet die Pontrjagin-Funktion

$$H(t, x, u, p, 1) = p(u - a) - (\alpha u + \beta x) = (p - \alpha)u - (pa + \beta x).$$

In diesem Modell können wir als optimalen Kandidaten den Steuerungsprozess

$$u_*(t) = \begin{cases} 0, & t \in [0, 1/a), \\ a, & t \in [1/a, T], \end{cases} \qquad x_*(t) = \begin{cases} 1 - at, & t \in [0, 1/a), \\ 0, & t \in [1/a, T], \end{cases}$$

ableiten. Für $t \in [0, 1/a)$ sind die Zustandsbeschränkungen nicht aktiv und es gilt

$$\dot{p}(t) = \beta, \qquad p(t) = p(0) + \beta t.$$

Für $t \in [1/a, T]$ ist $u_*(t) = a$ ein innerer Punkt des Steuerungsbereiches $U = \mathbb{R}_+$. Also folgt aus der Maximumbedingung, dass $p(t) = \alpha$ gelten muss. Damit erhalten wir

$$p(t) = \begin{cases} \alpha + \beta(t - 1/a), & t \in [0, 1/a), \\ \alpha, & t \in [1/a, T). \end{cases}$$

Abschließend ergibt sich zum Zeitpunkt $t = T$ die Sprungbedingung (2.79)

$$p(T^-) - p(T) = \alpha = \mu(\{T\}) > 0$$

bezüglich der Zustandsbeschränkung $-x(t) \leq 0$. □

2.5.2. Definition und Eigenschaften der Extremalaufgabe

Wie im Abschnitt 2.4.2 seien $x_*(\cdot) \in \mathscr{B}_{\mathrm{Lip}} \cap C([t_0,t_1],\mathbb{R}^n)$ und $\xi_0(\cdot) \in C([t_0,t_1],\mathbb{R}^n)$ die Funktion $\xi_0(t) \equiv 0$. Weiterhin ergänzen wir die Extremalaufgabe (2.46) um die Ungleichungen

$$G_j\big(\xi(\cdot)\big) \le 0, \quad j = 1,...,l,$$

wobei die Abbildungen G_j wie folgt erklärt sind:

$$G_j\big(\xi(\cdot)\big) = \max_{t\in[t_0,t_1]} g_j\big(t, x_*(t)+\xi(t)\big), \quad j = 1,...,l, \qquad G_j : C([t_0,t_1],\mathbb{R}^n) \to \mathbb{R}.$$

Die Abbildungen $\tilde{J}, F$ und H_i wurden im Abschnitt 2.4.2 hinlänglich erörtert. Es bleiben damit die Zustandsbeschränkungen G_j zu diskutieren. Dazu bedarf es grundlegenden Elementen der Konvexen Analysis und der Berechnung der Subdifferentiale der Abbildungen G_j. Für $\xi(\cdot) \in C([t_0,t_1],\mathbb{R}^n)$ seien im Folgenden

$$\tilde{g}_j\big(\xi(\cdot)\big)(t) = g_j\big(t, x_*(t)+\xi(t)\big), \quad t \in [t_0,t_1], \quad j = 1,...,l.$$

Lemma 2.18. *Die Abbildungen $\xi(\cdot) \to \tilde{g}_j\big(\xi(\cdot)\big)$ bilden den Raum $C([t_0,t_1],\mathbb{R}^n)$ in den Raum $C([t_0,t_1],\mathbb{R})$ ab. Weiterhin sind diese Abbildungen in $\xi_0(\cdot)$, $\xi_0(t) \equiv 0$, Fréchet-differenzierbar und es gilt*

$$\big[\tilde{g}_j'\big(\xi_0(\cdot)\big)\xi(\cdot)\big](t) = \big\langle g_{jx}\big(t, x_*(t)\big), \xi(t)\big\rangle, \quad t \in [t_0,t_1], \quad j = 1,...,l.$$

Beweis Die erste Behauptung ist klar. Für $t \in [t_0,t_1]$, $\|\xi(\cdot)\|_\infty = 1$ und $0 < \lambda < \gamma$ gilt

$$\begin{aligned}&\left[\frac{\tilde{g}_j\big(\xi_0(\cdot)+\lambda\xi(\cdot)\big) - \tilde{g}_j\big(\xi_0(\cdot)\big)}{\lambda} - \tilde{g}_j'\big(\xi_0(\cdot)\big)\xi(\cdot)\right](t)\\ &= \int_0^1 \big\langle g_{jx}\big(t, x_*(t)+s\lambda\xi(t)\big) - g_{jx}\big(t,x_*(t)\big), \xi(t)\big\rangle\, ds.\end{aligned}$$

Da die Abbildungen g_{jx} nach Voraussetzungen **(B)** auf der Menge V_γ gleichmäßig stetig sind, gibt es eine Zahl $C_0 > 0$ mit

$$\left\|\frac{\tilde{g}_j\big(\lambda\xi(\cdot)\big) - \tilde{g}_j\big(\xi_0(\cdot)\big)}{\lambda} - \tilde{g}_j'\big(\xi_0(\cdot)\big)\xi(\cdot)\right\|_\infty \le \max_{t\in[t_0,t_1]} \int_0^1 C_0\|\lambda\xi(t)\|ds \cdot \|\xi(\cdot)\|_\infty = \lambda C_0,$$

d. h. der Grenzwert $\lambda \to 0^+$ konvergiert gleichmäßig bezüglich $\|\xi(\cdot)\|_\infty = 1$. ■

Lemma 2.19. *Die Funktionen G_j, $j = 1,...,l$, sind im Punkt $\xi_0(\cdot)$ regulär im Sinn der Konvexen Analysis, die klassischen Richtungsableitungen konvergieren bezüglich jeder Richtung $\xi(\cdot)$ gleichmäßig,*

$$\left|\frac{G_j\big(\xi_0(\cdot)+\lambda z(\cdot)\big) - G_j\big(\xi_0(\cdot)\big)}{\lambda} - G_j'\big(\xi_0(\cdot);\xi(\cdot)\big)\right| \le \varepsilon$$

für alle $\|z(\cdot)-\xi(\cdot)\|_\infty \le \delta$ und alle $0 < \lambda \le \lambda_0$, und es gelten

$$\partial G_j\big(\xi_0(\cdot)\big) = \tilde{g}_j'^*\big(\xi_0(\cdot)\big)\partial\psi\big(\tilde{g}_j\big(\xi_0(\cdot)\big)\big), \quad j = 1,...,l, \qquad \psi\big(z(\cdot)\big) = \max_{t\in[t_0,t_1]} z(t).$$

Beweis Die Abbildung $z(\cdot) \to \psi\big(z(\cdot)\big)$ ist auf $C([t_0,t_1],\mathbb{R})$ offenbar homogen, konvex und stetig. Da die Abbildungen $\xi(\cdot) \to \tilde{g}_j\big(\xi(\cdot)\big)$ für alle $j = 1,...,l$ nach Lemma 2.18 Fréchet-differenzierbar sind, folgen die weiteren Behauptungen aus Lemma C.1 und der Kettenregel C.3. ■

Lemma 2.20. *Das Subdifferential der Funktion G_j besteht im Punkt $\xi_0(\cdot)$ aus denjenigen stetigen linearen Funktionalen $x^* \in C^*([t_0,t_1],\mathbb{R})$, die sich wie folgt darstellen lassen:*

$$\langle x^*, \xi(\cdot)\rangle = \int_{t_0}^{t_1} \big\langle g_{jx}\big(t, x_*(t)\big), \xi(t)\big\rangle d\mu_j(t).$$

Dabei ist μ_j ein reguläres Borelsches Maß, das auf der Menge

$$T_j = \big\{t \in [t_0,t_1] \,\big|\, \tilde{g}_j\big(\xi(\cdot)\big)(t) = G_j\big(\xi_0(\cdot)\big) = \max_{t\in[t_0,t_1]} g_j\big(t, x_*(t)\big)\big\}$$

konzentriert ist und für das $\|\mu\| = 1$ gilt.

Beweis Vgl. Abschnitt C.3. ■

2.5.3. Lagrangesche Multiplikatorenregel

In der Aufgabe (2.39)–(2.42) seien $x_*(\cdot) \in \mathscr{B}_{\mathrm{Lip}} \cap C([t_0,t_1],\mathbb{R}^n)$ und $\big(x_*(\cdot), u_*(\cdot)\big) \in \mathscr{B}_{\mathrm{adm}}$. Auf $C([t_0,t_1],\mathbb{R}^n) \times L_\infty([t_0,t_1],\mathbb{R}^m) \times C^*([t_0,t_1],\mathbb{R}^n) \times \mathbb{R} \times \mathbb{R}^l \times \mathbb{R}^{s_0} \times \mathbb{R}^{s_1}$ definieren wir zur Extremalaufgabe $\tilde{J}\big(\xi(\cdot), u(\cdot)\big) \to \inf$ unter den Nebenbedingungen

$$F\big(\xi(\cdot), u(\cdot)\big) = 0, \quad H_i\big(\xi(\cdot)\big) = 0,\ i = 0,1, \quad G_j\big(\xi(\cdot)\big) \le 0,\ j = 1,...,l,$$

die Lagrange-Funktion

$$\begin{aligned}&\mathscr{L}\big(\xi(\cdot), u(\cdot), y^*, \lambda_0, \lambda_1, ..., \lambda_l, l_0, l_1\big)\\ &\quad = \lambda_0 \tilde{J}\big(\xi(\cdot), u(\cdot)\big) + \big\langle y^*, F\big(\xi(\cdot), u(\cdot)\big)\big\rangle + \sum_{j=1}^{l} \lambda_j G_j\big(\xi(\cdot)\big) + l_0^T H_0\big(\xi(\cdot)\big) + l_1^T H_1\big(\xi(\cdot)\big).\end{aligned}$$

Theorem 2.21 (Extremalprinzip)**.** *Es sei $x_*(\cdot) \in \mathscr{B}_{\mathrm{Lip}} \cap C([t_0,t_1],\mathbb{R}^n)$ und außerdem sei $\big(x_*(\cdot), u_*(\cdot)\big) \in \mathscr{B}_{\mathrm{adm}}$. Ist $\big(x_*(\cdot), u_*(\cdot)\big)$ ein starkes lokales Minimum im Steuerungsproblem (2.71)–(2.75), dann existieren nicht gleichzeitig verschwindende Lagrangesche Multiplikatoren $\lambda_j \ge 0$, $j = 0,...,l$, $y^* \in C^*([t_0,t_1],\mathbb{R}^n)$ und $l_i \in \mathbb{R}^{s_i}$, $i = 0,1$, derart, dass folgende Bedingungen gelten:*

(a) Die Lagrange-Funktion besitzt bezüglich $\xi(\cdot)$ in $\xi_0(\cdot)$ einen stationären Punkt, d. h.

$$0 \in \partial_\xi \mathscr{L}\big(\xi_0(\cdot), u_*(\cdot), y^*, \lambda_0, ..., l_1\big). \tag{2.80}$$

(b) Die Lagrange-Funktion erfüllt bezüglich $u(\cdot)$ die Minimumbedingung

$$\mathscr{L}\big(\xi_0(\cdot), u_*(\cdot), y^*, \lambda_0, ..., l_1\big) = \min_{u(\cdot)\in L_\infty([t_0,t_1],U)} \mathscr{L}\big(\xi_0(\cdot), u(\cdot), y^*, \lambda_0, ..., l_1\big). \quad (2.81)$$

(c) Die komplementären Schlupfbedingungen gelten:

$$\lambda_j G_j\big(\xi_0(\cdot)\big) = 0, \qquad j = 1, ..., l. \quad (2.82)$$

Beweis Die Gliederung des Beweises stimmt mit der im Beweis des Extremalprinzips für die Standardaufgabe überein. Wir verwenden die bereits erzielten Resultate aus Abschnitt 2.4.3 und fügen die Argumentation bezüglich der Zustandsbeschränkungen im regulären Fall an den entsprechenden Stellen hinzu.

1. Schritt (Die Menge $\mathscr{C}$ der Variationen)**.** O. B. d. A. seien

$$G_j\big(\xi_0(\cdot)\big) = 0 \text{ für } j = 1, ..., l', \qquad G_j\big(\xi_0(\cdot)\big) < 0 \text{ für } j = l'+1, ..., l.$$

Wir betrachten die Menge $\mathscr{C}$ derjenigen

$$\big(\eta_0, y(\cdot), \mu_0, \mu_1, \eta_1, ..., \eta_{l'}\big) \in \mathbb{R} \times C([t_0, t_1], \mathbb{R}^n) \times \mathbb{R}^{s_0} \times \mathbb{R}^{s_1} \times \mathbb{R}^{l'},$$

zu denen es ein $\xi(\cdot) \in C([t_0, t_1], \mathbb{R}^n)$ und ein $u(\cdot) \in L_\infty([t_0, t_1], U)$ gibt mit

$$\begin{aligned} \eta_0 &> \tilde{J}_\xi\big(\xi_0(\cdot), u_*(\cdot)\big)\xi(\cdot) + \tilde{J}\big(\xi_0(\cdot), u(\cdot)\big) - \tilde{J}\big(\xi_0(\cdot), u_*(\cdot)\big), \\ y(\cdot) &= F_\xi\big(\xi_0(\cdot), u_*(\cdot)\big)\xi(\cdot) + F\big(\xi_0(\cdot), u(\cdot)\big) - F\big(\xi_0(\cdot), u_*(\cdot)\big), \\ \mu_i &= H_i'\big(\xi_0(\cdot)\big)\xi(\cdot), \quad i = 0, 1, \qquad \eta_j > G_j'\big(\xi_0(\cdot); \xi(\cdot)\big), \quad j = 1, ..., l'. \end{aligned}$$

Die stetigen und konvexen Funktionen

$$\xi(\cdot) \to G_1'\big(\xi_0(\cdot); \xi(\cdot)\big), ..., \xi(\cdot) \to G_{l'}'\big(\xi_0(\cdot); \xi(\cdot)\big)$$

sind auf einer gemeinsamen Nullumgebung $V_0 \subseteq C\big([t_0, t_1], \mathbb{R}^n\big)$ nach oben beschränkt. Daher gibt eine Zahl $a > 0$ mit

$$a > \sup_{\xi(\cdot)\in V_0} \big\{\tilde{J}_\xi\big(\xi_0(\cdot), u_*(\cdot)\big)\xi(\cdot), G_1'\big(\xi_0(\cdot); \xi(\cdot)\big), ..., G_{l'}'\big(\xi_0(\cdot); \xi(\cdot)\big)\big\}.$$

Da ferner der Operator $L = (F_\xi, H_0', H_1')$ linear und stetig ist, besitzt $\operatorname{conv}\mathscr{C}$ ein nichtleeres Inneres. Zum Nachweis des Extremalprinzips genügt es $0 \notin \operatorname{conv}\mathscr{C}$ zu zeigen. Dann erhalten wir aus dem Satz von Hahn-Banach die Existenz eines nichttrivialen Funktionals

$$(\lambda_0, y^*, l_0, l_1, \lambda_1, ..., \lambda_{l'}) \in \mathbb{R} \times C^*([t_0, t_1], \mathbb{R}^n) \times \mathbb{R}^{s_0} \times \mathbb{R}^{s_1} \in \mathbb{R}^{l'},$$

das die Menge $\operatorname{conv}\mathscr{C}$ vom Urpsrung trennt. Dies bedeutet, dass

$$0 \le \lambda_0\eta_0 + \langle y^*, y(\cdot)\rangle + \langle l_0, \mu_0\rangle + \langle l_1, \mu_1\rangle + \sum_{j=1}^{l'} \lambda_j\eta_j$$

für alle $\big(\eta_0, y(\cdot), \mu_0, \mu_1, \eta_1, ..., \eta_{l'}\big) \in \mathscr{C} \subseteq \operatorname{conv}\mathscr{C}$ gilt. Diese Ungleichung liefert $\lambda_j \geq 0$ für $j = 0, ..., l'$ und, dass für alle $\big(\xi(\cdot), u(\cdot)\big) \in C([t_0, t_1], \mathbb{R}^n) \times L_\infty([t_0, t_1], U)$

$$\begin{aligned} 0 \;\leq\; & \lambda_0\big[\tilde{J}_\xi\big(\xi_0(\cdot), u_*(\cdot)\big)\xi(\cdot) + \tilde{J}\big(\xi_0(\cdot), u(\cdot)\big) - \tilde{J}\big(\xi_0(\cdot), u_*(\cdot)\big)\big] \\ & + \big\langle y^*, F_\xi\big(\xi_0(\cdot), u_*(\cdot)\big)\xi(\cdot) + F\big(\xi_0(\cdot), u(\cdot)\big) - F\big(\xi_0(\cdot), u_*(\cdot)\big)\big\rangle \\ & + \big\langle l_0, H_0'\big(\xi_0(\cdot)\big)\xi(\cdot)\big\rangle + \big\langle l_1, H_1'\big(\xi_0(\cdot)\big)\xi(\cdot)\big\rangle + \sum_{j=1}^{l'} \lambda_j G_j'\big(\xi_0(\cdot); \xi(\cdot)\big) \end{aligned}$$

erfüllt ist. Setzen wir $\lambda_{l'+1} = ... = \lambda_l = 0$, so gelten die Schlupfbedingungen (2.82). Betrachten wir weiterhin diese Ungleichung nacheinander für $\xi(\cdot) = \xi_0(\cdot)$ bzw. $u(\cdot) = u_*(\cdot)$, so folgen (2.80) und (2.81).
Angenommen, es ist $0 \in \operatorname{conv}\mathscr{C}$. Dann existieren nach dem Begriff einer konvexen Hülle positive Zahlen $\overline{\alpha}_i$, $\sum\limits_{i=1}^{d} \overline{\alpha_i} = 1$, und gewisse $\overline{\xi}_i(\cdot) \in C([t_0, t_1], \mathbb{R}^n)$, $\overline{u}_i(\cdot) \in L_\infty([t_0, t_1], U)$, $i = 1, ..., d$, mit

$$\begin{aligned} 0 \;&>\; \tilde{J}_\xi\big(\xi_0(\cdot), u_*(\cdot)\big)\overline{\xi}(\cdot) + \sum_{i=1}^{d} \overline{\alpha}_i \Big[\tilde{J}\big(\xi_0(\cdot), \overline{u}_i(\cdot)\big) - \tilde{J}\big(\xi_0(\cdot), u_*(\cdot)\big)\Big], \\ 0 \;&=\; F_\xi\big(\xi_0(\cdot), u_*(\cdot)\big)\overline{\xi}(\cdot) + \sum_{i=1}^{d} \overline{\alpha}_i \Big[F\big(\xi_0(\cdot), \overline{u}_i(\cdot)\big) - F\big(\xi_0(\cdot), u_*(\cdot)\big)\Big], \\ 0 \;&=\; H_0'\big(\xi_0(\cdot)\big)\overline{\xi}(\cdot), \qquad 0 \;=\; H_1'\big(\xi_0(\cdot)\big)\overline{\xi}(\cdot), \qquad \overline{\xi}(\cdot) \;=\; \sum_{i=1}^{d} \overline{\alpha}_i \overline{\xi}_i(\cdot), \\ 0 \;&>\; G_j'\big(\xi_0(\cdot); \overline{\xi}(\cdot)\big), \qquad j = 1, ..., l'. \end{aligned}$$

Dabei wurde auf die konvexen Abbildungen $G_j'\big(\xi_0(\cdot); \cdot\big)$ die Jensensche Ungleichung angewendet.

2. Schritt und **3. Schritt** übernehmen wir aus Abschnitt 2.4.3.

4. Schritt (Eigenschaft der zulässigen Richtungen)**.** Nach Annahme im ersten Schritt gibt es eine Zahl $c > 0$ mit

$$-4c \;\geq\; \tilde{J}_\xi\big(\xi_0(\cdot), u_*(\cdot)\big)\overline{\xi}(\cdot) + \sum_{i=1}^{d} \overline{\alpha}_i \Big[\tilde{J}\big(\xi_0(\cdot), \overline{u}_i(\cdot)\big) - \tilde{J}\big(\xi_0(\cdot), u_*(\cdot)\big)\Big], \tag{2.83}$$

$$-c \;\geq\; G_j'\big(\xi_0(\cdot); \overline{\xi}(\cdot)\big), \qquad j = 1, ..., l'. \tag{2.84}$$

Aus (2.83) folgt für alle $0 \leq \varepsilon \leq \min\{\varepsilon_0, \sigma\}$ die Ungleichung

$$\tilde{J}\big(\xi^\varepsilon(\cdot), u^\varepsilon(\cdot)\big) \leq \tilde{J}\big(\xi_0(\cdot), u_*(\cdot)\big) - \varepsilon c + o(\varepsilon).$$

Andererseits sind die Funktionen G_j nach Lemma 2.19 gleichmäßig differenzierbar. Daher gibt es ein $\sigma > 0$ mit

$$G_j\big(\xi_0(\cdot) + \varepsilon\xi(\cdot)\big) \le G_j\big(\xi_0(\cdot)\big) + \varepsilon\Big(G_j'\big(\xi_0(\cdot);\overline{\xi}(\cdot)\big) + c\Big), \quad j = 1, ..., l', \tag{2.85}$$

für alle $0 \le \varepsilon \le \sigma$, $\|\xi(\cdot) - \overline{\xi}(\cdot)\|_\infty \le \sigma$.

5. Schritt ($0 \notin \operatorname{conv}\mathscr{C}$)**.** Aus (2.84) und (2.85) folgt

$$G_j\big(\xi^\varepsilon(\cdot)\big) \le G_j\big(\xi_0(\cdot)\big) + \varepsilon\Big(G_j'\big(\xi_0(\cdot);\overline{\xi}(\cdot)\big) + c\Big) \le 0, \quad j = 1, ..., l',$$

für alle $0 \le \varepsilon \le \min\{\varepsilon_0, \sigma\}$. Für $j = l' + 1, ..., l$ hat man

$$\lim_{\varepsilon \to 0^+} G_j\big(\xi^\varepsilon(\cdot)\big) = G_j\big(\xi_0(\cdot)\big) < 0.$$

Zusammen mit dem dritten Beweisschritt sind für hinreichend kleine $\varepsilon > 0$ die Punkte

$$\big(\xi^\varepsilon(\cdot), u^\varepsilon(\cdot)\big) = \big(\xi_0(\cdot) + \varepsilon\overline{\xi}(\cdot) + r^\varepsilon(\cdot), u_{\varepsilon\overline{\alpha}+\alpha^\varepsilon}(\cdot)\big)$$

zulässig in der Extremalaufgabe. Dies bedeutet, dass die Steuerungsprozesse

$$\big(x^\varepsilon(\cdot), u^\varepsilon(\cdot)\big) = \big(x_*(\cdot) + \varepsilon\overline{\xi}(\cdot) + r^\varepsilon(\cdot), u_{\varepsilon\overline{\alpha}+\alpha^\varepsilon}(\cdot)\big) \in W_2^1([t_0, t_1], \mathbb{R}^n) \times L_\infty([t_0, t_1], U)$$

zulässig in dem Steuerungsproblem (2.71)–(2.75) sind. Außerdem zeigten wir im vierten Schritt, dass für hinreichend kleine $\varepsilon > 0$ die Relation

$$J\big(x^\varepsilon(\cdot), u^\varepsilon(\cdot)\big) \le J\big(x_*(\cdot), u_*(\cdot)\big) - \varepsilon c + o(\varepsilon)$$

gilt. Wegen $x^\varepsilon(\cdot) \to x_*(\cdot)$ für $\varepsilon \to 0$ bedeutet dies, dass der Steuerungsprozess $\big(x_*(\cdot), u_*(\cdot)\big)$ im Widerspruch zur Voraussetzung des Extremalprinzips kein starkes lokales Minimum der Aufgabe (2.71)–(2.75) sein könnte. ■

2.5.4. Beweisschluss

Aufgrund (2.80) ist folgende Variationsgleichung für alle $\xi(\cdot) \in C([t_0, t_1], \mathbb{R}^n)$ erfüllt:

$$\begin{aligned} 0 \;=\; & \lambda_0 \int_{t_0}^{t_1} \big\langle f_x\big(t, x_*(t), u_*(t)\big), \xi(t)\big\rangle\, dt + \big\langle l_0, h_0'\big(x_*(t_0)\big)\xi(t_0)\big\rangle + \big\langle l_1, h_1'\big(x_*(t_1)\big)\xi(t_1)\big\rangle \\ & + \int_{t_0}^{t_1} \Big[\xi(t) - \xi(0) - \int_0^t \varphi_x\big(s, x_*(s), u_*(s)\big)\xi(s)\, ds\Big]^T d\mu(t) \\ & + \sum_{j=1}^{l} \lambda_j \int_{t_0}^{t_1} \big\langle g_{jx}\big(t, x_*(t)\big), \xi(t)\big\rangle\, d\tilde{\mu}_j(t). \end{aligned} \tag{2.86}$$

Dabei ist μ ein reguläres Borelsches Vektormaß. Die Lagrangeschen Multiplikatoren $\lambda_j \geq 0$ verschwinden, falls die entsprechende Zustandsbeschränkung nichtaktiv ist. Andernfalls besitzen die nichtnegativen regulären Borelschen Maße $\tilde{\mu}_j$ die Totalvariation $\|\tilde{\mu}_j\| = 1$ und sind jeweils auf der Menge

$$T_j = \big\{t \in [t_0, t_1] \big| g_j\big(t, x_*(t)\big) = 0\big\}$$

konzentriert. Wir schreiben $\mu_j = \lambda_j \tilde{\mu}_j$. Dann können unter den Maßen μ_j nur diejenigen von Null verschieden sein, für die die Menge $T_j \neq \emptyset$ ist. Daher kann man o. B. d. A. annehmen, alle Maße μ_j seien auf den Mengen T_j konzentriert.

In der Gleichung (2.86) ändern wir die Integrationsreihenfolge im zweiten Summanden und bringen diese Gleichung in die Form

$$\begin{aligned} 0 \;=\; & \int_{t_0}^{t_1} \big\langle \lambda_0 f_x\big(t, x_*(t), u_*(t)\big) - \varphi_x^T\big(t, x_*(t), u_*(t)\big) \int_t^{t_1} d\mu(s), \xi(t)\big\rangle \, dt + \int_{t_0}^{t_1} [\xi(t)]^T \, d\mu(t) \\ & + \Big\langle {h_0'}^T\big(x_*(t_0)\big) l_0 - \int_{t_0}^{t_1} d\mu(t), \xi(t_0)\Big\rangle + \langle {h_1'}^T\big(x_*(t_1)\big) l_1, \xi(t_1)\rangle \\ & + \sum_{j=1}^{l} \int_{t_0}^{t_1} \big\langle g_{jx}\big(t, x_*(t)\big), \xi(t)\big\rangle \, d\mu_j(t). \end{aligned} \tag{2.87}$$

Die rechte Seite in (2.87) definiert ein stetiges lineares Funktional im Raum $C([t_0, t_1], \mathbb{R}^n)$. Wenden wir den Darstellungssatz von Riesz an und setzen $p(t) = \displaystyle\int_t^{t_1} d\mu(s)$, so folgen

$$\begin{aligned} p(t) \;=\; & -{h_1'}^T\big(x_*(t_1)\big) l_1 + \int_t^{t_1} \big[\varphi_x^T\big(s, x_*(s), u_*(s)\big) p(s) - \lambda_0 f_x\big(s, x_*(s), u_*(s)\big)\big] \, ds \\ & - \sum_{j=1}^{l} \int_t^{t_1} g_{jx}\big(s, x_*(s)\big) \, d\mu_j(s), \\ p(t_0) \;=\; & {h_0'}^T\big(x_*(t_0)\big) l_0. \end{aligned}$$

Damit sind (2.76) und (2.77) gezeigt. Die Beziehung (2.81) ist äquivalent zu

$$\int_{t_0}^{t_1} H\big(t, x_*(t), u_*(t), p(t), \lambda_0\big) \, dt \geq \min_{u(\cdot) \in L_\infty([t_0, t_1], U)} \int_{t_0}^{t_1} H\big(t, x_*(t), u(t), p(t), \lambda_0\big) \, dt.$$

Wir bemerken, dass die Funktion $p(\cdot)$ von beschränkter Variation ist. Daher kann man $p(\cdot)$ als Differenz zweier monotoner Funktionen schreiben und $p(\cdot)$ besitzt höchstens abzählbar viele Unstetigkeiten. Mit Hilfe dieser Anmerkung folgt abschließend die Maximumbedingung (2.78) via Standardtechniken für Lebesguesche Punkte. ■

2.5.5. Hinreichende Bedingungen nach Arrow

Die Herleitung der hinreichenden Bedingungen basiert wieder auf Seierstad & Sydsæter [61] mit den ergänzenden Ausführungen in Aseev & Kryazhimskii [3].

Wir betrachten das Steuerungsproblem

$$J\big(x(\cdot),u(\cdot)\big)=\int_{t_0}^{t_1} f\big(t,x(t),u(t)\big)\,dt\to\inf, \tag{2.88}$$

$$\dot{x}(t)=\varphi\big(t,x(t),u(t)\big), \tag{2.89}$$

$$x(t_0)=x_0,\qquad x(t_1)=x_1, \tag{2.90}$$

$$u(t)\in U\subseteq\mathbb{R}^m,\quad U\neq\emptyset,\quad U \text{ konvex}, \tag{2.91}$$

$$g_j\big(t,x(t)\big)\le 0\quad \text{für alle } t\in[t_0,t_1],\quad j=1,...,l. \tag{2.92}$$

In der Aufgabenstellung schließen wir wieder den Fall nicht aus, dass durch die Randbedingungen (2.90) gewisse Komponenten der Punkte x_0 und x_1 nicht fest vorgegeben, sondern ohne Einschränkung sind.

Wir definieren die Mengen V_γ und $V_\gamma(t)$:

$$V_\gamma=\{(t,x)\in[t_0,t_1]\times\mathbb{R}^n\,|\,\|x-x_*(t)\|\le\gamma\},\quad V_\gamma(t)=\{x\in\mathbb{R}^n\,|\,\|x-x_*(t)\|\le\gamma\}.$$

Weiterhin bezeichnet

$$\mathscr{H}(t,x,p)=\sup_{u\in U} H(t,x,u,p,1) \tag{2.93}$$

die Hamilton-Funktion $\mathscr{H}$ im normalen Fall.

Theorem 2.22. *In der Aufgabe (2.88)–(2.92) sei $\big(x_*(\cdot),u_*(\cdot)\big)\in\mathscr{B}_{\mathrm{Lip}}\cap\mathscr{B}_{\mathrm{adm}}$. Außerdem sei die Vektorfunktion $p(\cdot):[t_0,t_1]\to\mathbb{R}^n$ stückweise stetig, besitze höchstens endlich viele Sprungstellen (d. h. die einseitigen Grenzwerte existieren) $s_k\in(t_0,t_1]$ und sei zwischen diesen Sprüngen stetig differenzierbar. Ferner gelte:*

(a) Das Tripel $\big(x_*(\cdot),u_*(\cdot),p(\cdot)\big)$ erfüllt (2.76)–(2.78) in Theorem 2.16 mit $\lambda_0=1$.

(b) Für jedes $t\in[t_0,t_1]$ ist die Funktion $\mathscr{H}\big(t,x,p(t)\big)$ konkav und es sind die Funktionen $g_j(t,x)$, $j=1,...,l$, konvex bezüglich x auf $V_\gamma(t)$.

Dann ist $\big(x_*(\cdot),u_*(\cdot)\big)$ ein starkes lokales Minimum der Aufgabe (2.88)–(2.92).

Bemerkung 2.23. Der Teil (a) in Theorem 2.22 bedarf einer detaillierteren Diskussion. Da wir von einer stückweise stetigen und zwischen den Sprungstellen stetig differenzierbaren Adjungierten $p(\cdot)$ ausgehen, können wir die adjungierte Gleichung (2.76) in Integraldarstellung in die Form einer Differentialgleichung mit Sprungbedingungen überführen. Es bezeichnen $t_0<s_1<...<s_d<t_1$ die Unstetigkeitsstellen der Adjungierten $p(\cdot)$ im Intervall (t_0,t_1). Dann gelten die Sprungbedingungen

$$p(s_k^-)-p(s_k^+)=-\sum_{j=1}^{l}\beta_j^k g_{jx}\big(s_k,x_*(s_k)\big),\qquad \beta_j^k=\mu_j(\{s_k\})\ge 0,\quad k=1,...,d.$$

Ist außerdem die Zustandsbeschränkung in $t = t_1$ aktiv, dann gilt gemäß (2.79)

$$p(t_1^-) - p(t_1) = -\sum_{j=1}^{l} \beta_j g_{jx}\big(t_1, x_*(t_1)\big), \qquad \beta_j = \mu_j(\{t_1\}) \geq 0.$$

Ferner gibt es eine stückweise stetige Vektorfunktion $\lambda(\cdot) : [t_0, t_1] \to \mathbb{R}^l$ derart, dass die Differentialgleichung

$$\dot{p}(t) = -H_x\big(t, x_*(t), u_*(t), p(t), 1\big) + \sum_{j=1}^{l} \lambda_j(t) g_{jx}\big(t, x_*(t)\big)$$

stückweise auf (s_k, s_{k+1}), $k = 0, ..., d$, gilt. Dabei haben wir $s_0 = t_0$, $s_{d+1} = t_1$ gesetzt. Abschließend halten wir fest, dass wegen der Positivität der Maße μ_j und der Konzentration dieser Maße auf den Mengen

$$T_j = \big\{t \in [t_0, t_1] \,\big|\, g_j\big(t, x_*(t)\big) = 0\big\}, \quad j = 1, ..., l,$$

neben $\beta_j g_{jx}\big(t_1, x_*(t_1)\big) = 0$ die Bedingungen

$$\lambda_j(t) \geq 0, \quad \lambda_j(t) g_j\big(t, x_*(t)\big) = 0, \qquad \beta_j^k \geq 0, \quad \beta_j^k g_{jx}\big(s_k, x_*(s_k)\big) = 0$$

für $j = 1, ..., l$ auf $[t_0, t_1]$ und in den Sprungstellen für $k = 1, ..., d$ gelten. □

Beweis Auf die gleiche Weise wie im Beweis von Theorem 2.14 in Abschnitt 2.4.5 können wir die Relation

$$\langle a(t), x - x_*(t)\rangle \leq \mathscr{H}\big(t, x_*(t), p(t)\big) - \mathscr{H}\big(t, x, p(t)\big) \quad \text{für alle } x \in V_\gamma(t)$$

zeigen, wobei die Funktion $a(\cdot)$ für fast alle $t \in [t_0, t_1]$ der Gleichung

$$a(t) = -\varphi_x^T\big(t, x_*(t), u_*(t)\big)p(t) + f_x\big(t, x_*(t), u_*(t)\big) = -H_x\big(t, x_*(t), u_*(t), p(t), 1\big)$$

genügt, vgl. (2.68), (2.69). Damit und mit den Beziehungen in Bemerkung 2.23 erhalten wir für fast alle $t \in [t_0, t_1]$

$$\begin{aligned} \mathscr{H}\big(t, x_*(t), p(t)\big) - \mathscr{H}\big(t, x, p(t)\big) &\geq \big\langle -H_x\big(t, x_*(t), u_*(t), p(t), 1\big), x - x_*(t)\big\rangle \\ &= \Big\langle \dot{p}(t) - \sum_{j=1}^{l} \lambda_j(t) g_{jx}\big(t, x_*(t)\big), x - x_*(t)\Big\rangle \end{aligned}$$

und die Komplementaritätsbedingungen

$$\lambda_j(t) \geq 0, \qquad \lambda_j(t) g_j\big(t, x_*(t)\big) = 0.$$

Wir betrachten zunächst den Fall, dass $p(\cdot)$ in (t_0,t_1) stetig ist. Die Konvexität der Abbildungen $g_j(t,x)$ bezüglich x auf $V_\gamma(t)$ liefert die Ungleichungen

$$g_j(t,x) \geq g_j\big(t,x_*(t)\big) + \sum_{j=1}^{l} \big\langle g_{jx}\big(t,x_*(t)\big), x-x_*(t)\big\rangle \geq \sum_{j=1}^{l} \big\langle g_{jx}\big(t,x_*(t)\big), x-x_*(t)\big\rangle.$$

Genügt $x(\cdot)$ den Zustandsbeschränkungen $g_j(t,x)\leq 0$, dann gilt wegen $\lambda(t)\geq 0$:

$$-\sum_{j=1}^{l} \lambda_j(t)\big\langle g_{jx}\big(t,x_*(t)\big), x(t)-x_*(t)\big\rangle \geq 0.$$

Ferner ergibt sich mit $\beta_j\geq 0$ und mit der Sprungbedingung (2.79)

$$\langle p(t_1^-)-p(t_1), x(t_1)-x_*(t_1)\rangle = -\sum_{j=1}^{l} \beta_j\big\langle g_{jx}\big(t_1,x_*(t_1)\big), x(t_1)-x_*(t_1)\big\rangle \geq 0.$$

Damit erhalten wir für $\big(x(\cdot),u(\cdot)\big)\in\mathscr{B}_{\rm adm}$ mit $\|x(\cdot)-x_*(\cdot)\|_\infty\leq\gamma$:

$$\begin{aligned}
\Delta &= \int_{t_0}^{t_1} \big[f\big(t,x(t),u(t)\big) - f\big(t,x_*(t),u_*(t)\big)\big]\,dt \\
&\geq \int_{t_0}^{t_1} \big[\mathscr{H}\big(t,x_*(t),p(t)\big) - \mathscr{H}\big(t,x(t),p(t)\big)\big]\,dt + \int_{t_0}^{t_1} \langle p(t), \dot{x}(t)-\dot{x}_*(t)\rangle dt \\
&\geq \int_{t_0}^{t_1} \langle \dot{p}(t), x(t)-x_*(t)\rangle + \langle p(t), \dot{x}(t)-\dot{x}_*(t)\rangle\,dt \\
&\qquad - \int_{t_0}^{t_1} \sum_{j=1}^{l} \lambda_j(t)\big\langle g_{jx}\big(t,x_*(t)\big), x(t)-x_*(t)\big\rangle\,dt \\
&\geq \int_{t_0}^{t_1} \langle \dot{p}(t), x(t)-x_*(t)\rangle + \langle p(t), \dot{x}(t)-\dot{x}_*(t)\rangle\,dt \\
&= \langle p(t_1), x(t_1)-x_*(t_1)\rangle + \langle p(t_1^-)-p(t_1), x(t_1)-x_*(t_1)\rangle - \langle p(t_0), x(t_0)-x_*(t_0)\rangle \\
&\geq \langle p(t_1), x(t_1)-x_*(t_1)\rangle - \langle p(t_0), x(t_0)-x_*(t_0)\rangle.
\end{aligned}$$

Es besitze nun $p(\cdot)$ im Intervall (t_0,t_1) die Unstetigkeitsstellen $t_0<s_1<\ldots<s_d<t_1$. Dann gelten nach Bemerkung 2.23 die Sprungbedingungen

$$p(s_k^-)-p(s_k^+) = -\sum_{j=1}^{l} \beta_j^k g_{jx}\big(s_k,x_*(s_k)\big), \qquad \beta_j^k\geq 0, \quad k=1,\ldots,d,$$

und wir erhalten aus der Konvexität der Abbildungen $g_j(t,x)$ die Ungleichungen

$$\langle p(s_k^-)-p(s_k^+), x-x_*(s_k)\rangle \geq 0, \qquad x\in V_\gamma(s_k), \quad k=1,\ldots,d.$$

Für $\big(x(\cdot),u(\cdot)\big) \in \mathscr{B}_{\rm adm}$ mit $\|x(\cdot)-x_*(\cdot)\|_\infty \le \gamma$ ergibt sich dann

$$\begin{aligned}\Delta &\ge \int_{t_0}^{t_1} \langle \dot p(t), x(t)-x_*(t)\rangle + \langle p(t), \dot x(t)-\dot x_*(t)\rangle\, dt\\ &= \langle p(t_1^-), x(t_1)-x_*(t_1)\rangle + \sum_{k=1}^{d} \langle p(s_k^-)-p(s_k^+), x(s_k)-x_*(s_k)\rangle\\ &\quad -\langle p(t_0), x(t_0)-x_*(t_0)\rangle\\ &\ge \langle p(t_1), x(t_1)-x_*(t_1)\rangle - \langle p(t_0), x(t_0)-x_*(t_0)\rangle.\end{aligned}$$

Im Fall fester Anfangs- und Endbedingungen verschwinden die Differenzen $x(t_i)-x_*(t_i)$. Sind jedoch gewisse Komponenten im Anfangs- oder Endpunkt x_0 bzw. x_1 frei, dann liefern die Transversalitätsbedingungen, dass die entsprechenden Komponenten der Adjungierten $p(\cdot)$ zum Zeitpunkt t_0 bzw. t_1 verschwinden. Daher folgt die Beziehung $\Delta \ge 0$ für alle zulässigen $\big(x(\cdot),u(\cdot)\big)$ mit $\|x(\cdot)-x_*(\cdot)\|_\infty \le \gamma$. ■

Beispiel 2.24. Offensichtlich erfüllt das einfache Lagerhaltungsmodell in Beispiel 2.17 die Bedingungen des Theorems 2.22. Der angegebene Kandidat $\big(x_*(\cdot),u_*(\cdot)\big)$ ist ein starkes lokales Minimum. □

Beispiel 2.25. Wir betrachten nach Seierstad & Sydsæter [61] eine Aufgabe, in welcher der Ertragsmaximierung eine Umweltschutzrichtlinie gegenüber steht. Es sei zu jedem Zeitpunkt t die Produktion proportional zum Kapital $k(t)$ mit einer positiven Proportionalitätskonstanten $a>0$. Ein Teil $s(t)$ vom Kapital wird wieder in die weitere Produktion investiert und der verbleibende Teil $(1-s(t))$ dient zur Konsumption. Ferner besteht die Möglichkeit die Produktionskapazitäten über die Auslastungsrate $u(t)$ zu steuern.
Bei der Produktion fällt Abfall an. Es beschreibt $z(t)$ das gesamte Müllvolumen zur Zeit t und $\dot z(t)$ den bei der Produktion zum Zeitpunkt t entstehenden Abfall. Wir nehmen an, dass $\dot z(t)$ proportional zur Produktion und somit proportional zum Kapital ist, d. h. $\dot z(t) = ck(t)$ mit einer Konstanten $c>0$.
In diesem Modell hat die Verschmutzung $z(t)$ keinen direkten Einfluss auf die Ertragsmaximierung. Die Planungsperiode $[0,T]$ und die Startwerte $k(0), z(0)$ für das Kapital und das Müllvolumen sind bekannt. An den Endwert $k(T)$ wird keine Bedingung gestellt, aber das Abfallvolumen $z(t)$ soll über $[0,T]$ die vorgegebene Richtlinie Z nicht übersteigen.

Wir betrachten demnach die folgende Aufgabe:

$$J\big(k(\cdot),z(\cdot),u(\cdot),s(\cdot)\big) = \int_0^T \big(1-s(t)\big)u(t)k(t)\,dt \to \sup, \tag{2.94}$$

$$\dot k(t) = s(t)u(t)k(t), \quad k(0)=k_0, \quad k(T) \text{ frei}, \tag{2.95}$$

$$\dot z(t) = u(t)k(t) - az(t), \quad z(0)=z_0, \quad z(T) \text{ frei}, \tag{2.96}$$

$$(u,s) \in U = [0,1]\times[0,1], \tag{2.97}$$

$$g(t,k,z) = z(t) - Z \le 0. \tag{2.98}$$

Weiterhin sind k_0, z_0, Z, T und a positive Konstanten, für die die Relationen

$$z_0 < Z, \qquad T > 1, \qquad \left(z_0 - \frac{k_0}{a}\right) e^{-aT} + \frac{k_0}{a} < Z \tag{2.99}$$

gelten. Die letzte Annahme wird dadurch erklärt, dass zulässige Handlungsmöglichkeiten existieren. Werden nämlich keine Investitionen getätigt, d. h. $s(t) \equiv 0$ auf $[0, T]$, so folgt $k(t) \equiv k_0$ und wir erhalten mit der Auslastungsrate $u(t) \equiv 1$

$$z(T) = \left(z_0 - \frac{k_0}{a}\right) e^{-aT} + \frac{k_0}{a}.$$

Das Modell legt es nahe folgende drei Fälle zu betrachten:

(A) Bei der Produktion wird in der Planungsperiode niemals die Grenze Z für die Abfallmenge erreicht und es kann über dem gesamten Planungshorizont das maximal mögliche Produktionsvolumen ausgenutzt werden, d. h.

$$z(t) < Z \quad \text{für alle } t \in [0, T].$$

(B) Die Richtlinie Z wird genau im Endzeitpunkt der Planungsperiode erreicht, d. h.

$$z(t) < Z \quad \text{für alle } t \in [0, T), \qquad z(T) = Z.$$

(C) Innerhalb der Planungsperiode wird bereits die Grenze Z erreicht. Anschließend läuft die Produktion auf der höchstmöglichen Stufe, so dass die Abfallmenge $z(t)$ die Richtlinie Z nicht überschreitet, d. h.

$$z(t) < Z \quad \text{für alle } t \in [0, t'),\ 0 < t' < T, \qquad z(t) = Z \quad \text{für alle } t \in [t', T].$$

Im Weiteren geben wir für jeden Fall nach [61] optimale Steuerungsprozesse und die wesentlichen Merkmale der Adjungierten an. Auf die Details der Analyse, die wir nicht ausführlichen belegen, verweisen wir auf [61].

(A) Ist die Zustandsbeschränkung nicht aktiv, so erhalten wir die Steuerungen

$$s_*(t) = \begin{cases} 1, & t \in [0, T-1), \\ 0, & t \in [T-1, T], \end{cases} \qquad u_*(t) \equiv 1 \text{ auf } [0, T].$$

Für die Dynamiken der Zustandstrajektorien $k_*(\cdot)$, $z_*(\cdot)$ ergeben sich daraus

$$\dot{k}_*(t) = \begin{cases} k_*(t), & t \in [0, T-1), \\ 0, & t \in [T-1, T], \end{cases} \qquad \dot{z}_*(t) = \begin{cases} k_0 e^t - a z_*(t), & t \in [0, T-1), \\ k_0 e^{T-1} - a z_*(t), & t \in [T-1, T]. \end{cases}$$

Die Adjungierten $p_1(\cdot), p_2(\cdot)$, die den Zuständen $k_*(\cdot)$ bzw. $z_*(\cdot)$ zugeordnet sind, sind absolutstetig und erfüllen die Transversalitätsbedingungen $p_1(T) = 0$ und $p_2(T) = 0$.

(B) Ist die Zustandbeschränkung in $t = T$ aktiv, dann gilt für die Steuerungen

$$s_*(t) = \begin{cases} 1, & t \in [0, t_*), \\ 0, & t \in [t_*, T], \end{cases} \qquad u_*(t) \equiv 1 \text{ auf } [0, T],$$

wobei t_* der Bedingung

$$e^{t_*} - \frac{e^{-aT}}{1+a} e^{(1+a)t_*} = \frac{a}{k_0} \left[Z - \left(z_0 - \frac{k_0}{1+a} \right) e^{-aT} \right]$$

genügt. Die Zustandstrajektorien verhalten sich entsprechend dem Fall (A), wobei der Umschaltpunkt $t = T - 1$ durch $t = t_*$ zu ersetzen ist. Für die Adjungierte $p_2(\cdot)$ ergibt sich in $t = T$ die Sprungrelation

$$p_2(T^-) - p_2(T) = -\beta = a \frac{t_* - (T-1)}{1 - e^{-a(T-t_*)}} \in [-1, 0].$$

Daher muss $t_* \leq T - 1$ gelten. Im Vergleich zum Fall (A) werden die Investitionen gegebenenfalls früher beendet. Ist dabei $t_* = T - 1$, dann stimmt die Lösung mit derjenigen Lösung im Fall (A) überein.

(C) Es sei $t' = \sup\{t \in [0, T] \mid z_*(t) < Z\}$. Ist die Zustandsbeschränkung auf dem Intervall $[t', T]$ aktiv, dann gibt es einen Zeitpunkt t'' mit $0 < t'' < t' < T$ und

$$s_*(t) = \begin{cases} 1, & t \in [0, t''), \\ 0, & t \in [t'', T], \end{cases} \qquad u_*(t) = \begin{cases} 1, & t \in [0, t'), \\ \dfrac{aZ}{k_*(t'')}, & t \in [t', T]. \end{cases}$$

Dabei erfüllen die Zeitpunkte t', t'' die gekoppelten Bedingungen

$$\begin{aligned} 1 + \frac{1}{a} &= t' - t'' + \frac{1}{a} e^{-a(t'-t'')}, \\ Z &= \left[z_0 - \frac{k_0}{1+a} - \frac{k_0}{a(1+a)} e^{(1+a)t''} \right] e^{-at'} + \frac{k_0}{a} e^{t''}. \end{aligned}$$

Für die Dynamiken der Zustandstrajektorien $k_*(\cdot)$, $z_*(\cdot)$ ergeben sich daraus

$$\dot{k}_*(t) = \begin{cases} k_*(t), & t \in [0, t''), \\ 0, & t \in [t'', T], \end{cases} \qquad \dot{z}_*(t) = \begin{cases} k_*(t) - a z_*(t), & t \in [0, t'), \\ 0, & t \in [t', T]. \end{cases}$$

Die Adjungierte $p_2(t)$ genügt auf (t', T) der Differentialgleichung

$$\dot{p}_2(t) = a p_2(t) + \lambda(t), \qquad \lambda(t) = a$$

und es ergibt sich in $t = T$ die Sprungbedingung $p_2(T^-) - p_2(T) = -1$.

Die Auswertung der Aufgabe (2.94)–(2.98) erfolgt auf die Weise, dass man die einzelnen Szenarien (A)–(C) aussortiert, bis eine optimale Lösung gefunden ist. □

Beispiel 2.26. Im Folgenden untersuchen wir ein optimales Speichermanagement eines Wasserkraftwerkes. Es bezeichne $x(t)$ die Höhe des Stausees innerhalb der Stauanlage. Die natürliche Zulaufmenge, die in den Stausee einfließt, wird durch die Funktion $w(t) > 0$ beschrieben. Gesteuert wird die Stauhöhe $x(t)$ durch die Ablaufmenge $v(t)$. Weiterhin bezeichnen $x_{\min}, x_{\max}$ die minimale bzw. maximale Stauhöhe und $v_{\min}, v_{\max}$ die minimale bzw. maximale Ablaufmenge. Die erzeugte elektrische Energie bei der Energieumwandlung bestimmt sich aus physikalischen Gründen mit Hilfe der streng konkaven Produktionsfunktion U. Außerdem sei π der Preis, der pro Einheit elektrischer Energie am Markt erzielt wird. Damit stellt sich die Aufgabe wie folgt dar:

$$\begin{aligned}
&J\big(x(\cdot), v(\cdot)\big) = \int_0^T \pi U\big(x(t)\big) v(t)\, dt \to \sup,\\
&\dot{x}(t) = w(t) - v(t), \qquad x(0) = x_0, \quad x(T) \text{ frei},\\
&v \in [v_{\min}, v_{\max}], \qquad 0 \le v_{\min} < v_{\max},\\
&x_{\min} \le x(t) \le x_{\max}, \quad v_{\min} < w(t) < v_{\max} \quad \text{für alle } t.
\end{aligned}$$

Im normalen Fall lautet die Pontrjagin-Funktion zu dieser Aufgabe

$$H(t, x, v, p, 1) = p[w(t) - v] + \pi U(x) v.$$

Da die Produktionsfunktion U streng konkav und die Zustandsbeschränkungen linear in x sind, sind die notwendigen Optimalitätsbedingungen (2.76)–(2.78) nach Theorem 2.22 auch hinreichend. Wir diskutieren die Bedingungen des Maximumprinzips: Die Maximumbedingung (2.78) liefert

$$H\big(t, x_*(t), v_*(t), p(t), 1\big) = \max_{v \in [v_{\min}, v_{\max}]} v \cdot \big[\pi U\big(x_*(t)\big) - p(t)\big] + p(t) w(t).$$

Daraus ergibt sich

$$v_*(t) \begin{cases} = v_{\max}, & \pi U\big(x_*(t)\big) > p(t),\\ \in [v_{\min}, v_{\max}], & \pi U\big(x_*(t)\big) = p(t),\\ = v_{\min}, & \pi U\big(x_*(t)\big) < p(t). \end{cases}$$

Ist keine Zustandsbeschränkung aktiv, dann lautet die adjungierte Gleichung (2.76)

$$\dot{p}(t) = -\pi U'\big(x_*(t)\big) v_*(t).$$

Die Adjungierte ist in diesem Fall monoton fallend und wir erhalten unmittelbar

$$\pi \frac{d}{dt} U\big(x_*(t)\big) = -\pi U'\big(x_*(t)\big) \cdot \big(v_*(t) - w(t)\big) > -\pi U'\big(x_*(t)\big) v_*(t) = \dot{p}(t). \tag{2.100}$$

D. h., dass für $x_*(t) \in (x_{\min}, x_{\max})$ keine singuläre Steuerung $v_*(t) \in (v_{\min}, v_{\max})$ auftritt. Ist auf einem Teilstück die Zustandsbeschränkung $g_1\big(x(t)\big) = x(t) - x_{\max} \le 0$ aktiv, dann erhalten wir aus $\pi U\big(x_*(t)\big) = p(t)$ für die stückweise stetige Funktion $\lambda_1(\cdot)$ mit

$$\dot{p}(t) = -H_x\big(t, x_*(t), u_*(t), p(t), 1\big) + \lambda_1(t) g_1'\big(x_*(t)\big)$$

die Darstellung $\lambda_1(t) = \pi U'(x_{\max})w(t) \geq 0$. Im Gegensatz dazu darf die Zustandsbeschränkung $g_2\big(x(t)\big) = x_{\min} - x(t) \leq 0$ auf keinem Teilstück aktiv sein, denn dies hätte $\lambda_2(t) = -\pi U'(x_{\min})w(t) < 0$ zur Folge. Andererseits kann die Adjungierte in $t = T$ den Sprung

$$p(T^-) - p(T) = -\beta_2 g_2'\big(x_*(T)\big) = \beta_2 \geq 0$$

aufweisen, wenn die Zustandsbeschränkung $g_2\big(x(t)\big)$ in $t = T$ aktiv ist. Damit ergeben sich auf gewissen Teilintervallen von $[0, T]$ folgende Verhaltensweisen, die auftreten können:

(A) Für $\pi U\big(x_*(t)\big) < p(t)$ wird das Staubecken mit der Rate $v_*(t) = w(t) - v_{\min} > 0$ aufgefüllt.

(B) Für $\pi U\big(x_*(t)\big) = \pi U(x_{\max}) = p(t)$ wird das maximale Stauvolumen in dem Wasserkraftwerk gehalten. Die zugehörige Steuerung ist $v_*(t) = w(t)$.

(C) Für $\pi U\big(x_*(t)\big) > p(t)$ wird das Staubecken mit der Rate $v_*(t) = v_{\max} - w(t) > 0$ geleert.

In Abhängigkeit des Planungszeitraumes ergeben sich folgende Szenarien:

(i) Ist der Zeitraum $[0, T]$ kurz, dann tritt nur (C) ein.

(ii) Bei einer mittelfristigen Planung ergibt sich der Übergang (A)→(C).

(iii) Im Fall eines langfristigen Zeithorizontes erhalten wir (A)→(B)→(C).

Der Zeitpunkt, in dem in (ii) der Wechsel (A)→(C) bzw. in (iii) der Wechsel (B)→(C) vollzogen wird, ergibt sich durch folgende Bedingungen: Ein Wechsel wird durch die Bedingung $p(T) = 0$ und $p(t) > 0$ für $t < T$ festgelegt, falls gleichzeitig $x_*(T) \geq x_{\min}$ gilt. Ist andererseits $x_*(T) = x_{\min}$ und $p(T^-) > 0$, dann besitzt $p(\cdot)$ in $t = T$ eine Sprungstelle mit $p(T^-) - p(T) = \beta_2 > 0$.

Wir demonstrieren die Szenarien an folgender spezifizierten Situation:

$$\begin{aligned} &J\big(x(\cdot), v(\cdot)\big) = \int_0^T \ln\big(x(t)\big) v(t)\, dt \to \sup, \\ &\dot{x}(t) = 1 - v(t), \qquad x(0) = 5, \quad x(T) \text{ frei}, \quad 1 \leq x(t) \leq 10, \quad v \in [0, 2]. \end{aligned}$$

In Abhängigkeit vom Planungszeitraum $[0, T]$ ergeben sich:

(1) Für $0 < T \leq 5 - \sqrt{5}$ tritt nur (C) ein. Durch

$$v_*(t) = 2, \qquad x_*(t) = 5 - t, \qquad x_*(T) \in [\sqrt{5}, 5)$$

wird der optimale Steuerungsprozess gegeben. Die Adjungierte lautet

$$p(t) = 2[\ln(5 - t) - \ln(5 - T)], \qquad p(T) = 0.$$

Unter Beachtung von (2.100) erhalten wir $T \leq 5 - \sqrt{5}$ aus $U\big(x_*(0)\big) \geq p(0)$.

(2) Für $5-\sqrt{5} < T \le 15-\sqrt{10}$ liegt der Fall (A)→(C) vor. Der optimale Steuerungsprozess lautet

$$v_*(t) = \begin{cases} 0, & t \in [0,\tau), \\ 2, & t \in [\tau,T], \end{cases} \qquad x_*(t) = \begin{cases} 5+t, & t \in [0,\tau), \\ 5+2\tau-t, & t \in [\tau,T], \end{cases}$$

es gilt $x_*(T) \in (\sqrt{5},\sqrt{10}]$ und die zugehörige Adjungierte ist

$$p(t) = \begin{cases} 2[\ln(5+t) - \ln(5+2\tau-T)], & t \in [0,\tau), \\ 2[\ln(5+2\tau-t) - \ln(5+2\tau-T)], & t \in [\tau,T], \end{cases} \qquad p(T) = 0.$$

Die Beziehungen $\tau \le 5$ und $T-\tau = 5+\tau-\sqrt{5+\tau}$ ergeben sich aus den Bedingungen

$$x_*(t) < 10 \quad \text{für alle } t \ne \tau, \qquad U\big(x_*(\tau)\big) = p(\tau).$$

(3) Im Fall eines langfristigen Horizontes $T > 15-\sqrt{10}$ erhalten wir (A)→(B)→(C). Der optimale Steuerungsprozess ist

$$v_*(t) = \begin{cases} 0, & t \in [0,\tau_1), \\ 1, & t \in [\tau_1,\tau_2), \\ 2, & t \in [\tau_2,T], \end{cases} \qquad x_*(t) = \begin{cases} 5+t, & t \in [0,\tau_1), \\ 10, & t \in [\tau_1,\tau_2), \\ 10-(t-\tau_2), & t \in [\tau_2,T], \end{cases}$$

es gilt $x_*(T) = \sqrt{10}$ und die zugehörige Adjungierte lautet

$$p(t) = \begin{cases} \ln(10), & t \in [0,\tau_2), \\ 2[\ln(10+\tau_2-t) - \ln(10+\tau_2-T)], & t \in [\tau_2,T], \end{cases} \qquad p(T) = 0.$$

Es ergeben sich $\tau_1 = 5$ und $T-\tau_2 = 10-\sqrt{10}$ aus den Beziehungen

$$x_*(t) < 10,\ t \in [0,\tau_1), \quad x_*(\tau_1) = 10, \quad \ln(10) = p(\tau_2), \quad p(T) = 0.$$

Eine interessante Erweiterung ergibt sich im letzten Fall, wenn der Preis π nicht konstant ist, sondern im Zeitpunkt $\sigma \in (\tau_1,\tau_2)$ eine Preiserhöhung π^+ bzw. -verringerung π^- erwartet wird. Im Fall der Preiserhöhung wird die interne Bewertung(Schattenpreis) der Ressource im Zeitpunkt $t = \sigma$ durch eine Sprungstelle der Adjungierten angepasst:

$$p(\sigma^-) - p(\sigma) = (\pi - \pi^+)U(x_{\max}) = -\beta_1 g_1'\big(x_*(\sigma)\big) = -\beta_1 < 0.$$

Wird die Preissenkung erwartet, dann wird die Ressource ab dem Zeitpunkt σ_1 vor der Änderung zum Preis π mit $v_*(t) = v_{\max}$ veräußert und danach mit der Steuerung $v_*(t) = v_{\min}$ eingelagert. Und zwar in der Form, dass die Bewertung der Ressource durch die Bedingung $p(\sigma_2) = \pi^- U(x_{\max})$ dem aktuellen Marktpreis π^- angepasst wird. Dieser Argumentation ist die Annahme $[\sigma_1,\sigma_2] \subseteq [\tau_1,\tau_2]$ auferlegt. In dem spezifizierten Modell erhalten wir im Fall der Preissenkung mit $\pi = 2$ und $\pi^- = 1$ für die Zeitpunkte den Zusammenhang $\sigma - \sigma_1 = \sigma_2 - \sigma = 10-\sqrt{10}$. □

2.6. Freier Anfangs- und Endzeitpunkt

Wir betrachten in diesem Abschnitt die zustandsbeschränkte Aufgabe mit freiem Anfangs- und Endzeitpunkt. Ebenso wie im Abschnitt 1.3.5 seien daher die Abbildungen h_0 bzw. h_1, die die Start- und Zielmannigfaltigkeit definieren, zeitabhängig:

$$h_i(t,x) : \mathbb{R} \times \mathbb{R}^n \to \mathbb{R}^{s_i}, \quad i = 0, 1.$$

Wir übernehmen alle im Abschnitt 2.5 getroffenen Bezeichnungen und Festlegungen und untersuchen die folgende Aufgabe:

$$J\big(x(\cdot), u(\cdot)\big) = \int_{t_0}^{t_1} f\big(t, x(t), u(t)\big)\, dt \to \inf, \tag{2.101}$$

$$\dot{x}(t) = \varphi\big(t, x(t), u(t)\big), \tag{2.102}$$

$$h_0\big(t_0, x(t_0)\big) = 0, \qquad h_1\big(t_1, x(t_1)\big) = 0, \tag{2.103}$$

$$u(t) \in U \subseteq \mathbb{R}^m, \quad U \neq \emptyset, \tag{2.104}$$

$$g_j\big(t, x(t)\big) \leq 0 \quad \text{für alle } t \in [t_0, t_1], \quad j = 1, ..., l. \tag{2.105}$$

Die Aufgabe (2.101)–(2.105) betrachten wir für Paare

$$\big(x(\cdot), u(\cdot)\big) \in W_2^1([t_0, t_1], \mathbb{R}^n) \times L_\infty([t_0, t_1], U), \qquad [t_0, t_1] \subset \mathbb{R}.$$

Zur Trajektorie $x(\cdot)$ definieren wir die Menge $V_\gamma = \{(t,x) \in [t_0, t_1] \times \mathbb{R}^n \mid \|x - x(t)\| \leq \gamma\}$. Dann gehören zur Menge $\mathscr{B}^\star_{\mathrm{Lip}}$ diejenigen $x(\cdot) \in W_2^1([t_0, t_1], \mathbb{R}^n)$, für die es eine Zahl $\gamma > 0$ derart gibt, dass

(B*) die Abbildungen $f(t,x,u)$, $\varphi(t,x,u)$, $h_i(t,x)$, $g_j(t,x)$ auf $V_\gamma \times U$ stetig in der Gesamtheit der Variablen und stetig differenzierbar bezüglich t und x sind.

In der Aufgabe (2.101)–(2.105) mit freiem Anfangs- und Endzeitpunkt nennen wir ein Tripel $\big([t_0, t_1], x(\cdot), u(\cdot)\big)$ mit $[t_0, t_1] \subset \mathbb{R}$, $x(\cdot) \in W_2^1([t_0, t_1], \mathbb{R}^n)$ und $u(\cdot) \in L_\infty([t_0, t_1], U)$ einen Steuerungsprozess. Ein Steuerungsprozess heißt zulässig in dem Steuerungsproblem (2.101)–(2.105), wenn auf dem Intervall $[t_0, t_1]$ die Funktion $x(\cdot)$ fast überall der Gleichung (2.102) genügt, die Randbedingungen (2.103) und die Zustandsbeschränkungen (2.105) erfüllt. Die Menge $\mathscr{B}_{\mathrm{adm}}$ bezeichnet die Menge der zulässigen Steuerungsprozesse.

Einen zulässigen Steuerungsprozess $\big([t_{0*}, t_{1*}], x_*(\cdot), u_*(\cdot)\big)$ nennen wir ein starkes lokales Minimum, wenn eine Zahl $\varepsilon > 0$ derart existiert, dass für jeden zulässigen Steuerungsprozess $\big([t_0, t_1], x(\cdot), u(\cdot)\big)$ mit den Eigenschaften

$$|t_0 - t_{0*}| < \varepsilon, \qquad |t_1 - t_{1*}| < \varepsilon, \qquad \|x(t) - x_*(t)\| < \varepsilon \quad \text{für alle } t \in [t_{0*}, t_{1*}] \cap [t_0, t_1]$$

die folgende Ungleichung gilt:

$$J\big(x(\cdot), u(\cdot)\big) \geq J\big(x_*(\cdot), u_*(\cdot)\big).$$

Wir wenden die Methode der Substitution der Zeit aus Abschnitt 1.3.5 an und erhalten folgende Aufgabe mit fester Zeit, auf die wir Theorem 2.16 anwenden können:

$$\int_0^1 v \cdot f\big(t(s), y(s), w(s)\big)\, ds \to \inf, \tag{2.106}$$

$$t'(s) = v, \quad y'(s) = v \cdot \varphi\big(t(s), y(s), w(s)\big), \tag{2.107}$$

$$h_0\big(t(0), y(0)\big) = 0, \quad h_1\big(t(1), y(1)\big) = 0, \tag{2.108}$$

$$v > 0, \quad w(s) \in U, \tag{2.109}$$

$$g_j\big(t(s), y(s)\big) \le 0, \quad s \in [0,1], \quad j = 1, ..., l. \tag{2.110}$$

Die Pontrjaginsche Funktion der Aufgabe (2.106)–(2.110) lautet

$$\begin{aligned} \tilde{H}(t, x, u, v, p, q, \lambda_0) &= \langle p, v \cdot \varphi(t, x, u)\rangle + qv - \lambda_0 v \cdot f(t, x, u) \\ &= v \cdot [H(t, x, u, p, \lambda_0) + q], \end{aligned} \tag{2.111}$$

wobei $H(t, x, u, p, \lambda_0) = \langle p, \varphi(t, x, u)\rangle - \lambda_0 f(t, x, u)$ die Pontrjagin-Funktion zu der Aufgabe (2.101)–(2.105) ist. Weiterhin setzen wir

$$\Delta_j = \big\{ s \in [0,1] \,\big|\, g_j\big(t_*(s), y_*(s)\big) = 0 \big\}, \quad j = 1, ..., l.$$

Dann existieren nach Theorem 2.16 eine Zahl $\lambda_0 \ge 0$, Vektoren $l_0 \in \mathbb{R}^{s_0}, l_1 \in \mathbb{R}^{s_1}$, eine Vektorfunktion $\tilde{p}(\cdot)$, eine Funktion $\tilde{q}(\cdot)$ und nichtnegative, reguläre, auf den Mengen Δ_j konzentrierte Borelsche Maße $\tilde{\mu}_j, j = 1, ..., l$, (diese Größen verschwinden nicht gleichzeitig) derart, dass die Beziehungen

$$\begin{aligned} \tilde{p}(s) &= -h_{1x}^T\big(t_*(1), y_*(1)\big) l_1 + \int_s^1 \tilde{H}_x\big(t_*(\tau), y_*(\tau), w_*(\tau), v_*, \tilde{p}(\tau), \tilde{q}(\tau), \lambda_0\big) d\tau \\ &\quad - \sum_{j=1}^{l} \int_s^1 g_{jx}\big(t_*(\tau), y_*(\tau)\big) d\tilde{\mu}_j(\tau), \\ \tilde{p}(0) &= h_{0x}^T\big(t_*(0), y_*(0)\big) l_0, \\ \tilde{q}(s) &= -\big\langle h_{1t}\big(t_*(1), y_*(1)\big), l_1\big\rangle + \int_s^1 \tilde{H}_t\big(t_*(\tau), y_*(\tau), w_*(\tau), v_*, \tilde{p}(\tau), \tilde{q}(\tau), \lambda_0\big) d\tau \\ &\quad - \sum_{j=1}^{l} \int_s^1 g_{jt}\big(t_*(\tau), y_*(\tau)\big) d\tilde{\mu}_j(\tau), \\ \tilde{q}(0) &= \big\langle h_{0t}\big(t_*(0), y_*(0)\big), l_0\big\rangle \end{aligned}$$

gelten und die Maximumbedingung

$$\tilde{H}\big(t_*(s), y_*(s), w_*(s), v_*, \tilde{p}(s), \tilde{q}(s), \lambda_0\big) = \max_{u \in U,\, v > 0} v \cdot \big[H\big(t_*(s), y_*(s), u, \tilde{p}(s), \lambda_0\big) + \tilde{q}(s)\big]$$

für fast alle $s \in [0,1]$ erfüllt ist. Es sei $s_*(\cdot)$ die zu $t_*(\cdot)$ inverse Funktion, d. h.

$$s_*(t) = \frac{t - t_{0*}}{t_{1*} - t_{0*}}, \qquad t \in [t_{0*}, t_{1*}].$$

Wir führen die Bezeichnungen

$$\begin{aligned} &p(t) = \tilde{p}\big(s_*(t)\big), \quad q(t) = \tilde{q}\big(s_*(t)\big), \\ &T_j = \big\{t \in [t_{0*}, t_{1*}] \,\big|\, g_j\big(t, x_*(t)\big) = 0\big\} = t_*(\Delta_j), \quad j = 1, ..., l, \end{aligned}$$

ein und verwenden die Bildmaße μ_j der Maße $\tilde{\mu}_j$ bei der Abbildung $t_*(\cdot)$. Dann gilt

$$\int_{t_{0*}}^{t_{1*}} \psi(t)\, d\mu_j(t) = \int_0^1 \psi\big(t_*(s)\big)\, d\tilde{\mu}_j(s) \qquad \text{für alle } \psi(\cdot) \in C([t_{0*}, t_{1*}], \mathbb{R})$$

und die Maße μ_j sind offensichtlich auf T_j konzentriert. So lassen sich die obigen Beziehungen unter Berücksichtigung von (2.111) auf folgende Form bringen:

$$\begin{aligned} p(t) &= -h_{1x}^T\big(t_{1*}, x_*(t_{1*})\big) l_1 + \int_t^{t_{1*}} H_x\big(\tau, x_*(\tau), u_*(\tau), p(\tau), \lambda_0\big) d\tau \\ &\quad - \sum_{j=1}^{l} \int_t^{t_{1*}} g_{jx}\big(\tau, x_*(\tau)\big) d\mu_j(\tau), \\ p(t_{0*}) &= h_{0x}^T\big(t_{0*}, x_*(t_{0*})\big) l_0, \\ q(t) &= -\big\langle h_{1t}\big(t_{1*}, x_*(t_{1*})\big), l_1\big\rangle + \int_t^{t_{1*}} H_t\big(\tau, x_*(\tau), u_*(\tau), p(\tau), \lambda_0\big) d\tau \\ &\quad - \sum_{j=1}^{l} \int_t^{t_{1*}} g_{jt}\big(\tau, x_*(\tau)\big) d\mu_j(\tau), \qquad (2.112) \\ q(t_{0*}) &= \big\langle h_{0t}\big(t_{0*}, x_*(t_{0*})\big), l_0\big\rangle \qquad (2.113) \end{aligned}$$

und wir erhalten die Maximumbedingung

$$v_* \cdot \Big(H\big(t, x_*(t), u_*(t), p(t), \lambda_0\big) + q(t)\Big) = \max_{u \in U,\, v > 0} v \cdot \big[H\big(t, x_*(t), u, p(t), \lambda_0\big) + q(t)\big]. \quad (2.114)$$

Aus (2.114) folgt

$$H\big(t, x_*(t), u_*(t), p(t), \lambda_0\big) = \max_{u \in U} H\big(t, x_*(t), u, p(t), \lambda_0\big).$$

Ferner erhalten wir wegen $0 < v_* < \infty$ aus (2.114) die Beziehung

$$\max_{u \in U} H\big(t, x_*(t), u, p(t), \lambda_0\big) = -q(t).$$

Im Folgenden verwenden wir die Hamilton-Funktion

$$\mathscr{H}(t,x,p,\lambda_0)=\max_{u\in U}H(t,x,u,p,\lambda_0).$$

Durch Vergleich mit (2.112) und (2.113) erhalten wir weiter

$$\begin{aligned}\mathscr{H}\big(t,x_*(t),p(t),\lambda_0\big)&=\big\langle h_{1t}\big(t_{1*},x_*(t_{1*})\big),l_1\big\rangle-\int_t^{t_{1*}}H_t\big(\tau,x_*(\tau),u_*(\tau),p(\tau),\lambda_0\big)d\tau\\&\quad+\sum_{j=1}^{l}\int_t^{t_{1*}}g_{jt}\big(\tau,x_*(\tau)\big)d\mu_j(\tau),\\\mathscr{H}\big(t_{0*},x_*(t_{0*}),p(t_{0*}),\lambda_0\big)&=-\big\langle h_{0t}\big(t_{0*},x_*(t_{0*})\big),l_0\big\rangle.\end{aligned}$$

Zusammenfassend lautet damit das Maximumprinzip für Aufgaben mit freier Zeit:

Theorem 2.27 (Pontrjaginsches Maximumprinzip)**.** *In der Aufgabe (2.101)–(2.105) sei der Steuerungsprozess* $\big([t_{0*},t_{1*}],x_*(\cdot),u_*(\cdot)\big)\in\mathscr{B}_{\rm adm}\cap\mathscr{B}^\star_{\rm Lip}$*. Ist* $\big([t_{0*},t_{1*}],x_*(\cdot),u_*(\cdot)\big)$ *ein starkes lokales Minimum der Aufgabe (2.101)–(2.105), dann existieren eine Zahl* $\lambda_0\geq 0$*, eine Vektorfunktion* $p(\cdot):[t_{0*},t_{1*}]\to\mathbb{R}^n$ *und auf den Mengen*

$$T_j=\big\{t\in[t_{0*},t_{1*}]\,\big|\,g_j\big(t,x_*(t)\big)=0\big\},\quad j=1,...,l,$$

konzentrierte nichtnegative reguläre Borelsche Maße μ_j *endlicher Totalvariation (wobei sämtliche Größen nicht gleichzeitig verschwinden) derart, dass*

(a) die Vektorfunktion $p(\cdot)$ *von beschränkter Variation ist und der adjungierten Gleichung*

$$\begin{aligned}p(t)&=-h_{1x}^T\big(t_{1*},x_*(t_{1*})\big)l_1+\int_t^{t_{1*}}H_x\big(s,x_*(s),u_*(s),p(s),\lambda_0\big)\,ds\\&\quad-\sum_{j=1}^{l}\int_t^{t_{1*}}g_{jx}\big(s,x_*(s)\big)\,d\mu_j(s)\end{aligned}\tag{2.115}$$

genügt und die folgenden Transversalitätsbedingungen erfüllt:

$$p(t_{0*})=h_{0x}^T\big(t_{0*},x_*(t_{0*})\big)l_0,\qquad p(t_{1*})=-h_{1x}^T\big(t_{1*},x_*(t_{1*})\big)l_1;\tag{2.116}$$

(b) für fast alle $t\in[t_{0*},t_{1*}]$ *die Maximumbedingung gilt:*

$$H\big(t,x_*(t),u_*(t),p(t),\lambda_0\big)=\max_{u\in U}H\big(t,x_*(t),u,p(t),\lambda_0\big);\tag{2.117}$$

(c) die Hamilton-Funktion eine Funktion beschränkter Variation ist, für die gilt:

$$\mathscr{H}\big(t, x_*(t), p(t), \lambda_0\big) = \big\langle h_{1t}\big(t_{1*}, x_*(t_{1*})\big), l_1\big\rangle - \int_t^{t_{1*}} H_t\big(\tau, x_*(\tau), u_*(\tau), p(\tau), \lambda_0\big)\, d\tau + \sum_{j=1}^{l} \int_t^{t_{1*}} g_{jt}\big(\tau, x_*(\tau)\big) d\mu_j(\tau), \tag{2.118}$$

$$\mathscr{H}\big(t_{0*}, x_*(t_{0*}), p(t_{0*}), \lambda_0\big) = -\big\langle h_{0t}\big(t_{0*}, x_*(t_{0*})\big), l_0\big\rangle. \tag{2.119}$$

3. Optimale Multiprozesse

Der Begriff des Multiprozesses lässt sich am Beispiel des Autofahrens illustrieren: Neben den kontinuierlichen Steuerungen "beschleunigen" und "bremsen" bildet die Wahl des konkreten Ganges einen wesentlichen Beitrag zur Minimierung des Treibstoffverbrauchs oder zum Erreichen des Zielortes in kürzester Zeit. Denn die Auswahl des jeweiligen Ganges beeinflusst maßgeblich das dynamische Beschleunigungsverhalten, den momentanen Benzinverbrauch und die Geschwindigkeit. Das Fahrverhalten und der Treibstoffverbrauch wird in jedem einzelnen Gang durch eine eigene Dynamik und Verbrauchsfunktion beschrieben. Dementsprechend setzt sich dieses Optimierungsproblem aus verschiedenen, dem jeweilig ausgewählten Gang zugeordneten Steuerungsproblemen zusammen. Die Schaltfolge zwischen den einzelnen Gängen wird durch eine Wechselstrategie beschrieben. Das Beispiel des Autofahrens verdeutlicht dabei den speziellen Charakter der Wechselstrategie: Im Vergleich zu den Pedalen, die stufenlos gesteuert werden können, ist die Auswahl des Ganges eine rein diskrete Größe.

Ein Multiprozess besteht aus einer gewissen endlichen Anzahl von einzelnen Steuerungssystemen, welche sich jeweils aus individuellen Dynamiken, Zielfunktionalen und Steuerungsbereichen zusammensetzen. Neben der Suche nach der optimalen Steuerung für das jeweils gewählte Steuerungssystem liegt das Hauptaugenmerk bei der Untersuchung von Multiprozessen auf der Bestimmung der optimalen Wechselstrategie. Dabei wird eine Wechselstrategie durch die Anzahl der Wechsel zwischen den einzelnen Steuerungssystemen, durch die konkrete Auswahl des jeweiligen Steuerungssystems und durch diejenigen Zeitpunkte, zu denen diese Wechsel stattfinden, beschrieben. Wir betrachten ausschließlich Multiprozesse mit stetigen Zuständen. Außerdem dürfen keine Wechselkosten anfallen.

Eine anschauliche Beschreibung eines Multiprozesses wird durch die Auflistung der jeweilig ausgewählten Steuerungssysteme gegeben. Dazu zerlegt man das Zeitintervall $[t_0, t_1]$ zu den Wechselzeitpunkten in Teilintervalle,

$$t_0 = s_0 < s_1 < ... < s_N = t_1,$$

und beschreibt für $j = 1, ..., N$ auf den Teilabschnitten das Steuerungsproblem:

$$\int_{s_{j-1}}^{s_j} f_{i_j}\big(t, x(t), u(t)\big)\, dt, \quad \dot{x}(t) = \varphi_{i_j}\big(t, x(t), u(t)\big) \text{ für } t \in (s_{j-1}, s_j), \quad u(t) \in U_{i_j} \subseteq \mathbb{R}^{m_{i_j}}.$$

Dabei gehört die Zahl i_j der gegebenen Menge $\{1, ..., k\}$ und gibt das ausgewählte Steuerungssystem an. Der Multiprozess erhält dadurch die Gestalt

$$\begin{aligned} &J\big(x(\cdot), u(\cdot)\big) = \sum_{j=1}^{N} \int_{s_{j-1}}^{s_j} f_{i_j}\big(t, x(t), u(t)\big)\, dt \to \inf, \\ &\dot{x}(t) = \varphi_{i_j}\big(t, x(t), u(t)\big) \quad \text{für } t \in (s_{j-1}, t_j), \quad j = 1, ..., N, \\ &u(t) \in U_{i_j} \subseteq \mathbb{R}^{m_{i_j}}, \quad i_j \in \{1, ..., k\}, \quad j = 1, ..., N. \end{aligned}$$

An dieser Stelle muss angemerkt werden werden, dass in dieser Darstellung eines Multiprozesses durch die Indizes i_j die Struktur der Wechselstrategie vorgegeben ist. D. h., dass die Anzahl der Wechsel und die jeweilige Auswahl des Steuerungssystems implizit bereits determiniert wird. Die Beschreibung einer Wechselstrategie als "echte" Steuerungsvariable wird in dieser Form nicht erreicht. Auf dieser Formulierung basiert die Strategie zur Untersuchung von allgemeinen Multiprozessen. Nämlich auf den Vergleich von Multiprozessen, die auf der gleichen Wechselstrategie beruhen. Die Arbeit von Sussmann [65] bezieht sich auf allgemeinere Aufgaben als wir sie betrachten werden, da sie ebenso unstetige Zustände und Wechselkosten beinhaltet. Weitere grundlegenden Beiträge zu notwendigen Optimalitätsbedingungen für Multiprozesse z. B. bei Clarke & Vinter [14, 15], Dmitruk & Kaganovich [16], Galbraith & Vinter [23], Garavello & Piccoli [26], Shaikh & Caines [63, 64], basieren ebenso auf dieser Philosophie.

Wir zeigen für Multiprozesse einen Weg auf, die Wechselstrategien als Steuerungsvariablen einzuführen. Damit sind wir in der Lage, Multiprozesse auf starke lokale Optimalstellen zu untersuchen. Das beinhaltet, dass wir zur Bestimmung von notwendigen Optimalitätsbedingungen Multiprozesse mit beliebigen Wechseltstrategien vergleichen.

Wir beginnen unsere Darstellung mit der Einführung von Zerlegungen des Zeitintervalls und der Verknüpfung dieser Variablen mit vektorwertigen Abbildungen. Die Zerlegungen des Zeitintervalls bilden die Grundlage, um im nächsten Schritt eine Wechselstrategien als Steuerungsvariable in die Beschreibung eines Multiprozesses einzufügen, sowie die konkrete Aufgabestellung und das Pontrjaginsche Maximumprinzip zu formulieren.
Für das Pontrjaginsche Maximumprinzip geben wir nur Bemerkungen zum Beweis an. Der vollständige Beweis ist in Tauchnitz [66] zu finden.

3.1. k-fache Zerlegungen

Es seien das Intervall $I \subseteq \mathbb{R}$ und $k \in \mathbb{N}$ gegeben.

Definition 3.1. *Unter einer k-fachen Zerlegung des Intervalls $I \subseteq \mathbb{R}$ verstehen wir ein endliches System $\mathscr{A} = \{\mathscr{A}^1, ..., \mathscr{A}^k\}$ von Lebesgue-messbaren Teilmengen von I mit*

$$\bigcup_{1 \le i \le k} \mathscr{A}^i = I, \qquad \mathscr{A}^i \cap \mathscr{A}^j = \emptyset \text{ für } i \neq j.$$

Es bezeichnet $\mathscr{Z}^k(I) = \{\mathscr{A}\} = \big\{\{\mathscr{A}^i\}_{1 \le i \le k}\big\}$ die Menge der k-fachen Zerlegungen von I.

Wir identifizieren ein Element $\mathscr{A} \in \mathscr{Z}^k(I)$ durch die Vektorfunktion

$$\chi_{\mathscr{A}}(t) = \big(\chi_{\mathscr{A}^1}(t), ..., \chi_{\mathscr{A}^k}(t)\big), \quad t \in I,$$

der charakteristischen Funktionen der Mengen $\mathscr{A}^i$. Jede Funktion $\chi_{\mathscr{A}}(\cdot)$ gehört der Menge

$$\mathscr{Y}^k(I) = \left\{ y(\cdot) \in L_\infty(I, \mathbb{R}^k) \,\middle|\, y(t) = \big(y^1(t), ..., y^k(t)\big), y^i(t) \in \{0, 1\}, \sum_{i=1}^{k} y^i(t) = 1 \right\}$$

an. Die Menge $\mathscr{Z}^k(I)$ der k-fachen Zerlegungen bzw. $\mathscr{Y}^k(I)$ der charakteristischen Vektorfunktionen repräsentieren bei geeigneter Verknüpfung sämtliche Wechselstrategien in Multiprozessen mit k Steuerungssystemen. Die Grundlage bilden dafür die folgenden Bezeichnungen: Wir betrachten k Funktionen $h^i(t,x,u^i) : I \times \mathbb{R}^n \times \mathbb{R}^{m_i} \to \mathbb{R}^s$ und fassen diese zur Vektorfunktion $h = (h^1, ..., h^k)$ zusammen. Dabei setzen wir $u = (u^1, ..., u^k) \in \mathbb{R}^{m_1+...+m_k}$. Die Verknüpfung der Funktion h mit einer k-fachen Zerlegung legen wir wie folgt fest:

$$\mathscr{A} \circ h(t,x,u) = \chi_{\mathscr{A}}(t) \circ h(t,x,u) = \sum_{i=1}^{k} \chi_{\mathscr{A}^i}(t) \cdot h^i(t,x,u^i).$$

Sind die Funktionen h^i differenzierbar, dann setzen wir für die partiellen Ableitungen:

$$\begin{aligned} \mathscr{A} \circ h_t(t,x,u) &= \chi_{\mathscr{A}}(t) \circ h_t(t,x,u) = \sum_{i=1}^{k} \chi_{\mathscr{A}^i}(t) \cdot h^i_t(t,x,u^i), \\ \mathscr{A} \circ h_x(t,x,u) &= \chi_{\mathscr{A}}(t) \circ h_x(t,x,u) = \sum_{i=1}^{k} \chi_{\mathscr{A}^i}(t) \cdot h^i_x(t,x,u^i). \end{aligned}$$

3.2. Die Aufgabenstellung und das Maximumprinzip

Es sei $k \in \mathbb{N}$ die Anzahl der verschiedenen gegebenen Steuerungssysteme, die individuelle Integranden $f^i(t,x,u^i) : \mathbb{R} \times \mathbb{R}^n \times \mathbb{R}^{m_i} \to \mathbb{R}$, Dynamiken $\varphi^i(t,x,u^i) : \mathbb{R} \times \mathbb{R}^n \times \mathbb{R}^{m_i} \to \mathbb{R}^n$ und Steuerbereiche $U^i \subseteq \mathbb{R}^{m_i}$ besitzen können. Ferner seien

$$g_j(t,x) : \mathbb{R} \times \mathbb{R}^n \to \mathbb{R}, \quad j = 1, ..., l, \qquad h_\iota(x) : \mathbb{R}^n \to \mathbb{R}^{s_\iota}, \quad \iota = 0, 1.$$

Wir fassen die Steuerungssysteme durch die Setzungen

$$f = (f^1, ..., f^k), \qquad \varphi = (\varphi^1, ..., \varphi^k), \qquad U = U^1 \times ... \times U^k$$

zusammen. Mit den Vorbetrachtungen des letzten Abschnitts formulieren wir über $[t_0, t_1]$ die Aufgabe des optimalen Multiprozesses mit Zustandsbeschränkungen wie folgt:

$$J\big(x(\cdot), u(\cdot), \mathscr{A}\big) = \int_{t_0}^{t_1} \chi_{\mathscr{A}}(t) \circ f\big(t, x(t), u(t)\big) dt \to \inf, \tag{3.1}$$

$$\dot{x}(t) = \chi_{\mathscr{A}}(t) \circ \varphi\big(t, x(t), u(t)\big), \tag{3.2}$$

$$h_0\big(x(t_0)\big) = 0, \quad h_1\big(x(t_1)\big) = 0, \tag{3.3}$$

$$u(t) \in U = U^1 \times ... \times U^k, \quad U^i \neq \emptyset, \quad \mathscr{A} \in \mathscr{Z}^k([t_0, t_1]), \tag{3.4}$$

$$g_j\big(t, x(t)\big) \leq 0, \quad t \in [t_0, t_1], \quad j = 1, ..., l. \tag{3.5}$$

Die Aufgabe (3.1)–(3.5) mit Zustandsbeschränkungen betrachten wir bezüglich der Tripel

$$\big(x(\cdot), u(\cdot), \mathscr{A}\big) \in W_2^1([t_0, t_1], \mathbb{R}^n) \times L_\infty([t_0, t_1], U) \times \mathscr{Z}^k([t_0, t_1]).$$

Zu $x(\cdot)$ bezeichne V_γ die Menge $V_\gamma = \{(t,x) \in [t_0,t_1] \times \mathbb{R}^n \mid \|x - x(t)\| \le \gamma\}$. Dann gehören zur Menge $\mathscr{B}_{\mathrm{Lip}}$ diejenigen $x(\cdot) \in W_2^1([t_0,t_1],\mathbb{R}^n)$, für die es eine Zahl $\gamma > 0$ derart gibt, dass

(B) die Abbildungen $f^i(t,x,u^i)$, $\varphi^i(t,x,u^i)$, $h_\iota(x)$, $g_j(t,x)$ auf $V_\gamma \times U^i$ stetig in der Gesamtheit der Variablen und stetig differenzierbar bezüglich x sind.

Das Tripel $\big(x(\cdot),u(\cdot),\mathscr{A}\big) \in W_2^1([t_0,t_1],\mathbb{R}^n) \times L_\infty([t_0,t_1],U) \times \mathscr{Z}^k([t_0,t_1])$ heißt ein zulässiger Multiprozess in der Aufgabe (3.1)–(3.5), falls $\big(x(\cdot),u(\cdot),\mathscr{A}\big)$ dem System (3.2) genügt, die Randbedingungen (3.3) und die Zustandsbeschränkungen (3.5) erfüllt. Die Menge $\mathscr{B}_{\mathrm{adm}}$ bezeichnet die Menge der zulässigen Multiprozesse.

Ein zulässiger Multiprozess $\big(x_*(\cdot),u_*(\cdot),\mathscr{A}_*\big)$ ist eine starke lokale Minimalstelle der Aufgabe (3.1)–(3.5), falls eine Zahl $\varepsilon > 0$ derart existiert, dass die Ungleichung

$$J\big(x(\cdot),u(\cdot),\mathscr{A}\big) \ge J\big(x_*(\cdot),u_*(\cdot),\mathscr{A}_*\big)$$

für alle $\big(x(\cdot),u(\cdot),\mathscr{A}\big) \in \mathscr{B}_{\mathrm{adm}}$ mit $\|x(\cdot) - x_*(\cdot)\|_\infty \le \varepsilon$ gilt.

In der Aufgabe (3.1)–(3.5) definieren wir für die einzelnen Steuerungssysteme die partiellen Pontrjaginschen Funktionen $H^i : \mathbb{R} \times \mathbb{R}^n \times \mathbb{R}^{m_i} \times \mathbb{R}^n \times \mathbb{R} \to \mathbb{R}$ gemäß

$$H^i(t,x,u^i,p,\lambda_0) = \langle p, \varphi^i(t,x,u^i)\rangle - \lambda_0 f^i(t,x,u^i).$$

Dann heißt für die Aufgabe optimaler Multiprozesse die Funktion

$$\begin{aligned}\chi_{\mathscr{A}}(t) \circ H\big(t,x,u,p,\lambda_0\big) &= \sum_{i=1}^{k} \chi_{\mathscr{A}^i}(t) \cdot H^i(t,x,u^i,p,\lambda_0) \\ &= \sum_{i=1}^{k} \chi_{\mathscr{A}^i}(t) \cdot \big(\langle p, \varphi^i(t,x,u^i)\rangle - \lambda_0 f^i(t,x,u^i)\big)\end{aligned}$$

mit $H : \mathbb{R} \times \mathbb{R}^n \times \mathbb{R}^{m_1+\ldots+m_k} \times \mathbb{R}^n \times \mathbb{R} \to \mathbb{R}^k$ die Pontrjaginsche Funktion.

Theorem 3.2 (Pontrjaginsches Maximumprinzip)**.** *Sei* $\big(x_*(\cdot),u_*(\cdot),\mathscr{A}_*\big) \in \mathscr{B}_{\mathrm{adm}} \cap \mathscr{B}_{\mathrm{Lip}}$. *Ist* $\big(x_*(\cdot),u_*(\cdot),\mathscr{A}_*\big)$ *ein starkes lokales Minimum der Aufgabe (3.1)–(3.5), dann existieren eine Zahl* $\lambda_0 \ge 0$, *eine Vektorfunktion* $p(\cdot) : [t_0,t_1] \to \mathbb{R}^n$ *und auf den Mengen*

$$T_j = \big\{t \in [t_0,t_1] \,\big|\, g_j\big(t,x_*(t)\big) = 0\big\}, \quad j = 1,\ldots,l,$$

konzentrierte nichtnegative reguläre Borelsche Maße μ_j *endlicher Totalvariation (wobei sämtliche Größen nicht gleichzeitig verschwinden) derart, dass*

(a) die Vektorfunktion $p(\cdot)$ *von beschränkter Variation ist und der adjungierten Gleichung*

$$\begin{aligned}p(t) &= -{h_1'}^T\big(x_*(t_1)\big)\, l_1 + \int_t^{t_1} \chi_{\mathscr{A}_*}(s) \circ H_x\big(s,x_*(s),u_*(s),p(s),\lambda_0\big) ds \\ &\quad - \sum_{j=1}^{l} \int_t^{t_1} g_{jx}\big(s,x_*(s)\big) d\mu_j(s) \qquad (3.6)\end{aligned}$$

genügt und die folgenden Transversalitätsbedingungen erfüllt:

$$p(t_0) = h_0'^{\,T}\big(x_*(t_0)\big)l_0, \qquad p(t_1) = -h_1'^{\,T}\big(x_*(t_1)\big)l_1; \tag{3.7}$$

(b) für fast alle $t \in [t_0, t_1]$ die Maximumbedingung gilt:

$$\chi_{\mathscr{A}_*}(t) \circ H\big(t, x_*(t), u_*(t), p(t), \lambda_0\big) = \max_{\substack{u^i \in U^i \\ 1 \le i \le k}} H^i\big(t, x_*(t), u^i, p(t), \lambda_0\big). \tag{3.8}$$

Bemerkung 3.3. Mit den Hamilton-Funktionen

$$\begin{aligned} \mathscr{H}(t, x, p, \lambda_0) &= \chi_{\mathscr{A}_*}(t) \circ H\big(t, x, u_*(t), p, \lambda_0\big), \\ \mathscr{H}^i(t, x, p, \lambda_0) &= H^i\big(t, x, u_*(t), p, \lambda_0\big) \end{aligned}$$

liefert die Maximumbedingung (3.8) bezüglich der optimalen Wechselstrategie die Beziehung

$$\mathscr{H}\big(t, x_*(t), p(t), \lambda_0\big) = \max_{1 \le i \le k} \mathscr{H}^i\big(t, x_*(t), p(t), \lambda_0\big),$$

die man auch als Prinzip der konkurrierenden Hamilton-Funktionen bezeichnet. □

Wir wenden uns der Aufgabe mit freiem Anfangs- und Endzeitpunkt zu:

$$J\big(x(\cdot), u(\cdot), \mathscr{A}\big) = \int_{t_0}^{t_1} \chi_{\mathscr{A}}(t) \circ f\big(t, x(t), u(t)\big)dt \to \inf, \tag{3.9}$$

$$\dot{x}(t) = \chi_{\mathscr{A}}(t) \circ \varphi\big(t, x(t), u(t)\big), \tag{3.10}$$

$$h_0\big(t_0, x(t_0)\big) = 0, \quad h_1\big(t_1, x(t_1)\big) = 0, \tag{3.11}$$

$$u(t) \in U = U^1 \times ... \times U^k, \quad U^i \neq \emptyset, \quad \mathscr{A} \in \mathscr{Z}^k([t_0, t_1]), \tag{3.12}$$

$$g_j\big(t, x(t)\big) \le 0, \quad t \in [t_0, t_1], \quad j = 1, ..., l. \tag{3.13}$$

Die Aufgabe (3.9)–(3.13) betrachten wir bezüglich

$$\big(x(\cdot), u(\cdot), \mathscr{A}\big) \in W_2^1([t_0, t_1], \mathbb{R}^n) \times L_\infty([t_0, t_1], U) \times \mathscr{Z}^k([t_0, t_1]), \qquad [t_0, t_1] \subset \mathbb{R}.$$

Außerdem bezeichnet V_γ zur Trajektorie $x(\cdot)$ die Menge

$$V_\gamma = \{(t, x) \in [t_0, t_1] \times \mathbb{R}^n \,|\, \|x - x(t)\| \le \gamma\}.$$

Dann gehören zur Menge $\mathscr{B}^\star_{\mathrm{Lip}}$ diejenigen $x(\cdot) \in W_2^1([t_0, t_1], \mathbb{R}^n)$, für die es eine Zahl $\gamma > 0$ derart gibt, dass

(B*) die Abbildungen $f^i(t, x, u^i)$, $\varphi^i(t, x, u^i)$, $h_\iota(t, x)$, $g_j(t, x)$ auf $V_\gamma \times U^i$ stetig in der Gesamtheit der Variablen und stetig differenzierbar bezüglich t und x sind.

Wir nennen $\big(x(\cdot), u(\cdot), \mathscr{A}, [t_0, t_1]\big)$ mit $x(\cdot) \in W^1_\infty\big([t_0, t_1], \mathbb{R}^n\big)$, $u(\cdot) \in L^\infty\big([t_0, t_1], U\big)$, $\mathscr{A} \in \mathscr{Z}^k([t_0, t_1])$ und $[t_0, t_1] \subset \mathbb{R}$ einen Multiprozess mit freiem Anfangs- und Endzeitpunkt. Ein Multiprozess mit freiem Anfangs- und Endzeitpunkt heißt zulässig in der Aufgabe (3.9)–(3.13), wenn auf dem Intervall $[t_0, t_1]$ die Funktion $x(\cdot)$ fast überall der Gleichung (3.10) genügt, die Randbedingungen (3.11) und die Zustandsbeschränkungen (3.13) erfüllt. Die Menge $\mathscr{B}_{\rm adm}$ bezeichnet die Menge der zulässigen Multiprozesse.

Ein zulässiger Multiprozess $\big(x_*(\cdot), u_*(\cdot), \mathscr{A}_*, [t_{0*}, t_{1*}]\big)$ ist ein starkes lokales Minimum, wenn eine Zahl $\varepsilon > 0$ derart existiert, dass für jeden anderen zulässigen Multiprozess $\big(x(\cdot), u(\cdot), \mathscr{A}, [t_0, t_1]\big)$ mit den Eigenschaften

$$|t_0 - t_{0*}| < \varepsilon, \quad |t_1 - t_{1*}| < \varepsilon, \qquad \|x(t) - x_*(t)\| < \varepsilon \quad \text{für jedes } t \in [t_{0*}, t_{1*}] \cap [t_0, t_1]$$

folgende Ungleichung gilt:

$$J\big(x(\cdot), u(\cdot), \mathscr{A}\big) \geq J\big(x_*(\cdot), u_*(\cdot), \mathscr{A}_*\big).$$

In der Aufgabe (3.9)–(3.13) bezeichnet

$$\mathscr{H}(t, x, p, \lambda_0) = \max_{\substack{u^i \in U_i \\ 1 \leq i \leq k}} H_i(t, x, u^i, p, \lambda_0)$$

die Hamilton-Funktion.

Theorem 3.4 (Pontrjaginsches Maximumprinzip)**.** *In der Aufgabe (3.9)–(3.13) sei der Multiprozess* $\big(x_*(\cdot), u_*(\cdot), \mathscr{A}_*, [t_{0*}, t_{1*}]\big) \in \mathscr{B}_{\rm adm} \cap \mathscr{B}^\star_{\rm Lip}$. *Ist* $\big(x_*(\cdot), u_*(\cdot), \mathscr{A}_*, [t_{0*}, t_{1*}]\big)$ *ein starkes lokales Minimum der Aufgabe (3.9)–(3.13), dann existieren* $\lambda_0 \geq 0$, *eine Vektorfunktion* $p(\cdot) : [t_{0*}, t_{1*}] \to \mathbb{R}^n$ *und auf den Mengen*

$$T_j = \big\{t \in [t_{0*}, t_{1*}] \,\big|\, g_j\big(t, x_*(t)\big) = 0\big\}, \quad j = 1, ..., l,$$

konzentrierte nichtnegative reguläre Borelsche Maße μ_j *endlicher Totalvariation (wobei sämtliche Größen nicht gleichzeitig verschwinden) derart, dass*

(a) die Vektorfunktion $p(\cdot)$ *von beschränkter Variation ist und der adjungierten Gleichung*

$$\begin{aligned} p(t) \;=\; & -h^T_{1x}\big(t_{1*}, x_*(t_{1*})\big) l_1 + \int_t^{t_{1*}} \chi_{\mathscr{A}_*}(s) \circ H_x\big(s, x_*(s), u_*(s), p(s), \lambda_0\big)\, ds \\ & - \sum_{j=1}^{l} \int_t^{t_{1*}} g_{jx}\big(s, x_*(s)\big) d\mu_j(s) \end{aligned} \tag{3.14}$$

genügt und die folgenden Transversalitätsbedingungen erfüllt:

$$p(t_{0*}) = h^T_{0x}\big(t_{0*}, x_*(t_{0*})\big) l_0, \qquad p(t_{1*}) = -h^T_{1x}\big(t_{1*}, x_*(t_{1*})\big) l_1; \tag{3.15}$$

(b) für fast alle $t \in [t_{0*}, t_{1*}]$ die Maximumbedingung gilt:

$$\chi_{\mathscr{A}_*}(t) \circ H\big(t, x_*(t), u_*(t), p(t), \lambda_0\big) = \max_{\substack{u^i \in U^i \\ 1 \le i \le k}} H^i\big(t, x_*(t), u^i, p(t), \lambda_0\big). \tag{3.16}$$

(c) die Hamilton-Funktion eine Funktion beschränkter Variation ist und folgende Beziehungen gelten:

$$\begin{aligned} \mathscr{H}\big(t, x_*(t), p(t), \lambda_0\big) &= \big\langle h_{1t}\big(t_{1*}, x_*(t_{1*})\big), l_1\big\rangle \\ &\quad - \int_t^{t_{1*}} \chi_{\mathscr{A}_*}(s) \circ H_t\big(s, x_*(s), u_*(s), p(s), \lambda_0\big)\, ds \\ &\quad + \sum_{j=1}^{l} \int_t^{t_{1*}} g_{jt}\big(s, x_*(s)\big) d\mu_j(s), \end{aligned} \tag{3.17}$$

$$\mathscr{H}\big(t_{0*}, x_*(t_{0*}), p(t_{0*}), \lambda_0\big) = -\big\langle h_{0t}\big(t_{0*}, x_*(t_{0*})\big), l_0\big\rangle. \tag{3.18}$$

Beweisskizze Wir gehen zunächst auf des Maximumprinzip für Multiprozesse mit freiem Anfangs- und Endzeitpunkt ein. Nutzen wir die Methode der Substitution der Zeit aus Abschnitt 1.3.5, so folgt Theorem 3.4 aus dem Maximumprinzip für die Aufgabe mit festem Zeitintervall. Demnach reicht es aus, lediglich auf den Nachweis von Theorem 3.2 einzugehen.

Jedes einzelne Steuerungssystem der Aufgabe (3.1)–(3.5) genügt der Voraussetzung **(B)** im Abschnitt 2.5 über Aufgaben mit Zustandsbeschränkungen. Wir weisen auf die Ungleichung

$$\|\chi_{\mathscr{A}}(t) \circ h(t, x, u)\| \le \sum_{i=1}^{k} \|h^i(t, x, u^i)\|$$

für eine Vektorfunktion hin. Ebenso wie im Abschnitt 2.5.2 überführen wir die Aufgabe (3.1)–(3.5) in eine Extremalaufgabe. Dabei seien

$$\begin{aligned} \tilde{J}\big(\xi(\cdot), u(\cdot), \mathscr{A}\big) &= \int_{t_0}^{t_1} \chi_{\mathscr{A}}(t) \circ f\big(t, x_*(t) + \xi(t), u(t)\big)\, dt, \\ F\big(\xi(\cdot), u(\cdot), \mathscr{A}\big)(t) &= \big(x_*(t) + \xi(t)\big) - \big(x_*(t_0) + \xi(t_0)\big) \\ &\quad - \int_{t_0}^{t} \chi_{\mathscr{A}}(s) \circ \varphi\big(s, x_*(s) + \xi(s), u(s)\big)\, ds, \quad t \in [t_0, t_1]. \end{aligned}$$

Dann besitzt die Extremalaufgabe $\tilde{J}\big(\xi(\cdot), u(\cdot), \mathscr{A}\big) \to \inf$ unter den Nebenbedingungen

$$F\big(\xi(\cdot), u(\cdot), \mathscr{A}\big) = 0, \quad H_i\big(\xi(\cdot)\big) = 0,\ i = 0, 1, \quad G_j\big(\xi(\cdot)\big) \le 0,\ j = 1, ..., l,$$

alle notwendigen Eigenschaften. Insbesondere sind die Beziehungen (2.32)–(2.34) in Abschnitt 2.3.3 gleichmäßig für alle Steuerungssysteme erfüllt.

Es bleibt zu klären, ob die mehrfachen Nadelvariationen bezüglich der Wechselstrategie als Steuerungsvariable geeignet festgelegt werden können. Die Zerlegungen in Abschnitt 3.1 besitzen die Eigenschaft, dass für $\chi_{\mathscr{A}}(\cdot), \chi_{\mathscr{B}}(\cdot) \in \mathscr{Y}^k(I)$ und für die messbare Teilmenge $M \subseteq I$ die Funktion

$$\chi_{\mathscr{A}}(\cdot) + \chi_M(\cdot) \cdot \big(\chi_{\mathscr{A}}(\cdot) - \chi_{\mathscr{B}}(\cdot)\big)$$

wieder zur Menge $\mathscr{Y}^k(I)$ gehört, dann sind die mehrfachen Nadelvariationen

$$\chi_{\mathscr{A}_\alpha}(t) = \chi_{\mathscr{A}_*}(t) + \sum_{i=1}^{d} \chi_{M_i(\alpha_i)}(t) \cdot \big(\chi_{\mathscr{A}_i}(t) - \chi_{\mathscr{A}_*}(t)\big)$$

bezüglich der Wechselstrategien auf den Trägermengen $M_i(\alpha)$ wohldefiniert.

Damit lassen sich sämtliche Beweisschritte des Extremalprinzips 2.21 unmittelbar übernehmen. Dabei liefert das Extremalprinzip für die Lagrange-Funktion

$$\begin{aligned}\mathscr{L}\big(\xi(\cdot), u(\cdot), \mathscr{A}, y^*, \lambda_0, \lambda_1, ..., \lambda_l, l_0, l_1\big) &= \lambda_0 \tilde{J}\big(\xi(\cdot), u(\cdot), \mathscr{A}\big) \\ &+ \big\langle y^*, F\big(\xi(\cdot), u(\cdot), \mathscr{A}\big)\big\rangle + \sum_{j=1}^{l} \lambda_j G_j\big(\xi(\cdot)\big) + l_0^T H_0\big(\xi(\cdot)\big) + l_1^T H_1\big(\xi(\cdot)\big)\end{aligned}$$

die Beziehung

$$0 \in \partial_\xi \mathscr{L}\big(\xi_0(\cdot), u_*(\cdot), \mathscr{A}_*, y^*, \lambda_0, \lambda_1, ..., \lambda_l, l_0, l_1\big),$$

die Minimumbedingung

$$\begin{aligned}&\mathscr{L}\big(\xi_0(\cdot), u_*(\cdot), \mathscr{A}_*, y^*, \lambda_0, \lambda_1, ..., \lambda_l, l_0, l_1\big) \\ &\quad = \min_{\substack{u(\cdot) \in L_\infty([t_0,t_1],U) \\ \mathscr{A} \in \mathscr{Z}^k([t_0,t_1])}} \mathscr{L}\big(\xi_0(\cdot), u(\cdot), \mathscr{A}, y^*, \lambda_0, \lambda_1, ..., \lambda_l, l_0, l_1\big)\end{aligned}$$

und die komplentären Schlupfbedingungen

$$\lambda_j G_j\big(\xi_0(\cdot)\big) = 0, \qquad j = 1, ..., l.$$

Dazu wird gezeigt, dass $\big(\xi^\varepsilon(\cdot), u^\varepsilon(\cdot), \mathscr{A}^\varepsilon\big)$,

$$\xi^\varepsilon(\cdot) = \xi_0(\cdot) + \varepsilon\overline{\xi}(\cdot) + r^\varepsilon(\cdot), \quad u^\varepsilon(\cdot) = u_{\varepsilon\overline{\alpha}+\alpha^\varepsilon}(\cdot), \quad \chi_{\mathscr{A}^\varepsilon}(\cdot) = \chi_{\mathscr{A}_{\varepsilon\overline{\alpha}+\alpha^\varepsilon}}(\cdot),$$

zulässige Variationen bilden, für die

$$\tilde{J}\big(\xi^\varepsilon(\cdot), u^\varepsilon(\cdot), \mathscr{A}^\varepsilon\big) \le \tilde{J}\big(\xi_0(\cdot), u_*(\cdot), \mathscr{A}_*\big) - \varepsilon c + o(\varepsilon)$$

bzw. mit $x^\varepsilon(\cdot) = x_*(\cdot) + \varepsilon\overline{\xi}(\cdot) + r^\varepsilon(\cdot)$ in der äquivalenten Form

$$J\big(x^\varepsilon(\cdot), u^\varepsilon(\cdot), \mathscr{A}^\varepsilon\big) \le J\big(x_*(\cdot), u_*(\cdot), \mathscr{A}_*\big) - \varepsilon c + o(\varepsilon)$$

im Widerspruch zur starken lokalen Optimalität von $\big(x_*(\cdot), u_*(\cdot), \mathscr{A}_*\big)$ gilt. Die notwendigen Bedingungen in Form des Maximumprinzips ergeben sich abschließend wie im Abschnitt 2.5.4. ■

3.3. Ein Investitionsmodell

Wir untersuchen ein Investitionsmodell, dass sich aus dem linearen und dem konkaven Beispielen 1.29, 1.30 zusammensetzt:

$$\begin{aligned}
&J\big(x(\cdot),u(\cdot),\mathscr{A}\big)=\int_0^T \chi_{\mathscr{A}}(t)\circ f\big(t,x(t),u(t)\big)dt\to\sup,\\
&\dot{x}(t)=\chi_{\mathscr{A}}(t)\circ\varphi\big(t,x(t),u(t)\big),\quad x(0)=x_0>0,\\
&u(t)\in[0,1],\quad \mathscr{A}=\{\mathscr{A}^1,\mathscr{A}^2\}\in\mathscr{Z}^2([0,T]),
\end{aligned}$$

mit den einzelnen Steuerungssystemen

$$\begin{aligned}
&f^1(t,x,u^1)=(1-u^1)x, \quad \varphi^1(t,x,u^1)=u^1x,\\
&f^2(t,x,u^2)=(1-u^2)x^\alpha, \quad \varphi^2(t,x,u^2)=u^2x^\alpha,
\end{aligned}\qquad U^1=U^2=[0,1]$$

und mit den Modellparametern

$$\alpha\in(0,1)\text{ konstant},\qquad T\text{ fest mit }T>\max\left\{1,\frac{x_0^{1-\alpha}}{\alpha}\right\}.$$

Da $U^1=U^2$ ist, unterscheiden wir nicht zwischen den Steuervariablen $u^1=u^2$ und schreiben u. Wir wenden Theorem 3.2 mit $\lambda_0=1$ an. Es gilt nach (3.8):

$$\begin{aligned}
&\chi_{\mathscr{A}_*}(t)\circ H\big(t,x_*(t),u_*(t),p(t),1\big)=\max_{i\in\{1,2\}}H^i\big(t,x_*(t),u_*(t),p(t),1\big)\\
&=\max_{i\in\{1,2\}}\Big\{\max_{u\in[0,1]}\big[\big(p(t)-1\big)u+1\big]\cdot x_*(t),\max_{u\in[0,1]}\big[\big(p(t)-1\big)u+1\big]\cdot x_*^\alpha(t)\Big\}.
\end{aligned}$$

Dies können wir weiterhin in die Form

$$\max_{u\in[0,1]}\big[\big(p(t)-1\big)u\big]\cdot\max_{i\in\{1,2\}}\{x_*(t),x_*^\alpha(t)\}$$

bringen. Daraus erhalten wir für die optimale Investitionsrate und Wechselstrategie

$$u_*(t)=\begin{cases}1, & p(t)<1,\\ 0, & p(t)>1,\end{cases}\qquad \chi_{\mathscr{A}_*}(t)=\begin{cases}(1,0), & x_*(t)>1,\\ (0,1), & 0<x_*(t)<1.\end{cases}$$

Die Funktion $p(\cdot)$ ist die Lösung der adjungierten Gleichung (3.6):

$$\dot{p}(t)=\begin{cases}-\big[\big(p(t)-1\big)u_*(t)+1\big], & t\in\mathscr{A}_1,\\ -\big[\big(p(t)-1\big)u_*(t)+1\big]\cdot\alpha x_*^{\alpha-1}(t), & t\in\mathscr{A}_2,\end{cases}\qquad p(T)=0.$$

Betrachten wir die einzelnen Steuerungssysteme, so sind nach den Beispielen 1.29, 1.30 durch $t_1=T-1$ bzw. $t_2=\alpha T-x_0^{1-\alpha}$ die Zeitpunkte für den optimalen Wechsel von vollständiger Investition in komplette Kosumption gegeben. Außerdem ist für die Lösung

$x(\cdot)$ der Differentiagleichung $\dot{x}(t) = x^\alpha(t)$ mit $x_0 \in (0,1)$ der Zeitpunkt σ, in dem $x(\sigma) = 1$ gilt, durch $\sigma = \frac{1-x_0^{1-\alpha}}{1-\alpha}$ bestimmt. Im Weiteren seien also

$$t_1 = T - 1, \qquad t_2 = \alpha T - x_0^{1-\alpha}, \qquad \sigma = \frac{1 - x_0^{1-\alpha}}{1-\alpha}.$$

Wir diskutieren die einzelnen möglichen Szenarien:

(a) Sei $x_0 \geq 1$: In diesem Fall lautet die Lösung

$$x_*(t) = \begin{cases} x_0 \cdot e^t, & t \in [0, t_1), \\ x_0 \cdot e^{t_1}, & t \in [t_1, T], \end{cases} \qquad u_*(t) = \begin{cases} 1, & t \in [0, t_1), \\ 0, & t \in [t_1, T], \end{cases}$$
$$\chi_{\mathscr{A}_*}(t) = (1,0), \qquad J\big(x_*(\cdot), u_*(\cdot), \mathscr{A}_*\big) = x_0 \cdot e^{t_1}.$$

(b) Seien $x_0 < 1$ und $T < \frac{1-\alpha x_0^{1-\alpha}}{\alpha(1-\alpha)}$: Dann lautet die Lösung

$$y_*(t) = \begin{cases} \big[(1-\alpha)t + x_0^{1-\alpha}\big]^{\frac{1}{1-\alpha}}, & t \in [0, t_2), \\ \big[\alpha(1-\alpha)T + \alpha x_0^{1-\alpha}\big]^{\frac{1}{1-\alpha}}, & t \in [t_2, T], \end{cases} \qquad v_*(t) = \begin{cases} 1, & t \in [0, t_2), \\ 0, & t \in [t_2, T], \end{cases}$$
$$\chi_{\mathscr{B}_*}(t) = (0,1), \qquad J\big(y_*(\cdot), v_*(\cdot), \mathscr{B}_*\big) = \alpha^{\frac{\alpha}{1-\alpha}} \cdot \big[(1-\alpha)T + x_0^{1-\alpha}\big]^{\frac{1}{1-\alpha}}.$$

(c) Seien $x_0 < 1$ und $T > \frac{1-\alpha x_0^{1-\alpha}}{\alpha(1-\alpha)}$: Nun erhalten wir die Lösung

$$z_*(t) = \begin{cases} \big[(1-\alpha)t + x_0^{1-\alpha}\big]^{\frac{1}{1-\alpha}}, & t \in [0, \sigma), \\ e^{t-\sigma}, & t \in [\sigma, t_1), \\ e^{t_1-\sigma}, & t \in [t_1, T], \end{cases} \qquad w_*(t) = \begin{cases} 1, & t \in [0, t_1), \\ 0, & t \in [t_1, T], \end{cases}$$
$$\chi_{\mathscr{C}_*}(t) = \begin{cases} (0,1), & t \in [0, \sigma), \\ (1,0), & t \in [\sigma, T], \end{cases} \qquad J\big(z_*(\cdot), w_*(\cdot), \mathscr{C}_*\big) = e^{T-1-\sigma}.$$

(d) Seien $x_0 < 1$ und $T = \frac{1-\alpha x_0^{1-\alpha}}{\alpha(1-\alpha)}$: Wegen $\sigma = t_2$ sind alle Bedingungen von Theorem 3.2 für die Multiprozesse $\big(y_*(\cdot), v_*(\cdot), \mathscr{B}_*\big)$ und $\big(z_*(\cdot), w_*(\cdot), \mathscr{C}_*\big)$ erfüllt.
Sei $n_0 \in \mathbb{N}$ mit $n_0 > \alpha/(1-\alpha)$. Für $n \geq n_0$ betrachten wir die Steuerungen

$$v_n(t) = v_*(t) + \chi_{[\sigma, \sigma + \frac{1}{n})}(t) \cdot \big(w_*(t) - v_*(t)\big), \quad \chi_{\mathscr{B}_n}(t) = \chi_{\mathscr{C}_*}(t),$$

die wie im Fall (c) einen Wechsel des Steuerungssystems zum Zeitpunkt $t = \sigma = t_2$ und eine verlängerte Investitionsphase vorgeben. Für den zugehörigen Kapitalbestand $y_n(\cdot)$ gilt $\|y_n(\cdot) - y_*(\cdot)\|_\infty = e^{\frac{1}{n}} - 1$ und für den Wert des Zielfunktionals

$$J\big(y_n(\cdot), v_n(\cdot), \mathscr{B}_n\big) - J\big(y_*(\cdot), v_*(\cdot), \mathscr{B}_*\big) = e^{\frac{1}{n}}\left(T - \sigma - \frac{1}{n}\right) - (T - \sigma)$$
$$> \left(1 + \frac{1}{n}\right)\left(\frac{1}{\alpha} - \frac{1}{n}\right) - \frac{1}{\alpha} = \frac{1}{n}\left(\frac{1}{\alpha} - 1 - \frac{1}{n}\right) > 0 \quad \text{für alle } n \geq n_0.$$

Daher stellt $\big(y_*(\cdot), v_*(\cdot), \mathscr{B}_*\big)$ in diesem Fall kein starkes lokales Maximum dar. Der Multiprozess $\big(z_*(\cdot), w_*(\cdot), \mathscr{C}_*\big)$ ist die eindeutige Lösung.

3.4. Zeitoptimale Steuerung gekoppelter Kompartimente

Kompartimentmodelle sind vereinfachte Darstellungen für komplexe Abläufe und Interaktionen. Anwendungen finden sie z. B. bei der Abbildung von Mischungsprozessen oder der chemischen Reaktionskinetik oder bei einer medikamentösen Dauertherapie (Heuser [35]).

Das System in Abbildung 3 zeigt zwei gekoppelte Behälter, die mit einer Flüssigkeit gefüllt sind. In diesem Modell besteht die Kopplung der Behälter durch den zustandsabhängigen Zufluss ax_1 vom ersten in den zweiten Behälter. Der zweite Behälter gibt seinen Inhalt mit der Rate ax_2 an die Umwelt ab. Die beiden Steuerungssysteme bestehen einerseits aus dem Auffüllen der Behälter mit konstanter Rate A, die zwischen beiden Behältern durch die Steuerung u aufgeteilt wird. Andererseits kann die Befüllung komplett gestoppt werden.

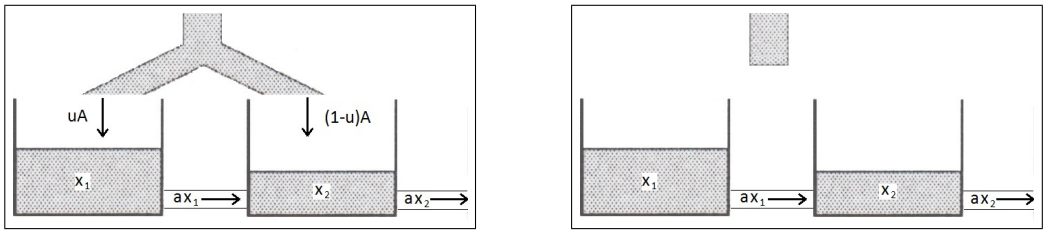

Abbildung 3: Die Behälter in den verschiedenen Steuerungssystemen.

Dies liefert folgende Dynamiken in den jeweiligen Steuerungssystemen:

$$\begin{aligned} \dot{x}_1(t) &= -ax_1(t) + u(t)A, & \dot{x}_1(t) &= -ax_1(t), \\ \dot{x}_2(t) &= ax_1(t) - ax_2(t) + (1-u(t))A, & \dot{x}_2(t) &= ax_1(t) - ax_2(t). \end{aligned}$$

Dabei beachte man, dass die ungesteuerte zweite Dynamik kein Spezialfall der ersten Dynamik ist. In diesem Modell besteht das Ziel darin, die Anfangszustände (x_1^0, x_2^0) in kürzester Zeit in einen Sollzustand (x_1^f, x_2^f) zu überführen. Die Aufgabe des zeitoptimalen Multiprozesses lautet damit:

$$J\big(x(\cdot), u(\cdot), \mathscr{A}\big) = \int_0^T 1\,dt \to \inf, \tag{3.19}$$

$$\dot{x}(t) = \chi_{\mathscr{A}}(t) \circ \varphi\big(t, x(t), u(t)\big), \tag{3.20}$$

$$\big(x_1(0), x_2(0)\big) = (x_1^0, x_2^0), \qquad \big(x_1(T), x_2(T)\big) = (x_1^f, x_2^f), \tag{3.21}$$

$$u(t) \in [0,1], \quad \mathscr{A} \in \mathscr{Z}^2([0,T]), \quad a, A > 0. \tag{3.22}$$

Wir wenden Theorem 3.4 an: Die Pontrjagin-Funktion der Aufgabe (3.19)–(3.22) lautet

$$\mathscr{A} \circ H(t,x,u,p,q,\lambda_0) = \begin{cases} p[-ax_1 + uA] + q[ax_1 - ax_2 + (1-u)A] - \lambda_0, & t \in \mathscr{A}_1, \\ p[-ax_1] + q[ax_1 - ax_2] - \lambda_0, & t \in \mathscr{A}_2. \end{cases}$$

Unabhängig von $\mathscr{A}$ erhalten wir daraus für die Adjungierten $p(\cdot), q(\cdot)$:

$$\begin{pmatrix} \dot{p}(t) \\ \dot{q}(t) \end{pmatrix} = a \cdot \begin{pmatrix} p(t) - q(t) \\ q(t) \end{pmatrix} \qquad \Rightarrow \qquad \begin{pmatrix} p(t) \\ q(t) \end{pmatrix} = e^{at} \cdot \begin{pmatrix} p_0 - atq_0 \\ q_0 \end{pmatrix}. \tag{3.23}$$

Die Maximumbedingung (3.16) ist äquivalent zur Maximierungsaufgabe

$$\max_{i\in\{1,2\}} \Big\{ \max_{u\in[0,1]} [up(t) + (1-u)q(t)],\ 0 \Big\}. \tag{3.24}$$

Außerdem folgt, da die Aufgabe autonom ist, $\mathscr{H}\big(t, x_*(t), p(t), \lambda_0\big) \equiv 0$.

Zur Auswertung der Maximierungsaufgabe (3.24) sind die Relation zwischen $p(t), q(t)$ und $r(t) \equiv 0$ zu klären. Zunächst gilt $(p_0, q_0) \neq (0, 0)$ in (3.23), denn sonst würde für

(i) $\lambda_0 = 0$ der Fall trivialer Multiplikatoren in Theorem 3.4 bzw.

(ii) $\lambda_0 \neq 0$ ein Widerspruch zu $\mathscr{H}\big(t, x_*(t), p(t), \lambda_0\big) \equiv 0$

auftreten. Dann ergeben sich in Abhängigkeit von $q_0 \in \mathbb{R}$ folgende Situation für die Adjungierten, wobei σ den möglichen Schnittpunkt der Graphen von $p(\cdot)$ und $q(\cdot)$ bezeichnet:

(1) $q_0 = 0$: $p(t) > q(t) \equiv 0$ für $p_0 > 0$ oder $p(t) < q(t) \equiv 0$ für $p_0 < 0$.

(2) $q_0 > 0$: $p(t) < q(t)$ für $p_0 \leq q_0$ und $t > 0$ oder es existiert $\sigma > 0$ für $p_0 > q_0$.

(3) $q_0 < 0$: $p(t) > q(t)$ für $p_0 \geq q_0$ und $t > 0$ oder es existiert $\sigma > 0$ für $p_0 < q_0$.

Beachten wir nun weiterhin die optimale Stoppzeit T_* und die mögliche Nullstelle σ_0 von $p(\cdot)$, dann ergeben sich folgende Wechselstrategien $\mathscr{A}_*$ und Steuerungen $u_*(t)$:

(a) Es ist nur ein Steuerungssystem aktiv auf $[0, T_*]$, wenn

(i) $p(t) > \max\{q(t), 0\}$ für alle $t \in (0, T_*)$ und es ist

$$\big(u_*(t), \chi_{\mathscr{A}_*^1}(t), \chi_{\mathscr{A}_*^2}(t)\big) \equiv (1, 1, 0);$$

(ii) $q(t) > \max\{p(t), 0\}$ für alle $t \in (0, T_*)$ und es ist

$$\big(u_*(t), \chi_{\mathscr{A}_*^1}(t), \chi_{\mathscr{A}_*^2}(t)\big) \equiv (0, 1, 0);$$

(iii) $0 > \max\{p(t), q(t)\}$ für alle $t \in (0, T_*)$ und es ist

$$\big(\chi_{\mathscr{A}_*^1}(t), \chi_{\mathscr{A}_*^2}(t)\big) \equiv (0, 1).$$

(b) Es gibt einen Strategiewechsel, und zwar wenn

(i) $p_0 > q_0 > 0$ und $\sigma \in (0, T_*)$:

$$\big(u_*(t), \chi_{\mathscr{A}_*^1}(t), \chi_{\mathscr{A}_*^2}(t)\big) = (1,1,0) \quad \longrightarrow \quad \big(u_*(t), \chi_{\mathscr{A}_*^1}(t), \chi_{\mathscr{A}_*^2}(t)\big) = (0,1,0);$$

(ii) $p_0, q_0 < 0$ und $\sigma_0 \in (0, T_*)$:

$$\big(\chi_{\mathscr{A}_*^1}(t), \chi_{\mathscr{A}_*^2}(t)\big) = (0,1) \quad \longrightarrow \quad \big(u_*(t), \chi_{\mathscr{A}_*^1}(t), \chi_{\mathscr{A}_*^2}(t)\big) = (1,1,0).$$

(c) Der Strategiewechsel ist nicht eindeutig bestimmbar, wenn $p_0 < q_0 = 0$:

$$\big(u_*(t), \chi_{\mathscr{A}_*^1}(t), \chi_{\mathscr{A}_*^2}(t)\big) = (0,1,0) \quad \longleftrightarrow \quad \big(\chi_{\mathscr{A}_*^1}(t), \chi_{\mathscr{A}_*^2}(t)\big) = (0,1).$$

Zur Illustration sei $a = 1$, $A = 10$, $x_1^0, x_2^0 \in [0,10]$ und $(x_1^f, x_2^f) = (5,5)$. Die Zustände $\big(x_*^1(t), x_*^2(t)\big)$, die zu den Steuerungen und dem aktiven System im Fall (a) gehören, teilen das Phasendiagramm $(x_1, x_2) \in [0,10] \times [0,10]$ in die Bereiche X, Y, Z ein (Abbildung 4).

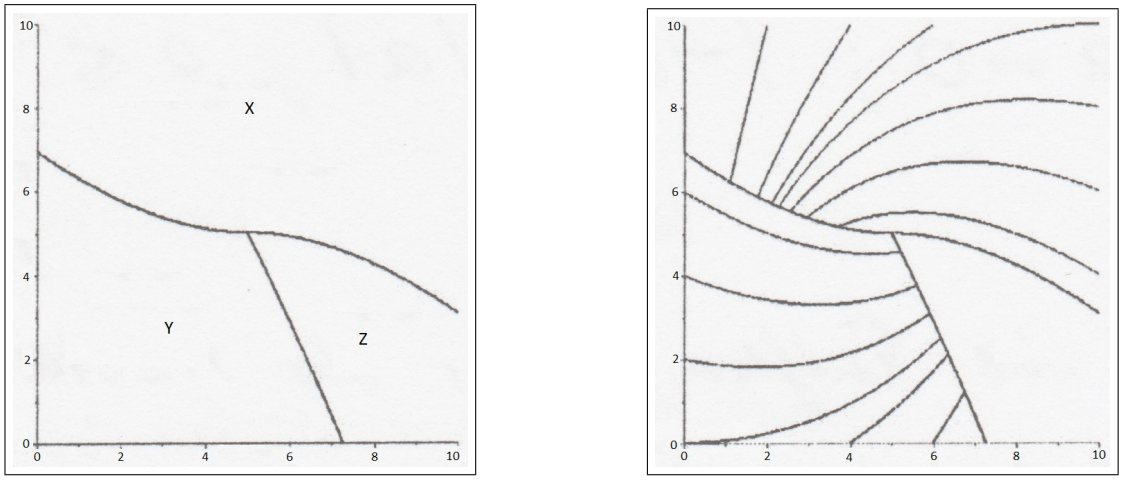

Abbildung 4: Die Einteilung des Phasendiagramms und die optimalen Trajektorien.

Zur Erläuterung der Vorgänge innerhalb der einzelnen Bereiche:

(X) Die optimale Steuerung und Wechselstrategie wird durch (ii) im Fall (b) gegeben. Zur Zeit $t = \sigma_0$ erreicht die Trajektorie $\big(x_*^1(t), x_*^2(t)\big)$ den Rand des Bereiches X.

(Y) Die optimale Steuerung und Wechselstrategie wird durch (i) im Fall (b) gegeben. Zur Zeit $t = \sigma$ erreicht die Trajektorie $\big(x_*^1(t), x_*^2(t)\big)$ den Rand des Bereiches Y.

(Z) Die optimale Strategie ist nicht eindeutig, denn es tritt der Fall (c) ein. In diesem Bereich bestimmt sich die optimale Stoppzeit T_* durch die schnellste Reduktion des Zustandes x_1^0 zu x_1^f. Im zweiten Behälter muss zum Zeitpunkt $t = T_*$ lediglich die Bedingung $x_2(T_*) = x_2^f$ sichergestellt werden.

Wir fügen dem Behältermodell (3.19)–(3.22) eine Zustandsbeschränkung hinzu:

$$x^2(t) \geq S \text{ für alle } t \in [0,T], \qquad x_0^2, x_0^f, A > S.$$

Sei nun $\big(x_*^1(t), x_*^2(t)\big)$ eine optimale Trajektorie in der Aufgabe (3.19)–(3.22) ohne Zustandsbeschränkung mit $x_*^2(t) < S$ für ein $t \in (0, T_*)$. Dann existieren Zeitpunkte t_1, t_2 mit $0 < t_1 < t_2 < T_*$ und $x^2(t_1) = x^2(t_2) = S$.
Aus Theorem 3.4 können wir folgenden Kandidaten ableiten: Auf dem Teilstück $[t_1, t_2]$, auf dem die Zustandsbeschränkung aktiv wird, erhalten wir für die Adjungierten

$$p(t) = q(t) > 0, \qquad \dot{p}(t) = \dot{q}(t) = 0.$$

Für das Borelsche Maß liefert der Ansatz $d\mu(t) = \lambda(t)\,dt$ die Darstellung

$$\lambda(t) = a\big(2q(t) - p(t)\big) > 0.$$

Eingeschränkt auf das Teilstück $[t_1, t_2]$ erhalten wir für den Multiprozess

$$\begin{aligned} x_*^1(t) &= x_*^1(t_1) + (t - t_1)(A - S), \quad x_*^2(t) = S, \\ u_*(t) &= \frac{x_*^1(t) - S + A}{A}, \quad \big(\chi_{\mathscr{A}_*^1}(t), \chi_{\mathscr{A}_*^2}(t)\big) = (1,0). \end{aligned}$$

Für die bereits verwendeten Parameter $a = 1$, $A = 10$, $x_1^0, x_2^0 \in [0,10]$, $(x_1^f, x_2^f) = (5,5)$ und für die untere Schranke $S = 3,5$ ergibt sich das folgende Phasenportrait:

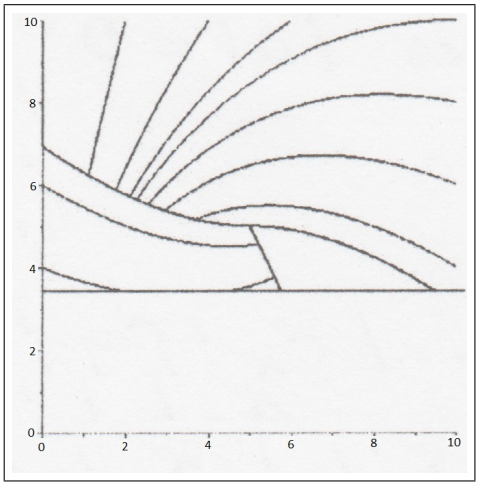

Abbildung 5: Phasenportrait unter der Zustandsbeschränkung.

4. Die Vorstellung der Aufgabe mit unendlichem Zeithorizont

Die Optimale Steuerung mit unendlichem Zeithorizont liefert die wesentliche Grundlage zur Formulierung und Untersuchung von Aufgaben in der Ökonomischen Wachstumstheorie. Im Rahmen der Ökonomischen Wachstumstheorie werden z. B. die Interaktionen sich überschneidender Generationen oder die Determinanten des wirtschaftlichen Wachstums, insbesondere unter sich ändernden Umweltbedingungen wie globaler Erwärmung oder erschöpfenden natürlichen Ressourcen, untersucht. Aufgrund der Langlebigkeit der wirtschafts- und sozialpolitischen Entscheidungen muss dabei die Frage nach einem geeigneten Planungszeitraum aufgeworfen werden: Jeder endliche Zeithorizont stellt die Forderung nach einer adäquaten Ausgangslage für die nachfolgenden Generationen. Um die Beachtung aller nachfolgenden Generationen zu gewährleisten, wird der Zeitrahmen in Form des unendlichen Zeithorizontes idealisiert (Arrow & Kurz [2]).
Der erste mathematische Beitrag zu einem Problem mit unbeschränktem Zeitintervall besteht in einer Aufgabe der Variationsrechnung, in der die Frage nach der optimalen Sparquote einer Gesellschaft behandelt wird (Ramsey [56]).

Die Untersuchung von Optimalsteuerungsaufgaben basiert vorallem auf notwendigen und hinreichenden Optimalitätsbedingungen. Für die Aufgaben über dem endlichen Zeitintervall haben wir bekannte Ergebnisse in den vorangegangenen Kapiteln vorgestellt. Dabei kommt dem Pontrjaginschen Maximumprinzip die zentrale Rolle zu. Die bekannten Optimalitätskriterien für Aufgaben mit endlichem Zeithorizont bestehen aus der Existenz nichttrivialer Multiplikatoren, mit denen die adjungierte Gleichung, die Transversalitätsbedingungen und die Maximumbedingung erfüllt sind.
Die Entwicklung der Theorie der Optimalen Steuerung mit unendlichem Zeithorizont stellt eine neue Herausforderung dar: Bekannte Methoden können nicht unmittelbar an das unbeschränkte Intervall angepasst werden. Als gängiges Verfahren hat sich die Methode der Approximation durch Aufgaben über endlichem Horizont etabliert. Allerdings zeigt das Beispiel von Halkin [30], dass diese Approximation zu einem "pathologischen" Verhalten der Adjungierten im Unendlichen führen kann. Es stellt sich damit die Frage, ob diese "Pathologien" in der Natur der Probleme mit unendlichem Zeithorizont liegen oder sie der Preis der Approximation sind.
Wir werden zeigen, dass die Aufgaben mit unendlichem Zeithorizont die Problemklasse über endlichem Zeitintervall verallgemeinert. Sind die notwendigen Optimalitätsbedingungen für Aufgaben über unendlichem Zeithorizont etabliert, dann lassen sich die Optimalitätsbedingungen für die entsprechenden Aufgaben über endlichem Intervall ableiten.

Das zu behandelnde Problem der Optimalen Steuerung mit unendlichem Zeithorizont besteht in der Minimierung des Zielfunktionals J in Integralform:

$$J\big(x(\cdot),u(\cdot)\big)=\int_0^\infty \omega(t)f\big(t,x(t),u(t)\big)\,dt.$$

Dabei ist die Dichte $\omega(\cdot)$ stets eine Funktion aus dem Raum $L_1(\mathbb{R}_+, \mathbb{R}_+)$. Ferner, da wir die Aufgabe für absolutstetige Zustände (auf jeder kompakten Teilmenge von $[0, \infty) = \mathbb{R}_+$) und für messbare Steuerungen betrachten, bezeichnet $\int dt$ das Lebesgue-Integral. Die Dynamik wird durch das Differentialgleichungssystem

$$\dot{x}(t) = \varphi\big(t, x(t), u(t)\big)$$

mit Anfangsbedingung $x(0) = x_0$ beschrieben. Wir nennen die Trajektorie $x(\cdot)$ eine Lösung des dynamischen Systems, falls $x(\cdot)$ auf $\mathbb{R}_+$ definiert ist und auf jedem endlichen Intervall die Dynamik mit Steuerung $u(\cdot) \in L_\infty(\mathbb{R}_+, U)$ im Sinn von Carathéodory löst.
Zustandsbeschränkungen werden durch Ungleichungen der Form

$$g_j\big(t, x(t)\big) \le 0 \quad \text{für alle } t \in \mathbb{R}_+, \quad j = 1, ..., l,$$

gegeben. Ferner stellt die Inklusion $u(t) \in U \subseteq \mathbb{R}^m$ Steuerungsbeschränkungen dar.

Zusammenfassend betrachten wir die folgenden Optimalsteuerungsprobleme:

$$J\big(x(\cdot), u(\cdot)\big) = \int_0^\infty \omega(t) f\big(t, x(t), u(t)\big)\, dt \to \inf, \tag{4.1}$$

$$\dot{x}(t) = \varphi\big(t, x(t), u(t)\big), \quad x(0) = x_0, \tag{4.2}$$

$$u(t) \in U \subseteq \mathbb{R}^m, \quad U \neq \emptyset, \tag{4.3}$$

$$g_j\big(t, x(t)\big) \le 0 \quad \text{für alle } t \in \mathbb{R}_+, \quad j = 1, ..., l. \tag{4.4}$$

4.1. Zur Approximation durch eine Aufgabe über endlichem Horizont

Zur Behandlung von Aufgaben mit unendlichem Zeithorizont findet man in der Literatur verschiedene Methoden und eine entsprechend große Anzahl an Optimalitätsbegriffen.
In der Aufgabe (4.1)–(4.4) bezeichne $\mathscr{A}_{\text{adm}}$ die Menge aller zulässigen Steuerungsprozesse, d. h. die Menge aller $\big(x(\cdot), u(\cdot)\big)$, die der Dynamik (4.2), den Steuerrestriktionen (4.3) und den Zustandsbeschränkungen (4.4) genügen, und für die das Zielfunktional (4.1) endlich ist. Zur Gegenüberstellung von verschiedenen Optimalitätsbegriffen betrachten wir globale Optimalitätskriterien.

(a) Der Steuerungsprozess $\big(x_*(\cdot), u_*(\cdot)\big) \in \mathscr{A}_{\text{adm}}$ heißt global optimal (GO), falls

$$J\big(x_*(\cdot), u_*(\cdot)\big) \le J\big(x(\cdot), u(\cdot)\big)$$

für alle $\big(x(\cdot), u(\cdot)\big) \in \mathscr{A}_{\text{adm}}$ gilt.

(b) Der Steuerungsprozess $\big(x_*(\cdot), u_*(\cdot)\big) \in \mathscr{A}_{\text{adm}}$ heißt streng global optimal (SGO), falls

$$J\big(x_*(\cdot), u_*(\cdot)\big) < J\big(x(\cdot), u(\cdot)\big)$$

für alle $\big(x(\cdot), u(\cdot)\big) \in \mathscr{A}_{\text{adm}}$ mit $\big(x(\cdot), u(\cdot)\big) \neq \big(x_*(\cdot), u_*(\cdot)\big)$ gilt.

Zur Untersuchung des Steuerungsproblems mit unendlichem Zeithorizont wird in den meisten Ansätzen der Aufgabe (4.1)–(4.4) ein Problem über einem endlichen Zeitintervall $[0,T]$ zugeordnet und der Grenzübergang $T \to \infty$ betrachtet. Wir nennen dies die Approximation durch endlichen Horizont.

Das zur Aufgabe (4.1)–(4.4) gehörende Problem mit endlichem Zeithorizont lautet

$$J_T\big(x(\cdot),u(\cdot)\big) = \int_0^T \omega(t) f\big(t,x(t),u(t)\big)\,dt \to \inf, \tag{4.5}$$

$$\dot{x}(t) = \varphi\big(t,x(t),u(t)\big), \quad x(0) = x_0, \tag{4.6}$$

$$u(t) \in U \subseteq \mathbb{R}^m, \quad U \neq \emptyset, \tag{4.7}$$

$$g_j\big(t,x(t)\big) \leq 0 \quad \text{für alle } t \in [0,T], \quad j = 1,...,l. \tag{4.8}$$

Wegen des Überganges zu einer Aufgabe über endlichem Zeithorizont und der anschließenden Betrachtung des Grenzwertes $T \to \infty$ werden die Optimalitätsbegriffe angepasst.

Zur Aufgabe (4.5)–(4.8) definieren wir den Defekt $\Delta(T)$,

$$\Delta(T) = J_T\big(x(\cdot),u(\cdot)\big) - J_T\big(x_*(\cdot),u_*(\cdot)\big).$$

(c) Der Steuerungsprozess $\big(x_*(\cdot),u_*(\cdot)\big) \in \mathscr{A}_{\text{adm}}$ heißt overtaking optimal (OT), falls es zu jedem $\big(x(\cdot),u(\cdot)\big) \in \mathscr{A}_{\text{adm}}$ eine Zahl T_0 gibt mit

$$\Delta(T) = J_T\big(x(\cdot),u(\cdot)\big) - J_T\big(x_*(\cdot),u_*(\cdot)\big) \geq 0$$

für alle $T \geq T_0$ (von Weizsäcker [69]).

(d) Der Steuerungsprozess $\big(x_*(\cdot),u_*(\cdot)\big) \in \mathscr{A}_{\text{adm}}$ heißt catching up optimal (CU), falls

$$\liminf_{T\to\infty} \Delta(T) = \liminf_{T\to\infty} J_T\big(x(\cdot),u(\cdot)\big) - J_T\big(x_*(\cdot),u_*(\cdot)\big) \geq 0$$

für jedes $\big(x(\cdot),u(\cdot)\big) \in \mathscr{A}_{\text{adm}}$ gilt (Gale [24]).

(e) Das Paar $\big(x_*(\cdot),u_*(\cdot)\big) \in \mathscr{A}_{\text{adm}}$ heißt sporadically catching up optimal (SCU), falls

$$\limsup_{T\to\infty} \Delta(T) = \limsup_{T\to\infty} J_T\big(x(\cdot),u(\cdot)\big) - J_T\big(x_*(\cdot),u_*(\cdot)\big) \geq 0$$

für jedes $\big(x(\cdot),u(\cdot)\big) \in \mathscr{A}_{\text{adm}}$ gilt (Halkin [30]).

Durch die Betrachtung auf der Menge $\mathscr{A}_{\text{adm}}$ haben wir in den Definitionen bereits eingefügt, dass für einen zulässigen Steuerungsprozess das Zielfunktional endlich ist. In diversen Arbeiten zu Steuerungsproblemen mit unendlichem Zeithorizont, z. B. bei Aseev & Veliov [4–6], darf das Integral in (4.1) divergieren. Konvergiert das Zielfunktional für jeden zulässigen Steuerungsprozess, so sind die Optimalitätsbegriffe (CU), (SCU) und (GO) äquivalent, denn es gilt

$$\liminf_{T\to\infty} \Delta(T) \geq 0 \quad \Leftrightarrow \quad \limsup_{T\to\infty} \Delta(T) \geq 0 \quad \Leftrightarrow \quad \lim_{T\to\infty} \Delta(T) \geq 0.$$

Zur Einordnung der Begriffe (SGO) und (OT) führen wir folgendes Beispiel an:

Beispiel 4.1. Wir betrachten die Aufgabe

$$\int_0^\infty -u(t)x(t)\,dt \to \inf, \qquad \dot{x}(t) = -u(t)x(t), \quad x(0) = 1, \quad u(t) \in [0,1], \quad \varrho > 0.$$

Offenbar ist jede zulässige Trajektorie $x(\cdot)$ monoton fallend und wegen $1 \geq x(t) > 0$ beschränkt. Also besitzt sie deswegen einen Grenzwert für $t \to \infty$. Damit gilt

$$J\big(x(\cdot),u(\cdot)\big) = \int_0^\infty -u(t)x(t)\,dt = \lim_{t\to\infty} x(t) - 1 \geq -1.$$

Daher ist jedes Paar $\big(x(\cdot),u(\cdot)\big) \in \mathscr{A}_{\mathrm{adm}}$ mit $x(t) \to 0$ global optimal. Dabei gilt:

$$\lim_{t\to\infty} x(t) = 0 \quad \Leftrightarrow \quad \int_0^\infty u(t)\,dt = \infty.$$

In diesem Beispiel ist jeder Steuerungsprozess $\big(x(\cdot),u(\cdot)\big) \in \mathscr{A}_{\mathrm{adm}}$ mit $x(t) \to 0$ für $t \to \infty$ optimal im Sinn von (GO), (CU) und (SCU). Wegen $J_T\big(x(\cdot),u(\cdot)\big) \geq x(T) - 1$ ist unter diesen Steuerungsprozessen nur derjenige optimal im Sinn von (OT), für den $u(t) \equiv 1$ auf $\mathbb{R}_+$ gilt. Eine (SGO)-Lösung existiert nicht. □

Dieses Beispiel zeigt, dass unter der Annahme eines endlichen Zielfunktionals zu den bereits erwähnten Äquivalenzen folgende weitere Relationen zwischen den verschiedenen Optimalitätsbegriffen bestehen:

$$\text{(SGO)} \implies \text{(OT)} \implies \text{(CU)} \iff \text{(SCU)} \iff \text{(GO)}.$$

Ist demnach die globale Optimalstelle eindeutig, so fallen bei endlichem Zielfunktional die aufgeführten Optimalitätsbegriffe zusammen.

Die Betrachtungen dieses Abschnitts ordnen die Begriffe der globalen Optimalität in den Kontext gängiger Optimalitätsbegriffe ein, die bei der Approximation mit einem endlichen Horizont angewendet werden. Unbehandelt bleibt dabei allerdings die wesentliche Frage, wann eine Familie $\big\{\big(x_*^T(\cdot),u_*^T(\cdot)\big)\big\}_{T\in\mathbb{R}_+}$ von optimalen Steuerungsprozessen, die sich in der Approximation ergibt, gegen ein globales Optimum konvergiert. Dazu muss man sich vorab im Klaren sein, dass für die Approximation die fundamentale Beziehung

$$\lim_{T\to\infty} \int_0^T f(t)\,dt = \int_0^\infty f(t)\,dt$$

im Allgemeinen nur im Fall der Existenz des Lebesgue-Integrals im Zielfunktional gilt. Ein bekanntes Gegenbeispiel ist der Integralsinus:

$$\lim_{T\to\infty} \int_0^T \frac{\sin t}{t}\,dt = \frac{\pi}{2}, \qquad \int_0^\infty \frac{\sin t}{t}\,dt \text{ existiert nicht.}$$

Noch weniger überschaubar wird die Situation in der Aufgabe (4.1)–(4.4), in der die Dynamik, sowie Zustands- und Steuerungsbeschränkungen vorkommen. Dann können noch weitere unerwünschte Situationen eintreten. Dazu geben wir das folgende Beispiel an:

Beispiel 4.2. Wir betrachten die Aufgabe

$$J_T\big(x(\cdot),u(\cdot)\big)=\int_0^T \big(1-u(t)\big)x(t)\,dt\to\sup,\quad \dot{x}(t)=u(t)x(t),\quad x(0)=1,\quad u(t)\in[0,1].$$

Für jedes feste $T>1$ liefert der Steuerungsprozess

$$x_*^T(t)=\begin{cases} e^t, & t\in[0,T-1),\\ e^{T-1}, & t\in[T-1,T],\end{cases}\qquad u_*^T(t)=\begin{cases} 1, & t\in[0,T-1),\\ 0, & t\in[T-1,T],\end{cases}$$

das globale Maximum. Betrachten wir den Grenzübergang $T\to\infty$, dann konvergiert die Familie $\big\{\big(x_*^T(\cdot),u_*^T(\cdot)\big)\big\}_{T\in\mathbb{R}_+}$ punktweise gegen den Steuerungsprozess

$$x_*(t)=e^t,\qquad u_*(t)=1,\qquad t\in\mathbb{R}_+.$$

Dieses Paar ist das globale Minimum der Aufgabe mit unendlichem Zeithorizont. □

Fordern wir die Konvergenz des Zielfunktionals, so lassen sich Aussagen zur globalen Optimalität treffen. Sei $\big\{\big(x_*^T(\cdot),u_*^T(\cdot)\big)\big\}_{T\in\mathbb{R}_+}$ eine Familie von globalen Minimalstellen der Aufgabe (4.5)–(4.8), die folgende Hypothese erfüllt:

(H) Es existiert ein zulässiger Steuerungsprozess $\big(x_*(\cdot),u_*(\cdot)\big)$ der Aufgabe (4.1)–(4.4) mit den Eigenschaften

$$\lim_{T\to\infty} J_T\big(x_*^T(\cdot),u_*^T(\cdot)\big)=J\big(x_*(\cdot),u_*(\cdot)\big),\qquad J\big(x_*(\cdot),u_*(\cdot)\big)<\infty.$$

In der Hypothese **(H)** werden an die Familie $\big\{\big(x_*^T(\cdot),u_*^T(\cdot)\big)\big\}_{T\in\mathbb{R}_+}$ keine Konvergenzeigenschaften gefordert. Wesentlicher Punkt in der Hypothese **(H)** ist die Existenz des zulässigen Steuerungsprozesses $\big(x_*(\cdot),u_*(\cdot)\big)$. Dieser Nachweis stellt die eigentliche Herausforderung dar.

Lemma 4.3. *Es sei $\big\{\big(x_*^T(\cdot),u_*^T(\cdot)\big)\big\}_{T\in\mathbb{R}_+}$ eine Familie von globalen Minimalstellen der Aufgabe (4.5)–(4.8), für die die Hypothese* **(H)** *erfüllt ist. Dann ist $\big(x_*(\cdot),u_*(\cdot)\big)$ ein globales Minimum der Aufgabe (4.1)–(4.4).*

Beweis Sei $\big(x(\cdot),u(\cdot)\big)$ zulässig in der Aufgabe (4.1)–(4.4). Insbesondere ist dann das Zielfunktional in (4.1) endlich. Dann lässt sich zu jedem $\varepsilon>0$ eine Zahl $T'>0$ derart angeben, dass die Einschränkung des Zielfunktionals $J\big(x(\cdot),u(\cdot)\big)$ auf das Intervall $[T,\infty)$ vom Betrag kleiner oder gleich ε für alle $T\ge T'$ ausfällt. Ferner kann die Zahl T' so gewählt werden, dass $\big|J_T\big(x_*^T(\cdot),u_*^T(\cdot)\big)-J\big(x_*(\cdot),u_*(\cdot)\big)\big|\le\varepsilon$ für alle $T\ge T'$ gilt. Mit den suggestiven Bezeichnungen, dass J_T bzw. J die Integration des Zielfunktionals über $[0,T]$ bzw. über $\mathbb{R}_+$ angeben, können wir die Differenz

$$J\big(x(\cdot),u(\cdot)\big)-J\big(x_*(\cdot),u_*(\cdot)\big)$$

in die Form

$$\Big[J\big(x(\cdot),u(\cdot)\big)-J_T\big(x(\cdot),u(\cdot)\big)\Big]+\Big[J_T\big(x(\cdot),u(\cdot)\big)-J_T\big(x_*^T(\cdot),u_*^T(\cdot)\big)\Big]$$
$$+\Big[J_T\big(x_*^T(\cdot),u_*^T(\cdot)\big)-J\big(x_*(\cdot),u_*(\cdot)\big)\Big]$$

bringen. Aufgrund der Wahl von T' fallen der erste und dritte Summand größer oder gleich $-\varepsilon$ für alle $T\geq T'$ aus. Der zweite Ausdruck ist nichtnegativ, da $\big(x_*^T(\cdot),u_*^T(\cdot)\big)$ ein globales Minimum über $[0,T]$ darstellt. Daher gilt

$$J\big(x(\cdot),u(\cdot)\big)-J\big(x_*(\cdot),u_*(\cdot)\big)\geq -2\varepsilon.$$

Da $\varepsilon>0$ beliebig ist, folgt damit die Behauptung. ■

In Aseev & Kryazhimskii [3] sind Voraussetzungen angegeben, unter denen die Hypothese **(H)** in der Aufgabe (4.1)–(4.3) erfüllt ist. Insbesondere wird gezeigt, dass die Approximation durch die Aufgabe (4.5)–(4.7) mit endlichem Horizont eine Familie von globalen Minimalstellen liefert, die auf jedem endlichen Intervall gleichmäßig gegen das globale Minimum der Aufgabe (4.1)–(4.3) konvergiert.

4.2. Zur Einordnung der Aufgabenklasse in die Steuerungstheorie

In diesem Abschnitt gehen wir der grundlegenden Frage nach, wie sich die Aufgabenklassen (4.1)–(4.4) mit unendlichem und (4.5)–(4.8) mit endlichem Zeithorizont zueinander einordnen. Ein wesentlicher Augenmerk liegt dabei auf der Gültigkeit der "natürlichen" Transversalitätsbedingungen für die Adjungierte $p(\cdot)$:

$$\lim_{t\to\infty}\|p(t)\|=0,\qquad \langle p(t),x(t)\rangle=0\quad\text{für alle zulässigen } x(\cdot).$$

In diesem Zusammenhang gibt Halkin [30] folgendes Gegenbeispiel an:

Beispiel 4.4. In der Aufgabe

$$\int_0^\infty u(t)\big(1-x(t)\big)\,dt\to\sup,\quad \dot x(t)=u(t)\big(1-x(t)\big),\quad x(0)=0,\quad u\in[0,1],$$

liefert der Steuerungsprozess

$$u_*(t)=\begin{cases}0, & t\in[0,1],\\ 1, & t\in[1,\infty),\end{cases}\qquad x_*(t)=\begin{cases}0, & t\in[0,1],\\ 1-e^{1-t}, & \in[1,\infty),\end{cases}$$

ein globales Optimum. Für die zugehörigen Multiplikatoren $\big(\lambda_0,p(\cdot)\big)\neq(0,0)$, mit denen die Bedingungen des Maximumprinzips erfüllt sind, gilt dann im Widerspruch zur "natürlichen" Transversalitätsbedingung $p(t)\equiv-\lambda_0$. □

Im letzten Abschnitt haben wir die Schwierigkeiten, die bei der Approximation mit endlichem Zeithorizont entstehen, erörtert. Mit dem Beispiel von Halkin rückt die Frage in den Vordergrund, welche Transversalitätsbedingungen in der Aufgabe (4.1)–(4.4) notwendige Optimalitätsbedingungen darstellen. Es ensteht damit die Suche nach einer geeigneten Herangehensweise, unter der die "natürlichen" Transversalitätsbedingungen in den Optimalitätsbedingungen enthalten sind. Die Antworten können durch die Approximation mit endlichem Horizont nicht gegeben werden, da der vollständige Satz an notwendigen Optimalitätsbedingungen im Allgemeinen verloren geht.

Eine andere Herangehensweise an die Aufgaben mit unendlichem Zeithorizont ist die Zurückführung auf eine Aufgabe über endlichem Zeitintervall mit Hilfe der Substitution der Zeit. Betrachten wir z. B. die Transformation $t(s) = -\ln(1-s)$, so gilt $t'(s) = v(s) > 0$ und es wird die Aufgabe (4.1)–(4.4) eineindeutig in die Aufgabe (4.5)–(4.8) über dem endlichen Intervall $[0,1]$ überführt. Schauen wir uns entsprechend dem Abschnitt 2.6 die Aufgabe über dem endlichen Horizont an, dann besitzt sie die Form

$$\begin{aligned}
&\int_0^1 v(s)\cdot\omega(s) f\big(t(s),y(s),w(s)\big)\,ds \to \inf,\\
&t'(s) = v(s), \quad y'(s) = v(s)\cdot\varphi\big(t(s),y(s),w(s)\big),\\
&h_0\big(t(0),y(0)\big) = 0, \quad t(1) = \infty, \quad v(s) > 0, \quad w(s)\in U,\\
&g_j\big(t(s),y(s)\big) \le 0, \quad s\in[0,1], \quad j = 1,...,l.
\end{aligned}$$

Die Aufgabe enthält damit die Singularität $t(1) = \infty$ und gehört nicht in den Rahmen der klassischen Steuerungsprobleme. Sondern die Substitution der Zeit verdeutlicht viel mehr, dass der unendliche Horizont in der Aufgabe (4.1)–(4.4) selbst eine Singularität ist, die man nicht aus der Betrachtung argumentieren kann. Also kann die Aufgabe (4.1)–(4.4) kein klassisches Problem der Optimalen Steuerung sein.

Damit stellt sich umgekehrt die Frage, ob sich die Aufgabe (4.5)–(4.8) mit endlichem Zeitintervall der Aufgabe (4.1)–(4.4) mit unendlichem Horizont unterordnet. Wir gehen zunächst auf die Aufgabe (4.1)–(4.3) ein. Für diese Aufgabe werden wir unter geeigneten Voraussetzungen die Existenz nicht gleichzeitig verschwindender Multiplikatoren $\lambda_0 \ge 0$ und $p(\cdot) : \mathbb{R}_+ \to \mathbb{R}^n$ zeigen, mit denen die

(a) adjungierte Gleichung

$$\dot p(t) = -\varphi_x^T\big(t,x_*(t),u_*(t)\big)p(t) + \lambda_0\omega(t) f_x\big(t,x_*(t),u_*(t)\big),$$

(b) die "natürlichen" Transversalitätsbedingungen

$$\lim_{t\to\infty}\|p(t)\| = 0, \qquad \langle p(t),x(t)\rangle = 0 \quad \text{für alle zulässigen } x(\cdot),$$

(c) und für fast alle $t\in\mathbb{R}_+$ die Maximumbedingung

$$H\big(t,x_*(t),u_*(t),p(t),\lambda_0\big) = \max_{u\in U} H\big(t,x_*(t),u,p(t),\lambda_0\big)$$

für ein lokales Minimum $\big(x_*(\cdot), u_*(\cdot)\big)$ gelten. Wir betten die Aufgabe (4.5)–(4.7) durch

$$\omega(t) = \chi_{[0,T]}(t) \text{ auf } \mathbb{R}_+, \qquad f(t,x,u) = 0,\ \varphi(t,x,u) = 0 \text{ für } t > T$$

in die Aufgaben mit unendlichem Horizont ein. Da nun $\dot{p}(t) = 0$ für $t > T$ gilt, folgt die Transversalitätsbedingung $p(T) = 0$ für die Aufgabe über $[0,T]$ mit freiem rechten Endpunkt. Das Maximumprinzip über dem endlichen Horizont in Kapitel 2 lässt sich also unmittelbar aus den notwendigen Bedingungen für die Aufgabe (4.1)–(4.3) ableiten.

Für die Aufgabe (4.1)–(4.4) mit Zustandsbeschränkungen werden wir die Existenz einer Zahl $\lambda_0 \geq 0$, einer Vektorfunktion $p(\cdot) : \mathbb{R}_+ \to \mathbb{R}^n$ und auf den Mengen

$$T_j = \big\{t \in \mathbb{R}_+ \big| g_j\big(t, x_*(t)\big) = 0\big\}, \quad j = 1, ..., l,$$

konzentrierte nichtnegative reguläre Borelsche Maße μ_j endlicher Totalvariation (wobei sämtliche Größen nicht gleichzeitig verschwinden) zeigen, mit denen

(A) die adjungierte Gleichung

$$p(t) = \int_t^\infty H_x\big(s, x_*(s), u_*(s), p(s), \lambda_0\big) ds - \sum_{j=1}^{l} \int_t^\infty g_{jx}\big(s, x_*(s)\big) d\mu_j(s),$$

(B) die "natürlichen" Transversalitätsbedingungen

$$\lim_{t\to\infty} \|p(t)\| = 0, \qquad \langle p(t), x(t)\rangle = 0 \quad \text{für alle zulässigen } x(\cdot),$$

(C) und für fast alle $t \in \mathbb{R}_+$ die Maximumbedingung

$$H\big(t, x_*(t), u_*(t), p(t), \lambda_0\big) = \max_{u\in U} H\big(t, x_*(t), u, p(t), \lambda_0\big)$$

für ein lokales Minimum $\big(x_*(\cdot), u_*(\cdot)\big)$ gelten. In der Aufgabe (4.5)–(4.8) setzen wir $g_j(t,x)$ durch die Festlegung

$$g_j(t,x) = g_j(T,x) \qquad \text{für } t > T$$

stetig in (t,x) und stetig differenzierbar bezüglich der Variablen x fort. Ferner sei die Funktion $h(t)$ stetig und stückweise linear mit

$$h(t) = 0, \quad t \in [0,T], \qquad h(t) = 1, \quad t \in [T+1, \infty).$$

Nutzen wir wieder die Setzungen

$$\omega(t) = \chi_{[0,T]}(t) \text{ auf } \mathbb{R}_+, \qquad f(t,x,u) = 0,\ \varphi(t,x,u) = 0 \text{ für } t > T,$$

dann ist für alle zulässigen Steuerungsprozesse $\big(x(\cdot), u(\cdot)\big)$ der Aufgabe (4.5)–(4.8) die Zustandsbeschränkung

$$\tilde{g}_j(t,x) = g_j(t,x) - h(t)$$

für $t > T$ nicht aktiv und es gilt $\dot{p}(t) = 0$ für $t > T$. Beachtet man dies in der adjungierten Gleichung (A) mit den Zustandsbeschränkungen $\tilde{g}_j(t,x)$, so erhalten wir unmittelbar das Maximumprinzip für die Aufgabe über endlichem Zeitintervall mit Zustandsbeschränkungen und freiem rechten Endpunkt.

4.3. Einfache Nadelvariationen über dem unendlichen Zeithorizont

Im Abschnitt 2.2 haben wir zum Beweis des Pontrjaginschen Maximumprinzips eine einfache Nadelvariation betrachtet. Anhand dieser elementaren Methode untersuchen wir den Übergang zum unendlichen Zeithorizont und demonstrieren grundlegende Schwierigkeiten, die mit dem unbeschränkten Intervall verbunden sind.

Die Aufgabe (4.1)–(4.3) betrachten wir bezüglich $\big(x(\cdot),u(\cdot)\big) \in PC_1(\mathbb{R}_+,\mathbb{R}^n)\times PC(\mathbb{R}_+,U)$. Dabei bezeichnen $PC(\mathbb{R}_+,U)$ die Menge der stückweise stetigen Vektorfunktionen, die nur Werte aus der Menge $U \subseteq \mathbb{R}^m$ annehmen, und $PC_1(\mathbb{R}_+,\mathbb{R}^n)$ den Raum der stetigen und stückweise stetig differenzierbaren Vektorfunktionen.

Um den Beweis des Maximumprinzips durch eine einfache Nadelvariation wie im Abschnitt 2.2 über dem unendlichen Horizont zu erbringen, müssen Vorkehrungen getroffen werden. Es sei im Weiteren $\big(x_*(\cdot),u_*(\cdot)\big) \in PC_1(\mathbb{R}_+,\mathbb{R}^n) \times PC(\mathbb{R}_+,U)$ in der Aufgabe zulässig. Weiterhin bezeichnet $x_\lambda(\cdot)$, $x_\lambda(t) = x(t;v,\tau,\lambda)$, die eindeutige Lösung der Gleichung

$$\dot{x}(t) = \varphi\big(t,x(t),u_\lambda(t)\big), \qquad x(t_0) = x_0,$$

zur einfachen Nadelvariation

$$u(t;v,\tau,\lambda) = u_\lambda(t) = \begin{cases} u_*(t) & \text{für } t \notin [\tau-\lambda,\tau), \\ v & \text{für } t \in [\tau-\lambda,\tau), \end{cases} \qquad v \in U.$$

Im Gegensatz zur Aufgabe (2.3)–(2.5) über endlichem Zeithorizont müssen wir bezüglich dieser Nadelvariation Annahmen über die Variierbarkeit treffen. Zur Veranschaulichung betrachten wir die Dynamik

$$\dot{x}(t) = x(t) + x^2(t) + u(t), \qquad x(0) = 0, \qquad u(t) \in U = \mathbb{R}_+.$$

Die Trajektorie $x_*(t) \equiv 0$ zur Steuerung $u_*(t) \equiv 0$ ist nicht variierbar. Denn jede Steuerung $u(t;v,\tau,\lambda)$ mit $\lambda, v > 0$ liefert eine Trajektorie $x_\lambda(\cdot)$, die nicht sinnvoll auf $\mathbb{R}_+$ fortgesetzt werden kann. Dies führt zu folgender Voraussetzung über die Variierbarkeit:

(V) Es existieren $\delta > 0$ und eine Funktion $\mu(\cdot)$ derart, dass für alle $T \geq 0$ und alle ζ_T mit $\|\zeta_T - x_*(T)\| \leq \delta$ das System $\dot{x}(t) = \varphi\big(t,x(t),u_*(t)\big)$ mit Anfangsbedingung $x(T) = \zeta_T$ eine Lösung $x(t;\zeta_T)$ auf $[T,\infty)$ besitzt und folgende Ungleichung gilt

$$\|x(t;\zeta_T) - x_*(t)\| \leq \|\zeta_T - x_*(T)\|\mu(t) \quad \text{ für alle } t \geq T \geq 0.$$

Die Funktion $\mu(\cdot)$ wird in der Voraussetzung **(V)** nicht weiter spezifiziert. Aber im Vergleich zum Abschnitt 2.2 verlieren wir bei einer unbeschränkten Funktion $\mu(\cdot)$ den lokalen Charakter einer Optimalstelle.

Die einfache Nadelvariation kann andererseits zu einer Trajektorie $x_\lambda(\cdot)$ führen, die über

$\mathbb{R}_+$ wohldefiniert, aber nicht zulässig in der Aufgabe ist. In dem Beispiel von Halkin [30],

$$J\big(x(\cdot),u(\cdot)\big)=\int_0^\infty \big(u(t)-x(t)\big)\,dt\to\sup,$$
$$\dot x(t)=u^2(t)+x(t),\quad x(0)=0,\quad u(t)\in[0,1],$$

ist der Steuerungsprozess $\big(x_*(t),u_*(t)\big)\equiv(0,0)$ das globale Maximum, da für jeden anderen Steuerungsprozess das Zielfunktional den Wert $-\infty$ besitzt. Deswegen treffen wir Annahmen über die Differenzierbarkeit und Beschränktheit:

(D) Die Abbildungen $f(t,x,u)$, $\varphi(t,x,u)$ sind stetig differenzierbar. Weiterhin ist die Dichtefunktion $\omega(\cdot)$ stückweise stetig, beschränkt und integrierbar. Ferner gibt es zu jeder Nadelvariation $u(t;v,\tau,\lambda)=u_\lambda(t)$ ein $\lambda_0>0$, eine Funktion $L(\cdot)$ derart, dass $t\to\omega(t)L(t)$ über $\mathbb{R}_+$ integrierbar ist und

$$\big|f\big(t,x_\lambda(t),u_\lambda(t)\big)\big|\le L(t)\text{ für alle }0<\lambda\le\lambda_0,\quad \big\|f_x\big(t,x_*(t),u_*(t)\big)\big\|\le L(t),$$

gelten. Weiterhin existiert eine Zahl $C_0>0$ mit

$$\big\|\varphi_x\big(t,x_*(t),u_*(t)\big)\big\|\le C_0.$$

Im Beweis des Maximumprinzips 2.1 in Abschnitt 2.2 sind wir von der Transversalitätsbedingung $p(t_1)=0$ für die Adjungierte ausgegangen. Über dem unbeschränkten Intervall fehlt an dieser Stelle eine entsprechende Optimalitätsbedingung. Wir "entfremden" stattdessen die Transversalitätsbedingung $\langle p(t),x_\lambda(t)\rangle\to0$ für $t\to\infty$ von einer Optimalitätseigenschaft zu einer Voraussetzung:

(T) Für die Lösung $p(\cdot)$ der adjungierten Gleichung,

$$\dot p(t)=-\varphi_x^T\big(t,x_*(t),u_*(t)\big)\,p(t)+\omega(t)f_x\big(t,x_*(t),u_*(t)\big)$$

sei mit der Funktion $\mu(\cdot)$ aus Voraussetzung **(V)** folgender Grenzwert erfüllt:

$$\lim_{t\to\infty}\mu(t)\|p(t)\|=0.$$

Unter restriktiven Annahmen über die Daten der Aufgabe wurde in den Arbeiten von Aseev & Veliov [4–6] die Voraussetzung **(T)** sichergestellt. Die Annahme **(V)** wurde ebenfalls diesen Arbeiten entnommen. In den Kapiteln zu schwachen und starken lokalen Minimalstellen in der Aufgabe (4.1)–(4.3) mit unendlichem Zeithorizont spezifizieren wir die Funktion $\mu(\cdot)$ und geben der Voraussetzung eine passende Form, die die notwendigen Optimalitätsbedingungen im normalen Fall garantiert.

Für die Aufgabe (4.1)–(4.3) bezeichnet $H:\mathbb{R}\times\mathbb{R}^n\times\mathbb{R}^m\times\mathbb{R}^n\times\mathbb{R}\to\mathbb{R}$ die Pontrjagin-Funktion, die wir wie folgt definieren:

$$H(t,x,u,p,1)=\langle p,\varphi(t,x,u)\rangle-\omega(t)f(t,x,u).$$

Theorem 4.5. *Sei $\big(x_*(\cdot), u_*(\cdot)\big)$ zulässig in der Aufgabe (4.1)–(4.3). Ferner seien die Voraussetzungen über die Varrierbarkeit* **(V)**, *über die Differenzierbarkeit* **(D)** *und über die Transversalitätsbedingung* **(T)** *erfüllt. Ist $\big(x_*(\cdot), u_*(\cdot)\big)$ ein globales Minimum der Aufgabe (4.1)–(4.3), dann existiert eine Funktion $p(\cdot)$ derart, dass*

(a) die Vektorfunktion $p(\cdot)$ der adjungierten Gleichung

$$\dot{p}(t) = -\varphi_x^T\big(t, x_*(t), u_*(t)\big)\, p(t) + \omega(t) f_x\big(t, x_*(t), u_*(t)\big) \tag{4.9}$$

genügt;

(b) in fast allen Punkten $t \in \mathbb{R}_+$ die Maximumbedingung gilt:

$$H\big(t, x_*(t), u_*(t), p(t), 1\big) = \max_{u \in U} H\big(t, x_*(t), u, p(t), 1\big). \tag{4.10}$$

Beweis Wegen der stückweisen Stetigkeit und wegen der Beschränktheit der Abbildungen

$$t \to \varphi_x\big(t, x_*(t), u_*(t)\big), \qquad t \to \omega(t) f_x\big(t, x_*(t), u_*(t)\big)$$

existiert über jedem endlichen Intervall eine Lösung $p(\cdot)$ der adjungierten Gleichung zum Anfangswert $p(0) = p_0 \in \mathbb{R}^n$ im Sinn von Carathéodory.

Es sei $\tau > 0$ ein Stetigkeitspunkt der Steuerung $u_*(\cdot)$. Wir setzen

$$u(t; v, \tau, \lambda) = u_\lambda(t) = \begin{cases} u_*(t) & \text{für } t \notin [\tau - \lambda, \tau), \\ v & \text{für } t \in [\tau - \lambda, \tau), \end{cases} \qquad v \in U$$

und es bezeichne $x_\lambda(\cdot)$, $x_\lambda(t) = x(t; v, \tau, \lambda)$, die eindeutige Lösung der Gleichung

$$\dot{x}(t) = \varphi\big(t, x(t), u_\lambda(t)\big), \qquad x(0) = x_0.$$

Wir verfahren nun genauso wie im Abschnitt 2.2.2: Auf jedem endlichen Intervall $[\tau, T]$ konvergiert der Grenzwert

$$y(t) = \lim_{\lambda \to 0^+} \frac{x_\lambda(t) - x_*(t)}{\lambda}$$

gleichmäßig, die Funktion $y(\cdot)$ ist für $t \geq \tau$ wohldefiniert und genügt der Integralgleichung

$$y(t) = y(\tau) + \int_\tau^t \varphi_x\big(s, x_*(s), u_*(s)\big)\, y(s)\, ds \tag{4.11}$$

zur Anfangsbedingung

$$y(\tau) = \varphi\big(\tau, x_*(\tau), v\big) - \varphi\big(\tau, x_*(\tau), u_*(\tau)\big). \tag{4.12}$$

Wir wenden die Voraussetzung **(V)** über die Variierbarkeit an,

$$\|x_\lambda(t) - x_*(t)\| \leq \|x_\lambda(\tau) - x_*(\tau)\| \cdot \mu(t),$$

und erhalten

$$\|y(t)\| = \lim_{\lambda \to 0^+} \frac{\|x_\lambda(t) - x_*(t)\|}{\lambda} \leq \|y(\tau)\| \cdot \mu(t).$$

Daher ergibt sich nach Voraussetzung **(T)** der Grenzwert

$$\lim_{t \to \infty} \big|\langle p(t), y(t)\rangle\big| = \lim_{t \to \infty} \mu(t)\|p(t)\| = 0$$

und wir erhalten die Beziehung

$$\langle p(\tau), y(\tau)\rangle = -\int_\tau^\infty \omega(t)\big\langle f_x\big(t, x_*(t), u_*(t)\big), y(t)\big\rangle\, dt. \tag{4.13}$$

Da $\big(x_*(\cdot), u_*(\cdot)\big)$ ein globales Minimum ist, ist für alle hinreichend kleine und positive λ

$$\frac{J\big(x_\lambda(\cdot), u_\lambda(\cdot)\big) - J\big(x_*(\cdot), u_*(\cdot)\big)}{\lambda} \geq 0.$$

Dabei ist $J\big(x_\lambda(\cdot), u_\lambda(\cdot)\big)$ nach Voraussetzung **(D)** für $0 < \lambda \leq \lambda_0$ endlich und wir dürfen zudem nach dem Satz über majorisierte Konvergenz unter dem Integralzeichen nach λ differenzieren. Wir untersuchen den Grenzwert

$$\lim_{\lambda \to 0^+} \frac{J\big(x_\lambda(\cdot), u_\lambda(\cdot)\big) - J\big(x_*(\cdot), u_*(\cdot)\big)}{\lambda}.$$

Es ergibt sich

$$\begin{aligned}
&\lim_{\lambda \to 0^+} \frac{1}{\lambda} \int_{\tau-\lambda}^{\tau} \omega(t)\big[f\big(t, x_\lambda(t), u_\lambda(t)\big) - f\big(t, x_*(t), u_*(t)\big)\big]\, dt \\
&+ \lim_{\lambda \to 0^+} \frac{1}{\lambda} \int_{\tau}^{\infty} \omega(t)\big[f\big(t, x_\lambda(t), u_\lambda(t)\big) - f\big(t, x_*(t), u_*(t)\big)\big]\, dt \\
= \;& \omega(\tau)\big[f\big(\tau, x_*(\tau), v\big) - f\big(\tau, x_*(\tau), u_*(\tau)\big)\big] + \int_\tau^\infty \omega(t)\big\langle f_x\big(t, x_*(t), u_*(t)\big), y(t)\big\rangle\, dt.
\end{aligned}$$

Bei Anwendung von Gleichung (4.13) erhalten wir hieraus die Ungleichung

$$\begin{aligned}
&\big\langle p(\tau), \varphi\big(\tau, x_*(\tau), u_*(\tau)\big)\big\rangle - \omega(\tau) f\big(\tau, x_*(\tau), u_*(\tau)\big) \\
\geq \;& \big\langle p(\tau), \varphi\big(\tau, x_*(\tau), v\big)\big\rangle - \omega(\tau) f\big(\tau, x_*(\tau), v\big).
\end{aligned}$$

Damit folgt aus der Definition der Pontrjagin-Funktion:

$$H\big(\tau, x_*(\tau), u_*(\tau), p(\tau), 1\big) \geq H\big(\tau, x_*(\tau), v, p(\tau), 1\big).$$

Nun ist τ ein beliebiger Stetigkeitspunkt von $u_*(\cdot)$ und v ein beliebiger Punkt der Menge U. Demzufolge ist die Beziehung (4.10) in allen Stetigkeitspunkten von $u_*(\cdot)$ wahr und es ist damit Theorem 4.5 bewiesen. ■

Wir untersuchen das konjugierte System

$$\dot{y}(t) = \varphi_x\big(t, x_*(t), u_*(t)\big)y(t), \qquad \dot{z}(t) = -\varphi_x^T\big(t, x_*(t), u_*(t)\big)z(t)$$

und es seien $Y_*(t)$ bzw. $Z_*(t)$ die in $t = 0$ normalisierten Fundamentalmatrizen dieses Systems. Für diese gilt $Y_*^T(t) = Z_*^{-1}(t)$. Dann ergibt sich aus der Beziehung (4.13),

$$\langle p(t), y(t)\rangle = -\int_t^\infty \omega(s)\big\langle f_x\big(t, x_*(s), u_*(s)\big), y(s)\big\rangle\, dt,$$

die Darstellung (Aseev & Kryazhimskii und Aseev & Veliov [3–6])

$$p(t) = -Z_*(t)\int_t^\infty \omega(s)Z_*^{-1}(s)f_x\big(s, x_*(s), u_*(s)\big)\, ds.$$

Wir erhalten damit ergänzend zu Theorem 4.5:

Folgerung 4.6. *In Theorem 4.5 genügt die Adjungierte der eindeutigen Darstellung*

$$p(t) = -Z_*(t)\int_t^\infty \omega(s)Z_*^{-1}(s)f_x\big(s, x_*(s), u_*(s)\big)\, ds. \tag{4.14}$$

Beispiel 4.7. Wir untersuchen die Aufgabe

$$J\big(x(\cdot), u(\cdot)\big) = \int_0^\infty e^{-\varrho t}\ln\big[\big(1 - u(t)\big)x(t)\big]\, dt \to \sup,$$
$$\dot{x}(t) = u(t)x(t), \quad x(0) = x_0 > 0, \quad u(t) \in [0, 1), \quad \varrho \in (0, 1).$$

Es sei $\big(x(\cdot), u(\cdot)\big)$ zulässig und es seien $Z(\cdot)$ bzw. $q(\cdot)$ die Lösungen der Gleichungen

$$\dot{z}(t) = -u(t)z(t), \quad z(0) = 1, \qquad q(t) = -Z(t)\int_t^\infty e^{-\varrho s}Z^{-1}(s)f_x\big(s, x(s), u(s)\big)\, ds.$$

Wir erhalten für $Z(\cdot), x(\cdot)$ und $q(\cdot)$ die expliziten Darstellungen

$$Z(t) = \exp\Big\{-\int_0^t u(s)\, ds\Big\}, \qquad x(t) = Z^{-1}(t)x_0, \qquad q(t) = -Z(t)\int_t^\infty e^{-\varrho s}\frac{1}{x_0}\, ds.$$

In Anlehnung an die Maximumbedingung (4.10) betrachten wir die Gleichung

$$q(t)x(t) - e^{-\varrho t}\frac{1}{1 - u(t)} = 0.$$

Auf der Grundlage dieser Gleichung ergibt sich für $u(\cdot)$ die eindeutige Steuerung

$$u(t) = 1 - \Big[-Z(t)\int_t^\infty e^{-\varrho s}\frac{1}{x_0}\, ds \cdot Z^{-1}(t)x_0e^{\varrho t}\Big]^{-1} = 1 - \varrho.$$

Damit erhalten wir als einzigen optimalen Kandidaten und für die Adjungierte

$$x_*(t) = x_0e^{(1-\varrho)t}, \qquad u_*(t) \equiv 1 - \varrho, \qquad p(t) = \frac{1}{\varrho x_0}e^{-t}.$$

Die Voraussetzung **(V)** ist mit der Funktion $\mu(t) = e^{(1-\varrho)t}$ erfüllt, für die die Voraussetzung **(T)**, d. h. $\mu(t)\|p(t)\| \to 0$ für $t \to \infty$, gilt. □

4.4. Parameter und Freiheitsgrade in der Aufgabe mit unendlichem Horizont

In der Aufgabe (4.1)–(4.4) haben wir die Dichtefunktion $\omega(\cdot)$ bisher als integrable Funktion über $\mathbb{R}_+$ spezifiziert. Häufigster Vertreter ist dabei die Dichtefunktion $\omega(t) = e^{-\varrho t}$ mit $\varrho > 0$, auf die wir uns nicht ausschließlich festlegen wollen.

Die Exponentialverteilung stellt einen Spezialfall der Weibull-Verteilung mit einer Dichte

$$\omega(t) = \omega_0 t^{k-1} e^{-t^k}, \qquad k > 0,$$

dar. Besitzt der Formparameter k einen Wert aus $(0, 1)$, so ist die Dichtefunktion in $t = 0$ unbeschränkt. Im Gegensatz zum ersten und zweiten Kapitel über schwache und starke lokale Minimalstellen in Aufgaben über endlichem Zeithorizont ist im Fall $k \in (0, 1)$ der Integrand im Zielfunktional (4.1) lokal unbeschränkt. Die Dichtefunktion der Weibull-Verteilung mit einem Formparameter $k \in (0, 1)$ stellt also eine neue Herausforderung dar.

Ein Freiheitsgrad der Aufgabe (4.1)–(4.4) ist die Wahl der zulässigen Elemente $\big(x(\cdot), u(\cdot)\big)$. Die Aufgaben mit endlichem Horizont betrachteten wir bezüglich der Paare

$$\big(x(\cdot), u(\cdot)\big) \in W_2^1([t_0, t_1], \mathbb{R}^n) \times L_\infty([t_0, t_1], U).$$

In den Aufgaben mit unendlichem Zeithorizont dürfen wir nicht ohne Weiteres das Intervall $[t_0, t_1]$ durch $\mathbb{R}_+$ ersetzen. Wir geben dazu zwei illustrative Beispiele an:

Beispiel 4.8. Wir betrachten das Problem einer "optimalen" Fischfangpolitik:

$$\begin{aligned}
&\int_0^\infty e^{-\varrho t}\big(x(t) - c\big)u(t)\,dt \to \sup,\\
&\dot{x}(t) = rx(t)\Big(1 - \frac{x(t)}{K}\Big) - u(t)x(t), \qquad x(0) = x_0 > 0,\\
&u(t) \in [0, u_{\max}], \qquad 0 < \varrho < r < u_{\max}.
\end{aligned}$$

Die "optimale" Politik wird ab einem gewissen Zeitpunkt $\tau \geq 0$ durch das Gleichgewicht

$$\overline{x} = \frac{K}{2r}(r - \varrho), \qquad \overline{u} = \frac{r + \varrho}{2}$$

gegeben. Die zugehörige Zustandstraktorie $x_*(\cdot)$ ist beschränkt und es gilt $x_*(t) = \overline{x} > 0$ für $t \geq \tau$. Sie gehört also nicht dem klassischen Sobolev-Raum $W_2^1(\mathbb{R}_+, \mathbb{R})$ an. □

Beispiel 4.9. Wir betrachten die folgende Aufgabe mit Produktionsfunktion $f(x) = \sqrt{x}$:

$$\begin{aligned}
&\int_0^\infty e^{-\varrho t}\big(1 - u(t)\big)\sqrt{x(t)}\,dt \to \sup,\\
&\dot{x}(t) = \gamma u(t)\sqrt{x(t)} - \delta x(t), \qquad x(0) = x_0 > 0,\\
&u(t) \in [0, 1], \qquad \varrho, \gamma, \delta > 0.
\end{aligned}$$

Ab einem gewissen Zeitpunkt $\tau \geq 0$ liefert die Gleichgewichtslösung

$$\overline{x} = \frac{\gamma^2}{4(\varrho+\delta)^2}, \qquad \overline{u} = \frac{\delta}{2(\varrho+\delta)}$$

die "optimale" Politik. Die zugehörige Zustandstraktorie $x_*(\cdot)$ gehört wiederum nicht dem klassischen Sobolev-Raum $W_2^1(\mathbb{R}_+, \mathbb{R})$ an. □

Es stellt sich damit die Frage, in welchem Rahmen wir die zulässigen Elemente der Aufgabe (4.1)–(4.4) auffassen. Wir folgen dem Vorschlag von Lykina & Pickenhain [43, 51, 52] und verstehen unter den zulässigen Trajektorien diejenigen Funktionen, die einem gewichteten Sobolev-Raum $W_2^1(\mathbb{R}_+, \mathbb{R}^n; \nu)$ mit geeigneter Gewichtsfunktion $\nu(\cdot)$ angehören.
Die Gewichtsfunktion ist ein Freiheitsgrad der Aufgabe und liefert eine implizite und globale Wachstumsbeschränkung an die zulässigen Trajektorien $x(\cdot)$. Dabei meinen wir global in dem Sinn, dass keine punktweisen Beschränkungen der Form $\|x(t)\| \leq \gamma(t)$ für alle $t \in \mathbb{R}_+$ vorliegen. Die Anforderung, die wir an eine Gewichtsfunktion stellen, lassen sich am einfachsten an der Funktion $\nu(t) = e^{-at}$ mit $a > 0$ einsehen. Diese Funktion

(i) ist stetig, positiv und monoton fallend;

(ii) gehört dem Raum $W_1^1(\mathbb{R}_+, \mathbb{R})$ an und es gelten $\nu(0) = 1$, $\lim\limits_{t\to\infty} t \cdot \nu(t) = 0$;

(iii) erfüllt $|\dot{\nu}(t)| \leq K\nu(t)$ für alle $t \in \mathbb{R}_+$ mit einer Konstanten $K > 0$.

Eine Gewichtsfunktion, die (i)–(iii) ebenfalls erfüllt, ist $\nu(t) = (1+t)^{-a}$ für $a > 1$.

Ein weiterer Freiheitsgrad sind die Voraussetzungen an die Aufgabe. Wir vernachlässigen an dieser Stelle die Zustandsbeschränkungen. In Analogie zum Abschnitt 1.3 über das Schwache Optimalitätsprinzip bezeichne U_γ zu $\big(x(\cdot), u(\cdot)\big)$ die Menge

$$U_\gamma = \{(t, x, u) \in \mathbb{R}_+ \times \mathbb{R}^n \times \mathbb{R}^m \,|\, \|x - x(t)\| \leq \gamma, \|u - u(t)\| \leq \gamma\}.$$

Dann gehören zur Menge $\mathscr{A}_{\mathrm{Lip}}$ diejenigen Paare $\big(x(\cdot), u(\cdot)\big) \in W_2^1(\mathbb{R}_+, \mathbb{R}^n; \nu) \times L_\infty(\mathbb{R}_+, U)$, für die es eine Zahl $\gamma > 0$ derart gibt, dass auf der Menge U_γ gelten:

$(\mathbf{A}_1)$ Die Abbildungen $f(t, x, u)$ und $\varphi(t, x, u)$ sind stetig differenzierbar.

Da die Menge U_γ nicht mehr kompakt ist, können wir nicht ohne weitere Annahmen von der gleichmäßigen Stetigkeit ausgehen. Also fordern wir zusätzlich:

$(\mathbf{A}_2')$ Für fast alle $t \in \mathbb{R}_+$ gibt es auf U_γ eine Zahl $C_0 > 0$ mit

$$\begin{aligned} \big|f(t,x,u)\big| &\leq C_0(1 + \|x\| + \|u\|), & \big\|\big(f_x(t,x,u), f_u(t,x,u)\big)\big\| &\leq C_0, \\ \big\|\varphi(t,x,u)\big\| &\leq C_0(1 + \|x\| + \|u\|), & \big\|\big(\varphi_x(t,x,u), \varphi_u(t,x,u)\big)\big\| &\leq C_0. \end{aligned}$$

Auf der Grundlage der Voraussetzung $(\mathbf{A}_2')$ prüfen wir die Wohldefiniertheit des Zielfunktionals (4.1). Dazu legen wir uns nicht auf den gewichteten Sobolev-Raum $W_p^1(\mathbb{R}_+, \mathbb{R}^n; \nu)$ mit $p = 2$ fest. Wie wir gleich sehen werden dürfen wir das an dieser Stelle auch nicht. Die Anwendung der Hölderschen Ungleichung liefert

$$\begin{aligned} \big|J\big(x(\cdot), u(\cdot)\big)\big| &\le \int_0^\infty \omega(t)\big|f\big(t, x(t), u(t)\big)\big|\,dt \le C_0 \int_0^\infty \omega(t)(1 + \|x(t)\| + \|u(t)\|)\,dt \\ &\le \quad C_0[1 + \|u(\cdot)\|_{L_\infty}] \cdot \|\omega(\cdot)\|_{L_1} + C_0\|x(\cdot)\|_{p,\nu}\left[\int_0^\infty \nu^{1-q}(t)\omega^q(t)\,dt\right]^{1/q} < \infty. \end{aligned}$$

Der letzte Term führt zu der Kopplungsbedingung

$$\nu^{1-q}(\cdot)\omega^q(\cdot) \in L_1(\mathbb{R}_+, \mathbb{R}_+)$$

zwischen der Dichte- und Gewichtsfunktion.
Da die Gewichtsfunktion stetig, positiv und beschränkt über $[0, 1]$ ist, ergibt sich außerdem für die Dichtefunktion der Weibull-Verteilung mit Formparameter $k \in (0, 1)$:

$$\omega^q(\cdot) \in L_1([0, 1], \mathbb{R}) \quad \Leftrightarrow \quad \int_0^1 t^{q(k-1)}dt < \infty \quad \Leftrightarrow \quad p > \frac{1}{k}.$$

Wir erhalten also zusätzlich eine Abhängigkeit zwischen dem Formparameter k und dem Parameter p bei der Wahl des gewichteten Sobolev-Raumes $W_p^1(\mathbb{R}_+, \mathbb{R}^n; \nu)$.

Als wesentlich flexibler erweist sich bezüglich dem Integranden f die Annahme:

$(\mathbf{A}_2)$ Für fast alle $t \in \mathbb{R}_+$ gibt es auf U_γ ein $C_0 > 0$ und ein $L(\cdot) \in L_1(\mathbb{R}_+, \mathbb{R}_+; \omega)$ mit

$$\begin{aligned} &\big\|\big(f(t, x, u), f_x(t, x, u), f_u(t, x, u)\big)\big\| \le L(t), \\ &\|\varphi(t, x, u)\| \le C_0(1 + \|x\| + \|u\|), \quad \big\|\big(\varphi_x(t, x, u), \varphi_u(t, x, u)\big)\big\| \le C_0. \end{aligned}$$

Unter der Voraussetzung $(\mathbf{A}_2)$ erhalten wir unmittelbar die Wohldefiniertheit des Zielfunktionals auf der Menge U_γ:

$$\big|J\big(x(\cdot), u(\cdot)\big)\big| \le \int_0^\infty \omega(t)L(t)\,dt < \infty.$$

Die Kopplungen zwischen der Dichte- und Gewichtsfunktion und die Einschränkungen bei der Wahl des gewichteten Sobolev-Raumes liegen jetzt nicht weiter vor.

Wir legen uns bei der Untersuchung von schwachen und starken lokalen Minimalstellen auf die vorliegende Formulierung der Aufgabe (4.1)–(4.4) und auf die Voraussetzung $(\mathbf{A}_2)$ fest. Eine alternative Herangehensweise muss wohlüberlegt sein. Denn wie wir eben verdeutlicht haben, kann die Aufgabe über dem unendlichen Zeithorizont auf die Festlegung der Voraussetzungen äußerst empfindlich reagieren.

5. Schwaches lokales Minimum über unendlichem Zeithorizont

Den wichtigsten Aspekt des letzten Kapitels bildet der Umstand, dass die Aufgaben mit unendlichem Zeithorizont die Probleme über einem endlichen Intervall mit freiem rechten Endpunkt verallgemeinern. Deswegen können zur Herleitung von notwendigen Optimalitätsbedingungen für Steuerungsprobleme mit unendlichem Zeithorizont die Ergebnisse für Aufgaben über einem endlichen Zeitintervall weder übernommen noch einfach angepasst werden. Dieser Herausforderung wurde bisher kaum Beachtung geschenkt. Von den wenigen Ansätzen, die diesbezüglich existieren, zählen wir die Arbeiten von Brodskii [11] und Pickenhain [51] auf. In diesen Beiträgen werden auf der Basis von schwachen lokalen Variationen und der Anwendung geeigneter funktionalanalytischer Methoden notwendige Optimalitätsbedingungen für Steuerungsprobleme mit unendlichem Zeithorizont erzielt.
In [11] wird eine sehr allgemeine Aufgabenklasse betrachtet. Aufgrund der Wahl des Raumes der messbaren und beschränkten Funktionen führt der funktionalanalytische Rahmen allerdings zu keiner "ästhetischen" Darstellung der Adjungierten.
Demgegenüber bezieht sich die Arbeit [51] auf Aufgaben mit eindimensionalen linearen Nebenbedingungen. Der innovative Beitrag in [51] ist die Wahl des gewichteten Sobolev-Raumes, in deren Rahmen die "natürlichen" Transversalitätsbedingungen in gewisser Weise Eigenschaften der Elemente dieser Räume sind. Wir brauchen diesbezüglich nur darauf hinzuweisen, dass nach Lemma B.12 der Grenzwert

$$\lim_{t\to\infty} \langle x(t), y(t)\rangle = 0 \quad \text{für } x(\cdot) \in W_2^1(\mathbb{R}_+, \mathbb{R}^n; \nu),\ y(\cdot) \in W_2^1(\mathbb{R}_+, \mathbb{R}^n; \nu^{-1})$$

stets erfüllt ist. An der Arbeit [51] ist jedoch anzumerken, dass sich die angewandte Beweismethode nur unter restriktiven Annahmen auf mehrdimensionale Zustandstrajektorien erweitern lässt. Die Anwendbarkeit der Beweisstrategie im Fall von Aufgaben mit einer nichtlinearen Dynamik ist offen.

Unsere Untersuchungen zu schwachen lokalen Minimalstellen in Steuerungsproblemen mit unendlichem Zeithorizont beziehen sich auf die Aufgabe

$$\begin{aligned} &J\big(x(\cdot), u(\cdot)\big) = \int_0^\infty \omega(t) f\big(t, x(t), u(t)\big)\, dt \to \inf, \\ &\dot{x}(t) = \varphi\big(t, x(t), u(t)\big), \quad x(0) = x_0, \\ &u(t) \in U \subseteq \mathbb{R}^m, \quad U \neq \emptyset \text{ und konvex.} \end{aligned}$$

Das so gestellte Steuerungsproblem besitzt einen weniger allgemeinen Charakter als die Aufgaben bei Brodskii [11]. Aber auf der Grundlage der Wahl gewichteter Sobolev-Räume für die Zustandstrajektorie nach Pickenhain [51] erhalten wir in den notwendigen Optimalitätsbedingungen qualitativ bessere Informationen über die Adjungierte. Aufgrund der Gültigkeit der "natürlichen" Transversalitätsbedingungen lassen sich hinreichende Bedingungen unmittelbar in die Ausführungen einbinden.

5.1. Die Aufgabenstellung

In diesem Kapitel betrachten wir schwache lokale Minimalstellen der Aufgabe

$$J\big(x(\cdot),u(\cdot)\big)=\int_0^\infty \omega(t)f\big(t,x(t),u(t)\big)\,dt\to\inf, \tag{5.1}$$

$$\dot{x}(t)=\varphi\big(t,x(t),u(t)\big),\quad x(0)=x_0, \tag{5.2}$$

$$u(t)\in U\subseteq\mathbb{R}^m,\quad U\neq\emptyset \text{ und konvex.} \tag{5.3}$$

Dabei gelten $f:\mathbb{R}\times\mathbb{R}^n\times\mathbb{R}^m\to\mathbb{R}$ und $\varphi:\mathbb{R}\times\mathbb{R}^n\times\mathbb{R}^m\to\mathbb{R}^n$.
Wir nennen die Trajektorie $x(\cdot)$ eine Lösung des dynamischen Systems (5.2), falls $x(\cdot)$ auf $\mathbb{R}_+$ definiert ist und auf jedem endlichen Intervall die Dynamik mit Steuerung $u(\cdot)$ im Sinn von Carathéodory löst.

Für die Aufgabe (5.1)–(5.3) treffen wir die folgenden Annahmen $(\mathbf{A}_0)$–$(\mathbf{A}_2)$:

$(\mathbf{A}_0)$ Die Dichtefunktion $\omega(\cdot)$ und das Gewicht $\nu(\cdot)$ besitzen die Eigenschaften:

- (o) Es gilt $\omega(\cdot)\in L_1(\mathbb{R}_+,\mathbb{R}_+)$.
- (i) Es ist $\nu(\cdot)$ stetig, positiv und monoton fallend.
- (ii) Es ist $\nu(\cdot)\in W_1^1(\mathbb{R}_+,\mathbb{R})$ und es gelten $\nu(0)=1$, $\lim\limits_{t\to\infty} t\cdot\nu(t)=0$.
- (iii) Es ist $|\dot{\nu}(t)|\le K\nu(t)$ für alle $t\in\mathbb{R}_+$ mit einer Konstanten $K>0$.

Zu $\big(x(\cdot),u(\cdot)\big)\in W_2^1(\mathbb{R}_+,\mathbb{R}^n;\nu)\times L_\infty(\mathbb{R}_+,U)$ definieren wir die Menge U_γ wie folgt:

$$U_\gamma=\{(t,x,u)\in\mathbb{R}_+\times\mathbb{R}^n\times\mathbb{R}^m\,|\,\|x-x(t)\|\le\gamma,\|u-u(t)\|\le\gamma\}.$$

Dann gehören zur Menge $\mathscr{A}_{\mathrm{Lip}}$ diejenigen $\big(x(\cdot),u(\cdot)\big)\in W_2^1(\mathbb{R}_+,\mathbb{R}^n;\nu)\times L_\infty(\mathbb{R}_+,U)$, für die es eine Zahl $\gamma>0$ derart gibt, dass auf der Menge U_γ gelten:

$(\mathbf{A}_1)$ Die Abbildungen $f(t,x,u)$ und $\varphi(t,x,u)$ sind stetig differenzierbar.

$(\mathbf{A}_2)$ Für fast alle $t\in\mathbb{R}_+$ gibt es auf U_γ ein $C_0>0$ und ein $L(\cdot)\in L_1(\mathbb{R}_+,\mathbb{R}_+;\omega)$ mit

$$\big\|\big(f(t,x,u),f_x(t,x,u),f_u(t,x,u)\big)\big\|\le L(t),$$
$$\|\varphi(t,x,u)\|\le C_0(1+\|x\|+\|u\|),\quad \big\|\big(\varphi_x(t,x,u),\varphi_u(t,x,u)\big)\big\|\le C_0.$$

Wir nennen $\big(x(\cdot),u(\cdot)\big)\in W_2^1(\mathbb{R}_+,\mathbb{R}^n;\nu)\times L_\infty(\mathbb{R}_+,U)$ einen zulässigen Steuerungsprozess in der Aufgabe (5.1)–(5.3), falls $\big(x(\cdot),u(\cdot)\big)$ dem System (5.2) genügt und das Lebesgue-Integral im Zielfunktional in (5.1) endlich ist. Die Menge $\mathscr{A}_{\mathrm{adm}}$ bezeichnet die Menge der zulässigen Steuerungsprozesse $\big(x(\cdot),u(\cdot)\big)$.

Ein zulässiger Steuerungsprozess $\big(x_*(\cdot),u_*(\cdot)\big)$ ist eine schwache lokale Minimalstelle der Aufgabe (5.1)–(5.3), falls eine Zahl $\varepsilon>0$ derart existiert, dass die Ungleichung

$$J\big(x(\cdot),u(\cdot)\big)\ge J\big(x_*(\cdot),u_*(\cdot)\big)$$

für alle $\big(x(\cdot),u(\cdot)\big)\in\mathscr{A}_{\mathrm{adm}}$ mit $\|x(\cdot)-x_*(\cdot)\|_\infty\le\varepsilon$, $\|u(\cdot)-u_*(\cdot)\|_{L_\infty}\le\varepsilon$ gilt.

5.2. Ein Schwaches Optimalitätsprinzip über dem unendlichem Zeithorizont

5.2.1. Notwendige Optimalitätsbedingungen

Im Weiteren bezeichnet $H : \mathbb{R} \times \mathbb{R}^n \times \mathbb{R}^m \times \mathbb{R}^n \times \mathbb{R} \to \mathbb{R}$ die Pontrjagin-Funktion

$$H(t, x, u, p, \lambda_0) = \langle p, \varphi(t, x, u)\rangle - \lambda_0 \omega(t) f(t, x, u).$$

Theorem 5.1. *Es sei* $\big(x_*(\cdot), u_*(\cdot)\big) \in \mathscr{A}_{\rm adm} \cap \mathscr{A}_{\rm Lip}$. *Ist* $\big(x_*(\cdot), u_*(\cdot)\big)$ *ein schwaches lokales Minimum der Aufgabe (5.1)–(5.3), dann existieren nicht gleichzeitig verschwindende Multiplikatoren* $\lambda_0 \geq 0$ *und* $p(\cdot) \in L_2(\mathbb{R}_+, \mathbb{R}^n; \nu^{-1})$ *derart, dass*

(a) die Funktion $p(\cdot)$ *fast überall der adjungierten Gleichung*

$$\dot p(t) = -\varphi_x^T\big(t, x_*(t), u_*(t)\big)p(t) + \lambda_0 \omega(t) f_x\big(t, x_*(t), u_*(t)\big) \tag{5.4}$$

genügt und die "natürlichen" Transversalitätsbedingungen

$$\lim_{t\to\infty} \|p(t)\|^2 \nu^{-1}(t) = 0, \qquad \langle p(t), x(t)\rangle = 0 \quad \forall\, x(\cdot) \in W_2^1(\mathbb{R}_+, \mathbb{R}^n; \nu) \tag{5.5}$$

erfüllt;

(b) in fast allen Punkten $t \in \mathbb{R}_+$ *und für alle* $u \in U$ *die Variationsungleichung*

$$\big\langle H_u\big(t, x_*(t), u_*(t), p(t), \lambda_0\big), \big(u - u_*(t)\big)\big\rangle \leq 0 \tag{5.6}$$

gilt.

Bemerkung 5.2. In vielen Anwendungen gilt für die Adjungierte $p(\cdot)$ in Theorem 5.1 die Identifizierung $p(\cdot) \in W_2^1(\mathbb{R}_+, \mathbb{R}^n; \nu^{-1})$. In diesem Fall ergeben sich die "natürlichen" Transversalitätsbedingungen

$$\lim_{t\to\infty} \|p(t)\|^2 \nu^{-1}(t) = 0, \qquad \langle p(t), x(t)\rangle = 0 \quad \forall\, x(\cdot) \in W_2^1(\mathbb{R}_+, \mathbb{R}^n; \nu)$$

unmittelbar aus Lemma B.12. □

Lemma 5.3. *Zusätzlich zu Theorem 5.1 gelte für* $L(\cdot) \in L_1(\mathbb{R}_+, \mathbb{R}_+; \omega)$ *in* $(\mathbf{A}_2)$

$$\lim_{t\to\infty} \omega(t) L(t) = 0.$$

Dann gilt die Bedingung von Michel [47]:

$$\lim_{t\to\infty} H\big(t, x_*(t), u_*(t), p(t), \lambda_0\big) = 0. \tag{5.7}$$

Beweis Da $\big(x_*(\cdot), u_*(\cdot)\big)$ zur Menge $\mathscr{A}_{\mathrm{Lip}}$ gehören, gilt nach Voraussetzung **($\mathbf{A}_2$)**:

$$\begin{aligned}\big|H\big(t, x_*(t), u_*(t), p(t), \lambda_0\big)\big|^2 &\le \big[\|p(t)\|\|\varphi\big(t, x_*(t), u_*(t)\big)\| + \omega(t)\|f\big(t, x_*(t), u_*(t)\big)\|\big]^2\\ &\le C \cdot \Big[\big(\|p(t)\|^2\nu^{-1}(t)\big) \cdot \big((1 + \|x_*(t)\|^2 + \|u_*(t)\|^2)\nu(t)\big) + \big(\omega(t)L(t)\big)^2\Big].\end{aligned}$$

Der letzte Ausdruck verschwindet im Unendlichen, da

$$\lim_{t\to\infty} \|x_*(t)\|^2\nu(t) = 0, \qquad \lim_{t\to\infty} \|p(t)\|^2\nu^{-1}(t) = 0$$

nach Lemma B.11 bzw. nach (5.5) und

$$\lim_{t\to\infty} [1 + \|u_*(t)\|^2]\nu(t) = 0, \qquad \lim_{t\to\infty} \omega(t)L(t) = 0$$

wegen der Beschränktheit von $u_*(\cdot)$ bzw. nach Voraussetzung gelten. ■

Beispiel 5.4. Wir betrachten nach Pickenhain & Wenzke [53] folgende Aufgabe eines linear-quadratischen Reglers:

$$\begin{aligned}&J\big(x(\cdot), u(\cdot)\big) = \int_0^\infty e^{-2t} \cdot \frac{1}{2}\big(x^2(t) + u^2(t)\big)\, dt \to \inf,\\ &\dot{x}(t) = 2x(t) + u(t), \qquad x(0) = 2, \qquad u(t) \in \mathbb{R}.\end{aligned}$$

Die notwendigen Optimalitätsbedingungen in Theorem 5.1 liefern den Steuerungsprozess

$$x_*(t) = 2e^{(1-\sqrt{2})t}, \qquad u_*(t) = -2(1 + \sqrt{2})e^{(1-\sqrt{2})t}$$

und die Multiplikatoren

$$\lambda_0 = 1, \qquad p(t) = e^{-2t}u_*(t).$$

Für den beschränkten Steuerungsprozess $\big(x_*(\cdot), u_*(\cdot)\big)$ ist offenbar die Voraussetzung **($\mathbf{A}_2$)** für jedes $\gamma > 0$ auf der Menge U_γ erfüllt. Für die Wahl des Gewichtes $\nu(\cdot)$ diskutieren wir zwei einfache Vertreter:

(a) Wir betrachten zuerst das Gewicht $\nu(t) = (1 + t)^{-a}$ mit $a > 1$. Dann erhalten wir $x(\cdot) \in W_2^1(\mathbb{R}_+, \mathbb{R}^n; \nu)$ und $p(\cdot) \in L_2(\mathbb{R}_+, \mathbb{R}^n; \nu^{-1})$ für alle $a > 1$.

(b) Mit dem Gewicht $\nu(t) = e^{-at}$ gilt $x(\cdot) \in W_2^1(\mathbb{R}_+, \mathbb{R}^n; \nu)$ für alle $a > 0$. Allerdings führt $p(\cdot) \in L_2(\mathbb{R}_+, \mathbb{R}^n; \nu^{-1})$ zur Einschränkung $a < 2(1 + \sqrt{2})$.

In beiden Fällen sind die "natürlichen" Transversalitätsbedingungen (5.5) erfüllt. Daher gilt wegen der Beschränktheit des Integranden $f(t, x, u)$ und dessen partiellen Ableitungen auf jeder Menge U_γ nach Lemma 5.3 außerdem die Bedingung von Michel. □

5.2.2. Bemerkungen und Hinweise zur Extremalaufgabe

Wir verfahren mit dem Steuerungsproblem (5.1)–(5.3) über dem unendlichen Zeithorizont auf die gleiche Weise wie in den ersten Kapiteln, in dem wir sie in eine Extremalaufgabe überführen. Dabei stellt sich die Frage nach dem Verständnis der Dynamik (5.2) über dem unbeschränkten Intervall.
Zunächst sei sie in der Form der Differential- bzw. der Integralgleichung

$$\begin{aligned}\Phi_1\big(x(\cdot),u(\cdot)\big)(t) &= \dot{x}(t)-\varphi\big(t,x(t),u(t)\big),\\ \Phi_2\big(x(\cdot),u(\cdot)\big)(t) &= x(t)-x(0)-\int_0^t \varphi\big(s,x(s),u(s)\big)\,ds\end{aligned}$$

gegeben. Mit den Angaben

$$\begin{aligned}\Phi_1\big(x(\cdot),u(\cdot)\big) &: W_2^1(\mathbb{R}_+,\mathbb{R}^n;\nu)\times L_\infty(\mathbb{R}_+,\mathbb{R}^m)\to L_2(\mathbb{R}_+,\mathbb{R}^n;\nu),\\ \Phi_2\big(x(\cdot),u(\cdot)\big) &: W_2^1(\mathbb{R}_+,\mathbb{R}^n;\nu)\times L_\infty(\mathbb{R}_+,\mathbb{R}^m)\to W_2^1(\mathbb{R}_+,\mathbb{R}^n;\nu)\end{aligned}$$

sind diese Abbildungen wohldefiniert, aber der Nachweis eines Extremalprinzips im Rahmen der gewichteten Sobolev-Räume bereitet im Fall einer nichtlinearen Dynamik erhebliche Schwierigkeiten.
Demgegenüber können wir mit dem Gewicht $\nu(\cdot)$ den Operator Φ_2 in die Form

$$\Phi_3\big(x(\cdot),u(\cdot)\big)(t)=\nu(t)\left[x(t)-x(0)-\int_0^t \varphi\big(s,x(s),u(s)\big)\,ds\right]$$

bringen. Mit dieser Darstellung lässt sich Φ_3 als Abbildung in den Raum $C_0(\mathbb{R}_+,\mathbb{R}^n)$ der stetigen Funktionen, die im Unendlichen verschwinden, auffassen. Ferner folgt aus der Gleichung $\Phi_3\big(x(\cdot),u(\cdot)\big)=0$, dass $x(\cdot)$ auf jedem endlichen Intervall der Dynamik (5.2) zur Steuerung $u(\cdot)$ im Sinn von Carathéodory genügt.

Die Wahl des Raumes $C_0(\mathbb{R}_+,\mathbb{R}^n)$ erweist sich an verschiedenen Stellen im nachfolgenden Beweiskonzept als geeignet. Dazu gehen wir zunächst auf die Variation eines zulässigen Steuerungsprozesses ein. Im Beispiel 4.9 genügt der optimale Steuerungsprozess der Dynamik

$$\dot{x}(t)=\gamma u(t)\sqrt{x(t)}-\delta x(t),\qquad x(0)=x_0>0.$$

Wegen der Abbildung $x\to\sqrt{x}$ dürfen nur Variationen betrachtet werden, die wenigstens bezüglich der gleichmäßigen Topologie $\|\cdot\|_\infty$ beschränkt sind. Diese Dynamik liefert damit unmittelbar eine Einschränkung an die Klasse der Variationen.
Entsprechend der Vorarbeiten im Abschnitt 1.3 im ersten Kapitel über ein Schwaches Optimalitätsprinzip betrachten wir daher

$$F\big(\xi(\cdot),v(\cdot)\big)(t)=\nu(t)\left[\big(x(t)+\xi(t)\big)-\big(x(0)+\xi(0)\big)-\int_0^t \varphi\big(s,x(s)+\xi(s),u(s)+v(s)\big)\,ds\right]$$

und fassen diese Abbildung durch $F : C_0(\mathbb{R}_+, \mathbb{R}^n) \times L_\infty(\mathbb{R}_+, \mathbb{R}^m) \to C_0(\mathbb{R}_+, \mathbb{R}^n)$ auf. Auf diese Weise betten wir das Steuerungsproblem (5.1)–(5.3) in einen Rahmen, der die größte Verwandtschaft mit den Darstellungen im Abschnitt 1.3 aufweist. Dabei beziehen wir uns weniger auf die gleichmäßige Topologie $\|\cdot\|_\infty$, sondern der entscheidende Punkt wird durch den Darstellungssatz von Riesz (Satz B.6) geliefert: Der Dualraum $C_0^*(\mathbb{R}_+, \mathbb{R}^n)$ ist isometrisch isomorph zum Raum der regulären Borelschen Maße.
Bei der Betrachtung von starken lokalen Minimalstellen in Aufgaben mit unendlichem Zeithorizont gewinnt der Darstellungssatz von Riesz zusätzlich an Bedeutung. Insbesondere bei Aufgaben mit Zustandsbeschränkungen stehen wir nämlich vor der Herausforderung, das Subdifferential der Supremumsfunktion im Raum $C_0(\mathbb{R}_+, \mathbb{R}^n)$ bestimmen zu müssen.

Die Festlegung des Operators F birgt einen gravierenden Makel in sich: Im Ursprung $\big(\xi_0(\cdot), v_0(\cdot)\big)$ des Raumes $C_0(\mathbb{R}_+, \mathbb{R}^n) \times L_\infty(\mathbb{R}_+, \mathbb{R}^m)$ ist die Abbildung F zwar stetig differenzierbar, ist aber in diesem Punkt nicht regulär. Denn die Ableitung

$$\begin{aligned}&\big[F'\big(\xi_0(\cdot), v_0(\cdot)\big)\big(\xi(\cdot), v(\cdot)\big)\big](t)\\ &\quad = \nu(t)\bigg[\xi(t) - x(0) - \int_0^t \big[\varphi_x\big(s, x(s), u(s)\big)\xi(s) + \varphi_u\big(s, x(s), u(s)\big)v(s)\big]\, ds\bigg]\end{aligned}$$

bildet im Allgemeinen nicht auf den gesamten Raum $C_0(\mathbb{R}_+, \mathbb{R}^n)$ ab, da die Gleichung

$$\zeta(t) = \nu(t)\bigg[\xi(t) - \xi(0) - \int_0^t \big[A(s)\xi(s) + a(s)\big]\, ds\bigg]$$

nicht für jedes $\zeta(\cdot) \in C_0(\mathbb{R}_+, \mathbb{R}^n)$ eine Lösung $\xi(\cdot) \in C_0(\mathbb{R}_+, \mathbb{R}^n)$ besitzt. Im Kontrast dazu existiert zu jedem $\zeta(\cdot) \in C_0(\mathbb{R}_+, \mathbb{R}^n)$ ein $\xi(\cdot) \in C_0(\mathbb{R}_+, \mathbb{R}^n)$ mit (Lemma D.1)

$$\zeta(t) = \xi(t) - \nu(t)\bigg[\xi(0) + \int_0^t \big[A(s)\xi(s) + a(s)\big]\, ds\bigg].$$

Den Operator F können wir nicht in diese Gestalt überführen. Aber es lassen sich durch

$$\begin{aligned}F_1\big(\xi(\cdot), v(\cdot)\big)(t) &= 2\xi(t) + \nu(t)\bigg[x(t) - x(0) - \int_0^t \varphi\big(s, x(s) + \xi(s), u(s) + v(s)\big)\, ds\bigg],\\ F_2\big(\xi(\cdot)\big)(t) &= 2\xi(t) - \nu(t)\big(\xi(t) - \xi(0)\big)\end{aligned}$$

zwei Abbildungen angeben, die im Punkt $\big(\xi_0(\cdot), v_0(\cdot)\big)$ regulär sind und der Gleichung

$$F_1\big(\xi(\cdot), v(\cdot)\big) - F_2\big(\xi(\cdot), v(\cdot)\big) = F\big(\xi(\cdot), v(\cdot)\big)$$

genügen. Auf der Grundlage, dass wir F über die Abbildungen F_1 und F_2 darstellen, können wir den Satz von Ljusternik anwenden und die Gültigkeit des Lagrangeschen Prinzips in Form eines Extremalprinzips nachweisen.

5.2.3. Definition und Eigenschaften der Extremalaufgabe

Sei $\big(x_*(\cdot),u_*(\cdot)\big) \in \mathscr{A}_{\mathrm{Lip}}$ und ferner $x_*(\cdot) \in C(\mathbb{R}_+,\mathbb{R}^n)$. Auf $C_0(\mathbb{R}_+,\mathbb{R}^n)\times L_\infty(\mathbb{R}_+,U)$ definieren wir die Abbildungen

$$\begin{aligned}
\tilde J\big(\xi(\cdot),v(\cdot)\big) &= \int_0^\infty \omega(t) f\big(t,x_*(t)+\xi(t),u_*(t)+v(t)\big)\,dt,\\
F_1\big(\xi(\cdot),v(\cdot)\big)(t) &= 2\xi(t)+\nu(t)\Big[x_*(t)-x_*(0)-\int_0^t \varphi\big(s,x_*(s)+\xi(s),u_*(s)+v(s)\big)\,ds\Big],\\
F_2\big(\xi(\cdot)\big)(t) &= 2\xi(t)-\nu(t)\big(\xi(t)-\xi(0)\big), \qquad t\in\mathbb{R}_+, \qquad H\big(\xi(\cdot)\big)=\xi(0).
\end{aligned}$$

Dabei fassen wir sie als Abbildungen zwischen folgenden Funktionenräumen auf:

$$\begin{aligned}
\tilde J &: C_0(\mathbb{R}_+,\mathbb{R}^n)\times L_\infty(\mathbb{R}_+,\mathbb{R}^m)\to\mathbb{R},\\
F_1 &: C_0(\mathbb{R}_+,\mathbb{R}^n)\times L_\infty(\mathbb{R}_+,\mathbb{R}^m)\to C_0(\mathbb{R}_+,\mathbb{R}^n),\\
F_2 &: C_0(\mathbb{R}_+,\mathbb{R}^n)\to C_0(\mathbb{R}_+,\mathbb{R}^n),\\
H &: C_0(\mathbb{R}_+,\mathbb{R}^n)\to\mathbb{R}^n.
\end{aligned}$$

Im Folgenden betrachten wir die Eigenschaften der Extremalaufgabe

$$\tilde J\big(\xi(\cdot),v(\cdot)\big)\to\inf, \quad F\big(\xi(\cdot),v(\cdot)\big)=F_1\big(\xi(\cdot),v(\cdot)\big)-F_2\big(\xi(\cdot)\big)=0, \quad H\big(\xi(\cdot)\big)=0. \tag{5.8}$$

Dabei sind die Abbildungen F_2 und H offensichtlich auf $C_0(\mathbb{R}_+,\mathbb{R}^n)$ stetig differenzierbar und die linearen Operatoren $F_2'\big(\xi(\cdot)\big), H'\big(\xi(\cdot)\big)$ sind surjektiv für jedes $\xi(\cdot)\in C_0(\mathbb{R}_+,\mathbb{R}^n)$. Für $F_2'\big(\xi(\cdot)\big)$ folgt die Surjektivität aus $1\le 2-\nu(t)<2$ und der Beziehung

$$\zeta(t)=\big[F_2'\big(\xi(\cdot)\big)\tilde\xi(\cdot)\big](t), \quad \zeta(\cdot)\in C_0(\mathbb{R}_+,\mathbb{R}^n) \qquad\Leftrightarrow\qquad \tilde\xi(t)=\frac{\zeta(t)-\frac12\nu(t)\zeta(0)}{2-\nu(t)}.$$

Im Weiteren bezeichnet $\big(\xi_0(\cdot),v_0(\cdot)\big)$ den Ursprung des Raumes $C_0(\mathbb{R}_+,\mathbb{R}^n)\times L_\infty(\mathbb{R}_+,\mathbb{R}^m)$.

Lemma 5.5. *$\tilde J\big(\xi(\cdot),v(\cdot)\big)$ ist im Punkt $\big(\xi_0(\cdot),v_0(\cdot)\big)$ Fréchet-differenzierbar und es gilt*

$$\begin{aligned}
\tilde J'\big(\xi_0(\cdot),v_0(\cdot)\big)\big(\xi(\cdot),v(\cdot)\big) &= \int_0^\infty \omega(t)\big\langle f_x\big(t,x_*(t),u_*(t)\big),\xi(t)\big\rangle\,dt\\
&\quad+\int_0^\infty \omega(t)\big\langle f_u\big(t,x_*(t),u_*(t)\big),v(t)\big\rangle\,dt.
\end{aligned}$$

Beweis Nach Voraussetzung **($\mathbf{A}_2$)** erhalten wir für $\|\xi(\cdot)\|_\infty\le\gamma$ und $\|v(\cdot)\|_{L_\infty}\le\gamma$ die Wohldefiniertheit des Zielfunktionals:

$$\big|\tilde J\big(\xi(\cdot),v(\cdot)\big)\big|\le\int_0^\infty\omega(t)L(t)\,dt<\infty.$$

Weiterhin ist die lineare Abbildung $\tilde{J}'\big(\xi_0(\cdot), v_0(\cdot)\big)$ nach Voraussetzung $\mathbf{(A_2)}$ stetig. Sei $\varepsilon > 0$ gegeben. Dann können wir eine Zahl $T > 0$ mit der Eigenschaft

$$\int_T^\infty 2\omega(t)L(t)\,dt \le \frac{\varepsilon}{3}$$

wählen. Nach dem Satz von Lusin existiert eine kompakte Teilmenge K von $[0,T]$ derart, dass $t \to \omega(t) f_x\big(t, x_*(t), u_*(t)\big)$ und $t \to \omega(t) f_u\big(t, x_*(t), u_*(t)\big)$ stetig auf K sind und zudem die Relation

$$\int_{[0,T]\setminus K} 2\omega(t)L(t)\,dt \le \frac{\varepsilon}{3}$$

erfüllt ist. Aufgrund der Stetigkeit von f_x und f_u nach $\mathbf{(A_1)}$ gibt es eine Zahl $\lambda_0 > 0$ mit

$$\begin{aligned}
\omega(t) \cdot \big\| f_x\big(t, x_*(t) + \lambda\xi, u_*(t) + \lambda v\big) - f_x\big(t, x_*(t), u_*(t)\big)\big\| &\le \frac{\varepsilon}{3T}, \\
\omega(t) \cdot \big\| f_u\big(t, x_*(t) + \lambda\xi, u_*(t) + \lambda v\big) - f_u\big(t, x_*(t), u_*(t)\big)\big\| &\le \frac{\varepsilon}{3T}
\end{aligned}$$

für alle $t \in K$, für alle $\|\xi\| \le 1$, $\|v\| \le 1$ und alle $0 < \lambda \le \lambda_0$. Zusammen erhalten wir

$$\begin{aligned}
&\left| \frac{\tilde{J}\big(\xi_0(\cdot) + \lambda\xi(\cdot), v_0(\cdot) + \lambda v(\cdot)\big) - \tilde{J}\big(\xi_0(\cdot), v_0(\cdot)\big)}{\lambda} - \tilde{J}'\big(\xi_0(\cdot), v_0(\cdot)\big)\big(\xi(\cdot), v(\cdot)\big) \right| \\
&\quad \le \int_0^\infty \omega(t) \left| \int_0^1 \big\langle f_x\big(t, x_*(t) + \lambda s\xi(t), u_*(t) + \lambda s v(t)\big) - f_x\big(t, x_*(t), u_*(t)\big), \xi(t) \big\rangle ds \right| dt \\
&\qquad + \int_0^\infty \omega(t) \left| \int_0^1 \big\langle f_u\big(t, x_*(t) + \lambda s\xi(t), u_*(t) + \lambda s v(t)\big) - f_u\big(t, x_*(t), u_*(t)\big), v(t) \big\rangle ds \right| dt \\
&\quad \le \int_K \frac{\varepsilon}{3T} \big(\|\xi(t)\| + \|v(t)\|\big)\,dt + \int_{[0,T]\setminus K} 2\omega(t)L(t)\big(\|\xi(t)\| + \|v(t)\|\big)\,dt \\
&\qquad + \int_T^\infty 2\omega(t)L(t)\big(\|\xi(t)\| + \|v(t)\|\big)\,dt \le \varepsilon
\end{aligned}$$

für alle $\|\xi(\cdot)\|_\infty \le 1$, $\|v(\cdot)\|_{L_\infty} \le 1$ und alle $0 < \lambda \le \lambda_0$. ■

Lemma 5.6. *Der Operator $F_1\big(\xi(\cdot), v(\cdot)\big)$ bildet eine Umgebung des Punktes $\big(\xi_0(\cdot), v_0(\cdot)\big)$ in den Raum $C_0(\mathbb{R}_+, \mathbb{R}^n)$ ab. Diese Abbildung ist in $\big(\xi_0(\cdot), v_0(\cdot)\big)$ Fréchet-differenzierbar und es gilt für $t \in \mathbb{R}_+$:*

$$\begin{aligned}
&\big[F_1'\big(\xi_0(\cdot), v_0(\cdot)\big)\big(\xi(\cdot), v(\cdot)\big)\big](t) \\
&\qquad = 2\xi(t) - \nu(t) \int_0^t \big[\varphi_x\big(s, x_*(s), u_*(s)\big)\xi(s) + \varphi_u\big(s, x_*(s), u_*(s)\big)v(s)\big]\,ds.
\end{aligned}$$

Beweis Wir zeigen, dass der Operator F_1 in den Raum C_0 abbildet. Wegen der Eigenschaften von $\xi(\cdot), u_*(\cdot), v(\cdot)$ konzentrieren wir uns auf die Terme, die $x_*(\cdot)$ enthalten:

$$t \to \nu(t)x_*(t), \qquad t \to \nu(t) \int_0^t \varphi\big(s, x_*(s) + \xi(s), u_*(s) + v(s)\big)\,ds.$$

Für $x_*(\cdot) \in W_2^1(\mathbb{R}_+, \mathbb{R}^n; \nu)$ gehört die Funktion $\nu(\cdot)x_*(\cdot)$ nach Lemma B.11 dem Raum $W_1^1(\mathbb{R}_+, \mathbb{R}^n)$ an und verschwindet im Unendlichen. Nach Voraussetzung **($\mathbf{A}_2$)** erhalten wir für den zweiten Term

$$\begin{aligned}&\nu(t) \int_0^t \big\|\varphi\big(s, x_*(s) + \xi(s), u_*(s) + v(s)\big)\big\|\, ds\\ &\le C_0 \nu(t) \int_0^t \big(1 + \|x_*(s)\| + \|\xi(s)\| + \|u_*(s)\| + \|v(s)\|\big)\, ds.\end{aligned}$$

Wegen der Eigenschaft (ii) des Gewichts $\nu(\cdot)$ in Voraussetzung **($\mathbf{A}_0$)** verschwindet dieser Ausdruck für alle über $\mathbb{R}_+$ beschränkten Terme des Integranden. Bezüglich $x_*(\cdot)$ gilt

$$\begin{aligned}\nu(t) \int_0^t \|x_*(s)\|\, ds &\le \big[\nu(t)\big]^{1/2} \int_0^t \big[\nu(s)\big]^{1/2} \|x_*(s)\|\, ds \le \left[\nu(t) \int_0^t ds\right]^{1/2} \|x_*(\cdot)\|_{W_2^1(\nu)}\\ &= \|x_*(\cdot)\|_{W_2^1(\nu)} \cdot \big[t \cdot \nu(t)\big]^{1/2} \to 0 \quad \text{für } t \to \infty.\end{aligned}$$

Ferner ist die lineare Abbildung $F_1'\big(\xi_0(\cdot), v_0(\cdot)\big)$ nach **($\mathbf{A}_2$)** stetig.
Wir bringen die Differenz

$$\left[\frac{F_1\big(\xi_0(\cdot) + \lambda\xi(\cdot), v_0(\cdot) + \lambda v(\cdot)\big) - F_1\big(\xi_0(\cdot), v_0(\cdot)\big)}{\lambda} - F_1'\big(\xi_0(\cdot), v_0(\cdot)\big)\big(\xi(\cdot), v(\cdot)\big)\right](t)$$

in die Gestalt

$$\begin{aligned}&\nu(t) \int_0^t \bigg[\int_0^1 \big[\varphi_x(\tau, x_*(\tau) + \lambda s\xi(\tau), u_*(\tau) + \lambda s v(\tau)) - \varphi_x(\tau, x_*(\tau), u_*(\tau))\big]\xi(\tau) ds\\ &\quad + \int_0^1 \big[\varphi_u(\tau, x_*(\tau) + \lambda s\xi(\tau), u_*(\tau) + \lambda s v(\tau)) - \varphi_u(\tau, x_*(\tau), u_*(\tau))\big] v(\tau) ds\bigg]\, d\tau.\end{aligned}$$

Nach Voraussetzung **($\mathbf{A}_2$)** sind die partiellen Ableitungen auf der Menge U_γ gleichmäßig durch $C_0 > 0$ beschränkt. Weiterhin lässt sich zu jedem $\varepsilon > 0$ ein $T > 0$ angeben mit

$$\begin{aligned}&\nu(t) \int_0^t \bigg[\int_0^1 \big\|\varphi_x(\tau, x_*(\tau) + \lambda s\xi(\tau), u_*(\tau) + \lambda s v(\tau)) - \varphi_x(\tau, x_*(\tau), u_*(\tau))\big\| ds\\ &\quad + \int_0^1 \big\|\varphi_u(\tau, x_*(\tau) + \lambda s\xi(\tau), u_*(\tau) + \lambda s v(\tau)) - \varphi_u(\tau, x_*(\tau), u_*(\tau))\big\| ds\bigg]\, d\tau\\ \le\ &\nu(t) \int_0^t 2C_0\, d\tau \le t\nu(t) \cdot 2C_0 \le \varepsilon\end{aligned}$$

für alle $t \ge T$, $\|\xi(\cdot)\|_\infty \le 1$, $\|v(\cdot)\|_\infty \le 1$ und $0 < \lambda \le \gamma$. Wegen der Stetigkeit von φ_x und φ_u auf der Menge U_γ nach Voraussetzung **($\mathbf{A}_1$)** gibt es eine Zahl $\lambda_0 > 0$ mit

$$\begin{aligned}\big\|\varphi_x\big(t, x_*(t) + \lambda\xi, u_*(t) + \lambda v\big) - \varphi_x\big(t, x_*(t), u_*(t)\big)\big\| &\le \frac{\varepsilon}{T},\\ \big\|\varphi_u\big(t, x_*(t) + \lambda\xi, u_*(t) + \lambda v\big) - \varphi_u\big(t, x_*(t), u_*(t)\big)\big\| &\le \frac{\varepsilon}{T}\end{aligned}$$

für fast alle $t \in [0,T]$, für alle $\|\xi\| \le 1$, $\|v\| \le 1$ und alle $0 < \lambda \le \lambda_0$. Daher gilt für $t \in [0,T]$, für alle $\|\xi(\cdot)\|_\infty \le 1$, $\|v(\cdot)\|_\infty \le 1$ und alle $0 < \lambda \le \lambda_0$ die Relation

$$\begin{aligned} &\nu(t) \int_0^t \left[\int_0^1 \big\|\varphi_x(\tau, x_*(\tau) + \lambda s\xi(\tau), u_*(\tau) + \lambda s v(\tau)) - \varphi_x(\tau, x_*(\tau), u_*(\tau))\big\| ds \right] d\tau \\ &+\nu(t) \int_0^t \left[\int_0^1 \big\|\varphi_u(\tau, x_*(\tau) + \lambda s\xi(\tau), u_*(\tau) + \lambda s v(\tau)) - \varphi_u(\tau, x_*(\tau), u_*(\tau))\big\| ds \right] d\tau \\ \le\ &\nu(0) \int_0^T \frac{\varepsilon}{T}\, dt = \varepsilon. \end{aligned}$$

Zusammen erhalten wir

$$\left\| \frac{F_1\big(\xi_0(\cdot) + \lambda\xi(\cdot), v_0(\cdot) + \lambda v(\cdot)\big) - F_1\big(\xi_0(\cdot), v_0(\cdot)\big)}{\lambda} - F_1'\big(\xi_0(\cdot), v_0(\cdot)\big)\big(\xi(\cdot), v(\cdot)\big) \right](t) \Big\|_\infty \le \varepsilon$$

für alle $\|\xi(\cdot)\|_\infty \le 1$, $\|v(\cdot)\|_{L_\infty} \le 1$ und alle $0 < \lambda \le \lambda_0$. ■

Lemma 5.7. *Die Abbildung F_1 ist in $\big(\xi_0(\cdot), v_0(\cdot)\big)$ stetig differenzierbar.*

Beweis Mit den gleichen Argumenten, mit denen die Fréchet-Differenzierbarkeit der Abbildung F_1 im Punkt $\big(\xi_0(\cdot), v_0(\cdot)\big)$ gezeigt wurde, lässt sich die Differenzierbarkeit auf einer Umgebung des Punktes $\big(\xi_0(\cdot), v_0(\cdot)\big)$ im Raum $C_0(\mathbb{R}_+, \mathbb{R}^n) \times L_\infty(\mathbb{R}_+, \mathbb{R}^m)$ zeigen. Übernehmen wir zudem die Wahl der Zahl $T > 0$ und nutzen für $t \in [0,T]$ die gleichmäßige Stetigkeit von φ_x, φ_u auf der Menge U_γ, dann gibt es zu jedem $\varepsilon > 0$ ein $\delta > 0$ derart, dass

$$\begin{aligned} &\big\|F_1'\big(\xi(\cdot), v(\cdot)\big) - F_1'\big(\xi_0(\cdot), v_0(\cdot)\big)\big\| = \\ &\qquad \sup_{\|(\xi', v')\| = 1} \big\| \big[F_1'\big(\xi(\cdot), v(\cdot)\big) - F_1'\big(\xi_0(\cdot), v_0(\cdot)\big)\big]\big(\xi'(\cdot), v'(\cdot)\big)\big\|_\infty \le \varepsilon \end{aligned}$$

für alle $\|\xi(\cdot)\|_\infty \le \delta$ und $\|v(\cdot)\|_{L_\infty} \le \delta$ gilt. ■

Lemma 5.8. *Für jedes $v(\cdot) \in L_\infty(\mathbb{R}_+, U)$ ist der lineare Operator*

$$\xi(\cdot) \to F_1'\big(\xi_0(\cdot), v_0(\cdot)\big)\big(\xi(\cdot), v(\cdot)\big)$$

surjektiv. Ferner ist daher die Abbildung F_1 im Punkt $\big(\xi_0(\cdot), v_0(\cdot)\big)$ regulär.

Beweis Wir setzen $A(t) = \varphi_x\big(t, x_*(t), u_*(t)\big)$ und $a(t) = \varphi_u\big(t, x_*(t), u_*(t)\big)v(t)$. Da wir den Operator $F_1'\big(\xi_0(\cdot), v_0(\cdot)\big)$ als Abbildung in den Raum $C_0(\mathbb{R}_+, \mathbb{R}^n)$ auffassen, ist der Nachweis von Lemma 5.8 äquivalent zur Aussage, dass es zu jedem $\zeta(\cdot) \in C_0(\mathbb{R}_+, \mathbb{R}^n)$ ein $\xi(\cdot) \in C_0(\mathbb{R}_+, \mathbb{R}^n)$ gibt mit

$$\zeta(t) = \xi(t) - \nu(t) \int_0^t \frac{1}{2}\big[A(s)\xi(s) + a(s)\big]\, ds, \qquad t \in \mathbb{R}_+.$$

Da $A(\cdot), a(\cdot)$ nach Voraussetung $\mathbf{(A_2)}$ beschränkt sind, folgt dies aus Lemma D.1. ■

5.2.4. Lagrangesche Multiplikatorenregel

In der Aufgabe (5.1)–(5.3) sei $\big(x_*(\cdot),u_*(\cdot)\big)\in\mathscr{A}_{\rm adm}\cap\mathscr{A}_{\rm Lip}$ und $x_*(\cdot)\in C(\mathbb{R}_+,\mathbb{R}^n)$. Auf $C_0(\mathbb{R}_+,\mathbb{R}^n)\times L_\infty(\mathbb{R}_+,\mathbb{R}^m)\times C_0^*(\mathbb{R}_+,\mathbb{R}^n)\times\mathbb{R}\times\mathbb{R}^n$ definieren wir zur Extremalaufgabe (5.8) die Lagrange-Funktion $\mathscr{L}=\mathscr{L}\big(\xi(\cdot),v(\cdot),y^*,\lambda_0,l_0\big)$,

$$\begin{aligned}\mathscr{L} &= \lambda_0\tilde J\big(\xi(\cdot),v(\cdot)\big)+\big\langle y^*,F\big(\xi(\cdot),v(\cdot)\big)\big\rangle+l_0^TH\big(\xi(\cdot)\big)\\ &= \lambda_0\tilde J\big(\xi(\cdot),v(\cdot)\big)+\big\langle y^*,F_1\big(\xi(\cdot),v(\cdot)\big)-F_2\big(\xi(\cdot)\big)\big\rangle+l_0^TH\big(\xi(\cdot)\big).\end{aligned}$$

Theorem 5.9 (Extremalprinzip)**.** *Es sei $\big(x_*(\cdot),u_*(\cdot)\big)\in\mathscr{A}_{\rm Lip}\cap\mathscr{A}_{\rm adm}$ und es sei ferner $x_*(\cdot)\in C(\mathbb{R}_+,\mathbb{R}^n)$. Ist $\big(x_*(\cdot),u_*(\cdot)\big)$ eine schwache lokale Minimalstelle in der Aufgabe (5.1)–(5.3), dann existieren nicht gleichzeitig verschwindende Lagrangesche Multiplikatoren $\lambda_0\ge0$, $y^*\in C_0^*(\mathbb{R}_+,\mathbb{R}^n)$ und $l_0\in\mathbb{R}^n$ derart, dass folgende Bedingungen gelten:*

(a) Die Lagrange-Funktion besitzt bezüglich $\xi(\cdot)$ in $\xi_0(\cdot)$ einen stationären Punkt, d. h.

$$\mathscr{L}_\xi\big(\xi_0(\cdot),v_0(\cdot),\lambda_0,y^*,l_0\big)=0. \tag{5.9}$$

(b) Die Lagrange-Funktion erfüllt bezüglich $v(\cdot)$ in $v_0(\cdot)$ die Variationsungleichung

$$\big\langle\mathscr{L}_v\big(\xi_0(\cdot),v_0(\cdot),\lambda_0,y^*,l_0\big),v(\cdot)-u_*(\cdot)\big\rangle\ge0 \tag{5.10}$$

für alle $v(\cdot)\in L_\infty(\mathbb{R}_+,U)$.

Beweis Da die Abbildungen $F_1\big(\xi(\cdot),v(\cdot)\big)$, $F_2\big(\xi(\cdot)\big)$ und $H\big(\xi(\cdot)\big)$ im Punkt $\big(\xi_0(\cdot),v_0(\cdot)\big)$ regulär sind, tritt der entartete Fall nicht auf. Im regulären Fall gehen wir ähnlich wie im Abschnitt 1.3.3 vor. Da der Dynamik (5.2) die Operatoren $F_1\big(\xi(\cdot),v(\cdot)\big)$ und $F_2\big(\xi(\cdot)\big)$ zugeordnet wurden, müssen die Argumente im Beweis geeignet angepasst werden.

1. Schritt (Die Mengen $\mathscr{C}_1$, $\mathscr{C}_2$ der Variationen)**.** Es sei $\mathscr{C}_1$ die Menge derjenigen

$$\big(\eta_0,y_1(\cdot),y_2(\cdot),\mu\big)\in\mathbb{R}\times C_0(\mathbb{R}_+,\mathbb{R}^n)\times C_0(\mathbb{R}_+,\mathbb{R}^n)\times\mathbb{R}^n,$$

zu denen es ein $\xi_1(\cdot)\in C_0(\mathbb{R}_+,\mathbb{R}^n)$ und ein $v(\cdot)\in L_\infty(\mathbb{R}_+,U)$ gibt mit

$$\begin{aligned}\eta_0 &> \tilde J'\big(\xi_0(\cdot),v_0(\cdot)\big)\big(\xi_1(\cdot),v(\cdot)-u_*(\cdot)\big),\\ y_1(\cdot) &= F_1'\big(\xi_0(\cdot),v_0(\cdot)\big)\big(\xi_1(\cdot),v(\cdot)-u_*(\cdot)\big),\qquad y_2(\cdot)=\xi_1(\cdot),\qquad \mu=H'\big(\xi_0(\cdot)\big)\xi_1(\cdot).\end{aligned}$$

Weiterhin sei $\mathscr{C}_2$ die Menge der Vektoren

$$\big(0,z_1(\cdot),z_2(\cdot),0\big)\in\mathbb{R}\times C_0(\mathbb{R}_+,\mathbb{R}^n)\times C_0(\mathbb{R}_+,\mathbb{R}^n)\times\mathbb{R}^n,$$

zu denen es ein $\xi_2(\cdot)\in C_0(\mathbb{R}_+,\mathbb{R}^n)$ gibt mit

$$z_1(\cdot)=F_2'\big(\xi_0(\cdot)\big)\xi_2(\cdot),\qquad z_2(\cdot)=\xi_2(\cdot).$$

Die Mengen $\mathscr{C}_1$ und $\mathscr{C}_2$ sind konvex, da der Steuerungsbereich U nach (5.3) konvex ist. Ferner ist das Innere der Menge $\mathscr{C}_1$ nach dem Satz von der offenen Abbildung nichtleer, da die stetigen linearen Operatoren $F_1'\big(\xi_0(\cdot), v_0(\cdot)\big)$, $H'\big(\xi_0(\cdot)\big)$ und $\xi_1(\cdot) \to y_2(\cdot)$ stetig und surjektiv sind. Zum Nachweis von Theorem 5.9 genügt es $\mathscr{C}_1 \cap \mathscr{C}_2 = \emptyset$ zu zeigen. Dann folgt aus dem Satz von Hahn-Banach die Existenz eines nichttrivialen Funktionals $(\lambda_0, y_1^*, y_2^*, l_0) \in \mathbb{R} \times C_0^*(\mathbb{R}_+, \mathbb{R}^n) \times C_0^*(\mathbb{R}_+, \mathbb{R}^n) \times \mathbb{R}^n$ mit

$$\langle y_1^*, z_1(\cdot)\rangle + \langle y_2^*, z_2(\cdot)\rangle \le \lambda_0\eta_0 + \langle y_1^*, y_1(\cdot)\rangle + \langle y_2^*, y_2(\cdot)\rangle + l_0^T\mu$$

für alle $\big(\eta_0, y_1(\cdot), y_2(\cdot), \mu\big) \in \mathscr{C}_1$ und $\big(0, z_1(\cdot), z_2(\cdot), 0\big) \in \mathscr{C}_2$. Dies liefert $\lambda_0 \ge 0$. Weiter ist das Tripel (λ_0, y_1^*, l_0) nichttrivial, denn sonst würde $\langle y_2^*, \xi(\cdot)\rangle = 0$ für alle $\xi(\cdot) \in C_0(\mathbb{R}_+, \mathbb{R}^n)$ gelten und im Widerspruch zum Satz von Hahn-Banach $y_2^* = 0$ folgen. Wir erhalten ferner, dass die Ungleichung

$$\begin{aligned} 0 \;\le\; & \lambda_0\tilde{J}'\big(\xi_0(\cdot), v_0(\cdot)\big)\big(\xi_1(\cdot), v(\cdot) - u_*(\cdot)\big) + \big\langle y_1^*, F_1'\big(\xi_0(\cdot), v_0(\cdot)\big)\big(\xi_1(\cdot), v(\cdot) - u_*(\cdot)\big)\big\rangle \\ & -\big\langle y_1^*, F_2'\big(\xi_0(\cdot)\big)\xi_2(\cdot)\big\rangle + \langle y_2^*, \xi_1(\cdot) - \xi_2(\cdot)\rangle + \big\langle l_0, H'\big(\xi_0(\cdot)\big)\xi_1(\cdot)\big\rangle \end{aligned}$$

für alle $\xi_1(\cdot), \xi_2(\cdot)\big) \in C_0(\mathbb{R}_+, \mathbb{R}^n)$ und $v(\cdot) \times L_\infty(\mathbb{R}_+, U)$ gilt. Betrachten wir diese Ungleichung nacheinander für $v(\cdot) = u_*(\cdot)$ und $\xi_1(\cdot) = \xi_2(\cdot)$ bzw. für $\xi_1(\cdot) = \xi_2(\cdot) = \xi_0(\cdot)$, so folgen (5.9) und (5.10).

Angenommen, es ist $\mathscr{C}_1 \cap \mathscr{C}_2 \ne \emptyset$. Dann existieren $\overline{\xi}_1(\cdot), \overline{\xi}_2(\cdot), \overline{y}_1(\cdot), \overline{y}_2(\cdot) \in C_0(\mathbb{R}_+, \mathbb{R}^n)$, ein $\overline{v}(\cdot) \in L_\infty(\mathbb{R}_+, U)$ und eine Zahl $c > 0$ mit

$$\begin{aligned} -c &\ge \tilde{J}'\big(\xi_0(\cdot), v_0(\cdot)\big)\big(\overline{\xi}_1(\cdot), \overline{v}(\cdot) - u_*(\cdot)\big), \\ \overline{y}_1(\cdot) &= F_1'\big(\xi_0(\cdot), v_0(\cdot)\big)\big(\overline{\xi}_1(\cdot), \overline{v}(\cdot) - u_*(\cdot)\big) = F_2'\big(\xi_0(\cdot)\big)\overline{\xi}_2(\cdot), \\ \overline{y}_2(\cdot) &= \overline{\xi}_1(\cdot) = \overline{\xi}_2(\cdot), \qquad 0 = H'\big(\xi_0(\cdot)\big)\overline{\xi}_1(\cdot). \end{aligned}$$

Wegen $\overline{\xi}_1(\cdot) = \overline{\xi}_2(\cdot)$ gibt es also $\overline{\xi}, \overline{y}(\cdot) \in C_0(\mathbb{R}_+, \mathbb{R}^n)$, $\overline{v}(\cdot) \in L_\infty(\mathbb{R}_+, U)$ und $c > 0$ mit

$$\begin{aligned} -c &\ge \tilde{J}'\big(\xi_0(\cdot), v_0(\cdot)\big)\big(\overline{\xi}(\cdot), \overline{v}(\cdot) - u_*(\cdot)\big), \\ \overline{y}(\cdot) &= F_1'\big(\xi_0(\cdot), v_0(\cdot)\big)\big(\overline{\xi}(\cdot), \overline{v}(\cdot) - u_*(\cdot)\big) \\ \overline{y}(\cdot) &= F_2'\big(\xi_0(\cdot)\big)\overline{\xi}(\cdot), \qquad 0 = H'\big(\xi_0(\cdot)\big)\overline{\xi}(\cdot). \end{aligned}$$

2. Schritt (Die Definition und die Eigenschaften des Operators Φ)**.** Auf einer Umgebung des Punktes $\big(\xi_0(\cdot), 0\big) \in C_0(\mathbb{R}_+, \mathbb{R}^n) \times \mathbb{R}$ betrachten wir die Abbildung

$$\Phi\big(\xi(\cdot), \alpha\big) = \Big(F_1\big(\xi(\cdot), \alpha[\overline{v}(\cdot) - u_*(\cdot)]\big) - \alpha\overline{y}(\cdot), F_2\big(\xi(\cdot)\big) - \alpha\overline{y}(\cdot), H\big(\xi(\cdot)\big)\Big).$$

Aus den Eigenschaften der Abbildungen F_1, F_2 und H folgt, dass Φ auf einer Umgebung des Punktes $\big(\xi_0(\cdot), 0\big) \in C_0(\mathbb{R}_+, \mathbb{R}^n) \times \mathbb{R}$ wohldefiniert und stetig, außerdem in $\big(\xi_0(\cdot), 0\big)$ stetig differenzierbar mit der Ableitung

$$\begin{aligned} &\Phi'\big(\xi_0(\cdot), 0\big)\big(\xi(\cdot), \alpha\big) = \\ &\quad\Big(F_1'\big(\xi_0(\cdot), v_0(\cdot)\big)\big(\xi(\cdot), \alpha[\overline{v}(\cdot) - u_*(\cdot)]\big) - \alpha\overline{y}(\cdot), F_2'\big(\xi_0(\cdot)\big)\xi(\cdot) - \alpha\overline{y}(\cdot), H'\big(\xi_0(\cdot)\big)\xi(\cdot)\Big) \end{aligned}$$

ist. Ferner ist Φ in $\big(\xi_0(\cdot),0\big)$ nach Lemma 5.8 regulär. Zudem gehört $\big(\overline{\xi}(\cdot),1\big)$ aufgrund unserer Annahme im ersten Schritt dem Kern des Operators $\Phi'\big(\xi_0(\cdot),0\big)$ an:

$$\Phi'\big(\xi_0(\cdot),0\big)\big(\overline{\xi}(\cdot),1\big) = \Big(F_1'\big(\xi_0(\cdot),v_0(\cdot)\big)\big(\overline{\xi}(\cdot),\overline{v}(\cdot)-u_*(\cdot)\big)-\overline{y}(\cdot),F_2'\big(\xi_0(\cdot)\big)\overline{\xi}(\cdot)-\overline{y}(\cdot),H'\big(\xi_0(\cdot)\big)\overline{\xi}(\cdot)\Big)=0.$$

3. Schritt (Die Existenz zulässiger Richtungen und $\mathscr{C}_1\cap\mathscr{C}_2=\emptyset$)**.** Nach dem Satz von Ljusternik (Theorem B.14) und geeigneter Wahl von $\varepsilon_0>0$ (vgl. Abschnitt 1.3.3) erhalten wir für die Richtungsvariationen

$$\xi_\varepsilon(\cdot)=\xi_0(\cdot)+\varepsilon\overline{\xi}(\cdot)+r(\varepsilon),\qquad v_\varepsilon(\cdot)=v_0(\cdot)+[\varepsilon+o(\varepsilon)]\big(\overline{v}(\cdot)-u_*(\cdot)\big),$$

dass für alle $\varepsilon\in[0,\varepsilon_0]$ die Beziehungen

$$F_1\big(\xi_\varepsilon(\cdot),v_\varepsilon(\cdot)\big)-[\varepsilon+o(\varepsilon)]\overline{y}(\cdot)=0,\quad F_2\big(\xi_\varepsilon(\cdot)\big)-[\varepsilon+o(\varepsilon)]\overline{y}(\cdot)=0,\quad H\big(\xi_\varepsilon(\cdot)\big)=0$$

gelten. Daher sind für alle $\varepsilon\in[0,\varepsilon_0]$ die Gleichungen

$$F\big(\xi_\varepsilon(\cdot),v_\varepsilon(\cdot)\big)=F_1\big(\xi_\varepsilon(\cdot),v_\varepsilon(\cdot)\big)-F_2\big(\xi_\varepsilon(\cdot)\big)=0,\qquad H\big(\xi_\varepsilon(\cdot)\big)=0$$

erfüllt. Aus der ersten Gleichung folgt, dass auf jedem endlichen Intervall die Trajektorie $x_*(\cdot)+\xi_\varepsilon(\cdot)$ der Dynamik (5.2) zur Steuerung $u_*(\cdot)+v_\varepsilon(\cdot)$ im Sinn von Carathéodory genügt. Dies zeigt, dass für alle $\varepsilon\in[0,\varepsilon_0]$ die Steuerungsprozesse

$$\big(x_*(\cdot)+\xi_\varepsilon(\cdot),u_*(\cdot)+v_\varepsilon(\cdot)\big)\in W_2^1(\mathbb{R}_+,\mathbb{R}^n;\nu)\times L_\infty(\mathbb{R}_+,U)$$

zulässig in der Aufgabe (5.1)–(5.3) sind. Damit erhalten wir aber wegen

$$\tilde{J}\big(\xi_\varepsilon(\cdot),v_\varepsilon(\cdot)\big)\le\tilde{J}\big(\xi_0(\cdot),v_0(\cdot)\big)-\varepsilon c+o(\varepsilon)$$

bzw. dazu äquivalent für das Zielfunktional in (5.1)

$$J\big(x_*(\cdot)+\xi_\varepsilon(\cdot),u_*(\cdot)+v_\varepsilon(\cdot)\big)\le J\big(x_*(\cdot),u_*(\cdot)\big)-\varepsilon c+o(\varepsilon),$$

dass der Steuerungsprozess $\big(x_*(\cdot),u_*(\cdot)\big)$ im Widerspruch zur Voraussetzung von Theorem 5.9 kein schwaches lokales Minimum der Aufgabe (5.1)–(5.3) sein könnte. ■

5.2.5. Beweisschluss

Aufgrund (5.9) ist folgende Variationsgleichung für alle $\xi(\cdot)\in C_0(\mathbb{R}_+,\mathbb{R}^n)$ erfüllt:

$$\begin{aligned}0 \;=\;& \lambda_0\cdot\int_0^\infty\omega(t)\big\langle f_x\big(t,x_*(t),u_*(t)\big),\xi(t)\big\rangle\,dt+l_0^T\xi(0)\\&+\int_0^\infty\nu(t)\bigg[\xi(t)-\xi(0)-\int_0^t\varphi_x\big(s,x_*(s),u_*(s)\big)\xi(s)\,ds\bigg]^T d\mu(t).\end{aligned}\tag{5.11}$$

Dabei bezeichnet μ ein reguläres Borelsches Vektormaß (Rudin [58]).
In der Gleichung (5.11) ist jeder Integralterm absolut integrierbar; insbesondere gilt

$$\int_0^\infty \nu(t)\Big[\int_0^t \big\|\varphi_x\big(s,x_*(s),u_*(s)\big)\xi(s)\big\|\,ds\Big]d|\mu|(t)$$
$$\leq C_0\|\xi(\cdot)\|_\infty \int_0^\infty \Big[\int_0^t \nu(s)\,ds\Big]d|\mu|(t) \leq C_0\|\nu(\cdot)\|_{L_1}\cdot\|\mu\|\cdot\|\xi(\cdot)\|_\infty.$$

Durch vertauschen der Integrationsreihenfolge im letzten Summanden in (5.11) bringen wir diese Gleichung in die Form

$$\begin{aligned} 0 \;=\; & \int_0^\infty \Big[\lambda_0\omega(t)f_x\big(t,x_*(t),u_*(t)\big) - \varphi_x^T\big(t,x_*(t),u_*(t)\big)\int_t^\infty \nu(s)d\mu(s)\Big]^T\xi(t)dt \\ & + \int_0^\infty \nu(t)[\xi(t)]^T d\mu(t) + \Big[l_0^T\xi(0) - \int_0^\infty \nu(t)[\xi(0)]^T d\mu(t)\Big]. \end{aligned}$$

Da sämtliche Integralterme absolut integrierbar sind, definiert die rechte Seite in (5.12) ein stetiges lineares Funktional auf $C_0(\mathbb{R}_+,\mathbb{R}^n)$. Wenden wir den Darstellungssatz von Riesz im Raum $C_0(\mathbb{R}_+,\mathbb{R}^n)$ an (Rudin [58]) und setzen $p(t) = \displaystyle\int_t^\infty \nu(s)\,d\mu(s)$, so erhalten wir

$$p(t) = \int_t^\infty \big[\varphi_x^T\big(s,x_*(s),u_*(s)\big)p(s) - \lambda_0\omega(s)f_x\big(s,x_*(s),u_*(s)\big)\big]ds, \quad p(0) = l_0.$$

Also besitzt $p(\cdot)$ auf $\mathbb{R}_+$ die verallgemeinerte Ableitung

$$\dot p(t) = -\varphi_x^T\big(t,x_*(t),u_*(t)\big)p(t) + \lambda_0\omega(t)f_x\big(t,x_*(t),u_*(t)\big).$$

Ferner erhalten wir aus der Setzung der Funktion $p(\cdot)$ die Beziehung

$$\|p(t)\|^2\nu^{-1}(t) = \Big\langle \int_t^\infty \nu(s)d\mu(s), \int_t^\infty \nu(s)d\mu(s)\Big\rangle\cdot\nu^{-1}(t) \leq \|\mu\|^2\nu(t).$$

Dies zeigt $p(\cdot)\in L_2(\mathbb{R}_+,\mathbb{R}^n;\nu^{-1})$ und ferner die erste "natürliche" Transversalitätsbedingung in (5.5). Außerdem gilt

$$\big|\langle p(t),x(t)\rangle\big|^2 \leq \|p(t)\|^2\nu^{-1}(t)\cdot\|x(t)\|^2\nu(t).$$

Mit der eben nachgewiesenen Transversalitätsbedingung und mit Lemma B.11 ergibt sich die zweite Bedingung in (5.5). Damit sind $p(\cdot)\in L_2(\mathbb{R}_+,\mathbb{R}^n;\nu^{-1})$ und (5.4), (5.5) gezeigt.

Gemäß (5.10) gilt für alle $v(\cdot)\in L_\infty(\mathbb{R}_+,U)$ die Ungleichung

$$\int_0^\infty \big\langle H_u\big(t,x_*(t),u_*(t),p(t),\lambda_0\big),v(t)-u_*(t)\big\rangle\,dt \leq 0.$$

Daraus folgt abschließend durch Standardtechniken für Lebesguesche Punkte die Variationsungleichung (5.6). Der Beweis von Theorem 5.1 ist abgeschlossen. ■

5.3. Zur normalen Form der notwendigen Optimalitätsbedingungen

Theorem 5.1 kann auf die folgende modifizierte Version des Beispiels von Halkin [30] angewendet werden. Dieses Beispiel zeigt, dass für einen optimalen Steuerungsprozess die notwendigen Bedingungen in Theorem 5.1 nur für nichttriviale Multiplikatoren $\big(\lambda_0, p(\cdot)\big)$ mit $\lambda_0 = 0$ erfüllt sind.

Beispiel 5.10. Wir betrachten mit einem zusätzlichen Diskontierungsfaktor die Aufgabe

$$J\big(x(\cdot), u(\cdot)\big) = \int_0^\infty e^{-\varrho t}\big(u(t) - x(t)\big)\, dt \to \sup,$$
$$\dot{x}(t) = u^2(t) + x(t), \quad x(0) = 0, \quad u(t) \in [0,1], \quad \varrho \in (0,1).$$

In diesem Beispiel gehört $\big(x_*(t), u_*(t)\big) \equiv (0,0)$ zu $W_2^1(\mathbb{R}_+, \mathbb{R}; \nu) \times L_\infty(\mathbb{R}_+, U)$ für jedes Gewicht $\nu(\cdot) \in W_1^1(\mathbb{R}_+, \mathbb{R})$ und liefert das globale Maximum: Denn angenommen, es gibt einen zulässigen Steuerungsprozess $\big(x(\cdot), u(\cdot)\big)$ mit $x(t) \not\equiv 0$. Insbesondere muss dann $\big|J\big(x(\cdot), u(\cdot)\big)\big| < \infty$ gelten. Dann existiert ein $\tau > 0$ mit $x(\tau) > 0$. Durch direktes Nachrechnen erhalten wir $x(t) \geq x(\tau)e^{t-\tau}$ für alle $t \geq \tau$, und es folgt

$$J\big(x(\cdot), u(\cdot)\big) \leq \int_0^\tau e^{-\varrho t}\big(u(t) - x(t)\big)dt + \int_\tau^\infty e^{-\varrho t}\big(1 - x(\tau)e^{t-\tau}\big)dt = -\infty.$$

Damit besteht die Menge der zulässigen Steuerungsprozesse $\mathscr{A}_{\mathrm{adm}}$ nur aus $\big(x_*(\cdot), u_*(\cdot)\big)$. Für den beschränkten Steuerungsbereich $U = [0,\, 1]$ sind die Voraussetzungen $\mathbf{(A_1)}$,$\mathbf{(A_2)}$ auf U_γ erfüllt. Wenden wir Theorem 5.1 auf das modifizierte Halkin-Beispiel an, so erhalten wir die Adjungierte

$$p(t) = \left(p(0) - \frac{\lambda_0}{1-\varrho}\right)e^{-t} + \frac{\lambda_0}{1-\varrho}e^{(1-\varrho)t}.$$

Da nun $\varrho \in (0,1)$ gilt, ist die erste Transversalitätsbedingung in (5.5) nur dann erfüllt, wenn $\lambda_0 = 0$ ist. Mit $p(0) < 0$ sind dann für $\big(x_*(t), u_*(t)\big) \equiv (0,0)$ alle Optimalitätsbedingungen in Theorem 5.1 erfüllt. □

Bemerkung 5.11. Im Beispiel 5.10 ist $\big(x_*(\cdot), u_*(\cdot)\big)$ der einzige zulässige Steuerungsprozess. In diesem Sonderfall kann man $\big(x_*(\cdot), u_*(\cdot)\big)$ auf der Menge der zulässigen Steuerungsprozesse nicht variieren. Es stellt sich damit die Frage, ob die Existenz der nichttrivialen Multiplikatoren in Theorem 5.1 tatsächlich vorliegt.
Im Beweis des Extremalprinzips (Theorem 5.9) bezieht sich die Anwendung des Trennungssatzes auf die konvexen Mengen $\mathscr{C}_1$ und $\mathscr{C}_2$, die nicht ausschließlich durch zulässige Elemente des Steuerungsproblems (5.1)–(5.3) gebildet werden. Da weiterhin das Paar $\big(x_*(\cdot), u_*(\cdot)\big)$ der Menge $\mathscr{A}_{\mathrm{Lip}}$ angehört, ergibt sich im Beweis des Extremalprinzips, dass die Menge $\mathscr{C}_1$ ein nichtleeres Inneres besitzt. Es folgt ferner die Existenz der nichttrivialen trennenden Hyperebene und demnach insbesondere die Existenz der nichttrivialen Multiplikatoren in Theorem 5.1. □

In diesem Abschnitt zeigen wir, dass folgende "Stetigkeitsbedingung" **(S)** hinreichend für die Normalform des Theorems 5.1 ist.

(S) Es existieren eine positive Funktion $\varrho(\cdot)$ und ein $\mu(\cdot) \in L_2(\mathbb{R}_+, \mathbb{R}_+; \nu)$ derart, dass für alle $T \geq 0$ und alle ζ_T mit $\|\zeta_T - x_*(T)\| \leq \varrho(T)$ das System $\dot{x}(t) = \varphi\big(t, x(t), u_*(t)\big)$ mit Anfangsbedingung $x(T) = \zeta_T$ eine Lösung $x(t; \zeta_T)$ auf $[T, \infty)$ besitzt und folgende Ungleichung gilt

$$\|x(t; \zeta_T) - x_*(t)\| \leq \|\zeta_T - x_*(T)\|\mu(t) \quad \text{für alle } t \geq T \geq 0.$$

Theorem 5.12. *Sei* $\big(x_*(\cdot), u_*(\cdot)\big) \in \mathscr{A}_{\mathrm{adm}} \cap \mathscr{A}_{\mathrm{Lip}}$ *und sei* **(S)** *erfüllt. Ist* $\big(x_*(\cdot), u_*(\cdot)\big)$ *ein schwaches lokales Minimum der Aufgabe (5.1)–(5.3), dann ist Theorem 5.1 mit* $\lambda_0 = 1$ *erfüllt. Ferner besitzt die Adjungierte* $p(\cdot)$ *die Darstellung*

$$p(t) = -Z_*(t) \int_t^\infty \omega(s) Z_*^{-1}(s) f_x\big(s, x_*(s), u_*(s)\big)\, ds. \tag{5.12}$$

Dabei ist $Z_*(t)$ *die in* $t = 0$ *normalisierte Fundamentalmatrix des linearen Systems*

$$\dot{z}(t) = -\varphi_x^T\big(t, x_*(t), u_*(t)\big) z(t).$$

Die Darstellung (5.12) stimmt (bis auf das Vorzeichen, das sich durch die Minimierung statt einer Maximierung des Zielfunktionals ergibt) mit der Formel in den Arbeiten von Aseev & Kryazhimskii und Aseev & Veliov [3–6] überein. Im Gegensatz zu diesen Arbeiten ist Theorem 5.12 unter den Voraussetzungen **($\mathbf{A}_0$)**–**($\mathbf{A}_2$)**, **(S)** erfüllt und charakterisiert schwache lokale Minimalstellen.

Bevor wir Theorem 5.12 beweisen, wollen wir die Voraussetzung **(S)** und die Darstellungsformel 5.12 an einem linear-quadratischen Regler demonstrieren.

Beispiel 5.13. Wir betrachten erneut die Aufgabe im Beispiel 5.4:

$$\begin{aligned} &J\big(x(\cdot), u(\cdot)\big) = \int_0^\infty e^{-2t} \cdot \frac{1}{2}\big(x^2(t) + u^2(t)\big)\, dt \to \inf, \\ &\dot{x}(t) = 2x(t) + u(t), \qquad x(0) = 2, \qquad u(t) \in \mathbb{R}. \end{aligned}$$

Die lineare Dynamik liefert unabhängig vom Steuerungsprozess $\big(x(\cdot), u(\cdot)\big)$ die Relation

$$\|x(t; \zeta_T) - x(t)\| = \|\zeta_T - x(T)\| e^{2(t-T)} \leq \|\zeta_T - x(T)\| e^{2t} = \|\zeta_T - x(T)\|\mu(t)$$

für alle $t \geq T \geq 0$. Wir besprechen die Bedingung $\mu(\cdot) \in L_2(\mathbb{R}_+, \mathbb{R}_+; \nu)$ für die angegebenen Gewichte im Beispiel 5.4:

(a) Das Gewicht $\nu(t) = (1+t)^{-a}$ ist für jedes $a > 1$ unzulässig in Theorem 5.12, da stets $\mu(\cdot) \notin L_2(\mathbb{R}_+, \mathbb{R}_+; \nu)$ ist.

(b) Für das Gewicht $\nu(t) = e^{-at}$ erhalten wir neben der Einschränkung $a < 2(1+\sqrt{2})$ die Bedingung $a > 4$. Mit der Wahl $4 < a < 2(1+\sqrt{2})$ sind sämtliche Voraussetzungen und Bedingungen der Theoreme 5.1 und 5.12 erfüllt.

Aus der Darstellungsformel 5.12 erhalten wir die Adjungierte

$$\begin{aligned} p(t) &= -Z_*(t)\int_t^\infty \omega(s)Z_*^{-1}(s)f_x\big(s,x_*(s),u_*(s)\big)\,ds \\ &= -e^{-2t}\int_t^\infty e^{-2s}e^{2s}\cdot 2e^{(1-\sqrt{2})s}\,ds = -2(1+\sqrt{2})e^{-(1+\sqrt{2})t}, \end{aligned}$$

die bereits in Beispiel 5.4 angegeben wurde. □

Beweis von Theorem 5.12 Es seien $Y_*(t)$ bzw. $Z_*(t)$ die in $t = 0$ normalisierten Fundamentalmatrizen der homogenen Systeme

$$\dot{y}(t) = \varphi_x\big(t,x_*(t),u_*(t)\big)y(t), \qquad \dot{z}(t) = -\varphi_x^T\big(t,x_*(t),u_*(t)\big)z(t).$$

Nach Voraussetzung **(S)** existiert die Lösung $x_\alpha(\cdot)$ der Gleichung

$$x(t) = x(T) + \int_T^t \varphi\big(s,x(s),u_*(s)\big)\,ds, \quad x(T) = x_*(T) + \alpha\xi, \quad \|\xi\| = 1,$$

für alle $\alpha \in [0,\varrho(T)]$. Gemäß dem Satz über die Abhängigkeit einer Lösung von den Anfangsdaten erhalten wir daher

$$\frac{x_\alpha(t)-x_*(t)}{\alpha} = \xi + \int_T^t \frac{\varphi_x\big(s,x_*(s),u_*(s)\big)\big(x_\alpha(s)-x_*(s)\big)+o(\alpha,s)}{\alpha}\,ds.$$

Dabei ist $o(\alpha,t)/\alpha \to 0$ für $\alpha \to 0^+$, und das gleichmäßig auf jedem endlichen Intervall $[T,K]$, $K > T$. Der Grenzübergang $\alpha \to 0^+$ liefert für jedes feste $t \geq T$:

$$y(t) := \lim_{\alpha\to 0^+}\frac{x_\alpha(t)-x_*(t)}{\alpha} = \xi + \int_T^t \varphi_x\big(s,x_*(s),u_*(s)\big)y(s)\,ds = Y_*(t)Y_*^{-1}(T)\xi.$$

Wir setzen $y(t)$ durch $y(t) = Y_*(t)Y_*^{-1}(T)\xi$ auf $\mathbb{R}_+$ fort. Wegen Voraussetzung $(\mathbf{A}_2)$ folgt mit der Gronwallschen Ungleichung $\|y(t)\| \leq C\cdot e^{C_0 t}$ auf $\mathbb{R}_+$. Ferner erhalten wir mit **(S)** für alle $t \geq T$:

$$\|y(t)\| = \lim_{\alpha\to 0^+}\frac{\|x_\alpha(t)-x_*(t)\|}{\alpha} \leq \|\xi\|\cdot\mu(t).$$

Wegen $\mu(\cdot) \in L_2(\mathbb{R}_+,\mathbb{R}_+;\nu)$ zeigt dies $y(\cdot) \in W_2^1(\mathbb{R}_+,\mathbb{R}^n;\nu)$.

Angenommen, es ist $\lambda_0 = 0$. Dann erfüllt die Adjungierte $p(\cdot)$ nach Theorem 5.1 die Gleichung (5.4). Wegen $\frac{d}{dt}\langle p(t),y(t)\rangle = 0$ folgt auf $\mathbb{R}_+$:

$$\langle p(t),y(t)\rangle = \langle p(0),Y_*^{-1}(T)\xi\rangle.$$

Aufgrund der Transversalitätsbedingung (5.5) gilt $\lim\limits_{t\to\infty}\langle p(t), y(t)\rangle = 0$. Da $\xi \in \mathbb{R}^n$, $\|\xi\| = 1$, beliebig war, erhalten wir $\big(\lambda_0, p(\cdot)\big) = 0$ im Widerspruch zu Theorem 5.1.

Es sei $\lambda_0 = 1$. Dann gilt für jedes $T \in \mathbb{R}_+$ (vgl. Aseev & Kryazhimskii [3]):

$$p(t) = Z_*(t)\bigg(Z_*^{-1}(T)p(T) + \int_T^t \omega(s)Z_*^{-1}(s)f_x\big(s, x_*(s), u_*(s)\big)ds\bigg).$$

Betrachten wir nun $\langle p(t), y(t)\rangle$ und verwenden $Z_*^{-1}(t) = Y_*^T(t)$, so ergibt sich

$$\langle p(t), y(t)\rangle = \bigg\langle p(T) + Z_*(T)\int_T^t \omega(s)Z_*^{-1}(s)f_x\big(s, x_*(s), u_*(s)\big)ds, \xi\bigg\rangle.$$

Mit (5.5) liefert der Grenzübergang $t \to \infty$ die Darstellungsformel (5.12). ■

Eine Lösung der adjungierten Gleichung (5.4) zu den "natürlichen" Transversalitätsbedingungen (5.5) in Theorem 5.1 muss keineswegs eindeutig bestimmt sein. Sondern es kann durch die notwendigen Optimalitätsbedingungen eine ganze Schar von Kandidaten gefunden werden. Zieht man aber in die Betrachtung die eindeutige Darstellung der Adjungierten nach (5.12) hinzu, so lässt sich diese Schar häufig auf wenige oder einen einzigen Kandidaten reduzieren.

5.4. Hinreichende Bedingungen nach Mangasarian

Die Darstellung der hinreichenden Bedingungen für die Aufgabe (5.1)–(5.3) ist Seierstad & Sydsæter [61] entnommen:

Theorem 5.14. *In der Aufgabe (5.1)–(5.3) sei* $\big(x_*(\cdot), u_*(\cdot)\big) \in \mathscr{A}_{\mathrm{adm}} \cap \mathscr{A}_{\mathrm{Lip}}$ *und es gelte:*

(a) Das Tripel $\big(x_*(\cdot), u_*(\cdot), p(\cdot)\big)$ *erfüllt (5.4)–(5.6) mit* $\lambda_0 = 1$ *in Theorem 5.1.*

(b) Für jedes $t \in \mathbb{R}_+$ *ist die Funktion* $H\big(t, x, u, p(t), \lambda_0\big)$ *konkav in* (x, u) *auf* U_γ.

Dann ist $\big(x_*(\cdot), u_*(\cdot)\big)$ *ein schwaches lokales Minimum der Aufgabe (5.1)–(5.3).*

Beweis Wir erhalten zu $T \in \mathbb{R}_+$ die Beziehung

$$\begin{aligned}\Delta(T) &= \int_0^T \omega(t)\big[f\big(t, x(t), u(t)\big) - f\big(t, x_*(t), u_*(t)\big)\big]dt\\ &= \int_0^T \big[H\big(t, x_*(t), u_*(t), p(t), 1\big) - H\big(t, x(t), u(t), p(t), 1\big)\big]\,dt\\ &\quad + \int_0^T \langle p(t), \dot{x}(t) - \dot{x}_*(t)\rangle\,dt.\end{aligned}$$

Aus den elementaren Eigenschaften konkaver Funktionen folgt

$$\begin{aligned}&H\big(t, x_*(t), u_*(t), p(t), 1\big) - H\big(t, x(t), u(t), p(t), 1\big) \geq\\ &\quad -H_x\big(t, x_*(t), u_*(t), p(t), 1\big)\big(x(t) - x_*(t)\big) - H_u\big(t, x_*(t), u_*(t), p(t), 1\big)\big(u(t) - u_*(t)\big).\end{aligned}$$

Damit, sowie mit der adjungierten Gleichung (5.4) und Variationsungleichung (5.6) gilt

$$\Delta(T) \geq \int_0^T \langle \dot{p}(t), x(t) - x_*(t)\rangle + \langle p(t), \dot{x}(t) - \dot{x}_*(t)\rangle dt = \langle p(T), x(T) - x_*(T)\rangle.$$

Wir bemerken an dieser Stelle, dass sämtliche Integranden über $\mathbb{R}_+$ absolut integrierbar sind. Deswegen ist die Betrachtung des Grenzwertes $T \to \infty$ gerechtfertigt.
Aus der Transversalitätsbedingung (5.5) folgt die Beziehung

$$\lim_{T\to\infty} \Delta(T) \geq \lim_{T\to\infty} \langle p(T), x(T) - x_*(T)\rangle = 0$$

für alle zulässigen $\big(x(\cdot), u(\cdot)\big)$ mit $\|x(\cdot) - x_*(\cdot)\|_\infty, \|u(\cdot) - u_*(\cdot)\|_{L_\infty} \leq \gamma$. ■

Beispiel 5.15. Im Beispiel 5.4 des linear-quadratischen Reglers,

$$J\big(x(\cdot), u(\cdot)\big) = \int_0^\infty e^{-2t} \cdot \frac{1}{2}\big(x^2(t) + u^2(t)\big)\, dt \to \inf,$$
$$\dot{x}(t) = 2x(t) + u(t), \qquad x(0) = 2, \qquad u(t) \in \mathbb{R},$$

wählen wir das Gewicht $\nu(t) = (1+t)^{-a}$ mit $a > 1$ bzw. $\nu(t) = e^{-at}$ mit $0 < a < 2(1+\sqrt{2})$. Dann erfüllen der Steuerungsprozess und die Multiplikatoren

$$x_*(t) = 2e^{(1-\sqrt{2})t}, \quad u_*(t) = -2(1+\sqrt{2})e^{(1-\sqrt{2})t}, \quad \lambda_0 = 1, \quad p(t) = e^{-2t}u_*(t)$$

sämtliche notwendige Optimalitätsbedingungen in Theorem 5.1. Weiterhin ist die Funktion $H\big(t, x, u, p(t), \lambda_0\big)$ konkav bezüglich (x, u) auf U_γ für jedes $\gamma > 0$. Damit ist $\big(x_*(\cdot), u_*(\cdot)\big)$ ein schwaches lokales Minimum des linear-quadratischen Reglers. □

6. Starkes lokales Minimum über unendlichem Zeithorizont

Die Herleitung notwendiger Optimalitätsbedingungen für starke lokale Minimalstellen in der Klassischen Variationsrechnung und in der Optimalen Steuerung basiert auf der Nadelvariationsmethode. Für Aufgaben mit einem unbeschränkten Zeitintervall sieht man sich mit der Variierbarkeit einer Trajektorie konfrontiert. An dieser Stelle leisten die mehrfachen Nadelvariationen nach Ioffe & Tichomirov [38] aus dem zweiten Kapitel das Gewünschte: Durch die geeignete Festlegung der Trägermengen, auf denen die Nadelvariationen konzentriert sind, lässt sich die so erzeugte Zustandstrajektorie bezüglich der gleichmäßigen Topologie in einer Umgebung einfangen (Tauchnitz [67]).
Wir präsentieren in diesem Kapitel die Erweiterung der Nadelvariationsmethode nach Ioffe & Tichomirov für Steuerungsprobleme mit einem unendlichen Zeithorizont und mit einer lokal unbeschränkten Dichtefunktion im Integranden. Die dadurch erzielten Resultate in Form des Pontrjaginschen Maximumprinzips bestehen aus der Herleitung der adjungierten Gleichung, der Maximumbedingung und der Gültigkeit der "natürlichen" Transversalitätsbedingungen.

Weiterhin schenken wir den Aufgaben mit Zustandsbeschränkungen über einem unbeschränkten Zeitintervall unsere Aufmerksamkeit. Bezüglich dieser Restriktionen besitzen die Steuerungsprobleme mit unendlichem Zeithorizont besondere Wesenszüge. Diese resultieren daraus, dass eine stetige Funktion über $\mathbb{R}_+$ kein Maximum besitzen muss.
Einerseits erhalten wir deswegen in der Darstellung des Subdifferentials der Supremumsfunktion einen wesentlichen Unterschied zum Subdifferential der Maximumfunktion, denn die Totalvariation der regulären Borelschen Maße kann verschwinden. Dies gilt deswegen ausdrücklich zu beachten, da in diesem Fall die Nichttrivialität der Multiplikatoren im Maximumprinzip verloren gehen kann.
Andererseits können über dem unbeschränkten Intervall die Ungleichungen erst im Unendlichen aktiv werden. Um diese Art von Restriktionen auszuschließen und um die adjungierte Gleichung in ihrer "erwarteten" Darstellung zu erlangen, müssen wir zusätzliche Vorsichtsmaßnahmen für das Verhalten der Zustandstrajektorien entlang der Ungleichungen im Unendlichen treffen.
Außerdem ist im Nachweis des Lagrangeschen Prinzips der funktionalanalytische Rahmen grundlegend zu überdenken. Denn "echte" Abstiegsrichtungen bezüglich der Zustandsbeschränken im abstrakten Rahmen des Raumes der stetigen Funktion, die im Unendlichen verschwinden, existieren nicht.

In diesem abschließenden Kapitel zu notwendigen Bedingungen zeigt sich rückblickend auf die gesamte Arbeit in vollem Umfang die Komplexität der Aufgabenklasse über dem unbeschränkten Zeitintervall. Jeden Ansatz und jeden Schritt im Beweis der notwendigen Optimalitätsbedingungen gilt es gründlich zu überdenken und die Analogien zu Aufgaben über einem endlichen Zeitintervall kritisch zu hinterfragen. Denn das unendliche Zeitintervall stellt eine Singularität in allen Bereichen der Aufgabe dar, weswegen wir die bekannten Verfahren vollständig überarbeiten mussten.

6.1. Die Aufgabenstellung

In diesem Kapitel betrachten wir starke lokale Minimalstellen der Aufgabe

$$J\big(x(\cdot),u(\cdot)\big)=\int_0^\infty \omega(t)f\big(t,x(t),u(t)\big)\,dt\to\inf, \tag{6.1}$$

$$\dot{x}(t)=\varphi\big(t,x(t),u(t)\big),\quad x(0)=x_0, \tag{6.2}$$

$$u(t)\in U\subseteq\mathbb{R}^m,\quad U\neq\emptyset, \tag{6.3}$$

$$g_j\big(t,x(t)\big)\le 0\quad\text{für alle } t\in\mathbb{R}_+,\quad j=1,...,l. \tag{6.4}$$

Dabei gelten für die eingehenden Abbildungen

$$f:\mathbb{R}\times\mathbb{R}^n\times\mathbb{R}^m\to\mathbb{R},\qquad \varphi:\mathbb{R}\times\mathbb{R}^n\times\mathbb{R}^m\to\mathbb{R}^n,\qquad g_j:\mathbb{R}\times\mathbb{R}^n\to\mathbb{R}.$$

Die Aufgabe (6.1)–(6.4) untersuchen wir bezüglich der Paare

$$\big(x(\cdot),u(\cdot)\big)\in W_2^1(\mathbb{R}_+,\mathbb{R}^n;\nu)\times L_\infty(\mathbb{R}_+,U).$$

Wir nennen die Trajektorie $x(\cdot)\in W_2^1(\mathbb{R}_+,\mathbb{R}^n;\nu)$ eine Lösung des dynamischen Systems (6.2), falls $x(\cdot)$ auf $\mathbb{R}_+$ definiert ist und auf jedem endlichen Intervall die Dynamik mit Steuerung $u(\cdot)$ im Sinn von Carathéodory löst.

Für die Aufgabe (6.1)–(6.4) treffen wir die folgenden Annahmen **($\mathbf{B}_0$)**–**($\mathbf{B}_3$)**:

($\mathbf{B}_0$) Die Dichtefunktion $\omega(\cdot)$ und das Gewicht $\nu(\cdot)$ besitzen die Eigenschaften:

- (o) Es gilt $\omega(\cdot)\in L_1(\mathbb{R}_+,\mathbb{R}_+)$.
- (i) Es ist $\nu(\cdot)$ stetig, positiv und monoton fallend.
- (ii) Es ist $\nu(\cdot)\in W_1^1(\mathbb{R}_+,\mathbb{R})$ und es gelten $\nu(0)=1$, $\lim\limits_{t\to\infty} t\cdot\nu(t)=0$.
- (iii) Es ist $|\dot{\nu}(t)|\le K\nu(t)$ für alle $t\in\mathbb{R}_+$ mit einer Konstanten $K>0$.

Zu $x(\cdot)$ bezeichne V_γ die Menge $V_\gamma=\{(t,x)\in\mathbb{R}_+\times\mathbb{R}^n\,|\,\|x-x(t)\|\le\gamma\}$. Dann gehören zur Menge $\mathscr{B}_{\mathrm{Lip}}$ diejenigen $x(\cdot)\in W_2^1(\mathbb{R}_+,\mathbb{R}^n;\nu)$, für die es eine Zahl $\gamma>0$ derart gibt, dass auf der Menge V_γ gelten:

($\mathbf{B}_1$) Die Abbildungen $f(t,x,u)$ und $\varphi(t,x,u)$ sind auf $V_\gamma\times U$ stetig in der Gesamtheit der Variablen und stetig differenzierbar bezüglich x.

($\mathbf{B}_2$) Für jedes $u(\cdot)\in L_\infty(\mathbb{R}_+,U)$ gibt es auf V_γ ein $C_0>0$ und ein $L(\cdot)\in L_1(\mathbb{R}_+,\mathbb{R}_+;\omega)$, die von der Menge V_γ und von $u(\cdot)$ abhängig sein können, mit

$$\big|f\big(t,x,u(t)\big)\big|,\ \big\|f_x\big(t,x,u(t)\big)\big\|\le L(t),$$
$$\big\|\varphi\big(t,x,u(t)\big)\big\|\le C_0(1+\|x\|),\qquad \big\|\varphi_x\big(t,x,u(t)\big)\big\|\le C_0$$

für fast alle $t\in\mathbb{R}_+$.

($\mathbf{B}_3$) Die Abbildungen $g_j(t,x)$, $j=1,...,l$, und deren partielle Ableitungen $g_{jx}(t,x)$ sind stetig für alle $(t,x)\in V_\gamma$. Ferner existiert eine Konstante $C_0>0$ mit

$$|g_j(t,x)|\le C_0(1+\|x\|),\quad \|g_{jx}(t,x)\|\le C_0,\quad \|g_{jx}(t,x)-g_{jx}(t,x')\|\le C_0\|x-x'\|$$

für alle $(t,x),(t,x')\in V_\gamma$.

Der Steuerungsprozess $\big(x(\cdot),u(\cdot)\big)\in W_2^1(\mathbb{R}_+,\mathbb{R}^n;\nu)\times L_\infty(\mathbb{R}_+,U)$ heißt zulässig in der Aufgabe (6.1)–(6.4), falls $\big(x(\cdot),u(\cdot)\big)$ dem System (6.2) genügt, $x(\cdot)$ die Restriktionen (6.4) erfüllt und das Lebesgue-Integral in (6.1) endlich ist. Die Menge $\mathscr{B}_{\rm adm}$ bezeichnet die Menge der zulässigen Steuerungsprozesse der Aufgabe (6.1)–(6.4).
Der zulässige Steuerungprozess $\big(x_*(\cdot),u_*(\cdot)\big)$ ist eine starke lokale Minimalstelle in der Aufgabe (6.1)–(6.4), falls eine Zahl $\varepsilon>0$ derart existiert, dass die Ungleichung

$$J\big(x(\cdot),u(\cdot)\big)\ge J\big(x_*(\cdot),u_*(\cdot)\big)$$

für alle $\big(x(\cdot),u(\cdot)\big)\in\mathscr{B}_{\rm adm}$ mit $\|x(\cdot)-x_*(\cdot)\|_\infty\le\varepsilon$ gilt.

6.2. Die Standardaufgabe mit unendlichem Zeithorizont

6.2.1. Das Pontrjaginsche Maximumprinzip

Im Weiteren bezeichnet $H:\mathbb{R}\times\mathbb{R}^n\times\mathbb{R}^m\times\mathbb{R}^n\times\mathbb{R}\to\mathbb{R}$ die Pontrjagin-Funktion

$$H(t,x,u,p,\lambda_0)=\langle p,\varphi(t,x,u)\rangle-\lambda_0\omega(t)f(t,x,u).$$

Theorem 6.1 (Pontrjaginsches Maximumprinzip)**.** *Es sei $\big(x_*(\cdot),u_*(\cdot)\big)\in\mathscr{B}_{\rm adm}\cap\mathscr{B}_{\rm Lip}$. Ist $\big(x_*(\cdot),u_*(\cdot)\big)$ ein starkes lokales Minimum der Aufgabe (6.1)–(6.3), dann existieren nicht gleichzeitig verschwindende Multiplikatoren $\lambda_0\ge 0$ und $p(\cdot)\in L_2(\mathbb{R}_+,\mathbb{R}^n;\nu^{-1})$ derart, dass*

(a) die Funktion $p(\cdot)$ fast überall der adjungierten Gleichung

$$\dot p(t)=-\varphi_x^T\big(t,x_*(t),u_*(t)\big)p(t)+\lambda_0\omega(t)f_x\big(t,x_*(t),u_*(t)\big) \tag{6.5}$$

genügt und die "natürlichen" Transversalitätsbedingungen

$$\lim_{t\to\infty}\|p(t)\|^2\nu^{-1}(t)=0,\qquad \langle p(t),x(t)\rangle=0\quad\forall\,x(\cdot)\in W_2^1(\mathbb{R}_+,\mathbb{R}^n;\nu) \tag{6.6}$$

erfüllt;

(b) in fast allen Punkten $t\in\mathbb{R}_+$ die Maximumbedingung

$$H\big(t,x_*(t),u_*(t),p(t),\lambda_0\big)=\max_{u\in U}H\big(t,x_*(t),u,p(t),\lambda_0\big) \tag{6.7}$$

gilt.

Zur Verdeutlichung der Voraussetzung **(B$_2$)** und den Bezug zur Menge der zulässigen Steuerungsprozesse diskutieren wir im folgenden Beispiel die Mengen $\mathscr{B}_{\mathrm{adm}}$ und $\mathscr{B}_{\mathrm{Lip}}$:

Beispiel 6.2. Wir betrachten nach Grass et al. [28] die Aufgabe

$$J\big(x(\cdot),u(\cdot)\big)=\int_0^\infty e^{-\varrho t}\big(cx(t)+u(t)\big)\,dt\to\inf, \tag{6.8}$$

$$\dot{x}(t)=\tau+[\kappa+\varepsilon u(t)]x^\alpha(t)-[\mu+\eta u(t)]x(t),\quad x(0)=x_0>0, \tag{6.9}$$

$$u(t)\in U=\mathbb{R}_+,\quad \tau\geq 0,\quad \kappa,\varepsilon,\mu,\eta,\varrho>0,\quad \alpha\in(0,1). \tag{6.10}$$

Die Dynamik (6.9) ist in der vorliegenden Allgemeinheit nicht exakt zu lösen. Entsprechend schwierig gestaltet sich die Analyse des Steuerungsproblems (6.8)–(6.10). Deswegen weisen wir an dieser Stelle darauf hin, dass wir im Folgenden die Mengen $\mathscr{B}_{\mathrm{Lip}},\mathscr{B}_{\mathrm{adm}}$ ohne Voraussetzungen an einen möglichen optimalen Steuerungsprozess diskutieren.

(a) $\mathscr{B}_{\mathrm{adm}}$: Wegen $\kappa,\mu>0$, ist jede zu $u(\cdot)\in L_\infty(\mathbb{R}_+,\mathbb{R}_+)$ gehörende Lösung $x(\cdot)$ von (6.9) beschränkt, und es gilt $x(t)\geq m>0$ auf $\mathbb{R}_+$. Damit gehört die Trajektorie $x(\cdot)$ für jedes $\nu(\cdot)\in W_1^1(\mathbb{R}_+,\mathbb{R})$ dem Raum $W_2^1(\mathbb{R}_+,\mathbb{R};\nu)$ an. Weiterhin ist für jeden beschränkten Steuerungsprozess $\big(x(\cdot),u(\cdot)\big)$ das Zielfunktional (6.8) endlich. Also ist jedes Paar $\big(x(\cdot),u(\cdot)\big)$ aus $W_2^1(\mathbb{R}_+,\mathbb{R};\nu)\times L_\infty(\mathbb{R}_+,\mathbb{R}_+)$, das (6.9) löst, zulässig.

(b) $\mathscr{B}_{\mathrm{Lip}}$: Nun sei $x(\cdot)\in W_2^1(\mathbb{R}_+,\mathbb{R};\nu)$ beschränkt, $x(t)\geq m>0$ auf $\mathbb{R}_+$ und $0<\gamma<m$. Dann gibt es zu jedem $u(\cdot)\in L_\infty(\mathbb{R}_+,\mathbb{R}_+)$ und zu $0<\gamma<m$ eine Zahl C_0 mit

$$\big\|\big(f(t,x,u(t)),\varphi(t,x,u(t)),f_x(t,x,u(t)),\varphi_x(t,x,u(t))\big)\big\|\leq C_0$$

auf V_γ für fast alle $t\in\mathbb{R}_+$.

Damit sind die Voraussetzungen **(B$_1$)**, **(B$_2$)** erfüllt und es gilt $\mathscr{B}_{\mathrm{Lip}}\cap\mathscr{B}_{\mathrm{adm}}=\mathscr{B}_{\mathrm{adm}}$. Ferner hängt die Zahl C_0 von $u(\cdot)\in L_\infty(\mathbb{R}_+,\mathbb{R}_+)$ und der Wahl von $0<\gamma<m$ ab.

(c) Im Gegensatz zur Aufgabenstellung nehmen wir nun $\tau=0$ und $\kappa=0$ an. Dann gibt es zulässige Trajektorien $x(\cdot)$ mit $x(t)\to 0$ für $t\to\infty$. Für diese $x(\cdot)$ gibt es keine Menge V_γ, so dass die Voraussetzung **(B$_2$)**, d. h. $\big\|\varphi_x\big(t,x,u(t)\big)\big\|\leq C_0$, erfüllt ist. Daher hat man in diesem Fall $\mathscr{B}_{\mathrm{Lip}}\cap\mathscr{B}_{\mathrm{adm}}\subset\mathscr{B}_{\mathrm{adm}}$. □

Als Folgerung aus Theorem 6.1 erhalten wir wieder die Transversalitätsbedingung von Michel (Lemma 5.3). Weiterhin können wir unmittelbar das Resultat über die Normalform des Pontrjaginschen Maximumprinzips einbinden:

Theorem 6.3. *Sei $\big(x_*(\cdot),u_*(\cdot)\big)\in\mathscr{B}_{\mathrm{adm}}\cap\mathscr{B}_{\mathrm{Lip}}$ und sei die "Stetigkeitsbedingung"* **(S)** *in Abschnitt 5.3 erfüllt. Ist $\big(x_*(\cdot),u_*(\cdot)\big)$ eine starke lokale Minimalstelle in der Aufgabe (6.1)–(6.3), dann ist Theorem 6.1 mit $\lambda_0=1$ erfüllt. Ferner besitzt die Adjungierte $p(\cdot)$ die Darstellung*

$$p(t)=-Z_*(t)\int_t^\infty\omega(s)Z_*^{-1}(s)f_x\big(s,x_*(s),u_*(s)\big)\,ds.$$

Dabei ist $Z_*(t)$ die in $t = 0$ normalisierte Fundamentalmatrix des linearen Systems

$$\dot{z}(t) = -\varphi_x^T\big(t, x_*(t), u_*(t)\big)z(t).$$

Beispiel 6.4. Wir betrachten erneut das Differentialspiel im Beispiel 2.9, aber dieses Mal mit einem unendlichen Zeithorizont:

$$\begin{aligned}
&\tilde{J}_i\big(x(\cdot), u_1(\cdot), u_2(\cdot)\big) = \int_0^\infty e^{-\varrho t}\big(px(t) - c_i\big)u_i(t)\,dt \to \sup,\\
&\dot{x}(t) = x(t)\big(\alpha - r\ln x(t)\big) - u_1(t)x(t) - u_2(t)x(t), \quad x(0) = x_0 > 0,\\
&u_i > 0, \quad \alpha, c_i, p, r, \varrho > 0, \quad \alpha > \frac{1}{c_1 + c_2}, \quad i = 1, 2.
\end{aligned}$$

Wieder ist der Preis p nicht konstant, sondern umgekehrt proportional zum Angebot:

$$p = p(u_1x + u_2x) = \frac{1}{u_1x + u_2x}.$$

Nach Anwendung der Transformation $z = \ln x$ ergibt sich das Spielproblem

$$\begin{aligned}
&J_i\big(z(\cdot), u_1(\cdot), u_2(\cdot)\big) = \int_0^\infty e^{-\varrho t}\left(\frac{1}{u_1(t) + u_2(t)} - c_i\right)u_i(t)\,dt \to \sup,\\
&\dot{z}(t) = -rz(t) + \alpha - u_1(t) - u_2(t), \quad z(0) = \ln x_0 > 0,\\
&u_i > 0, \quad \alpha, c_i, p, r, \varrho > 0, \quad \alpha > \frac{1}{c_1 + c_2}, \quad i = 1, 2.
\end{aligned}$$

Der Lösungsansatz über ein Nash-Gleichgewicht liefert die Steuerungen

$$u_1^*(t) \equiv \frac{c_2}{(c_1 + c_2)^2}, \qquad u_2^*(t) \equiv \frac{c_1}{(c_1 + c_2)^2},$$

die optimale Trajektorie

$$z_*(t) = (z_0 - c_0)e^{-rt} + c_0, \qquad c_0 = \frac{1}{r}\left(\alpha - \frac{1}{c_1 + c_2}\right)$$

und die Adjungierten

$$p_i(t) \equiv 0, \qquad i = 1, 2.$$

Die Funktion $z_*(\cdot)$ ist streng monoton und nimmt nur Werte des Segments $[z_0, c_0]$ an. Da c_0 und z_0 positiv sind, ist $x_*(t) = \exp\big(z_*(t)\big)$ über $\mathbb{R}_+$ wohldefiniert und $x(\cdot)$ gehört dem gewichteten Raum $W_2^1(\mathbb{R}_+, \mathbb{R}^n; \nu)$ mit $\nu(\cdot) \in W_1^1(\mathbb{R}_+, \mathbb{R})$ an.

Für den Steuerungsprozesse $\big(x_*(\cdot), u_1^*(\cdot), u_2^*(\cdot)\big)$ sind für $\gamma < \min\{c_0, x_0\}$ die Voraussetzungen $\mathbf{(B_1)}$ und $\mathbf{(B_2)}$ erfüllt. Damit erfüllt $\big(x_*(\cdot), u_1^*(\cdot), u_2^*(\cdot), p_1(\cdot), p_2(\cdot)\big)$ alle notwendigen Bedingungen in Theorem 6.1. □

6.2.2. Mehrfache Nadelvariationen

Der weitere Beweis des Pontrjaginschen Maximumprinzips zur Aufgabe (6.1)–(6.3) basiert auf einer mehrfachen Nadelvariation. Die wesentlichen Grundlagen dazu haben wir im Abschnitt 2.3 gelegt. Allerdings werden wir mit zwei neuen Herausforderungen konfrontiert, nämlich mit dem unbeschränkten Zeitintervall $\mathbb{R}_+$ und mit der möglicherweise lokal unbeschränkten Dichtefunktion $\omega(\cdot) \in L_1(\mathbb{R}_+, \mathbb{R}_+)$ im Integranden des Zielfunktionals.
Ausgangspunkt für die Betrachtung der mehrfachen Nadelvariation ist die Angabe geeigneter Trägerfamilien (Lemma 2.4) und die Eigenschaften, die nach Lemma 2.5 und Lemma 2.6 dem Steuerungsproblem übergeben werden. Wir werden nun zeigen, wie wir für das unbeschränkte Zeitintervall und für einen lokal unbeschränkten Integranden die wesentliche Argumentation auf eine kompakte Menge K zurückführen können.
Die Konstruktion der Trägermengen im Abschnitt 2.3.1 lässt sich unmittelbar auf den Fall anwenden, dass statt dem Intervall $[t_0, t_1]$ eine kompakte Menge $K \subset \mathbb{R}_+$ betrachtet wird. Dann ergibt sich folgendes Resultat:

Lemma 6.5. *Es sei $K \subset \mathbb{R}_+$ kompakt und es seien $y_i(\cdot)$, $y_i : K \to \mathbb{R}^{n_i}$, $i = 1, ..., d$, beschränkte messbare Vektorfunktionen. Dann existieren zu jedem $\delta > 0$ einparametrige Mengenfamilien $M_1(\alpha), ..., M_d(\alpha)$, $0 \le \alpha \le 1/d$, messbarer Teilmengen der Menge K derart, dass für alle $i = 1, ..., d$, $0 \le \alpha' \le \alpha \le 1/d$ und $i \ne i'$ gilt:*

$$|M_i(\alpha)| = \alpha |K|, \qquad M_i(\alpha') \subseteq M_i(\alpha), \qquad M_i(\alpha) \cap M_{i'}(\alpha') = \emptyset,$$
$$\max_{t \in K} \left\| \int_{[0,t] \cap K} \big(\chi_{M_i(\alpha)}(\tau) - \chi_{M_i(\alpha')}(\tau)\big) y_i(\tau)\, d\tau \right.$$
$$\left. -(\alpha - \alpha') \int_{[0,t] \cap K} y_i(\tau)\, d\tau \right\| \le \delta |\alpha - \alpha'|.$$

Es seien $x_*(\cdot) \in W_2^1(\mathbb{R}_+, \mathbb{R}^n; \nu)$, $u_*(\cdot), u_1(\cdot), ..., u_d(\cdot) \in L_\infty\big(\mathbb{R}_+, U\big)$ und $\delta > 0$ gegeben. Ferner seien die Voraussetzungen $\mathbf{(B_1)}$ und $\mathbf{(B_2)}$ für $x_*(\cdot)$ erfüllt. Da wir nur endlich viele Funktionen $u_*(\cdot), u_1(\cdot), ..., u_d(\cdot)$ betrachten, gilt $\mathbf{(B_2)}$ für alle diese Funktionen mit einer Zahl C_0 und einer Funktion $L(\cdot)$.
Dann lässt sich eine Zahl $T > 0$ wählen mit (nach $\mathbf{(B_0)}$ gilt $t \cdot \nu(t) \to 0$ für $t \to \infty$)

$$\sup_{t \ge T} \nu(t) \int_0^t \big\| \varphi_x\big(s, x_*(s), u_*(s)\big) \big\|\, ds \le \sup_{t \ge T} C_0 [t \cdot \nu(t)] \le \frac{\delta}{3}.$$

Ferner können wir die Zahl $T > 0$ wählen mit

$$\begin{aligned} \sup_{t \ge T} \nu(t) \int_0^t \big\| \varphi\big(s, x_*(s), u(s)\big) \big\|\, ds &\le \sup_{t \ge T} \nu(t) \int_0^t C_0 \big(1 + \|x_*(s)\|\big)\, ds \\ &\le \sup_{t \ge T} C_0 \big(t \cdot \nu(t) + \|x_*(\cdot)\|_{W_2^1(\nu)} [t \cdot \nu(t)]^{1/2}\big) \le \frac{\delta}{6} \end{aligned}$$

für alle $u_*(\cdot), u_1(\cdot), ..., u_d(\cdot) \in L_\infty\big(\mathbb{R}_+, U\big)$. Abschließend sei $T > 0$ derart festgelegt, dass

$$\int_T^\infty \omega(t)\big|f\big(t, x(t), u(t)\big)\big|\,dt \le \int_T^\infty \omega(t)L(t)\,dt \le \frac{\delta}{6}$$

für alle $u_*(\cdot), u_1(\cdot), ..., u_d(\cdot) \in L_\infty\big(\mathbb{R}_+, U\big)$ und $x(\cdot)$ mit $\|x(\cdot) - x_*(\cdot)\|_\infty \le \gamma$ gilt.
Nach dem Satz von Lusin existiert eine kompakte Menge $K \subseteq [0,T]$, auf der die Funktion $\omega(\cdot)$ stetig ist und zudem für $i = 1, ..., d$ folgende Relationen gelten:

$$\begin{aligned}
&\int_{[0,T]\setminus K} \big\|\varphi_x\big(t, x_*(t), u_*(t)\big)\big\|\,dt \le \frac{\delta}{3},\\
&\int_{[0,T]\setminus K} \big\|\varphi\big(t, x_*(t), u_i(t)\big) - \varphi\big(t, x_*(t), u_*(t)\big)\big\|\,dt \le \frac{\delta}{3},\\
&\int_{[0,T]\setminus K} \omega(t)\big|f\big(t, x_*(t), u_i(t)\big) - f\big(t, x_*(t), u_*(t)\big)\big|\,dt \le \frac{\delta}{3}.
\end{aligned}$$

Wir betrachten im Folgenden die Funktionen $y_i(\cdot)$,

$$\begin{aligned}
y_i(t) \;=\; &\Big(\varphi\big(t, x_*(t), u_i(t)\big) - \varphi\big(t, x_*(t), u_*(t)\big),\\
&\qquad \omega(t)\big[f\big(t, x_*(t), u_i(t)\big) - f\big(t, x_*(t), u_*(t)\big)\big]\Big), \quad i = 1, ..., d,
\end{aligned}$$

die nach Wahl von K über dieser Menge messbar und beschränkt sind. Über $\mathbb{R}_+$ definieren wir mit den zugehörigen Trägermengen $M_1(\alpha), ..., M_d(\alpha) \subseteq K$ aus Lemma 6.5 die Abbildung $\alpha \to u_\alpha(\cdot) \in L_\infty\big(\mathbb{R}_+, U\big)$,

$$u_\alpha(t) = u_*(t) + \sum_{i=1}^d \chi_{M_i(\alpha_i)}(t) \cdot \big(u_i(t) - u_*(t)\big).$$

Diese ist auf folgendem Quader Q^d wohldefiniert:

$$Q^d = \Big\{\alpha = (\alpha_1, ..., \alpha_d) \in \mathbb{R}^d \,\Big|\, 0 \le \alpha_i \le 1/d,\, i = 1, ..., d\Big\}.$$

Im Weiteren bezeichnen $\Sigma(\Delta)$ und V die Mengen

$$\begin{aligned}
\Sigma(\Delta) \;&=\; \left\{\alpha = (\alpha_1, ..., \alpha_d) \in \mathbb{R}^d \,\middle|\, \alpha_1, ..., \alpha_d \ge 0,\, \sum_{i=1}^d \alpha_i \le \Delta\right\},\\
V \;&=\; \{x(\cdot) \in C_0(\mathbb{R}_+, \mathbb{R}^n) \,\big|\, \|x(\cdot) - x_*(\cdot)\|_\infty \le \sigma\}.
\end{aligned}$$

Auf diesen Mengen betrachten wir die Abbildungen

$$\begin{aligned}
\Phi_1\big(x(\cdot),\alpha\big)(t) &= \nu(t)\int_0^t \big[\varphi\big(\tau,x(\tau),u_\alpha(\tau)\big)-\varphi\big(\tau,x_*(\tau),u_*(\tau)\big)\big]\,d\tau, \quad t\in\mathbb{R}_+,\\
\Lambda_1\big(x(\cdot),\alpha\big)(t) &= \nu(t)\int_0^t \Big[\varphi_x\big(\tau,x_*(\tau),u_*(\tau)\big)\big(x(\tau)-x_*(\tau)\big)\\
&\qquad +\sum_{i=1}^d \alpha_i\cdot\Big(\varphi\big(\tau,x_*(\tau),u_i(\tau)\big)-\varphi\big(\tau,x_*(\tau),u_*(\tau)\big)\Big)\Big]\,d\tau, \quad t\in\mathbb{R}_+,\\
\Phi_2\big(x(\cdot),\alpha\big) &= \int_0^\infty \omega(t)\big[f\big(t,x(t),u_\alpha(t)\big)-f\big(t,x(t),u_*(t)\big)\big]\,dt,\\
\Lambda_2\big(x(\cdot),\alpha\big) &= \sum_{i=1}^d \int_0^\infty \alpha_i\cdot\omega(t)\big[f\big(t,x(t),u_i(t)\big)-f\big(t,x(t),u_*(t)\big)\big]\,dt.
\end{aligned}$$

Lemma 6.6. *Es existieren $\Delta\in(0,1/d]$ und $\sigma>0$ derart, dass für alle $\alpha,\alpha'\in\Sigma(\Delta)$ und alle $x(\cdot),x'(\cdot)\in V$ gelten:*

$$\begin{aligned}
&\Big\|\big[\Phi_1\big(x(\cdot),\alpha\big)-\Phi_1\big(x'(\cdot),\alpha'\big)-\Lambda_1\big(x(\cdot),\alpha\big)-\Lambda_1\big(x'(\cdot),\alpha'\big)\big](\cdot)\Big\|_\infty\\
&\qquad\qquad \le \delta\Big(\|x(\cdot)-x'(\cdot)\|_\infty+\sum_{i=1}^d|\alpha_i-\alpha_i'|\Big). \qquad (6.11)
\end{aligned}$$

Beweis Beachten wir $\nu(t)\le 1$ und, dass die Abbildung $\alpha\to u_\alpha(\cdot)$ nur für $t\in K$ zum Tragen kommt, so können wir die linke Seite in (6.11) gegen folgenden Ausdruck abschätzen:

$$\begin{aligned}
&\int_{[0,T]\setminus K}\big\|\varphi_x\big(t,x_*(t),u_*(t)\big)\big(x(t)-x'(t)\big)\big\|\,dt\\
&\qquad +\sum_{i=1}^d(\alpha_i-\alpha_i')\cdot\int_{[0,T]\setminus K}\big\|\varphi\big(t,x_*(t),u_i(t)\big)-\varphi\big(t,x_*(t),u_*(t)\big)\big\|\,dt\\
+\ &\max_{t\in K}\Big\|\int_{[0,t]\cap K}\Big[\varphi\big(\tau,x(\tau),u_\alpha(\tau)\big)-\varphi\big(\tau,x'(\tau),u_{\alpha'}(\tau)\big)\\
&\qquad -\varphi_x\big(\tau,x_*(\tau),u_*(\tau)\big)\big(x(\tau)-x'(\tau)\big)\\
&\qquad -\sum_{i=1}^d(\alpha_i-\alpha_i')\cdot\Big(\varphi\big(\tau,x_*(\tau),u_i(\tau)\big)-\varphi\big(\tau,x_*(\tau),u_*(\tau)\big)\Big)\Big]d\tau\Big\|\\
+\ &\sup_{t\ge T}\nu(t)\int_0^t\big\|\varphi_x\big(\tau,x_*(\tau),u_*(\tau)\big)\big(x(\tau)-x'(\tau)\big)\big\|\,d\tau\\
&\qquad +\sup_{t\ge T}\nu(t)\sum_{i=1}^d(\alpha_i-\alpha_i')\cdot\int_0^t\big\|\varphi\big(\tau,x_*(\tau),u_i(\tau)\big)-\varphi\big(\tau,x_*(\tau),u_*(\tau)\big)\big\|\,d\tau.
\end{aligned}$$

Über der Menge $[0,T]\setminus K$ bzw. für $t\geq T$ fallen die Ausdrücke kleiner oder gleich

$$\frac{\delta}{3}\Big(\|x(\cdot)-x'(\cdot)\|_\infty+\sum_{i=1}^d|\alpha_i-\alpha_i'|\Big)$$

aus. Bezüglich der kompakten Menge K folgt diese Abschätzung direkt aus Lemma 2.5, da im Beweis das Intervall $[t_0,t_1]$ durch die kompakte Menge K ersetzt werden darf, auf der die Dichtefunktion $\omega(\cdot)$ stetig ist. ■

Lemma 6.7. *Es existieren $\Delta\in(0,1/d]$ und $\sigma>0$ derart, dass für alle $\alpha\in\Sigma(\Delta)$ und alle $x(\cdot)\in V$ gelten:*

$$\Phi_2\big(x(\cdot),\alpha\big)-\Lambda_2\big(x(\cdot),\alpha\big)\leq\delta\sum_{i=1}^d\alpha_i. \tag{6.12}$$

Beweis Die linke Seite in (6.12) ist gleich

$$\sum_{i=1}^d\int_0^\infty\Big(\chi_{M_i(\alpha_i)}(t)-\alpha_i\Big)\cdot\Big(\omega(t)\big[f\big(t,x(t),u_i(t)\big)-f\big(t,x(t),u_*(t)\big)\big]\Big)\,dt.$$

Beachten wir $M_i(\alpha_i)\subseteq K$, so folgen nach Wahl von $T>0$ und der Menge K:

$$\sum_{i=1}^d\int_{[0,T]\setminus K}\alpha_i\cdot\Big(\omega(t)\big[f\big(t,x(t),u_i(t)\big)-f\big(t,x(t),u_*(t)\big)\big]\Big)\,dt\leq\frac{\delta}{3}\sum_{i=1}^d\alpha_i,$$
$$\sum_{i=1}^d\int_T^\infty\alpha_i\cdot\Big(\omega(t)\big[f\big(t,x(t),u_i(t)\big)-f\big(t,x(t),u_*(t)\big)\big]\Big)dt\leq\frac{\delta}{3}\sum_{i=1}^d\alpha_i.$$

Für die Integration über der kompakten Menge K erhalten wir

$$\sum_{i=1}^d\int_K\alpha_i\cdot\Big(\omega(t)\big[f\big(t,x(t),u_i(t)\big)-f\big(t,x(t),u_*(t)\big)\big]\Big)\,dt\leq\frac{\delta}{3}\sum_{i=1}^d\alpha_i$$

unmittelbar aus Lemma 2.6, da wieder das Intervall $[t_0,t_1]$ durch die kompakte Menge K ersetzt werden darf, auf der die Dichtefunktion $\omega(\cdot)$ stetig ist. ■

6.2.3. Definition und Eigenschaften der Extremalaufgabe

Sei $x_*(\cdot)\in\mathscr{B}_{\mathrm{Lip}}\cap C(\mathbb{R}_+,\mathbb{R}^n)$ und es bezeichne $\xi_0(\cdot)$ den Ursprung im Raum $C_0(\mathbb{R}_+,\mathbb{R}^n)$. Auf $C_0(\mathbb{R}_+,\mathbb{R}^n)\times L_\infty(\mathbb{R}_+,U)$ definieren wir die Abbildungen

$$\begin{aligned}
\tilde J\big(\xi(\cdot),u(\cdot)\big) &= \int_0^\infty\omega(t)f\big(t,x_*(t)+\xi(t),u(t)\big)\,dt,\\
F_1\big(\xi(\cdot),u(\cdot)\big)(t) &= 2\xi(t)+\nu(t)\Big[x_*(t)-x_0-\int_0^t\varphi\big(s,x_*(s)+\xi(s),u(s)\big)\,ds\Big],\\
F_2\big(\xi(\cdot)\big)(t) &= 2\xi(t)-\nu(t)\big(\xi(t)-\xi(0)\big),\qquad t\in\mathbb{R}_+,\qquad H\big(\xi(\cdot)\big)=\xi(0).
\end{aligned}$$

Dabei fassen wir sie als Abbildungen zwischen folgenden Funktionenräumen auf:

$$\begin{aligned}\tilde{J} &: C_0(\mathbb{R}_+,\mathbb{R}^n)\times L_\infty(\mathbb{R}_+,\mathbb{R}^m)\to\mathbb{R},\\ F_1 &: C_0(\mathbb{R}_+,\mathbb{R}^n)\times L_\infty(\mathbb{R}_+,\mathbb{R}^m)\to C_0(\mathbb{R}_+,\mathbb{R}^n),\\ F_2 &: C_0(\mathbb{R}_+,\mathbb{R}^n)\to C_0(\mathbb{R}_+,\mathbb{R}^n),\\ H &: C_0(\mathbb{R}_+,\mathbb{R}^n)\to\mathbb{R}^n.\end{aligned}$$

Im Folgenden betrachten wir die Eigenschaften der Extremalaufgabe

$$\tilde{J}\big(\xi(\cdot),u(\cdot)\big)\to\inf,\quad F\big(\xi(\cdot),u(\cdot)\big)=F_1\big(\xi(\cdot),u(\cdot)\big)-F_2\big(\xi(\cdot)\big)=0,\quad H\big(\xi(\cdot)\big)=0. \tag{6.13}$$

Dabei sind die Abbildungen F_2 und H offensichtlich auf $C_0(\mathbb{R}_+,\mathbb{R}^n)$ stetig differenzierbar und die linearen Operatoren $F_2'\big(\xi(\cdot)\big), H'\big(\xi(\cdot)\big)$ sind surjektiv für jedes $\xi(\cdot)\in C_0(\mathbb{R}_+,\mathbb{R}^n)$.

Lemma 6.8. *Für jedes $u(\cdot)\in L_\infty(\mathbb{R}_+,U)$ ist die Abbildung $\xi(\cdot)\to\tilde{J}\big(\xi(\cdot),u(\cdot)\big)$ im Punkt $\xi_0(\cdot)$ Fréchet-differenzierbar und es gilt*

$$\tilde{J}_\xi\big(\xi_0(\cdot),u(\cdot)\big)\xi(\cdot)=\int_0^\infty\omega(t)\big\langle f_x\big(t,x_*(t),u(t)\big),\xi(t)\big\rangle\,dt.$$

Lemma 6.9. *Für jedes $u(\cdot)\in L_\infty(\mathbb{R}_+,U)$ ist die Abbildung $\xi(\cdot)\to F_1\big(\xi(\cdot),u(\cdot)\big)$ im Punkt $\xi_0(\cdot)$ Fréchet-differenzierbar und es gilt*

$$\big[F_{1\xi}\big(\xi_0(\cdot),u(\cdot)\big)\xi(\cdot)\big](t)\;=\;\xi(t)-\nu(t)\int_0^t\varphi_x\big(s,x_*(s),u(s)\big)\xi(s)\,ds,\quad t\in\mathbb{R}_+.$$

Lemma 6.10. *Für jedes $u(\cdot)\in L_\infty(\mathbb{R}_+,U)$ ist $\xi(\cdot)\to F_{1\xi}\big(\xi_0(\cdot),u(\cdot)\big)\xi(\cdot)$ surjektiv.*

Diese Eigenschaften und die Herleitungen sind verwandt mit denen in Abschnitt 5.2.3. Deswegen verzichten wir auf die erneuten Beweisführungen.

6.2.4. Lagrangesche Multiplikatorenregel

In der Aufgabe (6.1)–(6.3) seien $x_*(\cdot)\in\mathscr{B}_{\mathrm{Lip}}\cap C(\mathbb{R}_+,\mathbb{R}^n)$ und $\big(x_*(\cdot),u_*(\cdot)\big)\in\mathscr{B}_{\mathrm{adm}}$. Auf $C_0(\mathbb{R}_+,\mathbb{R}^n)\times L_\infty(\mathbb{R}_+,\mathbb{R}^m)\times C_0^*(\mathbb{R}_+,\mathbb{R}^n)\times\mathbb{R}\times\mathbb{R}^n$ definieren wir zur Extremalaufgabe (6.13) die Lagrange-Funktion $\mathscr{L}=\mathscr{L}\big(\xi(\cdot),u(\cdot),y^*,\lambda_0,l_0\big)$,

$$\begin{aligned}\mathscr{L} &= \lambda_0\tilde{J}\big(\xi(\cdot),u(\cdot)\big)+\big\langle y^*,F\big(\xi(\cdot),u(\cdot)\big)\big\rangle+l_0^TH\big(\xi(\cdot)\big)\\ &= \lambda_0\tilde{J}\big(\xi(\cdot),u(\cdot)\big)+\big\langle y^*,F_1\big(\xi(\cdot),u(\cdot)\big)-F_2\big(\xi(\cdot)\big)\big\rangle+l_0^TH\big(\xi(\cdot)\big).\end{aligned}$$

Theorem 6.11 (Extremalprinzip)**.** *Es sei $x_*(\cdot)\in\mathscr{B}_{\mathrm{Lip}}\cap C(\mathbb{R}_+,\mathbb{R}^n)$ und außerdem sei $\big(x_*(\cdot),u_*(\cdot)\big)\in\mathscr{B}_{\mathrm{adm}}$. Ist $\big(x_*(\cdot),u_*(\cdot)\big)$ ein starkes lokales Minimum im Steuerungsproblem (6.1)–(6.3), dann existieren nicht gleichzeitig verschwindende Lagrangesche Multiplikatoren $\lambda_0\ge0$, $y^*\in C_0^*(\mathbb{R}_+,\mathbb{R}^n)$ und $l_0\in\mathbb{R}^n$ derart, dass folgende Bedingungen gelten:*

(a) Die Lagrange-Funktion besitzt bezüglich $\xi(\cdot)$ in $\xi_0(\cdot)$ einen stationären Punkt, d. h.

$$\mathscr{L}_\xi\big(\xi_0(\cdot), u_*(\cdot), \lambda_0, y^*, l_0\big) = 0. \tag{6.14}$$

(b) Die Lagrange-Funktion erfüllt bezüglich $u(\cdot)$ die Minimumbedingung

$$\mathscr{L}\big(\xi_0(\cdot), u_*(\cdot), \lambda_0, y^*, l_0\big) = \min_{u(\cdot)\in L_\infty(\mathbb{R}_+,U)} \mathscr{L}\big(\xi_0(\cdot), u(\cdot), \lambda_0, y^*, l_0\big). \tag{6.15}$$

Beweis Im Weiteren kombinieren wir die Argumente für eine mehrfache Nadelvariation in Abschnitt 2.4.3 mit dem Trennungsargument in Abschnitt 5.2.4. Wir gehen daher nur auf die Passagen ein, die angepasst werden müssen.

1. Schritt (Die Mengen $\mathscr{C}_1$, $\mathscr{C}_2$ der Variationen)**.** Es sei $\mathscr{C}_1$ die Menge derjenigen

$$\big(\eta_0, y_1(\cdot), y_2(\cdot), \mu\big) \in \mathbb{R} \times C_0(\mathbb{R}_+, \mathbb{R}^n) \times C_0(\mathbb{R}_+, \mathbb{R}^n) \times \mathbb{R}^n,$$

zu denen es ein $\xi_1(\cdot) \in C_0(\mathbb{R}_+, \mathbb{R}^n)$ und ein $u(\cdot) \in L_\infty(\mathbb{R}_+, U)$ gibt mit

$$\begin{aligned}
\eta_0 &> \tilde{J}_\xi\big(\xi_0(\cdot), u_*(\cdot)\big)\xi_1(\cdot) + \tilde{J}\big(\xi_0(\cdot), u(\cdot)\big) - \tilde{J}\big(\xi_0(\cdot), u_*(\cdot)\big),\\
y_1(\cdot) &= F_{1\xi}\big(\xi_0(\cdot), u_*(\cdot)\big)\xi_1(\cdot) + F_1\big(\xi_0(\cdot), u(\cdot)\big) - F_1\big(\xi_0(\cdot), u_*(\cdot)\big),\\
y_2(\cdot) &= \xi_1(\cdot), \qquad \mu = H'\big(\xi_0(\cdot)\big)\xi_1(\cdot).
\end{aligned}$$

Weiterhin sei $\mathscr{C}_2$ die Menge der Vektoren

$$\big(0, z_1(\cdot), z_2(\cdot), 0\big) \in \mathbb{R} \times C_0(\mathbb{R}_+, \mathbb{R}^n) \times C_0(\mathbb{R}_+, \mathbb{R}^n) \times \mathbb{R}^n,$$

zu denen es ein $\xi_2(\cdot) \in C_0(\mathbb{R}_+, \mathbb{R}^n)$ gibt mit

$$z_1(\cdot) = F_2'\big(\xi_0(\cdot)\big)\xi_2(\cdot), \qquad z_2(\cdot) = \xi_2(\cdot).$$

Ebenso wie im Abschnitt 5.2.4 ist $\mathscr{C}_2$ konvex und das Innere der Menge $\operatorname{conv}\mathscr{C}_1$ nach dem Satz von der offenen Abbildung nichtleer. Ferner reicht es zum Nachweis von Theorem 6.11 aus, $\operatorname{conv}\mathscr{C}_1 \cap \mathscr{C}_2 = \emptyset$ zu zeigen. Angenommen, es ist $\operatorname{conv}\mathscr{C}_1 \cap \mathscr{C}_2 \neq \emptyset$. Dann existieren positive Zahlen $\overline{\alpha}_i$, $\sum_{i=1}^{d} \overline{\alpha_i} = 1$, $\overline{\xi}(\cdot), \overline{y}(\cdot) \in C_0(\mathbb{R}_+, \mathbb{R}^n)$, $\overline{u}_i(\cdot) \in L_\infty(\mathbb{R}_+, U)$, $i = 1, ..., d$, und eine Zahl $c > 0$ mit

$$\begin{aligned}
-c &\geq \tilde{J}_\xi\big(\xi_0(\cdot), u_*(\cdot)\big)\overline{\xi}(\cdot) + \sum_{i=1}^{d} \overline{\alpha}_i\Big[\tilde{J}\big(\xi_0(\cdot), \overline{u}_i(\cdot)\big) - \tilde{J}\big(\xi_0(\cdot), u_*(\cdot)\big)\Big],\\
\overline{y}(\cdot) &= F_{1\xi}\big(\xi_0(\cdot), u_*(\cdot)\big)\overline{\xi}(\cdot) + \sum_{i=1}^{d} \overline{\alpha}_i\Big[F_1\big(\xi_0(\cdot), \overline{u}_i(\cdot)\big) - F_1\big(\xi_0(\cdot), u_*(\cdot)\big)\Big],\\
\overline{y}(\cdot) &= F_2'\big(\xi_0(\cdot)\big)\overline{\xi}(\cdot), \qquad 0 = H'\big(\xi_0(\cdot)\big)\overline{\xi}(\cdot).
\end{aligned}$$

2. Schritt (Definition und Eigenschaften der Abbildungen $\tilde{\Phi}$ und $\tilde{\Lambda}$)**.** Zu $\Delta \in (0, 1/d]$ sei

$$\tilde{\Sigma}(\Delta) = \Big\{ \alpha = (\alpha_1, ..., \alpha_d) \in \mathbb{R}^d \,\Big|\, \sum_{i=1}^{d} \alpha_i^+ \leq \Delta \Big\}.$$

Sei $\delta > 0$ gegeben. Dann können wir eine Zahl $T > 0$ und eine kompakte Menge $K \subseteq [0, T]$ derart wählen, dass mit der mehrfachen Nadelvariation $u_\alpha(\cdot) \in L_\infty(\mathbb{R}_+, U)$,

$$u_\alpha(t) = u_*(t) + \sum_{i=1}^{d} \chi_{M_i(\alpha_i)}(t) \cdot \big(\overline{u}_i(t) - u_*(t)\big), \qquad M_i(\alpha_i) \subseteq K,$$

die Abbildungen

$$\begin{aligned}
\Phi\big(\xi(\cdot), \alpha\big) &= F_1\big(\xi(\cdot), u_{\alpha^+}(\cdot)\big) + \sum_{i=1}^{d} \Big[\alpha_i^- \Big(F_1\big(\xi_0(\cdot), \overline{u}_i(\cdot)\big) - F_1\big(\xi_0(\cdot), u_*(\cdot)\big) \Big) - \alpha_i \overline{y}(\cdot) \Big], \\
\Lambda\big(\xi(\cdot), \alpha\big) &= F_{1\xi}\big(\xi_0(\cdot), u_*(\cdot)\big)\xi(\cdot) + \sum_{i=1}^{d} \alpha_i \Big[\Big(F_1\big(\xi_0(\cdot), \overline{u}_i(\cdot)\big) - F_1\big(\xi_0(\cdot), u_*(\cdot)\big) \Big) - \overline{y}(\cdot) \Big]
\end{aligned}$$

auf einer Umgebung V von $\xi_0(\cdot)$ und für alle $\alpha \in \tilde{\Sigma}(\Delta)$ mit $\Delta \in (0, 1/d]$ der Relation

$$\begin{aligned}
&\big\| \Phi\big(\xi(\cdot), \alpha\big) - \Phi\big(\xi'(\cdot), \alpha'\big) - \Lambda\big(\xi(\cdot), \alpha\big) + \Lambda\big(\xi'(\cdot), \alpha'\big) \big\|_\infty \\
&\qquad\qquad \leq \delta \Big(\big\| \xi(\cdot) - \xi'(\cdot) \big\|_\infty + \sum_{i=1}^{d} |\alpha_i - \alpha_i'| \Big)
\end{aligned}$$

genügen. Denn dieser Ausdruck stimmt nach Vereinfachungen mit (6.11) in Lemma 6.6 überein. Weiterhin betrachten wir

$$\begin{aligned}
&\Phi_0\big(\xi(\cdot), \alpha\big) = F_2\big(\xi(\cdot)\big) - \sum_{i=1}^{d} \alpha_i \overline{y}(\cdot), \qquad \Lambda_0\big(\xi(\cdot), \alpha\big) = F_2'\big(\xi_0(\cdot)\big)\xi(\cdot) - \sum_{i=1}^{d} \alpha_i \overline{y}(\cdot), \\
&\Phi_1\big(\xi(\cdot), \alpha\big) = H\big(\xi(\cdot)\big), \qquad \Lambda_1\big(\xi(\cdot), \alpha\big) = H'\big(\xi_0(\cdot)\big)\xi(\cdot).
\end{aligned}$$

Wir fassen diese Abbildungen in $\tilde{\Phi}$ und $\tilde{\Lambda}$ zusammenfassen:

$$\tilde{\Phi}\big(\xi(\cdot), \alpha\big) = (\Phi, \Phi_0, \Phi_1)\big(\xi(\cdot), \alpha\big), \qquad \tilde{\Lambda}\big(\xi(\cdot), \alpha\big) = (\Lambda, \Lambda_0, \Lambda_1)\big(\xi(\cdot), \alpha\big).$$

Dann können wir wegen der stetigen Differenzierbarkeit der Abbildungen $F_2\big(\xi(\cdot)\big)$ und $H\big(\xi(\cdot)\big)$ eine Umgebung V von $\xi_0(\cdot)$ und eine $\Delta \in (0, 1/d]$ so gewählt werden, dass auf $V \subseteq C_0(\mathbb{R}_+, \mathbb{R}^n)$ von $\xi_0(\cdot)$ und $\tilde{\Sigma}(\Delta) \subseteq \mathbb{R}^d$ gilt:

$$\big\| \tilde{\Phi}\big(\xi(\cdot), \alpha\big) - \tilde{\Phi}\big(\xi'(\cdot), \alpha'\big) - \tilde{\Lambda}\big(\xi(\cdot), \alpha\big) + \tilde{\Lambda}\big(\xi'(\cdot), \alpha'\big) \big\| \leq \delta \Big(\big\| \xi(\cdot) - \xi'(\cdot) \big\|_\infty + \sum_{i=1}^{d} |\alpha_i - \alpha_i'| \Big).$$

3. und **4. Schritt** (Die Existenz und Eigenschaften zulässiger Richtungen)**.** Da die stetigen linearen Operatoren $F_{1\xi}\big(\xi_0(\cdot),u_*(\cdot)\big)$, $F_2'\big(\xi_0(\cdot)\big)$, $H'\big(\xi_0(\cdot)\big)$ surjektiv sind, ist die Zahl $C(\tilde{\Lambda})$ in Lemma B.15 endlich. Beachten wir ferner, dass $\tilde{\Phi}\big(\xi_0(\cdot),0\big)=0$ und $\tilde{\Lambda}\big(\overline{\xi}(\cdot),\overline{\alpha}\big)=0$ gelten, so lässt sich der verallgemeinerte Satz von Ljusternik auf die Abbildung $\tilde{\Phi}$ im Punkt $\big(\xi_0(\cdot),0\big)$ anwenden.

5. Schritt ($\operatorname{conv}\mathscr{C}_1\cap\mathscr{C}_2=\emptyset$)**.** Für hinreichend kleine $\varepsilon>0$ gelten für

$$\big(\xi^\varepsilon(\cdot),u^\varepsilon(\cdot)\big)=\big(\xi_0(\cdot)+\varepsilon\overline{\xi}(\cdot)+r^\varepsilon(\cdot),u_{\varepsilon\overline{\alpha}+\alpha^\varepsilon}(\cdot)\big)$$

die Gleichungen

$$F_1\big(\xi_\varepsilon(\cdot),u_{\varepsilon\overline{\alpha}+\alpha^\varepsilon}(\cdot)\big)=\sum_{i=1}^{d}(\varepsilon\overline{\alpha}_i+\alpha_i^\varepsilon)\overline{y}(\cdot),\quad F_2\big(\xi_\varepsilon(\cdot)\big)=\sum_{i=1}^{d}(\varepsilon\overline{\alpha}_i+\alpha_i^\varepsilon)\overline{y}(\cdot),\quad H\big(\xi_\varepsilon(\cdot)\big)=0.$$

Dies bedeutet mit dem Operator $F=F_1-F_2$, dass die Steuerungsprozesse

$$\big(x^\varepsilon(\cdot),u^\varepsilon(\cdot)\big)=\big(x_*(\cdot)+\varepsilon\overline{\xi}(\cdot)+r^\varepsilon(\cdot),u_{\varepsilon\overline{\alpha}+\alpha^\varepsilon}(\cdot)\big)\in W_2^1(\mathbb{R}_+,\mathbb{R}^n;\nu)\times L_\infty(\mathbb{R}_+,U)$$

zulässig in dem Steuerungsproblem (6.1)–(6.3) sind. Außerdem gilt für hinreichend kleine $\varepsilon>0$ die Relation

$$J\big(x^\varepsilon(\cdot),u^\varepsilon(\cdot)\big)\le J\big(x_*(\cdot),u_*(\cdot)\big)-\varepsilon c+o(\varepsilon).$$

Wegen $x^\varepsilon(\cdot)\to x_*(\cdot)$ für $\varepsilon\to0$ bedeutet dies, dass der Steuerungsprozess $\big(x_*(\cdot),u_*(\cdot)\big)$ im Widerspruch zur Voraussetzung des Extremalprinzips kein starkes lokales Minimum der Aufgabe (6.1)–(6.3) sein könnte. ■

6.2.5. Beweisschluss

Aufgrund (6.14) ist folgende Variationsgleichung für alle $\xi(\cdot)\in C_0(\mathbb{R}_+,\mathbb{R}^n)$ erfüllt:

$$\begin{aligned}0 \;=\;& \lambda_0\cdot\int_0^\infty\omega(t)\big\langle f_x\big(t,x_*(t),u_*(t)\big),\xi(t)\big\rangle\,dt+l_0^T\xi(0)\\&+\int_0^\infty\nu(t)\bigg[\xi(t)-\xi(0)-\int_0^t\varphi_x\big(s,x_*(s),u_*(s)\big)\xi(s)\,ds\bigg]^T d\mu(t).\end{aligned}$$

Wir ändern wieder die Integrationsreihenfolge und setzen $p(t)=\displaystyle\int_t^\infty\nu(s)\,d\mu(s)$. Genauso wie im Abschnitt 5.2.5 folgen daraus $p(\cdot)\in L_2(\mathbb{R}_+,\mathbb{R}^n;\nu^{-1})$ und (6.5), (6.6).

Gemäß (6.15) gilt für alle $u(\cdot)\in L_\infty(\mathbb{R}_+,U)$ die Ungleichung

$$\int_0^\infty H\big(t,x_*(t),u_*(t),p(t),\lambda_0\big)\,dt\ge\int_0^\infty H\big(t,x_*(t),u(t),p(t),\lambda_0\big)\,dt.$$

Daraus folgt abschließend durch Standardtechniken für Lebesguesche Punkte die Maximumbedingung (6.7). Der Beweis von Theorem 6.1 ist abgeschlossen. ■

6.2.6. Hinreichende Optimalitätsbedingungen nach Arrow

Im Rahmen der notwendigen und hinreichenden Optimalitätsbedingungen spielt das Pontrjaginsche Maximumprinzip die zentrale Rolle. Insbesondere gibt Theorem 6.1 einen vollständigen Satz von Optimalitätskriterien aus adjungierter Gleichung, Transversalitätsbedingungen und Maximumbedingung an. Dabei wird in der Standardaufgabe die Adjungierte als Element des Raumes $L_2(\mathbb{R}_+, \mathbb{R}^n; \nu^{-1})$ identifiziert und zugehörige Transversalitätsbedingungen, insbesondere die Beziehung

$$\lim_{t\to\infty} \langle p(t), x(t)\rangle = 0 \quad \text{für alle } x(\cdot) \in W_2^1(\mathbb{R}_+, \mathbb{R}^n; \nu),$$

für das Verhalten der Adjungierten im Unendlichen bereit gestellt. Auf der Grundlage dieser Ergebnisse präsentieren wir in diesem Abschnitt hinreichende Optimalitätsbedingungen. Dabei folgen wir im Wesentlichen Seierstad & Sydsæter [60, 61]. Weiterhin verweisen wir auf Arrow & Kurz [2], Aseev & Kryazhimskii [3] und Lykina [43].

Wir definieren die Menge V_γ und zu $t \in \mathbb{R}_+$ die Menge $V_\gamma(t)$:

$$V_\gamma = \{(t,x) \in \mathbb{R}_+ \times \mathbb{R}^n \,|\, \|x - x_*(t)\| \le \gamma\}, \quad V_\gamma(t) = \{x \in \mathbb{R}^n \,|\, \|x - x_*(t)\| \le \gamma\}.$$

Im Weiteren bezeichnen wir mit

$$H(t,x,u,p,\lambda_0) = \langle p, \varphi(t,x,u)\rangle - \lambda_0 \omega(t) f(t,x,u)$$

die Pontrjagin-Funktion H und mit

$$\mathscr{H}(t,x,p) = \sup_{u\in U} H(t,x,u,p,1) \tag{6.16}$$

die Hamilton-Funktion $\mathscr{H}$ im normalen Fall.

Theorem 6.12. *In der Aufgabe (6.1)–(6.3) sei* $\big(x_*(\cdot), u_*(\cdot)\big) \in \mathscr{B}_{\mathrm{Lip}} \cap \mathscr{B}_{\mathrm{adm}}$ *und es sei* $p(\cdot) \in L_2(\mathbb{R}_+, \mathbb{R}^n; \nu^{-1})$. *Ferner gelte:*

(a) Das Tripel $\big(x_*(\cdot), u_*(\cdot), p(\cdot)\big)$ *erfüllt (6.5)–(6.7) in Theorem 6.1 mit* $\lambda_0 = 1$.

(b) Für jedes $t \in \mathbb{R}_+$ *ist* $\mathscr{H}\big(t, x, p(t)\big)$ *konkav in der Variablen* x *auf* $V_\gamma(t)$.

Dann ist $\big(x_*(\cdot), u_*(\cdot)\big)$ *ein starkes lokales Minimum der (6.1)–(6.3).*

Beweis Auf der Grundlage der gleichen Argumente wie im Abschnitt 2.4.5 gilt auf V_γ für fast alle $t \in \mathbb{R}_+$ die Ungleichung

$$\langle \dot p(t), x - x_*(t)\rangle \le \mathscr{H}\big(t, x_*(t), p(t)\big) - \mathscr{H}\big(t, x, p(t)\big).$$

Es sei $\big(x(\cdot),u(\cdot)\big)\in\mathscr{B}_{\rm adm}$ mit $\|x(\cdot)-x_*(\cdot)\|_\infty\le\gamma$. Dann folgt

$$\begin{aligned}\Delta(T) &= \int_0^T \omega(t)\big[f\big(t,x(t),u(t)\big)-f\big(t,x_*(t),u_*(t)\big)\big]dt\\ &\ge \int_0^T \big[\mathscr{H}\big(t,x_*(t),p(t)\big)-\mathscr{H}\big(t,x(t),p(t)\big)\big]dt+\int_0^T\langle p(t),\dot x(t)-\dot x_*(t)\rangle dt\\ &\ge \int_0^T \langle\dot p(t),x(t)-x_*(t)\rangle+\langle p(t),\dot x(t)-\dot x_*(t)\rangle dt=\langle p(T),x(T)-x_*(T)\rangle.\end{aligned}$$

Wir bemerken an dieser Stelle, dass sämtliche Integranden über $\mathbb{R}_+$ absolut integrierbar sind. Deswegen ist die Betrachtung des Grenzwertes $T\to\infty$ gerechtfertigt.
Aufgrund der Transversalitätsbedingung (6.6) gilt die Beziehung

$$\lim_{T\to\infty}\Delta(T)\ge\lim_{T\to\infty}\langle p(T),x(T)-x_*(T)\rangle=0$$

für alle zulässigen $\big(x(\cdot),u(\cdot)\big)$ mit $\|x(\cdot)-x_*(\cdot)\|_\infty\le\gamma$. ■

6.3. Die Aufgabe mit Zustandsbeschränkungen

Wir werden im Weiteren unser Vorgehen auf die Aufgabe (6.1)–(6.4) mit Zustandsbeschränkungen anwenden. Dabei steht das Verständnis und der Umgang mit den Zustandsbeschränkungen im Vordergrund.
Die Zustandsbeschränkungen (6.4) besitzen über dem unbeschränkten Intervall $\mathbb{R}_+$ einen anderen Charakter als in den Aufgaben mit endlichem Zeithorizont. Dies liegt darin begründet, dass im Gegensatz zum unbeschränkten Intervall jede stetige Funktion über einer kompakten Menge ein Maximum und ein Minimum besitzt.

Beispiel 6.13. Wir fügen im Beispiel 5.4 eine zusätzliche Zustandsbeschränkung ein:

$$\begin{aligned}&J\big(x(\cdot),u(\cdot)\big)=\int_0^\infty e^{-2t}\frac{1}{2}\big(x^2(t)+u^2(t)\big)\,dt\to\inf,\\ &\dot x(t)=2x(t)+u(t),\quad x(0)=2,\quad x(t)\ge0,\quad u(t)\in\mathbb{R}.\end{aligned}$$

Die Beschränkung $-x(t)\le0$ hat offenbar keinen Einfluss auf die globale Lösung

$$x_*(t)=2e^{(1-\sqrt{2})t},\quad u_*(t)=-2(1+\sqrt{2})e^{(1-\sqrt{2})t}.$$

Jedoch hat die Trajektorie $x_*(\cdot)$ die Eigenschaften

$$-x_*(t)<0\quad\text{für alle } t\in\mathbb{R}_+\qquad\text{und}\qquad\sup_{t\in\mathbb{R}_+}\big(-x_*(t)\big)=0.$$

Daher ist für $x_*(\cdot)$ die Zustandsbeschränkung im Unendlichen aktiv. □

Intuitiv handelt es sich bei einer Zustandsbeschränkung, die im Unendlichen aktiv ist, um eine nichtaktive Beschränkung. Aber das Beweiskonzept erfordert, dass keine Zustandsbeschränkung erst im Unendlichen aktiv wird. Zur Trajektorie $x_*(\cdot)$ bezeichnen $j = 1, ..., l'$ bzw. $j = l' + 1, ..., l$ die aktiven bzw. nichtaktiven Ungleichungen:

(i) Für $j = 1, ..., l'$ sei $\max\limits_{t \in \mathbb{R}_+} g_j\big(t, x_*(t)\big) = 0$.

(ii) Für $j = l' + 1, ..., l$ sei $g_j\big(t, x_*(t)\big) < 0$ für alle $t \in \mathbb{R}_+$.

Dann stellen wir folgende Forderungen an die Aufgabe (6.1)–(6.4):

(G) Es gelten die folgenden Grenzwerte:

$$\lim_{t \to \infty} g_j\big(t, x_*(t)\big) = 0, \ j = 1, ..., l', \qquad \limsup_{t \to \infty} g_j\big(t, x_*(t)\big) < 0, \ j = l' + 1, ..., l.$$

Bemerkung 6.14. Damit unter der Voraussetzung **(G)** die Einordnung der Aufgabenklassen im Abschnitt 4.2 konsistent bleibt, legen wir die Abbildungen $\tilde{g}_j$ durch

$$\tilde{g}_j(t, x) = e^{T+1-t} \cdot \big(g_j(t, x) - h(t)\big), \quad j = 1, ..., l',$$

für $t \geq T + 1$ fest. □

Im folgenden Beweis ergibt sich an die Trajektorie $x_*(\cdot)$ die zusätzliche Einschränkung, dass keine Zwangsbedingung bzw. algebraische Nebenbedingung über $\mathbb{R}_+$ vorliegt. Diese entsteht, wenn für eine Beschränkung $g_j\big(t, x_*(t)\big) = 0$ über $\mathbb{R}_+$ gilt. Eine hinreichende Bedingung, die eine Zwangsbedingung ausschließt, ist $g_j(0, x_0) < 0$ für alle $j = 1, ..., l$. Wir formulieren die Bedingung allgemeiner:

(F) Zu jedem $j = 1, ..., l$ gibt es ein $t_j \in \mathbb{R}_+$ mit $g_j\big(t_j, x_*(t_j)\big) < 0$.

Es bezeichne $H : \mathbb{R} \times \mathbb{R}^n \times \mathbb{R}^m \times \mathbb{R}^n \times \mathbb{R} \to \mathbb{R}$ wieder die Pontrjagin-Funktion

$$H(t, x, u, p, \lambda_0) = -\lambda_0 \omega(t) f(t, x, u) + \langle p, \varphi(t, x, u) \rangle.$$

Theorem 6.15 (Pontrjaginsches Maximumprinzip)**.** *Sei* $\big(x_*(\cdot), u_*(\cdot)\big) \in \mathscr{B}_{\mathrm{adm}} \cap \mathscr{B}_{\mathrm{Lip}}$ *und es seien* **(F)**, **(G)** *erfüllt. Ist* $\big(x_*(\cdot), u_*(\cdot)\big)$ *eine starke lokale Minimalstelle der Aufgabe (6.1)–(6.4), dann existieren eine Zahl* $\lambda_0 \geq 0$, *eine Vektorfunktion* $p(\cdot) \in L_2(\mathbb{R}_+, \mathbb{R}^n; \nu^{-1})$ *und auf den Mengen*

$$T_j = \big\{t \in \mathbb{R}_+ \big| g_j\big(t, x_*(t)\big) = 0\big\}, \quad j = 1, ..., l,$$

konzentrierte nichtnegative reguläre Borelsche Maße μ_j *endlicher Totalvariation (wobei sämtliche Größen nicht gleichzeitig verschwinden) derart, dass*

(a) die Vektorfunktion $p(\cdot)$ von beschränkter Variation ist, der adjungierten Gleichung

$$p(t) = \int_t^\infty H_x\big(s, x_*(s), u_*(s), p(s), \lambda_0\big)\, ds - \sum_{j=1}^{l} \int_t^\infty g_{jx}\big(s, x_*(s)\big)\, d\mu_j(s) \tag{6.17}$$

genügt und die folgenden "natürlichen" Transversalitätsbedingungen erfüllt:

$$\lim_{t\to\infty} \|p(t)\|^2 \nu^{-1}(t) = 0, \qquad \langle p(t), x(t)\rangle = 0 \quad \forall\, x(\cdot) \in W_2^1(\mathbb{R}_+, \mathbb{R}^n; \nu); \tag{6.18}$$

(b) für fast alle $t \in \mathbb{R}_+$ die Maximumbedingung gilt:

$$H\big(t, x_*(t), u_*(t), p(t), \lambda_0\big) = \max_{u\in U} H\big(t, x_*(t), u, p(t), \lambda_0\big). \tag{6.19}$$

Da wieder die "natürlichen" Transversalitätsbedingungen (6.18) gelten, erhalten wir für die Aufgabe (6.1)–(6.4) mit Zustandsbeschränkungen ebenso das Resultat über die Transversalitätsbedingung von Michel (Lemma 5.3).

Beispiel 6.16 (Abbau einer nicht erneuerbaren Ressource)**.** Wir betrachten die Aufgabe

$$J\big(x(\cdot), y(\cdot), u(\cdot)\big) = \int_0^\infty e^{-\varrho t}\big[pf\big(u(t)\big) - ry(t) - qu(t)\big]\, dt \to \sup, \tag{6.20}$$

$$\dot x(t) = -u(t), \quad \dot y(t) = cf\big(u(t)\big), \quad x(0) = x_0 > 0, \quad y(0) = y_0 \geq 0, \tag{6.21}$$

$$x(t) \geq 0, \qquad u(t) \geq 0, \qquad b, c, \varrho, q, r > 0, \qquad \varrho - rc > 0. \tag{6.22}$$

Die Funktion f sei zweimal stetig differenzierbar, $f' > 0$, $f'(0) < \infty$, $f'' < 0$ und es sei $f'(u) \to 0$ für $u \to \infty$. In der vorliegenden Formulierung der Aufgabe wurde im Vergleich zu Seierstad & Sydsæter [61] die Restriktion $\liminf\limits_{t\to\infty} x(t) \geq 0$ durch die Zustandsbeschränkung $x(t) \geq 0$ in (6.22) ersetzt.

Ökonomische Interpretation: $x(t)$ bezeichnet die Menge einer natürlichen Ressource und $u(t)$ ist die industrielle Abbaurate dieser Ressource. Auf Basis der Ressource werden Güter mit der Produktionsrate $f\big(u(t)\big)$ hergestellt. Die Kosten der Herstellung einer Produktionseinheit ist q und der Preis einer Gütereinheit am Markt beträgt p. Bei der Herstellung der Güter entstehen proportional zur Produktion Abfälle, deren Gesamtmenge durch $y(t)$ beschrieben wird. Die Kosten der Beseitigung der negativen Auswirkungen der Abfallmenge sind $ry(t)$. Im Weiteren gehen wir von dem Preis $p = 1$ aus.

Wir stellen die Optimalitätsbedingungen von Theorem 6.15 mit $\lambda_0 = 1$ auf:

(a) Die Pontrjagin-Funktion der Aufgabe (6.20)–(6.22) lautet

$$H(t, x, y, u, p_1, p_2, 1) = p_1(-u) + p_2 cf(u) + e^{-\varrho t}[f(u) - ry - qu].$$

(b) Die Adjungierten genügen den Gleichungen

$$p_1(t) = \int_t^\infty d\mu(s), \qquad \dot{p}_2(t) = re^{-\varrho t} \Rightarrow p_2(t) = -\frac{r}{\varrho}e^{-\varrho t} + K.$$

Das auf der Menge $T = \{t \in \mathbb{R}_+ | x_*(t) = 0\}$ konzentrierte reguläre Maß μ ist nichtnegativ. Daher ist $p_1(t) \geq 0$ über $\mathbb{R}_+$ und monoton fallend. Ferner erhalten wir $K = 0$ aus den Transversalitätsbedingungen (6.18).

(c) Die Maximumbedingung können wir auf folgende Aufgabe reduzieren

$$\max_{u \geq 0} \Big[-p_1(t)u + cp_2(t)f(u) + e^{-\varrho t}[f(u) - qu] \Big].$$

Das Einsetzen der Darstellung für $p_2(t)$ liefert weiterhin mit $d = (\varrho - rc)/\varrho$:

$$\max_{u \geq 0} \Big(df(u)e^{-\varrho t} - u\big(p_1(t) + qe^{-\varrho t}\big) \Big).$$

Die Reduktion der Maximumbedingung führt für festes t zu der Funktion

$$g(u) = df(u)e^{-\varrho t} - u\big(p_1(t) + qe^{-\varrho t}\big).$$

Diese Funktion ist zweimal stetig differenzierbar und es gilt

$$g'(u) = \big(df'(u) - q\big)e^{-\varrho t} - p_1(t), \quad g''(u) = df''(u)e^{-\varrho t}, \quad d = \frac{\varrho - rc}{\varrho} > 0.$$

Daher ist g streng konkav und besitzt auf der Menge $U = \{u \geq 0\}$ ein Maximum, da $f'(u) > 0$ und $f'(u) \to 0$ für $u \to \infty$ gelten. Wir diskutieren drei Fälle:

(A) $df'(0) \leq q$: In diesem Fall ist $g'(0) \leq 0$ und man erhält

$$u_*(t) \equiv 0, \quad x_*(t) \equiv x_0, \quad y_*(t) = y_0 + cf(0)t, \quad p_1(t) \equiv 0, \quad p_2(t) = -\frac{r}{\varrho}e^{-\varrho t}.$$

Da die Zustandsbeschränkung nichtaktiv ist, gelten die Optimalitätsbedingungen aus Theorem 6.1, die z. B. für $\nu(t) = e^{-at}$ mit $0 < a < 2\varrho$ erfüllt sind.

(B) $df'(0) > q$ und $p_1(0) = 0$: Aus $g'(u) = \big(df'(u) - q\big)e^{-\varrho t} = 0$ erhalten wir die optimale Strategie $u_*(t) = u_0 > 0$ für alle $t \in \mathbb{R}_+$. Also gilt $x_*(t) = x_0 - u_0 t$ auf $\mathbb{R}_+$, was der Zustandsbeschränkung widerspricht.

(C) $df'(0) > q$ und $p_1(0) > 0$: Aus Gründen eines besseren Überblickes in der Argumentation und der eindeutigen Bestimmung der Adjungierten erweitern wir mit einem gewissen $\varepsilon > 0$ den Steuerbereich formal zu $(-\varepsilon, \infty)$. Die Funktion f sei auf diesen Bereich mit den gleichen analytischen Eigenschaften wie oben beschrieben fortgesetzt. Wegen $p_1(0) > 0$ wird die Ressource vollständig abgebaut. Andernfalls wäre

$p_1(t) = p_1(0) > 0$ über $\mathbb{R}_+$, was (6.18) widerspricht. Da die Ressource vollständig abgebaut wird, gibt es ein $t' > 0$ mit $x_*(t) > 0$ für $t \in [0, t')$ und $x_*(t) = 0$ für $t \geq t'$. Demnach erhalten wir unmittelbar $u_*(t) = 0$ für $t \geq t'$.
Für $t \geq t'$ ist $p_1(\cdot)$ monoton fallend. Ferner erhalten wir für $t \in \mathbb{R}_+$ die Beziehung

$$g'(u) = 0 \qquad \Rightarrow \qquad f'\big(u(t)\big) = \frac{1}{d}(q + p_1(t)e^{\varrho t}).$$

Würde demnach die Adjungierte $p_1(\cdot)$ für $t \geq t'$ eine Unstetigkeitstelle besitzen, dann folgt aus der Monotonie von $p_1(\cdot)$, dass die Abbaurate sich wieder sprunghaft vergrößert. Diese Steuerung führt zu einem erneuten Abbau der Ressource, obwohl diese bereits vollständig aufgebraucht ist. Daher ist die Adjungierte stetig.
Für die Adjungierte erhalten wir damit

$$p_1(t) = \big(df'(0) - q\big)e^{-\varrho t'} \text{ für } t \leq t', \qquad p_1(t) = \big(df'(0) - q\big)e^{-\varrho t} \text{ für } t \geq t'.$$

Der Zeitpunkt t' ist eindeutig bestimmt, da durch die Bedingung

$$f'\big(u(t)\big) = \frac{1}{d}(q + p_1(0)e^{\varrho t})$$

die Funktion $u(t)$ streng monoton fallend für alle $t \in [0, t']$ festgelegt ist.
Wählen wir abschließend $\nu(t) = e^{-at}$ mit $0 < a < 2\varrho$, dann sind alle Bedingungen in Theorem 6.15, insbesondere

$$p_1(\cdot), p_2(\cdot) \in L_2(\mathbb{R}_+, \mathbb{R}; \nu^{-1}), \quad \lim_{t\to\infty} \big\|\big(p_1(t), p_2(t)\big)\big\|^2 \nu^{-1}(t) = 0,$$

erfüllt. □

6.3.1. Definition und Eigenschaften der Extremalaufgabe

Für $\xi(\cdot) \in C_0(\mathbb{R}_+, \mathbb{R}^n)$ wurden die Abbildungen $\tilde{J}, F = F_1 - F_2$ und H,

$$\begin{aligned}
\tilde{J}\big(\xi(\cdot), u(\cdot)\big) &= \int_0^\infty \omega(t) f\big(t, x_*(t) + \xi(t), u(t)\big)\, dt, \\
F_1\big(\xi(\cdot), u(\cdot)\big)(t) &= 2\xi(t) + \nu(t)\Big[x_*(t) - x_0 - \int_0^t \varphi\big(s, x_*(s) + \xi(s), u(s)\big)\, ds\Big], \\
F_2\big(\xi(\cdot)\big)(t) &= 2\xi(t) - \nu(t)\big(\xi(t) - \xi(0)\big), \qquad t \in \mathbb{R}_+, \qquad H\big(\xi(\cdot)\big) = \xi(0),
\end{aligned}$$

bereits im Rahmen der Aufgabe (6.1)–(6.3) untersucht. Offensichtlich bleiben sämtliche Eigenschaften erhalten, wenn wir $C_0(\mathbb{R}_+, \mathbb{R}^n)$ durch den Raum der beschränkten stetigen Funktionen $C_b(\mathbb{R}_+, \mathbb{R}^n)$ ersetzen. Damit sind nur noch die Abbildungen

$$G_j\big(\xi(\cdot)\big) = \sup_{t\in\mathbb{R}_+} g_j\big(t, x_*(t) + \xi(t)\big), \quad j = 1, ..., l,$$

zu diskutieren. Dazu bedarf es grundlegender Elemente der Konvexen Analysis.

Für $\xi(\cdot) \in C_b(\mathbb{R}_+, \mathbb{R}^n)$ seien im Folgenden

$$\tilde{g}_j\big(\xi(\cdot)\big)(t) = g_j\big(t, x_*(t) + \xi(t)\big), \quad t \in \mathbb{R}_+, \quad j = 1, ..., l.$$

Lemma 6.17. *Die Abbildungen $\xi(\cdot) \to \tilde{g}_j\big(\xi(\cdot)\big)$ bilden für alle $j = 1, ..., l'$ eine Nullumgebung des Raumes $C_b(\mathbb{R}_+, \mathbb{R}^n)$ bzw. $C_0(\mathbb{R}_+, \mathbb{R}^n)$ in sich ab. Weiterhin sind diese Abbildungen in $\xi_0(t) \equiv 0$ Fréchet-differenzierbar und es gilt*

$$\big[\tilde{g}_j'\big(\xi_0(\cdot)\big)\xi(\cdot)\big](t) = \big\langle g_{jx}\big(t, x_*(t)\big), \xi(t)\big\rangle, \quad t \in \mathbb{R}_+, \quad j = 1, ..., l'.$$

Beweis Aus Voraussetzung **($\mathbf{B}_3$)** erhalten wir:

$$\tilde{g}_j\big(\xi(\cdot)\big)(t) = \int_0^1 \big\langle g_{jx}\big(t, x_*(t) + s\xi(t)\big), \xi(t)\big\rangle\, ds + \tilde{g}_j\big(\xi_0(\cdot)\big)(t).$$

Beachten wir die Beschränktheit der Ableitungen g_{jx} auf V_γ und die Grenzwerte in **(G)** für $j = 1, ..., l'$, so folgt die erste Behauptung. Für $t \in \mathbb{R}_+$, $\|\xi(\cdot)\|_\infty = 1$ und $0 < \lambda < \gamma$ gilt

$$\begin{aligned}&\left[\frac{\tilde{g}_j\big(\lambda\xi(\cdot)\big) - \tilde{g}_j\big(\xi_0(\cdot)\big)}{\lambda} - \tilde{g}_j'\big(\xi_0(\cdot)\big)\xi(\cdot)\right](t)\\ &\quad = \int_0^1 \big\langle g_{jx}\big(t, x_*(t) + s\lambda\xi(t)\big) - g_{jx}\big(t, x_*(t)\big), \xi(t)\big\rangle ds.\end{aligned}$$

Unter Verwendung der Voraussetzung **($\mathbf{B}_3$)** folgt

$$\left\|\frac{\tilde{g}_j\big(\lambda\xi(\cdot)\big) - \tilde{g}_j\big(\xi_0(\cdot)\big)}{\lambda} - \tilde{g}_j'\big(\xi_0(\cdot)\big)\xi(\cdot)\right\|_\infty \le \sup_{t\in\mathbb{R}_+} \int_0^1 C_0\|\lambda\xi(t)\|ds \cdot \|\xi(\cdot)\|_\infty = \lambda C_0,$$

d. h. der Grenzwert $\lambda \to 0^+$ konvergiert gleichmäßig bezüglich $\|\xi(\cdot)\|_\infty = 1$. ■

Lemma 6.18. *Die Funktionen $G_j\big(\xi(\cdot)\big)$ sind im Punkt $\xi_0(\cdot)$ regulär im Sinne der Konvexen Analysis, die klassischen Richtungsableitungen konvergieren bezüglich jeder Richtung $\xi(\cdot) \in C_b(\mathbb{R}_+, \mathbb{R}^n)$ gleichmäßig,*

$$\left|\frac{G_j\big(\xi_0(\cdot) + \lambda z(\cdot)\big) - G_j\big(\xi_0(\cdot)\big)}{\lambda} - G_j'\big(\xi_0(\cdot); \xi(\cdot)\big)\right| \le \varepsilon$$

für alle $\|z(\cdot) - \xi(\cdot)\|_\infty \le \delta$ und alle $0 < \lambda \le \lambda_0$, und es gelten

$$\partial G_j\big(\xi_0(\cdot)\big) = \tilde{g}_j'^*\big(\xi_0(\cdot)\big)\partial\psi\Big(\tilde{g}_j\big(\xi_0(\cdot)\big)\Big), \quad j = 1, ..., l', \qquad \psi\big(z(\cdot)\big) = \sup_{t\in\mathbb{R}_+} z(t).$$

Beweis Die Abbildung ψ ist auf $C_b(\mathbb{R}_+, \mathbb{R})$ offenbar homogen, konvex und stetig. Da die Abbildungen $\xi(\cdot) \to \tilde{g}_j\big(\xi(\cdot)\big)$ für alle $j = 1, ..., l'$ nach Lemma 2.18 stetig differenzierbar sind, folgen die weiteren Behauptungen aus Lemma C.1 und der Kettenregel C.3. ■

Lemma 6.19. *Das Subdifferential der Funktion $G_j : C_0(\mathbb{R}_+, \mathbb{R}^n) \to \mathbb{R}$ besteht im Punkt $\xi_0(\cdot)$ aus denjenigen stetigen linearen Funktionalen $x^* \in C_0^*(\mathbb{R}_+, \mathbb{R})$, die sich wie folgt darstellen lassen:*

$$\langle x^*, \xi(\cdot)\rangle = \int_0^\infty \big\langle g_{jx}\big(t, x_*(t)\big), \xi(t)\big\rangle d\mu_j(t).$$

Dabei ist μ_j ein reguläres Borelsches Maß, das auf der Menge

$$T_j = \big\{t \in \mathbb{R}_+ \,\big|\, \tilde{g}_j\big(\xi(\cdot)\big)(t) = G_j\big(\xi_0(\cdot)\big) = \sup_{t\in\mathbb{R}_+} g_j\big(t, x_*(t)\big)\big\}$$

konzentriert ist. Ferner gelten:

(a) Ist $\tilde{g}\big(x(\cdot)\big) = 0$, so besitzt das Maß μ eine Totalvariation $\|\mu\| \le 1$.

(b) Ist $\tilde{g}\big(x(\cdot)\big) \ne 0$ und besitzt kein Maximum über $\mathbb{R}_+$, so ist $\|\mu\| = 0$.

(c) Ist $\tilde{g}\big(x(\cdot)\big) \ne 0$ und besitzt ein Maximum über $\mathbb{R}_+$, so ist $\|\mu\| = 1$.

Beweis Vgl. Abschnitt C.4. ■

6.3.2. Lagrangesche Multiplikatorenregel

In der Aufgabe (6.1)–(6.4) seien $x_*(\cdot) \in \mathscr{B}_{\mathrm{Lip}} \cap C(\mathbb{R}_+, \mathbb{R}^n)$ und $\big(x_*(\cdot), u_*(\cdot)\big) \in \mathscr{B}_{\mathrm{adm}}$. Ferner sei $\xi_0(t) \equiv 0$. Im Weiteren betrachten wir die Extremalaufgabe

$$\tilde{J}\big(\xi(\cdot), u(\cdot)\big) \to \inf, \quad F\big(\xi(\cdot), u(\cdot)\big) = 0, \quad H\big(\xi(\cdot)\big) = 0, \quad G_j\big(\xi(\cdot)\big) \le 0,\ j = 1, ..., l. \tag{6.23}$$

Auf $C_0(\mathbb{R}_+, \mathbb{R}^n) \times L_\infty(\mathbb{R}_+, \mathbb{R}^m) \times C_0^*(\mathbb{R}_+, \mathbb{R}^n) \times \mathbb{R} \times \mathbb{R}^l \times \mathbb{R}^n$ definieren wir zu dieser Extremalaufgabe (6.23) die Lagrange-Funktion $\mathscr{L} = \mathscr{L}\big(\xi(\cdot), u(\cdot), y^*, \lambda_0, \lambda_1, ..., \lambda_l, l_0\big)$:

$$\mathscr{L} = \lambda_0 \tilde{J}\big(\xi(\cdot), u(\cdot)\big) + \big\langle y^*, F\big(\xi(\cdot), u(\cdot)\big)\big\rangle + \sum_{j=1}^{l} \lambda_j G_j\big(\xi(\cdot)\big) + l_0^T H\big(\xi(\cdot)\big).$$

Theorem 6.20 (Extremalprinzip)**.** *Es sei $x_*(\cdot) \in \mathscr{B}_{\mathrm{Lip}} \cap C(\mathbb{R}_+, \mathbb{R}^n)$ und außerdem sei $\big(x_*(\cdot), u_*(\cdot)\big) \in \mathscr{B}_{\mathrm{adm}}$. Ist $\big(x_*(\cdot), u_*(\cdot)\big)$ ein starkes lokales Minimum im Steuerungsproblem (6.1)–(6.4), dann gibt es nicht gleichzeitig verschwindende Lagrangesche Multiplikatoren $\lambda_j \ge 0$, $y^* \in C_0^*(\mathbb{R}_+, \mathbb{R}^n)$ und $l_0 \in \mathbb{R}^n$ derart, dass folgende Bedingungen gelten:*

(a) Die Lagrange-Funktion besitzt bezüglich $\xi(\cdot)$ in $\xi_0(\cdot)$ einen stationären Punkt, d. h.

$$\partial_\xi \mathscr{L}\big(\xi_0(\cdot), u_*(\cdot), y^*, \lambda_0, ..., l_0\big) = 0. \tag{6.24}$$

(b) Die Lagrange-Funktion erfüllt bezüglich $u(\cdot)$ die Minimumbedingung

$$\mathscr{L}\big(\xi_0(\cdot), u_*(\cdot), y^*, \lambda_0, ..., l_0\big) = \min_{u(\cdot)\in L_\infty(\mathbb{R}_+, U)} \mathscr{L}\big(\xi_0(\cdot), u(\cdot), y^*, \lambda_0, ..., l_0\big). \tag{6.25}$$

(c) Die komplementären Schlupfbedingungen gelten:

$$\lambda_j G_j\big(\xi_0(\cdot)\big) = 0, \qquad j = 1, ..., l. \tag{6.26}$$

Beweis Zu Beginn müssen wir die Zustandsbeschränkungen im Raum $C_0(\mathbb{R}_+, \mathbb{R}^n)$ näher betrachten. Aufgrund der Voraussetzung **(G)** gilt $\lim\limits_{t\to\infty} g_j\big(t, x_*(t)\big) = 0$ für $j = 1, ..., l'$. Daher erhalten wir für jede Variation $\xi(\cdot) \in C_0(\mathbb{R}_+, \mathbb{R}^n)$:

$$\lim_{t\to\infty} g_j\big(t, x_*(t) + \xi(t)\big) = 0, \qquad j = 1, ..., l'.$$

Dies bedeutet aber, dass $\sup\limits_{t\in\mathbb{R}_+} g_j\big(t, x_*(t) + \xi(t)\big) \geq 0$ für $j = 1, ..., l'$ ausfällt. Folglich gilt

$$G_j'\big(\xi_0(\cdot); \xi(\cdot)\big) = \lim_{\lambda\to 0^+} \frac{G_j\big(\xi_0(\cdot) + \lambda\xi(\cdot)\big) - G_j\big(\xi_0(\cdot)\big)}{\lambda} \geq 0, \quad j = 1, ..., l',$$

für alle $\xi(\cdot) \in C_0(\mathbb{R}_+, \mathbb{R}^n)$. Im Raum $C_0(\mathbb{R}_+, \mathbb{R}^n)$ gehen deswegen die "echten" Abstiegsrichtungen mit $G_j'\big(\xi_0(\cdot); \xi(\cdot)\big) < 0$ verloren. Aus diesem Grund betten wir die Extremalaufgabe in den Raum $C_b(\mathbb{R}_+, \mathbb{R}^n)$ ein.

1. Schritt (Die Mengen $\mathscr{C}_1$, $\mathscr{C}_2$ der Variationen)**.** Es bezeichnet $\mathscr{C}_1$ die Menge derjenigen

$$\big(\eta_0, y_1(\cdot), y_2(\cdot), \mu\big) \in \mathbb{R} \times C_b(\mathbb{R}_+, \mathbb{R}^n) \times C_b(\mathbb{R}_+, \mathbb{R}^n) \times \mathbb{R}^n \times \mathbb{R}^{l'},$$

zu denen es ein $\xi_1(\cdot) \in C_b(\mathbb{R}_+, \mathbb{R}^n)$ und ein $u(\cdot) \in L_\infty(\mathbb{R}_+, U)$ gibt mit

$$\begin{aligned}
\eta_0 &> \tilde{J}_\xi\big(\xi_0(\cdot), u_*(\cdot)\big)\xi_1(\cdot) + \tilde{J}\big(\xi_0(\cdot), u(\cdot)\big) - \tilde{J}\big(\xi_0(\cdot), u_*(\cdot)\big),\\
y_1(\cdot) &= F_{1\xi}\big(\xi_0(\cdot), u_*(\cdot)\big)\xi_1(\cdot) + F_1\big(\xi_0(\cdot), u(\cdot)\big) - F_1\big(\xi_0(\cdot), u_*(\cdot)\big),\\
y_2(\cdot) &= \xi_1(\cdot), \qquad \mu = H'\big(\xi_0(\cdot)\big)\xi_1(\cdot),\\
\eta_j &> G_j'\big(\xi_0(\cdot); \xi(\cdot)\big), \quad j = 1, ..., l'.
\end{aligned}$$

Weiterhin sei $\mathscr{C}_2$ die Menge der Vektoren

$$\big(0, z_1(\cdot), z_2(\cdot), 0, 0\big) \in \mathbb{R} \times C_b(\mathbb{R}_+, \mathbb{R}^n) \times C_b(\mathbb{R}_+, \mathbb{R}^n) \times \mathbb{R}^n \times \mathbb{R}^{l'},$$

zu denen es ein $\xi_2(\cdot) \in C_b(\mathbb{R}_+, \mathbb{R}^n)$ gibt mit $z_1(\cdot) = F_2'\big(\xi_0(\cdot)\big)\xi_2(\cdot)$ und $z_2(\cdot) = \xi_2(\cdot)$.
Die Menge $\mathscr{C}_2$ ist konvex und es ist das Innere der Menge $\operatorname{conv}\mathscr{C}_1$ nach dem Satz von der offenen Abbildung nichtleer. Für die Anwendung des Trennungssatzes ist $\operatorname{conv}\mathscr{C}_1 \cap \mathscr{C}_2 = \emptyset$ zu zeigen. Dann folgt die Existenz eines nichttrivialen Funktionals

$$(\lambda_0, y_1^*, y_2^*, l_0, \lambda_1, ..., \lambda_{l'}) \in \mathbb{R} \times C_b^*(\mathbb{R}_+, \mathbb{R}^n) \times C_b^*(\mathbb{R}_+, \mathbb{R}^n) \times \mathbb{R}^n \times \mathbb{R}^{l'},$$

das das Innere der Menge $\operatorname{conv}\mathscr{C}_1$ und die Menge $\mathscr{C}_2$ trennt. Wir erhalten wie im Abschnitt 5.2.4, dass darin der Vektor $(\lambda_0, y_1^*, l_0, \lambda_1, ..., \lambda_{l'})$ nichttrivial ist und die Ungleichung

$$\begin{aligned}
0 \;\leq\; & \lambda_0\big[\tilde{J}_\xi\big(\xi_0(\cdot), u_*(\cdot)\big)\xi(\cdot) + \tilde{J}\big(\xi_0(\cdot), u(\cdot)\big) - \tilde{J}\big(\xi_0(\cdot), u_*(\cdot)\big)\big]\\
& + \big\langle y^*, F_\xi\big(\xi_0(\cdot), u_*(\cdot)\big)\xi(\cdot) + F\big(\xi_0(\cdot), u(\cdot)\big) - F\big(\xi_0(\cdot), u_*(\cdot)\big)\big\rangle\\
& + \big\langle l_0, H_0'\big(\xi_0(\cdot)\big)\xi(\cdot)\big\rangle + \sum_{j=1}^{l'} \lambda_j G_j'\big(\xi_0(\cdot); \xi(\cdot)\big)
\end{aligned} \tag{6.27}$$

für alle $\xi(\cdot) \in C_b(\mathbb{R}_+, \mathbb{R}^n)$ und alle $u(\cdot) \in L_\infty(\mathbb{R}_+, U)$ gilt.

Zum Nachweis von Theorem 6.20 sind weiterhin zwei Fälle zu unterscheiden: Im ersten Fall, in dem die Einschränkung von $(\lambda_0, y_1^*, l_0, \lambda_1, ..., \lambda_{l'})$ auf den abgeschlossenen Unterraum $\mathbb{R} \times C_0(\mathbb{R}_+, \mathbb{R}^n) \times \mathbb{R}^n \times \mathbb{R}^{l'}$ nicht identisch verschwindet. In diesem Fall gilt die Ungleichung (6.27) mit nichttrivialen Lagrangeschen Multiplikatoren $(\lambda_0, y_1^*, l_0, \lambda_1, ..., \lambda_{l'})$ für alle $\xi(\cdot) \in C_0(\mathbb{R}_+, \mathbb{R}^n)$. Setzen wir außerdem $\lambda_j = 0$ für $j = l' + 1, ..., l$, dann folgt die Aussage von Theorem 6.20.
Falls die Einschränkung von $(\lambda_0, y_1^*, l_0, \lambda_1, ..., \lambda_{l'})$ aber identisch verschwindet, dann ist die Existenz der nichttrivialen Multiplikatoren in Theorem 6.20 nicht gesichert. Wir betrachten statt $\mathscr{C}_1$, $\mathscr{C}_2$ die Mengen $\tilde{\mathscr{C}}_1$ und $\tilde{\mathscr{C}}_2$, die sich durch das Ersetzen des Raumes $C_b(\mathbb{R}_+, \mathbb{R}^n)$ durch $C_0(\mathbb{R}_+, \mathbb{R}^n)$ für $\xi_1(\cdot), ..., z_2(\cdot)$ ergeben. Dann ist ebenfalls die Menge $\tilde{\mathscr{C}}_2$ konvex und es ist das Innere der Menge $\operatorname{conv} \tilde{\mathscr{C}}_1$ nichtleer. Da im Raum $C_0(\mathbb{R}_+, \mathbb{R}^n)$ stets $G_j'\big(\xi_0(\cdot); \xi(\cdot)\big) \geq 0$ gilt, lassen sich $\mathscr{C}_2$ und das Innere der Menge $\operatorname{conv} \mathscr{C}_1$ durch ein nichttriviales Funktional

$$(\lambda_0, y_1^*, y_2^*, l_0, \lambda_1, ..., \lambda_{l'}) \in \mathbb{R} \times C_0^*(\mathbb{R}_+, \mathbb{R}^n) \times C_0^*(\mathbb{R}_+, \mathbb{R}^n) \times \mathbb{R}^n \times \mathbb{R}^{l'}.$$

trennen. Wir erhalten wieder, dass darin der Vektor $(\lambda_0, y_1^*, l_0, \lambda_1, ..., \lambda_j)$ nichttrivial ist und es folgt die Ungleichung (6.27) für alle $\xi(\cdot) \in C_0(\mathbb{R}_+, \mathbb{R}^n)$ und alle $u(\cdot) \in L_\infty(\mathbb{R}_+, U)$. Mit der Setzung $\lambda_j = 0$ für $j = l' + 1, ..., l$ ergibt sich wieder Theorem 6.20.
Da sich die konvexen Mengen $\tilde{\mathscr{C}}_2$ und $\operatorname{conv} \tilde{\mathscr{C}}_1$ im Rahmen des Raumes $C_0(\mathbb{R}_+, \mathbb{R}^n)$ immer trennen lassen, denn "echte" Abstiegsrichtungen mit $G_j'\big(\xi_0(\cdot); \xi(\cdot)\big) < 0$ liegen nicht vor, geht das Wesen von Optimalitätskriterien der Bedingungen (6.24)–(6.26) verloren. Deswegen haben wir die Untersuchung der Extremalaufgabe (6.23) in den Raum $C_b(\mathbb{R}_+, \mathbb{R}^n)$ verschoben.

Angenommen, es ist $\operatorname{conv} \mathscr{C}_1 \cap \mathscr{C}_2 \neq \emptyset$. Dann existieren positive Zahlen $\overline{\alpha}_i$, $\sum\limits_{i=1}^{d} \overline{\alpha_i} = 1$, $\overline{\xi}(\cdot), \overline{y}(\cdot) \in C_b(\mathbb{R}_+, \mathbb{R}^n)$ und $\overline{u}_i(\cdot) \in L_\infty(\mathbb{R}_+, U)$, $i = 1, ..., d$, und eine Zahl $c > 0$ mit

$$\begin{aligned}
-c &\geq \tilde{J}_\xi\big(\xi_0(\cdot), u_*(\cdot)\big)\overline{\xi}(\cdot) + \sum_{i=1}^{d} \overline{\alpha}_i \Big[\tilde{J}\big(\xi_0(\cdot), \overline{u}_i(\cdot)\big) - \tilde{J}\big(\xi_0(\cdot), u_*(\cdot)\big)\Big], \\
\overline{y}(\cdot) &= F_{1\xi}\big(\xi_0(\cdot), u_*(\cdot)\big)\overline{\xi}(\cdot) + \sum_{i=1}^{d} \overline{\alpha}_i \Big[F_1\big(\xi_0(\cdot), \overline{u}_i(\cdot)\big) - F_1\big(\xi_0(\cdot), u_*(\cdot)\big)\Big], \\
\overline{y}(\cdot) &= F_2'\big(\xi_0(\cdot)\big)\overline{\xi}(\cdot), \qquad 0 = H'\big(\xi_0(\cdot)\big)\overline{\xi}(\cdot), \qquad -c \geq G_j'\big(\xi_0(\cdot); \overline{\xi}(\cdot)\big), \quad j = 1, ..., l'.
\end{aligned}$$

2.–4. Schritt übernehmen wir aus Abschnitt 6.2.4.

5. Schritt ($\operatorname{conv} \mathscr{C}_1 \cap \mathscr{C}_2 = \emptyset$)**.** Für hinreichend kleine $\varepsilon > 0$ gelten für

$$\big(\xi^\varepsilon(\cdot), u^\varepsilon(\cdot)\big) = \big(\xi_0(\cdot) + \varepsilon\overline{\xi}(\cdot) + r^\varepsilon(\cdot), u_{\varepsilon\overline{\alpha}+\alpha^\varepsilon}(\cdot)\big)$$

die Gleichungen

$$F_1\big(\xi_\varepsilon(\cdot), u_{\varepsilon\overline{\alpha}+\alpha^\varepsilon}(\cdot)\big) = \sum_{i=1}^{d}(\varepsilon\overline{\alpha}_i + \alpha_i^\varepsilon)\overline{y}(\cdot), \quad F_2\big(\xi_\varepsilon(\cdot)\big) = \sum_{i=1}^{d}(\varepsilon\overline{\alpha}_i + \alpha_i^\varepsilon)\overline{y}(\cdot), \quad H\big(\xi_\varepsilon(\cdot)\big) = 0.$$

Ferner erhalten wir wie im Abschnitt 2.5.3

$$G_j\big(\xi^\varepsilon(\cdot)\big) \le G_j\big(\xi_0(\cdot)\big) + \varepsilon\Big(G_j'\big(\xi_0(\cdot); \overline{\xi}(\cdot)\big) + c\Big) \le 0, \quad j = 1, ..., l',$$

für alle $0 \le \varepsilon \le \min\{\varepsilon_0, \sigma\}$ und

$$\lim_{\varepsilon\to 0^+} G_j\big(\xi^\varepsilon(\cdot)\big) = G_j\big(\xi_0(\cdot)\big) < 0, \qquad j = l'+1, ..., l.$$

Dies bedeutet, dass für hinreichend kleine $\varepsilon > 0$ die Steuerungsprozesse

$$\big(x^\varepsilon(\cdot), u^\varepsilon(\cdot)\big) = \big(x_*(\cdot) + \varepsilon\overline{\xi}(\cdot) + r^\varepsilon(\cdot), u_{\varepsilon\overline{\alpha}+\alpha^\varepsilon}(\cdot)\big) \in W_2^1(\mathbb{R}_+, \mathbb{R}^n; \nu) \times L_\infty(\mathbb{R}_+, U)$$

zulässig in dem Steuerungsproblem (6.1)–(6.4) sind. Außerdem gilt die Relation

$$J\big(x^\varepsilon(\cdot), u^\varepsilon(\cdot)\big) \le J\big(x_*(\cdot), u_*(\cdot)\big) - \varepsilon c + o(\varepsilon).$$

Wegen $x^\varepsilon(\cdot) \to x_*(\cdot)$ für $\varepsilon \to 0$ bedeutet dies, dass der Steuerungsprozess $\big(x_*(\cdot), u_*(\cdot)\big)$ im Widerspruch zur Voraussetzung des Extremalprinzips kein starkes lokales Minimum der Aufgabe (6.1)–(6.3) sein könnte. ■

6.3.3. Beweisschluss

Aufgrund (6.24) ist folgende Gleichung für alle $\xi(\cdot) \in C_0(\mathbb{R}_+, \mathbb{R}^n)$ erfüllt:

$$\begin{aligned} 0 \;=\; & \lambda_0 \cdot \int_0^\infty \omega(t)\big\langle f_x\big(t, x_*(t), u_*(t)\big), \xi(t)\big\rangle\, dt + l_0^T\xi(0) \\ & + \int_0^\infty \nu(t)\Big[\xi(t) - \xi(0) - \int_0^t \varphi_x\big(s, x_*(s), u_*(s)\big)\xi(s)\, ds\Big]^T d\mu(t) \\ & + \sum_{j=1}^{l}\lambda_j \int_0^\infty \big\langle g_{jx}\big(t, x_*(t)\big), \xi(t)\big\rangle\, d\tilde{\mu}_j(t). \end{aligned}$$

Wir setzen in dieser Gleichung $\mu_j = \lambda_j\tilde{\mu}_j$. Dann sind die Maße μ_j auf den Mengen

$$T_j = \big\{t \in \mathbb{R}_+ \big| g_j\big(t, x_*(t)\big) = 0\big\}, \quad j = 1, ..., l,$$

konzentriert und besitzen genau dann eine positive Totalvariation, wenn die Lagrangeschen Multiplikatoren $\lambda_j > 0$ ausfielen.
Wir ändern in gewohnter Weise die Integrationsreihenfolge und verwenden

$$p(t) = \int_t^\infty \nu(s)\, d\mu(s).$$

Somit ergeben sich $p(\cdot) \in L_2(\mathbb{R}_+, \mathbb{R}^n; \nu^{-1})$, (6.17), (6.18) und die Darstellung

$$\begin{aligned} p(t) &= \int_t^\infty \big[\varphi_x^T\big(s, x_*(s), u_*(s)\big)p(s) - \lambda_0\omega(s)f_x\big(s, x_*(s), u_*(s)\big)\big]\, ds \\ &\quad - \sum_{j=1}^{l} \int_t^\infty g_{jx}\big(s, x_*(s)\big)\, d\mu_j(s). \end{aligned}$$

Gemäß (6.25) gilt für alle $u(\cdot) \in L_\infty(\mathbb{R}_+, U)$ die Ungleichung

$$\int_0^\infty H\big(t, x_*(t), u_*(t), p(t), \lambda_0\big)\, dt \geq \int_0^\infty H\big(t, x_*(t), u(t), p(t), \lambda_0\big)\, dt.$$

Daraus folgt abschließend durch Standardtechniken für Lebesguesche Punkte die Maximumbedingung (6.19). Der Beweis von Theorem 6.15 ist abgeschlossen. ■

6.3.4. Hinreichende Bedingungen nach Arrow

Wir definieren die Menge V_γ und zu $t \in \mathbb{R}_+$ die Menge $V_\gamma(t)$:

$$V_\gamma = \{(t,x) \in \mathbb{R}_+ \times \mathbb{R}^n \mid \|x - x_*(t)\| \leq \gamma\}, \quad V_\gamma(t) = \{x \in \mathbb{R}^n \mid \|x - x_*(t)\| \leq \gamma\}.$$

Im Weiteren bezeichnen wir mit

$$H(t,x,u,p,\lambda_0) = \langle p, \varphi(t,x,u)\rangle - \lambda_0\omega(t)f(t,x,u)$$

die Pontrjagin-Funktion H und mit

$$\mathscr{H}(t,x,p) = \sup_{u\in U} H(t,x,u,p,1) \tag{6.28}$$

die Hamilton-Funktion $\mathscr{H}$ im normalen Fall.

Theorem 6.21. *In der Aufgabe (6.1)–(6.4) sei $\big(x_*(\cdot), u_*(\cdot)\big) \in \mathscr{B}_{\mathrm{Lip}} \cap \mathscr{B}_{\mathrm{adm}}$. Außerdem sei die Vektorfunktion $p(\cdot) \in L_2(\mathbb{R}_+, \mathbb{R}^n; \nu^{-1})$ stückweise stetig, besitze höchstens abzählbar viele Sprungstellen $s_k \in (0,\infty)$, die sich nirgends im Endlichen häufen, und $p(\cdot)$ sei zwischen diesen Sprüngen stetig differenzierbar. Ferner gelte:*

(a) Das Tripel $\big(x_*(\cdot), u_*(\cdot), p(\cdot)\big)$ erfüllt (6.17)–(6.19) in Theorem 6.15 mit $\lambda_0 = 1$.

(b) Für jedes $t \in \mathbb{R}_+$ ist die Funktion $\mathscr{H}\big(t, x, p(t)\big)$ konkav und es sind die Funktionen $g_j(t,x)$, $j = 1, ..., l$, konvex bezüglich x auf $V_\gamma(t)$.

Dann ist $\big(x_*(\cdot), u_*(\cdot)\big)$ ein starkes lokales Minimum der Aufgabe (6.1)–(6.4).

Bemerkung 6.22. In Theorem 6.21 können wir auf die Voraussetzungen **(F)** und **(G)**, die für die Existenz der nichttrivialen Multiplikatoren in Theorem 6.15 unerlässlich sind, verzichten. □

Beweis Auf die gleiche Weise wie im Beweis von Theorem 2.22 in Abschnitt 2.5.5 können wir die Relation

$$\langle a(t), x - x_*(t)\rangle \le \mathscr{H}\big(t, x_*(t), p(t)\big) - \mathscr{H}\big(t, x, p(t)\big) \quad \text{für alle } x \in V_\gamma(t)$$

zeigen, wobei die Funktion $a(\cdot)$ für fast alle $t \in \mathbb{R}_+$ der Gleichung

$$a(t) = -\varphi_x^T\big(t, x_*(t), u_*(t)\big)p(t) + \omega(t) f_x\big(t, x_*(t), u_*(t)\big) = -H_x\big(t, x_*(t), u_*(t), p(t), 1\big)$$

genügt. Damit und mit den Beziehungen in Bemerkung 2.23 erhalten wir

$$\begin{aligned} \mathscr{H}\big(t, x_*(t), p(t)\big) - \mathscr{H}\big(t, x, p(t)\big) &\ge \big\langle -H_x\big(t, x_*(t), u_*(t), p(t), 1\big), x - x_*(t)\big\rangle \\ &= \Big\langle \dot p(t) - \sum_{j=1}^{l} \lambda_j(t) g_{jx}\big(t, x_*(t)\big), x - x_*(t)\Big\rangle \end{aligned}$$

für fast alle $t \in \mathbb{R}_+$ und ferner die Komplementaritätsbedingungen

$$\lambda_j(t) \ge 0, \qquad \lambda_j(t) g_j\big(t, x_*(t)\big) = 0.$$

Die Konvexität der Abbildungen $g_j(t,x)$ bezüglich x auf $V_\gamma(t)$ liefert die Ungleichungen

$$g_j(t,x) \ge g_j\big(t, x_*(t)\big) + \sum_{j=1}^{l} \big\langle g_{jx}\big(t, x_*(t)\big), x - x_*(t)\big\rangle \ge \sum_{j=1}^{l} \big\langle g_{jx}\big(t, x_*(t)\big), x - x_*(t)\big\rangle.$$

Genügt $x(\cdot)$ den Zustandsbeschränkungen $g_j(t,x) \le 0$, dann gilt wegen $\lambda(t) \ge 0$:

$$-\sum_{j=1}^{l} \lambda_j(t) \big\langle g_{jx}\big(t, x_*(t)\big), x(t) - x_*(t)\big\rangle \ge 0.$$

Nach Bemerkung 2.23 gelten in den Unstetigkeitsstellen s_k die Sprungbedingungen

$$p(s_k^-) - p(s_k^+) = -\sum_{j=1}^{l} \beta_j^k g_{jx}\big(s_k, x_*(s_k)\big), \qquad \beta_j^k \ge 0,$$

und wir erhalten aus der Konvexität der Abbildungen $g_j(t,x)$ die Ungleichungen

$$\langle p(s_k^-) - p(s_k^+), x - x_*(s_k)\rangle \ge 0, \qquad x \in V_\gamma(s_k).$$

Damit folgt für $\big(x(\cdot),u(\cdot)\big)\in\mathscr{B}_{\rm adm}$ mit $\|x(\cdot)-x_*(\cdot)\|_\infty\le\gamma$ und für $T\ne s_k$:

$$\begin{aligned}
\Delta(T) &= \int_0^T \omega(t)\big[f\big(t,x(t),u(t)\big)-f\big(t,x_*(t),u_*(t)\big)\big]\,dt\\
&\ge \int_0^T \big[\mathscr{H}\big(t,x_*(t),p(t)\big)-\mathscr{H}\big(t,x(t),p(t)\big)\big]\,dt+\int_0^T\langle p(t),\dot x(t)-\dot x_*(t)\rangle dt\\
&\ge \int_0^T \langle\dot p(t),x(t)-x_*(t)\rangle+\langle p(t),\dot x(t)-\dot x_*(t)\rangle\,dt\\
&\qquad -\int_0^T\sum_{j=1}^{l}\lambda_j(t)\big\langle g_{jx}\big(t,x_*(t)\big),x(t)-x_*(t)\big\rangle\,dt\\
&\qquad +\sum_{s_k<T}\langle p(s_k^-)-p(s_k^+),x(s_k)-x_*(s_k)\rangle\\
&\ge \int_0^T \langle\dot p(t),x(t)-x_*(t)\rangle+\langle p(t),\dot x(t)-\dot x_*(t)\rangle\,dt=\langle p(T),x(T)-x_*(T)\rangle.
\end{aligned}$$

Die Betrachtung des Grenzwertes $T\to\infty$ ist gerechtfertigt, da sämtliche Integranden über $\mathbb{R}_+$ absolut integrierbar sind. Aufgrund der Transversalitätsbedingung (6.18) gilt die Beziehung

$$\lim_{T\to\infty}\Delta(T)\ge\lim_{T\to\infty}\langle p(T),x(T)-x_*(T)\rangle=0$$

für alle zulässigen $\big(x(\cdot),u(\cdot)\big)$ mit $\|x(\cdot)-x_*(\cdot)\|_\infty\le\gamma$. ■

Beispiel 6.23. Im Beispiel 6.16 über den Abbau einer nicht erneuerbaren Ressource,

$$\begin{aligned}
&J\big(x(\cdot),y(\cdot),u(\cdot)\big)=\int_0^\infty e^{-\varrho t}\big[pf\big(u(t)\big)-ry(t)-qu(t)\big]\,dt\to\sup,\\
&\dot x(t)=-u(t),\quad \dot y(t)=cf\big(u(t)\big),\quad x(0)=x_0>0,\quad y(0)=y_0\ge0,\\
&x(t)\ge0,\qquad u(t)\ge0,\qquad b,c,\varrho,q,r>0,\qquad \varrho-rc>0,
\end{aligned}$$

ermittelten wir die folgenden Kandidaten:

(i) Im Fall $df'(0)\le q$ wurde die Ressource nicht abgebaut;

(ii) Für $df'(0)>q$ wurde die Ressource vollständig abgebaut. Zwischen der Abbaurate $u_*(t)$, dem Zeitraum $[0,t']$, in dem abgebaut wurde, und dem Anfangsparameter $p_1(0)>0$ des Schattenpreises $p_1(\cdot)$ bestand der Zusammenhang

$$f'\big(u_*(t)\big)=\frac{1}{d}(q+p_1(0)e^{\varrho t})\quad\text{für } t\le t',\qquad u_*(t)=0\quad\text{für } t\ge t'.$$

Der Integrand ist im Zielfunktional linear in y und die Zustandsbeschränkung ist linear in x. Daher sind die Hamilton-Funktion $\mathscr{H}\big(t,x,y,p_1(t),p_2(t)\big)$ konkav bezüglich y und die Zustandsbeschränkung konvex bezüglich x für alle $x,y\in\mathbb{R}$. Damit stellen die Kandidaten starke lokale Maximalstellen der Aufgabe dar. □

7. Zusammenfassung und Ausblick

Das zentrale Untersuchungsobjekt in dieser Arbeit waren die notwendigen Bedingungen für verschiedene Aufgabenklassen der Optimalen Steuerung. Als Zugang dienten uns die bekannten Methoden und Ergebnisse zu schwachen und starken lokalen Minimalstellen, die auf der Grundlage von Richtungs- bzw. Nadelvariationen beruhen. Neben der Standardaufgabe in Pontrjagin et al. [55] befassten wir uns mit Multiprozessen und vorallem mit Steuerungsproblemen mit unendlichem Zeithorizont. Das Steuerungsproblem über unendlichem Zeithorizont besitzt dabei folgende allgemeine Gestalt:

$$J\big(x(\cdot),u(\cdot)\big) = \int_0^\infty \omega(t) f\big(t,x(t),u(t)\big)\,dt \to \inf, \tag{7.1}$$

$$\dot{x}(t) = \varphi\big(t,x(t),u(t)\big), \quad x(0) = x_0, \tag{7.2}$$

$$u(t) \in U \subseteq \mathbb{R}^m, \quad U \neq \emptyset, \tag{7.3}$$

$$g_j\big(t,x(t)\big) \leq 0 \quad \text{für alle } t \in \mathbb{R}_+, \quad j = 1,...,l. \tag{7.4}$$

Die Aufgabe (7.1)–(7.4) haben wir bezüglich der Steuerungsprozesse

$$\big(x(\cdot),u(\cdot)\big) \in W_2^1(\mathbb{R}_+,\mathbb{R}^n;\nu) \times L_\infty(\mathbb{R}_+,U)$$

betrachtet, die die Beschränkungen (7.2)–(7.4) erfüllen und für die das Lebesgue-Integral im Zielfunktional (7.1) endlich ist. In Form von Theorem 5.1 konnten wir ein Schwaches Optimalitätsprinzip nachweisen. Demnach existieren für eine schwache lokale Minimalstelle $\big(x_*(\cdot),u_*(\cdot)\big)$ der Aufgabe (7.1)–(7.3) nicht gleichzeitig verschwindende Multiplikatoren $\lambda_0 \geq 0$ und $p(\cdot) \in L_2(\mathbb{R}_+,\mathbb{R}^n;\nu^{-1})$, mit denen die adjungierte Gleichung

$$\dot{p}(t) = -\varphi_x^T\big(t,x_*(t),u_*(t)\big)p(t) + \lambda_0\omega(t)f_x\big(t,x_*(t),u_*(t)\big), \tag{7.5}$$

die "natürlichen" Transversalitätsbedingungen

$$\lim_{t\to\infty} \|p(t)\|^2\nu^{-1}(t) = 0, \qquad \langle p(t),x(t)\rangle = 0 \quad \forall\, x(\cdot) \in W_2^1(\mathbb{R}_+,\mathbb{R}^n;\nu) \tag{7.6}$$

und für alle $u \in U$ die Variationsungleichung

$$\big\langle H_u\big(t,x_*(t),u_*(t),p(t),\lambda_0\big),\big(u-u_*(t)\big)\big\rangle \leq 0 \tag{7.7}$$

gelten. Ferner konnten wir das Pontrjaginsche Maximumprinzip (Theorem 6.1) für eine starke lokale Minimalstelle beweisen und zeigen, dass statt der Variationsungleichung (7.7) die Maximumbedingung

$$H\big(t,x_*(t),u_*(t),p(t),\lambda_0\big) = \max_{u\in U} H\big(t,x_*(t),u,p(t),\lambda_0\big) \tag{7.8}$$

erfüllt ist. Durch den Zugang über die gewichteten Sobolev-Räume bezüglich des Zustandes $x(\cdot)$ und durch den Nachweis der Gültigkeit der "natürlichen" Transversalitätsbedingungen lassen sich weitere bekannte Resultate in den vorliegenden vereinheitlichten Rahmen einbinden:

(1) Aufgrund der Wahl der zulässigen Steuerungsprozesse und aufgrund der ersten Bedingung in (7.6) folgt die Transversalitätsbedingung von Michel (Lemma 5.3).

(2) Besitzt das dynamische System (7.2) zu jedem Anfangswert eine Lösung zur Steuerung $u_*(\cdot)$ und konvergiert diese Lösung in Abhängigkeit vom Anfangswert im gewichteten Lebesgue-Raum $L_2(\mathbb{R}_+, \mathbb{R}^n; \nu)$ gegen $x_*(\cdot)$, dann liegt für die Theoreme 5.1, 6.1 der normale Fall vor (Theorem 5.12).
Zusätzlich besitzt die Adjungierte $p(\cdot)$ nach Aseev & Kryazhimskii und Aseev & Veliov eine eindeutige Darstellung, die durch

$$p(t) = -Z_*(t) \int_t^\infty \omega(s) Z_*^{-1}(s) f_x\big(s, x_*(s), u_*(s)\big)\, ds$$

mit der in $t = 0$ normalisierten Fundamentalmatrix $Z_*(t)$ des linearen Systems

$$\dot z(t) = -\varphi_x^T\big(t, x_*(t), u_*(t)\big) z(t)$$

gegeben wird (Theorem 5.12).

(3) Schließlich führt die zweite Transversalitätsbedingung in (7.6) unter Konkavitätsannahmen unmittelbar zu den hinreichenden Optimalitätsbedingungen nach Mangasarian und Arrow (Theorem 5.14, Theorem 6.12).

Die Anwendungsbeispiele zeigen, dass die verwendeten Voraussetzungen an die Aufgabe (7.1)–(7.3) noch zu einschränkend sein können. Dazu geben wir folgendes Modell der Neoklassischen Wachstumstheorie an:

Beispiel 7.1. Ein wichtiges Anwendungsgebiet der Optimalen Steuerung mit unendlichem Zeithorizont ist die Ökonomische Wachstumstheorie. In Arnold [1] und Barro & Sala-i-Martin [7] sind umfassende Darstellungen dieses Gebietes der Wirtschaftstheorie zu finden. Für die Produktionsfunktion f im Beispiel 1.11 verwenden wir den Zusammenhang

$$f(K, AL) = rK - \omega AL = C + \dot K.$$

Dabei bezeichnen L das Arbeitsangebot, A die Arbeitseffizienz, C die Konsumption und r die Zinsrate. Für die Arbeitsleistung $H = AL$ nehmen wir eine konstante Wachstumsrate $\alpha > 0$ an. Wir führen die Größen $k = K/H$, $c = C/H$ ein. Damit ergibt sich

$$\dot k(t) = \frac{\dot K(t) H(t) - K(t) \dot H(t)}{H^2(t)} = (r - \alpha) k(t) + \omega - c(t).$$

Mit diesen Bezeichnungen betrachten wir die Aufgabe

$$\begin{aligned}
&J\big(k(\cdot), c(\cdot)\big) = \int_0^\infty e^{-\varrho t} U\big(c(t)\big)\, dt \to \sup,\\
&\dot k(t) = (r - \alpha) k(t) + \omega - c(t), \quad k(0) = k_0 > 0,\\
&c(t) > 0, \quad \varrho, r, \omega, \alpha > 0.
\end{aligned}$$

Die Nutzenfunktion sei in dieser Aufgabe isoelastisch:

$$U(c) = \frac{c^{1-\sigma} - 1}{1 - \sigma}, \qquad \sigma > 0.$$

Der Fall $U(c) = \ln(c)$ für $\sigma = 1$ ist mit inbegriffen. Durch (7.5) und (7.7) erhalten wir

$$\dot{p}(t) = -(r - \alpha)p(t), \qquad c_*^{-\sigma}(t) = p(t)e^{\varrho t}, \qquad c_*^{-\sigma}(t) = p_0 e^{(\alpha+\varrho-r)t}.$$

Daraus erhalten wir die Ramsey-Regel der konstanten Wachstumsrate:

$$\frac{\dot{c}_*(t)}{c_*(t)} = \frac{r - (\alpha + \varrho)}{\sigma}.$$

Wir untersuchen einzelne Parameterkonfigurationen:

(a) $r > \alpha + \varrho$: In diesem Fall folgt aus den Wachstumsraten $c_*(t) \to \infty$. Da die vorliegende Theorie für beschränkte Steuerungen entwickelte wurde, ist an dieser Stelle die Erweiterung auf lokal beschränkte Steuerungen erforderlich.

(b) $r < \alpha + \varrho$: In diesem Fall gibt es keine gleichmäßige Umgebung U_γ bzw. V_γ, auf der die Voraussetzungen bezüglich des Integranden erfüllt sind. Darauf kann eine Umgebung mit variabler Umgebungsbreite eine zufriedenstellende Antwort liefern.

Die Analyse des Models lässt eine Frage offen: Kann die Konsumptionsrate $c_*(0)$ quantifiziert werden? Aus den notwendigen Bedingungen ergibt sich mit dem Anfangswert p_0 der Adjungierten die Beziehung

$$c_*(t) = p_0^{-\sigma} \cdot e^{\beta t}, \qquad \beta = \frac{r - (\alpha + \varrho)}{\sigma}.$$

Wir erhalten daraus im Zielfunktional

$$\int_0^\infty e^{-\varrho t} U\big(c_*(t)\big)\, dt = \int_0^\infty e^{-\varrho t} \big[U(e^{\beta t}) - \sigma U(p_0)\big]\, dt \to \infty \qquad \text{für } p_0 \to 0^+.$$

Folglich lautet die Adjungierte $p(t) \equiv 0$ und es ist $c_*(t) \equiv \infty$. Da keine Beschränkungen an die Konsumption vorliegen und die Nutzenfunktion über dem Steuerungsbereich $c > 0$ nach oben unbeschränkt ist, stellt $c_*(t) \equiv \infty$ die unrealistische optimale Politik dar.
Da die Aufgabe konkav ist, werden zur Festlegung der Ramsey-Regel oft die hinreichenden Bedingungen nach Mangasarian zitiert. Der Widerspruch ergibt sich daraus, dass eine zu schwache Transversalitätsbedingung Anwendung findet. Im Rahmen dieser Arbeit liegt ein Gewicht $\nu(\cdot)$ vor, mit dem $k_*(\cdot) \in W_2^1(\mathbb{R}_+, \mathbb{R}; \nu)$ gilt und mit dem die Transversalitätsbedingungen (7.6) erfüllt sein müssen. Da aber kein derartiges Gewicht $\nu(\cdot)$ existieren kann, ist der Verweis auf die hinreichenden Bedingungen nach Mangasarian ein Trugschluss. □

Zum Nachweis der Theoreme 5.1, 6.1 haben wir die Aufgabe (7.1)–(7.3) in eine Extremalaufgabe überführt. Dafür mussten wir einen geeigneten funktionalanalytischen Rahmen finden. Im Vordergrund stand dabei das Verständnis der Dynamik (7.2) und die Anwendbarkeit grundlegender Theoreme der Funktionalanalysis, wie z. B. der Satz von Hahn-Banach, der Satz von Ljusternik und der Darstellungssatz von Riesz.

Der Dynamik (7.2) haben wir den Integraloperator

$$\Phi\big(x(\cdot),u(\cdot)\big)(t) = \nu(t)\bigg[x(t) - x(0) - \int_0^t \varphi\big(s,x(s),u(s)\big)\,ds\bigg]$$

zugeordnet. Wegen der Positivität der Gewichtsfunktion $\nu(\cdot)$ folgt aus der Gleichung $\Phi\big(x(\cdot),u(\cdot)\big)(t) \equiv 0$, dass das Paar $\big(x(\cdot),u(\cdot)\big)$ die Dynamik (7.2) auf jedem endlichen Intervall im Sinn von Carathéodory löst. In den weiteren Untersuchungen hat sich bezüglich der Variation der Zustandstrajektorie $x(\cdot)$, beschrieben durch die Abbildung

$$F\big(\xi(\cdot),u(\cdot)\big)(t) = \nu(t)\bigg[\big(x(t)+\xi(t)\big) - \big(x(0)+\xi(0)\big) - \int_0^t \varphi\big(s,x(s)+\xi(s),u(s)\big)\,ds\bigg],$$

der Raum $C_0(\mathbb{R}_+,\mathbb{R}^n)$, der im Unendlichen verschwindenden stetigen Funktionen, herausgefiltert. Aber in dieser Darstellung ist der Operator F nicht regulär und der Satz von Ljusternik nicht anwendbar. Die Zerlegung $F = F_1 - F_2$ durch

$$\begin{aligned} F_1\big(\xi(\cdot),u(\cdot)\big)(t) &= 2\xi(t) + \nu(t)\bigg[x(t) - x(0) - \int_0^t \varphi\big(s,x(s)+\xi(s),u(s)\big)\,ds\bigg], \\ F_2\big(\xi(\cdot)\big)(t) &= 2\xi(t) - \nu(t)\big(\xi(t)-\xi(0)\big) \end{aligned}$$

behob diesen Umstand. Wegen der Einführung der Operatoren F_1, F_2 mussten wir jedoch das Trennungsargument für konvexe Mengen aus den ersten Kapiteln grundlegend erweitern. Die Anwendung des Satzes von Hahn-Banach auf die konvexen Mengen $\mathscr{C}_1$ und $\mathscr{C}_2$ lieferte einen zusätzlichen Lagrangeschen Multiplikator. Der Nachweis, dass dieser zusätzliche Multiplikator vernachlässigbar ist und diejenigen Multiplikatoren nicht verschwinden, die zu den notwendigen Optimalitätsbedingungen führen, ist dabei ein wesentliches Argument zur Herleitung der Theoreme 5.1, 6.1 und 6.15.

Im Zielfunktional (7.1) haben wir uns bewusst dazu entschieden, den Integranden mit einer Dichtefunktion $\omega(\cdot)$ und mit einer stetigen Funktion $f(t,x,u)$ darzustellen. Denn bei der Herleitung des Pontrjaginschen Maximumprinzips und der Anwendung der Methode der mehrfachen Nadelvariation sahen wir uns einerseits mit dem unbeschränkten Zeitintervall und andererseits mit einer möglicherweise lokal unbeschränkten Dichtefunktion $\omega(\cdot) \in L_1(\mathbb{R}_+,\mathbb{R}_+)$ konfrontiert. Wegen der Konvergenz des Lebesgue-Integrals ließen sich die Trägermengen der Nadelvariationen in ein endliches Intervall einbetten. Weiterhin konnten wir im Fall einer unstetigen Dichtefunktion $\omega(\cdot)$ dieses endliche Intervall mit Hilfe des Satzes von Lusin durch eine kompakte Menge geeignet ausschöpfen. Folglich haben

wir die Methode mehrfache Nadelvariation im Wesentlichen auf die Argumente, die für Steuerungsprobleme mit endlichem Zeithorizont bekannt sind, zurückgeführt.

Die Einbindung von Zustandsbeschränkungen in Aufgaben mit unendlichem Zeithorizont erforderte zusätzliche Voraussetzungen, nämlich:

(i) Für die aktiven Ungleichungen gilt $\lim\limits_{t\to\infty} g_j\big(t, x_*(t)\big) = 0$, $j = 1, ..., l'$.

(ii) Für die nichtaktiven Ungleichungen gilt $\limsup\limits_{t\to\infty} g_j\big(t, x_*(t)\big) < 0$, $j = l'+1, ..., l$.

(iii) Es gilt $g_j\big(t, x_*(t)\big) \not\equiv 0$ über $\mathbb{R}_+$ für alle $j = 1, ..., l$.

Die Voraussetzung (i) ist notwendig, um die Zustandsbeschränkungen im Rahmen des Raumes $C_0(\mathbb{R}_+, \mathbb{R}^n)$ auswerten zu können. Dann folgt mit Hilfe des Rieszschen Darstellungssatzes (Satz B.8), dass das Subdifferential aus denjenigen stetigen linearen Funktionalen im Raum $C_0(\mathbb{R}_+, \mathbb{R}^n)$ besteht, die mit einem regulären Borelschen Maß mit Norm Eins korrespondieren. Der Darstellungssatz liefert einerseits die Analogie zu den Ergebnissen über dem endlichen Zeitintervall und andererseits die "ästhetischen" Darstellung der Adjungierten. Dabei muss auf Voraussetzung (iii) zurückgegriffen werden, denn ansonsten kann das reguläre Maß zum Nullmaß entarten (Anhang C.4). Dies ist an dieser Stelle der Preis für das unbeschränkte Intervall, auf dem eine stetige Funktion kein Maximum besitzen muss. Auf die Voraussetzung (iii) darf nicht verzichtet werden, da sich andernfalls die Situation trivialer Multiplikatoren im Pontrjaginschen Maximumprinzip für die Aufgabe mit Zustandsbeschränkungen (Theorem 6.15) ergeben kann.
Eine besondere Charakteristik über dem unbeschränkten Zeitintervall sind die Zustandsbeschränkungen, die nur im Unendlichen aktiv sind. Die Voraussetzung (ii) schließt diese nichtaktiven Beschränkungen aus. Da im Gegensatz zu nichtaktiven Zustandsbeschränkungen in Aufgaben mit endlichem Zeitintervall durch den Grenzwert im Unendlichen kein gleichmäßiger Abstand zur Restriktion vorliegt, kann bezüglich der gleichmäßigen Topologie $\|\cdot\|_\infty$ die Existenz zulässiger Richtungen nicht mit den bekannten Argumenten gezeigt werden. Diesen Punkt mussten wir im Rahmen dieser Arbeit offen lassen.
Schließlich haben wir die Extremalaufgabe zum Steuerungsproblem über dem unendlichen Zeithorizont mit Zustandsbeschränkungen in den Raum $C_b(\mathbb{R}_+, \mathbb{R}^n)$ eingebettet. Der Grund war, dass in der Extremalaufgabe im Rahmen des Raumes $C_0(\mathbb{R}_+, \mathbb{R}^n)$ keine "echten" Abstiegsrichtungen vorliegen können. Deswegen darf der Trennungssatz für konvexe Mengen stets angewendet werden und der Nachweis der Existenz der nichttrivialen Lagrangeschen Multiplikatoren ist immer möglich. Diesen Umstand gilt es ausdrücklich zu beachten, denn das Wesen von Optimalitätskriterien geht im Pontrjaginschen Maximumprinzip auf diese Weise verloren.

Diese Arbeit wurde so aufgebaut, dass wir die grundlegenden Kenntnisse über die Beweismethoden für Aufgaben mit endlichem Zeithorizont vorbereitet haben und anschließend die einzelnen Elemente über dem unbeschränkten Zeitintervall kritisch hinterfragen, eine

passende Form geben und abschließend die Beweisargumente auf die so geschaffene Extremalaufgabe geeignet erweitern.

In dieser Arbeit haben wir ein innovativen Zugang zu Steuerungsproblemen mit unendlichem Zeithorizont vorgestellt. Ein wesentliches Ergebnis sind dabei die notwendigen Optimalitätsbedingungen, in denen die "natürlichen" Transversalitätsbedingungen stets enthalten sind. Das Verschwinden der Adjungierten im Unendlichen ergibt sich aus dem Zugang im Raum $C_0(\mathbb{R}_+, \mathbb{R}^n)$. Auf die Behandlung von Aufgaben mit Randbedingungen im Unendlichen müssen wir auf dieser Grundlage verzichten. Wir geben diesbezüglich ein illustratives Beispiel an:

Beispiel 7.2. Wir betrachten die Aufgabe

$$\begin{aligned} &J\big(x(\cdot),u(\cdot)\big) = \int_0^\infty e^{-\varrho t}\big(1-u(t)\big)x(t)\,dt \to \sup,\\ &\dot{x}(t) = u(t)x(t), \quad x(0)=1, \quad x(\infty)=2, \quad u(t)\in[0,1], \quad \varrho\in(0,1). \end{aligned}$$

Die Pontrjagin-Funktion lautet im normalen Fall

$$H(t,x,z,u,p,q,1) = pux + e^{-\varrho t}(1-u)x.$$

Aus der formalen Anwendung der Maximumbedingung und der adjungierten Gleichung ergeben sich

$$p(t) = \begin{cases} e^{(1-\varrho)\tau}e^{-t}, & t\in[0,\tau),\\ \frac{\varrho-1}{\varrho}e^{-\varrho\tau} + \frac{1}{\varrho}e^{-\varrho t}, & t\in[\tau,\infty), \end{cases} \qquad u_*(t) = \begin{cases} 1, & t\in[0,\tau),\\ 0, & t\in[\tau,\infty), \end{cases} \qquad \tau = \ln 2.$$

Es gilt daher für die Adjungierte $p(t) \not\to 0$ für $t\to\infty$.
Die spezielle Struktur der Dynamik, nämlich die Monotonie $\dot{x}(t)\geq 0$ für alle zulässigen Trajektorien, erlaubt es, den Randwert im Unendlichen durch eine Zustandsbeschränkung zu ersetzen:

$$\begin{aligned} &J\big(x(\cdot),u(\cdot)\big) = \int_0^\infty e^{-\varrho t}\big(1-u(t)\big)x(t)\,dt \to \sup,\\ &\dot{x}(t) = u(t)x(t), \quad x(0)=1, \quad x(t)\leq 2, \quad u(t)\in[0,1], \quad \varrho\in(0,1). \end{aligned}$$

Dann erhalten wir mit dem absolutstetigen Anteil $\lambda(t) = (1-\varrho)e^{-\varrho t} > 0$, $t\in[\tau,\infty)$, des Borelschen Maßes die Adjungierte

$$p(t) = \begin{cases} e^{(1-\varrho)\tau}e^{-t}, & t\in[0,\tau),\\ e^{-\varrho t}, & t\in[\tau,\infty), \end{cases} \qquad \tau = \ln 2.$$

Wählen wir das Gewicht $\nu(t) = e^{-at}$ mit $0 < a < 2\varrho$, dann sind alle Voraussetzungen des Maximumprinzips für die Aufgabe mit Zustandsbeschränkungen erfüllt. □

Die Rückführung des Randwertes im Unendlichen auf eine Zustandsbeschränkung im letzten Beispiel hängt maßgeblich von der Einfachheit der Aufgabe ab. Bereits im Fall einer streng monotonen Dynamik ergibt sich eine Zustandsbeschränkung, die erst im Unendlichen aktiv ist. Dementsprechend ist in dieser Situation das Theorem 6.15 nicht anwendbar. Deswegen haben wir diesen Ansatz, den Randwert im Unendlichen durch eine Zustandsbeschränkung zu ersetzen, nicht weiter verfolgt.
An dieser Stelle könnte sich der Raum $C_b(\mathbb{R}_+, \mathbb{R}^n)$, den wir in der Untersuchung der Zustandsbeschränkungen über dem unendlichen Zeithorizont bereits verwendet haben, als nützlich erweisen: Der Operator

$$H_\infty\big(x(\cdot)\big) = \lim_{t\to\infty} x(t)$$

ist auf der abgeschlossenen und konvexen Menge

$$M = \{x(\cdot) \in C_b(\mathbb{R}_+, \mathbb{R}^n) \mid \lim_{t\to\infty} x(t) \text{ existiert}\}$$

stetig differenzierbar. Über dieser Menge kann der Operator H_∞ als reguläre Abbildung in die Extremalaufgabe eingefügt werden.
Es ist weiterhin nicht auszuschließen, dass im Rahmen des Raumes $C_b(\mathbb{R}_+, \mathbb{R}^n)$ auf die Annahmen (i)–(iii) verzichtet werden kann. Allerdings sind der Nachweis eines Extremalprinzips und die Darstellung für $y^* \in C_b^*(\mathbb{R}_+, \mathbb{R}^n)$ in Form einer adjungierten Gleichung ein eigenständiges Thema. Grundlegende Beiträge gibt es dazu bei Brodskii [11] und bei Seierstad [59]. Auf deren Basis werden nützliche Informationen über die Adjungierte gewonnen, die in den hinreichenden Bedingungen nach Arrow und Mangasarian einfließen können.

Unser präsentierter Zugang gewährte einen tiefgreifenden, aber noch unvollständigen Einblick in das Wesen der Steuerungsproblemen mit unendlichem Zeithorizont. Zur grundlegenden Weiterentwicklung und zum umfassenden Verständnis dieses Aufgabentyps ist aus unserer Sicht eine Renaissance der Theorie der Extremalaufgaben für diese spezifische Klasse zwingend erforderlich.

A. Grundzüge der Maß- und Integrationstheorie

Unsere Darstellungen zur Maß- und Integrationstheorie basieren auf Bauer [8], Elstrodt [20], Heuser [34] und Natanson [48]. Die Eigenschaften der Funktionen von beschränkter Variation und des Stieltjes-Integral sind Heuser [33] und Natanson [48] entnommen.

A.1. Maßtheoretische Grundlagen

Sei M eine Menge, und sei Σ ein System von Teilmengen von M mit den Eigenschaften

$$\emptyset \in \Sigma, \qquad A \in \Sigma \Rightarrow M \setminus A \in \Sigma, \qquad A_1, A_2, ... \in \Sigma \Rightarrow \bigcup_{i=1}^{\infty} A_i \in \Sigma,$$

dann heißt Σ eine σ-Algebra und jede Menge $A \in \Sigma$ messbar.
Eine Abbildung $\mu : \Sigma \to [0, \infty]$ heißt ein Maß, wenn $\mu(\emptyset) = 0$ und μ σ-additiv ist, d. h., wenn für paarweise disjunkte $A_1, A_2, ... \in \Sigma$ folgendes gilt:

$$\mu\Big(\bigcup_{i=1}^{\infty} A_i\Big) = \sum_{i=1}^{\infty} \mu(A_i).$$

Das Maß μ nennen wir σ-endlich, wenn es in M eine Folge $A_1, A_2, ...$ von Teilmengen gibt mit $\mu(A_i) < \infty$ für alle i und $A_1 \cup A_2 \cup ... = M$.
Eine Abbildung $\mu : \Sigma \to \mathbb{R}$ heißt ein signiertes Maß, falls μ σ-additiv ist. Ein Maß ist demnach im Unterschied zu signierten Maßen eine Abbildung mit ausschließlich nichtnegativen Werten. Wir nennen $A \in \Sigma$ mit $\mu(A) = 0$ eine μ-Nullmenge.

Sei μ ein signiertes Maß auf Σ und $A \in \Sigma$. Setze

$$|\mu|(A) = \sup \sum_{k=1}^{n} |\mu(A_k)|,$$

wobei das Supremum über alle endlichen Zerlegungen $A = A_1 \cup ... \cup A_n$ mit paarweise disjunkten $A_k \in \Sigma$ zu bilden ist. $|\mu|(A)$ heißt totale Variation von μ auf A. Ist μ ein signiertes Maß, so definiert $A \to |\mu|(A)$ ein endliches Maß.

Ein Maß μ heißt von innen bzw. von außen regulär, falls für alle $A \in \Sigma$

$$\mu(A) = \sup\{\mu(C) \,|\, C \subset A, C \text{ kompakt}\}, \quad \text{bzw.} \quad \mu(A) = \inf\{\mu(O) \,|\, A \subset O, O \text{ offen}\}$$

gilt. Ein von innen und außen reguläres Maß heißt regulär. Ein signiertes Maß heißt regulär, wenn seine Variation regulär ist.

Satz A.1 (Hahn-Jordan-Zerlegung)**.** *Sei Σ eine σ-Algebra auf einer Menge M und $\mu : \Sigma \to \mathbb{R}$ ein signiertes Maß.*

(a) Es existiert ein bis auf eine $|\mu|$-Nullmenge eindeutig bestimmtes $A^+ \in \Sigma$ mit

(i) $0 \le \mu(A) \le \mu(A^+)$ *für alle* $A \in \Sigma$, $A \subseteq A^+$,

(ii) $0 \ge \mu(A) \ge \mu(A^-)$ *für alle* $A \in \Sigma$, $A \subseteq A^- := T \setminus A^+$.

(b) $\mu^+ = \chi_{A^+}\mu$ *und* $\mu^- = \chi_{A^-}\mu$ *sind endliche Maße mit* $\mu = \mu^+ - \mu^-$.

(c) $|\mu|(A) = \mu^+(A) + \mu^-(A)$.

Die Zerlegungen $A = A^+ \cup A^-$ *und* $\mu = \mu^+ - \mu^-$ *heißen Hahn- bzw. Jordan-Zerlegung.*

Die offenen Teilmengen der Menge M erzeugen die σ-Algebra der Borelmengen $\mathscr{B}$. D. h. $\mathscr{B}$ ist die kleinste σ-Algebra, die M umfasst. Ein (signiertes) Maß μ auf der σ-Algebra $\mathscr{B}$ heißt (signiertes) Borelsches Maß.

A.2. Integration bezüglich eines Maßes

Es sei $I \subseteq \mathbb{R}$ ein Intervall, d. h. eine beschränkte oder unbeschränkte konvexe Teilmengen von $\mathbb{R}$, und $\mathscr{B}$ die Borelsche σ-Algebra auf I. Die Funktion $f : I \to \mathbb{R}$ ist eine Treppenfunktion, wenn f nur endliche viele Werte annimmt. D. h. gibt es paarweise disjunkte messbare Mengen $A_1, ..., A_k \subseteq I$ und Punkte $y_1, ..., y_k \in \mathbb{R}$ mit $A_1 \cup ... \cup A_k = I$ und

$$f(t) = \sum_{i=1}^{k} y_i \chi_{A_i}(t), \quad t \in I.$$

Es sei μ ein Maß über der σ-Algebra $\mathscr{B}$. Eine nichtnegative reelle Funktion f ist genau dann meßbar, wenn es eine monoton wachsende Folge $\{f_n\}$ von nichtnegativen Treppenfunktionen gibt, die punktweise gegen f konvergiert. Jede beschränkte meßbare Funktion ist gleichmäßiger Grenzwert von Treppenfunktionen.

Wir nennen eine nichtnegative reelle Funktion f μ-integrierbar, falls eine monoton wachsende Folge $\{f_n\}$ nichtnegativer Treppenfunktionen existiert, die punktweise gegen f konvergiert. Die Zahl

$$\int_I f\, d\mu = \int_I f(t)\, d\mu(t) = \lim_{n\to\infty} \int_I f_n(t)\, d\mu(t), \qquad \int_I f_n(t)\, d\mu(t) = \sum_{i=1}^{k} y_i \mu(A_i),$$

welche unabhängig von der Darstellung mittels $\{f_n\}$ ist, heißt das μ-Integral von f.

Eine meßbare reelle Funktion f heißt μ-integrierbar, falls ihr Positivteil f^+ und ihr Negativteil f^- μ-integrierbar sind und die μ-Integrale $\int_I f^+\, d\mu$, $\int_I f^-\, d\mu$ reelle Zahlen sind. Dann heißt

$$\int_I f\, d\mu = \int_I f^+\, d\mu - \int_I f^-\, d\mu$$

das μ-Integral von f. Es sei μ ein signiertes Maß, $\mu = \mu^+ - \mu^-$ seine Jordan-Zerlegung und die reelle Funktion f meßbar. Dann heißt f μ-integrierbar, falls f $|\mu|$-integrierbar ist. Wir setzen

$$\int_I f\, d\mu = \int_I f\, d\mu^+ - \int_I f\, d\mu^-.$$

Im Fall des Lebesgue-Maßes sagen wir integrierbar und schreiben für das Lebesgue-Integral $\int_I f\, dt$.

Ein innerer Punkt $t_0 \in I$ heißt Lebesguescher Punkt der Funktion f, wenn

$$\lim_{h\to 0^+} \frac{1}{h} \int_0^h |f(t_0 \pm t) - f(t_0)|\, dt = 0.$$

Satz A.2. *Ist f über I integrierbar, so ist fast jeder Punkt ein Lebesguescher Punkt.*

Satz A.3 (Satz von Lusin)**.** *Es sei $f : I \to \mathbb{R}$ und λ das Lebesgue-Maß. Dann sind äquivalent:*

(a) Es gibt eine meßbare Funktion $g : I \to \mathbb{R}$ mit $f = g$ λ-f.ü.

(b) Zu jedem offenen $U \subseteq I$ mit $\lambda(U) < \infty$ und jedem $\delta > 0$ gibt es ein Kompaktum $K \subset U$ mit $\lambda(U \setminus K) < \delta$, so dass $f|_K$ stetig ist.

(c) Zu jedem Kompaktum $T \subset I$ und jedem $\delta > 0$ gibt es ein Kompaktum $K \subset T$ mit $\lambda(T \setminus K) < \delta$, so dass $f|_K$ stetig ist.

A.3. Funktionen beschränkter Variation und Stieltjes-Integral

Eine Funktion $g : [a, b] \to \mathbb{R}$ heißt von beschränkter Variation auf $[a, b]$, wenn es eine Konstante $M > 0$ derart gibt, dass für jede Zerlegung $Z := \{x_0, x_1, ..., x_n\}$ von $[a, b]$ mit $a = x_0 < x_1 < ... < x_n = b$ stets

$$\mathbf{V}(g, Z) := \sum_{k=1}^{n} |g(x_k) - g(x_{k-1})| \le M$$

bleibt. In diesem Fall wird die reelle Zahl

$$\overset{b}{\underset{a}{\mathbf{V}}}(g) = \sup_Z \mathbf{V}(g, Z)$$

die totale Variation von g auf $[a, b]$ genannt. Eine Funktion $g(\cdot)$ von beschränkter Variation heißt normalisiert, wenn $g(a) = 0$ gilt und $g(\cdot)$ für alle $a < t < b$ rechtsseitig stetig ist.

Für unbeschränkte Intervalle definieren wir die totale Variation durch

$$\overset{\infty}{\underset{-\infty}{\mathbf{V}}}(g) = \lim_{n\to\infty} \overset{n}{\underset{-n}{\mathbf{V}}}(g), \qquad \overset{\infty}{\underset{a}{\mathbf{V}}}(g) = \lim_{n\to\infty} \overset{n}{\underset{a}{\mathbf{V}}}(g).$$

Sind diese Variationen endlich, dann gelten

$$\lim_{a\to-\infty} \overset{a}{\underset{-\infty}{\mathbf{V}}}(g) = 0, \qquad \lim_{a\to\infty} \overset{+\infty}{\underset{a}{\mathbf{V}}}(g) = 0.$$

Satz A.4. *Eine Funktion ist genau dann von beschränkter Variation, wenn sie als Differenz zweier monotoner Funktionen darstellbar ist.*

Auf $[a, b]$ seien zwei endliche Funktionen f und g definiert. Weiterhin sei $Z = \{x_0, x_1, ..., x_n\}$ eine Zerlegung von $[a, b]$. In jedem Teilintervall $[x_{k-1}, x_k]$ wählen wir einen Punkt ξ_k und bilden die Summe

$$\sigma = \sum_{k=1}^{n} f(\xi_k)[g(x_k) - g(x_{k-1})].$$

Konvergiert σ bei Verfeinerung der Zelegung gegen einen endlichen Grenzwert I, der weder von der Zerlegung noch von der Auswahl der Punkte ξ_k abhängig ist, so heißt der Grenzwert I das Stieltjes-Integral von f nach der Funktion g. Schreibweise

$$\int_a^b f(x)\,dg(x) \qquad \text{oder} \qquad (\mathrm{S})\int_a^b f(x)\,dg(x).$$

Satz A.5. *Existiert eines der Integrale* $\int_a^b f(x)\,dg(x)$ *oder* $\int_a^b g(x)\,df(x)$*, so existiert auch das andere, und es gilt die Regel der partiellen Integration:*

$$\int_a^b f(x)\,dg(x) + \int_a^b g(x)\,df(x) = f(b)g(b) - f(a)g(a).$$

Satz A.6. *Ist f auf $[a, b]$ stetig und g auf $[a, b]$ von beschränkter Variation, dann existiert das Stieltjes-Integral von f nach der Funktion g.*

Eine Funktion $g : [a, b] \to \mathbb{R}$ heißt absolutstetig, wenn zu jedem $\varepsilon > 0$ ein $\delta > 0$ derart existiert, dass für jedes endliche System von disjunkten Intervallen $\{(a_k, b_k)\}$ mit Gesamtlänge $\sum(b_k - a_k) \le \delta$ gilt

$$\sum |g(b_k) - g(a_k)| \le \varepsilon.$$

Satz A.7. *Ist f auf $[a, b]$ stetig und g absolutstetig auf $[a, b]$, dann gilt*

$$(S)\int_a^b f(x)\,dg(x) = (L)\int_a^b f(x)g'(x)\,d(x).$$

D. h., dass der Fall einer absolutstetigen Funktion g auf die Berechnung eines Lebesgue-Integrals führt.

B. Funktionalanalytische Hilfsmittel

Die Grundbegriffe und die Hauptsätze zur Funktionalanalysis, sowie die Darstellung stetiger linearer Funktionale sind Heuser [36], Ioffe & Tichomirov [38], Kufner [39] und Werner [70] entnommen. Den Fixpunktsatz von Weissinger findet man in Heuser [35], den Darstellungssatz für die stetigen linearen Funktionale auf dem Raum der im Unendlichen verschwindenden stetigen Funktionen in Rudin [58]. Bei der Darstellung des Satzes von Ljusternik folgen wir Ioffe & Tichomirov [38]. Dieser Satz geht auf Ljusternik [42] zurück.

B.1. Stetige lineare Operatoren auf normierten Räumen, Ableitungsbegriffe

Es seien X, Y normierte lineare Räume. Der normierte lineare Raum X mit Norm $\|\cdot\|$ heißt vollständig oder ein Banachraum, wenn jede Cauchyfolge in X bezüglich $\|\cdot\|$ konvergiert. Der normierte linearer Raum X mit Skalarprodukt $\langle\cdot,\cdot\rangle$ heißt ein Hilbertraum, wenn X bezüglich der induzierten Norm $\|x\| = \sqrt{\langle x, x\rangle}$ vollständig ist. Für ein Skalarprodukt gilt die Cauchy-Schwarsche Ungleichung

$$|\langle x, y\rangle|^2 \leq \|x\|^2 \cdot \|y\|^2.$$

Auf X wird eine Norm $\|\cdot\|$ genau dann durch ein Skalarprodukt $\langle\cdot,\cdot\rangle$ induziert, wenn die Parallelogrammgleichung

$$\|x + y\|^2 + \|x - y\|^2 = 2(\|x\|^2 + \|y\|^2)$$

für alle $x, y \in X$ gilt. In diesem Fall ist das Skalarprodukt eindeutig bestimmt und wird in einem reellen Vektorraumes X durch folgende Formel gegeben:

$$\langle x, y\rangle = \frac{1}{4}(\|x + y\|^2 - \|x - y\|^2).$$

Wir geben nach [70] einige Beispiele für normierte Räume an: Sei $I \subseteq \mathbb{R}$.

(a) Der Raum $C_b(I, \mathbb{R}^n)$ der beschränkten stetigen Funktionen ist bezüglich der Supremumsnorm $\|\cdot\|_\infty$ vollständig.

(b) $C(I, \mathbb{R}^n)$ ist der Raum der stetigen Funktionen auf $I \subseteq \mathbb{R}$. Bezüglich der Supremumsnorm $\|\cdot\|_\infty$ ist dieser Raum für eine kompakte Menge I vollständig.

(c) $C_0(\mathbb{R}_+, \mathbb{R}^n)$ bezeichnet den Raum der stetigen Funktionen $x(\cdot)$, die im Unendlichen verschwinden. D. h. zu jedem $\varepsilon > 0$ ist die Menge $M = \{t \in \mathbb{R}_+ \,|\, \|x(t)| \geq \varepsilon\}$ kompakt. Als abgeschlossener Unterraum des Raumes $C_b(\mathbb{R}_+, \mathbb{R}^n)$ ist $C_0(\mathbb{R}_+, \mathbb{R}^n)$ vollständig.

(d) Der Raum der stetig differenzierbaren Funktionen $C_1(I, \mathbb{R}^n)$ ist über einer kompakten Menge I bezüglich der Norm $\|x(\cdot)\|_{C_1} = \|x(\cdot)\|_\infty + \|\dot{x}(\cdot)\|_\infty$ vollständig.

(e) Die Lebesgue-Räume $L_p(I,\mathbb{R}^n)$ sind bezüglich der L_p-Norm $\|\cdot\|_{L_p}$ mit dem Lebesgue-Integral vollständig. Für $p=2$ liegt ein Hilbertraum vor.

(f) Die Sobolev-Räume $W_p^1(I,\mathbb{R}^n)$ sind bezüglich $\|x(\cdot)\|_{W_p^1} = \|x(\cdot)\|_{L_p} + \|\dot{x}(\cdot)\|_{L_p}$ vollständig. Der Raum $W_2^1(I,\mathbb{R}^n)$ ist ein Hilbertraum.

Die Beispiele (e) und (f) lassen sich auf den Fall eines σ-endliche Maßes μ verallgemeinern. Weiterhin gilt die Höldersche Ungleichung:

$$\|x(\cdot)y(\cdot)\|_{L_1} \le \|x(\cdot)\|_{L_p}\|y(\cdot)\|_{L_q} \quad \text{für alle } x(\cdot)\in L_p(I,\mathbb{R}), y(\cdot)\in L_q(I,\mathbb{R}).$$

Besitzt das σ-endliche Maß μ bezüglich dem Lebesgue-Maß eine Dichte ν, dann sprechen wir von gewichteten Lebesgue- und Sobolevräumen und ersetzen die μ-Integrale der Räume $L_p(\mu)$, $W_p^1(\mu)$ durch Lebesgue-Integrale mit Dichte ν. Die gewichteten Lebesgue- und Sobolevräume bezeichnen wir mit $L_p(I,\mathbb{R}^n;\nu)$, $W_p^1(I,\mathbb{R}^n;\nu)$ und es lautet für $1\le p<\infty$ die gewichtete Norm des Raumes $L_p(I,\mathbb{R}^n;\nu)$:

$$\|x(\cdot)\|_{L_p(\nu)}^p = \int_0^\infty \|x(t)\|^p \nu(t)\,dt.$$

Es bezeichnet $L(X,Y)$ die Menge der stetigen linearen Abbildungen $T: X\to Y$. Ist $Y=\mathbb{R}$, dann nennen wir $T: X\to\mathbb{R}$ ein Funktional. Dabei heißt eine (nicht notwendig lineare) Abbildung T stetig, wenn das Urbild $T^{-1}(O)=\{x\in X \mid Tx\in O\}$ offener Mengen $O\subseteq Y$ offen in X ist. Dabei verwenden wir die übliche Schreibweise Tx statt $T(x)$. Zu dieser Definition der Stetigkeit sind äquivalent:

(i) Aus $x_n\to x$ folgt $Tx_n\to Tx$.

(ii) Zu jedem $x_0\in X$ und jedem $\varepsilon>0$ existiert ein $\delta=\delta(x_0,\varepsilon)>0$ mit

$$\|Tx-Tx_0\|\le\varepsilon \quad \text{für alle } \|x-x_0\|\le\delta.$$

Insbesondere sind für lineare Abbildungen äquivalent:

(a) T ist stetig, d. h. T ist in jedem Punkt $x\in X$ stetig.

(b) T ist in $x=0$ stetig.

(c) T ist gleichmäßig stetig.

(d) T ist beschränkt, d. h. es existiert eine Zahl $K\ge 0$ mit

$$\|Tx\|\le K\|x\| \quad \text{für alle } x\in X.$$

Die kleinste Zahl $K \geq 0$, mit der (d) gilt, heißt die Operatornorm der linearen Abbildung T und wird mit $\|T\|$ bezeichnet. Für $\|T\|$ gilt

$$\|T\| = \sup_{x \neq 0} \frac{\|Tx\|}{\|x\|} = \sup_{\|x\|=1} \|Tx\| = \sup_{\|x\| \leq 1} \|Tx\|.$$

Der Raum $L(X, \mathbb{R})$ der stetigen linearen Funktional $x^* : X \to \mathbb{R}$ auf dem normierten Raum X heißt der Dualraum von X und wird mit X^* bezeichnet. Ferner schreiben wir $\langle x^*, x \rangle$ statt $x^*(x)$.

Wir wenden uns nun Ableitungsbegriffen für nichtlineare Abbildungen zu. Es seien X, Y normierte Räume, $U \subseteq X$ offen und $F : U \to Y$ eine Abbildung. Existiert in $x_0 \in U$ für jedes $x \in X$ der Grenzwert

$$\lim_{\lambda \to 0^+} \frac{F(x_0 + \lambda x) - F(x_0)}{\lambda} = \delta F(x_0)x,$$

dann heißt die Abbildung $x \to \delta F(x_0)x$ die erste Variation der Abbildung F in x_0. Gibt es ein $T \in L(X, Y)$ mit $Tx = \delta F(x_0)x$, dann heißt F in x_0 Gâteaux-differenzierbar und T die Gâteaux-Ableitung von F in x_0. Ferner heißt F in x_0 Fréchet-differenzierbar und $F'(x_0) = T$ die Fréchet-Ableitung von F in x_0, falls der Grenzwert der Gâteaux-Ableitung bezüglich $\|x\| \leq 1$ gleichmäßig konvergiert. D. h. zu jedem $\varepsilon > 0$ gibt es eine Zahl $\lambda_0 > 0$ mit

$$\left\| \frac{F(x_0 + \lambda x) - F(x_0)}{\lambda} - F'(x_0)x \right\| \leq \varepsilon \quad \text{für alle } 0 < \lambda < \lambda_0,\ \|\xi\| \leq 1.$$

Eine Abbildung F ist in x_0 genau dann Fréchet-differenzierbar, falls ein $T \in L(X, Y)$ und eine Abbildung $r : X \to Y$ mit

$$F(x_0 + x) = F(x_0) + Tx + r(x), \qquad \lim_{\|x\| \to 0} \frac{\|r(x)\|}{\|x\|} = 0.$$

Die Abbildung F nennen wir im Punkt x regulär, wenn sie in diesem Punkt Fréchet-differenzierbar ist und $\operatorname{Im} F'(x) = Y$ gilt. Die Abbildung F ist in x_0 bzw. auf U stetig differenzierbar, wenn für alle Punkte der Menge U die Ableitung $F'(x)$ existiert und die Abbildung $x \to F'(x)$ bezüglich der Operatornorm des Raum $L(X, Y)$ in x_0 bzw. auf U stetig ist.

B.2. Grundprinzipien der Funktionalanalysis

Theorem B.1 (Satz von Hahn-Banach; Fortsetzungsversion)**.** *Sei X ein normierter Raum und U ein Untervektorraum. Zu jedem stetigen linearen Funktional $u^* : U \to \mathbb{R}$ existiert dann ein stetiges lineares Funktional Funktional $x^* : X \to \mathbb{R}$ mit*

$$x^*\big|_U = u^*, \qquad \|x^*\| = \|u^*\|.$$

Jedes stetige lineare Funktional kann also normgleich fortgesetzt werden.

Theorem B.2 (Satz von Hahn-Banach; Trennungsversion)**.** *Sei X ein normierter Raum, $V_1, V_2 \subseteq X$ seien konvex und V_1 offen. Es gelte $V_1 \cap V_2 = \emptyset$. Dann existiert ein $x^* \in X^*$ mit*

$$\langle x^*, v_1 \rangle < \langle x^*, v_2 \rangle \qquad \text{für alle } v_1 \in V_1, v_2 \in V_2.$$

Eine Abbildung T heißt offen, wenn T offene Mengen auf offene Mengen abbildet.

Theorem B.3 (Satz von der offenen Abbildung)**.** *Es seien X, Y Banachräume und $T \in L(X,Y)$ surjektiv. Dann ist T offen.*

Seien X, Y normierte Räume und $T \in L(X,Y)$. Der adjungierte Operator $T^* : Y^* \to X^*$ ist durch

$$\langle T^* y^*, x \rangle = \langle y^*, Tx \rangle$$

erklärt. Offensichtlich folgt daraus $T^* \in L(Y^*, X^*)$. Seien nun $U \subseteq X$ und $V \subseteq X^*$. Wir definieren die Mengen

$$\begin{aligned} U^\perp &= \{x^* \in X^* \mid \langle x^*, x \rangle = 0 \text{ für alle } x \in U\}, \\ V_\perp &= \{x \in X \mid \langle x^*, x \rangle = 0 \text{ für alle } x^* \in V\}. \end{aligned}$$

Lemma B.4 (Satz vom abgeschlossenen Bild)**.** *Seien X, Y Banachräume, und es sei $T \in L(X,Y)$. Dann gelten die Äquivalenzen:*

$$\begin{aligned} \operatorname{Im}(T) \text{ ist abgeschlossen} &\Leftrightarrow \operatorname{Im}(T) = (\operatorname{Ker} T^*)_\perp \\ &\Leftrightarrow \operatorname{Im}(T^*) \text{ ist abgeschlossen} \\ &\Leftrightarrow \operatorname{Im}(T^*) = (\operatorname{Ker} T)^\perp. \end{aligned}$$

Satz B.5 (Fixpunktsatz von Weissinger)**.** *Es sei U eine nichtleere abgeschlossene Teilmenge des Banachraumes X, ferner $\sum_{n=1}^{\infty} a_n$ eine konvergente Reihe positiver Zahlen und $A : U \to U$ eine Selbstabbildung von U mit*

$$\|A^n u - A^n v\| \le a_n \|u - v\| \qquad \text{für alle } u, v \in U,\ n \in \mathbb{N}.$$

Dann besitzt A genau einen Fixpunkt, d. h. es gibt genau ein $u \in U$ mit $Au = u$.
Dieser Fixpunkt ist Grenzwert der Iterationsfolge $u_n = Au_{n-1}, n = 1, 2, ...,$ bei beliebigem Startwert $u_0 \in U$. Schließlich gilt die Fehlerabschätzung

$$\|u - u_n\| \le \|u_1 - u_0\| \cdot \sum_{k=n}^{\infty} a_k.$$

B.3. Der Darstellungssatz von Riesz

Es sei $I \subset \mathbb{R}$ und es bezeichne $\mathscr{M}(I)$ die Menge der regulären Borelschen Maße auf der Borelschen σ-Algebra auf I.

Satz B.6 (Rieszscher Darstellungssatz)**.** *Für $I = [t_0, t_1]$ ist der Dualraum $C^*(I, \mathbb{R})$ des Raumes der stetigen Funktionen $C(I, \mathbb{R}^n)$ isometrisch isomorph zu $\mathscr{M}(I)$ unter der Abbildung*

$$\Lambda : \mathscr{M}(I) \to C^*(I, \mathbb{R}), \qquad \Lambda(\mu)x(\cdot) = \int_I x(t)\, d\mu(t).$$

D. h. zu jedem stetigen linearen Funktional $x^* \in C^*(I, \mathbb{R})$ gibt es genau ein reguläres Borelsches Maß $\mu \in \mathscr{M}(I)$ mit

$$\langle x^*, x(\cdot)\rangle = \int_I x(t)\, d\mu(t), \qquad \|x^*\| = |\mu|(I).$$

Folgerung B.7. *Jedes stetige lineare Funktional $x^* \in C^*([t_0, t_1], \mathbb{R}^n)$ lässt sich auf eindeutige Weise in der Gestalt*

$$\langle x^*, x(\cdot)\rangle = \langle a, x(t_0)\rangle + \sum_{k=1}^{n} \int_{t_0}^{t_1} x_k(t)\, d\mu_k(t)$$

darstellen, wobei $a \in \mathbb{R}^n$ gilt und $\mu_1(\cdot), ..., \mu_n(\cdot)$ normalisierte Funktionen beschränkter Variation sind. Oder äquivalent:

$$\langle x^*, x(\cdot)\rangle = \sum_{k=1}^{n} \int_{t_0}^{t_1} x_k(t)\, d\mu_k(t)$$

mit Funktionen $\mu_1(\cdot), ..., \mu_n(\cdot)$ beschränkter Variation, die mit eventueller Ausnahme des Punktes t_0 rechtsseitig stetig sind.

Satz B.8 (Rieszscher Darstellungssatz)**.** *Der Dualraum $C_0^*(\mathbb{R}_+, \mathbb{R})$ ist isometrisch isomorph zu $\mathscr{M}(\mathbb{R}_+)$ unter der Abbildung*

$$\Lambda : \mathscr{M}(\mathbb{R}_+) \to C_0^*(\mathbb{R}_+, \mathbb{R}), \qquad \Lambda(\mu)x(\cdot) = \int_{\mathbb{R}_+} x(t)\, d\mu(t).$$

Lemma B.9. *Zu jedem stetigen linearen Funktional $x^* \in C_1^*([t_0, t_1], \mathbb{R}^n)$ gibt es eindeutig bestimmte $a, b \in \mathbb{R}^n$ und normalisierte Funktionen beschränkter Variation $\mu_1(\cdot), ..., \mu_n(\cdot)$ derart, dass x^* folgende Darstellung besitzt:*

$$\langle x^*, x(\cdot)\rangle = \langle a, x(t_0)\rangle + \langle b, \dot{x}(t_0)\rangle + \sum_{k=1}^{n} \int_{t_0}^{t_1} \dot{x}_k(t)\, d\mu_k(t).$$

B.4. Zum Verhalten von Funktionen der Sobolev-Räume im Unendlichen

Lemma B.10. *Sei $x(\cdot) \in W_1^1(\mathbb{R}_+, \mathbb{R}^n)$. Dann gilt nach Magill [44]:*

$$\lim_{t\to\infty} \|x(t)\| = 0.$$

Beweis Da $x(\cdot) \in W_1^1(\mathbb{R}_+, \mathbb{R}^n)$ ist, gilt die Darstellung

$$x(t) = x(0) + \int_0^t \dot{x}(s)\, ds, \quad t \in \mathbb{R}_+.$$

Darin ist der Integralterm über $\mathbb{R}_+$ absolut integrierbar. Also besitzt $x(t)$ einen Grenzwert für $t \to \infty$. Dieser muss gleich Null sein, da $x(\cdot)$ über $\mathbb{R}_+$ integrierbar ist. ■

Es sei im Weiteren $\nu(\cdot) \in W_1^1(\mathbb{R}_+, \mathbb{R})$ eine Gewichtsfunktion, zu der eine Konstante $K > 0$ mit $|\dot{\nu}(t)| \le K\nu(t)$ für alle $t \in \mathbb{R}_+$ existiert.

Lemma B.11. *Es sei $x(\cdot) \in W_2^1(\mathbb{R}_+, \mathbb{R}^n; \nu)$. Wir betrachten die Funktionen*

$$f(t) = \|x(t)\|^2\nu(t), \qquad \psi(t) = \nu(t)x(t).$$

Dann gelten $f(\cdot) \in W_1^1(\mathbb{R}_+, \mathbb{R})$, $\psi(\cdot) \in W_1^1(\mathbb{R}_+, \mathbb{R}^n)$ und damit nach Lemma B.10:

$$\lim_{t\to\infty} f(t) = 0, \qquad \lim_{t\to\infty} \|\psi(t)\| = 0.$$

Beweis Wir schreiben $f(\cdot)$ in der Form $f(t) = \langle x(t), x(t)\rangle\nu(t)$. Dann erhalten wir unmittelbar die verallgemeinerte Ableitung

$$\dot{f}(t) = 2\langle x(t), \dot{x}(t)\rangle\nu(t) + \|x(t)\|^2\dot{\nu}(t).$$

Bei Anwendung der Beziehungen

$$\big|\langle x(t), \dot{x}(t)\rangle\nu(t)\big|^2 \le \|x(t)\|^2\nu(t) \cdot \|\dot{x}(t)\|^2\nu(t)$$

ergibt sich mit der Cauchy-Schwarzschen Ungleichung:

$$\|\dot{f}(\cdot)\|_{L_1} + \|f(\cdot)\|_{L_1} \le 2 \cdot \|\dot{x}(\cdot)\|_{L_2(\nu)} \cdot \|x(\cdot)\|_{L_2(\nu)} + (1+K) \cdot \|x(\cdot)\|^2_{L_2(\nu)}.$$

Die Funktion $\psi(\cdot)$ besitzt eine verallgemeinerte Ableitung und wir erhalten wegen der Eigenschaften der Gewichtsfunktion $\nu(\cdot)$ und mit der Cauchy-Schwarzschen Ungleichung

$$\|\psi(\cdot)\|_{L_1} \le \|\nu(\cdot)\|^{1/2}_{L_1} \cdot \|x(\cdot)\|_{L_2(\nu)}, \quad \|\dot{\psi}(\cdot)\|_{L_1} \le (1+K)\|\nu(\cdot)\|^{1/2}_{L_1} \cdot \|x(\cdot)\|_{W_2^1(\nu)}.$$

Damit sind alle Behauptungen gezeigt. ■

Lemma B.12. *Es seien $x(\cdot) \in W_2^1(\mathbb{R}_+, \mathbb{R}^n; \nu)$ und $y(\cdot) \in W_2^1(\mathbb{R}_+, \mathbb{R}^n; \nu^{-1})$. Wir setzen:*

$$g(t) = \|y(t)\|^2 \nu^{-1}(t), \qquad h(t) = \langle x(t), y(t) \rangle.$$

Dann gelten $g(\cdot), h(\cdot) \in W_1^1(\mathbb{R}_+, \mathbb{R})$ und nach Lemma B.10:

$$\lim_{t \to \infty} g(t) = 0, \qquad \lim_{t \to \infty} h(t) = 0.$$

Beweis Wir bringen $g(\cdot)$ in die Gestalt $g(t) = \langle y(t), y(t) \rangle \nu^{-1}(t)$. Dann erhalten wir die verallgemeinerte Ableitung

$$\dot{g}(t) = 2\langle y(t), \dot{y}(t) \rangle \nu^{-1}(t) + \|y(t)\|^2 \cdot \frac{d}{dt} \nu^{-1}(t).$$

Bei Anwendung der Ungleichung

$$\big| \langle y(t), \dot{y}(t) \rangle \nu^{-1}(t) \big|^2 \leq \|y(t)\|^2 \nu^{-1}(t) \cdot \|\dot{y}(t)\|^2 \nu^{-1}(t)$$

ergibt sich mit der Cauchy-Schwarzschen Ungleichung:

$$\|\dot{g}(\cdot)\|_{L_1} + \|g(\cdot)\|_{L_1} \leq 2 \cdot \|\dot{y}(\cdot)\|_{L_2(\nu^{-1})} \cdot \|y(\cdot)\|_{L_2(\nu^{-1})} + (1 + K) \cdot \|y(\cdot)\|^2_{L_2(\nu^{-1})}.$$

Die Funktion $h(\cdot)$ besitzt eine verallgemeinerte Ableitung und es gilt

$$\begin{aligned} \|h(\cdot)\|_{L_1} &\leq \|y(\cdot)\|_{L_2(\nu^{-1})} \cdot \|x(\cdot)\|_{L_2(\nu)}, \\ \|\dot{h}(\cdot)\|_{L_1} &\leq \|\dot{y}(\cdot)\|_{L_2(\nu^{-1})} \cdot \|x(\cdot)\|_{L_2(\nu)} + \|y(\cdot)\|_{L_2(\nu^{-1})} \cdot \|\dot{x}(\cdot)\|_{L_2(\nu)}. \end{aligned}$$

Damit ist Lemma B.12 gezeigt. ■

B.5. Der Satz von Ljusternik

Definition B.13 (Lokaler Tangentialkegel)**.** *Sei X ein Banachraum und $x_0 \in M \subseteq X$. Mit $\mathscr{C}(M, x_0)$ bezeichnen wir die Menge aller Elemente $x \in X$, zu denen ein $\varepsilon_0 > 0$ und eine Abbildung $r(\varepsilon) : [0, \varepsilon_0] \to X$ mit den Eigenschaften*

$$\lim_{\varepsilon \to 0^+} \frac{\|r(\varepsilon)\|}{\varepsilon} = 0 \qquad \textit{und} \qquad x_0 + \varepsilon x + r(\varepsilon) \in M \quad \textit{für alle } \varepsilon \in [0, \varepsilon_0]$$

existieren. $\mathscr{C}(M, x_0)$ heißt der lokale Tangentialkegel an die Menge M im Punkt x_0.

Theorem B.14 (Satz von Ljusternik)**.** *Es seien X und Y Banachräume, V eine Umgebung des Punktes $x_* \in X$ und F eine Fréchet-differenzierbare Abbildung der Menge V in Y. Wir setzen voraus, die Abbildung F sei regulär im Punkt x_*, d. h., es gelte*

$$\operatorname{Im} F'(x_*) = Y,$$

außerdem sei ihre Ableitung in diesem Punkt in der gleichmäßigen Operatorentopologie des Raumes $L(X,Y)$ stetig. Dann stimmt der lokale Tangentialkegel an die Menge

$$M = \big\{x \in V \,\big|\, F(x) = F(x_*)\big\}$$

im Punkt x_* mit dem Kern des Operators $F'(x_*)$ überein:

$$\mathscr{C}(M, x_*) = \operatorname{Ker} F'(x_*).$$

Lemma B.15. *Es seien X und Y Banachräume und $\Lambda : X \to Y$ ein stetiger linearer Operator. Wir setzen*

$$C(\Lambda) := \sup_{y \neq 0} \left(\frac{\inf\{\|x\| \,|\, x \in X, \Lambda x = y\}}{\|y\|} \right).$$

Wenn $\operatorname{Im}\Lambda = Y$ gilt, so ist $C(\Lambda) < \infty$.

Theorem B.16 (Der verallgemeinerte Satz von Ljusternik)**.** *Es seien X und Y Banachräume, $\Lambda : X \to Y$ ein stetiger linearer Operator und F eine Abbildung einer gewissen Umgebung V des Punktes $x_* \in X$ in Y. Wir setzen voraus, es sei $\operatorname{Im}\Lambda = Y$ und es gebe eine Zahl $\delta > 0$ derart, dass erstens*

$$\delta C(\Lambda) < \frac{1}{2}$$

und zweitens

$$\|F(x) - F(x') - \Lambda(x - x')\| \leq \delta \|x - x'\| \tag{B.1}$$

für alle x, x' aus V gilt. Dann existieren eine Umgebung $V' \subseteq V$ des Punktes x_*, eine Zahl $K > 0$ und eine Abbildung $\xi \to x(\xi)$ der Umgebung V' in X derart, dass die Beziehungen

$$F\big(\xi + x(\xi)\big) = F(x_*) \qquad \text{und} \qquad \|x(\xi)\| \leq K\|F(\xi) - F(x_*)\|$$

für alle $\xi \in V'$ erfüllt sind.

C. Elemente der Konvexen Analysis

Bei der Zusammenstellung der grundlegenden Ergebnisse beschränken wir uns auf die Eigenschaften konvexer und lokalkonvexer Funktionen nach Clarke [13], Ioffe & Tichomirov [38] und Rockafellar [57]. Im vorliegenden Rahmen stimmen die klassische Richtungsableitung und der Clarkesche Gradient überein. Deswegen verweisen wir bezüglich Lemma C.1 und bezüglich der Kettenregel C.3 auf [38].

C.1. Das Subdifferential konvexer Funktionen

Es seien X, Y Banachräume. Eine Funktion f auf X ist in der Konvexen Analysis eine Abbildung in die erweiterte reelle Zahlengerade, d. h. $f : X \to \overline{\mathbb{R}} = [-\infty, \infty]$. Der effektive Definitionsbereich der Abbildung f ist die Menge $\operatorname{dom} f = \{x \in X | f(x) < \infty\}$. Die Funktion f heißt eigentlich, falls $\operatorname{dom} f \neq \emptyset$ und $f(x) > -\infty$ für alle $x \in X$.
Die eigentliche Funktion f heißt konvex, wenn für alle $x_1, x_2 \in X$ und alle $0 \leq \alpha \leq 1$ folgende Ungleichung gilt:

$$f\big(\alpha x_1 + (1-\alpha)x_2\big) \leq \alpha f(x_1) + (1-\alpha) f(x_2).$$

Die Funktion f heißt homogen, falls $f(0) = 0$ und $f(\lambda x) = \lambda f(x)$ für alle $x \in X$, $\lambda > 0$ ist. Eine eigentliche konvexe Funktion ist genau dann in einem Punkt stetig, wenn sie auf einer Umgebung dieses Punktes nach oben beschränkt ist. In diesem Fall ist das Innere des effektiven Definitionsbereichs nichtleer. Ist andererseits eine homogene Funktion auf einer Umgebung des Nullpunktes stetig, so ist sie auf X stetig.

Ist f eine eigentliche konvexe Funktion auf X, dann existiert in jedem Punkt der Menge $\operatorname{dom} f$ die klassische Richtungsableitung, d. h. für alle $z \in X$ der Grenzwert

$$f'(x; z) = \lim_{\lambda \to 0^+} \frac{f(x + \lambda z) - f(x)}{\lambda}.$$

Sei f eigentlich, konvex und in x stetig. Dann ist f auf einer Umgebung des Punktes x nach oben beschränkt, in x lokal Lipschitz-stetig und es existiert der Clarkesche Gradient

$$f^\circ(x; z) = \limsup_{\substack{y \to x \\ \lambda \to 0^+}} \frac{f(y + \lambda z) - f(y)}{\lambda}.$$

Unter diesen Voraussetzungen ist außerdem die Funktion f ist im Punkt x regulär im Sinn der Konvexen Analysis, d. h. $f'(x; \cdot) = f^\circ(x; \cdot)$.

Das Subdifferential der eigentlichen konvexen Funktion f besteht im Punkt x aus allen Subgradienten $x^* \in X^*$, d. h.

$$\partial f(x) = \{x^* \in X^* | f(z) - f(x) \geq \langle x^*, z - x \rangle \text{ für alle } z \in X\}.$$

Für eine eigentliche konvexe Funktion f gilt $\partial f(x) = \partial f'(x; 0)$ für alle $x \in \operatorname{dom} f$. Ist f eine eigentliche homogene konvexe Funktion und $x \neq 0$, dann ist

$$\partial f(x) = \{x^* \in \partial f(0) | f(x) = \langle x^*, x \rangle\}.$$

Mit $\partial_x f(x, y)$ bezeichnen wir das Subdifferential der Abbildung $x \to f(x, y)$.

C.2. Lokalkonvexe Funktionen

Es seien X, Y Banachräume. Eine auf X definierte Funktion G heißt im Punkt x_0 lokalkonvex, wenn ihre Richtungsableitung in diesem Punkt existiert und $x \to G'(x_0; x)$ konvex ist. Im Folgenden seien $g : X \to Y$ im Punkt $x_0 \in X$ Fréchet-differenzierbar und $f : Y \to \overline{\mathbb{R}}$ eigentlich, konvex und im Punkt $g(x_0)$ stetig.

Lemma C.1. *Die Funktion $G : X \to \overline{\mathbb{R}}$, $G(x) = f\big(g(x)\big)$, besitzt in x_0 eine klassische Richtungsableitung, es gilt*

$$G'(x_0; x) = f'\big(g(x_0); g'(x_0)x\big)$$

und die Richtungsableitung konvergiert bezüglich jeder Richtung x gleichmäßig:

$$\left|\frac{G(x_0 + \lambda z) - G(x_0)}{\lambda} - G'(x_0; x)\right| < \varepsilon \quad \textit{für alle } z \in U(x),\ 0 < \lambda < \lambda_0.$$

Lemma C.2. *Die Funktion $G(x) = f\big(g(x)\big)$ ist in x_0 regulär.*

Beweis Nach Definition des lim sup existieren Folgen $x_n \to x_0$ und $\lambda_n \to 0^+$ mit

$$\lim_{n\to\infty} \frac{G(x_n + \lambda_n x) - G(x_n)}{\lambda_n} = G^\circ(x_0; x).$$

Daher erhalten wir

$$\begin{aligned} G^\circ(x_0; x) &= \lim_{n\to\infty} \frac{G(x_n + \lambda_n x) - G(x_n)}{\lambda_n} = \lim_{n\to\infty} \frac{f\big(g(x_n + \lambda_n x)\big) - f\big(g(x_n)\big)}{\lambda_n} \\ &\le \limsup_{\substack{y\to x \\ \lambda\to 0^+}} \frac{f\big(g(y + \lambda x)\big) - f\big(g(y)\big)}{\lambda} = f'\big(g(x_0); g'(x_0)x\big) = G'(x_0; x). \end{aligned}$$

Andererseits folgt unmittelbar die Relation

$$G'(x_0; x) = \lim_{\lambda\to 0^+} \frac{G(x_0 + \lambda x) - G(x_0)}{\lambda} \le \limsup_{\substack{y\to x \\ \lambda\to 0^+}} \frac{G(y + \lambda x) - G(y)}{\lambda} = G^\circ(x_0; x).$$

Beide Ungleichungen zeigen $G'(x_0; \cdot) = G^\circ(x_0; \cdot)$. ■

Satz C.3. *(Kettenregel) Es seien $g : X \to Y$ im Punkt $x_0 \in X$ Fréchet-differenzierbar und $f : Y \to \overline{\mathbb{R}}$ eigentlich, konvex und im Punkt $g(x_0)$ stetig. Dann ist die Funktion $G(x) = f\big(g(x)\big)$ im Punkt x_0 regulär und es gilt*

$$\partial G(x_0) = g'^*(x_0)\partial f\big(g(x_0)\big).$$

C.3. Das Subdifferential der Funktion $G\big(x(\cdot)\big) = \max\limits_{t\in[t_0,t_1]} g\big(t, x(t)\big)$

Es sei $[t_0, t_1] \subset \mathbb{R}$ ein kompaktes Intervall. Im Raum $C([t_0, t_1], \mathbb{R})$ betrachten wir die Funktion

$$f\big(x(\cdot)\big) = \max_{t\in[t_0,t_1]} x(t).$$

Diese Funktion ist stetig, konvex und homogen. Das Subdifferential $\partial f(0)$ besteht nach Definition aus denjenigen signierten regulären Borelschen Maßen μ auf $[t_0, t_1]$, die der Bedingung

$$\max_{t\in[t_0,t_1]} x(t) \geq \int_{t_0}^{t_1} x(t)\, d\mu(t) \qquad \text{für alle } x(\cdot) \in C([t_0, t_1], \mathbb{R})$$

genügen. Hieraus folgt, dass das Maß μ nichtnegativ ist und $\|\mu\| = 1$ gilt, denn man erhält für $-x(t)$ nach obiger Ungleichung

$$\int_{t_0}^{t_1} x(t)\, d\mu(t) \geq -\max_{t\in[t_0,t_1]} \big(-x(t)\big) = \min_{t\in[t_0,t_1]} x(t).$$

Ist daher $x(t) \geq 0$ für alle $t \in [t_0, t_1]$, so ist auch $\int\limits_{t_0}^{t_1} x(t)\, d\mu(t) \geq 0$ und μ ist positiv. Weiterhin gehören alle $\mu \geq 0$ mit $\|\mu\| = 1$ zu $\partial f(0)$, denn für diese ist die Relation

$$\max_{t\in[t_0,t_1]} x(t) = \max_{t\in[t_0,t_1]} x(t) \cdot \int_{t_0}^{t_1} d\mu(t) = \int_{t_0}^{t_1} \max_{t\in[t_0,t_1]} x(t)\, d\mu(t) \geq \int_{t_0}^{t_1} x(t)\, d\mu(t)$$

für alle $x(\cdot) \in C([t_0, t_1], \mathbb{R})$ erfüllt.
Offenbar ist auch umgekehrt, wenn $\mu \geq 0$ ist und Norm Eins hat, die Ungleichung

$$\max_{t\in[t_0,t_1]} x(t) \geq \int_{t_0}^{t_1} x(t)\, d\mu(t)$$

richtig. Somit haben wir das Subdifferential der Funktion f im Nullpunkt berechnet.

Für $x(\cdot) \neq 0$ gilt für die eigentliche homogene konvexe Funktion $f\big(x(\cdot)\big)$:

$$\partial f\big(x(\cdot)\big) = \big\{x^* \in \partial f(0) \big| \langle x^*, x(\cdot)\rangle = f\big(x(\cdot)\big)\big\},$$

wobei $\partial f(0)$ die regulären Borelschen Maße mit $\|\mu\| = 1$ enthält. Wir zeigen, dass die Maße $\mu \in \partial f\big(x(\cdot)\big)$ auf den Mengen

$$T = \left\{\tau \in [t_0, t_1] \,\middle|\, x(\tau) = \max_{t\in[t_0,t_1]} x(t)\right\}$$

konzentriert sind: Der Kürze halber bezeichne M das Maximum von $x(t)$ auf $[t_0, t_1]$. Die Menge $[t_0, t_1] \setminus T$ ist offen, da T abgeschlossen ist. Angenommen, es existiert eine meßbare Menge $B \subseteq [t_0, t_1]$ mit $B \cap T = \emptyset$ und $\mu(B) > 0$. Dann gilt

$$\int_B x(t)\, d\mu(t) < \int_B M\, d\mu(t) \Rightarrow \int_{[t_0,t_1]\setminus T} x(t)\, d\mu(t) < \int_{[t_0,t_1]\setminus T} M\, d\mu(t),$$

und damit folgt der Widerspruch

$$\begin{aligned}\max_{t\in[t_0,t_1]} x(t) = \int_{t_0}^{t_1} M\,d\mu(t) &= \int_T M\,d\mu(t) + \int_{[t_0,t_1]\setminus T} M\,d\mu(t)\\ &> \int_T M\,d\mu(t) + \int_{[t_0,t_1]\setminus T} x(t)\,d\mu(t) = \int_{t_0}^{t_1} x(t)\,d\mu(t).\end{aligned}$$

Ist umgekehrt $\mu \geq 0$ und besitzt Norm Eins, dann gehört μ der Menge $\partial f(0)$ an. Wenn μ zusätzlich auf der Menge T konzentriert ist, dann ist auch

$$\max_{t\in[t_0,t_1]} x(t) = \int_{t_0}^{t_1} x(t)\,d\mu(t)$$

erfüllt. Damit besteht das Subdifferential der Funktion f in einem vom Nullpunkt verschiedenen Punkt $x(\cdot)$ aus den regulären Borelschen Maßen auf $[t_0,t_1]$, deren Norm gleich Eins ist und die auf der Menge T konzentriert sind.

Es sei $g(t,x)$ eine Funktion auf $[t_0,t_1]\times\mathbb{R}^n$, die bezüglich beider Veränderlicher stetig und für jedes $t\in[t_0,t_1]$ nach x stetig differenzierbar ist. D. h., dass die Abbildung $g_x(t,x)$ in der Gesamtheit der Variablen stetig ist. Unter diesen Voraussetzungen ist die Abbildung

$$\tilde g : C([t_0,t_1],\mathbb{R}^n) \to C([t_0,t_1],\mathbb{R}), \qquad \big[\tilde g\big(x(\cdot)\big)\big](t) = g\big(t,x(t)\big), \quad t\in[t_0,t_1],$$

Fréchet-differenzierbar und es gilt

$$\big[\tilde g'\big(x(\cdot)\big)z(\cdot)\big](t) = \big\langle g_x\big(t,x(t)\big), z(t)\big\rangle, \qquad t\in[t_0,t_1].$$

Weiterhin ist die Funktion $f\big(x(\cdot)\big) = \max\limits_{t\in[t_0,t_1]} x(t)$ auf $C([t_0,t_1],\mathbb{R})$ stetig. Somit können wir zur Berechnung des Subdifferentials der Funktion G die Kettenregel (Satz C.3) anwenden:

$$\partial G\big(x(\cdot)\big) = \tilde g'^*\big(x(\cdot)\big)\partial f\big(\tilde g\big(x(\cdot)\big)\big).$$

Für $x^*\in \tilde g'^*\big(x(\cdot)\big)\partial f\big(\tilde g\big(x(\cdot)\big)\big)$ und $z(\cdot)\in C([t_0,t_1],\mathbb{R}^n)$ gilt dann:

$$\big\langle x^*, z(\cdot)\big\rangle = \big\langle \tilde g'^*\big(x(\cdot)\big)\,\mu, z(\cdot)\big\rangle = \big\langle \mu, \tilde g'\big(x(\cdot)\big)z(\cdot)\big\rangle = \int_{t_0}^{t_1} \big\langle g_x\big(t,x(t)\big), z(t)\big\rangle\,d\mu(t).$$

Daher besteht das Subdifferential der Funktion G im Punkt $x(\cdot)$ genau aus denjenigen stetigen linearen Funktionalen x^*, die die Darstellung

$$\big\langle x^*, z(\cdot)\big\rangle = \int_{t_0}^{t_1} \big\langle g_x\big(t,x(t)\big), z(t)\big\rangle\,d\mu(t)$$

besitzen, wobei das reguläre Borelsches Maß μ auf $T = \big\{t\in[t_0,t_1]\,\big|\,g\big(t,x(t)\big) = G\big(x(\cdot)\big)\big\}$ konzentriert ist und $\|\mu\| = 1$ gilt.

C.4. Das Subdifferential der Funktion $G\big(x(\cdot)\big) = \sup\limits_{t\in\mathbb{R}_+} g\big(t, x(t)\big)$

Im Raum $C_0(\mathbb{R}_+, \mathbb{R})$ betrachten wir die stetige, konvexe und homogene Funktion

$$f\big(x(\cdot)\big) = \sup_{t\in\mathbb{R}_+} x(t).$$

Das Subdifferential $\partial f(0)$ besteht nach Definition aus denjenigen signierten regulären Borelschen Maßen μ über $\mathbb{R}_+$, die der Bedingung

$$\sup_{t\in\mathbb{R}_+} x(t) \geq \int_0^\infty x(t)\, d\mu(t)$$

für alle $x(\cdot) \in C_0(\mathbb{R}_+, \mathbb{R})$ genügen. Damit ist das Maß μ nichtnegativ, aber im Gegensatz zum Abschnitt C.3 erhalten wir lediglich $\|\mu\| \leq 1$. Denn für die Funktion $x(t) = -e^{-t}$ ist diese Ungleichung genau dann erfüllt, wenn $\|\mu\| = 0$ gilt.
Umgekehrt gilt, wenn $\mu \geq 0$ und $\|\mu\| \leq 1$, die Ungleichung

$$\sup_{t\in\mathbb{R}_+} \zeta(t) \geq \sup_{t\in\mathbb{R}_+} \zeta(t) \cdot \int_0^\infty d\mu(t) = \int_0^\infty \sup_{t\in\mathbb{R}_+} \zeta(t)\, d\mu(t) \geq \int_0^\infty \zeta(t)\, d\mu(t)$$

für alle $\zeta(\cdot) \in C_0(\mathbb{R}_+, \mathbb{R})$. Damit besteht das Subdifferential der Funktion f in $x(\cdot) = 0$ aus allen regulären Borelschen Maßen mit $\|\mu\| \leq 1$.

Für $x(\cdot) \neq 0$ gilt für die eigentliche homogene konvexe Funktion $f\big(x(\cdot)\big)$:

$$\partial f\big(x(\cdot)\big) = \big\{x^* \in \partial f(0) \big| \langle x^*, x(\cdot)\rangle = f\big(x(\cdot)\big)\big\}.$$

Wir müssen an dieser Stelle die Unterscheidung treffen, ob die Funktion $x(\cdot) \in C_0(\mathbb{R}_+, \mathbb{R})$ ein Maximum besitzt oder nicht. Die Funktion $x(\cdot)$ besitzt genau dann kein Maximum über $\mathbb{R}_+$, wenn $x(t) < 0$ für alle t gilt. In diesem Fall erhalten wir

$$0 = \sup_{t\in\mathbb{R}_+} x(t) = \int_{\mathbb{R}_+} x(t)\, d\mu(t) \qquad \Leftrightarrow \qquad \|\mu\| = 0.$$

Nimmt die Funktion $x(\cdot)$ ihr Maximum über $\mathbb{R}_+$ an, dann gilt $\|\mu\| = 1$ und μ ist auf der Menge $T = \big\{t \in \mathbb{R}_+ \,\big|\, x(t) = f\big(x(\cdot)\big)\big\}$ konzentriert.

Unter den Voraussetzungen des Kapitels 6 ist die Abbildung

$$\tilde{g} : C_0(\mathbb{R}_+, \mathbb{R}^n) \to C_0(\mathbb{R}_+, \mathbb{R}), \qquad \big[\tilde{g}\big(x(\cdot)\big)\big](t) = g\big(t, x(t)\big), \quad t \in \mathbb{R}_+,$$

Fréchet-differenzierbar und es gilt

$$\big[\tilde{g}'\big(x(\cdot)\big)z(\cdot)\big](t) = \big\langle g_x\big(t, x(t)\big), z(t)\big\rangle, \qquad t \in \mathbb{R}_+.$$

Somit können wir zur Berechnung des Subdifferentials der Funktion G die Kettenregel (Satz C.3) anwenden und erhalten für $x^* \in \partial\partial G\big(x(\cdot)\big)$:

$$\langle x^*, z(\cdot)\rangle = \int_0^\infty \big\langle g_{jx}\big(t, x(t)\big), z(t)\big\rangle d\mu(t).$$

Für das Maß μ müssen dabei folgende Fälle unterschieden werden:

(a) Ist $\tilde{g}\big(x(\cdot)\big) = 0$, so besitzt das Maß μ eine Totalvariation $\|\mu\| \leq 1$.

(b) Ist $\tilde{g}\big(x(\cdot)\big) \neq 0$ und besitzt kein Maximum über $\mathbb{R}_+$, so ist $\|\mu\| = 0$.

(c) Ist $\tilde{g}\big(x(\cdot)\big) \neq 0$ und besitzt ein Maximum über $\mathbb{R}_+$, so ist $\|\mu\| = 1$ und μ ist auf der Menge $T = \big\{t \in \mathbb{R}_+ \,\big|\, g\big(t, x(t)\big) = G\big(x(\cdot)\big)\big\}$ konzentriert.

D. Differentialgleichungen

Ein grundlegende Einführung zu Differentialgleichung liefert Heuser [35]. Bei Differentialgleichung mit messbaren rechten Seiten verweisen wir auf Filippov [22]. Wir erweitern im Folgenden die Darstellung zu linearen Differentalgleichungssysteme bei Ioffe & Tichomirov [38] um einfache Eigenschaften über dem unbeschränkten Intervall $\mathbb{R}_+$. Die Grundlage dazu bildet die Gewichtsfunktion $\nu(\cdot)$.

D.1. Lineare Differentialgleichungen

Wir befassen uns mit dem linearen Differentialgleichungssystem

$$\dot{x}(t) = A(t)x(t) + a(t).$$

Dabei sind $A(t) \in \mathbb{R}^{n\times n}$ und $a(t) \in \mathbb{R}^n$ für alle t.

Lemma D.1. *Es sei $\nu(\cdot) \in W_1^1(\mathbb{R}_+, \mathbb{R})$ positiv und monoton fallend mit $t \cdot \nu(t) \to 0$ für $t \to \infty$. Ferner seien die Abbildungen $A(\cdot)$ und die Vektorfunktion $a(\cdot)$ auf $\mathbb{R}_+$ meßbar und beschränkt. Dann existiert zu jedem $\zeta(\cdot) \in C_0(\mathbb{R}_+, \mathbb{R}^n)$ und jedem $\tau \in \mathbb{R}_+$ eine eindeutig bestimmte Vektorfunktion $x(\cdot) \in C_0(\mathbb{R}_+, \mathbb{R}^n)$ derart, dass für alle $t \in \mathbb{R}_+$ die Gleichung*

$$\zeta(t) = x(t) - \nu(t) \int_\tau^t \big[A(s)x(s) + a(s)\big]\, ds$$

erfüllt ist.

Beweis Der Operator T,

$$x(\cdot) \to T\big(x(\cdot)\big), \quad T\big(x(\cdot)\big)(t) = \zeta(t) + \nu(t) \cdot \int_\tau^t \big[A(s)x(s) + a(s)\big]\, ds, \quad t \in \mathbb{R}_+,$$

bildet den Raum $C_0(\mathbb{R}_+, \mathbb{R}^n)$ in sich ab:

$$\big\|T\big(x(\cdot)\big)(t)\big\| \le \|\zeta(t)\| + \big(\|A(\cdot)\|_{L_\infty}\|x(\cdot)\|_\infty + \|a(\cdot)\|_{L_\infty}\big)[t\cdot\nu(t)] \to 0 \quad \text{für } t\to\infty.$$

Zur abkürzenden Schreibweise seien

$$c(t) = \|A(t)\|, \qquad C(t) = \int_\tau^t \nu(s)c(s)\,ds, \qquad c_0 = \|A(\cdot)\|_{L_\infty}\cdot\|\nu(\cdot)\|_{L_1}.$$

Dabei gilt $C(t) \le c_0$ für alle $t \in \mathbb{R}_+$. Dann erhalten wir bei mehrfacher Anwendung des Operators T für $x_1(\cdot), x_2(\cdot) \in C_0(\mathbb{R}_+, \mathbb{R}^n)$ die Beziehungen

$$\begin{aligned}
\big\|\big[T\big(x_1(\cdot)-x_2(\cdot)\big)\big](t)\big\| &\le \nu(t)\int_\tau^t c(s)\,ds\cdot\|x_1(\cdot)-x_2(\cdot)\|_\infty\\
&\le \int_\tau^t \nu(s)c(s)\,ds\cdot\|x_1(\cdot)-x_2(\cdot)\|_\infty = C(t)\cdot\|x_1(\cdot)-x_2(\cdot)\|_\infty\\
\big\|\big[T^2\big(x_1(\cdot)-x_2(\cdot)\big)\big](t)\big\| &\le \nu(t)\int_\tau^t c(s)\big\|\big[T\big(x_1(\cdot)-x_2(\cdot)\big)\big](s)\big\|\,ds\\
&\le \int_\tau^t \nu(s)c(s)C(s)\,ds\cdot\big\|x_1(\cdot)-x_2(\cdot)\big\|_\infty = \frac{1}{2}C^2(t)\cdot\|x_1(\cdot)-x_2(\cdot)\|_\infty,\\
&\dots\\
\big\|\big[T^m\big(x_1(\cdot)-x_2(\cdot)\big)\big](t)\big\| &\le \nu(t)\int_\tau^t c(s)\big\|\big[T^{m-1}\big(x_1(\cdot)-x_2(\cdot)\big)\big](s)\big\|\,ds\\
&\le \int_\tau^t \nu(s)c(s)\frac{C^{m-1}(t)}{(m-1)!}\,ds\cdot\big\|x_1(\cdot)-x_2(\cdot)\big\|_\infty = \frac{C^m(t)}{m!}\cdot\|x_1(\cdot)-x_2(\cdot)\|_\infty.
\end{aligned}$$

In der Topologie des Raumes $C_0(\mathbb{R}_+, \mathbb{R}^n)$ gilt daher

$$\big\|T^m\big(x_1(\cdot)-x_2(\cdot)\big)\big\|_\infty \le \frac{c_0^m}{m!}\cdot\|x_1(\cdot)-x_2(\cdot)\|_\infty.$$

Die Zahlen $a_m = \frac{c_0^m}{m!}$ liefern eine Folge, deren Reihe konvergiert. Nach dem Fixpunktsatz von Weissinger (Satz B.5) existiert daher genau ein $x(\cdot)$ mit $x(\cdot) = Tx(\cdot)$. ■

Lemma D.2. *Es seien die Abbildungen $A(\cdot)$ und die Vektorfunktion $a(\cdot)$ auf $[t_0, t_1]$ integrierbar. Dann existiert zu jedem $\zeta(\cdot) \in C([t_0, t_1], \mathbb{R}^n)$ und jedem $\tau \in [t_0, t_1]$ eine eindeutig bestimmte Vektorfunktion $x(\cdot) \in C([t_0, t_1], \mathbb{R}^n)$ derart, dass für alle $t \in [t_0, t_1]$ die Gleichung*

$$\zeta(t) = x(t) - \int_\tau^t \big[A(s)x(s) + a(s)\big]\,ds$$

erfüllt ist.

Beweis Verwende im Beweis von Lemma D.1 $\nu(t) \equiv 1$ auf $[t_0, t_1]$ und $c_0 = \|A(\cdot)\|_{L_1}$. ■

Satz D.3. *Es seien die Abbildung $A(\cdot)$ und die Vektorfunktion $a(\cdot)$ auf $[t_0, t_1]$ integrierbar. Dann existiert zu jedem $\zeta \in \mathbb{R}^n$ und jedem $\tau \in [t_0, t_1]$ eine eindeutig bestimmte Lösung $x(\cdot)$ der Gleichung*

$$\dot{x}(t) = A(t)x(t) + a(t), \qquad x(\tau) = \zeta.$$

Beweis Die Behauptung folgt unmittelbar aus Lemma D.2, wenn wir $\zeta(t) \equiv \zeta$ setzen. ■

D.2. Carathéodory-Gleichung, Existenz- und Eindeutigkeitssatz

Die Abbildung $\varphi(t, x)$ genügt auf der Menge $T \times V \subseteq \mathbb{R} \times \mathbb{R}^n$ einer Lipschitz-Bedingung in x, wenn für alle $(t, x), (t, x') \in T \times V$ die Ungleichung

$$\|\varphi(t, x) - \varphi(t, x')\| \leq L\|x - x'\|$$

mit einer Konstanten $L >$ erfüllt ist. Die Abbildung $\varphi(t, x)$ heißt lokal vom Lipschitz-Typ in x, wenn jeder Punkt in eine Umgebung eingebettet werden kann, in der die Abbildung $\varphi(t, x)$ durch eine integrierbare Funktion beschränkt ist und einer Lipschitz-Bedingung in x genügt. Die Abbildung $\varphi(t, x)$ genügt auf $T \times V$ einer Carathéodory-Bedingung, wenn für jedes $t \in T$ die Abbildung $x \to \varphi(t, x)$ auf V stetig und für jedes $x \in V$ die Abbildung $t \to \varphi(t, x)$ auf T messbar ist.

Im Folgenden befassen wir uns mit dem nichtlinearen Differentialgleichungssystem

$$\dot{x}(t) = \varphi\big(t, x(t)\big).$$

Erfüllt darin die Abbildung $\varphi(t, x)$ eine Carathéodory-Bedingung, dann sprechen wir von einer Carathéodory-Gleichung. Jede Lösung $x(\cdot)$ einer Carathéodory-Gleichung nennen wir eine Lösung im Sinn von Carathéodory.

Satz D.4 (Existenz- und Eindeutigkeitssatz)**.** *In einem Gebiet $\Omega = T \times V \subseteq \mathbb{R} \times \mathbb{R}^n$ sei die Abbildung $\varphi(t, x) : \Omega$ to$\mathbb{R}^n$ definiert, in t messbar und in x lokal vom Lipschitz-Typ. Dann lassen sich zu jedem Punkt $(t_0, x_0) \in \Omega$ ein den Punkt t_0 als inneren Punkt enthaltendes Intervall T_0 und eine Umgebung V_0 von x_0 angeben derart, dass $T_0 \times V_0 \subseteq \Omega$ gilt und zu jedem $z_0 \in V_0$ genau eine Lösung $x_z(t)$ im Sinn von Carathéodory der Gleichung $\dot{x}(t) = \varphi\big(t, x(t)\big)$ zur Anfangsbedingung $x(t_0) = z_0$ im Intervall T_0 existiert.*
Ist ferner $z \in V_0$ und ist $\{z_k\}$ eine Folge aus V_0, die für $k \to \infty$ gegen z konvergiert, so konvergiert $\{x_{z_k}(t)\}$ auf T_0 gleichmäßig gegen $x_z(t)$.

Literatur

[1] Arnold, L.: Wachstumstheorie. Franz Vahlen, München (1997).

[2] Arrow, K.J., Kurz, M.: Public Investment, the Rate of Return, and Optimal Fiscal Policies. The Johns Hopkins Press, Baltimore (1970).

[3] Aseev, S.M., Kryazhimskii, A.V.: The Pontryagin Maximum Principle and Optimal Economic Growth Problems. Proc. Steklov Inst. Math., 257, 1–255 (2007).

[4] Aseev, S.M., Veliov, V.M.: Maximum Principle for Infinite-Horizon Optimal Control Problems with Dominating Discount. Dynamics of Continuous, Discrete and Impulsive Systems, Series B, Vol. 19 1-2 (2012).

[5] Aseev, S.M., Veliov, V.M.: Needle variations in infinite-horizon optimal control. Variational and Optimal Control Problems on Unbounded Domains, eds. G. Wolansky, A.J. Zaslavski, Amer. Math. Soc. Contemporary Mathematics, 619 (2014).

[6] Aseev, S.M., Veliov, V.M.: Maximum principle for infinite-horizon optimal control problems under weak regularity assumptions. Trudy Inst. Mat. i Mekh. UrO RAN, 20, no.3, 41–57 (2014).

[7] Barro, R.J., Sala-i-Martin, X.: Economic growth. McGraw Hill, New York (1995).

[8] Bauer, H.: Maß- und Integrationstheorie. 2. Auflage. Walter de Gruyter & Co., Berlin-New York (1992).

[9] Bellman R.E.: Dynamic Programming. Princeton University Press (1957).

[10] Boltjanski, W.G.: Mathematische Methoden der Optimalen Steuerung. Akademische Verlagsgesellschaft Geest & Portig K.-G., Leipzig (1971).

[11] Brodskii, Yu.I.: Necessary Conditions for a Weak Extremum in Optimal Control Problems on an Infinite Time Interval. Mat. Sb. (N.S.), Vol. 105(147), Number 3, 371–388 (1978).

[12] Carlson, D.A., Haurie, A.B., Leizarowitz, A.: Infinite Horizon Optimal Control. Springer-Verlag, New York, Berlin, Heidelberg (1991).

[13] Clarke, F.: Optimization and Nonsmooth Analysis. John Wiley & Sons, New York (1983).

[14] Clarke, F.H., Vinter, R.B.: Optimal multiprocesses. SIAM J. Control and Optimization, 27, pp. 1072–1091 (1989).

[15] Clarke, F.H., Vinter, R.B.: Applications of Optimal Multiprocesses. SIAM J. Control and Optimization, 27, pp. 1048–1071 (1989).

[16] Dmitruk, A.V., Kaganovich, A.M.: The Hybrid Maximum Principle is a consequence of Pontryagin Maximum Principle. Systems & Control Letters, Vol. 57, no. 11, p. 964–970 (2008).

[17] Dockner E., Feichtinger, G., Mehlmann, A.: Noncooperative Solutions for a Differential Game Model of Fishery. Journal of Economic Dynamics and Control 13, 1–20 (1989).

[18] Dorfman, R.: An economic interpretation of optimal control theory. AER 59, 817–831 (1969).

[19] Dubovitskii, A.Ya., Milyutin, A.A.: Extremum problems in the presence of restrictions. USSR Computational Mathematics and Mathematical Physics, Volume 5, Issue 3, 1–80 (1965).

[20] Elstrodt, J.: Maß- und Integrationstheorie. Springer, Berlin, (1996).

[21] Feichtinger, G., Hartl, R.F.: Optimale Kontrolle ökonomischer Prozesse. de Gruyter; Berlin - New York (1986).

[22] Filippov, A.F.: Differential Equations with Discontinuous Right-Hand Sides. Nauka, Moscow, (1985), (Kluwer, Dordrecht, 1988).

[23] Galbraith, G.N., Vinter, R.B.: Optimal control of hybrid systems with an infinite set of discrete states. Journal of Dynamical and Control Systems, 9, pp. 563–584 (2003).

[24] Gale, D.: On Optimal Development in a Multi-Sector Economy. RES 34, 1–18 (1967).

[25] Gamkrelidze, R.V.: Theorie zeitoptimaler Prozesses in linearen Systemen. Bull. Acad. Sci. URSS, Ser. Math. 22 (1958) in russisch.

[26] Garavello, M., Piccoli, B.: Hybrid Necessary Principle. SIAM J. Control Optim., 43, pp. 1867–1887 (2005).

[27] Girsanov, I.V.: Lectures on Mathematical Theory of Extremum Problems. Volume 67 of Lecture Notes in Economics and Mathematical Systems. Springer, Berlin-Heidelberg-New York, (1972).

[28] Grass, D., Caulkins, J.P., Feichtinger, G., Tragler, G., Behrens, D.A.: Optimal Control of Ninlinear Processes: With Applications in Drugs, Corruption and Terror. Springer, Berlin, (2008).

[29] Halkin, H.: Nonlinear convex programming in an infinite dimensional space. Mathematical theory of control, Academic Press, New York, 10–25 (1967).

[30] Halkin, H.: Necessary conditions for optimal control problems with infinite horizons. Econometrica 42, 267–272 (1979).

[31] Hartl, R.F., Sethi, S.P., Vickson, R.G.: A survey of the maximum principles for optimal control problems with state constraints. SIAM Review 37 (2), 181–218 (1995).

[32] Hestenes, M.: Calculus of variations and the optimal control theory. Wiley, New-York-London (1966).

[33] Heuser, H.: Lehrbuch der Analysis, Teil 1. 11. Auflage. B. G. Teubner Stuttgart 1994.

[34] Heuser, H.: Lehrbuch der Analysis, Teil 2. 11. Auflage. B. G. Teubner Stuttgart-Leipzig-Wiesbaden 2000.

[35] Heuser, H.: Gewöhnliche Differentialgleichungen. 3. Auflage. B. G. Teubner Stuttgart 1995.

[36] Heuser, H.: Funktionalanalysis. 3. Auflage. B. G. Teubner Stuttgart 1992.

[37] Isaacs, R.: Differential Games. John Wiley & Sons, New York (1965).

[38] Ioffe, A.D., Tichomirov, V.M.: Theorie der Extremalaufgaben. VEB Deutscher Verlag der Wissenschaften Berlin, (1979).

[39] Kufner, A.: Weighted Sobolev Spaces. John Wiley & Sons; Chichester, etc. (1985).

[40] Kurcyusz, S.: On the Existence and Nonexistence of Lagrange Multipliers in Banach Spaces. Journal of Optimization Theory and Applications, 20 (1), 81–110 (1976).

[41] Lancaster, K.: The dynamic inefficiency of capitalism. Journal of Political Economy 81, 1092–1109 (1973).

[42] Ljusternik, L.A.: On Conditional Extremums of Functionals. Mat. Sb. 41, 390–401 (1934).

[43] Lykina, V.: Beiträge zur Theorie der Optimalsteuerungsprobleme mit unendlichem Zeithorizont. PhD Thesis, BTU Cottbus (2010).

[44] Magill, M.J.P.: Pricing infinite horizon programs. J. Math. Anal. Appl. 88, 398–421 (1982).

[45] Mangasarian, O.L.: Sufficient Conditions for the Optimal Control of Nonlinear Systems. SIAM J. Control 4, 139–152 (1966).

[46] McShane, E.J.: On Multipliers for Lagrange Problems. American Journal of Mathematics 61, 809–819 (1939).

[47] Michel, P.: On the Transversality Condition in Infinite Horizon Optimal Problems. Econometrica 50, 975–985 (1982).

[48] Natanson, I.P.: Theorie der Funktionen einer reellen Veränderlichen. Verlag Harri Deutsch, Thun-Frankfurt/Main, (1981).

[49] Neustadt, L.W.: Optimization: A Theory of Necessary Conditions. Princeton, New Jersey (1976).

[50] Pesch, H.J., Plail, M.: The Maximum Principle of optimal control: A history of ingenious ideas and missed opportunities. Control and Cybernetics 38 (2009).

[51] Pickenhain, S.: Hilbert Space Treatment of Optimal Control Problems with Infinite Horizon. Bock, H.G., Phu, H.X., Rannacher, R., Schloeder, J.P.: Modeling, Simulation and Optimization of Complex Processes – HPSC 2012, Springer, 169–182 (2014).

[52] Pickenhain, S., Lykina, V.: Sufficiency conditions for infinite horizon optimal control problems. Seeger, A. (Ed.): Recent Advances in Optimization. Springer, Berlin etc. (Lecture Notes in Economics and Mathematical Systems 563), 217–232 (2006).

[53] Pickenhain, S., Wenzke, D.: Transformation of Infinite Horizon Optimal Control Problems. Submitted (J. Convex Analysis).

[54] Plail, M.: Die Entwicklung der optimalen Steuerungen. Vandenhoeck & Ruprecht, Göttingen (1998).

[55] Pontrjagin, L.S., Boltjanskij, V.G., Gamkrelidze, R.V., Mišcenko, E.F.: Mathematische Theorie optimaler Prozesse. R. Oldenbourg, München-Wien, (1964).

[56] Ramsey F.P.: A Mathematical Theory of Saving. Econ. J. 38, 543–559 (1928).

[57] Rockafellar, R.T.: Convex Analysis. Princeton University Press, Princeton, New Jersey (1970).

[58] Rudin, W.: Real and Complex Analysis. McGraw Hill, 3rd ed., (1987).

[59] Seierstad, A.: A Maximum Principle for Smooth Infinite Horizon Optimal Control Problems with State Constraints and with Terminal Constraints at Infinity. Open Journal of Optimization, 4, 100–130 (2015).

[60] Seierstad, A., Sydsæter, K.: Sufficient Conditions in Optimal Control Theory. International Economic Review, Vol. 18, No. 2 (1977).

[61] Seierstad, A., Sydsæter, K.: Optimal Control Theory with Economic Applications. North-Holland Amsterdam-New York-Oxford-Tokyo, (1987).

[62] Sethi, S.P., Thompson, G.L.: Optimal Control Theory. Applications to Management Science and Economics. Kluwer, Boston-Dordrecht-London, 2nd ed. (2000).

[63] Shaikh, M.S.: Optimal control of hybrid systems: Theory and algorithms. Ph.D. dissertation, Department of Electrical and Computer Engineering, McGill University, Montreal, Canada, May 2004.

[64] Shaikh, M.S., Caines, P. E.: On the hybrid optimal control problem: Theory and algorithms. IEEE Transactions on Automatic Control, 52, pp. 1587–1603, 2007.

[65] Sussmann, H.J.: A nonsmooth hybrid maximum principle. Stability and Stabilization of Nonlinear Systems. Lecture Notes in Control and Information Sciences 246, Springer, pp. 325–354, London 1999.

[66] Tauchnitz, N.: Das Pontrjaginsche Maximumprinzip für eine Klasse hybrider Steuerungsprobleme mit Zustandsbeschränkungen und seine Anwendung. PhD Thesis, Cottbus (2010).

[67] Tauchnitz, N.: The Pontryagin Maximum Principle for Nonlinear Optimal Control Problems with Infinite Horizon. Journal of Optimization Theory and Applications (2015).

[68] Vinter, R.B.: Optimal Control. Birkhauser (2000).

[69] Von Weizsaecker, C.C.: Existence of optimal programs of accumulation for an infinite time horizon. Review of Economic Studies 32, 85–92 (1965).

[70] Werner, D.: Funktionalanalysis. Springer-Verlag Berlin-Heidelberg-New York, (1995).

[71] Young, L.C.: Generalized curves and the existence of an attained absolute minimum in the calculus of variations. C. R. Acad. Soc. Sci. et Lettr., Varsovie 3:30, 212–234 (1937).

Symbolverzeichnis

$\mathbb{R}_+$	–	unendlicher Zeithorizont $[0, \infty)$
$\omega(\cdot)$	–	Dichtefunktion 136
$\nu(\cdot)$	–	Gewichtsfunktion 137
$C_b(I, \mathbb{R}^n)$	–	Raum der beschränkten stetigen Funktionen 199
$C(I, \mathbb{R}^n)$	–	Raum der stetigen Funktionen 199
$C_0(\mathbb{R}_+, \mathbb{R}^n)$	–	im Unendlichen verschwindende stetige Funktionen 199
$C_1(I, \mathbb{R}^n)$	–	Raum der stetig differenzierbaren Funktionen 199
$L_p(I, \mathbb{R}^n)$	–	Lebesgue-Raum 200
$L_p(I, \mathbb{R}^n; \nu)$	–	gewichteter Lebesgue-Raum 200
$W_p^1(I, \mathbb{R}^n)$	–	Sobolev-Rraum 200
$W_p^1(I, \mathbb{R}^n; \nu)$	–	gewichteter Sobolev-Raum 200
$\|\cdot\|$	–	Euklidische Norm
$\|\cdot\|_\infty$	–	Supremumsnorm
$\|\cdot\|_{L_p}$	–	L_p-Norm
$\|\cdot\|_{L_p(\nu)}$	–	gewichtete L_p-Norm 200
$\|\cdot\|_{W_p^1}$	–	W_p^1-Norm
$\|\cdot\|_{W_p^1(\nu)}$	–	gewichtete W_p^1-Norm
$f'(x; z)$	–	Richtungsableitung 207
$f^\circ(x; z)$	–	Clarkescher Gradient 207
$\partial f(x)$	–	Subdifferential der Funktion f 207
$\partial_x f(x, y)$	–	Subdifferential der Abbildung $x \to f(x, y)$ 207
$\operatorname{conv} \mathscr{C}$	–	konvexe Hülle der Menge C
H	–	Pontrjagin-Funktion
$\mathscr{H}$	–	Hamilton-Funktion
$\mathscr{L}$	–	Lagrange-Funktion

Sachverzeichnis

Abbildung, beschränkte 200
–, Fréchet-differenzierbare 201
–, Gâteaux-differenzierbare 201
–, offene 202
–, reguläre 201
–, stetig differenzierbare 201
–, stetige 200
– vom Lipschitz-Typ 214
Ableitung, Fréchet- 201
–, Gâteaux- 201
–, Richtungs- 207
Adjungierte 21, 56
–, eindeutige Darstellung 154, 162
adjungierte Gleichung 21, 34, 46, 52, 71, 87, 107, 112, 114, 141, 161, 175
adjungierter Operator 202

Banachraum 199
Bolza-Aufgabe 18
Borelmengen 196
Borelsches Maß 196
Brachistochrone 1, 9, 10

Caratheodory-Bedingung 214
Cauchy-Schwarzsche Ungleichung 199
Clarkescher Gradient 207

Darstellungssatz von Riesz 203
Dichtefunktion $\omega(\cdot)$ 136, 140, 160
Differentialspiel 57, 71, 163
Dualraum 201

Euler-Lagrangesche Gleichung 12, 14
Extremalaufgabe 10
Extremale 12
–, geknickte 34
Extremalprinzip 27, 39, 74, 149, 168, 179

Finite-Horizont-Approximation 124
Fischereimodell 71, 163

Fundamentallemma
– von du Bois-Reymond 13
– von Lagrange 13
Funktion, absolutstetige 198
–, eigentliche 207
–, homogene 207
–, isoelastische Nutzen- 16
–, konvexe 207
–, lokalkonvexe 208
–, reguläre 207
–, totale Variation einer 197
–, Treppen- 196
– von beschränkter Variation 197
–, normalisierte 197

Gewichtsfunktion $\nu(\cdot)$ 137, 140, 160
Goddard-Problem 2
Grundaufgabe der Variationsrechnung 11

Hilbertraum 199
hinreichende Bedingungen
– nach Arrow 83, 95, 172, 183
– nach Mangasarian 47, 156
Höldersche Ungleichung 200

Investitionsmodell 35, 117
Isoperimetrisches Problem 30

Kapitalakkumulation 16, 35, 117
Kapitalismusspiel 57
Kettenlinie 32
k-fache Zerlegung 110
Kompartimentmodelle 119

Lagerhaltung 88, 98
Lagrange-Aufgabe 9, 20
Lagrangesches Prinzip 22
Lebesgue-Integral 197
Lebesguescher Punkt 197
Lösung im Sinn von Carathéodory 214

Maß 195
–, Borelsches 196
–, reguläres 195
–, σ-additives 195
–, σ-endliches 195
–, signiertes 195
– totale Variation eines 195
Minimum, schwaches lokales 11, 20, 33, 43, 140
–, starkes lokales 50, 52, 70, 87, 104, 112, 114, 161
μ-Integral 196
μ-integrierbar 196
Multiprozess 109
–, k-fache Zerlegung 110
–, Wechselstrategie 109
μ-Nullmenge 195

Nadelvariation, einfache 50, 53, 131
–, mehrfache 61, 164
–, Trägerfamilien 61
Nash-Gleichgewicht 57, 71, 163
Nutzenfunktion, isoelastische 16

Operatornorm 201
optimal, catching up 125
–, global 124
–, overtaking 125
–, sporadically catching up 125
–, streng global 124

Pontrjaginsches Maximumprinzip 52, 70, 87, 107, 112, 114, 161, 174
–, normale Form 162
–, ökonomische Interpretation 56
Problem der Dido 1
Produktionsplanung 85

quadratischer Regler 142, 154, 157

Raum
–, Lebesgue-Raum 200
–, gewichteter 200
–, Sobolev-Raum 200
–, gewichteter 200
– stetig differenzierbarer Funktionen 199
– stetiger Funktionen 199
Ressourcenabbau 175, 185

Satz, Darstellungssatz von Riesz 203
–, Fixpunktsatz von Weissinger 202
–, Trennungssatz 202
– vom abgeschlossenen Bild 202
– von der offenen Abbildung 202
– von Hahn-Banach 201
– von Ljusternik 205
– von Lusin 197
Schattenpreis 56, 103
Schwaches Optimalitätsprinzip 34, 46, 141
–, normale Form 154
σ-Algebra 195
–, erzeugte 196
Speichermanagement eines Wasserkraftwerkes 101
Steuerungsproblem, Standardgestalt 3
Stieltjes-Integral 198
Subdifferential 207

totale Variation, einer Funktion 197
– eines Maßes 195
Transversalitätsbedingungen 21, 34, 46, 71, 87, 107, 113, 114
–, natürliche 141, 161, 175
– von Michel 141, 162, 175
Treppenfunktion 196

Vorsorgemodell 22, 48

Wechselstrategie 109
Wirtschaftswachstum und Umweltschutz 98